

# ISTITUTO AUTONOMO CASE POPOLARI MESSINA

Lavori di efficientamento energetico e miglioramento sismico delle palazzine A e B comprendenti n.12 alloggi site in Via G. Vittorio snc,  
Via Pasolini n.1 nel Comune di Pace del Mela (Messina)

## PROGETTO ESECUTIVO

### INTERVENTI DI EFFICIENTAMENTO ENERGETICO MIGLIORAMENTO SISMICO

Tav.

**S.2b**

#### TABULATO DI CALCOLO: PALAZZINE A - B STATO DI PROGETTO

*IL PROGETTISTA:*

Ing. Alessandra Amato

*Scala:*

*Aggiornamento:*

*Data:*

Agosto 2022

*Aggiornamento:*

*Responsabile Unico del Procedimento:*

Arch. Elena Caruso

*Coordinatore del Settore Tecnico:*

Avv. Antonino Recupero

*Visti ed approvazioni:*

- **UNITÀ DI MISURA**

Si adottano le seguenti unità di misura:

[lunghezze]	= m
[forze]	= kgf / daN
[tempo]	= sec
[temperatura]	= °C

- **CONVENZIONI SUI SEGNI**

I carichi agenti sono:

- 1) Carichi e momenti distribuiti lungo gli assi coordinati;
- 2) Forze e coppie nodali concentrate sui nodi.

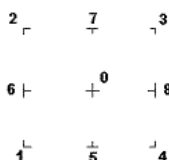
Le forze distribuite sono da ritenersi positive se concordi con il sistema di riferimento locale dell'asta, quelle concentrate sono positive se concordi con il sistema di riferimento globale.

I gradi di libertà nodali sono gli omologhi agli enti forza, e quindi sono definiti positivi se concordi a questi ultimi.

## SPECIFICHE CAMPI TABELLA DI STAMPA

Si riporta appresso la spiegazione delle sigle usate nel tabulato di stampa dei dati di input dei pilastri.

<b>Filo</b>	: Numero del filo fisso in pianta su cui insiste il pilastro
<b>Sez.</b>	: Numero di archivio della sezione del pilastro
<b>Tipologia</b>	: Descrive le seguenti grandezze: <ul style="list-style-type: none"> <li>a) La forma attraverso le sigle 'Rett.'=rettangolare; 'a T'; 'ad I'; 'a C'; 'Circ.=circolare; 'Polig.'=poligonale</li> <li>b) Gli ingombri in X ed Y nel sistema di riferimento locale della sezione. Nel caso di sezioni rettangolari questi ingombri coincidono con base ed altezza</li> </ul>
<b>Magrone</b>	: Larghezza del magrone di fondazione. Se presente individua ai fini del calcolo un'asta su suolo alla Winkler
<b>Ang.</b>	: Angolo di rotazione della sezione. L'angolo e' positivo se antiorario
<b>Codice</b>	: Individua il posizionamento del filo fisso nella sezione. Per la sezione rettangolare valgono i seguenti codici di spigolo:



Il codice zero, che è inizialmente associato al centro pilastro, permette anche degli scostamenti imposti esplicitamente del filo fisso dal centro del pilastro

<b>dx</b>	: Scostamento filo fisso - centro pilastro lungo l'asse X in pianta
<b>dy</b>	: Scostamento filo fisso - centro pilastro lungo l'asse Y in pianta
<b>Crit.N.ro</b>	: Numero identificativo del criterio di progetto associato al pilastro
<b>Tipo</b>	Tipo elemento ai fini sismici:
<b>Elemento</b>	Le sigle sotto riportate hanno il significato appresso specificato: <ul style="list-style-type: none"> <li>- "Secondario NTC18": si intende un elemento pilastro secondario ai sensi della NTC2018, che non viene inserito nel modello sismico ed a cui vengono applicate le verifiche di duttilità.</li> <li>- "NoGerarchia": si intende un elemento pilastro non appartenente ad un meccanismo dissipativo e in cui non è applicabile la gerarchia delle resistenze (esempio pilastro meshato interno a pareti)</li> </ul>

Nel caso di vincoli particolari (situazione diversa dal doppio incastro), segue un'ulteriore tabulato relativo ai vincoli, le cui sigle hanno il seguente significato:

**Codice:** Codice sintetico identificativo del tipo di vincolo secondo la codifica appresso riportata:

**I** = incastro; **K** = appoggio scorrevole; **C** = cerniera sferica; **E** = esplicito; **CF** = cerniera flessionale.

Il reale funzionamento dei vincoli (da intendersi come vincoli interni tra asta e nodo) è esplicitato dai successivi dati:

<b>Tx, Ty, Tz</b>	: Valori delle rigidezze alla traslazione imposte al nodo in esame. Il valore -1 indica per convenzione che quella particolare traslazione mutua tra pilastro e nodo è impedita (ovvero la traslazione assoluta del nodo e dell'estremo del pilastro è la medesima), mentre lo 0 indica che non vi è continuità tra tali elementi ai fini di tale traslazione reciproca (ovvero la traslazione assoluta del nodo e dell'estremo del pilastro sono diverse ed indipendenti). Invece un valore maggiore di zero equivale ad una sconnessione fra il nodo e l'estremo del pilastro (traslazioni assolute diverse), ma sul nodo agirà una forza, nella direzione della sconnessione inserita, di valore pari alla rigidezza per la variazione di spostamento. Se infine viene inserito un valore compreso fra -1 (incastrato) e 0 (libero) (fattore di connessione) il programma trasforma in automatico tale numero in una rigidezza esplicita. Gli assi X e Y sono quelli del riferimento locale della sezione, mentre Z è parallelo all'asse del pilastro.
<b>Rx, Ry, Rz</b>	: Valori delle rigidezze alla rotazione imposte al nodo in esame. Il valore -1 indica per convenzione che quella particolare rotazione mutua tra pilastro e nodo è impedita (ovvero la rotazione assoluta del nodo e dell'estremo del pilastro è la medesima), mentre lo 0 indica che non vi è continuità tra tali elementi ai fini di tale rotazione reciproca (ovvero la rotazione

*assoluta del nodo e dell'estremo del pilastro sono diverse ed indipendenti). Invece un valore maggiore di zero equivale ad una sconnessione fra il nodo e l'estremo dell'asta (rotazioni assolute diverse), ma sul nodo agirà un momento nella direzione della sconnessione inserita di valore pari alla rigidezza per la variazione di rotazione. Se viene inserito un valore compreso fra  $-1$  (incastrato) e  $0$  (libero) (fattore di connessione) il programma trasforma in automatico tale numero in una rigidezza esplicita. Gli assi  $X$  e  $Y$  sono quelli del riferimento locale della sezione, mentre  $Z$  è parallelo all'asse del pilastro.*

## SPECIFICHE CAMPI TABELLA DI STAMPA

Si riporta appresso la spiegazione delle sigle usate nel tabulato di stampa dei dati di input delle travi:

<b>Trave</b>	: Numero identificativo della trave alla quota in esame
<b>Sez.</b>	: Numero di archivio della sezione della trave. Se il numero sezione è superiore a 600, si tratta di setto di altezza pari all'interpiano e di cui nei successivi dati viene specificato il solo spessore
<b>Base x Alt.</b>	: Ingombri in X ed Y nel sistema di riferimento locale della sezione. Nel caso di sezioni rettangolari questi ingombri coincidono con base ed altezza
<b>Magrone</b>	: Larghezza del magrone di fondazione. Se presente individua ai fini del calcolo un'asta su suolo alla Winkler
<b>Ang.</b>	: Angolo di rotazione della sezione attorno all'asse
<b>Filo in.</b>	: Numero del filo fisso iniziale della trave
<b>Filo fin.</b>	: Numero del filo fisso finale della trave
<b>Quota in.</b>	: Quota dell'estremo iniziale della trave
<b>Quota fin.</b>	: Quota dell'estremo finale della trave
<b>dx in</b>	: Scostamento in direzione X del punto iniziale dell'asse della trave dal filo fisso iniziale di riferimento
<b>dx f</b>	: Scostamento in direzione X del punto finale dell'asse della trave dal filo fisso finale di riferimento
<b>dy in</b>	: Scostamento in direzione Y del punto iniziale dell'asse della trave dal filo fisso iniziale di riferimento
<b>dy f</b>	: Scostamento in direzione Y del punto finale dell'asse della trave dal filo fisso finale di riferimento
<b>Pann.</b>	: Carico sulla trave dovuto a pannelli di solai.
<b>Tamp.</b>	: Carico sulla trave dovuto a tamponature
<b>Ball.</b>	: Carico sulla trave dovuto a ballatoi
<b>Espl.</b>	: Carico sulla trave imposto dal progettista
<b>Tot.</b>	: Totale dei carichi verticali precedenti
<b>Torc.</b>	: Momento torcente distribuito agente sulla trave imposto dal progettista
<b>Orizz.</b>	: Carico orizzontale distribuito agente sulla trave imposto dal progettista
<b>Assia.</b>	: Carico assiale distribuito agente sulla trave imposto dal progettista
<b>Ali.</b>	: Aliquota media pesata dei carichi accidentali per la determinazione della massa sismica
<b>Crit.N.ro</b>	: Numero identificativo del criterio di progetto associato alla trave
<b>Tipo</b>	Tipo elemento ai fini sismici:
<b>Elemento</b>	Le sigle sotto riportate hanno il significato appresso specificato: - "Secondario NTC18": si intende un elemento asta secondario ai sensi della NTC2018, che non viene inserito nel modello sismico ed a cui vengono applicate le verifiche di duttilità. - "NoGerarchia": si intende un elemento asta non appartenente ad un meccanismo dissipativo e in cui non è applicabile la gerarchia delle resistenze (esempio aste meshate interne a pareti o piastre o travi inclinate)

Nel caso di vincoli particolari (situazione diversa dal doppio incastro), segue un'ulteriore tabulato relativo ai vincoli, le cui sigle hanno il seguente significato:

**Codice:** Codice sintetico identificativo del tipo di vincolo secondo la codifica appresso riportata:

**I** = incastro; **K** = appoggio scorrevole; **C** = cerniera sferica; **E** = esplicito; **CF** = cerniera flessionale.

Il reale funzionamento dei vincoli (da intendersi come vincoli interni tra asta e nodo) è esplicitato dai successivi dati:

**T<sub>x</sub>, T<sub>y</sub>, T<sub>z</sub>** : Valori delle rigidezze alla traslazione imposte al nodo in esame. Il valore -1 indica per convenzione che quella particolare traslazione mutua tra trave e nodo è impedita (ovvero la traslazione assoluta del nodo e dell'estremo dell'asta è la medesima), mentre lo 0 indica che non vi è continuità tra tali elementi ai fini di tale traslazione reciproca (ovvero la traslazione assoluta del nodo e dell'estremo dell'asta sono diverse ed indipendenti). Invece un valore maggiore di zero equivale ad una sconnessione fra il nodo e l'estremo dell'asta (traslazioni assolute diverse), ma sul nodo agirà una forza, nella direzione della sconnessione inserita, di valore pari alla rigidezza per la variazione di spostamento. Se infine viene inserito un valore compreso fra -1 (incastrato) e 0 (libero), fattore di connessione, il programma trasforma in automatico tale numero in una rigidezza esplicita. Gli assi X e Y sono quelli del riferimento locale della sezione, mentre Z è parallelo all'asse della trave.

**R<sub>x</sub>, R<sub>y</sub>, R<sub>z</sub>** : Valori delle rigidezze alla rotazione imposte al nodo in esame. Il valore -1 indica per convenzione che quella particolare rotazione mutua tra trave e nodo è impedita (ovvero la rotazione assoluta del nodo e dell'estremo dell'asta è la medesima), mentre lo 0 indica che non vi è continuità tra tali elementi ai fini di tale rotazione reciproca (ovvero la rotazione assoluta del nodo e dell'estremo dell'asta sono diverse ed indipendenti). Invece un valore maggiore di zero equivale ad una sconnessione fra il nodo e l'estremo dell'asta (rotazioni assolute diverse), ma sul nodo agirà un momento, nella direzione della sconnessione inserita, di valore pari alla rigidezza per la variazione di rotazione. Se viene inserito un valore compreso fra -1 (incastrato) e 0 (libero), fattore di connessione, il programma trasforma in automatico tale numero in una rigidezza esplicita. Gli assi X e Y sono quelli del riferimento locale della sezione, mentre Z è parallelo all'asse della trave.

## DATI GENERALI DI STRUTTURA

## DATI GENERALI DI STRUTTURA

Massima dimens. dir. X (m)	22,40	Altezza edificio (m)	10,85
Massima dimens. dir. Y (m)	9,10	Differenza temperatura(°C)	15

## PARAMETRI SISMICI

Vita Nominale (Anni)	50	Classe d' Uso	II Cu=1.0
Longitudine Est (Grd)	15,30360	Latitudine Nord (Grd)	38,18254
Categoria Suolo	C	Coeff. Condiz. Topogr.	1,00000
Sistema Costruttivo Dir.1	C.A.	Sistema Costruttivo Dir.2	C.A.
Regolarita' in Altezza	SI (KR=1)	Regolarita' in Pianta	SI
Direzione Sisma (Grd)	0	Sisma Verticale	ASSENTE
Effetti P/Delta	NO	Quota di Zero Sismico (m)	0,00000
Tipo Intervento	ADEGUAMENTO	Tipo Analisi Sismica	PUSH-OVER
Livello Sicurezza Min. (%)	100		

## PARAMETRI SPETTRO ELASTICO - SISMA S.L.D.

Probabilita' Pvr	0,63	Periodo di Ritorno Anni	50,00
Accelerazione Ag/g	0,07	Periodo T'c (sec.)	0,30
Fo	2,42	Fv	0,85
Fattore Stratigrafia'Ss'	1,50	Periodo TB (sec.)	0,16
Periodo TC (sec.)	0,47	Periodo TD (sec.)	1,87

## PARAMETRI SPETTRO ELASTICO - SISMA S.L.V.

Probabilita' Pvr	0,10	Periodo di Ritorno Anni	475,00
Accelerazione Ag/g	0,16	Periodo T'c (sec.)	0,37
Fo	2,53	Fv	1,37
Fattore Stratigrafia'Ss'	1,46	Periodo TB (sec.)	0,18
Periodo TC (sec.)	0,54	Periodo TD (sec.)	2,25

## PARAMETRI SISTEMA COSTRUTTIVO C.A. - DIR. 1

Classe Duttilita'	MEDIA	Sotto-Sistema Strutturale	Telaio
AlfaU/Alfa1	1,30	Fattore riduttivo KW	1,00
Fattore di comportam 'q'	3,90		

## PARAMETRI SISTEMA COSTRUTTIVO C.A. - DIR. 2

Classe Duttilita'	MEDIA	Sotto-Sistema Strutturale	Telaio
AlfaU/Alfa1	1,30	Fattore riduttivo KW	1,00
Fattore di comportam 'q'	3,90		

## COEFFICIENTI DI SICUREZZA PARZIALI DEI MATERIALI

Acciaio per CLS armato	1,15	Calcestruzzo CLS armato	1,50
Legno per comb. eccez.	1,00	Legno per comb. fondam.:	1,30
Livello conoscenza	LC2		
FRP Collasso Tipo 'A'	1,10	FRP Delaminazione Tipo 'A'	1,20
FRP Collasso Tipo 'B'	1,25	FRP Delaminazione Tipo 'B'	1,50
FRP Resist. Press/Fless	1,00	FRP Resist. Taglio/Torsione	1,20
FRP Resist. Confinamento	1,10		

## PILASTRI IN C.A. QUOTA 2 m

Filo N.ro	Sez. N.ro	Tipologia (cm)			Magrone (cm)	Ang. (Grd)	Cod.	dx (cm)	dy (cm)	Crit. N.ro	Tipo Elemento ai fini sismici
1	26	Rett.	30,00	x 70,00	0,0	0,00	0	0,00	20,00	3	SismoResist.
2	26	Rett.	30,00	x 70,00	0,0	0,00	0	0,00	-20,00	3	SismoResist.
3	26	Rett.	30,00	x 70,00	0,0	90,00	0	20,00	0,00	3	SismoResist.
4	26	Rett.	30,00	x 70,00	0,0	90,00	0	20,00	0,00	3	SismoResist.
5	26	Rett.	30,00	x 70,00	0,0	90,00	0	20,00	0,00	3	SismoResist.
6	26	Rett.	30,00	x 70,00	0,0	90,00	0	20,00	0,00	3	SismoResist.
7	26	Rett.	30,00	x 70,00	0,0	90,00	0	-20,00	0,00	3	SismoResist.
8	26	Rett.	30,00	x 70,00	0,0	90,00	0	-20,00	0,00	3	SismoResist.
9	26	Rett.	30,00	x 70,00	0,0	90,00	0	-20,00	0,00	3	SismoResist.

Footer Utente. Esempio: Studio Tecnico xxx

SOFTWARE: C.D.S. - Full - Rel.2021 - Lic. Nro: 17145

## PILASTRI IN C.A. QUOTA 2 m

Filo N.ro	Sez. N.ro	Tipologia (cm)			Magrone (cm)	Ang. (Grd)	Cod.	dx (cm)	dy (cm)	Crit. N.ro	Tipo Elemento ai fini sismici
10	31	Rett.	30,00	x 90,00	0,0	0,00	0	0,00	-30,00	3	SismoResist.
11	26	Rett.	30,00	x 70,00	0,0	90,00	0	20,00	0,00	3	SismoResist.
12	26	Rett.	30,00	x 70,00	0,0	90,00	0	20,00	0,00	3	SismoResist.
13	31	Rett.	30,00	x 90,00	0,0	0,00	0	0,00	-30,00	3	SismoResist.
14	26	Rett.	30,00	x 70,00	0,0	90,00	0	-20,00	0,00	3	SismoResist.
15	26	Rett.	30,00	x 70,00	0,0	90,00	0	-20,00	0,00	3	SismoResist.
16	26	Rett.	30,00	x 70,00	0,0	90,00	0	20,00	0,00	3	SismoResist.
17	26	Rett.	30,00	x 70,00	0,0	90,00	0	20,00	0,00	3	SismoResist.
18	26	Rett.	30,00	x 70,00	0,0	90,00	0	20,00	0,00	3	SismoResist.
19	26	Rett.	30,00	x 70,00	0,0	90,00	0	-20,00	0,00	3	SismoResist.
20	26	Rett.	30,00	x 70,00	0,0	90,00	0	-20,00	0,00	3	SismoResist.
21	26	Rett.	30,00	x 70,00	0,0	90,00	0	-20,00	0,00	3	SismoResist.
22	26	Rett.	30,00	x 70,00	0,0	0,00	0	0,00	20,00	3	SismoResist.
23	26	Rett.	30,00	x 70,00	0,0	0,00	0	0,00	-20,00	3	SismoResist.
24	26	Rett.	30,00	x 70,00	0,0	90,00	0	-20,00	0,00	3	SismoResist.

## PILASTRI IN C.A. QUOTA 4.95 m

Filo N.ro	Sez. N.ro	Tipologia (cm)			Magrone (cm)	Ang. (Grd)	Cod.	dx (cm)	dy (cm)	Crit. N.ro	Tipo Elemento ai fini sismici
1	4	Rett.	30,00	x 60,00	0,0	0,00	0	0,00	15,00	3	SismoResist.
2	4	Rett.	30,00	x 60,00	0,0	0,00	0	0,00	-15,00	3	SismoResist.
3	4	Rett.	30,00	x 60,00	0,0	90,00	0	15,00	0,00	3	SismoResist.
4	4	Rett.	30,00	x 60,00	0,0	90,00	0	15,00	0,00	3	SismoResist.
5	4	Rett.	30,00	x 60,00	0,0	90,00	0	15,00	0,00	3	SismoResist.
6	4	Rett.	30,00	x 60,00	0,0	90,00	0	15,00	0,00	3	SismoResist.
7	4	Rett.	30,00	x 60,00	0,0	90,00	0	-15,00	0,00	3	SismoResist.
8	4	Rett.	30,00	x 60,00	0,0	90,00	0	-15,00	0,00	3	SismoResist.
9	4	Rett.	30,00	x 60,00	0,0	90,00	0	-15,00	0,00	3	SismoResist.
10	31	Rett.	30,00	x 90,00	0,0	0,00	0	0,00	-30,00	3	SismoResist.
11	4	Rett.	30,00	x 60,00	0,0	90,00	0	15,00	0,00	3	SismoResist.
12	4	Rett.	30,00	x 60,00	0,0	90,00	0	15,00	0,00	3	SismoResist.
13	31	Rett.	30,00	x 90,00	0,0	0,00	0	0,00	-30,00	3	SismoResist.
14	4	Rett.	30,00	x 60,00	0,0	90,00	0	-15,00	0,00	3	SismoResist.
15	4	Rett.	30,00	x 60,00	0,0	90,00	0	-15,00	0,00	3	SismoResist.
16	4	Rett.	30,00	x 60,00	0,0	90,00	0	15,00	0,00	3	SismoResist.
17	4	Rett.	30,00	x 60,00	0,0	90,00	0	15,00	0,00	3	SismoResist.
18	4	Rett.	30,00	x 60,00	0,0	90,00	0	15,00	0,00	3	SismoResist.
19	4	Rett.	30,00	x 60,00	0,0	90,00	0	-15,00	0,00	3	SismoResist.
20	4	Rett.	30,00	x 60,00	0,0	90,00	0	-15,00	0,00	3	SismoResist.
21	4	Rett.	30,00	x 60,00	0,0	90,00	0	-15,00	0,00	3	SismoResist.
22	4	Rett.	30,00	x 60,00	0,0	0,00	0	0,00	15,00	3	SismoResist.
23	4	Rett.	30,00	x 60,00	0,0	0,00	0	0,00	-15,00	3	SismoResist.
24	4	Rett.	30,00	x 60,00	0,0	90,00	0	-15,00	0,00	3	SismoResist.

## PILASTRI IN C.A. QUOTA 7.9 m

Filo N.ro	Sez. N.ro	Tipologia (cm)			Magrone (cm)	Ang. (Grd)	Cod.	dx (cm)	dy (cm)	Crit. N.ro	Tipo Elemento ai fini sismici
1	4	Rett.	30,00	x 60,00	0,0	0,00	0	0,00	15,00	3	SismoResist.
2	4	Rett.	30,00	x 60,00	0,0	0,00	0	0,00	-15,00	3	SismoResist.
3	4	Rett.	30,00	x 60,00	0,0	90,00	0	15,00	0,00	3	SismoResist.
4	4	Rett.	30,00	x 60,00	0,0	90,00	0	15,00	0,00	3	SismoResist.
5	4	Rett.	30,00	x 60,00	0,0	90,00	0	15,00	0,00	3	SismoResist.
6	4	Rett.	30,00	x 60,00	0,0	90,00	0	15,00	0,00	3	SismoResist.
7	4	Rett.	30,00	x 60,00	0,0	90,00	0	-15,00	0,00	3	SismoResist.
8	4	Rett.	30,00	x 60,00	0,0	90,00	0	-15,00	0,00	3	SismoResist.
9	4	Rett.	30,00	x 60,00	0,0	90,00	0	-15,00	0,00	3	SismoResist.
10	31	Rett.	30,00	x 90,00	0,0	0,00	0	0,00	-30,00	3	SismoResist.
11	4	Rett.	30,00	x 60,00	0,0	90,00	0	15,00	0,00	3	SismoResist.
12	4	Rett.	30,00	x 60,00	0,0	90,00	0	15,00	0,00	3	SismoResist.
13	31	Rett.	30,00	x 90,00	0,0	0,00	0	0,00	-30,00	3	SismoResist.







## DATI ARMATURE PILASTRI - SEZIONE RETTANGOLARE - QUOTA: 2 m

## ASTE IN C.A. CON SEZIONE RETTANGOLARE

IDENTIFICATIVO		ARMATURE DI INPUT											AGGIUNTIVE		RINFORZO IN FRP						
Asta Num.	Concio	FiSp mm	NFer Sup.	FiSu mm	NFer Inf.	FiIn mm	NFer Par.	FiPa mm	FiSt mm	PsSt cm	Brac DirX	Brac DirY	AfSup cmq	AfInf cmq	Mat. N.ro	Lung cm	Rag. mm	Num Avv	Nod Con	Condiz. Ambient	SpSol cm
4	Iniz.	14	3	14	3	14	2	14	6	20	4	2	0,0	0,0							
	Mezz. Finale	14	3	14	3	14	2	14	6	20	4	2	0,0	0,0							
5	Iniz.	14	3	14	3	14	2	14	6	20	4	2	0,0	0,0							
	Mezz. Finale	14	3	14	3	14	2	14	6	20	4	2	0,0	0,0							
6	Iniz.	14	3	14	3	14	2	14	6	20	4	2	0,0	0,0							
	Mezz. Finale	14	3	14	3	14	2	14	6	20	4	2	0,0	0,0							
7	Iniz.	14	3	14	3	14	2	14	6	20	4	2	0,0	0,0							
	Mezz. Finale	14	3	14	3	14	2	14	6	20	4	2	0,0	0,0							
8	Iniz.	14	3	14	3	14	2	14	6	20	4	2	0,0	0,0							
	Mezz. Finale	14	3	14	3	14	2	14	6	20	4	2	0,0	0,0							
9	Iniz.	14	3	14	3	14	2	14	6	20	4	2	0,0	0,0							
	Mezz. Finale	14	3	14	3	14	2	14	6	20	4	2	0,0	0,0							
10	Iniz.	14	2	14	2	14	3	14	6	20	4	2	0,0	0,0	1	100	20	2	SI	Interna	0
	Mezz. Finale	14	2	14	2	14	3	14	6	20	4	2	0,0	0,0	1	100	20	2	SI	Interna	0
11	Iniz.	14	3	14	3	14	2	14	6	20	4	2	0,0	0,0							
	Mezz. Finale	14	3	14	3	14	2	14	6	20	4	2	0,0	0,0							
12	Iniz.	14	3	14	3	14	2	14	6	20	4	2	0,0	0,0							
	Mezz. Finale	14	3	14	3	14	2	14	6	20	4	2	0,0	0,0							
13	Iniz.	14	2	14	2	14	3	14	6	20	4	2	0,0	0,0	1	100	20	2	SI	Interna	0
	Mezz. Finale	14	2	14	2	14	3	14	6	20	4	2	0,0	0,0	1	100	20	2	SI	Interna	0
14	Iniz.	14	3	14	3	14	2	14	6	20	4	2	0,0	0,0							
	Mezz. Finale	14	3	14	3	14	2	14	6	20	4	2	0,0	0,0							
15	Iniz.	14	3	14	3	14	2	14	6	20	4	2	0,0	0,0							
	Mezz. Finale	14	3	14	3	14	2	14	6	20	4	2	0,0	0,0							
16	Iniz.	14	3	14	3	14	2	14	6	20	4	2	0,0	0,0							
	Mezz. Finale	14	3	14	3	14	2	14	6	20	4	2	0,0	0,0							
17	Iniz.	14	3	14	3	14	2	14	6	20	4	2	0,0	0,0							
	Mezz. Finale	14	3	14	3	14	2	14	6	20	4	2	0,0	0,0							
18	Iniz.	14	3	14	3	14	2	14	6	20	4	2	0,0	0,0							
	Mezz. Finale	14	3	14	3	14	2	14	6	20	4	2	0,0	0,0							
19	Iniz.	14	3	14	3	14	2	14	6	20	4	2	0,0	0,0							
	Mezz. Finale	14	3	14	3	14	2	14	6	20	4	2	0,0	0,0							
20	Iniz.	14	3	14	3	14	2	14	6	20	4	2	0,0	0,0							
	Mezz. Finale	14	3	14	3	14	2	14	6	20	4	2	0,0	0,0							
21	Iniz.	14	3	14	3	14	2	14	6	20	4	2	0,0	0,0							
	Mezz. Finale	14	3	14	3	14	2	14	6	20	4	2	0,0	0,0							
22	Iniz.	14	2	14	2	14	2	14	6	20	4	2	0,0	0,0							

## DATI ARMATURE PILASTRI - SEZIONE RETTANGOLARE - QUOTA: 2 m

## ASTE IN C.A. CON SEZIONE RETTANGOLARE

IDENTIFICATIVO		ARMATURE DI INPUT											AGGIUNTIVE		RINFORZO IN FRP						
Asta Num.	Concio	FiSp mm	NFer Sup.	FiSu mm	NFer Inf.	Filn mm	NFer Par.	FiPa mm	FiSt mm	PsSt cm	Brac DirX	Brac DirY	AfSup cmq	AfInf cmq	Mat. N.ro	Lung cm	Rag. mm	Num Avv	Nod Con	Condiz. Ambient	SpSol cm
	Mezz. Finale	14	2	14	2	14	2	14	6	20	4	2	0,0	0,0							
23	Iniz. Mezz. Finale	14 14 14	2 2 2	14 14 14	2 2 2	14 14 14	2 2 2	14 14 14	6 6 6	20 20 20	4 4 4	2 2 2	0,0 0,0 0,0	0,0 0,0 0,0							
24	Iniz. Mezz. Finale	14 14 14	4 4 4	14 14 14	4 4 4	14 14 14	2 2 2	14 14 14	6 6 6	20 20 20	4 4 4	2 2 2	0,0 0,0 0,0	0,0 0,0 0,0							

## DATI ARMATURE TRAVI - SEZIONE RETTANGOLARE - QUOTA: 2 m

## ASTE IN C.A. CON SEZIONE RETTANGOLARE

IDENTIFICATIVO		ARMATURE DI INPUT											AGGIUNTIVE		RINFORZO IN FRP						
Asta Num.	Concio	FiSp mm	NFer Sup.	FiSu mm	NFer Inf.	Filn mm	NFer Par.	FiPa mm	FiSt mm	PsSt cm	Brac DirX	Brac DirY	AfSup cmq	AfInf cmq	Mat. N.ro	Lung cm	Rag. mm	Num Avv	Nod Con	Condiz. Ambient	SpSol cm
1	Iniz. Mezz. Finale	14 14 14	1 0 3	14 14 14	1 1 1	14 14 16	0 0 0	10 10 10	6 6 6	15 15 15	2 2 2	2 2 2	2,0 0,0 0,0	0,0 0,0 0,0							
2	Iniz. Mezz. Finale	14 14 14	3 0 3	14 14 14	1 1 1	16 14 16	0 0 0	10 10 10	6 6 6	15 15 15	2 2 2	2 2 2	0,0 0,0 0,0	0,0 0,0 0,0							
3	Iniz. Mezz. Finale	14 14 14	3 0 2	14 14 14	1 1 0	16 14 14	0 0 0	10 10 10	6 6 6	15 15 15	2 2 2	2 2 2	0,0 0,0 0,0	0,0 0,0 0,0							
4	Iniz. Mezz. Finale	14 14 14	2 0 2	14 14 14	2 3 2	14 14 14	1 1 1	14 14 14	6 6 6	15 15 15	2 2 2	2 2 2	0,0 0,0 0,0	0,0 0,0 0,0							
5	Iniz. Mezz. Finale	14 14 14	2 0 3	14 14 14	0 1 1	14 14 16	0 0 0	10 10 10	6 6 6	15 15 15	2 2 2	2 2 2	0,0 0,0 0,0	0,0 0,0 0,0							
6	Iniz. Mezz. Finale	14 14 14	3 0 3	14 14 14	1 1 1	16 14 16	0 0 0	10 10 10	6 6 6	15 15 15	2 2 2	2 2 2	0,0 0,0 0,0	0,0 0,0 0,0							
7	Iniz. Mezz. Finale	14 14 14	2 0 1	14 14 14	1 1 1	16 14 14	0 0 0	10 10 10	6 6 6	15 15 15	2 2 2	2 2 2	0,0 0,0 2,0	0,0 0,0 0,0							
8	Iniz. Mezz. Finale	14 14 14	2 0 3	14 14 14	0 1 0	14 14 14	0 0 0	10 10 10	6 6 6	15 15 15	2 2 2	2 2 2	0,0 0,0 0,0	0,0 0,0 0,0							
9	Iniz. Mezz. Finale	14 14 14	3 0 2	14 14 14	1 1 1	14 14 14	0 0 0	10 10 10	6 6 6	15 15 15	2 2 2	2 2 2	0,0 0,0 0,0	0,0 0,0 0,0							
10	Iniz. Mezz. Finale	14 14 14	2 0 2	14 14 14	0 1 2	14 14 14	0 0 0	10 10 10	6 6 6	15 15 15	2 2 2	2 2 2	0,0 0,0 0,0	0,0 0,0 0,0							
11	Iniz. Mezz. Finale	14 14 14	2 0 2	14 14 14	2 1 0	14 14 14	0 0 0	10 10 10	6 6 6	15 15 15	2 2 2	2 2 2	0,0 0,0 0,0	0,0 0,0 0,0							
12	Iniz. Mezz. Finale	14 14 14	2 0 3	14 14 14	1 1 1	14 14 14	0 0 0	10 10 10	6 6 6	15 15 15	2 2 2	2 2 2	0,0 0,0 0,0	0,0 0,0 0,0							
13	Iniz. Mezz. Finale	14 14 14	2 0 2	14 14 14	0 1 0	14 14 14	0 0 0	10 10 10	6 6 6	15 15 15	2 2 2	2 2 2	0,0 0,0 0,0	0,0 0,0 0,0							
14	Iniz. Mezz. Finale	14 14 14	3 0 3	14 14 14	1 1 1	16 14 14	0 0 0	10 10 10	6 6 6	15 15 15	2 2 2	2 2 2	0,0 0,0 0,0	0,0 0,0 2,0							

## DATI ARMATURE TRAVI - SEZIONE RETTANGOLARE - QUOTA: 2 m

## ASTE IN C.A. CON SEZIONE RETTANGOLARE

IDENTIFICATIVO		ARMATURE DI INPUT											AGGIUNTIVE		RINFORZO IN FRP						
Asta Num.	Concio	FiSp mm	NFer Sup.	FiSu mm	NFer Inf.	FiIn mm	NFer Par.	FiPa mm	FiSt mm	PsSt cm	Brac DirX	Brac DirY	AfSup cmq	AfInf cmq	Mat. N.ro	Lung cm	Rag. mm	Num Avv	Nod Con	Condiz. Ambient	SpSol cm
15	Iniz.	14	3	14	1	14	0	10	6	15	2	2	0,0	0,0							
	Mezz.	14	0	14	1	14	0	10	6	15	2	2	0,0	0,0							
	Finale	14	3	14	1	14	0	10	6	15	2	2	0,0	0,0							
16	Iniz.	14	3	14	1	14	0	10	6	15	2	2	0,0	0,0							
	Mezz.	14	0	14	1	14	0	10	6	15	2	2	0,0	0,0							
	Finale	14	2	14	1	14	0	10	6	15	2	2	0,0	0,0							
17	Iniz.	14	2	14	1	14	0	10	6	15	2	2	0,0	0,0							
	Mezz.	14	0	14	1	14	0	10	6	15	2	2	0,0	0,0							
	Finale	14	2	14	1	14	0	10	6	15	2	2	0,0	0,0							
18	Iniz.	14	2	14	1	14	0	10	6	15	2	2	0,0	0,0							
	Mezz.	14	0	14	1	14	0	10	6	15	2	2	0,0	0,0							
	Finale	14	3	14	1	14	0	10	6	15	2	2	0,0	0,0							
19	Iniz.	14	3	14	1	14	0	10	6	15	2	2	0,0	0,0							
	Mezz.	14	0	14	1	14	0	10	6	15	2	2	0,0	0,0							
	Finale	14	3	14	1	14	0	10	6	15	2	2	0,0	0,0							
20	Iniz.	14	3	14	1	14	0	10	6	15	2	2	0,0	0,0							
	Mezz.	14	0	14	1	14	0	10	6	15	2	2	0,0	0,0							
	Finale	14	3	14	1	14	0	10	6	15	2	2	0,0	0,0							
22	Iniz.	14	3	14	1	16	0	10	6	15	2	2	0,0	0,0							
	Mezz.	14	0	14	1	14	0	10	6	15	2	2	0,0	0,0							
	Finale	14	3	14	1	14	0	10	6	15	2	2	0,0	0,0							
23	Iniz.	14	3	14	0	14	0	10	6	15	2	2	0,0	0,0							
	Mezz.	14	0	14	1	14	0	10	6	15	2	2	0,0	0,0							
	Finale	14	2	14	1	14	0	10	6	15	2	2	0,0	0,0							
24	Iniz.	14	2	14	0	14	0	10	6	15	2	2	0,0	0,0							
	Mezz.	14	0	14	1	14	0	10	6	15	2	2	0,0	0,0							
	Finale	14	3	14	0	14	0	10	6	15	2	2	0,0	0,0							
25	Iniz.	14	3	14	0	14	0	10	6	15	2	2	0,0	0,0							
	Mezz.	14	0	14	1	14	0	10	6	15	2	2	0,0	0,0							
	Finale	14	2	14	0	14	0	10	6	15	2	2	0,0	0,0							
26	Iniz.	14	3	14	0	14	0	10	6	15	2	2	0,0	0,0							
	Mezz.	14	0	14	1	14	0	10	6	15	2	2	0,0	0,0							
	Finale	14	4	14	0	14	0	10	6	15	2	2	0,0	0,0							
27	Iniz.	14	4	14	0	14	0	10	6	15	2	2	0,0	0,0							
	Mezz.	14	0	14	1	14	0	10	6	15	2	2	0,0	0,0							
	Finale	14	3	14	0	14	0	10	6	15	2	2	0,0	0,0							
28	Iniz.	14	3	14	0	14	0	10	6	15	2	2	0,0	0,0							
	Mezz.	14	0	14	1	14	0	10	6	15	2	2	0,0	0,0							
	Finale	14	2	14	0	14	0	10	6	15	2	2	0,0	0,0							
29	Iniz.	14	3	14	0	14	0	10	6	15	2	2	0,0	0,0							
	Mezz.	14	0	14	1	14	0	10	6	15	2	2	0,0	0,0							
	Finale	14	3	14	0	14	0	10	6	15	2	2	0,0	0,0							
30	Iniz.	14	3	14	0	14	0	10	6	15	2	2	0,0	0,0							
	Mezz.	14	0	14	1	14	0	10	6	15	2	2	0,0	0,0							
	Finale	14	4	14	0	14	0	10	6	15	2	2	0,0	0,0							
31	Iniz.	14	4	14	0	14	0	10	6	15	2	2	0,0	0,0							
	Mezz.	14	0	14	1	14	0	10	6	15	2	2	0,0	0,0							
	Finale	14	3	14	0	14	0	10	6	15	2	2	0,0	0,0							
32	Iniz.	14	2	14	0	14	0	10	6	15	2	2	0,0	0,0							
	Mezz.	14	0	14	1	14	0	10	6	15	2	2	0,0	0,0							
	Finale	14	3	14	0	14	0	10	6	15	2	2	0,0	0,0							
33	Iniz.	14	3	14	0	14	0	10	6	15	2	2	0,0	0,0							
	Mezz.	14	0	14	1	14	0	10	6	15	2	2	0,0	0,0							
	Finale	14	2	14	0	14	0	10	6	15	2	2	0,0	0,0							

## DATI ARMATURE TRAVI - SEZIONE RETTANGOLARE - QUOTA: 2 m

## ASTE IN C.A. CON SEZIONE RETTANGOLARE

IDENTIFICATIVO		ARMATURE DI INPUT											AGGIUNTIVE		RINFORZO IN FRP						
Asta Num.	Concio	FiSp mm	NFer Sup.	FiSu mm	NFer Inf.	Filn mm	NFer Par.	FiPa mm	FiSt mm	PsSt cm	Brac DirX	Brac DirY	AfSup cmq	AfInf cmq	Mat. N.ro	Lung cm	Rag. mm	Num Avv	Nod Con	Condiz. Ambient	SpSol cm
34	Iniz.	14	3	14	1	16	0	10	6	15	2	2	0,0	0,0							
	Mezz.	14	0	14	1	14	0	10	6	15	2	2	0,0	0,0							
	Finale	14	3	14	1	14	0	10	6	15	2	2	0,0	0,0							
35	Iniz.	14	3	14	0	14	0	10	6	15	2	2	0,0	0,0							
	Mezz.	14	0	14	1	14	0	10	6	15	2	2	0,0	0,0							
	Finale	14	2	14	1	14	0	10	6	15	2	2	0,0	0,0							
36	Iniz.	14	5	14	2	14	1	10	6	15	2	2	0,0	0,0							
	Mezz.	14	0	14	3	14	1	10	6	15	2	2	0,0	0,0							
	Finale	14	5	14	2	14	1	10	6	15	2	2	0,0	0,0							
37	Iniz.	14	5	14	2	14	1	10	6	15	2	2	0,0	0,0							
	Mezz.	14	0	14	3	14	1	10	6	15	2	2	0,0	0,0							
	Finale	14	5	14	2	14	1	10	6	15	2	2	0,0	0,0							

## DATI ARMATURE PILASTRI - SEZIONE RETTANGOLARE - QUOTA: 4.95 m

## ASTE IN C.A. CON SEZIONE RETTANGOLARE

IDENTIFICATIVO		ARMATURE DI INPUT											AGGIUNTIVE		RINFORZO IN FRP						
Asta Num.	Concio	FiSp mm	NFer Sup.	FiSu mm	NFer Inf.	Filn mm	NFer Par.	FiPa mm	FiSt mm	PsSt cm	Brac DirX	Brac DirY	AfSup cmq	AfInf cmq	Mat. N.ro	Lung cm	Rag. mm	Num Avv	Nod Con	Condiz. Ambient	SpSol cm
1	Iniz.	14	1	14	1	14	1	14	6	20	2	2	0,0	0,0							
	Mezz.																				
	Finale	14	1	14	1	14	1	14	6	20	2	2	0,0	0,0							
2	Iniz.	14	1	14	1	14	1	14	6	20	3	2	0,0	0,0							
	Mezz.																				
	Finale	14	1	14	1	14	1	14	6	20	3	2	0,0	0,0							
3	Iniz.	14	1	14	1	14	1	14	6	20	2	2	0,0	0,0							
	Mezz.																				
	Finale	14	1	14	1	14	1	14	6	20	2	2	0,0	0,0							
4	Iniz.	14	1	14	1	14	1	14	6	20	2	2	0,0	0,0							
	Mezz.																				
	Finale	14	1	14	1	14	1	14	6	20	2	2	0,0	0,0							
5	Iniz.	14	1	14	1	14	1	14	6	20	2	2	0,0	0,0							
	Mezz.																				
	Finale	14	1	14	1	14	1	14	6	20	2	2	0,0	0,0							
6	Iniz.	14	1	14	1	14	1	14	6	20	2	2	0,0	0,0							
	Mezz.																				
	Finale	14	1	14	1	14	1	14	6	20	2	2	0,0	0,0							
7	Iniz.	14	1	14	1	14	1	14	6	20	2	2	0,0	0,0							
	Mezz.																				
	Finale	14	1	14	1	14	1	14	6	20	2	2	0,0	0,0							
8	Iniz.	14	1	14	1	14	1	14	6	20	2	2	0,0	0,0							
	Mezz.																				
	Finale	14	1	14	1	14	1	14	6	20	2	2	0,0	0,0							
9	Iniz.	14	1	14	1	14	1	14	6	20	2	2	0,0	0,0							
	Mezz.																				
	Finale	14	1	14	1	14	1	14	6	20	2	2	0,0	0,0							
10	Iniz.	14	2	14	2	14	3	14	6	20	4	2	0,0	0,0	1	100	20	2	SI	Interna	0
	Mezz.																				
	Finale	14	2	14	2	14	3	14	6	20	4	2	0,0	0,0	1	100	20	2	SI	Interna	0
11	Iniz.	14	1	14	1	14	1	14	6	20	2	2	0,0	0,0							
	Mezz.																				
	Finale	14	1	14	1	14	1	14	6	20	2	2	0,0	0,0							
12	Iniz.	14	1	14	1	14	1	14	6	20	2	2	0,0	0,0							
	Mezz.																				
	Finale	14	1	14	1	14	1	14	6	20	2	2	0,0	0,0							
13	Iniz.	14	2	14	2	14	3	14	6	20	4	2	0,0	0,0	1	100	20	2	SI	Interna	0
	Mezz.																				
	Finale	14	2	14	2	14	3	14	6	20	4	2	0,0	0,0	1	100	20	2	SI	Interna	0

Footer Utente. Esempio: Studio Tecnico xxx

SOFTWARE: C.D.S. - Full - Rel.2021 - Lic. Nro: 17145

## DATI ARMATURE PILASTRI - SEZIONE RETTANGOLARE - QUOTA: 4.95 m

## ASTE IN C.A. CON SEZIONE RETTANGOLARE

IDENTIFICATIVO		ARMATURE DI INPUT											AGGIUNTIVE		RINFORZO IN FRP						
Asta Num.	Concio	FiSp mm	NFer Sup.	FiSu mm	NFer Inf.	FiIn mm	NFer Par.	FiPa mm	FiSt mm	PsSt cm	Brac DirX	Brac DirY	AfSup cmq	AfInf cmq	Mat. N.ro	Lung cm	Rag. mm	Num Avv	Nod Con	Condiz. Ambient	SpSol cm
14	Iniz.	14	1	14	1	14	1	14	6	20	2	2	0,0	0,0							
	Mezz.																				
	Finale	14	1	14	1	14	1	14	6	20	2	2	0,0	0,0							
15	Iniz.	14	1	14	1	14	1	14	6	20	2	2	0,0	0,0							
	Mezz.																				
	Finale	14	1	14	1	14	1	14	6	20	2	2	0,0	0,0							
16	Iniz.	14	1	14	1	14	1	14	6	20	2	2	0,0	0,0							
	Mezz.																				
	Finale	14	1	14	1	14	1	14	6	20	2	2	0,0	0,0							
17	Iniz.	14	1	14	1	14	1	14	6	20	2	2	0,0	0,0							
	Mezz.																				
	Finale	14	1	14	1	14	1	14	6	20	2	2	0,0	0,0							
18	Iniz.	14	1	14	1	14	1	14	6	20	2	2	0,0	0,0							
	Mezz.																				
	Finale	14	1	14	1	14	1	14	6	20	2	2	0,0	0,0							
19	Iniz.	14	1	14	1	14	1	14	6	20	2	2	0,0	0,0							
	Mezz.																				
	Finale	14	1	14	1	14	1	14	6	20	2	2	0,0	0,0							
20	Iniz.	14	1	14	1	14	1	14	6	20	2	2	0,0	0,0							
	Mezz.																				
	Finale	14	1	14	1	14	1	14	6	20	2	2	0,0	0,0							
21	Iniz.	14	1	14	1	14	1	14	6	20	2	2	0,0	0,0							
	Mezz.																				
	Finale	14	1	14	1	14	1	14	6	20	2	2	0,0	0,0							
22	Iniz.	14	1	14	1	14	1	14	6	20	2	2	0,0	0,0							
	Mezz.																				
	Finale	14	1	14	1	14	1	14	6	20	2	2	0,0	0,0							
23	Iniz.	14	1	14	1	14	1	14	6	20	2	2	0,0	0,0							
	Mezz.																				
	Finale	14	1	14	1	14	1	14	6	20	2	2	0,0	0,0							
24	Iniz.	14	1	14	1	14	1	14	6	20	2	2	0,0	0,0							
	Mezz.																				
	Finale	14	1	14	1	14	1	14	6	20	2	2	0,0	0,0							

## DATI ARMATURE TRAVI - SEZIONE RETTANGOLARE - QUOTA: 4.95 m

## ASTE IN C.A. CON SEZIONE RETTANGOLARE

IDENTIFICATIVO		ARMATURE DI INPUT											AGGIUNTIVE		RINFORZO IN FRP						
Asta Num.	Concio	FiSp mm	NFer Sup.	FiSu mm	NFer Inf.	FiIn mm	NFer Par.	FiPa mm	FiSt mm	PsSt cm	Brac DirX	Brac DirY	AfSup cmq	AfInf cmq	Mat. N.ro	Lung cm	Rag. mm	Num Avv	Nod Con	Condiz. Ambient	SpSol cm
1	Iniz.	14	2	14	1	14	0	10	6	15	2	2	0,0	0,0							
	Mezz.	14	0	14	1	14	0	10	6	15	2	2	0,0	0,0							
	Finale	14	3	14	0	14	0	10	6	15	2	2	0,0	0,0							
2	Iniz.	14	3	14	0	14	0	10	6	15	2	2	0,0	0,0							
	Mezz.	14	0	14	1	14	0	10	6	15	2	2	0,0	0,0							
	Finale	14	3	14	1	14	0	10	6	15	2	2	0,0	0,0							
3	Iniz.	14	3	14	1	14	0	10	6	15	2	2	0,0	0,0							
	Mezz.	14	0	14	1	14	0	10	6	15	2	2	0,0	0,0							
	Finale	14	3	14	1	14	0	10	6	15	2	2	0,0	0,0							
4	Iniz.	14	3	14	1	14	0	10	6	15	2	2	0,0	0,0							
	Mezz.	14	0	14	1	14	0	10	6	15	2	2	0,0	0,0							
	Finale	14	3	14	1	14	0	10	6	15	2	2	0,0	0,0							
5	Iniz.	14	3	14	1	14	0	10	6	15	2	2	0,0	0,0							
	Mezz.	14	0	14	1	14	0	10	6	15	2	2	0,0	0,0							
	Finale	14	3	14	1	14	0	10	6	15	2	2	0,0	0,0							
6	Iniz.	14	3	14	1	14	0	10	6	15	2	2	0,0	0,0							

## DATI ARMATURE TRAVI - SEZIONE RETTANGOLARE - QUOTA: 4.95 m

## ASTE IN C.A. CON SEZIONE RETTANGOLARE

IDENTIFICATIVO		ARMATURE DI INPUT											AGGIUNTIVE		RINFORZO IN FRP						
Asta Num.	Concio	FiSp mm	NFer Sup.	FiSu mm	NFer Inf.	Filn mm	NFer Par.	FiPa mm	FiSt mm	PsSt cm	Brac DirX	Brac DirY	AfSup cmq	AfInf cmq	Mat. N.ro	Lung cm	Rag. mm	Num Avv	Nod Con	Condiz. Ambient	SpSol cm
	Mezz.	14	0	14	1	14	0	10	6	15	2	2	0,0	0,0							
	Finale	14	3	14	0	14	0	10	6	15	2	2	0,0	0,0							
7	Iniz.	14	3	14	1	14	0	10	6	15	2	2	0,0	0,0							
	Mezz.	14	0	14	1	14	0	10	6	15	2	2	0,0	0,0							
	Finale	14	3	14	0	14	0	10	6	15	2	2	0,0	0,0							
8	Iniz.	14	2	14	0	14	0	10	6	15	2	2	0,0	0,0							
	Mezz.	14	0	14	1	14	0	10	6	15	2	2	0,0	0,0							
	Finale	14	2	14	0	14	0	10	6	15	2	2	0,0	0,0							
9	Iniz.	14	2	14	0	14	0	10	6	15	2	2	0,0	0,0							
	Mezz.	14	0	14	1	14	0	10	6	15	2	2	0,0	0,0							
	Finale	14	2	14	0	14	0	10	6	15	2	2	0,0	0,0							
10	Iniz.	14	3	14	0	14	0	10	6	15	2	2	0,0	0,0							
	Mezz.	14	0	14	1	14	0	10	6	15	2	2	0,0	0,0							
	Finale	14	3	14	0	14	0	10	6	15	2	2	0,0	0,0							
11	Iniz.	14	2	14	0	14	0	10	6	15	2	2	0,0	0,0							
	Mezz.	14	0	14	1	14	0	10	6	15	2	2	0,0	0,0							
	Finale	14	2	14	0	14	0	10	6	15	2	2	0,0	0,0							
12	Iniz.	14	4	14	2	14	0	10	6	15	2	2	0,0	0,0							
	Mezz.	14	2	14	2	14	0	10	6	15	2	2	0,0	0,0							
	Finale	14	2	14	1	14	0	10	6	15	2	2	0,0	0,0							
13	Iniz.	14	2	14	0	14	0	10	6	15	2	2	0,0	0,0							
	Mezz.	14	0	14	1	14	0	10	6	15	2	2	0,0	0,0							
	Finale	14	2	14	0	14	0	10	6	15	2	2	0,0	0,0							
14	Iniz.	14	2	14	0	14	0	10	6	15	2	2	0,0	0,0							
	Mezz.	14	0	14	1	14	0	10	6	15	2	2	0,0	0,0							
	Finale	14	2	14	0	14	0	10	6	15	2	2	0,0	0,0							
15	Iniz.	14	2	14	0	14	0	10	6	15	2	2	0,0	0,0							
	Mezz.	14	0	14	1	14	0	10	6	15	2	2	0,0	0,0							
	Finale	14	2	14	0	14	0	10	6	15	2	2	0,0	0,0							
16	Iniz.	14	2	14	0	14	0	10	6	15	2	2	0,0	0,0							
	Mezz.	14	0	14	1	14	0	10	6	15	2	2	0,0	0,0							
	Finale	14	2	14	0	14	0	10	6	15	2	2	0,0	0,0							
17	Iniz.	14	2	14	0	14	0	10	6	15	2	2	0,0	0,0							
	Mezz.	14	0	14	1	14	0	10	6	15	2	2	0,0	0,0							
	Finale	14	2	14	0	14	0	10	6	15	2	2	0,0	0,0							
18	Iniz.	14	2	14	0	14	0	10	6	15	2	2	0,0	0,0							
	Mezz.	14	0	14	1	14	0	10	6	15	2	2	0,0	0,0							
	Finale	14	2	14	0	14	0	10	6	15	2	2	0,0	0,0							
19	Iniz.	14	2	14	0	14	0	10	6	15	2	2	0,0	0,0							
	Mezz.	14	0	14	1	14	0	10	6	15	2	2	0,0	0,0							
	Finale	14	2	14	0	14	0	10	6	15	2	2	0,0	0,0							
20	Iniz.	14	2	14	0	14	0	10	6	15	2	2	0,0	0,0							
	Mezz.	14	0	14	1	14	0	10	6	15	2	2	0,0	0,0							
	Finale	14	2	14	0	14	0	10	6	15	2	2	0,0	0,0							
21	Iniz.	14	2	14	0	14	0	10	6	15	2	2	0,0	0,0							
	Mezz.	14	0	14	1	14	0	10	6	15	2	2	0,0	0,0							
	Finale	14	2	14	0	14	0	10	6	15	2	2	0,0	0,0							
22	Iniz.	14	4	14	2	14	0	10	6	15	2	2	0,0	0,0							
	Mezz.	14	0	14	2	14	0	10	6	15	2	2	0,0	0,0							
	Finale	14	4	14	1	14	0	10	6	15	2	2	0,0	0,0							
23	Iniz.	14	4	14	1	14	0	10	6	15	2	2	0,0	0,0							
	Mezz.	14	0	14	1	14	0	10	6	15	2	2	0,0	0,0							
	Finale	14	3	14	1	14	0	10	6	15	2	2	0,0	0,0							
24	Iniz.	14	4	14	2	14	0	10	6	15	2	2	0,0	0,0							
	Mezz.	14	2	14	2	14	0	10	6	15	2	2	0,0	0,0							

## DATI ARMATURE TRAVI - SEZIONE RETTANGOLARE - QUOTA: 4.95 m

## ASTE IN C.A. CON SEZIONE RETTANGOLARE

IDENTIFICATIVO		ARMATURE DI INPUT												AGGIUNTIVE		RINFORZO IN FRP						
Asta Num.	Concio	FiSp mm	NFer Sup.	FiSu mm	NFer Inf.	Filn mm	NFer Par.	FiPa mm	FiSt mm	PsSt cm	Brac DirX	Brac DirY	AfSup cmq	AfInf cmq	Mat. N.ro	Lung cm	Rag. mm	Num Avv	Nod Con	Condiz. Ambient	SpSol cm	
	Finale	14	2	14	1	14	0	10	6	15	2	2	0,0	0,0								
25	Iniz.	14	3	14	0	14	0	10	6	15	2	2	0,0	0,0								
	Mezz.	14	0	14	1	14	0	10	6	15	2	2	0,0	0,0								
	Finale	14	3	14	0	14	0	10	6	15	2	2	0,0	0,0								
26	Iniz.	14	3	14	0	14	0	10	6	15	2	2	0,0	0,0								
	Mezz.	14	0	14	1	14	0	10	6	15	2	2	0,0	0,0								
	Finale	14	3	14	0	14	0	10	6	15	2	2	0,0	0,0								
27	Iniz.	14	2	14	0	14	0	10	6	15	2	2	0,0	0,0								
	Mezz.	14	0	14	1	14	0	10	6	15	2	2	0,0	0,0								
	Finale	14	2	14	0	14	0	10	6	15	2	2	0,0	0,0								
28	Iniz.	14	4	14	2	14	0	10	6	15	2	2	0,0	0,0								
	Mezz.	14	2	14	2	14	0	10	6	15	2	2	0,0	0,0								
	Finale	14	2	14	1	14	0	10	6	15	2	2	0,0	0,0								
29	Iniz.	14	4	14	2	14	0	10	6	15	2	2	0,0	0,0								
	Mezz.	14	2	14	2	14	0	10	6	15	2	2	0,0	0,0								
	Finale	14	2	14	1	14	0	10	6	15	2	2	0,0	0,0								
30	Iniz.	14	3	14	0	14	0	10	6	15	2	2	0,0	0,0								
	Mezz.	14	0	14	1	14	0	10	6	15	2	2	0,0	0,0								
	Finale	14	3	14	0	14	0	10	6	15	2	2	0,0	0,0								
31	Iniz.	14	2	14	0	14	0	10	6	15	2	2	0,0	0,0								
	Mezz.	14	0	14	1	14	0	10	6	15	2	2	0,0	0,0								
	Finale	14	2	14	0	14	0	10	6	15	2	2	0,0	0,0								
32	Iniz.	14	4	14	2	14	0	10	6	15	2	2	0,0	0,0								
	Mezz.	14	2	14	2	14	0	10	6	15	2	2	0,0	0,0								
	Finale	14	2	14	1	14	0	10	6	15	2	2	0,0	0,0								
33	Iniz.	14	3	14	0	14	0	10	6	15	2	2	0,0	0,0								
	Mezz.	14	0	14	1	14	0	10	6	15	2	2	0,0	0,0								
	Finale	14	3	14	0	14	0	10	6	15	2	2	0,0	0,0								
34	Iniz.	14	4	14	2	14	0	10	6	15	2	2	0,0	0,0								
	Mezz.	14	0	14	2	14	0	10	6	15	2	2	0,0	0,0								
	Finale	14	4	14	1	14	0	10	6	15	2	2	0,0	0,0								
35	Iniz.	14	4	14	1	14	0	10	6	15	2	2	0,0	0,0								
	Mezz.	14	0	14	1	14	0	10	6	15	2	2	0,0	0,0								
	Finale	14	3	14	1	14	0	10	6	15	2	2	0,0	0,0								
36	Iniz.	14	2	14	1	14	4	10	6	15	2	2	0,0	0,0								
	Mezz.	14	1	14	2	14	4	10	6	15	2	2	0,0	0,0								
	Finale	14	2	14	1	14	4	10	6	15	2	2	0,0	0,0								
37	Iniz.	14	2	14	1	14	4	10	6	15	2	2	0,0	0,0								
	Mezz.	14	1	14	2	14	4	10	6	15	2	2	0,0	0,0								
	Finale	14	2	14	1	14	4	10	6	15	2	2	0,0	0,0								

## DATI ARMATURE PILASTRI - SEZIONE RETTANGOLARE - QUOTA: 7.9 m

## ASTE IN C.A. CON SEZIONE RETTANGOLARE

IDENTIFICATIVO		ARMATURE DI INPUT												AGGIUNTIVE		RINFORZO IN FRP							
Asta Num.	Concio	FiSp mm	NFer Sup.	FiSu mm	NFer Inf.	Filn mm	NFer Par.	FiPa mm	FiSt mm	PsSt cm	Brac DirX	Brac DirY	AfSup cmq	Aflnf cmq	Mat. N.ro	Lung cm	Rag. mm	Num Avv	Nod Con	Condiz. Ambient	SpSol cm		
1	Iniz. Mezz. Finale	14	1	14	1	14	1	14	6	20	2	2	0,0	0,0									
		14	1	14	1	14	1	14	6	20	2	2	0,0	0,0									
2	Iniz. Mezz. Finale	14	1	14	1	14	1	14	6	20	2	2	0,0	0,0									
		14	1	14	1	14	1	14	6	20	2	2	0,0	0,0									
3	Iniz. Mezz. Finale	14	1	14	1	14	1	14	6	20	2	2	0,0	0,0									
		14	1	14	1	14	1	14	6	20	2	2	0,0	0,0									

## DATI ARMATURE PILASTRI - SEZIONE RETTANGOLARE - QUOTA: 7.9 m

## ASTE IN C.A. CON SEZIONE RETTANGOLARE

IDENTIFICATIVO		ARMATURE DI INPUT											AGGIUNTIVE		RINFORZO IN FRP						
Asta Num.	Concio	FiSp mm	NFer Sup.	FiSu mm	NFer Inf.	FiIn mm	NFer Par.	FiPa mm	FiSt mm	PsSt cm	Brac DirX	Brac DirY	AfSup cmq	AfInf cmq	Mat. N.ro	Lung cm	Rag. mm	Num Avv	Nod Con	Condiz. Ambient	SpSol cm
4	Iniz.	14	1	14	1	14	1	14	6	20	2	2	0,0	0,0							
	Mezz. Finale	14	1	14	1	14	1	14	6	20	2	2	0,0	0,0							
5	Iniz.	14	1	14	1	14	1	14	6	20	2	2	0,0	0,0							
	Mezz. Finale	14	1	14	1	14	1	14	6	20	2	2	0,0	0,0							
6	Iniz.	14	1	14	1	14	1	14	6	20	2	2	0,0	0,0							
	Mezz. Finale	14	1	14	1	14	1	14	6	20	2	2	0,0	0,0							
7	Iniz.	14	1	14	1	14	1	14	6	20	2	2	0,0	0,0							
	Mezz. Finale	14	1	14	1	14	1	14	6	20	2	2	0,0	0,0							
8	Iniz.	14	1	14	1	14	1	14	6	20	2	2	0,0	0,0							
	Mezz. Finale	14	1	14	1	14	1	14	6	20	2	2	0,0	0,0							
9	Iniz.	14	1	14	1	14	1	14	6	20	2	2	0,0	0,0							
	Mezz. Finale	14	1	14	1	14	1	14	6	20	2	2	0,0	0,0							
10	Iniz.	14	2	14	2	14	3	14	6	20	4	2	0,0	0,0							
	Mezz. Finale	14	2	14	2	14	3	14	6	20	4	2	0,0	0,0							
11	Iniz.	14	1	14	1	14	1	14	6	20	2	2	0,0	0,0							
	Mezz. Finale	14	1	14	1	14	1	14	6	20	2	2	0,0	0,0							
12	Iniz.	14	1	14	1	14	1	14	6	20	2	2	0,0	0,0							
	Mezz. Finale	14	1	14	1	14	1	14	6	20	2	2	0,0	0,0							
13	Iniz.	14	2	14	2	14	3	14	6	20	4	2	0,0	0,0							
	Mezz. Finale	14	2	14	2	14	3	14	6	20	4	2	0,0	0,0							
14	Iniz.	14	1	14	1	14	1	14	6	20	2	2	0,0	0,0							
	Mezz. Finale	14	1	14	1	14	1	14	6	20	2	2	0,0	0,0							
15	Iniz.	14	1	14	1	14	1	14	6	20	2	2	0,0	0,0							
	Mezz. Finale	14	1	14	1	14	1	14	6	20	2	2	0,0	0,0							
16	Iniz.	14	1	14	1	14	1	14	6	20	2	2	0,0	0,0							
	Mezz. Finale	14	1	14	1	14	1	14	6	20	2	2	0,0	0,0							
17	Iniz.	14	1	14	1	14	1	14	6	20	2	2	0,0	0,0							
	Mezz. Finale	14	1	14	1	14	1	14	6	20	2	2	0,0	0,0							
18	Iniz.	14	1	14	1	14	1	14	6	20	2	2	0,0	0,0							
	Mezz. Finale	14	1	14	1	14	1	14	6	20	2	2	0,0	0,0							
19	Iniz.	14	1	14	1	14	1	14	6	20	2	2	0,0	0,0							
	Mezz. Finale	14	1	14	1	14	1	14	6	20	2	2	0,0	0,0							
20	Iniz.	14	1	14	1	14	1	14	6	20	2	2	0,0	0,0							
	Mezz. Finale	14	1	14	1	14	1	14	6	20	2	2	0,0	0,0							
21	Iniz.	14	1	14	1	14	1	14	6	20	2	2	0,0	0,0							
	Mezz. Finale	14	1	14	1	14	1	14	6	20	2	2	0,0	0,0							
22	Iniz.	14	1	14	1	14	1	14	6	20	2	2	0,0	0,0							

## DATI ARMATURE PILASTRI - SEZIONE RETTANGOLARE - QUOTA: 7.9 m

## ASTE IN C.A. CON SEZIONE RETTANGOLARE

IDENTIFICATIVO		ARMATURE DI INPUT											AGGIUNTIVE		RINFORZO IN FRP						
Asta Num.	Concio	FiSp mm	NFer Sup.	FiSu mm	NFer Inf.	Filn mm	NFer Par.	FiPa mm	FiSt mm	PsSt cm	Brac DirX	Brac DirY	AfSup cmq	Aflnf cmq	Mat. N.ro	Lung cm	Rag. mm	Num Avv	Nod Con	Condiz. Ambient	SpSol cm
	Mezz. Finale	14	1	14	1	14	1	14	6	20	2	2	0,0	0,0							
23	Iniz. Mezz. Finale	14 14 14	1 1 1	14 14 14	1 1 1	14 14 14	1 1 1	14 14 14	6 6 6	20 20 20	2 2 2	2 2 2	0,0 0,0 0,0	0,0 0,0 0,0							
24	Iniz. Mezz. Finale	14 14 14	1 1 1	14 14 14	1 1 1	14 14 14	1 1 1	14 14 14	6 6 6	20 20 20	2 2 2	2 2 2	0,0 0,0 0,0	0,0 0,0 0,0							

## DATI ARMATURE TRAVI - SEZIONE RETTANGOLARE - QUOTA: 7.9 m

## ASTE IN C.A. CON SEZIONE RETTANGOLARE

IDENTIFICATIVO		ARMATURE DI INPUT											AGGIUNTIVE		RINFORZO IN FRP						
Asta Num.	Concio	FiSp mm	NFer Sup.	FiSu mm	NFer Inf.	Filn mm	NFer Par.	FiPa mm	FiSt mm	PsSt cm	Brac DirX	Brac DirY	AfSup cmq	Aflnf cmq	Mat. N.ro	Lung cm	Rag. mm	Num Avv	Nod Con	Condiz. Ambient	SpSol cm
1	Iniz. Mezz. Finale	14 14 14	2 0 3	14 14 14	1 1 0	14 14 14	0 0 0	10 10 10	6 6 6	15 15 15	2 2 2	2 2 2	0,0 0,0 0,0	0,0 0,0 0,0							
2	Iniz. Mezz. Finale	14 14 14	3 0 3	14 14 14	0 1 1	14 14 14	0 0 0	10 10 10	6 6 6	15 15 15	2 2 2	2 2 2	0,0 0,0 0,0	0,0 0,0 0,0							
3	Iniz. Mezz. Finale	14 14 14	3 0 3	14 14 14	1 1 1	14 14 14	0 0 0	10 10 10	6 6 6	15 15 15	2 2 2	2 2 2	0,0 0,0 0,0	0,0 0,0 0,0							
5	Iniz. Mezz. Finale	14 14 14	3 0 3	14 14 14	1 1 1	14 14 14	0 0 0	10 10 10	6 6 6	15 15 15	2 2 2	2 2 2	0,0 0,0 0,0	0,0 0,0 0,0							
6	Iniz. Mezz. Finale	14 14 14	3 0 3	14 14 14	1 1 0	14 14 14	0 0 0	10 10 10	6 6 6	15 15 15	2 2 2	2 2 2	0,0 0,0 0,0	0,0 0,0 0,0							
7	Iniz. Mezz. Finale	14 14 14	3 0 3	14 14 14	1 1 0	14 14 14	0 0 0	10 10 10	6 6 6	15 15 15	2 2 2	2 2 2	0,0 0,0 0,0	0,0 0,0 0,0							
8	Iniz. Mezz. Finale	14 14 14	2 0 2	14 14 14	0 1 0	14 14 14	0 0 0	10 10 10	6 6 6	15 15 15	2 2 2	2 2 2	0,0 0,0 0,0	0,0 0,0 0,0							
9	Iniz. Mezz. Finale	14 14 14	2 0 2	14 14 14	0 1 0	14 14 14	0 0 0	10 10 10	6 6 6	15 15 15	2 2 2	2 2 2	0,0 0,0 0,0	0,0 0,0 0,0							
10	Iniz. Mezz. Finale	14 14 14	3 0 3	14 14 14	0 1 0	14 14 14	0 0 0	10 10 10	6 6 6	15 15 15	2 2 2	2 2 2	0,0 0,0 0,0	0,0 0,0 0,0							
11	Iniz. Mezz. Finale	14 14 14	2 0 2	14 14 14	0 1 0	14 14 14	0 0 0	10 10 10	6 6 6	15 15 15	2 2 2	2 2 2	0,0 0,0 0,0	0,0 0,0 0,0							
12	Iniz. Mezz. Finale	14 14 14	4 2 2	14 14 14	2 2 1	14 14 14	0 0 0	10 10 10	6 6 6	15 15 15	2 2 2	2 2 2	0,0 0,0 0,0	0,0 0,0 0,0							
13	Iniz. Mezz. Finale	14 14 14	2 0 2	14 14 14	0 1 0	14 14 14	0 0 0	10 10 10	6 6 6	15 15 15	2 2 2	2 2 2	0,0 0,0 0,0	0,0 0,0 0,0							
14	Iniz. Mezz. Finale	14 14 14	2 0 2	14 14 14	0 1 0	14 14 14	0 0 0	10 10 10	6 6 6	15 15 15	2 2 2	2 2 2	0,0 0,0 0,0	0,0 0,0 0,0							
15	Iniz. Mezz. Finale	14 14 14	2 0 2	14 14 14	0 1 0	14 14 14	0 0 0	10 10 10	6 6 6	15 15 15	2 2 2	2 2 2	0,0 0,0 0,0	0,0 0,0 0,0							

## DATI ARMATURE TRAVI - SEZIONE RETTANGOLARE - QUOTA: 7.9 m

## ASTE IN C.A. CON SEZIONE RETTANGOLARE

IDENTIFICATIVO		ARMATURE DI INPUT											AGGIUNTIVE		RINFORZO IN FRP						
Asta Num.	Concio	FiSp mm	NFer Sup.	FiSu mm	NFer Inf.	FiIn mm	NFer Par.	FiPa mm	FiSt mm	PsSt cm	Brac DirX	Brac DirY	AfSup cmq	AfInf cmq	Mat. N.ro	Lung cm	Rag. mm	Num Avv	Nod Con	Condiz. Ambient	SpSol cm
16	Iniz.	14	2	14	0	14	0	10	6	15	2	2	0,0	0,0							
	Mezz.	14	0	14	1	14	0	10	6	15	2	2	0,0	0,0							
	Finale	14	2	14	0	14	0	10	6	15	2	2	0,0	0,0							
17	Iniz.	14	2	14	0	14	0	10	6	15	2	2	0,0	0,0							
	Mezz.	14	0	14	1	14	0	10	6	15	2	2	0,0	0,0							
	Finale	14	2	14	0	14	0	10	6	15	2	2	0,0	0,0							
18	Iniz.	14	2	14	0	14	0	10	6	15	2	2	0,0	0,0							
	Mezz.	14	0	14	1	14	0	10	6	15	2	2	0,0	0,0							
	Finale	14	2	14	0	14	0	10	6	15	2	2	0,0	0,0							
19	Iniz.	14	2	14	0	14	0	10	6	15	2	2	0,0	0,0							
	Mezz.	14	0	14	1	14	0	10	6	15	2	2	0,0	0,0							
	Finale	14	2	14	0	14	0	10	6	15	2	2	0,0	0,0							
20	Iniz.	14	2	14	0	14	0	10	6	15	2	2	0,0	0,0							
	Mezz.	14	0	14	1	14	0	10	6	15	2	2	0,0	0,0							
	Finale	14	2	14	0	14	0	10	6	15	2	2	0,0	0,0							
21	Iniz.	14	2	14	0	14	0	10	6	15	2	2	0,0	0,0							
	Mezz.	14	0	14	1	14	0	10	6	15	2	2	0,0	0,0							
	Finale	14	2	14	0	14	0	10	6	15	2	2	0,0	0,0							
22	Iniz.	14	4	14	2	14	0	10	6	15	2	2	0,0	0,0							
	Mezz.	14	0	14	2	14	0	10	6	15	2	2	0,0	0,0							
	Finale	14	4	14	1	14	0	10	6	15	2	2	0,0	0,0							
23	Iniz.	14	4	14	1	14	0	10	6	15	2	2	0,0	0,0							
	Mezz.	14	0	14	1	14	0	10	6	15	2	2	0,0	0,0							
	Finale	14	3	14	1	14	0	10	6	15	2	2	0,0	0,0							
24	Iniz.	14	4	14	2	14	0	10	6	15	2	2	0,0	0,0							
	Mezz.	14	2	14	2	14	0	10	6	15	2	2	0,0	0,0							
	Finale	14	2	14	1	14	0	10	6	15	2	2	0,0	0,0							
25	Iniz.	14	3	14	0	14	0	10	6	15	2	2	0,0	0,0							
	Mezz.	14	0	14	1	14	0	10	6	15	2	2	0,0	0,0							
	Finale	14	3	14	0	14	0	10	6	15	2	2	0,0	0,0							
26	Iniz.	14	3	14	0	14	0	10	6	15	2	2	0,0	0,0							
	Mezz.	14	0	14	1	14	0	10	6	15	2	2	0,0	0,0							
	Finale	14	3	14	0	14	0	10	6	15	2	2	0,0	0,0							
27	Iniz.	14	2	14	0	14	0	10	6	15	2	2	0,0	0,0							
	Mezz.	14	0	14	1	14	0	10	6	15	2	2	0,0	0,0							
	Finale	14	2	14	0	14	0	10	6	15	2	2	0,0	0,0							
28	Iniz.	14	4	14	2	14	0	10	6	15	2	2	0,0	0,0							
	Mezz.	14	2	14	2	14	0	10	6	15	2	2	0,0	0,0							
	Finale	14	2	14	1	14	0	10	6	15	2	2	0,0	0,0							
29	Iniz.	14	4	14	2	14	0	10	6	15	2	2	0,0	0,0							
	Mezz.	14	2	14	2	14	0	10	6	15	2	2	0,0	0,0							
	Finale	14	2	14	1	14	0	10	6	15	2	2	0,0	0,0							
30	Iniz.	14	3	14	0	14	0	10	6	15	2	2	0,0	0,0							
	Mezz.	14	0	14	1	14	0	10	6	15	2	2	0,0	0,0							
	Finale	14	3	14	0	14	0	10	6	15	2	2	0,0	0,0							
31	Iniz.	14	2	14	0	14	0	10	6	15	2	2	0,0	0,0							
	Mezz.	14	0	14	1	14	0	10	6	15	2	2	0,0	0,0							
	Finale	14	2	14	0	14	0	10	6	15	2	2	0,0	0,0							
32	Iniz.	14	4	14	2	14	0	10	6	15	2	2	0,0	0,0							
	Mezz.	14	2	14	2	14	0	10	6	15	2	2	0,0	0,0							
	Finale	14	2	14	1	14	0	10	6	15	2	2	0,0	0,0							
33	Iniz.	14	3	14	0	14	0	10	6	15	2	2	0,0	0,0							
	Mezz.	14	0	14	1	14	0	10	6	15	2	2	0,0	0,0							
	Finale	14	3	14	0	14	0	10	6	15	2	2	0,0	0,0							

## DATI ARMATURE TRAVI - SEZIONE RETTANGOLARE - QUOTA: 7.9 m

## ASTE IN C.A. CON SEZIONE RETTANGOLARE

IDENTIFICATIVO		ARMATURE DI INPUT											AGGIUNTIVE		RINFORZO IN FRP						
Asta Num.	Concio	FiSp mm	NFer Sup.	FiSu mm	NFer Inf.	FiIn mm	NFer Par.	FiPa mm	FiSt mm	PsSt cm	Brac DirX	Brac DirY	AfSup cmq	AfInf cmq	Mat. N.ro	Lung cm	Rag. mm	Num Avv	Nod Con	Condiz. Ambient	SpSol cm
34	Iniz.	14	4	14	2	14	0	10	6	15	2	2	0,0	0,0							
	Mezz.	14	0	14	2	14	0	10	6	15	2	2	0,0	0,0							
	Finale	14	4	14	1	14	0	10	6	15	2	2	0,0	0,0							
35	Iniz.	14	4	14	1	14	0	10	6	15	2	2	0,0	0,0							
	Mezz.	14	0	14	1	14	0	10	6	15	2	2	0,0	0,0							
	Finale	14	3	14	1	14	0	10	6	15	2	2	0,0	0,0							
36	Iniz.	14	2	14	1	14	0	10	6	15	2	2	0,0	0,0							
	Mezz.	14	2	14	1	14	0	10	6	15	2	2	0,0	0,0							
	Finale	14	2	14	1	14	0	10	6	15	2	2	0,0	0,0							
37	Iniz.	14	2	14	1	14	0	10	6	15	2	2	0,0	0,0							
	Mezz.	14	2	14	1	14	0	10	6	15	2	2	0,0	0,0							
	Finale	14	2	14	1	14	0	10	6	15	2	2	0,0	0,0							

## DATI ARMATURE PILASTRI - SEZIONE RETTANGOLARE - QUOTA: 10.85 m

## ASTE IN C.A. CON SEZIONE RETTANGOLARE

IDENTIFICATIVO		ARMATURE DI INPUT											AGGIUNTIVE		RINFORZO IN FRP						
Asta Num.	Concio	FiSp mm	NFer Sup.	FiSu mm	NFer Inf.	FiIn mm	NFer Par.	FiPa mm	FiSt mm	PsSt cm	Brac DirX	Brac DirY	AfSup cmq	AfInf cmq	Mat. N.ro	Lung cm	Rag. mm	Num Avv	Nod Con	Condiz. Ambient	SpSol cm
1	Iniz.	14	1	14	1	14	1	14	6	20	2	2	0,0	0,0							
	Mezz.																				
	Finale	14	1	14	1	14	1	14	6	20	2	2	0,0	0,0							
2	Iniz.	14	1	14	1	14	1	14	6	20	2	2	0,0	0,0							
	Mezz.																				
	Finale	14	1	14	1	14	1	14	6	20	2	2	0,0	0,0							
3	Iniz.	14	1	14	1	14	1	14	6	20	2	2	0,0	0,0							
	Mezz.																				
	Finale	14	1	14	1	14	1	14	6	20	2	2	0,0	0,0							
4	Iniz.	14	1	14	1	14	1	14	6	20	2	2	0,0	0,0							
	Mezz.																				
	Finale	14	1	14	1	14	1	14	6	20	2	2	0,0	0,0							
5	Iniz.	14	1	14	1	14	1	14	6	20	2	2	0,0	0,0							
	Mezz.																				
	Finale	14	1	14	1	14	1	14	6	20	2	2	0,0	0,0							
6	Iniz.	14	1	14	1	14	1	14	6	20	2	2	0,0	0,0							
	Mezz.																				
	Finale	14	1	14	1	14	1	14	6	20	2	2	0,0	0,0							
7	Iniz.	14	1	14	1	14	1	14	6	20	2	2	0,0	0,0							
	Mezz.																				
	Finale	14	1	14	1	14	1	14	6	20	2	2	0,0	0,0							
8	Iniz.	14	1	14	1	14	1	14	6	20	2	2	0,0	0,0							
	Mezz.																				
	Finale	14	1	14	1	14	1	14	6	20	2	2	0,0	0,0							
9	Iniz.	14	1	14	1	14	1	14	6	20	2	2	0,0	0,0							
	Mezz.																				
	Finale	14	1	14	1	14	1	14	6	20	2	2	0,0	0,0							
10	Iniz.	14	1	14	1	14	3	14	6	20	4	2	0,0	0,0							
	Mezz.																				
	Finale	14	1	14	1	14	1	14	6	20	2	2	0,0	0,0							
11	Iniz.	14	1	14	1	14	3	14	6	20	2	2	0,0	0,0							
	Mezz.																				
	Finale	14	1	14	1	14	1	14	6	20	2	2	0,0	0,0							
12	Iniz.	14	1	14	1	14	1	14	6	20	2	2	0,0	0,0							
	Mezz.																				
	Finale	14	1	14	1	14	1	14	6	20	2	2	0,0	0,0							
13	Iniz.	14	1	14	1	14	3	14	6	20	2	2	0,0	0,0							
	Mezz.																				
	Finale	14	1	14	1	14	3	14	6	20	2	2	0,0	0,0							

## DATI ARMATURE PILASTRI - SEZIONE RETTANGOLARE - QUOTA: 10.85 m

## ASTE IN C.A. CON SEZIONE RETTANGOLARE

IDENTIFICATIVO		ARMATURE DI INPUT											AGGIUNTIVE		RINFORZO IN FRP						
Asta Num.	Concio	FiSp mm	NFer Sup.	FiSu mm	NFer Inf.	Filn mm	NFer Par.	FiPa mm	FiSt mm	PsSt cm	Brac DirX	Brac DirY	AfSup cmq	Aflnf cmq	Mat. N.ro	Lung cm	Rag. mm	Num Avv	Nod Con	Condiz. Ambient	SpSol cm
14	Iniz.	14	1	14	1	14	3	14	6	20	2	2	0,0	0,0							
	Mezz.	14	1	14	1	14	1	14	6	20	2	2	0,0	0,0							
15	Iniz.	14	1	14	1	14	1	14	6	20	2	2	0,0	0,0							
	Mezz.	14	1	14	1	14	1	14	6	20	2	2	0,0	0,0							
16	Iniz.	14	1	14	1	14	1	14	6	20	2	2	0,0	0,0							
	Mezz.	14	1	14	1	14	1	14	6	20	2	2	0,0	0,0							
17	Iniz.	14	1	14	1	14	1	14	6	20	2	2	0,0	0,0							
	Mezz.	14	1	14	1	14	1	14	6	20	2	2	0,0	0,0							
18	Iniz.	14	1	14	1	14	1	14	6	20	2	2	0,0	0,0							
	Mezz.	14	1	14	1	14	1	14	6	20	2	2	0,0	0,0							
19	Iniz.	14	1	14	1	14	1	14	6	20	2	2	0,0	0,0							
	Mezz.	14	1	14	1	14	1	14	6	20	2	2	0,0	0,0							
20	Iniz.	14	1	14	1	14	1	14	6	20	2	2	0,0	0,0							
	Mezz.	14	1	14	1	14	1	14	6	20	2	2	0,0	0,0							
21	Iniz.	14	1	14	1	14	1	14	6	20	2	2	0,0	0,0							
	Mezz.	14	1	14	1	14	1	14	6	20	2	2	0,0	0,0							
22	Iniz.	14	1	14	1	14	1	14	6	20	2	2	0,0	0,0							
	Mezz.	14	1	14	1	14	1	14	6	20	2	2	0,0	0,0							
23	Iniz.	14	1	14	1	14	1	14	6	20	2	2	0,0	0,0							
	Mezz.	14	1	14	1	14	1	14	6	20	2	2	0,0	0,0							
24	Iniz.	14	1	14	1	14	1	14	6	20	2	2	0,0	0,0							
	Mezz.	14	1	14	1	14	1	14	6	20	2	2	0,0	0,0							

## DATI ARMATURE TRAVI - SEZIONE RETTANGOLARE - QUOTA: 10.85 m

## ASTE IN C.A. CON SEZIONE RETTANGOLARE

IDENTIFICATIVO		ARMATURE DI INPUT											AGGIUNTIVE		RINFORZO IN FRP						
Asta Num.	Concio	FiSp mm	NFer Sup.	FiSu mm	NFer Inf.	Filn mm	NFer Par.	FiPa mm	FiSt mm	PsSt cm	Brac DirX	Brac DirY	AfSup cmq	Aflnf cmq	Mat. N.ro	Lung cm	Rag. mm	Num Avv	Nod Con	Condiz. Ambient	SpSol cm
1	Iniz.	14	2	14	0	14	0	10	6	15	2	2	0,0	0,0							
	Mezz.	14	0	14	1	14	0	10	6	15	2	2	0,0	0,0							
	Finale	14	2	14	0	14	0	10	6	15	2	2	0,0	0,0							
2	Iniz.	14	2	14	0	14	0	10	6	15	2	2	0,0	0,0							
	Mezz.	14	0	14	1	14	0	10	6	15	2	2	0,0	0,0							
	Finale	14	2	14	0	14	0	10	6	15	2	2	0,0	0,0							
3	Iniz.	14	2	14	0	14	0	10	6	15	2	2	0,0	0,0							
	Mezz.	14	0	14	1	14	0	10	6	15	2	2	0,0	0,0							
	Finale	14	2	14	0	14	0	10	6	15	2	2	0,0	0,0							
4	Iniz.	14	2	14	0	14	0	10	6	15	2	2	0,0	0,0							
	Mezz.	14	0	14	1	14	0	10	6	15	2	2	0,0	0,0							
	Finale	14	2	14	0	14	0	10	6	15	2	2	0,0	0,0							
5	Iniz.	14	2	14	0	14	0	10	6	15	2	2	0,0	0,0							
	Mezz.	14	0	14	1	14	0	10	6	15	2	2	0,0	0,0							
	Finale	14	2	14	0	14	0	10	6	15	2	2	0,0	0,0							
6	Iniz.	14	2	14	0	14	0	10	6	15	2	2	0,0	0,0							

## DATI ARMATURE TRAVI - SEZIONE RETTANGOLARE - QUOTA: 10.85 m

## ASTE IN C.A. CON SEZIONE RETTANGOLARE

IDENTIFICATIVO		ARMATURE DI INPUT											AGGIUNTIVE		RINFORZO IN FRP						
Asta Num.	Concio	FiSp mm	NFer Sup.	FiSu mm	NFer Inf.	Filn mm	NFer Par.	FiPa mm	FiSt mm	PsSt cm	Brac DirX	Brac DirY	AfSup cmq	AfInf cmq	Mat. N.ro	Lung cm	Rag. mm	Num Avv	Nod Con	Condiz. Ambient	SpSol cm
	Mezz.	14	0	14	1	14	0	10	6	15	2	2	0,0	0,0							
	Finale	14	2	14	0	14	0	10	6	15	2	2	0,0	0,0							
7	Iniz.	14	2	14	0	14	0	10	6	15	2	2	0,0	0,0							
	Mezz.	14	0	14	1	14	0	10	6	15	2	2	0,0	0,0							
	Finale	14	2	14	0	14	0	10	6	15	2	2	0,0	0,0							
8	Iniz.	14	2	14	0	14	0	10	6	15	2	2	0,0	0,0							
	Mezz.	14	0	14	1	14	0	10	6	15	2	2	0,0	0,0							
	Finale	14	2	14	0	14	0	10	6	15	2	2	0,0	0,0							
9	Iniz.	14	2	14	0	14	0	10	6	15	2	2	0,0	0,0							
	Mezz.	14	0	14	1	14	0	10	6	15	2	2	0,0	0,0							
	Finale	14	2	14	0	14	0	10	6	15	2	2	0,0	0,0							
10	Iniz.	14	2	14	0	14	0	10	6	15	2	2	0,0	0,0							
	Mezz.	14	0	14	1	14	0	10	6	15	2	2	0,0	0,0							
	Finale	14	2	14	0	14	0	10	6	15	2	2	0,0	0,0							
11	Iniz.	14	3	14	0	14	0	10	6	15	2	2	0,0	0,0							
	Mezz.	14	0	14	2	14	0	10	6	15	2	2	0,0	0,0							
	Finale	14	3	14	0	14	0	10	6	15	2	2	0,0	0,0							
12	Iniz.	14	2	14	0	14	0	10	6	15	2	2	0,0	0,0							
	Mezz.	14	0	14	1	14	0	10	6	15	2	2	0,0	0,0							
	Finale	14	2	14	0	14	0	10	6	15	2	2	0,0	0,0							
13	Iniz.	14	2	14	0	14	0	10	6	15	2	2	0,0	0,0							
	Mezz.	14	0	14	1	14	0	10	6	15	2	2	0,0	0,0							
	Finale	14	2	14	0	14	0	10	6	15	2	2	0,0	0,0							
14	Iniz.	14	2	14	0	14	0	10	6	15	2	2	0,0	0,0							
	Mezz.	14	0	14	1	14	0	10	6	15	2	2	0,0	0,0							
	Finale	14	2	14	0	14	0	10	6	15	2	2	0,0	0,0							
15	Iniz.	14	2	14	0	14	0	10	6	15	2	2	0,0	0,0							
	Mezz.	14	0	14	1	14	0	10	6	15	2	2	0,0	0,0							
	Finale	14	2	14	0	14	0	10	6	15	2	2	0,0	0,0							
16	Iniz.	14	2	14	0	14	0	10	6	15	2	2	0,0	0,0							
	Mezz.	14	0	14	1	14	0	10	6	15	2	2	0,0	0,0							
	Finale	14	2	14	0	14	0	10	6	15	2	2	0,0	0,0							
17	Iniz.	14	2	14	0	14	0	10	6	15	2	2	0,0	0,0							
	Mezz.	14	0	14	1	14	0	10	6	15	2	2	0,0	0,0							
	Finale	14	2	14	0	14	0	10	6	15	2	2	0,0	0,0							
18	Iniz.	14	2	14	0	14	0	10	6	15	2	2	0,0	0,0							
	Mezz.	14	0	14	1	14	0	10	6	15	2	2	0,0	0,0							
	Finale	14	2	14	0	14	0	10	6	15	2	2	0,0	0,0							
19	Iniz.	14	2	14	0	14	0	10	6	15	2	2	0,0	0,0							
	Mezz.	14	0	14	1	14	0	10	6	15	2	2	0,0	0,0							
	Finale	14	2	14	0	14	0	10	6	15	2	2	0,0	0,0							
20	Iniz.	14	2	14	0	14	0	10	6	15	2	2	0,0	0,0							
	Mezz.	14	0	14	1	14	0	10	6	15	2	2	0,0	0,0							
	Finale	14	2	14	0	14	0	10	6	15	2	2	0,0	0,0							
21	Iniz.	14	2	14	0	14	0	10	6	15	2	2	0,0	0,0							
	Mezz.	14	0	14	1	14	0	10	6	15	2	2	0,0	0,0							
	Finale	14	2	14	0	14	0	10	6	15	2	2	0,0	0,0							
22	Iniz.	14	2	14	0	14	0	10	6	15	2	2	0,0	0,0							
	Mezz.	14	0	14	1	14	0	10	6	15	2	2	0,0	0,0							
	Finale	14	2	14	0	14	0	10	6	15	2	2	0,0	0,0							
23	Iniz.	14	2	14	0	14	0	10	6	15	2	2	0,0	0,0							
	Mezz.	14	0	14	1	14	0	10	6	15	2	2	0,0	0,0							
	Finale	14	2	14	0	14	0	10	6	15	2	2	0,0	0,0							
24	Iniz.	14	4	14	2	14	0	10	6	15	2	2	0,0	0,0							
	Mezz.	14	2	14	2	14	0	10	6	15	2	2	0,0	0,0							

## DATI ARMATURE TRAVI - SEZIONE RETTANGOLARE - QUOTA: 10.85 m

## ASTE IN C.A. CON SEZIONE RETTANGOLARE

IDENTIFICATIVO		ARMATURE DI INPUT												AGGIUNTIVE		RINFORZO IN FRP						
Asta Num.	Concio	FiSp mm	NFer Sup.	FiSu mm	NFer Inf.	FiIn mm	NFer Par.	FiPa mm	FiSt mm	PsSt cm	Brac DirX	Brac DirY	AfSup cmq	AfInf cmq	Mat. N.ro	Lung cm	Rag. mm	Num Avv	Nod Con	Condiz. Ambient	SpSol cm	
	Finale	14	4	14	2	14	0	10	6	15	2	2	0,0	0,0								
25	Iniz.	14	2	14	0	14	0	10	6	15	2	2	0,0	0,0								
	Mezz.	14	0	14	1	14	0	10	6	15	2	2	0,0	0,0								
	Finale	14	2	14	0	14	0	10	6	15	2	2	0,0	0,0								
26	Iniz.	14	2	14	0	14	0	10	6	15	2	2	0,0	0,0								
	Mezz.	14	0	14	1	14	0	10	6	15	2	2	0,0	0,0								
	Finale	14	2	14	0	14	0	10	6	15	2	2	0,0	0,0								
27	Iniz.	14	2	14	0	14	0	10	6	15	2	2	0,0	0,0								
	Mezz.	14	0	14	1	14	0	10	6	15	2	2	0,0	0,0								
	Finale	14	2	14	0	14	0	10	6	15	2	2	0,0	0,0								
28	Iniz.	14	4	14	2	14	0	10	6	15	2	2	0,0	0,0								
	Mezz.	14	2	14	2	14	0	10	6	15	2	2	0,0	0,0								
	Finale	14	4	14	2	14	0	10	6	15	2	2	0,0	0,0								
29	Iniz.	14	4	14	2	14	0	10	6	15	2	2	0,0	0,0								
	Mezz.	14	2	14	2	14	0	10	6	15	2	2	0,0	0,0								
	Finale	14	4	14	2	14	0	10	6	15	2	2	0,0	0,0								
30	Iniz.	14	2	14	0	14	0	10	6	15	2	2	0,0	0,0								
	Mezz.	14	0	14	1	14	0	10	6	15	2	2	0,0	0,0								
	Finale	14	2	14	0	14	0	10	6	15	2	2	0,0	0,0								
31	Iniz.	14	2	14	0	14	0	10	6	15	2	2	0,0	0,0								
	Mezz.	14	0	14	1	14	0	10	6	15	2	2	0,0	0,0								
	Finale	14	2	14	0	14	0	10	6	15	2	2	0,0	0,0								
32	Iniz.	14	4	14	2	14	0	10	6	15	2	2	0,0	0,0								
	Mezz.	14	2	14	2	14	0	10	6	15	2	2	0,0	0,0								
	Finale	14	4	14	2	14	0	10	6	15	2	2	0,0	0,0								
33	Iniz.	14	2	14	0	14	0	10	6	15	2	2	0,0	0,0								
	Mezz.	14	0	14	1	14	0	10	6	15	2	2	0,0	0,0								
	Finale	14	2	14	0	14	0	10	6	15	2	2	0,0	0,0								
34	Iniz.	14	2	14	0	14	0	10	6	15	2	2	0,0	0,0								
	Mezz.	14	0	14	1	14	0	10	6	15	2	2	0,0	0,0								
	Finale	14	2	14	0	14	0	10	6	15	2	2	0,0	0,0								
35	Iniz.	14	2	14	0	14	0	10	6	15	2	2	0,0	0,0								
	Mezz.	14	0	14	1	14	0	10	6	15	2	2	0,0	0,0								
	Finale	14	2	14	0	14	0	10	6	15	2	2	0,0	0,0								
36	Iniz.	14	3	14	0	14	0	10	6	15	2	2	0,0	0,0								
	Mezz.	14	0	14	2	14	0	10	6	15	2	2	0,0	0,0								
	Finale	14	3	14	0	14	0	10	6	15	2	2	0,0	0,0								
37	Iniz.	14	2	14	0	14	0	10	6	15	2	2	0,0	0,0								
	Mezz.	14	0	14	1	14	0	10	6	15	2	2	0,0	0,0								
	Finale	14	2	14	0	14	0	10	6	15	2	2	0,0	0,0								

● SPECIFICHE CAMPI TABELLA DI STAMPA PUSH-OVER

<b>Numero d'ordine della PushOver</b>	: Tipo di distribuzione delle forze orizzontali utilizzate nell'analisi.
<b>Angolo Ingr. Sisma (Grd)</b>	: Angolo di ingresso del sisma della PushOver.
<b>Numero collassi totali</b>	: Numero di elementi che hanno raggiunto la condizione di collasso al termine dell'analisi.
<b>Numero passo Resist.Max.</b>	: Numero del passo a cui corrisponde il picco massimo del taglio alla base nella curva di capacità.
<b>Numero passi significativi</b>	: Numero dei passi significativi alla fine dell'analisi.
<b>Massa SDOF, (t)</b>	: Massa totale del sistema equivalente.
<b>Taglio alla base max., (t)</b>	: Tagliante massimo alla base della struttura reale.
<b>Coeff. Partecipazione</b>	: Coefficiente di partecipazione relativo alla distribuzione di forze orizzontali utilizzate nell'analisi della PushOver.
<b>Resistenza SDOF, (t)</b>	: Resistenza allo snervamento del sistema ad un grado di libertà equivalente.
<b>Rigidezza SDOF, (t/m)</b>	: Rigidezza all'origine del sistema ad un grado di libertà equivalente.
<b>Spostam. Snervam. SDOF, (mm)</b>	: Spostamento a cui corrisponde lo snervamento del sistema ad un grado di libertà equivalente.
<b>Periodo SDOF, (sec)</b>	: Periodo proprio del sistema ad un grado di libertà equivalente.
<b>Rapporto di incrudimento</b>	: Rapporto tra la rigidezza incrudente e la rigidezza all'origine del sistema ad un grado di libertà equivalente. Per un sistema elastico perfettamente plastico tale rapporto vale sempre 0.
<b>Rapporto Alfau/alfa1</b>	: Rapporto tra il tagliante ultimo e il tagliante a cui corrisponde la formazione della prima cerniera plastica. Per le strutture esistenti tale valore può assumere valori molto alti in quanto per bassi valori di forze orizzontali spesso viene raggiunto il limite elastico in qualche sezione.
<b>Fattore struttura</b>	: Fattore di struttura ( $q$ ) calcolato a posteriori in funzione delle effettive risorse anelastiche della struttura.
<b>Coeff Smorzam.Equival.</b>	: Coefficiente di smorzamento di un oscillatore elasto-viscoso che dissipa per viscosità la stessa energia della struttura.
<b>Duttilità</b>	: Duttilità misurata sul legame bilatero del sistema elasto-plastico equivalente come rapporto tra lo spostamento ultimo (fine del tratto orizzontale) e lo spostamento al limite elastico (inizio tratto orizzontale).

Per ogni stato limite richiesto, la frase "MECCANISMI CONSIDERATI NELL'ANALISI" significa:

<b>Con Flag di post-verifica = NO</b>	: Considera nell'analisi al passo non lineare sia i meccanismi fragili attivati che quelli duttili.
<b>Con Flag di post-verifica = SI</b>	: Verifica a posteriori dei meccanismi fragili in corrispondenza dei passi della curva di capacità precedentemente valutata per il solo comportamento duttile. I risultati relativi ai soli meccanismi fragili sono riportati in una apposita tabella.

<b>Spostamento</b>	: Domanda/Capacità dello spostamento relativo allo stato limite.
<b>S.L.x</b>	: Flag riassuntivo della verifica effettuata per i meccanismi considerati nell'analisi.
<b>PgaLx/g</b>	: Valore della PGA limite corrispondente alla prestazione definita per lo stato limite considerato e per i meccanismi considerati nell'analisi.
<b>q*</b>	: Rapporto tra la domanda elastica di tagliante alla base e la resistenza del sistema SDOF equivalente. Viene utilizzato solo per le strutture in muratura in qual caso non può superare il valore 3.
<b>Numero passo precedente</b>	: Numero passo precedente al punto della curva per cui si raggiunge la capacità rispetto alla prestazione definita per lo stato limite e per i soli meccanismi considerati nell'analisi.
<b>PgaLx/Pga y%</b>	: Rapporto tra la PGA limite e la PGA al bedrock del sisma atteso nel sito con la probabilità prevista per lo stato limite corrispondente.
<b>Asta3D Nro</b>	: Numerazione 3D dell'asta in cui si raggiunge la prestazione definita per lo stato limite e per i soli meccanismi considerati nell'analisi.
<b>TrCLx</b>	: Valore del periodo di ritorno corrispondente all'evento sismico che provoca il raggiungimento della capacità per lo stato limite considerato e per i soli meccanismi considerati nell'analisi.
<b>(TrCLx/TDLx)^a</b>	: Rapporto tra il periodo di ritorno del sisma a cui corrisponde il raggiungimento della capacità ed il periodo di ritorno del sisma atteso nel sito con la probabilità prevista per lo stato limite corrispondente. L'esponente <b>a</b> vale 0,41 come previsto dalle linee guida nazionali.

## DATI STAMPATI PER LE TABELLE AUSILIARIE

<b>Push. nro</b>	: Numero della PushOver.
<b>PRIMO COLLASSO</b>	: Dati relativi ai meccanismi fragili per gli elementi in calcestruzzo armato del Nodo e del Taglio.
<b>TrCLC</b>	: Valore del periodo di ritorno corrispondente all'evento sismico che provoca il raggiungimento della capacità per lo stato limite di collasso del Nodo/Taglio.
<b>PgaLC/g</b>	: Valore della PGA corrispondente all'evento sismico che provoca il raggiungimento della capacità per lo stato limite di collasso Nodo/Taglio.
<b>Resistenza nel Piano di un pannello in muratura</b>	: Indicatori di capacità relativi alla prestazione di raggiungimento della resistenza nel piano del primo pannello in muratura.
<b>TrCLV</b>	: Valore del periodo di ritorno corrispondente all'evento sismico che provoca il raggiungimento della capacità per lo stato limite di Salvaguardia della Vita. Prestazione definita dal raggiungimento della resistenza nel piano del primo pannello in muratura.
<b>PgaLV/g</b>	: Valore della PGA corrispondente all'evento sismico che provoca il raggiungimento della capacità per lo stato limite di Salvaguardia della Vita. Prestazione definita dal raggiungimento della resistenza nel piano del primo pannello in muratura.
<b>VERIFICA MECCANISMI FRAGILI STRUTTURE IN C.A.</b>	: Viene stampata la condizione di VERIFICATA/NON VERIFICATA. Nel caso non venga stampato nulla significa che la verifica effettuata a posteriori sulla curva di capacità determinata con l'analisi non lineare tenendo conto del solo comportamento duttile non è stata in grado di individuare alcun meccanismo fragile per cui è necessario ripetere l'analisi tenendo in conto i meccanismi fragili e settando il dato <b>Push+PostVer. = No</b> .

---

**SPECIFICHE CAMPI TABELLA DI STAMPA**

Si riporta di seguito la spiegazione delle sigle usate nella tabella di stampa dei Domini Aste della PushOver.

<b>Asta 3D</b>	: Numero identificativo del filo fisso
<b>Filo Iniz.</b>	: Quota altimetrica espressa in metri
<b>Filo Fin.</b>	: Numerazione del nodo nel modello tridimensionale
<b>Q.In. (m)</b>	: Quota altimetrica dell'estremo iniziale dell'asta espressa in metri
<b>Q.Fin. (m)</b>	: Quota altimetrica dell'estremo finale dell'asta espressa in metri
<b>Tratto</b>	: Nel caso di asta con mesh maggiore di uno, indica il numero del tratto considerato
<b>Nodo 3D Iniz.</b>	: Numero del nodo nel modello tridimensionale in cui è inserito il primo estremo dell'asta
<b>Nodo 3D Finale</b>	: Numero del nodo nel modello tridimensionale in cui è inserito il secondo estremo dell'asta
<b>Flag Non Lineare</b>	: Flag per considerare o meno il comportamento non lineare dell'asta. Per le aste di fondazione il dato è sempre "NO" in quanto l'elemento deve presentare sempre un comportamento elastico
<b>Barre Ancorate</b>	: Flag per considerare o meno efficacemente ancorate le barre di armatura longitudinale
<b>Staffe Confin</b>	: Flag per considerare o meno l'effetto del confinamento al nodo offerto dalle staffe
<b>Dominio Concio 1</b>	: Indica il numero di dominio di rottura associato al concio iniziale dell'asta
<b>Dominio Concio 2</b>	: Indica il numero di dominio di rottura associato al concio di mezzzeria dell'asta
<b>Dominio Concio 3</b>	: Indica il numero di dominio di rottura associato al concio finale dell'asta

## SPECIFICHE CAMPI TABELLA DI STAMPA RISULTATI ASTE PUSH-OVER

<b>Identificativo</b>	: <i>Filo Iniziale/Filo Finale/Quota Iniziale/Quota Finale/Numero asta 3d</i>
<b>COLLASSO</b>	: <i>Modo di collasso dell'asta o campo elastico</i>
<b>Tipo di rotazione</b>	: <i>Descrizione della capacità di rotazione della corda per limite di snervamento ed ultimo</i>
<b>RuX In.</b>	: <i>Capacità di rotazione ultima estremo iniziale asse X</i>
<b>RuX Fin</b>	: <i>Capacità di rotazione ultima estremo finale asse X</i>
<b>RuY In.</b>	: <i>Capacità di rotazione ultima estremo iniziale asse Y</i>
<b>RuY Fin</b>	: <i>Capacità di rotazione ultima estremo finale asse Y</i>
<b>RsX In.</b>	: <i>Capacità di rotazione allo snervamento estremo iniziale asse X</i>
<b>RsY In.</b>	: <i>Capacità di rotazione allo snervamento estremo iniziale asse Y</i>
<b>RsX Fin</b>	: <i>Capacità di rotazione allo snervamento estremo finale asse X</i>
<b>RsY Fin</b>	: <i>Capacità di rotazione allo snervamento estremo finale asse Y</i>
<b>Capacità di rotaz</b>	: <i>Valore della capacità di rotazione della corda per limite di snervamento ed ultimo espresso in radianti x 100</i>
<b>Tipo di risposta</b>	: <i>Descrizione della grandezza fisica considerata</i>
<b>Mx</b>	: <i>Momento flettente asse X</i>
<b>My</b>	: <i>Momento flettente asse Y</i>
<b>N</b>	: <i>Sforzo normale</i>
<b>Tx</b>	: <i>Taglio asse X</i>
<b>Ty</b>	: <i>Taglio asse Y</i>
<b>Mz</b>	: <i>Momento torcente</i>
<b>TetX%</b>	: <i>Rotazione della corda asse X</i>
<b>TetY%</b>	: <i>Rotazione della corda asse Y</i>

<b>RISPOSTE ESTREMO INIZIALE</b>	: <i>Le colonne si riferiscono alle grandezze per l'estremo iniziale dell'asta</i>
<b>DANNO LEGGERO (D.M. 2005) / S.L.</b>	: <i>Sono i valori delle grandezze considerate valutate nel punto della curva di capacità in corrispondenza della domanda sismica e della capacità della struttura per la prestazione di DANNO LEGGERO (D.M. 2005) / S.L. DANNO (NTC)</i>
<b>DANNO (NTC)</b>	
<b>Domanda Capacità</b>	
<b>DANNO SEVERO (D.M. 2005) / S.L.</b>	: <i>Sono i valori delle grandezze considerate valutate nel punto della curva di capacità in corrispondenza della domanda sismica e della capacità della struttura per la prestazione di DANNO SEVERO (D.M. 2005) / S.L. VITA (NTC)</i>
<b>VITA (NTC)</b>	
<b>Domanda Capacità</b>	
<b>COLLASSO (D.M. 2005) / S.L.</b>	: <i>Sono i valori delle grandezze considerate valutate nel punto della curva di capacità in corrispondenza della domanda sismica e della capacità della struttura per la prestazione di COLLASSO (D.M. 2005) / S.L. COLLASSO (NTC)</i>
<b>COLLASSO (NTC)</b>	
<b>Domanda Capacità</b>	

<b>RISPOSTE ESTREMO FINALE</b>	: <i>Le colonne si riferiscono alle grandezze per l'estremo finale dell'asta</i>
<b>DANNO LEGGERO (D.M. 2005) / S.L.</b>	: <i>Sono i valori delle grandezze considerate valutate nel punto della curva di capacità in corrispondenza della domanda sismica e della capacità della struttura per la prestazione di DANNO LEGGERO (D.M. 2005) / S.L. DANNO (NTC)</i>
<b>DANNO (NTC)</b>	
<b>Domanda Capacità</b>	
<b>DANNO SEVERO (D.M. 2005) / S.L.</b>	: <i>Sono i valori delle grandezze considerate valutate nel punto della curva di capacità in corrispondenza della domanda sismica e della capacità della struttura per la prestazione di DANNO SEVERO (D.M. 2005) / S.L. VITA (NTC)</i>
<b>VITA (NTC)</b>	
<b>Domanda Capacità</b>	
<b>COLLASSO (D.M. 2005) / S.L.</b>	: <i>Sono i valori delle grandezze considerate valutate nel punto della curva di capacità in corrispondenza della domanda sismica e della capacità della struttura per la prestazione di COLLASSO (D.M. 2005) / S.L. COLLASSO (NTC)</i>
<b>COLLASSO (NTC)</b>	
<b>Domanda Capacità</b>	

- SPECIFICHE CAMPI TABELLA DI STAMPA**

Si riporta di seguito la spiegazione delle sigle usate nella tabella di stampa della Capacità/Domanda di Spostamento dei nodi.

<b>Filo N.ro</b>	: Numero identificativo del filo fisso
<b>Quota</b>	: Quota altimetrica espressa in metri
<b>Nodo N.ro</b>	: Numerazione del nodo nel modello tridimensionale
<b>SLO/SLD/SLV/SLC X(mm)</b>	: Componente in direzione X dello spostamento nodale allo SLO/SLD/SLV/SLC espresso in mm. In particolare nel primo rigo i valori sono riferiti alla capacità mentre nel secondo si riferiscono alla domanda
<b>SLO/SLD/SLV/SLC Y(mm)</b>	: Componente in direzione Y dello spostamento nodale allo SLO/SLD/SLV/SLC espresso in mm. In particolare nel primo rigo i valori sono riferiti alla capacità mentre nel secondo si riferiscono alla domanda
<b>SLO/SLD/SLV/SLC Z(mm)</b>	: Componente in direzione Z dello spostamento SLO/SLD/SLV/SLC espresso in mm. In particolare nel primo rigo i valori sono riferiti alla capacità mentre nel secondo si riferiscono alla domanda

- SPECIFICHE CAMPI TABELLA DI STAMPA**

Si riporta di seguito la spiegazione delle sigle usate nella tabella di stampa della Capacità/Domanda di Spostamento dei baricentri di piano.

<b>Piano N.ro</b>	: Numero identificato del piano sismico
<b>Quota</b>	: Quota altimetrica del piano espressa in metri
<b>SLO/SLD/SLV/SLC X(mm)</b>	: Componente in direzione X dello spostamento di piano allo SLO/SLD/SLV/SLC espresso in mm. In particolare nel primo rigo i valori sono riferiti alla capacità mentre nel secondo si riferiscono alla domanda
<b>SLO/SLD/SLV/SLC Y(mm)</b>	: Componente in direzione Y dello spostamento di piano allo SLO/SLD/SLV/SLC espresso in mm. In particolare nel primo rigo i valori sono riferiti alla capacità mentre nel secondo si riferiscono alla domanda
<b>SLO/SLD/SLV/SLC Z(mRad)</b>	: Rotazione rigida di piano allo SLO/SLD/SLV/SLC espressa in milliradiani. In particolare nel primo rigo i valori sono riferiti alla capacità mentre nel secondo si riferiscono alla domanda

**RISULTATI GENERALI PUSH-OVER****MECCANISMI DI COLLASSO CONSIDERATI NELLA ANALISI PUSH-OVER**

- Analisi con meccanismi DUTTILI E FRAGILI
- NESSUNA modalita' di collasso considerata per il nodo in CLS
- Collasso a taglio considerato su TUTTE le aste in CLS
- Collasso per ripresa di getto IGNORATA
- Effetti P-Delta IGNORATI
- DISTRIBUZIONI FORZE SECONDO DEFORMATA MODALE: Proporzionale al Primo Modo

**RISULTATI GENERALI PUSH-OVER**

PUSH-OVER N.ro	1 -	Distrib.Forze Prop.Modolo:+Fx+0.3*Fy+Ecc5%	
Angolo Ingr. Sisma (Grd)	0	Numero collassi totali	1
Numero passo Resist.Max.	18	Numero passi significativi	18
Massa SDOF (t)	524,05	Taglio alla base max. (t)	155,33
Coeff. Partecipazione	1,33	Resistenza SDOF (t)	109,91
Rigidezza SDOF (t/m)	20955,01	Spostam. Snervam. SDOF mm	5
Periodo SDOF (sec)	0,32	Rapporto di incrudimento	0,000
Rapporto Alfau/alfa1	1,884	Fattore di comportamento	1,067
Coeff Smorzam.Equival.(%)	8	Duttilita	1,114
STATO LIMITE DI DANNO			
DOMANDA		CAPACITA'	
Spostamento mm	6,480	Spostamento mm	5,844
S.L. Danno	NON VERIFICA	Numero passo precedente	17
PgaLD/g	0,062	ZetaE=PgaLD/Pga 63%	0,926
Rapporto q*=Fe/Fy	1,16	Asta3D Nro	
Tempo Intervento (anni)	42	TrCLD (anni)	42
-----		(TrCLD/TDLT)^a	0,931
STATO LIMITE DI SALVAGUARDIA DELLA VITA			
DOMANDA		CAPACITA'	
Spostamento mm	21,545	Spostamento mm	5,836
S.L. Salvaguardia Vita	NON VERIFICA	Numero passo precedente	17
PgaLV/g	0,062	ZetaE=PgaLV/Pga 10%	0,385
Rapporto q*=Fe/Fy	2,82	Asta3D Nro	11
Tempo Intervento (anni)	4	TrCLV (anni)	42
-----		(TrCLV/TDLV)^a	0,369

**RISULTATI GENERALI PUSH-OVER**

PUSH-OVER N.ro	2 -	Distrib.Forze Prop.Modolo:-Fx+0.3*Fy+Ecc5%	
Angolo Ingr. Sisma (Grd)	180	Numero collassi totali	1
Numero passo Resist.Max.	19	Numero passi significativi	19
Massa SDOF (t)	524,05	Taglio alla base max. (t)	155,91
Coeff. Partecipazione	1,33	Resistenza SDOF (t)	109,42
Rigidezza SDOF (t/m)	21172,89	Spostam. Snervam. SDOF mm	5
Periodo SDOF (sec)	0,32	Rapporto di incrudimento	0,000
Rapporto Alfau/alfa1	1,832	Fattore di comportamento	1,084
Coeff Smorzam.Equival.(%)	9	Duttilita	1,144
STATO LIMITE DI DANNO			
DOMANDA		CAPACITA'	
Spostamento mm	6,431	Spostamento mm	5,913
S.L. Danno	NON VERIFICA	Numero passo precedente	18
PgaLD/g	0,063	ZetaE=PgaLD/Pga 63%	0,935
Rapporto q*=Fe/Fy	1,16	Asta3D Nro	

Tempo Intervento (anni)	43	TrCLD (anni)	43
-----		(TrCLD/TDLD)^a	0,940
<b>STATO LIMITE DI SALVAGUARDIA DELLA VITA</b>			
<b>DOMANDA</b>		<b>CAPACITA'</b>	
Spostamento mm	21,423	Spostamento mm	5,905
S.L. Salvaguardia Vita	NON VERIFICA	Numero passo precedente	18
PgaLV/g	0,063	ZetaE=PgaLV/Pga 10%	0,389
Rapporto q*=Fe/Fy	2,83	Asta3D Nro	14
Tempo Intervento (anni)	5	TrCLV (anni)	43
-----		(TrCLV/TDLV)^a	0,372

**RISULTATI GENERALI PUSH-OVER**

PUSH-OVER N.ro	3 -	Distrib.Forze Prop.Modo:+Fy+0.3*Fx+Ecc5%	
Angolo Ingr. Sisma (Grd)	90	Numero collassi totali	1
Numero passo Resist.Max.	10	Numero passi significativi	10
Massa SDOF (t)	501,58	Taglio alla base max. (t)	115,66
Coeff. Partecipazione	1,34	Resistenza SDOF (t)	80,75
Rigidezza SDOF (t/m)	10567,50	Spostam. Snervam. SDOF mm	8
Periodo SDOF (sec)	0,44	Rapporto di incrudimento	0,000
Rapporto Alfau/alfa1	1,491	Fattore di comportamento	1,093
Coeff Smorzam.Equival.(%)	8	Duttilita	1,116

**STATO LIMITE DI DANNO**

<b>DOMANDA</b>		<b>CAPACITA'</b>	
Spostamento mm	11,824	Spostamento mm	8,524
S.L. Danno	NON VERIFICA	Numero passo precedente	9
PgaLD/g	0,050	ZetaE=PgaLD/Pga 63%	0,744
Rapporto q*=Fe/Fy	1,51	Asta3D Nro	
Tempo Intervento (anni)	28	TrCLD (anni)	28
-----		(TrCLD/TDLD)^a	0,788

**STATO LIMITE DI SALVAGUARDIA DELLA VITA**

<b>DOMANDA</b>		<b>CAPACITA'</b>	
Spostamento mm	32,962	Spostamento mm	8,514
S.L. Salvaguardia Vita	NON VERIFICA	Numero passo precedente	9
PgaLV/g	0,050	ZetaE=PgaLV/Pga 10%	0,310
Rapporto q*=Fe/Fy	3,68	Asta3D Nro	77
Tempo Intervento (anni)	3	TrCLV (anni)	28
-----		(TrCLV/TDLV)^a	0,312

**RISULTATI GENERALI PUSH-OVER**

PUSH-OVER N.ro	4 -	Distrib.Forze Prop.Modo:-Fy+0.3*Fx+Ecc5%	
Angolo Ingr. Sisma (Grd)	270	Numero collassi totali	1
Numero passo Resist.Max.	18	Numero passi significativi	18
Massa SDOF (t)	501,58	Taglio alla base max. (t)	141,31
Coeff. Partecipazione	1,34	Resistenza SDOF (t)	96,95
Rigidezza SDOF (t/m)	10563,49	Spostam. Snervam. SDOF mm	9
Periodo SDOF (sec)	0,44	Rapporto di incrudimento	0,000
Rapporto Alfau/alfa1	1,687	Fattore di comportamento	1,172
Coeff Smorzam.Equival.(%)	10	Duttilita	1,213

**STATO LIMITE DI DANNO**

<b>DOMANDA</b>		<b>CAPACITA'</b>	
Spostamento mm	11,717	Spostamento mm	11,136
S.L. Danno	NON VERIFICA	Numero passo precedente	17
PgaLD/g	0,064	ZetaE=PgaLD/Pga 63%	0,954
Rapporto q*=Fe/Fy	1,26	Asta3D Nro	

Tempo Intervento (anni)	45	TrCLD (anni)	45
-----		(TrCLD/TDLD)^a	0,958
STATO LIMITE DI SALVAGUARDIA DELLA VITA			
DOMANDA		CAPACITA'	
Spostamento mm	32,605	Spostamento mm	11,107
S.L. Salvaguardia Vita	NON VERIFICA	Numero passo precedente	17
PgaLV/g	0,064	ZetaE=PgaLV/Pga 10%	0,397
Rapporto q*=Fe/Fy	3,06	Asta3D Nro	71
Tempo Intervento (anni)	5	TrCLV (anni)	45
-----		(TrCLV/TDLV)^a	0,379

## RISULTATI GENERALI PUSH-OVER

PUSH-OVER N.ro	5 -	Distrib.Forze Prop.Massa:+Fx+0.3*Fy+Ecc5%	
Angolo Ingr. Sisma (Grd)	0	Numero collassi totali	1
Numero passo Resist.Max.	6	Numero passi significativi	6
Massa SDOF (t)	938,79	Taglio alla base max. (t)	165,90
Coeff. Partecipazione	1,00	Resistenza SDOF (t)	160,11
Rigidezza SDOF (t/m)	29441,61	Spostam. Snervam. SDOF mm	5
Periodo SDOF (sec)	0,36	Rapporto di incrudimento	0,000
Rapporto Alfau/alfa1	1,452	Fattore di comportamento	1,046
Coeff Smorzam.Equival.(%)	6	Duttilita	1,046

## STATO LIMITE DI DANNO

DOMANDA		CAPACITA'	
Spostamento mm	8,467	Spostamento mm	5,688
S.L. Danno	NON VERIFICA	Numero passo precedente	5
PgaLD/g	0,048	ZetaE=PgaLD/Pga 63%	0,718
Rapporto q*=Fe/Fy	1,43	Asta3D Nro	
Tempo Intervento (anni)	27	TrCLD (anni)	27
-----		(TrCLD/TDLD)^a	0,776

## STATO LIMITE DI SALVAGUARDIA DELLA VITA

DOMANDA		CAPACITA'	
Spostamento mm	25,731	Spostamento mm	5,622
S.L. Salvaguardia Vita	NON VERIFICA	Numero passo precedente	5
PgaLV/g	0,048	ZetaE=PgaLV/Pga 10%	0,299
Rapporto q*=Fe/Fy	3,47	Asta3D Nro	11
Tempo Intervento (anni)	3	TrCLV (anni)	27
-----		(TrCLV/TDLV)^a	0,307

## RISULTATI GENERALI PUSH-OVER

PUSH-OVER N.ro	6 -	Distrib.Forze Prop.Massa:-Fx+0.3*Fy+Ecc5%	
Angolo Ingr. Sisma (Grd)	180	Numero collassi totali	1
Numero passo Resist.Max.	9	Numero passi significativi	9
Massa SDOF (t)	938,79	Taglio alla base max. (t)	167,06
Coeff. Partecipazione	1,00	Resistenza SDOF (t)	161,33
Rigidezza SDOF (t/m)	29751,70	Spostam. Snervam. SDOF mm	5
Periodo SDOF (sec)	0,36	Rapporto di incrudimento	0,000
Rapporto Alfau/alfa1	1,417	Fattore di comportamento	1,047
Coeff Smorzam.Equival.(%)	6	Duttilita	1,047

## STATO LIMITE DI DANNO

DOMANDA		CAPACITA'	
Spostamento mm	8,382	Spostamento mm	5,679
S.L. Danno	NON VERIFICA	Numero passo precedente	8
PgaLD/g	0,048	ZetaE=PgaLD/Pga 63%	0,718
Rapporto q*=Fe/Fy	1,42	Asta3D Nro	

Tempo Intervento (anni)	27	TrCLD (anni)	27
-----		(TrCLD/TDLD)^a	0,776
STATO LIMITE DI SALVAGUARDIA DELLA VITA			
DOMANDA		CAPACITA'	
Spostamento mm	25,547	Spostamento mm	5,633
S.L. Salvaguardia Vita	NON VERIFICA	Numero passo precedente	8
PgaLV/g	0,048	ZetaE=PgaLV/Pga 10%	0,299
Rapporto q*=Fe/Fy	3,44	Asta3D Nro	14
Tempo Intervento (anni)	3	TrCLV (anni)	27
-----		(TrCLV/TDLV)^a	0,307

## RISULTATI GENERALI PUSH-OVER

PUSH-OVER N.ro	7 -	Distrib.Forze Prop.Massa:+Fy+0.3*Fx+Ecc5%	
Angolo Ingr. Sisma (Grd)	90	Numero collassi totali	1
Numero passo Resist.Max.	10	Numero passi significativi	10
Massa SDOF (t)	938,79	Taglio alla base max. (t)	152,41
Coeff. Partecipazione	1,00	Resistenza SDOF (t)	141,80
Rigidezza SDOF (t/m)	15278,42	Spostam. Snervam. SDOF mm	9
Periodo SDOF (sec)	0,50	Rapporto di incrudimento	0,000
Rapporto Alfau/alfa1	1,606	Fattore di comportamento	1,111
Coeff Smorzam.Equival.(%)	8	Duttilita	1,121

## STATO LIMITE DI DANNO

DOMANDA		CAPACITA'	
Spostamento mm	14,080	Spostamento mm	10,404
S.L. Danno	NON VERIFICA	Numero passo precedente	9
PgaLD/g	0,052	ZetaE=PgaLD/Pga 63%	0,771
Rapporto q*=Fe/Fy	1,52	Asta3D Nro	
Tempo Intervento (anni)	29	TrCLD (anni)	29
-----		(TrCLD/TDLD)^a	0,799

## STATO LIMITE DI SALVAGUARDIA DELLA VITA

DOMANDA		CAPACITA'	
Spostamento mm	38,756	Spostamento mm	10,324
S.L. Salvaguardia Vita	NON VERIFICA	Numero passo precedente	9
PgaLV/g	0,052	ZetaE=PgaLV/Pga 10%	0,321
Rapporto q*=Fe/Fy	3,92	Asta3D Nro	77
Tempo Intervento (anni)	3	TrCLV (anni)	29
-----		(TrCLV/TDLV)^a	0,316

## RISULTATI GENERALI PUSH-OVER

PUSH-OVER N.ro	8 -	Distrib.Forze Prop.Massa:-Fy+0.3*Fx+Ecc5%	
Angolo Ingr. Sisma (Grd)	270	Numero collassi totali	1
Numero passo Resist.Max.	4	Numero passi significativi	4
Massa SDOF (t)	938,79	Taglio alla base max. (t)	154,29
Coeff. Partecipazione	1,00	Resistenza SDOF (t)	150,39
Rigidezza SDOF (t/m)	15280,44	Spostam. Snervam. SDOF mm	10
Periodo SDOF (sec)	0,50	Rapporto di incrudimento	0,000
Rapporto Alfau/alfa1	1,284	Fattore di comportamento	1,032
Coeff Smorzam.Equival.(%)	5	Duttilita	1,032

## STATO LIMITE DI DANNO

DOMANDA		CAPACITA'	
Spostamento mm	14,079	Spostamento mm	10,156
S.L. Danno	NON VERIFICA	Numero passo precedente	3
PgaLD/g	0,050	ZetaE=PgaLD/Pga 63%	0,744
Rapporto q*=Fe/Fy	1,43	Asta3D Nro	

Tempo Intervento (anni)	28	TrCLD (anni)	28
-----		(TrCLD/TDLD)^a	0,788
STATO LIMITE DI SALVAGUARDIA DELLA VITA			
DOMANDA		CAPACITA'	
Spostamento mm	38,703	Spostamento mm	10,109
S.L. Salvaguardia Vita	NON VERIFICA	Numero passo precedente	3
PgaLV/g	0,050	ZetaE=PgaLV/Pga 10%	0,310
Rapporto $q^*=F_e/F_y$	3,69	Asta3D Nro	2
Tempo Intervento (anni)	3	TrCLV (anni)	28
-----		(TrCLV/TDLV)^a	0,312

## RISULTATI GENERALI PUSH-OVER

PUSH-OVER N.ro	9 -	Distrib.Forze Prop.Modo:+Fx-0.3*Fy+Ecc5%	
Angolo Ingr. Sisma (Grd)	0	Numero collassi totali	1
Numero passo Resist.Max.	18	Numero passi significativi	18
Massa SDOF (t)	524,05	Taglio alla base max. (t)	158,66
Coeff. Partecipazione	1,33	Resistenza SDOF (t)	111,51
Rigidezza SDOF (t/m)	20962,87	Spostam. Snervam. SDOF mm	5
Periodo SDOF (sec)	0,32	Rapporto di incrudimento	0,000
Rapporto Alfau/alfa1	1,827	Fattore di comportamento	1,079
Coeff Smorzam.Equival.(%)	8	Duttilita	1,135

## STATO LIMITE DI DANNO

DOMANDA		CAPACITA'	
Spostamento mm	6,442	Spostamento mm	6,036
S.L. Danno	NON VERIFICA	Numero passo precedente	17
PgaLD/g	0,063	ZetaE=PgaLD/Pga 63%	0,945
Rapporto $q^*=F_e/F_y$	1,14	Asta3D Nro	
Tempo Intervento (anni)	44	TrCLD (anni)	44
-----		(TrCLD/TDLD)^a	0,949

## STATO LIMITE DI SALVAGUARDIA DELLA VITA

DOMANDA		CAPACITA'	
Spostamento mm	21,486	Spostamento mm	6,012
S.L. Salvaguardia Vita	NON VERIFICA	Numero passo precedente	17
PgaLV/g	0,063	ZetaE=PgaLV/Pga 10%	0,393
Rapporto $q^*=F_e/F_y$	2,78	Asta3D Nro	11
Tempo Intervento (anni)	5	TrCLV (anni)	44
-----		(TrCLV/TDLV)^a	0,376

## RISULTATI GENERALI PUSH-OVER

PUSH-OVER N.ro	10 -	Distrib.Forze Prop.Modo:-Fx-0.3*Fy+Ecc5%	
Angolo Ingr. Sisma (Grd)	180	Numero collassi totali	1
Numero passo Resist.Max.	18	Numero passi significativi	18
Massa SDOF (t)	524,05	Taglio alla base max. (t)	158,72
Coeff. Partecipazione	1,33	Resistenza SDOF (t)	110,92
Rigidezza SDOF (t/m)	21120,49	Spostam. Snervam. SDOF mm	5
Periodo SDOF (sec)	0,32	Rapporto di incrudimento	0,000
Rapporto Alfau/alfa1	1,786	Fattore di comportamento	1,093
Coeff Smorzam.Equival.(%)	9	Duttilita	1,159

## STATO LIMITE DI DANNO

DOMANDA		CAPACITA'	
Spostamento mm	6,411	Spostamento mm	6,087
S.L. Danno	NON VERIFICA	Numero passo precedente	17
PgaLD/g	0,065	ZetaE=PgaLD/Pga 63%	0,964
Rapporto $q^*=F_e/F_y$	1,15	Asta3D Nro	

Tempo Intervento (anni)	46	TrCLD (anni)	46
-----		(TrCLD/TDLD)^a	0,966
STATO LIMITE DI SALVAGUARDIA DELLA VITA			
DOMANDA		CAPACITA'	
Spostamento mm	21,406	Spostamento mm	6,062
S.L. Salvaguardia Vita	NON VERIFICA	Numero passo precedente	17
PgaLV/g	0,064	ZetaE=PgaLV/Pga 10%	0,397
Rapporto q*=Fe/Fy	2,80	Asta3D Nro	14
Tempo Intervento (anni)	5	TrCLV (anni)	45
-----		(TrCLV/TDLV)^a	0,379

## RISULTATI GENERALI PUSH-OVER

PUSH-OVER N.ro	11 -	Distrib.Forze Prop.Modo:+Fy-0.3*Fx+Ecc5%	
Angolo Ingr. Sisma (Grd)	90	Numero collassi totali	1
Numero passo Resist.Max.	11	Numero passi significativi	11
Massa SDOF (t)	501,58	Taglio alla base max. (t)	116,28
Coeff. Partecipazione	1,34	Resistenza SDOF (t)	81,73
Rigidezza SDOF (t/m)	10567,65	Spostam. Snervam. SDOF mm	8
Periodo SDOF (sec)	0,44	Rapporto di incrudimento	0,000
Rapporto Alfau/alfa1	1,496	Fattore di comportamento	1,082
Coeff Smorzam.Equival.(%)	7	Duttilita	1,102

## STATO LIMITE DI DANNO

DOMANDA		CAPACITA'	
Spostamento mm	11,817	Spostamento mm	8,523
S.L. Danno	NON VERIFICA	Numero passo precedente	10
PgaLD/g	0,050	ZetaE=PgaLD/Pga 63%	0,744
Rapporto q*=Fe/Fy	1,49	Asta3D Nro	
Tempo Intervento (anni)	28	TrCLD (anni)	28
-----		(TrCLD/TDLD)^a	0,788

## STATO LIMITE DI SALVAGUARDIA DELLA VITA

DOMANDA		CAPACITA'	
Spostamento mm	32,940	Spostamento mm	8,420
S.L. Salvaguardia Vita	NON VERIFICA	Numero passo precedente	10
PgaLV/g	0,048	ZetaE=PgaLV/Pga 10%	0,299
Rapporto q*=Fe/Fy	3,63	Asta3D Nro	77
Tempo Intervento (anni)	3	TrCLV (anni)	27
-----		(TrCLV/TDLV)^a	0,307

## RISULTATI GENERALI PUSH-OVER

PUSH-OVER N.ro	12 -	Distrib.Forze Prop.Modo:-Fy-0.3*Fx+Ecc5%	
Angolo Ingr. Sisma (Grd)	270	Numero collassi totali	1
Numero passo Resist.Max.	19	Numero passi significativi	19
Massa SDOF (t)	501,58	Taglio alla base max. (t)	143,18
Coeff. Partecipazione	1,34	Resistenza SDOF (t)	98,50
Rigidezza SDOF (t/m)	10559,21	Spostam. Snervam. SDOF mm	9
Periodo SDOF (sec)	0,44	Rapporto di incrudimento	0,000
Rapporto Alfau/alfa1	1,727	Fattore di comportamento	1,167
Coeff Smorzam.Equival.(%)	10	Duttilita	1,207

## STATO LIMITE DI DANNO

DOMANDA		CAPACITA'	
Spostamento mm	11,711	Spostamento mm	11,260
S.L. Danno	NON VERIFICA	Numero passo precedente	18
PgaLD/g	0,065	ZetaE=PgaLD/Pga 63%	0,964
Rapporto q*=Fe/Fy	1,24	Asta3D Nro	

Tempo Intervento (anni)	46	TrCLD (anni)	46
-----		(TrCLD/TDLD)^a	0,966
<b>STATO LIMITE DI SALVAGUARDIA DELLA VITA</b>			
<b>DOMANDA</b>		<b>CAPACITA'</b>	
Spostamento mm	32,578	Spostamento mm	11,247
S.L. Salvaguardia Vita	NON VERIFICA	Numero passo precedente	18
PgaLV/g	0,065	ZetaE=PgaLV/Pga 10%	0,401
Rapporto q*=Fe/Fy	3,01	Asta3D Nro	71
Tempo Intervento (anni)	5	TrCLV (anni)	46
-----		(TrCLV/TDLV)^a	0,383

**RISULTATI GENERALI PUSH-OVER**

PUSH-OVER N.ro	13 -	Distrib.Forze Prop.Massa: +Fx-0.3*Fy+Ecc5%	
Angolo Ingr. Sisma (Grd)	0	Numero collassi totali	1
Numero passo Resist.Max.	7	Numero passi significativi	7
Massa SDOF (t)	938,79	Taglio alla base max. (t)	169,54
Coeff. Partecipazione	1,00	Resistenza SDOF (t)	163,72
Rigidezza SDOF (t/m)	29483,44	Spostam. Snervam. SDOF mm	6
Periodo SDOF (sec)	0,36	Rapporto di incrudimento	0,000
Rapporto Alfau/alfa1	1,444	Fattore di comportamento	1,047
Coeff Smorzam.Equival.(%)	6	Duttilita	1,047

**STATO LIMITE DI DANNO**

<b>DOMANDA</b>		<b>CAPACITA'</b>	
Spostamento mm	8,420	Spostamento mm	5,811
S.L. Danno	NON VERIFICA	Numero passo precedente	6
PgaLD/g	0,050	ZetaE=PgaLD/Pga 63%	0,744
Rapporto q*=Fe/Fy	1,39	Asta3D Nro	
Tempo Intervento (anni)	28	TrCLD (anni)	28
-----		(TrCLD/TDLD)^a	0,788

**STATO LIMITE DI SALVAGUARDIA DELLA VITA**

<b>DOMANDA</b>		<b>CAPACITA'</b>	
Spostamento mm	25,647	Spostamento mm	5,804
S.L. Salvaguardia Vita	NON VERIFICA	Numero passo precedente	6
PgaLV/g	0,050	ZetaE=PgaLV/Pga 10%	0,310
Rapporto q*=Fe/Fy	3,39	Asta3D Nro	11
Tempo Intervento (anni)	3	TrCLV (anni)	28
-----		(TrCLV/TDLV)^a	0,312

**RISULTATI GENERALI PUSH-OVER**

PUSH-OVER N.ro	14 -	Distrib.Forze Prop.Massa: -Fx-0.3*Fy+Ecc5%	
Angolo Ingr. Sisma (Grd)	180	Numero collassi totali	1
Numero passo Resist.Max.	6	Numero passi significativi	6
Massa SDOF (t)	938,79	Taglio alla base max. (t)	170,21
Coeff. Partecipazione	1,00	Resistenza SDOF (t)	163,71
Rigidezza SDOF (t/m)	29709,11	Spostam. Snervam. SDOF mm	6
Periodo SDOF (sec)	0,36	Rapporto di incrudimento	0,000
Rapporto Alfau/alfa1	1,428	Fattore di comportamento	1,035
Coeff Smorzam.Equival.(%)	6	Duttilita	1,054

**STATO LIMITE DI DANNO**

<b>DOMANDA</b>		<b>CAPACITA'</b>	
Spostamento mm	8,367	Spostamento mm	5,806
S.L. Danno	NON VERIFICA	Numero passo precedente	5
PgaLD/g	0,050	ZetaE=PgaLD/Pga 63%	0,744
Rapporto q*=Fe/Fy	1,39	Asta3D Nro	

Tempo Intervento (anni)	28	TrCLD (anni)	28
-----		(TrCLD/TDLD)^a	0,788
STATO LIMITE DI SALVAGUARDIA DELLA VITA			
DOMANDA		CAPACITA'	
Spostamento mm	25,528	Spostamento mm	5,775
S.L. Salvaguardia Vita	NON VERIFICA	Numero passo precedente	5
PgaLV/g	0,050	ZetaE=PgaLV/Pga 10%	0,310
Rapporto q*=Fe/Fy	3,39	Asta3D Nro	14
Tempo Intervento (anni)	3	TrCLV (anni)	28
-----		(TrCLV/TDLV)^a	0,312

## RISULTATI GENERALI PUSH-OVER

PUSH-OVER N.ro	15 -	Distrib.Forze Prop.Massa: +Fy-0.3*Fx+Ecc5%	
Angolo Ingr. Sisma (Grd)	90	Numero collassi totali	1
Numero passo Resist.Max.	10	Numero passi significativi	10
Massa SDOF (t)	938,79	Taglio alla base max. (t)	152,77
Coeff. Partecipazione	1,00	Resistenza SDOF (t)	142,05
Rigidezza SDOF (t/m)	15278,63	Spostam. Snervam. SDOF mm	9
Periodo SDOF (sec)	0,50	Rapporto di incrudimento	0,000
Rapporto Alfau/alfa1	1,626	Fattore di comportamento	1,108
Coeff Smorzam.Equival.(%)	8	Duttilita	1,118

## STATO LIMITE DI DANNO

DOMANDA		CAPACITA'	
Spostamento mm	14,080	Spostamento mm	10,393
S.L. Danno	NON VERIFICA	Numero passo precedente	9
PgaLD/g	0,052	ZetaE=PgaLD/Pga 63%	0,771
Rapporto q*=Fe/Fy	1,51	Asta3D Nro	
Tempo Intervento (anni)	29	TrCLD (anni)	29
-----		(TrCLD/TDLD)^a	0,799

## STATO LIMITE DI SALVAGUARDIA DELLA VITA

DOMANDA		CAPACITA'	
Spostamento mm	38,754	Spostamento mm	10,383
S.L. Salvaguardia Vita	NON VERIFICA	Numero passo precedente	9
PgaLV/g	0,052	ZetaE=PgaLV/Pga 10%	0,321
Rapporto q*=Fe/Fy	3,91	Asta3D Nro	77
Tempo Intervento (anni)	3	TrCLV (anni)	29
-----		(TrCLV/TDLV)^a	0,316

## RISULTATI GENERALI PUSH-OVER

PUSH-OVER N.ro	16 -	Distrib.Forze Prop.Massa: -Fy-0.3*Fx+Ecc5%	
Angolo Ingr. Sisma (Grd)	270	Numero collassi totali	1
Numero passo Resist.Max.	5	Numero passi significativi	5
Massa SDOF (t)	938,79	Taglio alla base max. (t)	158,27
Coeff. Partecipazione	1,00	Resistenza SDOF (t)	154,24
Rigidezza SDOF (t/m)	15280,23	Spostam. Snervam. SDOF mm	10
Periodo SDOF (sec)	0,50	Rapporto di incrudimento	0,000
Rapporto Alfau/alfa1	1,298	Fattore di comportamento	1,034
Coeff Smorzam.Equival.(%)	6	Duttilita	1,034

## STATO LIMITE DI DANNO

DOMANDA		CAPACITA'	
Spostamento mm	14,079	Spostamento mm	10,437
S.L. Danno	NON VERIFICA	Numero passo precedente	4
PgaLD/g	0,052	ZetaE=PgaLD/Pga 63%	0,771
Rapporto q*=Fe/Fy	1,39	Asta3D Nro	

Tempo Intervento (anni)	29	TrCLD (anni)	29
-----		(TrCLD/TDLD)^a	0,799
STATO LIMITE DI SALVAGUARDIA DELLA VITA			
DOMANDA		CAPACITA'	
Spostamento mm	38,681	Spostamento mm	10,410
S.L. Salvaguardia Vita	NON VERIFICA	Numero passo precedente	4
PgaLV/g	0,052	ZetaE=PgaLV/Pga 10%	0,321
Rapporto q*=Fe/Fy	3,60	Asta3D Nro	2
Tempo Intervento (anni)	3	TrCLV (anni)	29
-----		(TrCLV/TDLV)^a	0,316

## RISULTATI GENERALI PUSH-OVER

PUSH-OVER N.ro	17 -	Distrib.Forze Prop.Modo:+Fx+0.3*Fy-Ecc5%	
Angolo Ingr. Sisma (Grd)	0	Numero collassi totali	1
Numero passo Resist.Max.	20	Numero passi significativi	20
Massa SDOF (t)	524,05	Taglio alla base max. (t)	155,68
Coeff. Partecipazione	1,33	Resistenza SDOF (t)	109,31
Rigidezza SDOF (t/m)	21141,89	Spostam. Snervam. SDOF mm	5
Periodo SDOF (sec)	0,32	Rapporto di incrudimento	0,000
Rapporto Alfau/alfa1	1,878	Fattore di comportamento	1,083
Coeff Smorzam.Equival.(%)	8	Duttilita	1,141

## STATO LIMITE DI DANNO

DOMANDA		CAPACITA'	
Spostamento mm	6,442	Spostamento mm	5,902
S.L. Danno	NON VERIFICA	Numero passo precedente	19
PgaLD/g	0,063	ZetaE=PgaLD/Pga 63%	0,935
Rapporto q*=Fe/Fy	1,17	Asta3D Nro	
Tempo Intervento (anni)	43	TrCLD (anni)	43
-----		(TrCLD/TDLD)^a	0,940

## STATO LIMITE DI SALVAGUARDIA DELLA VITA

DOMANDA		CAPACITA'	
Spostamento mm	21,446	Spostamento mm	5,893
S.L. Salvaguardia Vita	NON VERIFICA	Numero passo precedente	19
PgaLV/g	0,063	ZetaE=PgaLV/Pga 10%	0,389
Rapporto q*=Fe/Fy	2,84	Asta3D Nro	11
Tempo Intervento (anni)	5	TrCLV (anni)	43
-----		(TrCLV/TDLV)^a	0,372

## RISULTATI GENERALI PUSH-OVER

PUSH-OVER N.ro	18 -	Distrib.Forze Prop.Modo:-Fx+0.3*Fy-Ecc5%	
Angolo Ingr. Sisma (Grd)	180	Numero collassi totali	1
Numero passo Resist.Max.	18	Numero passi significativi	18
Massa SDOF (t)	524,05	Taglio alla base max. (t)	155,42
Coeff. Partecipazione	1,33	Resistenza SDOF (t)	109,84
Rigidezza SDOF (t/m)	20985,70	Spostam. Snervam. SDOF mm	5
Periodo SDOF (sec)	0,32	Rapporto di incrudimento	0,000
Rapporto Alfau/alfa1	1,836	Fattore di comportamento	1,071
Coeff Smorzam.Equival.(%)	8	Duttilita	1,122

## STATO LIMITE DI DANNO

DOMANDA		CAPACITA'	
Spostamento mm	6,473	Spostamento mm	5,870
S.L. Danno	NON VERIFICA	Numero passo precedente	17
PgaLD/g	0,062	ZetaE=PgaLD/Pga 63%	0,926
Rapporto q*=Fe/Fy	1,16	Asta3D Nro	

Tempo Intervento (anni)	42	TrCLD (anni)	42
-----		(TrCLD/TDLD)^a	0,931
STATO LIMITE DI SALVAGUARDIA DELLA VITA			
DOMANDA		CAPACITA'	
Spostamento mm	21,528	Spostamento mm	5,842
S.L. Salvaguardia Vita	NON VERIFICA	Numero passo precedente	17
PgaLV/g	0,062	ZetaE=PgaLV/Pga 10%	0,385
Rapporto q*=Fe/Fy	2,82	Asta3D Nro	14
Tempo Intervento (anni)	4	TrCLV (anni)	42
-----		(TrCLV/TDLV)^a	0,369

## RISULTATI GENERALI PUSH-OVER

PUSH-OVER N.ro	19 -	Distrib.Forze Prop.Modo:+Fy+0.3*Fx-Ecc5%	
Angolo Ingr. Sisma (Grd)	90	Numero collassi totali	1
Numero passo Resist.Max.	10	Numero passi significativi	10
Massa SDOF (t)	501,58	Taglio alla base max. (t)	119,36
Coeff. Partecipazione	1,34	Resistenza SDOF (t)	83,56
Rigidezza SDOF (t/m)	10568,74	Spostam. Snervam. SDOF mm	8
Periodo SDOF (sec)	0,44	Rapporto di incrudimento	0,000
Rapporto Alfau/alfa1	1,524	Fattore di comportamento	1,090
Coeff Smorzam.Equival.(%)	8	Duttilita	1,111

## STATO LIMITE DI DANNO

DOMANDA		CAPACITA'	
Spostamento mm	11,803	Spostamento mm	8,783
S.L. Danno	NON VERIFICA	Numero passo precedente	9
PgaLD/g	0,052	ZetaE=PgaLD/Pga 63%	0,771
Rapporto q*=Fe/Fy	1,46	Asta3D Nro	
Tempo Intervento (anni)	29	TrCLD (anni)	29
-----		(TrCLD/TDLD)^a	0,799

## STATO LIMITE DI SALVAGUARDIA DELLA VITA

DOMANDA		CAPACITA'	
Spostamento mm	32,896	Spostamento mm	8,753
S.L. Salvaguardia Vita	NON VERIFICA	Numero passo precedente	9
PgaLV/g	0,050	ZetaE=PgaLV/Pga 10%	0,310
Rapporto q*=Fe/Fy	3,55	Asta3D Nro	74
Tempo Intervento (anni)	3	TrCLV (anni)	28
-----		(TrCLV/TDLV)^a	0,312

## RISULTATI GENERALI PUSH-OVER

PUSH-OVER N.ro	20 -	Distrib.Forze Prop.Modo:-Fy+0.3*Fx-Ecc5%	
Angolo Ingr. Sisma (Grd)	270	Numero collassi totali	1
Numero passo Resist.Max.	21	Numero passi significativi	21
Massa SDOF (t)	501,58	Taglio alla base max. (t)	140,06
Coeff. Partecipazione	1,34	Resistenza SDOF (t)	96,11
Rigidezza SDOF (t/m)	10557,37	Spostam. Snervam. SDOF mm	9
Periodo SDOF (sec)	0,44	Rapporto di incrudimento	0,000
Rapporto Alfau/alfa1	1,705	Fattore di comportamento	1,169
Coeff Smorzam.Equival.(%)	10	Duttilita	1,210

## STATO LIMITE DI DANNO

DOMANDA		CAPACITA'	
Spostamento mm	11,729	Spostamento mm	11,011
S.L. Danno	NON VERIFICA	Numero passo precedente	20
PgaLD/g	0,063	ZetaE=PgaLD/Pga 63%	0,945
Rapporto q*=Fe/Fy	1,27	Asta3D Nro	

Tempo Intervento (anni)	44	TrCLD (anni)	44
-----		(TrCLD/TDLD)^a	0,949
<b>STATO LIMITE DI SALVAGUARDIA DELLA VITA</b>			
<b>DOMANDA</b>		<b>CAPACITA'</b>	
Spostamento mm	32,636	Spostamento mm	10,978
S.L. Salvaguardia Vita	NON VERIFICA	Numero passo precedente	20
PgaLV/g	0,063	ZetaE=PgaLV/Pga 10%	0,389
Rapporto q*=Fe/Fy	3,09	Asta3D Nro	80
Tempo Intervento (anni)	5	TrCLV (anni)	43
-----		(TrCLV/TDLV)^a	0,372

**RISULTATI GENERALI PUSH-OVER**

PUSH-OVER N.ro	21 -	Distrib.Forze Prop.Massa: +Fx+0.3*Fy-Ecc5%	
Angolo Ingr. Sisma (Grd)	0	Numero collassi totali	1
Numero passo Resist.Max.	8	Numero passi significativi	8
Massa SDOF (t)	938,79	Taglio alla base max. (t)	166,58
Coeff. Partecipazione	1,00	Resistenza SDOF (t)	160,33
Rigidezza SDOF (t/m)	29709,11	Spostam. Snervam. SDOF mm	5
Periodo SDOF (sec)	0,36	Rapporto di incrudimento	0,000
Rapporto Alfau/alfa1	1,450	Fattore di comportamento	1,034
Coeff Smorzam.Equival.(%)	6	Duttilita	1,052

**STATO LIMITE DI DANNO**

<b>DOMANDA</b>		<b>CAPACITA'</b>	
Spostamento mm	8,402	Spostamento mm	5,675
S.L. Danno	NON VERIFICA	Numero passo precedente	7
PgaLD/g	0,048	ZetaE=PgaLD/Pga 63%	0,718
Rapporto q*=Fe/Fy	1,42	Asta3D Nro	
Tempo Intervento (anni)	27	TrCLD (anni)	27
-----		(TrCLD/TDLD)^a	0,776

**STATO LIMITE DI SALVAGUARDIA DELLA VITA**

<b>DOMANDA</b>		<b>CAPACITA'</b>	
Spostamento mm	25,587	Spostamento mm	5,645
S.L. Salvaguardia Vita	NON VERIFICA	Numero passo precedente	7
PgaLV/g	0,048	ZetaE=PgaLV/Pga 10%	0,299
Rapporto q*=Fe/Fy	3,47	Asta3D Nro	11
Tempo Intervento (anni)	3	TrCLV (anni)	27
-----		(TrCLV/TDLV)^a	0,307

**RISULTATI GENERALI PUSH-OVER**

PUSH-OVER N.ro	22 -	Distrib.Forze Prop.Massa: -Fx+0.3*Fy-Ecc5%	
Angolo Ingr. Sisma (Grd)	180	Numero collassi totali	1
Numero passo Resist.Max.	8	Numero passi significativi	8
Massa SDOF (t)	938,79	Taglio alla base max. (t)	166,43
Coeff. Partecipazione	1,00	Resistenza SDOF (t)	161,05
Rigidezza SDOF (t/m)	29483,45	Spostam. Snervam. SDOF mm	5
Periodo SDOF (sec)	0,36	Rapporto di incrudimento	0,000
Rapporto Alfau/alfa1	1,418	Fattore di comportamento	1,042
Coeff Smorzam.Equival.(%)	6	Duttilita	1,042

**STATO LIMITE DI DANNO**

<b>DOMANDA</b>		<b>CAPACITA'</b>	
Spostamento mm	8,448	Spostamento mm	5,694
S.L. Danno	NON VERIFICA	Numero passo precedente	7
PgaLD/g	0,048	ZetaE=PgaLD/Pga 63%	0,718
Rapporto q*=Fe/Fy	1,42	Asta3D Nro	

Tempo Intervento (anni)	27	TrCLD (anni)	27
-----		(TrCLD/TDLD)^a	0,776
<b>STATO LIMITE DI SALVAGUARDIA DELLA VITA</b>			
<b>DOMANDA</b>		<b>CAPACITA'</b>	
Spostamento mm	25,693	Spostamento mm	5,661
S.L. Salvaguardia Vita	NON VERIFICA	Numero passo precedente	7
PgaLV/g	0,048	ZetaE=PgaLV/Pga 10%	0,299
Rapporto $q^*=F_e/F_y$	3,45	Asta3D Nro	14
Tempo Intervento (anni)	3	TrCLV (anni)	27
-----		(TrCLV/TDLV)^a	0,307

**RISULTATI GENERALI PUSH-OVER**

PUSH-OVER N.ro	23 -	Distrib.Forze Prop.Massa: +Fy+0.3*Fx-Ecc5%	
Angolo Ingr. Sisma (Grd)	90	Numero collassi totali	1
Numero passo Resist.Max.	9	Numero passi significativi	9
Massa SDOF (t)	938,79	Taglio alla base max. (t)	157,28
Coeff. Partecipazione	1,00	Resistenza SDOF (t)	145,76
Rigidezza SDOF (t/m)	15280,23	Spostam. Snervam. SDOF mm	10
Periodo SDOF (sec)	0,50	Rapporto di incrudimento	0,000
Rapporto Alfau/alfa1	1,659	Fattore di comportamento	1,112
Coeff Smorzam.Equival.(%)	8	Duttilita	1,122

**STATO LIMITE DI DANNO**

<b>DOMANDA</b>		<b>CAPACITA'</b>	
Spostamento mm	14,079	Spostamento mm	10,703
S.L. Danno	NON VERIFICA	Numero passo precedente	8
PgaLD/g	0,053	ZetaE=PgaLD/Pga 63%	0,797
Rapporto $q^*=F_e/F_y$	1,48	Asta3D Nro	
Tempo Intervento (anni)	30	TrCLD (anni)	30
-----		(TrCLD/TDLD)^a	0,810

**STATO LIMITE DI SALVAGUARDIA DELLA VITA**

<b>DOMANDA</b>		<b>CAPACITA'</b>	
Spostamento mm	38,730	Spostamento mm	10,670
S.L. Salvaguardia Vita	NON VERIFICA	Numero passo precedente	8
PgaLV/g	0,053	ZetaE=PgaLV/Pga 10%	0,332
Rapporto $q^*=F_e/F_y$	3,81	Asta3D Nro	74
Tempo Intervento (anni)	3	TrCLV (anni)	30
-----		(TrCLV/TDLV)^a	0,321

**RISULTATI GENERALI PUSH-OVER**

PUSH-OVER N.ro	24 -	Distrib.Forze Prop.Massa: -Fy+0.3*Fx-Ecc5%	
Angolo Ingr. Sisma (Grd)	270	Numero collassi totali	1
Numero passo Resist.Max.	3	Numero passi significativi	3
Massa SDOF (t)	938,79	Taglio alla base max. (t)	145,00
Coeff. Partecipazione	1,00	Resistenza SDOF (t)	141,91
Rigidezza SDOF (t/m)	15278,63	Spostam. Snervam. SDOF mm	9
Periodo SDOF (sec)	0,50	Rapporto di incrudimento	0,000
Rapporto Alfau/alfa1	1,232	Fattore di comportamento	1,026
Coeff Smorzam.Equival.(%)	5	Duttilita	1,026

**STATO LIMITE DI DANNO**

<b>DOMANDA</b>		<b>CAPACITA'</b>	
Spostamento mm	14,080	Spostamento mm	9,530
S.L. Danno	NON VERIFICA	Numero passo precedente	2
PgaLD/g	0,048	ZetaE=PgaLD/Pga 63%	0,718
Rapporto $q^*=F_e/F_y$	1,52	Asta3D Nro	

Tempo Intervento (anni)	27	TrCLD (anni)	27
-----		(TrCLD/TDLD)^a	0,776
STATO LIMITE DI SALVAGUARDIA DELLA VITA			
DOMANDA		CAPACITA'	
Spostamento mm	38,755	Spostamento mm	9,407
S.L. Salvaguardia Vita	NON VERIFICA	Numero passo precedente	2
PgaLV/g	0,046	ZetaE=PgaLV/Pga 10%	0,288
Rapporto $q^*=F_e/F_y$	3,91	Asta3D Nro	23
Tempo Intervento (anni)	3	TrCLV (anni)	26
-----		(TrCLV/TDLV)^a	0,303

## RISULTATI GENERALI PUSH-OVER

PUSH-OVER N.ro	25 -	Distrib.Forze Prop.Modo:+Fx-0.3*Fy-Ecc5%	
Angolo Ingr. Sisma (Grd)	0	Numero collassi totali	1
Numero passo Resist.Max.	18	Numero passi significativi	18
Massa SDOF (t)	524,05	Taglio alla base max. (t)	159,10
Coeff. Partecipazione	1,33	Resistenza SDOF (t)	110,99
Rigidezza SDOF (t/m)	21160,80	Spostam. Snervam. SDOF mm	5
Periodo SDOF (sec)	0,32	Rapporto di incrudimento	0,000
Rapporto Alfau/alfa1	1,910	Fattore di comportamento	1,094
Coeff Smorzam.Equival.(%)	9	Duttilita	1,162

## STATO LIMITE DI DANNO

DOMANDA		CAPACITA'	
Spostamento mm	6,399	Spostamento mm	6,094
S.L. Danno	NON VERIFICA	Numero passo precedente	17
PgaLD/g	0,065	ZetaE=PgaLD/Pga 63%	0,964
Rapporto $q^*=F_e/F_y$	1,15	Asta3D Nro	
Tempo Intervento (anni)	46	TrCLD (anni)	46
-----		(TrCLD/TDLD)^a	0,966

## STATO LIMITE DI SALVAGUARDIA DELLA VITA

DOMANDA		CAPACITA'	
Spostamento mm	21,378	Spostamento mm	6,050
S.L. Salvaguardia Vita	NON VERIFICA	Numero passo precedente	17
PgaLV/g	0,064	ZetaE=PgaLV/Pga 10%	0,397
Rapporto $q^*=F_e/F_y$	2,79	Asta3D Nro	11
Tempo Intervento (anni)	5	TrCLV (anni)	45
-----		(TrCLV/TDLV)^a	0,379

## RISULTATI GENERALI PUSH-OVER

PUSH-OVER N.ro	26 -	Distrib.Forze Prop.Modo:-Fx-0.3*Fy-Ecc5%	
Angolo Ingr. Sisma (Grd)	180	Numero collassi totali	1
Numero passo Resist.Max.	21	Numero passi significativi	21
Massa SDOF (t)	524,05	Taglio alla base max. (t)	158,35
Coeff. Partecipazione	1,33	Resistenza SDOF (t)	111,52
Rigidezza SDOF (t/m)	20949,21	Spostam. Snervam. SDOF mm	5
Periodo SDOF (sec)	0,32	Rapporto di incrudimento	0,000
Rapporto Alfau/alfa1	1,790	Fattore di comportamento	1,079
Coeff Smorzam.Equival.(%)	8	Duttilita	1,135

## STATO LIMITE DI DANNO

DOMANDA		CAPACITA'	
Spostamento mm	6,445	Spostamento mm	6,043
S.L. Danno	NON VERIFICA	Numero passo precedente	20
PgaLD/g	0,064	ZetaE=PgaLD/Pga 63%	0,954
Rapporto $q^*=F_e/F_y$	1,14	Asta3D Nro	

Tempo Intervento (anni)	45	TrCLD (anni)	45
-----		(TrCLD/TDLD)^a	0,958
<b>STATO LIMITE DI SALVAGUARDIA DELLA VITA</b>			
<b>DOMANDA</b>		<b>CAPACITA'</b>	
Spostamento mm	21,494	Spostamento mm	6,041
S.L. Salvaguardia Vita	NON VERIFICA	Numero passo precedente	20
PgaLV/g	0,064	ZetaE=PgaLV/Pga 10%	0,397
Rapporto q*=Fe/Fy	2,78	Asta3D Nro	14
Tempo Intervento (anni)	5	TrCLV (anni)	45
-----		(TrCLV/TDLV)^a	0,379

**RISULTATI GENERALI PUSH-OVER**

PUSH-OVER N.ro	27 -	Distrib.Forze Prop.Modo:+Fy-0.3*Fx-Ecc5%	
Angolo Ingr. Sisma (Grd)	90	Numero collassi totali	1
Numero passo Resist.Max.	10	Numero passi significativi	10
Massa SDOF (t)	501,58	Taglio alla base max. (t)	119,00
Coeff. Partecipazione	1,34	Resistenza SDOF (t)	82,98
Rigidezza SDOF (t/m)	10568,89	Spostam. Snervam. SDOF mm	8
Periodo SDOF (sec)	0,44	Rapporto di incrudimento	0,000
Rapporto Alfau/alfa1	1,505	Fattore di comportamento	1,097
Coeff Smorzam.Equival.(%)	8	Duttilita	1,120

**STATO LIMITE DI DANNO**

<b>DOMANDA</b>		<b>CAPACITA'</b>	
Spostamento mm	11,807	Spostamento mm	8,793
S.L. Danno	NON VERIFICA	Numero passo precedente	9
PgaLD/g	0,052	ZetaE=PgaLD/Pga 63%	0,771
Rapporto q*=Fe/Fy	1,47	Asta3D Nro	
Tempo Intervento (anni)	29	TrCLD (anni)	29
-----		(TrCLD/TDLD)^a	0,799

**STATO LIMITE DI SALVAGUARDIA DELLA VITA**

<b>DOMANDA</b>		<b>CAPACITA'</b>	
Spostamento mm	32,909	Spostamento mm	8,757
S.L. Salvaguardia Vita	NON VERIFICA	Numero passo precedente	9
PgaLV/g	0,050	ZetaE=PgaLV/Pga 10%	0,310
Rapporto q*=Fe/Fy	3,58	Asta3D Nro	74
Tempo Intervento (anni)	3	TrCLV (anni)	28
-----		(TrCLV/TDLV)^a	0,312

**RISULTATI GENERALI PUSH-OVER**

PUSH-OVER N.ro	28 -	Distrib.Forze Prop.Modo:-Fy-0.3*Fx-Ecc5%	
Angolo Ingr. Sisma (Grd)	270	Numero collassi totali	1
Numero passo Resist.Max.	20	Numero passi significativi	20
Massa SDOF (t)	501,58	Taglio alla base max. (t)	137,71
Coeff. Partecipazione	1,34	Resistenza SDOF (t)	94,77
Rigidezza SDOF (t/m)	10564,65	Spostam. Snervam. SDOF mm	9
Periodo SDOF (sec)	0,44	Rapporto di incrudimento	0,000
Rapporto Alfau/alfa1	1,695	Fattore di comportamento	1,163
Coeff Smorzam.Equival.(%)	10	Duttilita	1,202

**STATO LIMITE DI DANNO**

<b>DOMANDA</b>		<b>CAPACITA'</b>	
Spostamento mm	11,731	Spostamento mm	10,785
S.L. Danno	NON VERIFICA	Numero passo precedente	19
PgaLD/g	0,062	ZetaE=PgaLD/Pga 63%	0,926
Rapporto q*=Fe/Fy	1,29	Asta3D Nro	

Tempo Intervento (anni)	42	TrCLD (anni)	42
-----		(TrCLD/TDLD)^a	0,931
<b>STATO LIMITE DI SALVAGUARDIA DELLA VITA</b>			
<b>DOMANDA</b>		<b>CAPACITA'</b>	
Spostamento mm	32,652	Spostamento mm	10,785
S.L. Salvaguardia Vita	NON VERIFICA	Numero passo precedente	19
PgaLV/g	0,062	ZetaE=PgaLV/Pga 10%	0,385
Rapporto q*=Fe/Fy	3,13	Asta3D Nro	80
Tempo Intervento (anni)	4	TrCLV (anni)	42
-----		(TrCLV/TDLV)^a	0,369

**RISULTATI GENERALI PUSH-OVER**

PUSH-OVER N.ro	29 -	Distrib.Forze Prop.Massa:+Fx-0.3*Fy-Ecc5%	
Angolo Ingr. Sisma (Grd)	0	Numero collassi totali	1
Numero passo Resist.Max.	8	Numero passi significativi	8
Massa SDOF (t)	938,79	Taglio alla base max. (t)	169,70
Coeff. Partecipazione	1,00	Resistenza SDOF (t)	162,72
Rigidezza SDOF (t/m)	29751,71	Spostam. Snervam. SDOF mm	5
Periodo SDOF (sec)	0,36	Rapporto di incrudimento	0,000
Rapporto Alfau/alfa1	1,461	Fattore di comportamento	1,039
Coeff Smorzam.Equival.(%)	6	Duttilita	1,059

**STATO LIMITE DI DANNO**

<b>DOMANDA</b>		<b>CAPACITA'</b>	
Spostamento mm	8,367	Spostamento mm	5,792
S.L. Danno	NON VERIFICA	Numero passo precedente	7
PgaLD/g	0,050	ZetaE=PgaLD/Pga 63%	0,744
Rapporto q*=Fe/Fy	1,40	Asta3D Nro	
Tempo Intervento (anni)	28	TrCLD (anni)	28
-----		(TrCLD/TDLD)^a	0,788

**STATO LIMITE DI SALVAGUARDIA DELLA VITA**

<b>DOMANDA</b>		<b>CAPACITA'</b>	
Spostamento mm	25,523	Spostamento mm	5,775
S.L. Salvaguardia Vita	NON VERIFICA	Numero passo precedente	7
PgaLV/g	0,050	ZetaE=PgaLV/Pga 10%	0,310
Rapporto q*=Fe/Fy	3,41	Asta3D Nro	11
Tempo Intervento (anni)	3	TrCLV (anni)	28
-----		(TrCLV/TDLV)^a	0,312

**RISULTATI GENERALI PUSH-OVER**

PUSH-OVER N.ro	30 -	Distrib.Forze Prop.Massa:-Fx-0.3*Fy-Ecc5%	
Angolo Ingr. Sisma (Grd)	180	Numero collassi totali	1
Numero passo Resist.Max.	6	Numero passi significativi	6
Massa SDOF (t)	938,79	Taglio alla base max. (t)	169,70
Coeff. Partecipazione	1,00	Resistenza SDOF (t)	164,36
Rigidezza SDOF (t/m)	29441,61	Spostam. Snervam. SDOF mm	6
Periodo SDOF (sec)	0,36	Rapporto di incrudimento	0,000
Rapporto Alfau/alfa1	1,433	Fattore di comportamento	1,042
Coeff Smorzam.Equival.(%)	6	Duttilita	1,042

**STATO LIMITE DI DANNO**

<b>DOMANDA</b>		<b>CAPACITA'</b>	
Spostamento mm	8,423	Spostamento mm	5,817
S.L. Danno	NON VERIFICA	Numero passo precedente	5
PgaLD/g	0,050	ZetaE=PgaLD/Pga 63%	0,744
Rapporto q*=Fe/Fy	1,39	Asta3D Nro	

Tempo Intervento (anni)	28	TrCLD (anni)	28
-----		(TrCLD/TDLD)^a	0,788
STATO LIMITE DI SALVAGUARDIA DELLA VITA			
DOMANDA		CAPACITA'	
Spostamento mm	25,658	Spostamento mm	5,808
S.L. Salvaguardia Vita	NON VERIFICA	Numero passo precedente	5
PgaLV/g	0,050	ZetaE=PgaLV/Pga 10%	0,310
Rapporto q*=Fe/Fy	3,38	Asta3D Nro	14
Tempo Intervento (anni)	3	TrCLV (anni)	28
-----		(TrCLV/TDLV)^a	0,312

## RISULTATI GENERALI PUSH-OVER

PUSH-OVER N.ro	31 -	Distrib.Forze Prop.Massa:+Fy-0.3*Fx-Ecc5%	
Angolo Ingr. Sisma (Grd)	90	Numero collassi totali	1
Numero passo Resist.Max.	10	Numero passi significativi	10
Massa SDOF (t)	938,79	Taglio alla base max. (t)	157,26
Coeff. Partecipazione	1,00	Resistenza SDOF (t)	145,68
Rigidezza SDOF (t/m)	15280,44	Spostam. Snervam. SDOF mm	10
Periodo SDOF (sec)	0,50	Rapporto di incrudimento	0,000
Rapporto Alfau/alfa1	1,642	Fattore di comportamento	1,114
Coeff Smorzam.Equival.(%)	8	Duttilita	1,124

## STATO LIMITE DI DANNO

DOMANDA		CAPACITA'	
Spostamento mm	14,079	Spostamento mm	10,718
S.L. Danno	NON VERIFICA	Numero passo precedente	9
PgaLD/g	0,053	ZetaE=PgaLD/Pga 63%	0,797
Rapporto q*=Fe/Fy	1,48	Asta3D Nro	
Tempo Intervento (anni)	30	TrCLD (anni)	30
-----		(TrCLD/TDLD)^a	0,810

## STATO LIMITE DI SALVAGUARDIA DELLA VITA

DOMANDA		CAPACITA'	
Spostamento mm	38,730	Spostamento mm	10,678
S.L. Salvaguardia Vita	NON VERIFICA	Numero passo precedente	9
PgaLV/g	0,053	ZetaE=PgaLV/Pga 10%	0,332
Rapporto q*=Fe/Fy	3,81	Asta3D Nro	74
Tempo Intervento (anni)	3	TrCLV (anni)	30
-----		(TrCLV/TDLV)^a	0,321

## RISULTATI GENERALI PUSH-OVER

PUSH-OVER N.ro	32 -	Distrib.Forze Prop.Massa:-Fy-0.3*Fx-Ecc5%	
Angolo Ingr. Sisma (Grd)	270	Numero collassi totali	1
Numero passo Resist.Max.	3	Numero passi significativi	3
Massa SDOF (t)	938,79	Taglio alla base max. (t)	141,68
Coeff. Partecipazione	1,00	Resistenza SDOF (t)	138,75
Rigidezza SDOF (t/m)	15278,42	Spostam. Snervam. SDOF mm	9
Periodo SDOF (sec)	0,50	Rapporto di incrudimento	0,000
Rapporto Alfau/alfa1	1,221	Fattore di comportamento	1,025
Coeff Smorzam.Equival.(%)	5	Duttilita	1,025

## STATO LIMITE DI DANNO

DOMANDA		CAPACITA'	
Spostamento mm	14,080	Spostamento mm	9,311
S.L. Danno	NON VERIFICA	Numero passo precedente	2
PgaLD/g	0,046	ZetaE=PgaLD/Pga 63%	0,691
Rapporto q*=Fe/Fy	1,55	Asta3D Nro	

Tempo Intervento (anni)	26	TrCLD (anni)	26
-----		(TrCLD/TDLD)^a	0,764
STATO LIMITE DI SALVAGUARDIA DELLA VITA			
DOMANDA		CAPACITA'	
Spostamento mm	38,773	Spostamento mm	9,191
S.L. Salvaguardia Vita	NON VERIFICA	Numero passo precedente	2
PgaLV/g	0,046	ZetaE=PgaLV/Pga 10%	0,288
Rapporto $q^*=F_e/F_y$	4,00	Asta3D Nro	23
Tempo Intervento (anni)	3	TrCLV (anni)	26
-----		(TrCLV/TDLV)^a	0,303

DOMINI ASTE IN C.A.													
IDENTIFICATIVO								ATTRIBUTI DI CALCOLO			DOMINI		
Asta 3D	Filo Iniz	Filo Fin.	Q.In. (m)	Q.Fin (m)	Tra tto	Nodo3d Iniz.	Nodo3d Finale	FlagNon Lineare	Barre Ancorate	Staffe Confin	Dominio Concio 1	Dominio Concio 2	Dominio Concio 3
1	1	1	2,0	0,0		2	1	SI	SI	NO	1		1
2	2	2	2,0	0,0		4	3	SI	SI	NO	1		1
3	3	3	2,0	0,0		6	5	SI	SI	NO	2		2
4	4	4	2,0	0,0		8	7	SI	SI	NO	3		3
5	5	5	2,0	0,0		10	9	SI	SI	NO	3		3
6	6	6	2,0	0,0		12	11	SI	SI	NO	3		3
7	7	7	2,0	0,0		14	13	SI	SI	NO	3		3
8	8	8	2,0	0,0		16	15	SI	SI	NO	3		3
9	9	9	2,0	0,0		18	17	SI	SI	NO	3		3
10	10	10	2,0	0,0		20	19	SI	SI	NO	4		4
11	11	11	2,0	0,0		22	21	SI	SI	NO	3		3
12	12	12	2,0	0,0		24	23	SI	SI	NO	3		3
13	13	13	2,0	0,0		26	25	SI	SI	NO	4		4
14	14	14	2,0	0,0		28	27	SI	SI	NO	3		3
15	15	15	2,0	0,0		30	29	SI	SI	NO	3		3
16	16	16	2,0	0,0		32	31	SI	SI	NO	3		3
17	17	17	2,0	0,0		34	33	SI	SI	NO	3		3
18	18	18	2,0	0,0		36	35	SI	SI	NO	3		3
19	19	19	2,0	0,0		38	37	SI	SI	NO	3		3
20	20	20	2,0	0,0		40	39	SI	SI	NO	3		3
21	21	21	2,0	0,0		42	41	SI	SI	NO	3		3
22	22	22	2,0	0,0		44	43	SI	SI	NO	1		1
23	23	23	2,0	0,0		46	45	SI	SI	NO	1		1
24	24	24	2,0	0,0		48	47	SI	SI	NO	2		2
25	1	4	2,0	2,0		2	8	SI	SI	NO	5	6	7
26	4	7	2,0	2,0		8	14	SI	SI	NO	7	6	7
27	7	10	2,0	2,0		14	20	SI	SI	NO	7	6	8
28	11	31	2,0	2,0		22	49	SI	SI	NO	9	10	9
29	13	16	2,0	2,0		26	32	SI	SI	NO	8	6	7
30	16	19	2,0	2,0		32	38	SI	SI	NO	7	6	7
31	19	22	2,0	2,0		38	44	SI	SI	NO	11	6	5
32	2	5	2,0	2,0		4	10	SI	SI	NO	8	6	12
33	5	8	2,0	2,0		10	16	SI	SI	NO	13	6	14
34	8	11	2,0	2,0		16	22	SI	SI	NO	8	6	15
35	14	17	2,0	2,0		28	34	SI	SI	NO	15	6	8
36	17	20	2,0	2,0		34	40	SI	SI	NO	14	6	13
37	20	23	2,0	2,0		40	46	SI	SI	NO	8	6	8
38	3	6	2,0	2,0		6	12	SI	SI	NO	7	6	16
39	6	9	2,0	2,0		12	18	SI	SI	NO	13	6	13
40	9	12	2,0	2,0		18	24	SI	SI	NO	13	6	14
41	12	15	2,0	2,0		24	30	SI	SI	NO	14	6	14
42	15	18	2,0	2,0		30	36	SI	SI	NO	14	6	13
43	18	21	2,0	2,0		36	42	SI	SI	NO	13	6	13
44	21	24	2,0	2,0		42	48	SI	SI	NO	13	6	13
45	1	2	2,0	2,0		2	4	SI	SI	NO	7	6	13
46	2	3	2,0	2,0		4	6	SI	SI	NO	12	6	14
47	4	5	2,0	2,0		8	10	SI	SI	NO	8	6	12

## DOMINI ASTE IN C.A.

IDENTIFICATIVO								ATTRIBUTI DI CALCOLO			DOMINI		
Asta 3D	Filo Iniz	Filo Fin.	Q.In. (m)	Q.Fin (m)	Tra tto	Nodo3d Iniz.	Nodo3d Finale	FlagNon Lineare	Barre Ancorate	Staffe Confin	Dominio Concio 1	Dominio Concio 2	Dominio Concio 3
48	5	6	2,0	2,0		10	12	SI	SI	NO	12	6	8
49	7	8	2,0	2,0		14	16	SI	SI	NO	12	6	17
50	8	9	2,0	2,0		16	18	SI	SI	NO	17	6	12
51	11	12	2,0	2,0		22	24	SI	SI	NO	12	6	8
52	14	15	2,0	2,0		28	30	SI	SI	NO	12	6	12
53	16	17	2,0	2,0		32	34	SI	SI	NO	12	6	17
54	17	18	2,0	2,0		34	36	SI	SI	NO	17	6	12
55	19	20	2,0	2,0		38	40	SI	SI	NO	8	6	12
56	20	21	2,0	2,0		40	42	SI	SI	NO	12	6	8
57	22	23	2,0	2,0		44	46	SI	SI	NO	7	6	13
58	23	24	2,0	2,0		46	48	SI	SI	NO	12	6	14
59	10	11	2,0	2,0		20	22	SI	SI	NO	18	19	18
60	13	14	2,0	2,0		26	28	SI	SI	NO	18	19	18
61	39	1	2,0	2,0		50	2	SI	SI	NO			
62	31	14	2,0	2,0		49	28	SI	SI	NO			
63	10	13	2,0	2,0		20	26	SI	SI	NO			
64	1	1	4,9	2,0		51	2	SI	SI	NO	20		20
65	2	2	4,9	2,0		52	4	SI	SI	NO	21		21
66	3	3	4,9	2,0		53	6	SI	SI	NO	20		20
67	4	4	4,9	2,0		54	8	SI	SI	NO	20		20
68	5	5	4,9	2,0		55	10	SI	SI	NO	20		20
69	6	6	4,9	2,0		56	12	SI	SI	NO	20		20
70	7	7	4,9	2,0		57	14	SI	SI	NO	20		20
71	8	8	4,9	2,0		58	16	SI	SI	NO	20		20
72	9	9	4,9	2,0		59	18	SI	SI	NO	20		20
73	10	10	4,9	2,0		60	20	SI	SI	NO	4		4
74	11	11	4,9	2,0		61	22	SI	SI	NO	20		20
75	12	12	4,9	2,0		62	24	SI	SI	NO	20		20
76	13	13	4,9	2,0		63	26	SI	SI	NO	4		4
77	14	14	4,9	2,0		64	28	SI	SI	NO	20		20
78	15	15	4,9	2,0		65	30	SI	SI	NO	20		20
79	16	16	4,9	2,0		66	32	SI	SI	NO	20		20
80	17	17	4,9	2,0		67	34	SI	SI	NO	20		20
81	18	18	4,9	2,0		68	36	SI	SI	NO	20		20
82	19	19	4,9	2,0		69	38	SI	SI	NO	20		20
83	20	20	4,9	2,0		70	40	SI	SI	NO	20		20
84	21	21	4,9	2,0		71	42	SI	SI	NO	20		20
85	22	22	4,9	2,0		72	44	SI	SI	NO	20		20
86	23	23	4,9	2,0		73	46	SI	SI	NO	20		20
87	24	24	4,9	2,0		74	48	SI	SI	NO	20		20
88	1	4	4,9	4,9		51	54	SI	SI	NO	14	6	12
89	4	7	4,9	4,9		54	57	SI	SI	NO	12	6	13
90	7	10	4,9	4,9		57	60	SI	SI	NO	13	6	13
91	10	13	4,9	4,9		60	63	SI	SI	NO	13	6	13
92	13	16	4,9	4,9		63	66	SI	SI	NO	13	6	13
93	16	19	4,9	4,9		66	69	SI	SI	NO	13	6	12
94	19	22	4,9	4,9		69	72	SI	SI	NO	13	6	12
95	2	5	4,9	4,9		52	55	SI	SI	NO	8	6	8
96	5	8	4,9	4,9		55	58	SI	SI	NO	8	6	8
97	8	11	4,9	4,9		58	61	SI	SI	NO	12	6	12
98	14	17	4,9	4,9		64	67	SI	SI	NO	8	6	8
99	17	20	4,9	4,9		67	70	SI	SI	NO	22	23	14
100	20	23	4,9	4,9		70	73	SI	SI	NO	8	6	8
101	3	6	4,9	4,9		53	56	SI	SI	NO	8	6	8
102	6	9	4,9	4,9		56	59	SI	SI	NO	8	6	8
103	9	12	4,9	4,9		59	62	SI	SI	NO	8	6	8
104	12	15	4,9	4,9		62	65	SI	SI	NO	8	6	8
105	15	18	4,9	4,9		65	68	SI	SI	NO	8	6	8
106	18	21	4,9	4,9		68	71	SI	SI	NO	8	6	8
107	21	24	4,9	4,9		71	74	SI	SI	NO	8	6	8

DOMINI ASTE IN C.A.													
IDENTIFICATIVO								ATTRIBUTI DI CALCOLO			DOMINI		
Asta 3D	Filo Iniz	Filo Fin.	Q.In. (m)	Q.Fin (m)	Tra tto	Nodo3d Iniz.	Nodo3d Finale	FlagNon Lineare	Barre Ancorate	Staffe Confin	Dominio Concio 1	Dominio Concio 2	Dominio Concio 3
108	11	14	4,9	4,9		61	64	SI	SI	NO	24	25	24
109	1	2	4,9	4,9		51	52	SI	SI	NO	22	26	27
110	2	3	4,9	4,9		52	53	SI	SI	NO	27	6	13
111	4	5	4,9	4,9		54	55	SI	SI	NO	28	29	30
112	5	6	4,9	4,9		55	56	SI	SI	NO	12	6	12
113	7	8	4,9	4,9		57	58	SI	SI	NO	12	6	12
114	8	9	4,9	4,9		58	59	SI	SI	NO	8	6	8
115	11	12	4,9	4,9		61	62	SI	SI	NO	28	29	30
116	14	15	4,9	4,9		64	65	SI	SI	NO	28	29	30
117	16	17	4,9	4,9		66	67	SI	SI	NO	12	6	12
118	17	18	4,9	4,9		67	68	SI	SI	NO	8	6	8
119	19	20	4,9	4,9		69	70	SI	SI	NO	28	29	30
120	20	21	4,9	4,9		70	71	SI	SI	NO	12	6	12
121	22	23	4,9	4,9		72	73	SI	SI	NO	22	26	27
122	23	24	4,9	4,9		73	74	SI	SI	NO	27	6	13
123	10	11	4,9	4,9		60	61	SI	SI	NO	31	32	31
124	13	14	4,9	4,9		63	64	SI	SI	NO	31	32	31
125	39	1	4,9	4,9		75	51	SI	SI	NO			
126	1	1	7,9	4,9		76	51	SI	SI	NO	20		20
127	2	2	7,9	4,9		77	52	SI	SI	NO	20		20
128	3	3	7,9	4,9		78	53	SI	SI	NO	20		20
129	4	4	7,9	4,9		79	54	SI	SI	NO	20		20
130	5	5	7,9	4,9		80	55	SI	SI	NO	20		20
131	6	6	7,9	4,9		81	56	SI	SI	NO	20		20
132	7	7	7,9	4,9		82	57	SI	SI	NO	20		20
133	8	8	7,9	4,9		83	58	SI	SI	NO	20		20
134	9	9	7,9	4,9		84	59	SI	SI	NO	20		20
135	10	10	7,9	4,9		85	60	SI	SI	NO	33		33
136	11	11	7,9	4,9		86	61	SI	SI	NO	20		20
137	12	12	7,9	4,9		87	62	SI	SI	NO	20		20
138	13	13	7,9	4,9		88	63	SI	SI	NO	33		33
139	14	14	7,9	4,9		89	64	SI	SI	NO	20		20
140	15	15	7,9	4,9		90	65	SI	SI	NO	20		20
141	16	16	7,9	4,9		91	66	SI	SI	NO	20		20
142	17	17	7,9	4,9		92	67	SI	SI	NO	20		20
143	18	18	7,9	4,9		93	68	SI	SI	NO	20		20
144	19	19	7,9	4,9		94	69	SI	SI	NO	20		20
145	20	20	7,9	4,9		95	70	SI	SI	NO	20		20
146	21	21	7,9	4,9		96	71	SI	SI	NO	20		20
147	22	22	7,9	4,9		97	72	SI	SI	NO	20		20
148	23	23	7,9	4,9		98	73	SI	SI	NO	20		20
149	24	24	7,9	4,9		99	74	SI	SI	NO	20		20
150	1	4	7,9	7,9		76	79	SI	SI	NO	14	6	12
151	4	7	7,9	7,9		79	82	SI	SI	NO	12	6	13
152	7	10	7,9	7,9		82	85	SI	SI	NO	13	6	13
153	10	13	7,9	7,9		85	88	SI	SI	NO			
154	13	16	7,9	7,9		88	91	SI	SI	NO	13	6	13
155	16	19	7,9	7,9		91	94	SI	SI	NO	13	6	12
156	19	22	7,9	7,9		94	97	SI	SI	NO	13	6	12
157	2	5	7,9	7,9		77	80	SI	SI	NO	8	6	8
158	5	8	7,9	7,9		80	83	SI	SI	NO	8	6	8
159	8	11	7,9	7,9		83	86	SI	SI	NO	12	6	12
160	14	17	7,9	7,9		89	92	SI	SI	NO	8	6	8
161	17	20	7,9	7,9		92	95	SI	SI	NO	22	23	14
162	20	23	7,9	7,9		95	98	SI	SI	NO	8	6	8
163	3	6	7,9	7,9		78	81	SI	SI	NO	8	6	8
164	6	9	7,9	7,9		81	84	SI	SI	NO	8	6	8
165	9	12	7,9	7,9		84	87	SI	SI	NO	8	6	8
166	12	15	7,9	7,9		87	90	SI	SI	NO	8	6	8
167	15	18	7,9	7,9		90	93	SI	SI	NO	8	6	8

DOMINI ASTE IN C.A.													
IDENTIFICATIVO								ATTRIBUTI DI CALCOLO			DOMINI		
Asta 3D	Filo Iniz	Filo Fin.	Q.In. (m)	Q.Fin (m)	Tra tto	Nodo3d Iniz.	Nodo3d Finale	FlagNon Lineare	Barre Ancorate	Staffe Confin	Dominio Concio 1	Dominio Concio 2	Dominio Concio 3
168	18	21	7,9	7,9		93	96	SI	SI	NO	8	6	8
169	21	24	7,9	7,9		96	99	SI	SI	NO	8	6	8
170	11	14	7,9	7,9		86	89	SI	SI	NO	24	25	24
171	1	2	7,9	7,9		76	77	SI	SI	NO	22	26	27
172	2	3	7,9	7,9		77	78	SI	SI	NO	27	6	13
173	4	5	7,9	7,9		79	80	SI	SI	NO	28	29	30
174	5	6	7,9	7,9		80	81	SI	SI	NO	12	6	12
175	7	8	7,9	7,9		82	83	SI	SI	NO	12	6	12
176	8	9	7,9	7,9		83	84	SI	SI	NO	8	6	8
177	11	12	7,9	7,9		86	87	SI	SI	NO	28	29	30
178	14	15	7,9	7,9		89	90	SI	SI	NO	28	29	30
179	16	17	7,9	7,9		91	92	SI	SI	NO	12	6	12
180	17	18	7,9	7,9		92	93	SI	SI	NO	8	6	8
181	19	20	7,9	7,9		94	95	SI	SI	NO	28	29	30
182	20	21	7,9	7,9		95	96	SI	SI	NO	12	6	12
183	22	23	7,9	7,9		97	98	SI	SI	NO	22	26	27
184	23	24	7,9	7,9		98	99	SI	SI	NO	27	6	13
185	10	11	7,9	7,9		85	86	SI	SI	NO	34	35	34
186	13	14	7,9	7,9		88	89	SI	SI	NO	34	35	34
187	39	1	7,9	7,9		100	76	SI	SI	NO			
188	1	1	10,9	7,9		101	76	SI	SI	NO	36		36
189	2	2	10,9	7,9		102	77	SI	SI	NO	36		36
190	3	3	10,9	7,9		103	78	SI	SI	NO	36		36
191	4	4	10,9	7,9		104	79	SI	SI	NO	36		36
192	5	5	10,9	7,9		105	80	SI	SI	NO	36		36
193	6	6	10,9	7,9		106	81	SI	SI	NO	36		36
194	7	7	10,9	7,9		107	82	SI	SI	NO	36		36
195	8	8	10,9	7,9		108	83	SI	SI	NO	36		36
196	9	9	10,9	7,9		109	84	SI	SI	NO	36		36
197	10	10	10,9	7,9		110	85	SI	SI	NO	37		38
198	11	11	10,9	7,9		111	86	SI	SI	NO	39		36
199	12	12	10,9	7,9		112	87	SI	SI	NO	36		36
200	13	13	10,9	7,9		113	88	SI	SI	NO	40		40
201	14	14	10,9	7,9		114	89	SI	SI	NO	39		36
202	15	15	10,9	7,9		115	90	SI	SI	NO	36		36
203	16	16	10,9	7,9		116	91	SI	SI	NO	36		36
204	17	17	10,9	7,9		117	92	SI	SI	NO	36		36
205	18	18	10,9	7,9		118	93	SI	SI	NO	36		36
206	19	19	10,9	7,9		119	94	SI	SI	NO	36		36
207	20	20	10,9	7,9		120	95	SI	SI	NO	36		36
208	21	21	10,9	7,9		121	96	SI	SI	NO	36		36
209	22	22	10,9	7,9		122	97	SI	SI	NO	36		36
210	23	23	10,9	7,9		123	98	SI	SI	NO	36		36
211	24	24	10,9	7,9		124	99	SI	SI	NO	36		36
212	1	4	10,9	10,9		101	104	SI	SI	NO	8	6	8
213	4	7	10,9	10,9		104	107	SI	SI	NO	8	6	8
214	7	10	10,9	10,9		107	110	SI	SI	NO	8	6	8
215	10	13	10,9	10,9		110	113	SI	SI	NO	8	6	8
216	13	16	10,9	10,9		113	116	SI	SI	NO	8	6	8
217	16	19	10,9	10,9		116	119	SI	SI	NO	8	6	8
218	19	22	10,9	10,9		119	122	SI	SI	NO	8	6	8
219	2	5	10,9	10,9		102	105	SI	SI	NO	8	6	8
220	5	8	10,9	10,9		105	108	SI	SI	NO	8	6	8
221	8	11	10,9	10,9		108	111	SI	SI	NO	8	6	8
222	14	17	10,9	10,9		114	117	SI	SI	NO	12	26	12
223	17	20	10,9	10,9		117	120	SI	SI	NO	8	6	8
224	20	23	10,9	10,9		120	123	SI	SI	NO	8	6	8
225	3	6	10,9	10,9		103	106	SI	SI	NO	8	6	8
226	6	9	10,9	10,9		106	109	SI	SI	NO	8	6	8
227	9	12	10,9	10,9		109	112	SI	SI	NO	8	6	8

## DOMINI ASTE IN C.A.

IDENTIFICATIVO								ATTRIBUTI DI CALCOLO			DOMINI		
Asta 3D	Filo Iniz	Filo Fin.	Q.In. (m)	Q.Fin (m)	Tra tto	Nodo3d Iniz.	Nodo3d Finale	FlagNon Lineare	Barre Ancorate	Staffe Confin	Dominio Concio 1	Dominio Concio 2	Dominio Concio 3
228	12	15	10,9	10,9		112	115	SI	SI	NO	8	6	8
229	15	18	10,9	10,9		115	118	SI	SI	NO	8	6	8
230	18	21	10,9	10,9		118	121	SI	SI	NO	8	6	8
231	21	24	10,9	10,9		121	124	SI	SI	NO	8	6	8
232	11	14	10,9	10,9		111	114	SI	SI	NO	8	6	8
233	1	2	10,9	10,9		101	102	SI	SI	NO	8	6	8
234	2	3	10,9	10,9		102	103	SI	SI	NO	8	6	8
235	4	5	10,9	10,9		104	105	SI	SI	NO	41	42	41
236	5	6	10,9	10,9		105	106	SI	SI	NO	8	6	8
237	7	8	10,9	10,9		107	108	SI	SI	NO	8	6	8
238	8	9	10,9	10,9		108	109	SI	SI	NO	8	6	8
239	11	12	10,9	10,9		111	112	SI	SI	NO	41	42	41
240	14	15	10,9	10,9		114	115	SI	SI	NO	41	42	41
241	16	17	10,9	10,9		116	117	SI	SI	NO	8	6	8
242	17	18	10,9	10,9		117	118	SI	SI	NO	8	6	8
243	19	20	10,9	10,9		119	120	SI	SI	NO	41	42	41
244	20	21	10,9	10,9		120	121	SI	SI	NO	8	6	8
245	22	23	10,9	10,9		122	123	SI	SI	NO	8	6	8
246	23	24	10,9	10,9		123	124	SI	SI	NO	8	6	8
247	10	11	10,9	10,9		110	111	SI	SI	NO	12	26	12
248	13	14	10,9	10,9		113	114	SI	SI	NO	8	6	8
249	39	1	10,9	10,9		125	101	SI	SI	NO			

## CAPACITA'/DOMANDA DI SPOSTAMENTO - PUSH N.ro 1 - Prop.Modolo:+Fx+0.3\*Fy+Ecc5%

IDENTIFICATIVO			CAPACITA'/DOMANDA SPOSTAMENTI PER I VARI STATI LIMITE											
Filo N.ro	Quota (m)	Nodo N.ro	----- SLO -----			----- SLD -----			----- SLV -----			----- SLC -----		
			X (mm)	Y (mm)	Z (mm)	X (mm)	Y (mm)	Z (mm)	X (mm)	Y (mm)	Z (mm)	X (mm)	Y (mm)	Z (mm)
1	0,00	1				0,00	0,00	0,00	0,00	0,00	0,00	0,00	0,00	0,00
1	2,00	2				0,00	0,00	0,00	0,00	0,00	0,00	0,00	0,00	0,00
						0,86	0,21	0,01	0,86	0,21	0,01	0,86	0,21	0,01
						0,86	0,21	0,01	0,86	0,21	0,01	0,86	0,21	0,01
2	0,00	3				0,00	0,00	0,00	0,00	0,00	0,00	0,00	0,00	0,00
2	2,00	4				0,00	0,00	0,00	0,00	0,00	0,00	0,00	0,00	0,00
						0,77	0,21	-0,14	0,77	0,21	-0,14	0,77	0,21	-0,14
						0,77	0,21	-0,14	0,77	0,21	-0,14	0,77	0,21	-0,14
3	0,00	5				0,00	0,00	0,00	0,00	0,00	0,00	0,00	0,00	0,00
3	2,00	6				0,00	0,00	0,00	0,00	0,00	0,00	0,00	0,00	0,00
						0,70	0,21	0,03	0,70	0,21	0,03	0,70	0,21	0,03
						0,70	0,21	0,03	0,70	0,21	0,03	0,70	0,21	0,03
4	0,00	7				0,00	0,00	0,00	0,00	0,00	0,00	0,00	0,00	0,00
4	2,00	8				0,00	0,00	0,00	0,00	0,00	0,00	0,00	0,00	0,00
						0,86	0,27	-0,04	0,86	0,27	-0,04	0,86	0,27	-0,04
						0,86	0,27	-0,04	0,86	0,27	-0,04	0,86	0,27	-0,04
5	0,00	9				0,00	0,00	0,00	0,00	0,00	0,00	0,00	0,00	0,00
5	2,00	10				0,00	0,00	0,00	0,00	0,00	0,00	0,00	0,00	0,00
						0,77	0,27	-0,08	0,77	0,27	-0,08	0,77	0,27	-0,08
						0,77	0,27	-0,08	0,77	0,27	-0,08	0,77	0,27	-0,08
6	0,00	11				0,00	0,00	0,00	0,00	0,00	0,00	0,00	0,00	0,00
6	2,00	12				0,00	0,00	0,00	0,00	0,00	0,00	0,00	0,00	0,00
						0,70	0,27	-0,07	0,70	0,27	-0,07	0,70	0,27	-0,07
						0,70	0,27	-0,07	0,70	0,27	-0,07	0,70	0,27	-0,07
7	0,00	13				0,00	0,00	0,00	0,00	0,00	0,00	0,00	0,00	0,00
7	2,00	14				0,00	0,00	0,00	0,00	0,00	0,00	0,00	0,00	0,00
						0,86	0,33	-0,24	0,86	0,32	-0,24	0,86	0,33	-0,24
						0,86	0,33	-0,24	0,86	0,32	-0,24	0,86	0,33	-0,24
8	0,00	15				0,00	0,00	0,00	0,00	0,00	0,00	0,00	0,00	0,00
8	2,00	16				0,00	0,00	0,00	0,00	0,00	0,00	0,00	0,00	0,00
						0,77	0,33	-0,28	0,77	0,32	-0,28	0,77	0,33	-0,28
						0,77	0,33	-0,28	0,77	0,32	-0,28	0,77	0,33	-0,28
9	0,00	17				0,00	0,00	0,00	0,00	0,00	0,00	0,00	0,00	0,00
9	2,00	18				0,00	0,00	0,00	0,00	0,00	0,00	0,00	0,00	0,00
						0,70	0,33	-0,23	0,70	0,32	-0,23	0,70	0,33	-0,23
						0,70	0,33	-0,23	0,70	0,32	-0,23	0,70	0,33	-0,23
10	0,00	19				0,00	0,00	0,00	0,00	0,00	0,00	0,00	0,00	0,00
10	2,00	20				0,00	0,00	0,00	0,00	0,00	0,00	0,00	0,00	0,00
						0,86	0,38	-0,19	0,86	0,38	-0,19	0,86	0,38	-0,19



## CAPACITA'/DOMANDA DI SPOSTAMENTO - PUSH N.ro 1 - Prop.Modolo: +Fx+0.3\*Fy+Ecc5%

IDENTIFICATIVO			CAPACITA'/DOMANDA SPOSTAMENTI PER I VARI STATI LIMITE											
Filo N.ro	Quota (m)	Nodo N.ro	----- SLO -----			----- SLD -----			----- SLV -----			----- SLC -----		
			X (mm)	Y (mm)	Z (mm)	X (mm)	Y (mm)	Z (mm)	X (mm)	Y (mm)	Z (mm)	X (mm)	Y (mm)	Z (mm)
7	4,95	57				3,37	1,39	-0,22	3,36	1,39	-0,22	3,37	1,39	-0,22
						4,05	1,63	-0,44	4,04	1,63	-0,44	4,05	1,63	-0,44
						4,05	1,63	-0,44	4,04	1,63	-0,44	4,05	1,63	-0,44
8	4,95	58				3,69	1,63	-0,53	3,68	1,63	-0,53	3,69	1,63	-0,53
						3,69	1,63	-0,53	3,68	1,63	-0,53	3,69	1,63	-0,53
9	4,95	59				3,37	1,63	-0,45	3,36	1,63	-0,45	3,37	1,63	-0,45
						3,37	1,63	-0,45	3,36	1,63	-0,45	3,37	1,63	-0,45
10	4,95	60				4,05	1,87	-0,42	4,04	1,87	-0,42	4,05	1,87	-0,42
						4,05	1,87	-0,42	4,04	1,87	-0,42	4,05	1,87	-0,42
11	4,95	61				3,69	1,87	-0,34	3,68	1,87	-0,34	3,69	1,87	-0,34
						3,69	1,87	-0,34	3,68	1,87	-0,34	3,69	1,87	-0,34
12	4,95	62				3,37	1,87	-0,25	3,36	1,87	-0,25	3,37	1,87	-0,25
						3,37	1,87	-0,25	3,36	1,87	-0,25	3,37	1,87	-0,25
13	4,95	63				4,05	2,11	-0,38	4,04	2,11	-0,38	4,05	2,11	-0,38
						4,05	2,11	-0,38	4,04	2,11	-0,38	4,05	2,11	-0,38
14	4,95	64				3,69	2,11	-0,66	3,68	2,11	-0,66	3,69	2,11	-0,66
						3,69	2,11	-0,66	3,68	2,11	-0,66	3,69	2,11	-0,66
15	4,95	65				3,37	2,11	-0,43	3,36	2,11	-0,43	3,37	2,11	-0,43
						3,37	2,11	-0,43	3,36	2,11	-0,43	3,37	2,11	-0,43
16	4,95	66				4,05	2,35	-0,21	4,04	2,35	-0,21	4,05	2,35	-0,21
						4,05	2,35	-0,21	4,04	2,35	-0,21	4,05	2,35	-0,21
17	4,95	67				3,69	2,35	-0,30	3,68	2,35	-0,30	3,69	2,35	-0,30
						3,69	2,35	-0,30	3,68	2,35	-0,30	3,69	2,35	-0,30
18	4,95	68				3,37	2,35	-0,32	3,36	2,35	-0,32	3,37	2,35	-0,32
						3,37	2,35	-0,32	3,36	2,35	-0,32	3,37	2,35	-0,32
19	4,95	69				4,05	2,59	-0,49	4,04	2,58	-0,49	4,05	2,59	-0,49
						4,05	2,59	-0,49	4,04	2,58	-0,49	4,05	2,59	-0,49
20	4,95	70				3,69	2,59	-0,50	3,68	2,58	-0,50	3,69	2,59	-0,50
						3,69	2,59	-0,50	3,68	2,58	-0,50	3,69	2,59	-0,50
21	4,95	71				3,37	2,59	-0,51	3,36	2,58	-0,51	3,37	2,59	-0,51
						3,37	2,59	-0,51	3,36	2,58	-0,51	3,37	2,59	-0,51
22	4,95	72				4,05	2,83	-0,22	4,04	2,82	-0,22	4,05	2,83	-0,22
						4,05	2,83	-0,22	4,04	2,82	-0,22	4,05	2,83	-0,22
23	4,95	73				3,69	2,83	-0,59	3,68	2,82	-0,59	3,69	2,83	-0,59
						3,69	2,83	-0,59	3,68	2,82	-0,59	3,69	2,83	-0,59
24	4,95	74				3,37	2,83	-0,61	3,36	2,82	-0,61	3,37	2,83	-0,61
						3,37	2,83	-0,61	3,36	2,82	-0,61	3,37	2,83	-0,61
39	4,95	75				4,02	1,17	-0,27	4,02	1,17	-0,27	4,02	1,17	-0,27
						4,02	1,17	-0,27	4,02	1,17	-0,27	4,02	1,17	-0,27
1	7,90	76				6,80	2,27	-0,05	6,79	2,27	-0,05	6,80	2,27	-0,05
						6,80	2,27	-0,05	6,79	2,27	-0,05	6,80	2,27	-0,05
2	7,90	77				6,21	2,27	-0,39	6,20	2,27	-0,39	6,21	2,27	-0,39
						6,21	2,27	-0,39	6,20	2,27	-0,39	6,21	2,27	-0,39
3	7,90	78				5,69	2,27	-0,11	5,68	2,27	-0,11	5,69	2,27	-0,11
						5,69	2,27	-0,11	5,68	2,27	-0,11	5,69	2,27	-0,11
4	7,90	79				6,80	2,66	-0,31	6,79	2,66	-0,31	6,80	2,66	-0,31
						6,80	2,66	-0,31	6,79	2,66	-0,31	6,80	2,66	-0,31
5	7,90	80				6,21	2,66	-0,42	6,20	2,66	-0,42	6,21	2,66	-0,42
						6,21	2,66	-0,42	6,20	2,66	-0,42	6,21	2,66	-0,42
6	7,90	81				5,69	2,66	-0,37	5,68	2,66	-0,37	5,69	2,66	-0,37
						5,69	2,66	-0,37	5,68	2,66	-0,37	5,69	2,66	-0,37
7	7,90	82				6,80	3,05	-0,51	6,79	3,05	-0,51	6,80	3,05	-0,51
						6,80	3,05	-0,51	6,79	3,05	-0,51	6,80	3,05	-0,51
8	7,90	83				6,21	3,05	-0,63	6,20	3,05	-0,63	6,21	3,05	-0,63
						6,21	3,05	-0,63	6,20	3,05	-0,63	6,21	3,05	-0,63
9	7,90	84				5,69	3,05	-0,52	5,68	3,05	-0,52	5,69	3,05	-0,52
						5,69	3,05	-0,52	5,68	3,05	-0,52	5,69	3,05	-0,52
10	7,90	85				6,80	3,44	-0,47	6,79	3,44	-0,47	6,80	3,44	-0,47
						6,80	3,44	-0,47	6,79	3,44	-0,47	6,80	3,44	-0,47
11	7,90	86				6,21	3,44	-0,56	6,20	3,44	-0,56	6,21	3,44	-0,56
						6,21	3,44	-0,56	6,20	3,44	-0,56	6,21	3,44	-0,56
12	7,90	87				5,69	3,44	-0,41	5,68	3,44	-0,41	5,69	3,44	-0,41
						5,69	3,44	-0,41	5,68	3,44	-0,41	5,69	3,44	-0,41
13	7,90	88				6,80	3,83	-0,42	6,79	3,83	-0,42	6,80	3,83	-0,42
						6,80	3,83	-0,42	6,79	3,83	-0,42	6,80	3,83	-0,42
14	7,90	89				6,21	3,83	-0,77	6,20	3,83	-0,77	6,21	3,83	-0,77
						6,21	3,83	-0,77	6,20	3,83	-0,77	6,21	3,83	-0,77
15	7,90	90				5,69	3,83	-0,51	5,68	3,83	-0,51	5,69	3,83	-0,51
						5,69	3,83	-0,51	5,68	3,83	-0,51	5,69	3,83	-0,51
16	7,90	91				6,80	4,22	-0,35	6,79	4,22	-0,35	6,80	4,22	-0,35
						6,80	4,22	-0,35	6,79	4,22	-0,35	6,80	4,22	-0,35
17	7,90	92				6,21	4,22	-0,49	6,20	4,22	-0,50	6,21	4,22	-0,49





## CAPACITA'/DOMANDA DI SPOSTAMENTO - PUSH N.ro 2 - Prop.Modolo:-Fx+0.3\*Fy+Ecc5%

IDENTIFICATIVO			CAPACITA'/DOMANDA SPOSTAMENTI PER I VARI STATI LIMITE											
Filo N.ro	Quota (m)	Nodo N.ro	----- SLO -----			----- SLD -----			----- SLV -----			----- SLC -----		
			X (mm)	Y (mm)	Z (mm)	X (mm)	Y (mm)	Z (mm)	X (mm)	Y (mm)	Z (mm)	X (mm)	Y (mm)	Z (mm)
20	0,00	39				0,00	0,00	0,00	0,00	0,00	0,00	0,00	0,00	0,00
						0,00	0,00	0,00	0,00	0,00	0,00	0,00	0,00	0,00
20	2,00	40				-0,77	0,42	-0,07	-0,77	0,42	-0,07	-0,77	0,42	-0,07
						-0,77	0,42	-0,07	-0,77	0,42	-0,07	-0,77	0,42	-0,07
21	0,00	41				0,00	0,00	0,00	0,00	0,00	0,00	0,00	0,00	0,00
						0,00	0,00	0,00	0,00	0,00	0,00	0,00	0,00	0,00
21	2,00	42				-0,77	0,42	-0,10	-0,77	0,42	-0,10	-0,77	0,42	-0,10
						-0,77	0,42	-0,10	-0,77	0,42	-0,10	-0,77	0,42	-0,10
22	0,00	43				0,00	0,00	0,00	0,00	0,00	0,00	0,00	0,00	0,00
						0,00	0,00	0,00	0,00	0,00	0,00	0,00	0,00	0,00
22	2,00	44				-0,77	0,42	0,03	-0,77	0,42	0,03	-0,77	0,42	0,03
						-0,77	0,42	0,03	-0,77	0,42	0,03	-0,77	0,42	0,03
23	0,00	45				0,00	0,00	0,00	0,00	0,00	0,00	0,00	0,00	0,00
						0,00	0,00	0,00	0,00	0,00	0,00	0,00	0,00	0,00
23	2,00	46				-0,77	0,42	-0,17	-0,77	0,42	-0,17	-0,77	0,42	-0,17
						-0,77	0,42	-0,17	-0,77	0,42	-0,17	-0,77	0,42	-0,17
24	0,00	47				0,00	0,00	0,00	0,00	0,00	0,00	0,00	0,00	0,00
						0,00	0,00	0,00	0,00	0,00	0,00	0,00	0,00	0,00
24	2,00	48				-0,77	0,42	0,02	-0,77	0,42	0,02	-0,77	0,42	0,02
						-0,77	0,42	0,02	-0,77	0,42	0,02	-0,77	0,42	0,02
31	2,00	49				-0,77	0,41	-0,21	-0,77	0,41	-0,21	-0,77	0,41	-0,21
						-0,77	0,41	-0,21	-0,77	0,41	-0,21	-0,77	0,41	-0,21
39	2,00	50				-0,77	0,40	-0,10	-0,77	0,40	-0,10	-0,77	0,40	-0,10
						-0,77	0,40	-0,10	-0,77	0,40	-0,10	-0,77	0,40	-0,10
1	4,95	51				-3,67	1,84	-0,23	-3,66	1,84	-0,23	-3,67	1,84	-0,23
						-3,67	1,84	-0,23	-3,66	1,84	-0,23	-3,67	1,84	-0,23
2	4,95	52				-3,73	1,84	-0,56	-3,73	1,84	-0,56	-3,73	1,84	-0,56
						-3,73	1,84	-0,56	-3,73	1,84	-0,56	-3,73	1,84	-0,56
3	4,95	53				-3,79	1,84	-0,57	-3,79	1,84	-0,57	-3,79	1,84	-0,57
						-3,79	1,84	-0,57	-3,79	1,84	-0,57	-3,79	1,84	-0,57
4	4,95	54				-3,67	1,89	-0,43	-3,66	1,89	-0,43	-3,67	1,89	-0,43
						-3,67	1,89	-0,43	-3,66	1,89	-0,43	-3,67	1,89	-0,43
5	4,95	55				-3,73	1,89	-0,50	-3,73	1,89	-0,50	-3,73	1,89	-0,50
						-3,73	1,89	-0,50	-3,73	1,89	-0,50	-3,73	1,89	-0,50
6	4,95	56				-3,79	1,89	-0,45	-3,79	1,89	-0,45	-3,79	1,89	-0,45
						-3,79	1,89	-0,45	-3,79	1,89	-0,45	-3,79	1,89	-0,45
7	4,95	57				-3,67	1,93	-0,19	-3,66	1,93	-0,19	-3,67	1,93	-0,19
						-3,67	1,93	-0,19	-3,66	1,93	-0,19	-3,67	1,93	-0,19
8	4,95	58				-3,73	1,93	-0,30	-3,73	1,93	-0,30	-3,73	1,93	-0,30
						-3,73	1,93	-0,30	-3,73	1,93	-0,30	-3,73	1,93	-0,30
9	4,95	59				-3,79	1,93	-0,25	-3,79	1,93	-0,25	-3,79	1,93	-0,25
						-3,79	1,93	-0,25	-3,79	1,93	-0,25	-3,79	1,93	-0,25
10	4,95	60				-3,67	1,97	-0,36	-3,66	1,97	-0,36	-3,67	1,97	-0,36
						-3,67	1,97	-0,36	-3,66	1,97	-0,36	-3,67	1,97	-0,36
11	4,95	61				-3,73	1,97	-0,64	-3,73	1,97	-0,64	-3,73	1,97	-0,64
						-3,73	1,97	-0,64	-3,73	1,97	-0,64	-3,73	1,97	-0,64
12	4,95	62				-3,79	1,97	-0,45	-3,79	1,97	-0,45	-3,79	1,97	-0,45
						-3,79	1,97	-0,45	-3,79	1,97	-0,45	-3,79	1,97	-0,45
13	4,95	63				-3,67	2,02	-0,43	-3,66	2,02	-0,43	-3,67	2,02	-0,43
						-3,67	2,02	-0,43	-3,66	2,02	-0,43	-3,67	2,02	-0,43
14	4,95	64				-3,73	2,02	-0,36	-3,73	2,02	-0,36	-3,73	2,02	-0,36
						-3,73	2,02	-0,36	-3,73	2,02	-0,36	-3,73	2,02	-0,36
15	4,95	65				-3,79	2,02	-0,23	-3,79	2,02	-0,23	-3,79	2,02	-0,23
						-3,79	2,02	-0,23	-3,79	2,02	-0,23	-3,79	2,02	-0,23
16	4,95	66				-3,67	2,06	-0,45	-3,66	2,06	-0,45	-3,67	2,06	-0,45
						-3,67	2,06	-0,45	-3,66	2,06	-0,45	-3,67	2,06	-0,45
17	4,95	67				-3,73	2,06	-0,54	-3,73	2,06	-0,54	-3,73	2,06	-0,54
						-3,73	2,06	-0,54	-3,73	2,06	-0,54	-3,73	2,06	-0,54
18	4,95	68				-3,79	2,06	-0,51	-3,79	2,06	-0,51	-3,79	2,06	-0,51
						-3,79	2,06	-0,51	-3,79	2,06	-0,51	-3,79	2,06	-0,51
19	4,95	69				-3,67	2,10	-0,24	-3,66	2,10	-0,24	-3,67	2,10	-0,24
						-3,67	2,10	-0,24	-3,66	2,10	-0,24	-3,67	2,10	-0,24
20	4,95	70				-3,73	2,10	-0,23	-3,73	2,10	-0,23	-3,73	2,10	-0,23
						-3,73	2,10	-0,23	-3,73	2,10	-0,23	-3,73	2,10	-0,23
21	4,95	71				-3,79	2,10	-0,29	-3,79	2,10	-0,29	-3,79	2,10	-0,29
						-3,79	2,10	-0,29	-3,79	2,10	-0,29	-3,79	2,10	-0,29
22	4,95	72				-3,67	2,15	0,00	-3,66	2,15	0,00	-3,67	2,15	0,00
						-3,67	2,15	0,00	-3,66	2,15	0,00	-3,67	2,15	0,00
23	4,95	73				-3,73	2,15	-0,33	-3,73	2,15	-0,33	-3,73	2,15	-0,33
						-3,73	2,15	-0,33	-3,73	2,15	-0,33	-3,73	2,15	-0,33
24	4,95	74				-3,79	2,15	-0,03	-3,79	2,15	-0,03	-3,79	2,15	-0,03
						-3,79	2,15	-0,03	-3,79	2,15	-0,03	-3,79	2,15	-0,03

## CAPACITA'/DOMANDA DI SPOSTAMENTO - PUSH N.ro 2 - Prop.Modolo:-Fx+0.3\*Fy+Ecc5%

IDENTIFICATIVO			CAPACITA'/DOMANDA SPOSTAMENTI PER I VARI STATI LIMITE											
Filo N.ro	Quota (m)	Nodo N.ro	----- SLO -----			----- SLD -----			----- SLV -----			----- SLC -----		
			X (mm)	Y (mm)	Z (mm)	X (mm)	Y (mm)	Z (mm)	X (mm)	Y (mm)	Z (mm)	X (mm)	Y (mm)	Z (mm)
39	4,95	75				-3,67	1,85	-0,28	-3,67	1,85	-0,28	-3,67	1,85	-0,28
1	7,90	76				-3,67	1,85	-0,28	-3,67	1,85	-0,28	-3,67	1,85	-0,28
						-6,17	3,33	-0,34	-6,16	3,33	-0,34	-6,17	3,33	-0,34
2	7,90	77				-6,17	3,33	-0,34	-6,16	3,33	-0,34	-6,17	3,33	-0,34
						-6,31	3,33	-0,71	-6,30	3,33	-0,71	-6,31	3,33	-0,71
3	7,90	78				-6,31	3,33	-0,71	-6,30	3,33	-0,71	-6,31	3,33	-0,71
						-6,43	3,33	-0,66	-6,42	3,33	-0,66	-6,43	3,33	-0,66
4	7,90	79				-6,43	3,33	-0,66	-6,42	3,33	-0,66	-6,43	3,33	-0,66
						-6,17	3,43	-0,50	-6,16	3,42	-0,50	-6,17	3,43	-0,50
5	7,90	80				-6,17	3,43	-0,50	-6,16	3,42	-0,50	-6,17	3,43	-0,50
						-6,31	3,43	-0,60	-6,30	3,42	-0,60	-6,31	3,43	-0,60
6	7,90	81				-6,31	3,43	-0,60	-6,30	3,42	-0,60	-6,31	3,43	-0,60
						-6,43	3,43	-0,51	-6,42	3,42	-0,51	-6,43	3,43	-0,51
7	7,90	82				-6,43	3,43	-0,51	-6,42	3,42	-0,51	-6,43	3,43	-0,51
						-6,17	3,52	-0,33	-6,16	3,51	-0,33	-6,17	3,52	-0,33
8	7,90	83				-6,17	3,52	-0,33	-6,16	3,51	-0,33	-6,17	3,52	-0,33
						-6,31	3,52	-0,50	-6,30	3,51	-0,50	-6,31	3,52	-0,50
9	7,90	84				-6,31	3,52	-0,50	-6,30	3,51	-0,50	-6,31	3,52	-0,50
						-6,43	3,52	-0,43	-6,42	3,51	-0,43	-6,43	3,52	-0,43
10	7,90	85				-6,43	3,52	-0,43	-6,42	3,51	-0,43	-6,43	3,52	-0,43
						-6,17	3,61	-0,41	-6,16	3,61	-0,41	-6,17	3,61	-0,41
11	7,90	86				-6,17	3,61	-0,41	-6,16	3,61	-0,41	-6,17	3,61	-0,41
						-6,31	3,61	-0,73	-6,30	3,61	-0,73	-6,31	3,61	-0,73
12	7,90	87				-6,31	3,61	-0,73	-6,30	3,61	-0,73	-6,31	3,61	-0,73
						-6,43	3,61	-0,51	-6,42	3,61	-0,51	-6,43	3,61	-0,51
13	7,90	88				-6,43	3,61	-0,51	-6,42	3,61	-0,51	-6,43	3,61	-0,51
						-6,17	3,70	-0,48	-6,16	3,70	-0,48	-6,17	3,70	-0,48
14	7,90	89				-6,17	3,70	-0,48	-6,16	3,70	-0,48	-6,17	3,70	-0,48
						-6,31	3,70	-0,59	-6,30	3,70	-0,59	-6,31	3,70	-0,59
15	7,90	90				-6,31	3,70	-0,59	-6,30	3,70	-0,59	-6,31	3,70	-0,59
						-6,43	3,70	-0,40	-6,42	3,70	-0,40	-6,43	3,70	-0,40
16	7,90	91				-6,43	3,70	-0,40	-6,42	3,70	-0,40	-6,43	3,70	-0,40
						-6,17	3,79	-0,54	-6,16	3,79	-0,54	-6,17	3,79	-0,54
17	7,90	92				-6,17	3,79	-0,54	-6,16	3,79	-0,54	-6,17	3,79	-0,54
						-6,31	3,79	-0,64	-6,30	3,79	-0,64	-6,31	3,79	-0,64
18	7,90	93				-6,31	3,79	-0,64	-6,30	3,79	-0,64	-6,31	3,79	-0,64
						-6,43	3,79	-0,59	-6,42	3,79	-0,59	-6,43	3,79	-0,59
19	7,90	94				-6,43	3,79	-0,59	-6,42	3,79	-0,59	-6,43	3,79	-0,59
						-6,17	3,88	-0,39	-6,16	3,88	-0,39	-6,17	3,88	-0,39
20	7,90	95				-6,17	3,88	-0,39	-6,16	3,88	-0,39	-6,17	3,88	-0,39
						-6,31	3,88	-0,40	-6,30	3,88	-0,40	-6,31	3,88	-0,40
21	7,90	96				-6,31	3,88	-0,40	-6,30	3,88	-0,40	-6,31	3,88	-0,40
						-6,43	3,88	-0,47	-6,42	3,88	-0,47	-6,43	3,88	-0,47
22	7,90	97				-6,43	3,88	-0,47	-6,42	3,88	-0,47	-6,43	3,88	-0,47
						-6,17	3,97	-0,06	-6,16	3,97	-0,06	-6,17	3,97	-0,06
23	7,90	98				-6,17	3,97	-0,06	-6,16	3,97	-0,06	-6,17	3,97	-0,06
						-6,31	3,97	-0,41	-6,30	3,97	-0,41	-6,31	3,97	-0,41
24	7,90	99				-6,31	3,97	-0,41	-6,30	3,97	-0,41	-6,31	3,97	-0,41
						-6,43	3,97	-0,16	-6,42	3,97	-0,16	-6,43	3,97	-0,16
39	7,90	100				-6,43	3,97	-0,16	-6,42	3,97	-0,16	-6,43	3,97	-0,16
						-6,18	3,34	-0,42	-6,17	3,34	-0,41	-6,18	3,34	-0,42
1	10,85	101				-6,18	3,34	-0,42	-6,17	3,34	-0,41	-6,18	3,34	-0,42
						-7,65	4,46	-0,39	-7,64	4,46	-0,39	-7,65	4,46	-0,39
2	10,85	102				-7,65	4,46	-0,39	-7,64	4,46	-0,39	-7,65	4,46	-0,39
						-7,83	4,46	-0,76	-7,82	4,46	-0,76	-7,83	4,46	-0,76
3	10,85	103				-7,83	4,46	-0,76	-7,82	4,46	-0,76	-7,83	4,46	-0,76
						-7,99	4,46	-0,67	-7,98	4,46	-0,67	-7,99	4,46	-0,67
4	10,85	104				-7,99	4,46	-0,67	-7,98	4,46	-0,67	-7,99	4,46	-0,67
						-7,65	4,58	-0,53	-7,64	4,58	-0,53	-7,65	4,58	-0,53
5	10,85	105				-7,65	4,58	-0,53	-7,64	4,58	-0,53	-7,65	4,58	-0,53
						-7,83	4,58	-0,66	-7,82	4,58	-0,66	-7,83	4,58	-0,66
6	10,85	106				-7,83	4,58	-0,66	-7,82	4,58	-0,66	-7,83	4,58	-0,66
						-7,99	4,58	-0,54	-7,98	4,58	-0,53	-7,99	4,58	-0,54
7	10,85	107				-7,99	4,58	-0,54	-7,98	4,58	-0,53	-7,99	4,58	-0,54
						-7,65	4,70	-0,40	-7,64	4,70	-0,40	-7,65	4,70	-0,40
8	10,85	108				-7,65	4,70	-0,40	-7,64	4,70	-0,40	-7,65	4,70	-0,40
						-7,83	4,70	-0,62	-7,82	4,70	-0,62	-7,83	4,70	-0,62
9	10,85	109				-7,83	4,70	-0,62	-7,82	4,70	-0,62	-7,83	4,70	-0,62
						-7,99	4,70	-0,50	-7,98	4,70	-0,50	-7,99	4,70	-0,50
10	10,85	110				-7,99	4,70	-0,50	-7,98	4,70	-0,50	-7,99	4,70	-0,50
						-7,65	4,82	-0,44	-7,64	4,81	-0,44	-7,65	4,82	-0,44
						-7,65	4,82	-0,44	-7,64	4,81	-0,44	-7,65	4,82	-0,44



## CAPACITA'/DOMANDA DI SPOSTAMENTO - PUSH N.ro 3 - Prop.Modolo:+Fy+0.3\*Fx+Ecc5%

IDENTIFICATIVO			CAPACITA'/DOMANDA SPOSTAMENTI PER I VARI STATI LIMITE											
Filo N.ro	Quota (m)	Nodo N.ro	----- SLO -----			----- SLD -----			----- SLV -----			----- SLC -----		
			X (mm)	Y (mm)	Z (mm)	X (mm)	Y (mm)	Z (mm)	X (mm)	Y (mm)	Z (mm)	X (mm)	Y (mm)	Z (mm)
10	0,00	19				0,00	0,00	0,00	0,00	0,00	0,00	0,00	0,00	0,00
						0,00	0,00	0,00	0,00	0,00	0,00	0,00	0,00	0,00
10	2,00	20				0,28	1,03	-0,28	0,28	1,03	-0,28	0,28	1,03	-0,28
						0,28	1,03	-0,28	0,28	1,03	-0,28	0,28	1,03	-0,28
11	0,00	21				0,00	0,00	0,00	0,00	0,00	0,00	0,00	0,00	0,00
						0,00	0,00	0,00	0,00	0,00	0,00	0,00	0,00	0,00
11	2,00	22				0,17	1,03	-0,25	0,17	1,03	-0,25	0,17	1,03	-0,25
						0,17	1,03	-0,25	0,17	1,03	-0,25	0,17	1,03	-0,25
12	0,00	23				0,00	0,00	0,00	0,00	0,00	0,00	0,00	0,00	0,00
						0,00	0,00	0,00	0,00	0,00	0,00	0,00	0,00	0,00
12	2,00	24				0,08	1,03	-0,16	0,08	1,03	-0,16	0,08	1,03	-0,16
						0,08	1,03	-0,16	0,08	1,03	-0,16	0,08	1,03	-0,16
13	0,00	25				0,00	0,00	0,00	0,00	0,00	0,00	0,00	0,00	0,00
						0,00	0,00	0,00	0,00	0,00	0,00	0,00	0,00	0,00
13	2,00	26				0,28	1,10	-0,30	0,28	1,09	-0,30	0,28	1,10	-0,30
						0,28	1,10	-0,30	0,28	1,09	-0,30	0,28	1,10	-0,30
14	0,00	27				0,00	0,00	0,00	0,00	0,00	0,00	0,00	0,00	0,00
						0,00	0,00	0,00	0,00	0,00	0,00	0,00	0,00	0,00
14	2,00	28				0,17	1,10	-0,29	0,17	1,09	-0,29	0,17	1,10	-0,29
						0,17	1,10	-0,29	0,17	1,09	-0,29	0,17	1,10	-0,29
15	0,00	29				0,00	0,00	0,00	0,00	0,00	0,00	0,00	0,00	0,00
						0,00	0,00	0,00	0,00	0,00	0,00	0,00	0,00	0,00
15	2,00	30				0,08	1,10	-0,18	0,08	1,09	-0,18	0,08	1,10	-0,18
						0,08	1,10	-0,18	0,08	1,09	-0,18	0,08	1,10	-0,18
16	0,00	31				0,00	0,00	0,00	0,00	0,00	0,00	0,00	0,00	0,00
						0,00	0,00	0,00	0,00	0,00	0,00	0,00	0,00	0,00
16	2,00	32				0,28	1,16	-0,11	0,28	1,16	-0,11	0,28	1,16	-0,11
						0,28	1,16	-0,11	0,28	1,16	-0,11	0,28	1,16	-0,11
17	0,00	33				0,00	0,00	0,00	0,00	0,00	0,00	0,00	0,00	0,00
						0,00	0,00	0,00	0,00	0,00	0,00	0,00	0,00	0,00
17	2,00	34				0,17	1,16	-0,17	0,17	1,16	-0,17	0,17	1,16	-0,17
						0,17	1,16	-0,17	0,17	1,16	-0,17	0,17	1,16	-0,17
18	0,00	35				0,00	0,00	0,00	0,00	0,00	0,00	0,00	0,00	0,00
						0,00	0,00	0,00	0,00	0,00	0,00	0,00	0,00	0,00
18	2,00	36				0,08	1,16	-0,20	0,08	1,16	-0,20	0,08	1,16	-0,20
						0,08	1,16	-0,20	0,08	1,16	-0,20	0,08	1,16	-0,20
19	0,00	37				0,00	0,00	0,00	0,00	0,00	0,00	0,00	0,00	0,00
						0,00	0,00	0,00	0,00	0,00	0,00	0,00	0,00	0,00
19	2,00	38				0,28	1,23	-0,18	0,28	1,23	-0,18	0,28	1,23	-0,18
						0,28	1,23	-0,18	0,28	1,23	-0,18	0,28	1,23	-0,18
20	0,00	39				0,00	0,00	0,00	0,00	0,00	0,00	0,00	0,00	0,00
						0,00	0,00	0,00	0,00	0,00	0,00	0,00	0,00	0,00
20	2,00	40				0,17	1,23	-0,18	0,17	1,23	-0,18	0,17	1,23	-0,18
						0,17	1,23	-0,18	0,17	1,23	-0,18	0,17	1,23	-0,18
21	0,00	41				0,00	0,00	0,00	0,00	0,00	0,00	0,00	0,00	0,00
						0,00	0,00	0,00	0,00	0,00	0,00	0,00	0,00	0,00
21	2,00	42				0,08	1,23	-0,22	0,08	1,23	-0,22	0,08	1,23	-0,22
						0,08	1,23	-0,22	0,08	1,23	-0,22	0,08	1,23	-0,22
22	0,00	43				0,00	0,00	0,00	0,00	0,00	0,00	0,00	0,00	0,00
						0,00	0,00	0,00	0,00	0,00	0,00	0,00	0,00	0,00
22	2,00	44				0,28	1,30	0,11	0,28	1,30	0,11	0,28	1,30	0,11
						0,28	1,30	0,11	0,28	1,30	0,11	0,28	1,30	0,11
23	0,00	45				0,00	0,00	0,00	0,00	0,00	0,00	0,00	0,00	0,00
						0,00	0,00	0,00	0,00	0,00	0,00	0,00	0,00	0,00
23	2,00	46				0,17	1,30	-0,35	0,17	1,30	-0,35	0,17	1,30	-0,35
						0,17	1,30	-0,35	0,17	1,30	-0,35	0,17	1,30	-0,35
24	0,00	47				0,00	0,00	0,00	0,00	0,00	0,00	0,00	0,00	0,00
						0,00	0,00	0,00	0,00	0,00	0,00	0,00	0,00	0,00
24	2,00	48				0,08	1,30	-0,21	0,08	1,30	-0,21	0,08	1,30	-0,21
						0,08	1,30	-0,21	0,08	1,30	-0,21	0,08	1,30	-0,21
31	2,00	49				0,17	1,06	-0,24	0,17	1,06	-0,24	0,17	1,06	-0,24
						0,17	1,06	-0,24	0,17	1,06	-0,24	0,17	1,06	-0,24
39	2,00	50				0,27	0,83	-0,17	0,27	0,83	-0,17	0,27	0,83	-0,17
						0,27	0,83	-0,17	0,27	0,83	-0,17	0,27	0,83	-0,17
1	4,95	51				1,30	3,94	0,07	1,30	3,93	0,07	1,30	3,94	0,07
						1,30	3,94	0,07	1,30	3,93	0,07	1,30	3,94	0,07
2	4,95	52				0,81	3,94	-0,48	0,81	3,93	-0,48	0,81	3,94	-0,48
						0,81	3,94	-0,48	0,81	3,93	-0,48	0,81	3,94	-0,48
3	4,95	53				0,37	3,94	-0,31	0,37	3,93	-0,31	0,37	3,94	-0,31
						0,37	3,94	-0,31	0,37	3,93	-0,31	0,37	3,94	-0,31
4	4,95	54				1,30	4,27	-0,23	1,30	4,26	-0,23	1,30	4,27	-0,23
						1,30	4,27	-0,23	1,30	4,26	-0,23	1,30	4,27	-0,23

## CAPACITA'/DOMANDA DI SPOSTAMENTO - PUSH N.ro 3 - Prop.Modolo: +Fy+0.3\*Fx+Ecc5%

IDENTIFICATIVO			CAPACITA'/DOMANDA SPOSTAMENTI PER I VARI STATI LIMITE											
Filo N.ro	Quota (m)	Nodo N.ro	----- SLO -----			----- SLD -----			----- SLV -----			----- SLC -----		
			X (mm)	Y (mm)	Z (mm)	X (mm)	Y (mm)	Z (mm)	X (mm)	Y (mm)	Z (mm)	X (mm)	Y (mm)	Z (mm)
5	4,95	55				0,81	4,27	-0,31	0,81	4,26	-0,31	0,81	4,27	-0,31
						0,81	4,27	-0,31	0,81	4,26	-0,31	0,81	4,27	-0,31
6	4,95	56				0,37	4,27	-0,37	0,37	4,26	-0,37	0,37	4,27	-0,37
						0,37	4,27	-0,37	0,37	4,26	-0,37	0,37	4,27	-0,37
7	4,95	57				1,30	4,59	-0,33	1,30	4,59	-0,33	1,30	4,59	-0,33
						1,30	4,59	-0,33	1,30	4,59	-0,33	1,30	4,59	-0,33
8	4,95	58				0,81	4,59	-0,43	0,81	4,59	-0,43	0,81	4,59	-0,43
						0,81	4,59	-0,43	0,81	4,59	-0,43	0,81	4,59	-0,43
9	4,95	59				0,37	4,59	-0,41	0,37	4,59	-0,41	0,37	4,59	-0,41
						0,37	4,59	-0,41	0,37	4,59	-0,41	0,37	4,59	-0,41
10	4,95	60				1,30	4,92	-0,56	1,30	4,92	-0,56	1,30	4,92	-0,56
						1,30	4,92	-0,56	1,30	4,92	-0,56	1,30	4,92	-0,56
11	4,95	61				0,81	4,92	-0,53	0,81	4,92	-0,53	0,81	4,92	-0,53
						0,81	4,92	-0,53	0,81	4,92	-0,53	0,81	4,92	-0,53
12	4,95	62				0,37	4,92	-0,35	0,37	4,92	-0,35	0,37	4,92	-0,35
						0,37	4,92	-0,35	0,37	4,92	-0,35	0,37	4,92	-0,35
13	4,95	63				1,30	5,25	-0,57	1,30	5,24	-0,57	1,30	5,25	-0,57
						1,30	5,25	-0,57	1,30	5,24	-0,57	1,30	5,25	-0,57
14	4,95	64				0,81	5,25	-0,60	0,81	5,24	-0,60	0,81	5,25	-0,60
						0,81	5,25	-0,60	0,81	5,24	-0,60	0,81	5,25	-0,60
15	4,95	65				0,37	5,25	-0,37	0,37	5,24	-0,37	0,37	5,25	-0,37
						0,37	5,25	-0,37	0,37	5,24	-0,37	0,37	5,25	-0,37
16	4,95	66				1,30	5,58	-0,27	1,30	5,57	-0,27	1,30	5,58	-0,27
						1,30	5,58	-0,27	1,30	5,57	-0,27	1,30	5,58	-0,27
17	4,95	67				0,81	5,58	-0,39	0,81	5,57	-0,39	0,81	5,58	-0,39
						0,81	5,58	-0,39	0,81	5,57	-0,39	0,81	5,58	-0,39
18	4,95	68				0,37	5,58	-0,45	0,37	5,57	-0,45	0,37	5,58	-0,45
						0,37	5,58	-0,45	0,37	5,57	-0,45	0,37	5,58	-0,45
19	4,95	69				1,30	5,90	-0,37	1,30	5,90	-0,37	1,30	5,90	-0,37
						1,30	5,90	-0,37	1,30	5,90	-0,37	1,30	5,90	-0,37
20	4,95	70				0,81	5,90	-0,36	0,81	5,90	-0,36	0,81	5,90	-0,36
						0,81	5,90	-0,36	0,81	5,90	-0,36	0,81	5,90	-0,36
21	4,95	71				0,37	5,90	-0,47	0,37	5,90	-0,47	0,37	5,90	-0,47
						0,37	5,90	-0,47	0,37	5,90	-0,47	0,37	5,90	-0,47
22	4,95	72				1,30	6,23	0,09	1,30	6,22	0,09	1,30	6,23	0,09
						1,30	6,23	0,09	1,30	6,22	0,09	1,30	6,23	0,09
23	4,95	73				0,81	6,23	-0,63	0,81	6,22	-0,63	0,81	6,23	-0,63
						0,81	6,23	-0,63	0,81	6,22	-0,63	0,81	6,23	-0,63
24	4,95	74				0,37	6,23	-0,45	0,37	6,22	-0,45	0,37	6,23	-0,45
						0,37	6,23	-0,45	0,37	6,22	-0,45	0,37	6,23	-0,45
39	4,95	75				1,27	3,97	-0,31	1,27	3,97	-0,31	1,27	3,97	-0,31
						1,27	3,97	-0,31	1,27	3,97	-0,31	1,27	3,97	-0,31
1	7,90	76				2,20	7,23	0,01	2,19	7,22	0,01	2,20	7,23	0,01
						2,20	7,23	0,01	2,19	7,22	0,01	2,20	7,23	0,01
2	7,90	77				1,37	7,23	-0,57	1,36	7,22	-0,57	1,37	7,23	-0,57
						1,37	7,23	-0,57	1,36	7,22	-0,57	1,37	7,23	-0,57
3	7,90	78				0,62	7,23	-0,42	0,62	7,22	-0,42	0,62	7,23	-0,42
						0,62	7,23	-0,42	0,62	7,22	-0,42	0,62	7,23	-0,42
4	7,90	79				2,20	7,78	-0,34	2,19	7,77	-0,34	2,20	7,78	-0,34
						2,20	7,78	-0,34	2,19	7,77	-0,34	2,20	7,78	-0,34
5	7,90	80				1,37	7,78	-0,44	1,36	7,77	-0,44	1,37	7,78	-0,44
						1,37	7,78	-0,44	1,36	7,77	-0,44	1,37	7,78	-0,44
6	7,90	81				0,62	7,78	-0,50	0,62	7,77	-0,50	0,62	7,78	-0,50
						0,62	7,78	-0,50	0,62	7,77	-0,50	0,62	7,78	-0,50
7	7,90	82				2,20	8,34	-0,42	2,19	8,33	-0,42	2,20	8,34	-0,42
						2,20	8,34	-0,42	2,19	8,33	-0,42	2,20	8,34	-0,42
8	7,90	83				1,37	8,34	-0,58	1,36	8,33	-0,58	1,37	8,34	-0,58
						1,37	8,34	-0,58	1,36	8,33	-0,58	1,37	8,34	-0,58
9	7,90	84				0,62	8,34	-0,54	0,62	8,33	-0,54	0,62	8,34	-0,54
						0,62	8,34	-0,54	0,62	8,33	-0,54	0,62	8,34	-0,54
10	7,90	85				2,20	8,89	-0,54	2,19	8,88	-0,54	2,20	8,89	-0,54
						2,20	8,89	-0,54	2,19	8,88	-0,54	2,20	8,89	-0,54
11	7,90	86				1,37	8,89	-0,72	1,36	8,88	-0,72	1,37	8,89	-0,72
						1,37	8,89	-0,72	1,36	8,88	-0,72	1,37	8,89	-0,72
12	7,90	87				0,62	8,89	-0,47	0,62	8,88	-0,47	0,62	8,89	-0,47
						0,62	8,89	-0,47	0,62	8,88	-0,47	0,62	8,89	-0,47
13	7,90	88				2,20	9,44	-0,54	2,19	9,43	-0,54	2,20	9,44	-0,54
						2,20	9,44	-0,54	2,19	9,43	-0,54	2,20	9,44	-0,54
14	7,90	89				1,37	9,44	-0,78	1,36	9,43	-0,78	1,37	9,44	-0,78
						1,37	9,44	-0,78	1,36	9,43	-0,78	1,37	9,44	-0,78
15	7,90	90				0,62	9,44	-0,49	0,62	9,43	-0,49	0,62	9,44	-0,49
						0,62	9,44	-0,49	0,62	9,43	-0,49	0,62	9,44	-0,49

## CAPACITA'/DOMANDA DI SPOSTAMENTO - PUSH N.ro 3 - Prop.Modolo:+Fy+0.3\*Fx+Ecc5%

IDENTIFICATIVO			CAPACITA'/DOMANDA SPOSTAMENTI PER I VARI STATI LIMITE											
Filo N.ro	Quota (m)	Nodo N.ro	----- SLO -----			----- SLD -----			----- SLV -----			----- SLC -----		
			X (mm)	Y (mm)	Z (mm)	X (mm)	Y (mm)	Z (mm)	X (mm)	Y (mm)	Z (mm)	X (mm)	Y (mm)	Z (mm)
16	7,90	91				2,20	10,00	-0,38	2,19	9,98	-0,38	2,20	10,00	-0,38
						2,20	10,00	-0,38	2,19	9,98	-0,38	2,20	10,00	-0,38
17	7,90	92				1,37	10,00	-0,55	1,36	9,98	-0,55	1,37	10,00	-0,55
						1,37	10,00	-0,55	1,36	9,98	-0,55	1,37	10,00	-0,55
18	7,90	93				0,62	10,00	-0,60	0,62	9,98	-0,60	0,62	10,00	-0,60
						0,62	10,00	-0,60	0,62	9,98	-0,60	0,62	10,00	-0,60
19	7,90	94				2,20	10,55	-0,47	2,19	10,54	-0,47	2,20	10,55	-0,47
						2,20	10,55	-0,47	2,19	10,54	-0,47	2,20	10,55	-0,47
20	7,90	95				1,37	10,55	-0,48	1,36	10,54	-0,48	1,37	10,55	-0,48
						1,37	10,55	-0,48	1,36	10,54	-0,48	1,37	10,55	-0,48
21	7,90	96				0,62	10,55	-0,63	0,62	10,54	-0,63	0,62	10,55	-0,63
						0,62	10,55	-0,63	0,62	10,54	-0,63	0,62	10,55	-0,63
22	7,90	97				2,20	11,10	-0,03	2,19	11,09	-0,03	2,20	11,10	-0,03
						2,20	11,10	-0,03	2,19	11,09	-0,03	2,20	11,10	-0,03
23	7,90	98				1,37	11,10	-0,70	1,36	11,09	-0,70	1,37	11,10	-0,70
						1,37	11,10	-0,70	1,36	11,09	-0,70	1,37	11,10	-0,70
24	7,90	99				0,62	11,10	-0,59	0,62	11,09	-0,59	0,62	11,10	-0,59
						0,62	11,10	-0,59	0,62	11,09	-0,59	0,62	11,10	-0,59
39	7,90	100				2,14	7,28	-0,32	2,14	7,27	-0,32	2,14	7,28	-0,32
						2,14	7,28	-0,32	2,14	7,27	-0,32	2,14	7,28	-0,32
1	10,85	101				2,71	9,65	-0,05	2,71	9,64	-0,05	2,71	9,65	-0,05
						2,71	9,65	-0,05	2,71	9,64	-0,05	2,71	9,65	-0,05
2	10,85	102				1,72	9,65	-0,59	1,71	9,64	-0,59	1,72	9,65	-0,59
						1,72	9,65	-0,59	1,71	9,64	-0,59	1,72	9,65	-0,59
3	10,85	103				0,82	9,65	-0,46	0,82	9,64	-0,46	0,82	9,65	-0,46
						0,82	9,65	-0,46	0,82	9,64	-0,46	0,82	9,65	-0,46
4	10,85	104				2,71	10,32	-0,40	2,71	10,31	-0,40	2,71	10,32	-0,40
						2,71	10,32	-0,40	2,71	10,31	-0,40	2,71	10,32	-0,40
5	10,85	105				1,72	10,32	-0,53	1,71	10,31	-0,53	1,72	10,32	-0,53
						1,72	10,32	-0,53	1,71	10,31	-0,53	1,72	10,32	-0,53
6	10,85	106				0,82	10,32	-0,56	0,82	10,31	-0,56	0,82	10,32	-0,56
						0,82	10,32	-0,56	0,82	10,31	-0,56	0,82	10,32	-0,56
7	10,85	107				2,71	10,98	-0,45	2,71	10,97	-0,45	2,71	10,98	-0,45
						2,71	10,98	-0,45	2,71	10,97	-0,45	2,71	10,98	-0,45
8	10,85	108				1,72	10,98	-0,66	1,71	10,97	-0,66	1,72	10,98	-0,66
						1,72	10,98	-0,66	1,71	10,97	-0,66	1,72	10,98	-0,66
9	10,85	109				0,82	10,98	-0,59	0,82	10,97	-0,59	0,82	10,98	-0,59
						0,82	10,98	-0,59	0,82	10,97	-0,59	0,82	10,98	-0,59
10	10,85	110				2,71	11,65	-0,50	2,71	11,63	-0,50	2,71	11,65	-0,50
						2,71	11,65	-0,50	2,71	11,63	-0,50	2,71	11,65	-0,50
11	10,85	111				1,72	11,65	-0,81	1,71	11,63	-0,81	1,72	11,65	-0,81
						1,72	11,65	-0,81	1,71	11,63	-0,81	1,72	11,65	-0,81
12	10,85	112				0,82	11,65	-0,52	0,82	11,63	-0,52	0,82	11,65	-0,52
						0,82	11,65	-0,52	0,82	11,63	-0,52	0,82	11,65	-0,52
13	10,85	113				2,71	12,31	-0,50	2,71	12,30	-0,50	2,71	12,31	-0,50
						2,71	12,31	-0,50	2,71	12,30	-0,50	2,71	12,31	-0,50
14	10,85	114				1,72	12,31	-0,86	1,71	12,30	-0,86	1,72	12,31	-0,86
						1,72	12,31	-0,86	1,71	12,30	-0,86	1,72	12,31	-0,86
15	10,85	115				0,82	12,31	-0,53	0,82	12,30	-0,53	0,82	12,31	-0,53
						0,82	12,31	-0,53	0,82	12,30	-0,53	0,82	12,31	-0,53
16	10,85	116				2,71	12,98	-0,44	2,71	12,96	-0,44	2,71	12,98	-0,44
						2,71	12,98	-0,44	2,71	12,96	-0,44	2,71	12,98	-0,44
17	10,85	117				1,72	12,98	-0,65	1,71	12,96	-0,65	1,72	12,98	-0,65
						1,72	12,98	-0,65	1,71	12,96	-0,65	1,72	12,98	-0,65
18	10,85	118				0,82	12,98	-0,65	0,82	12,96	-0,65	0,82	12,98	-0,65
						0,82	12,98	-0,65	0,82	12,96	-0,65	0,82	12,98	-0,65
19	10,85	119				2,71	13,64	-0,51	2,71	13,62	-0,51	2,71	13,64	-0,51
						2,71	13,64	-0,51	2,71	13,62	-0,51	2,71	13,64	-0,51
20	10,85	120				1,72	13,64	-0,55	1,71	13,62	-0,55	1,72	13,64	-0,55
						1,72	13,64	-0,55	1,71	13,62	-0,55	1,72	13,64	-0,55
21	10,85	121				0,82	13,64	-0,68	0,82	13,62	-0,68	0,82	13,64	-0,68
						0,82	13,64	-0,68	0,82	13,62	-0,68	0,82	13,64	-0,68
22	10,85	122				2,71	14,31	-0,11	2,71	14,29	-0,11	2,71	14,31	-0,11
						2,71	14,31	-0,11	2,71	14,29	-0,11	2,71	14,31	-0,11
23	10,85	123				1,72	14,31	-0,71	1,71	14,29	-0,71	1,72	14,31	-0,71
						1,72	14,31	-0,71	1,71	14,29	-0,71	1,72	14,31	-0,71
24	10,85	124				0,82	14,31	-0,63	0,82	14,29	-0,63	0,82	14,31	-0,63
						0,82	14,31	-0,63	0,82	14,29	-0,63	0,82	14,31	-0,63
39	10,85	125				2,65	9,71	-0,26	2,65	9,71	-0,26	2,65	9,71	-0,26
						2,65	9,71	-0,26	2,65	9,71	-0,26	2,65	9,71	-0,26

## CAPACITA'/DOMANDA DI SPOSTAMENTO - PUSH N.ro 4 - Prop.Modolo:-Fy+0.3\*Fx+Ecc5%











## CAPACITA'/DOMANDA DI SPOSTAMENTO - PUSH N.ro 5 - Prop.Massa:+Fx+0.3\*Fy+Ecc5%

IDENTIFICATIVO			CAPACITA'/DOMANDA SPOSTAMENTI PER I VARI STATI LIMITE											
Filo N.ro	Quota (m)	Nodo N.ro	----- SLO -----			----- SLD -----			----- SLV -----			----- SLC -----		
			X (mm)	Y (mm)	Z (mm)	X (mm)	Y (mm)	Z (mm)	X (mm)	Y (mm)	Z (mm)	X (mm)	Y (mm)	Z (mm)
4	4,95	54				2,74	0,93	-0,07	2,71	0,92	-0,07	2,74	0,93	-0,07
						3,37	1,15	-0,20	3,33	1,14	-0,20	3,37	1,15	-0,20
						3,37	1,15	-0,20	3,33	1,14	-0,20	3,37	1,15	-0,20
5	4,95	55				3,04	1,15	-0,29	3,00	1,14	-0,29	3,04	1,15	-0,29
						3,04	1,15	-0,29	3,00	1,14	-0,29	3,04	1,15	-0,29
6	4,95	56				2,74	1,15	-0,24	2,71	1,14	-0,24	2,74	1,15	-0,24
						2,74	1,15	-0,24	2,71	1,14	-0,24	2,74	1,15	-0,24
7	4,95	57				3,37	1,37	-0,42	3,33	1,35	-0,41	3,37	1,37	-0,42
						3,37	1,37	-0,42	3,33	1,35	-0,41	3,37	1,37	-0,42
8	4,95	58				3,04	1,37	-0,48	3,00	1,35	-0,48	3,04	1,37	-0,48
						3,04	1,37	-0,48	3,00	1,35	-0,48	3,04	1,37	-0,48
9	4,95	59				2,74	1,37	-0,40	2,71	1,35	-0,40	2,74	1,37	-0,40
						2,74	1,37	-0,40	2,71	1,35	-0,40	2,74	1,37	-0,40
10	4,95	60				3,37	1,59	-0,39	3,33	1,57	-0,38	3,37	1,59	-0,39
						3,37	1,59	-0,39	3,33	1,57	-0,38	3,37	1,59	-0,39
11	4,95	61				3,04	1,59	-0,37	3,00	1,57	-0,37	3,04	1,59	-0,37
						3,04	1,59	-0,37	3,00	1,57	-0,37	3,04	1,59	-0,37
12	4,95	62				2,74	1,59	-0,28	2,71	1,57	-0,28	2,74	1,59	-0,28
						2,74	1,59	-0,28	2,71	1,57	-0,28	2,74	1,59	-0,28
13	4,95	63				3,37	1,81	-0,36	3,33	1,79	-0,36	3,37	1,81	-0,36
						3,37	1,81	-0,36	3,33	1,79	-0,36	3,37	1,81	-0,36
14	4,95	64				3,04	1,81	-0,60	3,00	1,79	-0,60	3,04	1,81	-0,60
						3,04	1,81	-0,60	3,00	1,79	-0,60	3,04	1,81	-0,60
15	4,95	65				2,74	1,81	-0,40	2,71	1,79	-0,40	2,74	1,81	-0,40
						2,74	1,81	-0,40	2,71	1,79	-0,40	2,74	1,81	-0,40
16	4,95	66				3,37	2,03	-0,24	3,33	2,01	-0,24	3,37	2,03	-0,24
						3,37	2,03	-0,24	3,33	2,01	-0,24	3,37	2,03	-0,24
17	4,95	67				3,04	2,03	-0,34	3,00	2,01	-0,34	3,04	2,03	-0,34
						3,04	2,03	-0,34	3,00	2,01	-0,34	3,04	2,03	-0,34
18	4,95	68				2,74	2,03	-0,34	2,71	2,01	-0,34	2,74	2,03	-0,34
						2,74	2,03	-0,34	2,71	2,01	-0,34	2,74	2,03	-0,34
19	4,95	69				3,37	2,24	-0,46	3,33	2,22	-0,46	3,37	2,24	-0,46
						3,37	2,24	-0,46	3,33	2,22	-0,46	3,37	2,24	-0,46
20	4,95	70				3,04	2,24	-0,46	3,00	2,22	-0,46	3,04	2,24	-0,46
						3,04	2,24	-0,46	3,00	2,22	-0,46	3,04	2,24	-0,46
21	4,95	71				2,74	2,24	-0,46	2,71	2,22	-0,46	2,74	2,24	-0,46
						2,74	2,24	-0,46	2,71	2,22	-0,46	2,74	2,24	-0,46
22	4,95	72				3,37	2,46	-0,22	3,33	2,44	-0,22	3,37	2,46	-0,22
						3,37	2,46	-0,22	3,33	2,44	-0,22	3,37	2,46	-0,22
23	4,95	73				3,04	2,46	-0,54	3,00	2,44	-0,54	3,04	2,46	-0,54
						3,04	2,46	-0,54	3,00	2,44	-0,54	3,04	2,46	-0,54
24	4,95	74				2,74	2,46	-0,52	2,71	2,44	-0,52	2,74	2,46	-0,52
						2,74	2,46	-0,52	2,71	2,44	-0,52	2,74	2,46	-0,52
39	4,95	75				3,35	0,95	-0,27	3,31	0,94	-0,27	3,35	0,95	-0,27
						3,35	0,95	-0,27	3,31	0,94	-0,27	3,35	0,95	-0,27
1	7,90	76				5,23	1,74	-0,13	5,17	1,73	-0,13	5,23	1,74	-0,13
						5,23	1,74	-0,13	5,17	1,73	-0,13	5,23	1,74	-0,13
2	7,90	77				4,73	1,74	-0,42	4,68	1,73	-0,42	4,73	1,74	-0,42
						4,73	1,74	-0,42	4,68	1,73	-0,42	4,73	1,74	-0,42
3	7,90	78				4,28	1,74	-0,17	4,23	1,73	-0,17	4,28	1,74	-0,17
						4,28	1,74	-0,17	4,23	1,73	-0,17	4,28	1,74	-0,17
4	7,90	79				5,23	2,08	-0,34	5,17	2,06	-0,34	5,23	2,08	-0,34
						5,23	2,08	-0,34	5,17	2,06	-0,34	5,23	2,08	-0,34
5	7,90	80				4,73	2,08	-0,46	4,68	2,06	-0,46	4,73	2,08	-0,46
						4,73	2,08	-0,46	4,68	2,06	-0,46	4,73	2,08	-0,46
6	7,90	81				4,28	2,08	-0,38	4,23	2,06	-0,38	4,28	2,08	-0,38
						4,28	2,08	-0,38	4,23	2,06	-0,38	4,28	2,08	-0,38
7	7,90	82				5,23	2,42	-0,50	5,17	2,39	-0,50	5,23	2,42	-0,50
						5,23	2,42	-0,50	5,17	2,39	-0,50	5,23	2,42	-0,50
8	7,90	83				4,73	2,42	-0,61	4,68	2,39	-0,61	4,73	2,42	-0,61
						4,73	2,42	-0,61	4,68	2,39	-0,61	4,73	2,42	-0,61
9	7,90	84				4,28	2,42	-0,50	4,23	2,39	-0,50	4,28	2,42	-0,50
						4,28	2,42	-0,50	4,23	2,39	-0,50	4,28	2,42	-0,50
10	7,90	85				5,23	2,75	-0,44	5,17	2,72	-0,44	5,23	2,75	-0,44
						5,23	2,75	-0,44	5,17	2,72	-0,44	5,23	2,75	-0,44
11	7,90	86				4,73	2,75	-0,56	4,68	2,72	-0,56	4,73	2,75	-0,56
						4,73	2,75	-0,56	4,68	2,72	-0,56	4,73	2,75	-0,56
12	7,90	87				4,28	2,75	-0,42	4,23	2,72	-0,42	4,28	2,75	-0,42
						4,28	2,75	-0,42	4,23	2,72	-0,42	4,28	2,75	-0,42
13	7,90	88				5,23	3,09	-0,41	5,17	3,06	-0,41	5,23	3,09	-0,41
						5,23	3,09	-0,41	5,17	3,06	-0,41	5,23	3,09	-0,41
14	7,90	89				4,73	3,09	-0,72	4,68	3,06	-0,72	4,73	3,09	-0,72































## CAPACITA'/DOMANDA DI SPOSTAMENTO - PUSH N.ro 9 - Prop.Modolo:+Fx-0.3\*Fy+Ecc5%

IDENTIFICATIVO			CAPACITA'/DOMANDA SPOSTAMENTI PER I VARI STATI LIMITE											
Filo N.ro	Quota (m)	Nodo N.ro	----- SLO -----			----- SLD -----			----- SLV -----			----- SLC -----		
			X (mm)	Y (mm)	Z (mm)	X (mm)	Y (mm)	Z (mm)	X (mm)	Y (mm)	Z (mm)	X (mm)	Y (mm)	Z (mm)
18	10,85	118				7,99	-3,28	-0,62	7,96	-3,26	-0,62	7,99	-3,28	-0,62
						7,44	-3,28	-0,47	7,41	-3,26	-0,47	7,44	-3,28	-0,47
						7,44	-3,28	-0,47	7,41	-3,26	-0,47	7,44	-3,28	-0,47
19	10,85	119				8,60	-2,87	-0,65	8,57	-2,86	-0,65	8,60	-2,87	-0,65
						8,60	-2,87	-0,65	8,57	-2,86	-0,65	8,60	-2,87	-0,65
20	10,85	120				7,99	-2,87	-0,73	7,96	-2,86	-0,73	7,99	-2,87	-0,73
						7,99	-2,87	-0,73	7,96	-2,86	-0,73	7,99	-2,87	-0,73
21	10,85	121				7,44	-2,87	-0,53	7,41	-2,86	-0,53	7,44	-2,87	-0,53
						7,44	-2,87	-0,53	7,41	-2,86	-0,53	7,44	-2,87	-0,53
22	10,85	122				8,60	-2,46	-0,63	8,57	-2,45	-0,63	8,60	-2,46	-0,63
						8,60	-2,46	-0,63	8,57	-2,45	-0,63	8,60	-2,46	-0,63
23	10,85	123				7,99	-2,46	-0,72	7,96	-2,45	-0,72	7,99	-2,46	-0,72
						7,99	-2,46	-0,72	7,96	-2,45	-0,72	7,99	-2,46	-0,72
24	10,85	124				7,44	-2,46	-0,61	7,41	-2,45	-0,61	7,44	-2,46	-0,61
						7,44	-2,46	-0,61	7,41	-2,45	-0,61	7,44	-2,46	-0,61
39	10,85	125				8,56	-5,28	-0,32	8,53	-5,27	-0,32	8,56	-5,28	-0,32
						8,56	-5,28	-0,32	8,53	-5,27	-0,32	8,56	-5,28	-0,32

## CAPACITA'/DOMANDA DI SPOSTAMENTO - PUSH N.ro 10 - Prop.Modolo:-Fx-0.3\*Fy+Ecc5%

IDENTIFICATIVO			CAPACITA'/DOMANDA SPOSTAMENTI PER I VARI STATI LIMITE											
Filo N.ro	Quota (m)	Nodo N.ro	----- SLO -----			----- SLD -----			----- SLV -----			----- SLC -----		
			X (mm)	Y (mm)	Z (mm)	X (mm)	Y (mm)	Z (mm)	X (mm)	Y (mm)	Z (mm)	X (mm)	Y (mm)	Z (mm)
1	0,00	1				0,00	0,00	0,00	0,00	0,00	0,00	0,00	0,00	0,00
						0,00	0,00	0,00	0,00	0,00	0,00	0,00	0,00	0,00
1	2,00	2				-0,80	-0,35	-0,24	-0,79	-0,35	-0,23	-0,80	-0,35	-0,24
						-0,80	-0,35	-0,24	-0,79	-0,35	-0,23	-0,80	-0,35	-0,24
2	0,00	3				0,00	0,00	0,00	0,00	0,00	0,00	0,00	0,00	0,00
						0,00	0,00	0,00	0,00	0,00	0,00	0,00	0,00	0,00
2	2,00	4				-0,79	-0,35	-0,19	-0,79	-0,35	-0,19	-0,79	-0,35	-0,19
						-0,79	-0,35	-0,19	-0,79	-0,35	-0,19	-0,79	-0,35	-0,19
3	0,00	5				0,00	0,00	0,00	0,00	0,00	0,00	0,00	0,00	0,00
						0,00	0,00	0,00	0,00	0,00	0,00	0,00	0,00	0,00
3	2,00	6				-0,78	-0,35	-0,26	-0,78	-0,35	-0,26	-0,78	-0,35	-0,26
						-0,78	-0,35	-0,26	-0,78	-0,35	-0,26	-0,78	-0,35	-0,26
4	0,00	7				0,00	0,00	0,00	0,00	0,00	0,00	0,00	0,00	0,00
						0,00	0,00	0,00	0,00	0,00	0,00	0,00	0,00	0,00
4	2,00	8				-0,80	-0,36	-0,25	-0,79	-0,36	-0,25	-0,80	-0,36	-0,25
						-0,80	-0,36	-0,25	-0,79	-0,36	-0,25	-0,80	-0,36	-0,25
5	0,00	9				0,00	0,00	0,00	0,00	0,00	0,00	0,00	0,00	0,00
						0,00	0,00	0,00	0,00	0,00	0,00	0,00	0,00	0,00
5	2,00	10				-0,79	-0,36	-0,30	-0,79	-0,36	-0,30	-0,79	-0,36	-0,30
						-0,79	-0,36	-0,30	-0,79	-0,36	-0,30	-0,79	-0,36	-0,30
6	0,00	11				0,00	0,00	0,00	0,00	0,00	0,00	0,00	0,00	0,00
						0,00	0,00	0,00	0,00	0,00	0,00	0,00	0,00	0,00
6	2,00	12				-0,78	-0,36	-0,20	-0,78	-0,36	-0,20	-0,78	-0,36	-0,20
						-0,78	-0,36	-0,20	-0,78	-0,36	-0,20	-0,78	-0,36	-0,20
7	0,00	13				0,00	0,00	0,00	0,00	0,00	0,00	0,00	0,00	0,00
						0,00	0,00	0,00	0,00	0,00	0,00	0,00	0,00	0,00
7	2,00	14				-0,80	-0,36	-0,06	-0,79	-0,36	-0,06	-0,80	-0,36	-0,06
						-0,80	-0,36	-0,06	-0,79	-0,36	-0,06	-0,80	-0,36	-0,06
8	0,00	15				0,00	0,00	0,00	0,00	0,00	0,00	0,00	0,00	0,00
						0,00	0,00	0,00	0,00	0,00	0,00	0,00	0,00	0,00
8	2,00	16				-0,79	-0,36	-0,10	-0,79	-0,36	-0,10	-0,79	-0,36	-0,10
						-0,79	-0,36	-0,10	-0,79	-0,36	-0,10	-0,79	-0,36	-0,10
9	0,00	17				0,00	0,00	0,00	0,00	0,00	0,00	0,00	0,00	0,00
						0,00	0,00	0,00	0,00	0,00	0,00	0,00	0,00	0,00
9	2,00	18				-0,78	-0,36	-0,06	-0,78	-0,36	-0,06	-0,78	-0,36	-0,06
						-0,78	-0,36	-0,06	-0,78	-0,36	-0,06	-0,78	-0,36	-0,06
10	0,00	19				0,00	0,00	0,00	0,00	0,00	0,00	0,00	0,00	0,00
						0,00	0,00	0,00	0,00	0,00	0,00	0,00	0,00	0,00
10	2,00	20				-0,80	-0,37	-0,09	-0,79	-0,37	-0,09	-0,80	-0,37	-0,09
						-0,80	-0,37	-0,09	-0,79	-0,37	-0,09	-0,80	-0,37	-0,09
11	0,00	21				0,00	0,00	0,00	0,00	0,00	0,00	0,00	0,00	0,00
						0,00	0,00	0,00	0,00	0,00	0,00	0,00	0,00	0,00
11	2,00	22				-0,79	-0,37	-0,25	-0,79	-0,37	-0,25	-0,79	-0,37	-0,25
						-0,79	-0,37	-0,25	-0,79	-0,37	-0,25	-0,79	-0,37	-0,25
12	0,00	23				0,00	0,00	0,00	0,00	0,00	0,00	0,00	0,00	0,00
						0,00	0,00	0,00	0,00	0,00	0,00	0,00	0,00	0,00
12	2,00	24				-0,78	-0,37	-0,23	-0,78	-0,37	-0,23	-0,78	-0,37	-0,23
						-0,78	-0,37	-0,23	-0,78	-0,37	-0,23	-0,78	-0,37	-0,23
13	0,00	25				0,00	0,00	0,00	0,00	0,00	0,00	0,00	0,00	0,00











## CAPACITA'/DOMANDA DI SPOSTAMENTO - PUSH N.ro 11 - Prop.Modolo:+Fy-0.3\*Fx+Ecc5%

IDENTIFICATIVO			CAPACITA'/DOMANDA SPOSTAMENTI PER I VARI STATI LIMITE											
Filo N.ro	Quota (m)	Nodo N.ro	----- SLO -----			----- SLD -----			----- SLV -----			----- SLC -----		
			X (mm)	Y (mm)	Z (mm)	X (mm)	Y (mm)	Z (mm)	X (mm)	Y (mm)	Z (mm)	X (mm)	Y (mm)	Z (mm)
3	7,90	78				-1,29	7,60	-0,65	-1,28	7,52	-0,65	-1,29	7,60	-0,65
						-1,89	7,60	-0,55	-1,87	7,52	-0,55	-1,89	7,60	-0,55
						-1,89	7,60	-0,55	-1,87	7,52	-0,55	-1,89	7,60	-0,55
4	7,90	79				-0,63	8,04	-0,38	-0,62	7,95	-0,38	-0,63	8,04	-0,38
						-0,63	8,04	-0,38	-0,62	7,95	-0,38	-0,63	8,04	-0,38
5	7,90	80				-1,29	8,04	-0,48	-1,28	7,95	-0,48	-1,29	8,04	-0,48
						-1,29	8,04	-0,48	-1,28	7,95	-0,48	-1,29	8,04	-0,48
6	7,90	81				-1,89	8,04	-0,52	-1,87	7,95	-0,52	-1,89	8,04	-0,52
						-1,89	8,04	-0,52	-1,87	7,95	-0,52	-1,89	8,04	-0,52
7	7,90	82				-0,63	8,49	-0,38	-0,62	8,39	-0,38	-0,63	8,49	-0,38
						-0,63	8,49	-0,38	-0,62	8,39	-0,38	-0,63	8,49	-0,38
8	7,90	83				-1,29	8,49	-0,56	-1,28	8,39	-0,56	-1,29	8,49	-0,56
						-1,29	8,49	-0,56	-1,28	8,39	-0,56	-1,29	8,49	-0,56
9	7,90	84				-1,89	8,49	-0,53	-1,87	8,39	-0,52	-1,89	8,49	-0,53
						-1,89	8,49	-0,53	-1,87	8,39	-0,52	-1,89	8,49	-0,53
10	7,90	85				-0,63	8,93	-0,53	-0,62	8,83	-0,52	-0,63	8,93	-0,53
						-0,63	8,93	-0,53	-0,62	8,83	-0,52	-0,63	8,93	-0,53
11	7,90	86				-1,29	8,93	-0,76	-1,28	8,83	-0,75	-1,29	8,93	-0,76
						-1,29	8,93	-0,76	-1,28	8,83	-0,75	-1,29	8,93	-0,76
12	7,90	87				-1,89	8,93	-0,49	-1,87	8,83	-0,49	-1,89	8,93	-0,49
						-1,89	8,93	-0,49	-1,87	8,83	-0,49	-1,89	8,93	-0,49
13	7,90	88				-0,63	9,38	-0,56	-0,62	9,26	-0,55	-0,63	9,38	-0,56
						-0,63	9,38	-0,56	-0,62	9,26	-0,55	-0,63	9,38	-0,56
14	7,90	89				-1,29	9,38	-0,75	-1,28	9,26	-0,75	-1,29	9,38	-0,75
						-1,29	9,38	-0,75	-1,28	9,26	-0,75	-1,29	9,38	-0,75
15	7,90	90				-1,89	9,38	-0,47	-1,87	9,26	-0,47	-1,89	9,38	-0,47
						-1,89	9,38	-0,47	-1,87	9,26	-0,47	-1,89	9,38	-0,47
16	7,90	91				-0,63	9,82	-0,43	-0,62	9,70	-0,43	-0,63	9,82	-0,43
						-0,63	9,82	-0,43	-0,62	9,70	-0,43	-0,63	9,82	-0,43
17	7,90	92				-1,29	9,82	-0,58	-1,28	9,70	-0,58	-1,29	9,82	-0,58
						-1,29	9,82	-0,58	-1,28	9,70	-0,58	-1,29	9,82	-0,58
18	7,90	93				-1,89	9,82	-0,62	-1,87	9,70	-0,62	-1,89	9,82	-0,62
						-1,89	9,82	-0,62	-1,87	9,70	-0,62	-1,89	9,82	-0,62
19	7,90	94				-0,63	10,27	-0,43	-0,62	10,14	-0,43	-0,63	10,27	-0,43
						-0,63	10,27	-0,43	-0,62	10,14	-0,43	-0,63	10,27	-0,43
20	7,90	95				-1,29	10,27	-0,44	-1,28	10,14	-0,44	-1,29	10,27	-0,44
						-1,29	10,27	-0,44	-1,28	10,14	-0,44	-1,29	10,27	-0,44
21	7,90	96				-1,89	10,27	-0,60	-1,87	10,14	-0,60	-1,89	10,27	-0,60
						-1,89	10,27	-0,60	-1,87	10,14	-0,60	-1,89	10,27	-0,60
22	7,90	97				-0,63	10,71	0,03	-0,62	10,58	0,03	-0,63	10,71	0,03
						-0,63	10,71	0,03	-0,62	10,58	0,03	-0,63	10,71	0,03
23	7,90	98				-1,29	10,71	-0,62	-1,28	10,58	-0,62	-1,29	10,71	-0,62
						-1,29	10,71	-0,62	-1,28	10,58	-0,62	-1,29	10,71	-0,62
24	7,90	99				-1,89	10,71	-0,46	-1,87	10,58	-0,46	-1,89	10,71	-0,46
						-1,89	10,71	-0,46	-1,87	10,58	-0,46	-1,89	10,71	-0,46
39	7,90	100				-0,67	7,64	-0,35	-0,67	7,56	-0,35	-0,67	7,64	-0,35
						-0,67	7,64	-0,35	-0,67	7,56	-0,35	-0,67	7,64	-0,35
1	10,85	101				-0,83	10,08	-0,11	-0,82	9,98	-0,12	-0,83	10,08	-0,11
						-0,83	10,08	-0,11	-0,82	9,98	-0,12	-0,83	10,08	-0,11
2	10,85	102				-1,64	10,08	-0,67	-1,62	9,98	-0,67	-1,64	10,08	-0,67
						-1,64	10,08	-0,67	-1,62	9,98	-0,67	-1,64	10,08	-0,67
3	10,85	103				-2,36	10,08	-0,59	-2,34	9,98	-0,58	-2,36	10,08	-0,59
						-2,36	10,08	-0,59	-2,34	9,98	-0,58	-2,36	10,08	-0,59
4	10,85	104				-0,83	10,62	-0,43	-0,82	10,51	-0,43	-0,83	10,62	-0,43
						-0,83	10,62	-0,43	-0,82	10,51	-0,43	-0,83	10,62	-0,43
5	10,85	105				-1,64	10,62	-0,56	-1,62	10,51	-0,56	-1,64	10,62	-0,56
						-1,64	10,62	-0,56	-1,62	10,51	-0,56	-1,64	10,62	-0,56
6	10,85	106				-2,36	10,62	-0,57	-2,34	10,51	-0,57	-2,36	10,62	-0,57
						-2,36	10,62	-0,57	-2,34	10,51	-0,57	-2,36	10,62	-0,57
7	10,85	107				-0,83	11,17	-0,42	-0,82	11,04	-0,42	-0,83	11,17	-0,42
						-0,83	11,17	-0,42	-0,82	11,04	-0,42	-0,83	11,17	-0,42
8	10,85	108				-1,64	11,17	-0,65	-1,62	11,04	-0,65	-1,64	11,17	-0,65
						-1,64	11,17	-0,65	-1,62	11,04	-0,65	-1,64	11,17	-0,65
9	10,85	109				-2,36	11,17	-0,59	-2,34	11,04	-0,59	-2,36	11,17	-0,59
						-2,36	11,17	-0,59	-2,34	11,04	-0,59	-2,36	11,17	-0,59
10	10,85	110				-0,83	11,71	-0,49	-0,82	11,57	-0,49	-0,83	11,71	-0,49
						-0,83	11,71	-0,49	-0,82	11,57	-0,49	-0,83	11,71	-0,49
11	10,85	111				-1,64	11,71	-0,84	-1,62	11,57	-0,84	-1,64	11,71	-0,84
						-1,64	11,71	-0,84	-1,62	11,57	-0,84	-1,64	11,71	-0,84
12	10,85	112				-2,36	11,71	-0,53	-2,34	11,57	-0,53	-2,36	11,71	-0,53
						-2,36	11,71	-0,53	-2,34	11,57	-0,53	-2,36	11,71	-0,53
13	10,85	113				-0,83	12,25	-0,51	-0,82	12,10	-0,51	-0,83	12,25	-0,51





## CAPACITA'/DOMANDA DI SPOSTAMENTO - PUSH N.ro 12 - Prop.Modolo:-Fy-0.3\*Fx+Ecc5%

IDENTIFICATIVO			CAPACITA'/DOMANDA SPOSTAMENTI PER I VARI STATI LIMITE											
Filo N.ro	Quota (m)	Nodo N.ro	----- SLO -----			----- SLD -----			----- SLV -----			----- SLC -----		
			X (mm)	Y (mm)	Z (mm)	X (mm)	Y (mm)	Z (mm)	X (mm)	Y (mm)	Z (mm)	X (mm)	Y (mm)	Z (mm)
8	4,95	58				-0,57	-6,59	-0,38	-0,57	-6,58	-0,38	-0,57	-6,59	-0,38
						-0,96	-6,59	-0,38	-0,95	-6,58	-0,38	-0,96	-6,59	-0,38
						-0,96	-6,59	-0,38	-0,95	-6,58	-0,38	-0,96	-6,59	-0,38
9	4,95	59				-1,30	-6,59	-0,21	-1,30	-6,58	-0,21	-1,30	-6,59	-0,21
						-1,30	-6,59	-0,21	-1,30	-6,58	-0,21	-1,30	-6,59	-0,21
10	4,95	60				-0,57	-6,33	0,13	-0,57	-6,32	0,13	-0,57	-6,33	0,13
						-0,57	-6,33	0,13	-0,57	-6,32	0,13	-0,57	-6,33	0,13
11	4,95	61				-0,96	-6,33	-0,31	-0,95	-6,32	-0,31	-0,96	-6,33	-0,31
						-0,96	-6,33	-0,31	-0,95	-6,32	-0,31	-0,96	-6,33	-0,31
12	4,95	62				-1,30	-6,33	-0,33	-1,30	-6,32	-0,33	-1,30	-6,33	-0,33
						-1,30	-6,33	-0,33	-1,30	-6,32	-0,33	-1,30	-6,33	-0,33
13	4,95	63				-0,57	-6,07	0,09	-0,57	-6,06	0,09	-0,57	-6,07	0,09
						-0,57	-6,07	0,09	-0,57	-6,06	0,09	-0,57	-6,07	0,09
14	4,95	64				-0,96	-6,07	-0,27	-0,95	-6,06	-0,27	-0,96	-6,07	-0,27
						-0,96	-6,07	-0,27	-0,95	-6,06	-0,27	-0,96	-6,07	-0,27
15	4,95	65				-1,30	-6,07	-0,28	-1,30	-6,06	-0,28	-1,30	-6,07	-0,28
						-1,30	-6,07	-0,28	-1,30	-6,06	-0,28	-1,30	-6,07	-0,28
16	4,95	66				-0,57	-5,81	-0,43	-0,57	-5,80	-0,43	-0,57	-5,81	-0,43
						-0,57	-5,81	-0,43	-0,57	-5,80	-0,43	-0,57	-5,81	-0,43
17	4,95	67				-0,96	-5,81	-0,43	-0,95	-5,80	-0,43	-0,96	-5,81	-0,43
						-0,96	-5,81	-0,43	-0,95	-5,80	-0,43	-0,96	-5,81	-0,43
18	4,95	68				-1,30	-5,81	-0,31	-1,30	-5,80	-0,31	-1,30	-5,81	-0,31
						-1,30	-5,81	-0,31	-1,30	-5,80	-0,31	-1,30	-5,81	-0,31
19	4,95	69				-0,57	-5,55	-0,41	-0,57	-5,55	-0,41	-0,57	-5,55	-0,41
						-0,57	-5,55	-0,41	-0,57	-5,55	-0,41	-0,57	-5,55	-0,41
20	4,95	70				-0,96	-5,55	-0,43	-0,95	-5,55	-0,43	-0,96	-5,55	-0,43
						-0,96	-5,55	-0,43	-0,95	-5,55	-0,43	-0,96	-5,55	-0,43
21	4,95	71				-1,30	-5,55	-0,22	-1,30	-5,55	-0,22	-1,30	-5,55	-0,22
						-1,30	-5,55	-0,22	-1,30	-5,55	-0,22	-1,30	-5,55	-0,22
22	4,95	72				-0,57	-5,30	-0,60	-0,57	-5,29	-0,60	-0,57	-5,30	-0,60
						-0,57	-5,30	-0,60	-0,57	-5,29	-0,60	-0,57	-5,30	-0,60
23	4,95	73				-0,96	-5,30	-0,17	-0,95	-5,29	-0,17	-0,96	-5,30	-0,17
						-0,96	-5,30	-0,17	-0,95	-5,29	-0,17	-0,96	-5,30	-0,17
24	4,95	74				-1,30	-5,30	-0,03	-1,30	-5,29	-0,03	-1,30	-5,30	-0,03
						-1,30	-5,30	-0,03	-1,30	-5,29	-0,03	-1,30	-5,30	-0,03
39	4,95	75				-0,59	-7,08	-0,14	-0,59	-7,07	-0,14	-0,59	-7,08	-0,14
						-0,59	-7,08	-0,14	-0,59	-7,07	-0,14	-0,59	-7,08	-0,14
1	7,90	76				-0,88	-13,08	-0,77	-0,88	-13,07	-0,77	-0,88	-13,08	-0,77
						-0,88	-13,08	-0,77	-0,88	-13,07	-0,77	-0,88	-13,08	-0,77
2	7,90	77				-1,61	-13,08	-0,40	-1,61	-13,07	-0,40	-1,61	-13,08	-0,40
						-1,61	-13,08	-0,40	-1,61	-13,07	-0,40	-1,61	-13,08	-0,40
3	7,90	78				-2,26	-13,08	-0,22	-2,25	-13,07	-0,22	-2,26	-13,08	-0,22
						-2,26	-13,08	-0,22	-2,25	-13,07	-0,22	-2,26	-13,08	-0,22
4	7,90	79				-0,88	-12,60	-0,51	-0,88	-12,58	-0,51	-0,88	-12,60	-0,51
						-0,88	-12,60	-0,51	-0,88	-12,58	-0,51	-0,88	-12,60	-0,51
5	7,90	80				-1,61	-12,60	-0,66	-1,61	-12,58	-0,66	-1,61	-12,60	-0,66
						-1,61	-12,60	-0,66	-1,61	-12,58	-0,66	-1,61	-12,60	-0,66
6	7,90	81				-2,26	-12,60	-0,25	-2,25	-12,58	-0,25	-2,26	-12,60	-0,25
						-2,26	-12,60	-0,25	-2,25	-12,58	-0,25	-2,26	-12,60	-0,25
7	7,90	82				-0,88	-12,12	-0,52	-0,88	-12,10	-0,52	-0,88	-12,12	-0,52
						-0,88	-12,12	-0,52	-0,88	-12,10	-0,52	-0,88	-12,12	-0,52
8	7,90	83				-1,61	-12,12	-0,54	-1,61	-12,10	-0,54	-1,61	-12,12	-0,54
						-1,61	-12,12	-0,54	-1,61	-12,10	-0,54	-1,61	-12,12	-0,54
9	7,90	84				-2,26	-12,12	-0,30	-2,25	-12,10	-0,30	-2,26	-12,12	-0,30
						-2,26	-12,12	-0,30	-2,25	-12,10	-0,30	-2,26	-12,12	-0,30
10	7,90	85				-0,88	-11,64	-0,13	-0,88	-11,62	-0,13	-0,88	-11,64	-0,13
						-0,88	-11,64	-0,13	-0,88	-11,62	-0,13	-0,88	-11,64	-0,13
11	7,90	86				-1,61	-11,64	-0,42	-1,61	-11,62	-0,42	-1,61	-11,64	-0,42
						-1,61	-11,64	-0,42	-1,61	-11,62	-0,42	-1,61	-11,64	-0,42
12	7,90	87				-2,26	-11,64	-0,43	-2,25	-11,62	-0,43	-2,26	-11,64	-0,43
						-2,26	-11,64	-0,43	-2,25	-11,62	-0,43	-2,26	-11,64	-0,43
13	7,90	88				-0,88	-11,15	-0,17	-0,88	-11,14	-0,17	-0,88	-11,15	-0,17
						-0,88	-11,15	-0,17	-0,88	-11,14	-0,17	-0,88	-11,15	-0,17
14	7,90	89				-1,61	-11,15	-0,40	-1,61	-11,14	-0,40	-1,61	-11,15	-0,40
						-1,61	-11,15	-0,40	-1,61	-11,14	-0,40	-1,61	-11,15	-0,40
15	7,90	90				-2,26	-11,15	-0,39	-2,25	-11,14	-0,39	-2,26	-11,15	-0,39
						-2,26	-11,15	-0,39	-2,25	-11,14	-0,39	-2,26	-11,15	-0,39
16	7,90	91				-0,88	-10,67	-0,57	-0,88	-10,66	-0,57	-0,88	-10,67	-0,57
						-0,88	-10,67	-0,57	-0,88	-10,66	-0,57	-0,88	-10,67	-0,57
17	7,90	92				-1,61	-10,67	-0,58	-1,61	-10,66	-0,58	-1,61	-10,67	-0,58
						-1,61	-10,67	-0,58	-1,61	-10,66	-0,58	-1,61	-10,67	-0,58
18	7,90	93				-2,26	-10,67	-0,39	-2,25	-10,66	-0,39	-2,26	-10,67	-0,39





## CAPACITA'/DOMANDA DI SPOSTAMENTO - PUSH N.ro 13 - Prop.Massa:+Fx-0.3\*Fy+Ecc5%

IDENTIFICATIVO			CAPACITA'/DOMANDA SPOSTAMENTI PER I VARI STATI LIMITE											
Filo N.ro	Quota (m)	Nodo N.ro	----- SLO -----			----- SLD -----			----- SLV -----			----- SLC -----		
			X (mm)	Y (mm)	Z (mm)	X (mm)	Y (mm)	Z (mm)	X (mm)	Y (mm)	Z (mm)	X (mm)	Y (mm)	Z (mm)
19	2,00	38				0,00	0,00	0,00	0,00	0,00	0,00	0,00	0,00	0,00
						0,84	-0,24	-0,27	0,84	-0,24	-0,27	0,84	-0,24	-0,27
						0,84	-0,24	-0,27	0,84	-0,24	-0,27	0,84	-0,24	-0,27
20	0,00	39				0,00	0,00	0,00	0,00	0,00	0,00	0,00	0,00	0,00
						0,00	0,00	0,00	0,00	0,00	0,00	0,00	0,00	0,00
20	2,00	40				0,77	-0,24	-0,28	0,77	-0,24	-0,28	0,77	-0,24	-0,28
						0,77	-0,24	-0,28	0,77	-0,24	-0,28	0,77	-0,24	-0,28
21	0,00	41				0,00	0,00	0,00	0,00	0,00	0,00	0,00	0,00	0,00
						0,00	0,00	0,00	0,00	0,00	0,00	0,00	0,00	0,00
21	2,00	42				0,70	-0,24	-0,23	0,70	-0,24	-0,23	0,70	-0,24	-0,23
						0,70	-0,24	-0,23	0,70	-0,24	-0,23	0,70	-0,24	-0,23
22	0,00	43				0,00	0,00	0,00	0,00	0,00	0,00	0,00	0,00	0,00
						0,00	0,00	0,00	0,00	0,00	0,00	0,00	0,00	0,00
22	2,00	44				0,84	-0,19	-0,20	0,84	-0,19	-0,20	0,84	-0,19	-0,20
						0,84	-0,19	-0,20	0,84	-0,19	-0,20	0,84	-0,19	-0,20
23	0,00	45				0,00	0,00	0,00	0,00	0,00	0,00	0,00	0,00	0,00
						0,00	0,00	0,00	0,00	0,00	0,00	0,00	0,00	0,00
23	2,00	46				0,77	-0,19	-0,20	0,77	-0,19	-0,20	0,77	-0,19	-0,20
						0,77	-0,19	-0,20	0,77	-0,19	-0,20	0,77	-0,19	-0,20
24	0,00	47				0,00	0,00	0,00	0,00	0,00	0,00	0,00	0,00	0,00
						0,00	0,00	0,00	0,00	0,00	0,00	0,00	0,00	0,00
24	2,00	48				0,70	-0,19	-0,26	0,70	-0,19	-0,26	0,70	-0,19	-0,26
						0,70	-0,19	-0,26	0,70	-0,19	-0,26	0,70	-0,19	-0,26
31	2,00	49				0,77	-0,36	-0,16	0,77	-0,36	-0,16	0,77	-0,36	-0,16
						0,77	-0,36	-0,16	0,77	-0,36	-0,16	0,77	-0,36	-0,16
39	2,00	50				0,83	-0,52	-0,14	0,83	-0,52	-0,14	0,83	-0,52	-0,14
						0,83	-0,52	-0,14	0,83	-0,52	-0,14	0,83	-0,52	-0,14
1	4,95	51				3,39	-2,12	-0,25	3,39	-2,12	-0,25	3,39	-2,12	-0,25
						3,39	-2,12	-0,25	3,39	-2,12	-0,25	3,39	-2,12	-0,25
2	4,95	52				3,11	-2,12	-0,22	3,11	-2,12	-0,22	3,11	-2,12	-0,22
						3,11	-2,12	-0,22	3,11	-2,12	-0,22	3,11	-2,12	-0,22
3	4,95	53				2,86	-2,12	0,01	2,86	-2,12	0,01	2,86	-2,12	0,01
						2,86	-2,12	0,01	2,86	-2,12	0,01	2,86	-2,12	0,01
4	4,95	54				3,39	-1,93	-0,22	3,39	-1,93	-0,23	3,39	-1,93	-0,22
						3,39	-1,93	-0,22	3,39	-1,93	-0,23	3,39	-1,93	-0,22
5	4,95	55				3,11	-1,93	-0,32	3,11	-1,93	-0,32	3,11	-1,93	-0,32
						3,11	-1,93	-0,32	3,11	-1,93	-0,32	3,11	-1,93	-0,32
6	4,95	56				2,86	-1,93	-0,18	2,86	-1,93	-0,18	2,86	-1,93	-0,18
						2,86	-1,93	-0,18	2,86	-1,93	-0,18	2,86	-1,93	-0,18
7	4,95	57				3,39	-1,75	-0,44	3,39	-1,74	-0,44	3,39	-1,75	-0,44
						3,39	-1,75	-0,44	3,39	-1,74	-0,44	3,39	-1,75	-0,44
8	4,95	58				3,11	-1,75	-0,49	3,11	-1,74	-0,49	3,11	-1,75	-0,49
						3,11	-1,75	-0,49	3,11	-1,74	-0,49	3,11	-1,75	-0,49
9	4,95	59				2,86	-1,75	-0,36	2,86	-1,74	-0,36	2,86	-1,75	-0,36
						2,86	-1,75	-0,36	2,86	-1,74	-0,36	2,86	-1,75	-0,36
10	4,95	60				3,39	-1,56	-0,23	3,39	-1,56	-0,23	3,39	-1,56	-0,23
						3,39	-1,56	-0,23	3,39	-1,56	-0,23	3,39	-1,56	-0,23
11	4,95	61				3,11	-1,56	-0,28	3,11	-1,56	-0,28	3,11	-1,56	-0,28
						3,11	-1,56	-0,28	3,11	-1,56	-0,28	3,11	-1,56	-0,28
12	4,95	62				2,86	-1,56	-0,27	2,86	-1,56	-0,27	2,86	-1,56	-0,27
						2,86	-1,56	-0,27	2,86	-1,56	-0,27	2,86	-1,56	-0,27
13	4,95	63				3,39	-1,37	-0,20	3,39	-1,37	-0,20	3,39	-1,37	-0,20
						3,39	-1,37	-0,20	3,39	-1,37	-0,20	3,39	-1,37	-0,20
14	4,95	64				3,11	-1,37	-0,51	3,11	-1,37	-0,51	3,11	-1,37	-0,51
						3,11	-1,37	-0,51	3,11	-1,37	-0,51	3,11	-1,37	-0,51
15	4,95	65				2,86	-1,37	-0,38	2,86	-1,37	-0,38	2,86	-1,37	-0,38
						2,86	-1,37	-0,38	2,86	-1,37	-0,38	2,86	-1,37	-0,38
16	4,95	66				3,39	-1,19	-0,27	3,39	-1,19	-0,27	3,39	-1,19	-0,27
						3,39	-1,19	-0,27	3,39	-1,19	-0,27	3,39	-1,19	-0,27
17	4,95	67				3,11	-1,19	-0,34	3,11	-1,19	-0,34	3,11	-1,19	-0,34
						3,11	-1,19	-0,34	3,11	-1,19	-0,34	3,11	-1,19	-0,34
18	4,95	68				2,86	-1,19	-0,29	2,86	-1,19	-0,29	2,86	-1,19	-0,29
						2,86	-1,19	-0,29	2,86	-1,19	-0,29	2,86	-1,19	-0,29
19	4,95	69				3,39	-1,00	-0,48	3,39	-1,00	-0,48	3,39	-1,00	-0,48
						3,39	-1,00	-0,48	3,39	-1,00	-0,48	3,39	-1,00	-0,48
20	4,95	70				3,11	-1,00	-0,50	3,11	-1,00	-0,50	3,11	-1,00	-0,50
						3,11	-1,00	-0,50	3,11	-1,00	-0,50	3,11	-1,00	-0,50
21	4,95	71				2,86	-1,00	-0,41	2,86	-1,00	-0,41	2,86	-1,00	-0,41
						2,86	-1,00	-0,41	2,86	-1,00	-0,41	2,86	-1,00	-0,41
22	4,95	72				3,39	-0,81	-0,42	3,39	-0,81	-0,42	3,39	-0,81	-0,42
						3,39	-0,81	-0,42	3,39	-0,81	-0,42	3,39	-0,81	-0,42
23	4,95	73				3,11	-0,81	-0,45	3,11	-0,81	-0,45	3,11	-0,81	-0,45











































































## CAPACITA'/DOMANDA DI SPOSTAMENTO - PUSH N.ro 23 - Prop.Massa:+Fy+0.3\*Fx-Ecc5%

IDENTIFICATIVO			CAPACITA'/DOMANDA SPOSTAMENTI PER I VARI STATI LIMITE											
Filo N.ro	Quota (m)	Nodo N.ro	----- SLO -----			----- SLD -----			----- SLV -----			----- SLC -----		
			X (mm)	Y (mm)	Z (mm)	X (mm)	Y (mm)	Z (mm)	X (mm)	Y (mm)	Z (mm)	X (mm)	Y (mm)	Z (mm)
						1,14	12,36	-0,25	1,13	12,32	-0,25	1,14	12,36	-0,25

## CAPACITA'/DOMANDA DI SPOSTAMENTO - PUSH N.ro 24 - Prop.Massa:-Fy+0.3\*Fx-Ecc5%

IDENTIFICATIVO			CAPACITA'/DOMANDA SPOSTAMENTI PER I VARI STATI LIMITE											
Filo N.ro	Quota (m)	Nodo N.ro	----- SLO -----			----- SLD -----			----- SLV -----			----- SLC -----		
			X (mm)	Y (mm)	Z (mm)	X (mm)	Y (mm)	Z (mm)	X (mm)	Y (mm)	Z (mm)	X (mm)	Y (mm)	Z (mm)
1	0,00	1				0,00	0,00	0,00	0,00	0,00	0,00	0,00	0,00	0,00
						0,00	0,00	0,00	0,00	0,00	0,00	0,00	0,00	0,00
1	2,00	2				0,10	-0,86	-0,25	0,10	-0,85	-0,25	0,10	-0,86	-0,25
						0,10	-0,86	-0,25	0,10	-0,85	-0,25	0,10	-0,86	-0,25
2	0,00	3				0,00	0,00	0,00	0,00	0,00	0,00	0,00	0,00	0,00
						0,00	0,00	0,00	0,00	0,00	0,00	0,00	0,00	0,00
2	2,00	4				0,19	-0,86	-0,07	0,19	-0,85	-0,07	0,19	-0,86	-0,07
						0,19	-0,86	-0,07	0,19	-0,85	-0,07	0,19	-0,86	-0,07
3	0,00	5				0,00	0,00	0,00	0,00	0,00	0,00	0,00	0,00	0,00
						0,00	0,00	0,00	0,00	0,00	0,00	0,00	0,00	0,00
3	2,00	6				0,27	-0,86	-0,01	0,27	-0,85	-0,02	0,27	-0,86	-0,01
						0,27	-0,86	-0,01	0,27	-0,85	-0,02	0,27	-0,86	-0,01
4	0,00	7				0,00	0,00	0,00	0,00	0,00	0,00	0,00	0,00	0,00
						0,00	0,00	0,00	0,00	0,00	0,00	0,00	0,00	0,00
4	2,00	8				0,10	-0,92	-0,15	0,10	-0,90	-0,15	0,10	-0,92	-0,15
						0,10	-0,92	-0,15	0,10	-0,90	-0,15	0,10	-0,92	-0,15
5	0,00	9				0,00	0,00	0,00	0,00	0,00	0,00	0,00	0,00	0,00
						0,00	0,00	0,00	0,00	0,00	0,00	0,00	0,00	0,00
5	2,00	10				0,19	-0,92	-0,18	0,19	-0,90	-0,18	0,19	-0,92	-0,18
						0,19	-0,92	-0,18	0,19	-0,90	-0,18	0,19	-0,92	-0,18
6	0,00	11				0,00	0,00	0,00	0,00	0,00	0,00	0,00	0,00	0,00
						0,00	0,00	0,00	0,00	0,00	0,00	0,00	0,00	0,00
6	2,00	12				0,27	-0,92	-0,07	0,27	-0,90	-0,07	0,27	-0,92	-0,07
						0,27	-0,92	-0,07	0,27	-0,90	-0,07	0,27	-0,92	-0,07
7	0,00	13				0,00	0,00	0,00	0,00	0,00	0,00	0,00	0,00	0,00
						0,00	0,00	0,00	0,00	0,00	0,00	0,00	0,00	0,00
7	2,00	14				0,10	-0,98	-0,18	0,10	-0,96	-0,18	0,10	-0,98	-0,18
						0,10	-0,98	-0,18	0,10	-0,96	-0,18	0,10	-0,98	-0,18
8	0,00	15				0,00	0,00	0,00	0,00	0,00	0,00	0,00	0,00	0,00
						0,00	0,00	0,00	0,00	0,00	0,00	0,00	0,00	0,00
8	2,00	16				0,19	-0,98	-0,21	0,19	-0,96	-0,21	0,19	-0,98	-0,21
						0,19	-0,98	-0,21	0,19	-0,96	-0,21	0,19	-0,98	-0,21
9	0,00	17				0,00	0,00	0,00	0,00	0,00	0,00	0,00	0,00	0,00
						0,00	0,00	0,00	0,00	0,00	0,00	0,00	0,00	0,00
9	2,00	18				0,27	-0,98	-0,15	0,27	-0,96	-0,15	0,27	-0,98	-0,15
						0,27	-0,98	-0,15	0,27	-0,96	-0,15	0,27	-0,98	-0,15
10	0,00	19				0,00	0,00	0,00	0,00	0,00	0,00	0,00	0,00	0,00
						0,00	0,00	0,00	0,00	0,00	0,00	0,00	0,00	0,00
10	2,00	20				0,10	-1,04	-0,03	0,10	-1,02	-0,04	0,10	-1,04	-0,03
						0,10	-1,04	-0,03	0,10	-1,02	-0,04	0,10	-1,04	-0,03
11	0,00	21				0,00	0,00	0,00	0,00	0,00	0,00	0,00	0,00	0,00
						0,00	0,00	0,00	0,00	0,00	0,00	0,00	0,00	0,00
11	2,00	22				0,19	-1,04	-0,12	0,19	-1,02	-0,12	0,19	-1,04	-0,12
						0,19	-1,04	-0,12	0,19	-1,02	-0,12	0,19	-1,04	-0,12
12	0,00	23				0,00	0,00	0,00	0,00	0,00	0,00	0,00	0,00	0,00
						0,00	0,00	0,00	0,00	0,00	0,00	0,00	0,00	0,00
12	2,00	24				0,27	-1,04	-0,12	0,27	-1,02	-0,12	0,27	-1,04	-0,12
						0,27	-1,04	-0,12	0,27	-1,02	-0,12	0,27	-1,04	-0,12
13	0,00	25				0,00	0,00	0,00	0,00	0,00	0,00	0,00	0,00	0,00
						0,00	0,00	0,00	0,00	0,00	0,00	0,00	0,00	0,00
13	2,00	26				0,10	-1,10	-0,03	0,10	-1,08	-0,03	0,10	-1,10	-0,03
						0,10	-1,10	-0,03	0,10	-1,08	-0,03	0,10	-1,10	-0,03
14	0,00	27				0,00	0,00	0,00	0,00	0,00	0,00	0,00	0,00	0,00
						0,00	0,00	0,00	0,00	0,00	0,00	0,00	0,00	0,00
14	2,00	28				0,19	-1,10	-0,15	0,19	-1,08	-0,16	0,19	-1,10	-0,15
						0,19	-1,10	-0,15	0,19	-1,08	-0,16	0,19	-1,10	-0,15
15	0,00	29				0,00	0,00	0,00	0,00	0,00	0,00	0,00	0,00	0,00
						0,00	0,00	0,00	0,00	0,00	0,00	0,00	0,00	0,00
15	2,00	30				0,27	-1,10	-0,17	0,27	-1,08	-0,17	0,27	-1,10	-0,17
						0,27	-1,10	-0,17	0,27	-1,08	-0,17	0,27	-1,10	-0,17
16	0,00	31				0,00	0,00	0,00	0,00	0,00	0,00	0,00	0,00	0,00
						0,00	0,00	0,00	0,00	0,00	0,00	0,00	0,00	0,00
16	2,00	32				0,10	-1,16	-0,18	0,10	-1,14	-0,18	0,10	-1,16	-0,18
						0,10	-1,16	-0,18	0,10	-1,14	-0,18	0,10	-1,16	-0,18
17	0,00	33				0,00	0,00	0,00	0,00	0,00	0,00	0,00	0,00	0,00



## CAPACITA'/DOMANDA DI SPOSTAMENTO - PUSH N.ro 24 - Prop.Massa:-Fy+0.3\*Fx-Ecc5%

IDENTIFICATIVO			CAPACITA'/DOMANDA SPOSTAMENTI PER I VARI STATI LIMITE											
Filo N.ro	Quota (m)	Nodo N.ro	----- SLO -----			----- SLD -----			----- SLV -----			----- SLC -----		
			X (mm)	Y (mm)	Z (mm)	X (mm)	Y (mm)	Z (mm)	X (mm)	Y (mm)	Z (mm)	X (mm)	Y (mm)	Z (mm)
20	4,95	70				0,41	-5,05	-0,43	0,41	-4,98	-0,43	0,41	-5,05	-0,43
						0,78	-5,05	-0,47	0,77	-4,98	-0,47	0,78	-5,05	-0,47
						0,78	-5,05	-0,47	0,77	-4,98	-0,47	0,78	-5,05	-0,47
21	4,95	71				1,10	-5,05	-0,30	1,09	-4,98	-0,30	1,10	-5,05	-0,30
						1,10	-5,05	-0,30	1,09	-4,98	-0,30	1,10	-5,05	-0,30
22	4,95	72				0,41	-5,29	-0,59	0,41	-5,22	-0,58	0,41	-5,29	-0,59
						0,41	-5,29	-0,59	0,41	-5,22	-0,58	0,41	-5,29	-0,59
23	4,95	73				0,78	-5,29	-0,25	0,77	-5,22	-0,25	0,78	-5,29	-0,25
						0,78	-5,29	-0,25	0,77	-5,22	-0,25	0,78	-5,29	-0,25
24	4,95	74				1,10	-5,29	-0,24	1,09	-5,22	-0,24	1,10	-5,29	-0,24
						1,10	-5,29	-0,24	1,09	-5,22	-0,24	1,10	-5,29	-0,24
39	4,95	75				0,43	-3,61	-0,24	0,43	-3,57	-0,24	0,43	-3,61	-0,24
						0,43	-3,61	-0,24	0,43	-3,57	-0,24	0,43	-3,61	-0,24
1	7,90	76				0,65	-6,05	-0,50	0,64	-5,97	-0,49	0,65	-6,05	-0,50
						0,65	-6,05	-0,50	0,64	-5,97	-0,49	0,65	-6,05	-0,50
2	7,90	77				1,21	-6,05	-0,40	1,20	-5,97	-0,40	1,21	-6,05	-0,40
						1,21	-6,05	-0,40	1,20	-5,97	-0,40	1,21	-6,05	-0,40
3	7,90	78				1,72	-6,05	-0,14	1,70	-5,97	-0,14	1,72	-6,05	-0,14
						1,72	-6,05	-0,14	1,70	-5,97	-0,14	1,72	-6,05	-0,14
4	7,90	79				0,65	-6,43	-0,45	0,64	-6,34	-0,45	0,65	-6,43	-0,45
						0,65	-6,43	-0,45	0,64	-6,34	-0,45	0,65	-6,43	-0,45
5	7,90	80				1,21	-6,43	-0,58	1,20	-6,34	-0,58	1,21	-6,43	-0,58
						1,21	-6,43	-0,58	1,20	-6,34	-0,58	1,21	-6,43	-0,58
6	7,90	81				1,72	-6,43	-0,28	1,70	-6,34	-0,29	1,72	-6,43	-0,28
						1,72	-6,43	-0,28	1,70	-6,34	-0,29	1,72	-6,43	-0,28
7	7,90	82				0,65	-6,81	-0,50	0,64	-6,72	-0,50	0,65	-6,81	-0,50
						0,65	-6,81	-0,50	0,64	-6,72	-0,50	0,65	-6,81	-0,50
8	7,90	83				1,21	-6,81	-0,57	1,20	-6,72	-0,57	1,21	-6,81	-0,57
						1,21	-6,81	-0,57	1,20	-6,72	-0,57	1,21	-6,81	-0,57
9	7,90	84				1,72	-6,81	-0,38	1,70	-6,72	-0,38	1,72	-6,81	-0,38
						1,72	-6,81	-0,38	1,70	-6,72	-0,38	1,72	-6,81	-0,38
10	7,90	85				0,65	-7,19	-0,31	0,64	-7,09	-0,31	0,65	-7,19	-0,31
						0,65	-7,19	-0,31	0,64	-7,09	-0,31	0,65	-7,19	-0,31
11	7,90	86				1,21	-7,19	-0,42	1,20	-7,09	-0,42	1,21	-7,19	-0,42
						1,21	-7,19	-0,42	1,20	-7,09	-0,42	1,21	-7,19	-0,42
12	7,90	87				1,72	-7,19	-0,41	1,70	-7,09	-0,41	1,72	-7,19	-0,41
						1,72	-7,19	-0,41	1,70	-7,09	-0,41	1,72	-7,19	-0,41
13	7,90	88				0,65	-7,56	-0,30	0,64	-7,46	-0,31	0,65	-7,56	-0,30
						0,65	-7,56	-0,30	0,64	-7,46	-0,31	0,65	-7,56	-0,30
14	7,90	89				1,21	-7,56	-0,47	1,20	-7,46	-0,47	1,21	-7,56	-0,47
						1,21	-7,56	-0,47	1,20	-7,46	-0,47	1,21	-7,56	-0,47
15	7,90	90				1,72	-7,56	-0,44	1,70	-7,46	-0,44	1,72	-7,56	-0,44
						1,72	-7,56	-0,44	1,70	-7,46	-0,44	1,72	-7,56	-0,44
16	7,90	91				0,65	-7,94	-0,53	0,64	-7,83	-0,53	0,65	-7,94	-0,53
						0,65	-7,94	-0,53	0,64	-7,83	-0,53	0,65	-7,94	-0,53
17	7,90	92				1,21	-7,94	-0,56	1,20	-7,83	-0,56	1,21	-7,94	-0,56
						1,21	-7,94	-0,56	1,20	-7,83	-0,56	1,21	-7,94	-0,56
18	7,90	93				1,72	-7,94	-0,39	1,70	-7,83	-0,39	1,72	-7,94	-0,39
						1,72	-7,94	-0,39	1,70	-7,83	-0,39	1,72	-7,94	-0,39
19	7,90	94				0,65	-8,32	-0,56	0,64	-8,21	-0,56	0,65	-8,32	-0,56
						0,65	-8,32	-0,56	0,64	-8,21	-0,56	0,65	-8,32	-0,56
20	7,90	95				1,21	-8,32	-0,63	1,20	-8,21	-0,63	1,21	-8,32	-0,63
						1,21	-8,32	-0,63	1,20	-8,21	-0,63	1,21	-8,32	-0,63
21	7,90	96				1,72	-8,32	-0,39	1,70	-8,21	-0,39	1,72	-8,32	-0,39
						1,72	-8,32	-0,39	1,70	-8,21	-0,39	1,72	-8,32	-0,39
22	7,90	97				0,65	-8,70	-0,65	0,64	-8,58	-0,64	0,65	-8,70	-0,65
						0,65	-8,70	-0,65	0,64	-8,58	-0,64	0,65	-8,70	-0,65
23	7,90	98				1,21	-8,70	-0,43	1,20	-8,58	-0,44	1,21	-8,70	-0,43
						1,21	-8,70	-0,43	1,20	-8,58	-0,44	1,21	-8,70	-0,43
24	7,90	99				1,72	-8,70	-0,30	1,70	-8,58	-0,30	1,72	-8,70	-0,30
						1,72	-8,70	-0,30	1,70	-8,58	-0,30	1,72	-8,70	-0,30
39	7,90	100				0,68	-6,09	-0,37	0,68	-6,01	-0,37	0,68	-6,09	-0,37
						0,68	-6,09	-0,37	0,68	-6,01	-0,37	0,68	-6,09	-0,37
1	10,85	101				0,80	-7,44	-0,50	0,79	-7,34	-0,50	0,80	-7,44	-0,50
						0,80	-7,44	-0,50	0,79	-7,34	-0,50	0,80	-7,44	-0,50
2	10,85	102				1,47	-7,44	-0,49	1,45	-7,34	-0,49	1,47	-7,44	-0,49
						1,47	-7,44	-0,49	1,45	-7,34	-0,49	1,47	-7,44	-0,49
3	10,85	103				2,06	-7,44	-0,17	2,04	-7,34	-0,17	2,06	-7,44	-0,17
						2,06	-7,44	-0,17	2,04	-7,34	-0,17	2,06	-7,44	-0,17
4	10,85	104				0,80	-7,89	-0,51	0,79	-7,78	-0,51	0,80	-7,89	-0,51
						0,80	-7,89	-0,51	0,79	-7,78	-0,51	0,80	-7,89	-0,51
5	10,85	105				1,47	-7,89	-0,67	1,45	-7,78	-0,67	1,47	-7,89	-0,67

## CAPACITA'/DOMANDA DI SPOSTAMENTO - PUSH N.ro 24 - Prop.Massa:-Fy+0.3\*Fx-Ecc5%

IDENTIFICATIVO			CAPACITA'/DOMANDA SPOSTAMENTI PER I VARI STATI LIMITE											
Filo N.ro	Quota (m)	Nodo N.ro	----- SLO -----			----- SLD -----			----- SLV -----			----- SLC -----		
			X (mm)	Y (mm)	Z (mm)	X (mm)	Y (mm)	Z (mm)	X (mm)	Y (mm)	Z (mm)	X (mm)	Y (mm)	Z (mm)
6	10,85	106				1,47	-7,89	-0,67	1,45	-7,78	-0,67	1,47	-7,89	-0,67
						2,06	-7,89	-0,33	2,04	-7,78	-0,33	2,06	-7,89	-0,33
						2,06	-7,89	-0,33	2,04	-7,78	-0,33	2,06	-7,89	-0,33
7	10,85	107				0,80	-8,33	-0,55	0,79	-8,22	-0,55	0,80	-8,33	-0,55
						0,80	-8,33	-0,55	0,79	-8,22	-0,55	0,80	-8,33	-0,55
8	10,85	108				1,47	-8,33	-0,66	1,45	-8,22	-0,66	1,47	-8,33	-0,66
						1,47	-8,33	-0,66	1,45	-8,22	-0,66	1,47	-8,33	-0,66
9	10,85	109				2,06	-8,33	-0,41	2,04	-8,22	-0,42	2,06	-8,33	-0,41
						2,06	-8,33	-0,41	2,04	-8,22	-0,42	2,06	-8,33	-0,41
10	10,85	110				0,80	-8,78	-0,45	0,79	-8,66	-0,45	0,80	-8,78	-0,45
						0,80	-8,78	-0,45	0,79	-8,66	-0,45	0,80	-8,78	-0,45
11	10,85	111				1,47	-8,78	-0,50	1,45	-8,66	-0,50	1,47	-8,78	-0,50
						1,47	-8,78	-0,50	1,45	-8,66	-0,50	1,47	-8,78	-0,50
12	10,85	112				2,06	-8,78	-0,46	2,04	-8,66	-0,46	2,06	-8,78	-0,46
						2,06	-8,78	-0,46	2,04	-8,66	-0,46	2,06	-8,78	-0,46
13	10,85	113				0,80	-9,22	-0,46	0,79	-9,09	-0,46	0,80	-9,22	-0,46
						0,80	-9,22	-0,46	0,79	-9,09	-0,46	0,80	-9,22	-0,46
14	10,85	114				1,47	-9,22	-0,54	1,45	-9,09	-0,54	1,47	-9,22	-0,54
						1,47	-9,22	-0,54	1,45	-9,09	-0,54	1,47	-9,22	-0,54
15	10,85	115				2,06	-9,22	-0,48	2,04	-9,09	-0,48	2,06	-9,22	-0,48
						2,06	-9,22	-0,48	2,04	-9,09	-0,48	2,06	-9,22	-0,48
16	10,85	116				0,80	-9,66	-0,58	0,79	-9,53	-0,58	0,80	-9,66	-0,58
						0,80	-9,66	-0,58	0,79	-9,53	-0,58	0,80	-9,66	-0,58
17	10,85	117				1,47	-9,66	-0,65	1,45	-9,53	-0,66	1,47	-9,66	-0,65
						1,47	-9,66	-0,65	1,45	-9,53	-0,66	1,47	-9,66	-0,65
18	10,85	118				2,06	-9,66	-0,44	2,04	-9,53	-0,44	2,06	-9,66	-0,44
						2,06	-9,66	-0,44	2,04	-9,53	-0,44	2,06	-9,66	-0,44
19	10,85	119				0,80	-10,11	-0,61	0,79	-9,97	-0,61	0,80	-10,11	-0,61
						0,80	-10,11	-0,61	0,79	-9,97	-0,61	0,80	-10,11	-0,61
20	10,85	120				1,47	-10,11	-0,71	1,45	-9,97	-0,71	1,47	-10,11	-0,71
						1,47	-10,11	-0,71	1,45	-9,97	-0,71	1,47	-10,11	-0,71
21	10,85	121				2,06	-10,11	-0,42	2,04	-9,97	-0,42	2,06	-10,11	-0,42
						2,06	-10,11	-0,42	2,04	-9,97	-0,42	2,06	-10,11	-0,42
22	10,85	122				0,80	-10,55	-0,64	0,79	-10,41	-0,64	0,80	-10,55	-0,64
						0,80	-10,55	-0,64	0,79	-10,41	-0,64	0,80	-10,55	-0,64
23	10,85	123				1,47	-10,55	-0,53	1,45	-10,41	-0,54	1,47	-10,55	-0,53
						1,47	-10,55	-0,53	1,45	-10,41	-0,54	1,47	-10,55	-0,53
24	10,85	124				2,06	-10,55	-0,32	2,04	-10,41	-0,32	2,06	-10,55	-0,32
						2,06	-10,55	-0,32	2,04	-10,41	-0,32	2,06	-10,55	-0,32
39	10,85	125				0,84	-7,48	-0,47	0,83	-7,38	-0,47	0,84	-7,48	-0,47
						0,84	-7,48	-0,47	0,83	-7,38	-0,47	0,84	-7,48	-0,47

## CAPACITA'/DOMANDA DI SPOSTAMENTO - PUSH N.ro 25 - Prop.Modo:+Fx-0.3\*Fy-Ecc5%

IDENTIFICATIVO			CAPACITA'/DOMANDA SPOSTAMENTI PER I VARI STATI LIMITE											
Filo N.ro	Quota (m)	Nodo N.ro	----- SLO -----			----- SLD -----			----- SLV -----			----- SLC -----		
			X (mm)	Y (mm)	Z (mm)	X (mm)	Y (mm)	Z (mm)	X (mm)	Y (mm)	Z (mm)	X (mm)	Y (mm)	Z (mm)
1	0,00	1				0,00	0,00	0,00	0,00	0,00	0,00	0,00	0,00	0,00
						0,00	0,00	0,00	0,00	0,00	0,00	0,00	0,00	0,00
1	2,00	2				0,79	-0,36	-0,11	0,78	-0,35	-0,11	0,79	-0,36	-0,11
						0,79	-0,36	-0,11	0,78	-0,35	-0,11	0,79	-0,36	-0,11
2	0,00	3				0,00	0,00	0,00	0,00	0,00	0,00	0,00	0,00	0,00
						0,00	0,00	0,00	0,00	0,00	0,00	0,00	0,00	0,00
2	2,00	4				0,79	-0,36	-0,07	0,79	-0,35	-0,07	0,79	-0,36	-0,07
						0,79	-0,36	-0,07	0,79	-0,35	-0,07	0,79	-0,36	-0,07
3	0,00	5				0,00	0,00	0,00	0,00	0,00	0,00	0,00	0,00	0,00
						0,00	0,00	0,00	0,00	0,00	0,00	0,00	0,00	0,00
3	2,00	6				0,80	-0,36	0,09	0,79	-0,35	0,08	0,80	-0,36	0,09
						0,80	-0,36	0,09	0,79	-0,35	0,08	0,80	-0,36	0,09
4	0,00	7				0,00	0,00	0,00	0,00	0,00	0,00	0,00	0,00	0,00
						0,00	0,00	0,00	0,00	0,00	0,00	0,00	0,00	0,00
4	2,00	8				0,79	-0,36	-0,06	0,78	-0,36	-0,06	0,79	-0,36	-0,06
						0,79	-0,36	-0,06	0,78	-0,36	-0,06	0,79	-0,36	-0,06
5	0,00	9				0,00	0,00	0,00	0,00	0,00	0,00	0,00	0,00	0,00
						0,00	0,00	0,00	0,00	0,00	0,00	0,00	0,00	0,00
5	2,00	10				0,79	-0,36	-0,09	0,79	-0,36	-0,09	0,79	-0,36	-0,09
						0,79	-0,36	-0,09	0,79	-0,36	-0,09	0,79	-0,36	-0,09
6	0,00	11				0,00	0,00	0,00	0,00	0,00	0,00	0,00	0,00	0,00
						0,00	0,00	0,00	0,00	0,00	0,00	0,00	0,00	0,00
6	2,00	12				0,80	-0,36	-0,03	0,79	-0,36	-0,03	0,80	-0,36	-0,03
						0,80	-0,36	-0,03	0,79	-0,36	-0,03	0,80	-0,36	-0,03
7	0,00	13				0,00	0,00	0,00	0,00	0,00	0,00	0,00	0,00	0,00

## CAPACITA'/DOMANDA DI SPOSTAMENTO - PUSH N.ro 25 - Prop.Modolo:+Fx-0.3\*Fy-Ecc5%

IDENTIFICATIVO			CAPACITA'/DOMANDA SPOSTAMENTI PER I VARI STATI LIMITE											
Filo N.ro	Quota (m)	Nodo N.ro	----- SLO -----			----- SLD -----			----- SLV -----			----- SLC -----		
			X (mm)	Y (mm)	Z (mm)	X (mm)	Y (mm)	Z (mm)	X (mm)	Y (mm)	Z (mm)	X (mm)	Y (mm)	Z (mm)
7	2,00	14	0,00	0,00	0,00	0,00	0,00	0,00	0,00	0,00	0,00	0,00	0,00	0,00
			0,79	-0,36	-0,26	0,78	-0,36	-0,25	0,79	-0,36	-0,25	0,79	-0,36	-0,26
			0,79	-0,36	-0,26	0,78	-0,36	-0,25	0,79	-0,36	-0,25	0,79	-0,36	-0,26
8	0,00	15	0,00	0,00	0,00	0,00	0,00	0,00	0,00	0,00	0,00	0,00	0,00	0,00
			0,00	0,00	0,00	0,00	0,00	0,00	0,00	0,00	0,00	0,00	0,00	0,00
8	2,00	16	0,79	-0,36	-0,29	0,79	-0,36	-0,29	0,79	-0,36	-0,29	0,79	-0,36	-0,29
			0,79	-0,36	-0,29	0,79	-0,36	-0,29	0,79	-0,36	-0,29	0,79	-0,36	-0,29
9	0,00	17	0,00	0,00	0,00	0,00	0,00	0,00	0,00	0,00	0,00	0,00	0,00	0,00
			0,00	0,00	0,00	0,00	0,00	0,00	0,00	0,00	0,00	0,00	0,00	0,00
9	2,00	18	0,80	-0,36	-0,22	0,79	-0,36	-0,22	0,80	-0,36	-0,22	0,80	-0,36	-0,22
			0,80	-0,36	-0,22	0,79	-0,36	-0,22	0,80	-0,36	-0,22	0,80	-0,36	-0,22
10	0,00	19	0,00	0,00	0,00	0,00	0,00	0,00	0,00	0,00	0,00	0,00	0,00	0,00
			0,00	0,00	0,00	0,00	0,00	0,00	0,00	0,00	0,00	0,00	0,00	0,00
10	2,00	20	0,79	-0,37	-0,11	0,78	-0,37	-0,11	0,79	-0,37	-0,11	0,79	-0,37	-0,11
			0,79	-0,37	-0,11	0,78	-0,37	-0,11	0,79	-0,37	-0,11	0,79	-0,37	-0,11
11	0,00	21	0,00	0,00	0,00	0,00	0,00	0,00	0,00	0,00	0,00	0,00	0,00	0,00
			0,00	0,00	0,00	0,00	0,00	0,00	0,00	0,00	0,00	0,00	0,00	0,00
11	2,00	22	0,79	-0,37	-0,09	0,79	-0,37	-0,09	0,79	-0,37	-0,09	0,79	-0,37	-0,09
			0,79	-0,37	-0,09	0,79	-0,37	-0,09	0,79	-0,37	-0,09	0,79	-0,37	-0,09
12	0,00	23	0,00	0,00	0,00	0,00	0,00	0,00	0,00	0,00	0,00	0,00	0,00	0,00
			0,00	0,00	0,00	0,00	0,00	0,00	0,00	0,00	0,00	0,00	0,00	0,00
12	2,00	24	0,80	-0,37	-0,07	0,79	-0,37	-0,07	0,80	-0,37	-0,07	0,80	-0,37	-0,07
			0,80	-0,37	-0,07	0,79	-0,37	-0,07	0,80	-0,37	-0,07	0,80	-0,37	-0,07
13	0,00	25	0,00	0,00	0,00	0,00	0,00	0,00	0,00	0,00	0,00	0,00	0,00	0,00
			0,00	0,00	0,00	0,00	0,00	0,00	0,00	0,00	0,00	0,00	0,00	0,00
13	2,00	26	0,79	-0,37	-0,09	0,78	-0,37	-0,09	0,79	-0,37	-0,09	0,79	-0,37	-0,09
			0,79	-0,37	-0,09	0,78	-0,37	-0,09	0,79	-0,37	-0,09	0,79	-0,37	-0,09
14	0,00	27	0,00	0,00	0,00	0,00	0,00	0,00	0,00	0,00	0,00	0,00	0,00	0,00
			0,00	0,00	0,00	0,00	0,00	0,00	0,00	0,00	0,00	0,00	0,00	0,00
14	2,00	28	0,79	-0,37	-0,25	0,79	-0,37	-0,25	0,79	-0,37	-0,25	0,79	-0,37	-0,25
			0,79	-0,37	-0,25	0,79	-0,37	-0,25	0,79	-0,37	-0,25	0,79	-0,37	-0,25
15	0,00	29	0,00	0,00	0,00	0,00	0,00	0,00	0,00	0,00	0,00	0,00	0,00	0,00
			0,00	0,00	0,00	0,00	0,00	0,00	0,00	0,00	0,00	0,00	0,00	0,00
15	2,00	30	0,80	-0,37	-0,23	0,79	-0,37	-0,23	0,80	-0,37	-0,23	0,80	-0,37	-0,23
			0,80	-0,37	-0,23	0,79	-0,37	-0,23	0,80	-0,37	-0,23	0,80	-0,37	-0,23
16	0,00	31	0,00	0,00	0,00	0,00	0,00	0,00	0,00	0,00	0,00	0,00	0,00	0,00
			0,00	0,00	0,00	0,00	0,00	0,00	0,00	0,00	0,00	0,00	0,00	0,00
16	2,00	32	0,79	-0,38	-0,08	0,78	-0,38	-0,08	0,79	-0,38	-0,08	0,79	-0,38	-0,08
			0,79	-0,38	-0,08	0,78	-0,38	-0,08	0,79	-0,38	-0,08	0,79	-0,38	-0,08
17	0,00	33	0,00	0,00	0,00	0,00	0,00	0,00	0,00	0,00	0,00	0,00	0,00	0,00
			0,00	0,00	0,00	0,00	0,00	0,00	0,00	0,00	0,00	0,00	0,00	0,00
17	2,00	34	0,79	-0,38	-0,10	0,79	-0,38	-0,10	0,79	-0,38	-0,10	0,79	-0,38	-0,10
			0,79	-0,38	-0,10	0,79	-0,38	-0,10	0,79	-0,38	-0,10	0,79	-0,38	-0,10
18	0,00	35	0,00	0,00	0,00	0,00	0,00	0,00	0,00	0,00	0,00	0,00	0,00	0,00
			0,00	0,00	0,00	0,00	0,00	0,00	0,00	0,00	0,00	0,00	0,00	0,00
18	2,00	36	0,80	-0,38	-0,07	0,79	-0,38	-0,07	0,80	-0,38	-0,07	0,80	-0,38	-0,07
			0,80	-0,38	-0,07	0,79	-0,38	-0,07	0,80	-0,38	-0,07	0,80	-0,38	-0,07
19	0,00	37	0,00	0,00	0,00	0,00	0,00	0,00	0,00	0,00	0,00	0,00	0,00	0,00
			0,00	0,00	0,00	0,00	0,00	0,00	0,00	0,00	0,00	0,00	0,00	0,00
19	2,00	38	0,79	-0,38	-0,28	0,78	-0,38	-0,28	0,79	-0,38	-0,28	0,79	-0,38	-0,28
			0,79	-0,38	-0,28	0,78	-0,38	-0,28	0,79	-0,38	-0,28	0,79	-0,38	-0,28
20	0,00	39	0,00	0,00	0,00	0,00	0,00	0,00	0,00	0,00	0,00	0,00	0,00	0,00
			0,00	0,00	0,00	0,00	0,00	0,00	0,00	0,00	0,00	0,00	0,00	0,00
20	2,00	40	0,79	-0,38	-0,30	0,79	-0,38	-0,30	0,79	-0,38	-0,30	0,79	-0,38	-0,30
			0,79	-0,38	-0,30	0,79	-0,38	-0,30	0,79	-0,38	-0,30	0,79	-0,38	-0,30
21	0,00	41	0,00	0,00	0,00	0,00	0,00	0,00	0,00	0,00	0,00	0,00	0,00	0,00
			0,00	0,00	0,00	0,00	0,00	0,00	0,00	0,00	0,00	0,00	0,00	0,00
21	2,00	42	0,80	-0,38	-0,24	0,79	-0,38	-0,23	0,80	-0,38	-0,23	0,80	-0,38	-0,24
			0,80	-0,38	-0,24	0,79	-0,38	-0,23	0,80	-0,38	-0,23	0,80	-0,38	-0,24
22	0,00	43	0,00	0,00	0,00	0,00	0,00	0,00	0,00	0,00	0,00	0,00	0,00	0,00
			0,00	0,00	0,00	0,00	0,00	0,00	0,00	0,00	0,00	0,00	0,00	0,00
22	2,00	44	0,79	-0,39	-0,26	0,78	-0,38	-0,26	0,79	-0,39	-0,26	0,79	-0,39	-0,26
			0,79	-0,39	-0,26	0,78	-0,38	-0,26	0,79	-0,39	-0,26	0,79	-0,39	-0,26
23	0,00	45	0,00	0,00	0,00	0,00	0,00	0,00	0,00	0,00	0,00	0,00	0,00	0,00
			0,00	0,00	0,00	0,00	0,00	0,00	0,00	0,00	0,00	0,00	0,00	0,00
23	2,00	46	0,79	-0,39	-0,18	0,79	-0,38	-0,18	0,79	-0,39	-0,18	0,79	-0,39	-0,18
			0,79	-0,39	-0,18	0,79	-0,38	-0,18	0,79	-0,39	-0,18	0,79	-0,39	-0,18
24	0,00	47	0,00	0,00	0,00	0,00	0,00	0,00	0,00	0,00	0,00	0,00	0,00	0,00
			0,00	0,00	0,00	0,00	0,00	0,00	0,00	0,00	0,00	0,00	0,00	0,00
24	2,00	48	0,80	-0,39	-0,28	0,79	-0,38	-0,28	0,80	-0,39	-0,28	0,80	-0,39	-0,28
			0,80	-0,39	-0,28	0,79	-0,38	-0,28	0,80	-0,39	-0,28	0,80	-0,39	-0,28
31	2,00	49	0,79	-0,37	-0,16	0,79	-0,37	-0,16	0,79	-0,37	-0,16	0,79	-0,37	-0,16





## CAPACITA'/DOMANDA DI SPOSTAMENTO - PUSH N.ro 25 - Prop.Modolo:+Fx-0.3\*Fy-Ecc5%

IDENTIFICATIVO			CAPACITA'/DOMANDA SPOSTAMENTI PER I VARI STATI LIMITE											
Filo N.ro	Quota (m)	Nodo N.ro	----- SLO -----			----- SLD -----			----- SLV -----			----- SLC -----		
			X (mm)	Y (mm)	Z (mm)	X (mm)	Y (mm)	Z (mm)	X (mm)	Y (mm)	Z (mm)	X (mm)	Y (mm)	Z (mm)
22	10,85	122				8,31	-4,26	-0,52	8,25	-4,23	-0,52	8,31	-4,26	-0,52
						7,90	-4,40	-0,66	7,85	-4,37	-0,66	7,90	-4,40	-0,66
						7,90	-4,40	-0,66	7,85	-4,37	-0,66	7,90	-4,40	-0,66
23	10,85	123				8,12	-4,40	-0,71	8,06	-4,37	-0,71	8,12	-4,40	-0,71
						8,12	-4,40	-0,71	8,06	-4,37	-0,71	8,12	-4,40	-0,71
24	10,85	124				8,31	-4,40	-0,60	8,25	-4,37	-0,60	8,31	-4,40	-0,60
						8,31	-4,40	-0,60	8,25	-4,37	-0,60	8,31	-4,40	-0,60
39	10,85	125				7,92	-3,42	-0,31	7,86	-3,40	-0,31	7,92	-3,42	-0,31
						7,92	-3,42	-0,31	7,86	-3,40	-0,31	7,92	-3,42	-0,31

## CAPACITA'/DOMANDA DI SPOSTAMENTO - PUSH N.ro 26 - Prop.Modolo:-Fx-0.3\*Fy-Ecc5%

IDENTIFICATIVO			CAPACITA'/DOMANDA SPOSTAMENTI PER I VARI STATI LIMITE											
Filo N.ro	Quota (m)	Nodo N.ro	----- SLO -----			----- SLD -----			----- SLV -----			----- SLC -----		
			X (mm)	Y (mm)	Z (mm)	X (mm)	Y (mm)	Z (mm)	X (mm)	Y (mm)	Z (mm)	X (mm)	Y (mm)	Z (mm)
1	0,00	1				0,00	0,00	0,00	0,00	0,00	0,00	0,00	0,00	0,00
						0,00	0,00	0,00	0,00	0,00	0,00	0,00	0,00	0,00
1	2,00	2				-0,88	-0,16	-0,20	-0,88	-0,16	-0,20	-0,88	-0,16	-0,20
						-0,88	-0,16	-0,20	-0,88	-0,16	-0,20	-0,88	-0,16	-0,20
2	0,00	3				0,00	0,00	0,00	0,00	0,00	0,00	0,00	0,00	0,00
						0,00	0,00	0,00	0,00	0,00	0,00	0,00	0,00	0,00
2	2,00	4				-0,79	-0,16	-0,21	-0,79	-0,16	-0,21	-0,79	-0,16	-0,21
						-0,79	-0,16	-0,21	-0,79	-0,16	-0,21	-0,79	-0,16	-0,21
3	0,00	5				0,00	0,00	0,00	0,00	0,00	0,00	0,00	0,00	0,00
						0,00	0,00	0,00	0,00	0,00	0,00	0,00	0,00	0,00
3	2,00	6				-0,71	-0,16	-0,26	-0,71	-0,16	-0,26	-0,71	-0,16	-0,26
						-0,71	-0,16	-0,26	-0,71	-0,16	-0,26	-0,71	-0,16	-0,26
4	0,00	7				0,00	0,00	0,00	0,00	0,00	0,00	0,00	0,00	0,00
						0,00	0,00	0,00	0,00	0,00	0,00	0,00	0,00	0,00
4	2,00	8				-0,88	-0,22	-0,26	-0,88	-0,22	-0,26	-0,88	-0,22	-0,26
						-0,88	-0,22	-0,26	-0,88	-0,22	-0,26	-0,88	-0,22	-0,26
5	0,00	9				0,00	0,00	0,00	0,00	0,00	0,00	0,00	0,00	0,00
						0,00	0,00	0,00	0,00	0,00	0,00	0,00	0,00	0,00
5	2,00	10				-0,79	-0,22	-0,29	-0,79	-0,22	-0,29	-0,79	-0,22	-0,29
						-0,79	-0,22	-0,29	-0,79	-0,22	-0,29	-0,79	-0,22	-0,29
6	0,00	11				0,00	0,00	0,00	0,00	0,00	0,00	0,00	0,00	0,00
						0,00	0,00	0,00	0,00	0,00	0,00	0,00	0,00	0,00
6	2,00	12				-0,71	-0,22	-0,19	-0,71	-0,22	-0,19	-0,71	-0,22	-0,19
						-0,71	-0,22	-0,19	-0,71	-0,22	-0,19	-0,71	-0,22	-0,19
7	0,00	13				0,00	0,00	0,00	0,00	0,00	0,00	0,00	0,00	0,00
						0,00	0,00	0,00	0,00	0,00	0,00	0,00	0,00	0,00
7	2,00	14				-0,88	-0,28	-0,05	-0,88	-0,28	-0,05	-0,88	-0,28	-0,05
						-0,88	-0,28	-0,05	-0,88	-0,28	-0,05	-0,88	-0,28	-0,05
8	0,00	15				0,00	0,00	0,00	0,00	0,00	0,00	0,00	0,00	0,00
						0,00	0,00	0,00	0,00	0,00	0,00	0,00	0,00	0,00
8	2,00	16				-0,79	-0,28	-0,10	-0,79	-0,28	-0,10	-0,79	-0,28	-0,10
						-0,79	-0,28	-0,10	-0,79	-0,28	-0,10	-0,79	-0,28	-0,10
9	0,00	17				0,00	0,00	0,00	0,00	0,00	0,00	0,00	0,00	0,00
						0,00	0,00	0,00	0,00	0,00	0,00	0,00	0,00	0,00
9	2,00	18				-0,71	-0,28	-0,07	-0,71	-0,28	-0,07	-0,71	-0,28	-0,07
						-0,71	-0,28	-0,07	-0,71	-0,28	-0,07	-0,71	-0,28	-0,07
10	0,00	19				0,00	0,00	0,00	0,00	0,00	0,00	0,00	0,00	0,00
						0,00	0,00	0,00	0,00	0,00	0,00	0,00	0,00	0,00
10	2,00	20				-0,88	-0,34	-0,09	-0,88	-0,34	-0,09	-0,88	-0,34	-0,09
						-0,88	-0,34	-0,09	-0,88	-0,34	-0,09	-0,88	-0,34	-0,09
11	0,00	21				0,00	0,00	0,00	0,00	0,00	0,00	0,00	0,00	0,00
						0,00	0,00	0,00	0,00	0,00	0,00	0,00	0,00	0,00
11	2,00	22				-0,79	-0,34	-0,25	-0,79	-0,34	-0,25	-0,79	-0,34	-0,25
						-0,79	-0,34	-0,25	-0,79	-0,34	-0,25	-0,79	-0,34	-0,25
12	0,00	23				0,00	0,00	0,00	0,00	0,00	0,00	0,00	0,00	0,00
						0,00	0,00	0,00	0,00	0,00	0,00	0,00	0,00	0,00
12	2,00	24				-0,71	-0,34	-0,22	-0,71	-0,34	-0,22	-0,71	-0,34	-0,22
						-0,71	-0,34	-0,22	-0,71	-0,34	-0,22	-0,71	-0,34	-0,22
13	0,00	25				0,00	0,00	0,00	0,00	0,00	0,00	0,00	0,00	0,00
						0,00	0,00	0,00	0,00	0,00	0,00	0,00	0,00	0,00
13	2,00	26				-0,88	-0,40	-0,11	-0,88	-0,40	-0,11	-0,88	-0,40	-0,11
						-0,88	-0,40	-0,11	-0,88	-0,40	-0,11	-0,88	-0,40	-0,11
14	0,00	27				0,00	0,00	0,00	0,00	0,00	0,00	0,00	0,00	0,00
						0,00	0,00	0,00	0,00	0,00	0,00	0,00	0,00	0,00
14	2,00	28				-0,79	-0,40	-0,09	-0,79	-0,40	-0,09	-0,79	-0,40	-0,09
						-0,79	-0,40	-0,09	-0,79	-0,40	-0,09	-0,79	-0,40	-0,09
15	0,00	29				0,00	0,00	0,00	0,00	0,00	0,00	0,00	0,00	0,00



## CAPACITA'/DOMANDA DI SPOSTAMENTO - PUSH N.ro 26 - Prop.Modolo:-Fx-0.3\*Fy-Ecc5%

IDENTIFICATIVO			CAPACITA'/DOMANDA SPOSTAMENTI PER I VARI STATI LIMITE											
Filo N.ro	Quota (m)	Nodo N.ro	----- SLO -----			----- SLD -----			----- SLV -----			----- SLC -----		
			X (mm)	Y (mm)	Z (mm)	X (mm)	Y (mm)	Z (mm)	X (mm)	Y (mm)	Z (mm)	X (mm)	Y (mm)	Z (mm)
16	4,95	66				-3,46	-1,89	-0,23	-3,46	-1,89	-0,23	-3,46	-1,89	-0,23
						-4,18	-2,14	-0,52	-4,18	-2,14	-0,52	-4,18	-2,14	-0,52
						-4,18	-2,14	-0,52	-4,18	-2,14	-0,52	-4,18	-2,14	-0,52
17	4,95	67				-3,80	-2,14	-0,56	-3,80	-2,14	-0,56	-3,80	-2,14	-0,56
						-3,80	-2,14	-0,56	-3,80	-2,14	-0,56	-3,80	-2,14	-0,56
18	4,95	68				-3,46	-2,14	-0,43	-3,46	-2,14	-0,43	-3,46	-2,14	-0,43
						-3,46	-2,14	-0,43	-3,46	-2,14	-0,43	-3,46	-2,14	-0,43
19	4,95	69				-4,18	-2,39	-0,25	-4,18	-2,39	-0,25	-4,18	-2,39	-0,25
						-4,18	-2,39	-0,25	-4,18	-2,39	-0,25	-4,18	-2,39	-0,25
20	4,95	70				-3,80	-2,39	-0,29	-3,80	-2,39	-0,29	-3,80	-2,39	-0,29
						-3,80	-2,39	-0,29	-3,80	-2,39	-0,29	-3,80	-2,39	-0,29
21	4,95	71				-3,46	-2,39	-0,21	-3,46	-2,39	-0,21	-3,46	-2,39	-0,21
						-3,46	-2,39	-0,21	-3,46	-2,39	-0,21	-3,46	-2,39	-0,21
22	4,95	72				-4,18	-2,65	-0,30	-4,18	-2,65	-0,30	-4,18	-2,65	-0,30
						-4,18	-2,65	-0,30	-4,18	-2,65	-0,30	-4,18	-2,65	-0,30
23	4,95	73				-3,80	-2,65	-0,17	-3,80	-2,65	-0,17	-3,80	-2,65	-0,17
						-3,80	-2,65	-0,17	-3,80	-2,65	-0,17	-3,80	-2,65	-0,17
24	4,95	74				-3,46	-2,65	0,06	-3,46	-2,65	0,06	-3,46	-2,65	0,06
						-3,46	-2,65	0,06	-3,46	-2,65	0,06	-3,46	-2,65	0,06
39	4,95	75				-4,15	-0,90	-0,25	-4,15	-0,90	-0,25	-4,15	-0,90	-0,25
						-4,15	-0,90	-0,25	-4,15	-0,90	-0,25	-4,15	-0,90	-0,25
1	7,90	76				-7,02	-1,67	-0,54	-7,02	-1,67	-0,54	-7,02	-1,67	-0,54
						-7,02	-1,67	-0,54	-7,02	-1,67	-0,54	-7,02	-1,67	-0,54
2	7,90	77				-6,41	-1,67	-0,64	-6,40	-1,67	-0,64	-6,41	-1,67	-0,64
						-6,41	-1,67	-0,64	-6,40	-1,67	-0,64	-6,41	-1,67	-0,64
3	7,90	78				-5,85	-1,67	-0,54	-5,85	-1,67	-0,54	-5,85	-1,67	-0,54
						-5,85	-1,67	-0,54	-5,85	-1,67	-0,54	-5,85	-1,67	-0,54
4	7,90	79				-7,02	-2,08	-0,55	-7,02	-2,08	-0,55	-7,02	-2,08	-0,55
						-7,02	-2,08	-0,55	-7,02	-2,08	-0,55	-7,02	-2,08	-0,55
5	7,90	80				-6,41	-2,08	-0,66	-6,40	-2,08	-0,66	-6,41	-2,08	-0,66
						-6,41	-2,08	-0,66	-6,40	-2,08	-0,66	-6,41	-2,08	-0,66
6	7,90	81				-5,85	-2,08	-0,41	-5,85	-2,08	-0,41	-5,85	-2,08	-0,41
						-5,85	-2,08	-0,41	-5,85	-2,08	-0,41	-5,85	-2,08	-0,41
7	7,90	82				-7,02	-2,49	-0,37	-7,02	-2,49	-0,37	-7,02	-2,49	-0,37
						-7,02	-2,49	-0,37	-7,02	-2,49	-0,37	-7,02	-2,49	-0,37
8	7,90	83				-6,41	-2,49	-0,51	-6,40	-2,49	-0,51	-6,41	-2,49	-0,51
						-6,41	-2,49	-0,51	-6,40	-2,49	-0,51	-6,41	-2,49	-0,51
9	7,90	84				-5,85	-2,49	-0,36	-5,85	-2,49	-0,36	-5,85	-2,49	-0,36
						-5,85	-2,49	-0,36	-5,85	-2,49	-0,36	-5,85	-2,49	-0,36
10	7,90	85				-7,02	-2,91	-0,31	-7,02	-2,90	-0,31	-7,02	-2,91	-0,31
						-7,02	-2,91	-0,31	-7,02	-2,90	-0,31	-7,02	-2,91	-0,31
11	7,90	86				-6,41	-2,91	-0,59	-6,40	-2,90	-0,59	-6,41	-2,91	-0,59
						-6,41	-2,91	-0,59	-6,40	-2,90	-0,59	-6,41	-2,91	-0,59
12	7,90	87				-5,85	-2,91	-0,49	-5,85	-2,90	-0,49	-5,85	-2,91	-0,49
						-5,85	-2,91	-0,49	-5,85	-2,90	-0,49	-5,85	-2,91	-0,49
13	7,90	88				-7,02	-3,32	-0,37	-7,02	-3,32	-0,37	-7,02	-3,32	-0,37
						-7,02	-3,32	-0,37	-7,02	-3,32	-0,37	-7,02	-3,32	-0,37
14	7,90	89				-6,41	-3,32	-0,44	-6,40	-3,32	-0,44	-6,41	-3,32	-0,44
						-6,41	-3,32	-0,44	-6,40	-3,32	-0,44	-6,41	-3,32	-0,44
15	7,90	90				-5,85	-3,32	-0,39	-5,85	-3,32	-0,39	-5,85	-3,32	-0,39
						-5,85	-3,32	-0,39	-5,85	-3,32	-0,39	-5,85	-3,32	-0,39
16	7,90	91				-7,02	-3,73	-0,61	-7,02	-3,73	-0,61	-7,02	-3,73	-0,61
						-7,02	-3,73	-0,61	-7,02	-3,73	-0,61	-7,02	-3,73	-0,61
17	7,90	92				-6,41	-3,73	-0,66	-6,40	-3,73	-0,66	-6,41	-3,73	-0,66
						-6,41	-3,73	-0,66	-6,40	-3,73	-0,66	-6,41	-3,73	-0,66
18	7,90	93				-5,85	-3,73	-0,49	-5,85	-3,73	-0,49	-5,85	-3,73	-0,49
						-5,85	-3,73	-0,49	-5,85	-3,73	-0,49	-5,85	-3,73	-0,49
19	7,90	94				-7,02	-4,14	-0,43	-7,02	-4,14	-0,43	-7,02	-4,14	-0,43
						-7,02	-4,14	-0,43	-7,02	-4,14	-0,43	-7,02	-4,14	-0,43
20	7,90	95				-6,41	-4,14	-0,48	-6,40	-4,14	-0,48	-6,41	-4,14	-0,48
						-6,41	-4,14	-0,48	-6,40	-4,14	-0,48	-6,41	-4,14	-0,48
21	7,90	96				-5,85	-4,14	-0,36	-5,85	-4,14	-0,36	-5,85	-4,14	-0,36
						-5,85	-4,14	-0,36	-5,85	-4,14	-0,36	-5,85	-4,14	-0,36
22	7,90	97				-7,02	-4,55	-0,34	-7,02	-4,55	-0,34	-7,02	-4,55	-0,34
						-7,02	-4,55	-0,34	-7,02	-4,55	-0,34	-7,02	-4,55	-0,34
23	7,90	98				-6,41	-4,55	-0,29	-6,40	-4,55	-0,29	-6,41	-4,55	-0,29
						-6,41	-4,55	-0,29	-6,40	-4,55	-0,29	-6,41	-4,55	-0,29
24	7,90	99				-5,85	-4,55	-0,03	-5,85	-4,55	-0,03	-5,85	-4,55	-0,03
						-5,85	-4,55	-0,03	-5,85	-4,55	-0,03	-5,85	-4,55	-0,03
39	7,90	100				-6,98	-1,71	-0,43	-6,98	-1,71	-0,43	-6,98	-1,71	-0,43
						-6,98	-1,71	-0,43	-6,98	-1,71	-0,43	-6,98	-1,71	-0,43
1	10,85	101				-8,69	-2,15	-0,57	-8,68	-2,15	-0,57	-8,69	-2,15	-0,57





## CAPACITA'/DOMANDA DI SPOSTAMENTO - PUSH N.ro 27 - Prop.Modolo:+Fy-0.3\*Fx-Ecc5%

IDENTIFICATIVO			CAPACITA'/DOMANDA SPOSTAMENTI PER I VARI STATI LIMITE											
Filo N.ro	Quota (m)	Nodo N.ro	----- SLO -----			----- SLD -----			----- SLV -----			----- SLC -----		
			X (mm)	Y (mm)	Z (mm)	X (mm)	Y (mm)	Z (mm)	X (mm)	Y (mm)	Z (mm)	X (mm)	Y (mm)	Z (mm)
23	2,00	46			0,00	0,00	0,00	0,00	0,00	0,00	0,00	0,00	0,00	0,00
					-0,17	0,92	-0,27	-0,17	0,92	-0,27	-0,17	0,92	-0,27	-0,27
					-0,17	0,92	-0,27	-0,17	0,92	-0,27	-0,17	0,92	-0,27	-0,27
24	0,00	47			0,00	0,00	0,00	0,00	0,00	0,00	0,00	0,00	0,00	0,00
					0,00	0,00	0,00	0,00	0,00	0,00	0,00	0,00	0,00	0,00
24	2,00	48			-0,11	0,92	-0,16	-0,11	0,92	-0,16	-0,11	0,92	-0,16	-0,16
					-0,11	0,92	-0,16	-0,11	0,92	-0,16	-0,11	0,92	-0,16	-0,16
31	2,00	49			-0,17	1,09	-0,24	-0,17	1,09	-0,24	-0,17	1,09	-0,24	-0,24
					-0,17	1,09	-0,24	-0,17	1,09	-0,24	-0,17	1,09	-0,24	-0,24
39	2,00	50			-0,24	1,26	-0,17	-0,24	1,26	-0,17	-0,24	1,26	-0,17	-0,17
					-0,24	1,26	-0,17	-0,24	1,26	-0,17	-0,24	1,26	-0,17	-0,17
1	4,95	51			-1,17	6,08	0,12	-1,16	6,05	0,12	-1,17	6,08	0,12	0,12
					-1,17	6,08	0,12	-1,16	6,05	0,12	-1,17	6,08	0,12	0,12
2	4,95	52			-0,81	6,08	-0,62	-0,81	6,05	-0,62	-0,81	6,08	-0,62	-0,62
					-0,81	6,08	-0,62	-0,81	6,05	-0,62	-0,81	6,08	-0,62	-0,62
3	4,95	53			-0,49	6,08	-0,42	-0,49	6,05	-0,42	-0,49	6,08	-0,42	-0,42
					-0,49	6,08	-0,42	-0,49	6,05	-0,42	-0,49	6,08	-0,42	-0,42
4	4,95	54			-1,17	5,84	-0,30	-1,16	5,81	-0,30	-1,17	5,84	-0,30	-0,30
					-1,17	5,84	-0,30	-1,16	5,81	-0,30	-1,17	5,84	-0,30	-0,30
5	4,95	55			-0,81	5,84	-0,36	-0,81	5,81	-0,36	-0,81	5,84	-0,36	-0,36
					-0,81	5,84	-0,36	-0,81	5,81	-0,36	-0,81	5,84	-0,36	-0,36
6	4,95	56			-0,49	5,84	-0,40	-0,49	5,81	-0,40	-0,49	5,84	-0,40	-0,40
					-0,49	5,84	-0,40	-0,49	5,81	-0,40	-0,49	5,84	-0,40	-0,40
7	4,95	57			-1,17	5,60	-0,24	-1,16	5,57	-0,24	-1,17	5,60	-0,24	-0,24
					-1,17	5,60	-0,24	-1,16	5,57	-0,24	-1,17	5,60	-0,24	-0,24
8	4,95	58			-0,81	5,60	-0,38	-0,81	5,57	-0,38	-0,81	5,60	-0,38	-0,38
					-0,81	5,60	-0,38	-0,81	5,57	-0,38	-0,81	5,60	-0,38	-0,38
9	4,95	59			-0,49	5,60	-0,41	-0,49	5,57	-0,41	-0,49	5,60	-0,41	-0,41
					-0,49	5,60	-0,41	-0,49	5,57	-0,41	-0,49	5,60	-0,41	-0,41
10	4,95	60			-1,17	5,36	-0,57	-1,16	5,34	-0,57	-1,17	5,36	-0,57	-0,57
					-1,17	5,36	-0,57	-1,16	5,34	-0,57	-1,17	5,36	-0,57	-0,57
11	4,95	61			-0,81	5,36	-0,59	-0,81	5,34	-0,59	-0,81	5,36	-0,59	-0,59
					-0,81	5,36	-0,59	-0,81	5,34	-0,59	-0,81	5,36	-0,59	-0,59
12	4,95	62			-0,49	5,36	-0,37	-0,49	5,34	-0,37	-0,49	5,36	-0,37	-0,37
					-0,49	5,36	-0,37	-0,49	5,34	-0,37	-0,49	5,36	-0,37	-0,37
13	4,95	63			-1,17	5,12	-0,59	-1,16	5,10	-0,58	-1,17	5,12	-0,59	-0,59
					-1,17	5,12	-0,59	-1,16	5,10	-0,58	-1,17	5,12	-0,59	-0,59
14	4,95	64			-0,81	5,12	-0,55	-0,81	5,10	-0,55	-0,81	5,12	-0,55	-0,55
					-0,81	5,12	-0,55	-0,81	5,10	-0,55	-0,81	5,12	-0,55	-0,55
15	4,95	65			-0,49	5,12	-0,35	-0,49	5,10	-0,35	-0,49	5,12	-0,35	-0,35
					-0,49	5,12	-0,35	-0,49	5,10	-0,35	-0,49	5,12	-0,35	-0,35
16	4,95	66			-1,17	4,88	-0,35	-1,16	4,86	-0,35	-1,17	4,88	-0,35	-0,35
					-1,17	4,88	-0,35	-1,16	4,86	-0,35	-1,17	4,88	-0,35	-0,35
17	4,95	67			-0,81	4,88	-0,43	-0,81	4,86	-0,43	-0,81	4,88	-0,43	-0,43
					-0,81	4,88	-0,43	-0,81	4,86	-0,43	-0,81	4,88	-0,43	-0,43
18	4,95	68			-0,49	4,88	-0,46	-0,49	4,86	-0,46	-0,49	4,88	-0,46	-0,46
					-0,49	4,88	-0,46	-0,49	4,86	-0,46	-0,49	4,88	-0,46	-0,46
19	4,95	69			-1,17	4,64	-0,30	-1,16	4,62	-0,30	-1,17	4,64	-0,30	-0,30
					-1,17	4,64	-0,30	-1,16	4,62	-0,30	-1,17	4,64	-0,30	-0,30
20	4,95	70			-0,81	4,64	-0,31	-0,81	4,62	-0,31	-0,81	4,64	-0,31	-0,31
					-0,81	4,64	-0,31	-0,81	4,62	-0,31	-0,81	4,64	-0,31	-0,31
21	4,95	71			-0,49	4,64	-0,44	-0,49	4,62	-0,44	-0,49	4,64	-0,44	-0,44
					-0,49	4,64	-0,44	-0,49	4,62	-0,44	-0,49	4,64	-0,44	-0,44
22	4,95	72			-1,17	4,40	0,06	-1,16	4,39	0,06	-1,17	4,40	0,06	0,06
					-1,17	4,40	0,06	-1,16	4,39	0,06	-1,17	4,40	0,06	0,06
23	4,95	73			-0,81	4,40	-0,49	-0,81	4,39	-0,49	-0,81	4,40	-0,49	-0,49
					-0,81	4,40	-0,49	-0,81	4,39	-0,49	-0,81	4,40	-0,49	-0,49
24	4,95	74			-0,49	4,40	-0,35	-0,49	4,39	-0,35	-0,49	4,40	-0,35	-0,35
					-0,49	4,40	-0,35	-0,49	4,39	-0,35	-0,49	4,40	-0,35	-0,35
39	4,95	75			-1,15	6,05	-0,35	-1,14	6,03	-0,35	-1,15	6,05	-0,35	-0,35
					-1,15	6,05	-0,35	-1,14	6,03	-0,35	-1,15	6,05	-0,35	-0,35
1	7,90	76			-1,98	10,88	0,02	-1,97	10,84	0,02	-1,98	10,88	0,02	0,02
					-1,98	10,88	0,02	-1,97	10,84	0,02	-1,98	10,88	0,02	0,02
2	7,90	77			-1,36	10,88	-0,70	-1,36	10,84	-0,69	-1,36	10,88	-0,70	-0,70
					-1,36	10,88	-0,70	-1,36	10,84	-0,69	-1,36	10,88	-0,70	-0,70
3	7,90	78			-0,81	10,88	-0,54	-0,81	10,84	-0,54	-0,81	10,88	-0,54	-0,54
					-0,81	10,88	-0,54	-0,81	10,84	-0,54	-0,81	10,88	-0,54	-0,54
4	7,90	79			-1,98	10,47	-0,39	-1,97	10,43	-0,39	-1,98	10,47	-0,39	-0,39
					-1,98	10,47	-0,39	-1,97	10,43	-0,39	-1,98	10,47	-0,39	-0,39
5	7,90	80			-1,36	10,47	-0,48	-1,36	10,43	-0,48	-1,36	10,47	-0,48	-0,48
					-1,36	10,47	-0,48	-1,36	10,43	-0,48	-1,36	10,47	-0,48	-0,48
6	7,90	81			-0,81	10,47	-0,53	-0,81	10,43	-0,53	-0,81	10,47	-0,53	-0,53

## CAPACITA'/DOMANDA DI SPOSTAMENTO - PUSH N.ro 27 - Prop.Modolo:+Fy-0.3\*Fx-Ecc5%

IDENTIFICATIVO			CAPACITA'/DOMANDA SPOSTAMENTI PER I VARI STATI LIMITE											
Filo N.ro	Quota (m)	Nodo N.ro	----- SLO -----			----- SLD -----			----- SLV -----			----- SLC -----		
			X (mm)	Y (mm)	Z (mm)	X (mm)	Y (mm)	Z (mm)	X (mm)	Y (mm)	Z (mm)	X (mm)	Y (mm)	Z (mm)
7	7,90	82				-0,81	10,47	-0,53	-0,81	10,43	-0,53	-0,81	10,47	-0,53
						-1,98	10,06	-0,35	-1,97	10,02	-0,35	-1,98	10,06	-0,35
						-1,98	10,06	-0,35	-1,97	10,02	-0,35	-1,98	10,06	-0,35
8	7,90	83				-1,36	10,06	-0,55	-1,36	10,02	-0,55	-1,36	10,06	-0,55
						-1,36	10,06	-0,55	-1,36	10,02	-0,55	-1,36	10,06	-0,55
9	7,90	84				-0,81	10,06	-0,55	-0,81	10,02	-0,55	-0,81	10,06	-0,55
						-0,81	10,06	-0,55	-0,81	10,02	-0,55	-0,81	10,06	-0,55
10	7,90	85				-1,98	9,65	-0,54	-1,97	9,61	-0,54	-1,98	9,65	-0,54
						-1,98	9,65	-0,54	-1,97	9,61	-0,54	-1,98	9,65	-0,54
11	7,90	86				-1,36	9,65	-0,76	-1,36	9,61	-0,76	-1,36	9,65	-0,76
						-1,36	9,65	-0,76	-1,36	9,61	-0,76	-1,36	9,65	-0,76
12	7,90	87				-0,81	9,65	-0,48	-0,81	9,61	-0,48	-0,81	9,65	-0,48
						-0,81	9,65	-0,48	-0,81	9,61	-0,48	-0,81	9,65	-0,48
13	7,90	88				-1,98	9,24	-0,56	-1,97	9,20	-0,56	-1,98	9,24	-0,56
						-1,98	9,24	-0,56	-1,97	9,20	-0,56	-1,98	9,24	-0,56
14	7,90	89				-1,36	9,24	-0,75	-1,36	9,20	-0,75	-1,36	9,24	-0,75
						-1,36	9,24	-0,75	-1,36	9,20	-0,75	-1,36	9,24	-0,75
15	7,90	90				-0,81	9,24	-0,47	-0,81	9,20	-0,47	-0,81	9,24	-0,47
						-0,81	9,24	-0,47	-0,81	9,20	-0,47	-0,81	9,24	-0,47
16	7,90	91				-1,98	8,83	-0,45	-1,97	8,79	-0,45	-1,98	8,83	-0,45
						-1,98	8,83	-0,45	-1,97	8,79	-0,45	-1,98	8,83	-0,45
17	7,90	92				-1,36	8,83	-0,58	-1,36	8,79	-0,58	-1,36	8,83	-0,58
						-1,36	8,83	-0,58	-1,36	8,79	-0,58	-1,36	8,83	-0,58
18	7,90	93				-0,81	8,83	-0,60	-0,81	8,79	-0,60	-0,81	8,83	-0,60
						-0,81	8,83	-0,60	-0,81	8,79	-0,60	-0,81	8,83	-0,60
19	7,90	94				-1,98	8,42	-0,42	-1,97	8,39	-0,42	-1,98	8,42	-0,42
						-1,98	8,42	-0,42	-1,97	8,39	-0,42	-1,98	8,42	-0,42
20	7,90	95				-1,36	8,42	-0,44	-1,36	8,39	-0,44	-1,36	8,42	-0,44
						-1,36	8,42	-0,44	-1,36	8,39	-0,44	-1,36	8,42	-0,44
21	7,90	96				-0,81	8,42	-0,60	-0,81	8,39	-0,60	-0,81	8,42	-0,60
						-0,81	8,42	-0,60	-0,81	8,39	-0,60	-0,81	8,42	-0,60
22	7,90	97				-1,98	8,01	-0,02	-1,97	7,98	-0,02	-1,98	8,01	-0,02
						-1,98	8,01	-0,02	-1,97	7,98	-0,02	-1,98	8,01	-0,02
23	7,90	98				-1,36	8,01	-0,59	-1,36	7,98	-0,59	-1,36	8,01	-0,59
						-1,36	8,01	-0,59	-1,36	7,98	-0,59	-1,36	8,01	-0,59
24	7,90	99				-0,81	8,01	-0,48	-0,81	7,98	-0,48	-0,81	8,01	-0,48
						-0,81	8,01	-0,48	-0,81	7,98	-0,48	-0,81	8,01	-0,48
39	7,90	100				-1,94	10,85	-0,36	-1,93	10,80	-0,36	-1,94	10,85	-0,36
						-1,94	10,85	-0,36	-1,93	10,80	-0,36	-1,94	10,85	-0,36
1	10,85	101				-2,48	14,13	-0,06	-2,47	14,07	-0,06	-2,48	14,13	-0,06
						-2,48	14,13	-0,06	-2,47	14,07	-0,06	-2,48	14,13	-0,06
2	10,85	102				-1,71	14,13	-0,70	-1,71	14,07	-0,70	-1,71	14,13	-0,70
						-1,71	14,13	-0,70	-1,71	14,07	-0,70	-1,71	14,13	-0,70
3	10,85	103				-1,03	14,13	-0,59	-1,02	14,07	-0,59	-1,03	14,13	-0,59
						-1,03	14,13	-0,59	-1,02	14,07	-0,59	-1,03	14,13	-0,59
4	10,85	104				-2,48	13,62	-0,43	-2,47	13,56	-0,43	-2,48	13,62	-0,43
						-2,48	13,62	-0,43	-2,47	13,56	-0,43	-2,48	13,62	-0,43
5	10,85	105				-1,71	13,62	-0,55	-1,71	13,56	-0,55	-1,71	13,62	-0,55
						-1,71	13,62	-0,55	-1,71	13,56	-0,55	-1,71	13,62	-0,55
6	10,85	106				-1,03	13,62	-0,59	-1,02	13,56	-0,59	-1,03	13,62	-0,59
						-1,03	13,62	-0,59	-1,02	13,56	-0,59	-1,03	13,62	-0,59
7	10,85	107				-2,48	13,11	-0,40	-2,47	13,05	-0,40	-2,48	13,11	-0,40
						-2,48	13,11	-0,40	-2,47	13,05	-0,40	-2,48	13,11	-0,40
8	10,85	108				-1,71	13,11	-0,65	-1,71	13,05	-0,65	-1,71	13,11	-0,65
						-1,71	13,11	-0,65	-1,71	13,05	-0,65	-1,71	13,11	-0,65
9	10,85	109				-1,03	13,11	-0,61	-1,02	13,05	-0,61	-1,03	13,11	-0,61
						-1,03	13,11	-0,61	-1,02	13,05	-0,61	-1,03	13,11	-0,61
10	10,85	110				-2,48	12,60	-0,49	-2,47	12,55	-0,49	-2,48	12,60	-0,49
						-2,48	12,60	-0,49	-2,47	12,55	-0,49	-2,48	12,60	-0,49
11	10,85	111				-1,71	12,60	-0,84	-1,71	12,55	-0,84	-1,71	12,60	-0,84
						-1,71	12,60	-0,84	-1,71	12,55	-0,84	-1,71	12,60	-0,84
12	10,85	112				-1,03	12,60	-0,53	-1,02	12,55	-0,53	-1,03	12,60	-0,53
						-1,03	12,60	-0,53	-1,02	12,55	-0,53	-1,03	12,60	-0,53
13	10,85	113				-2,48	12,09	-0,51	-2,47	12,04	-0,51	-2,48	12,09	-0,51
						-2,48	12,09	-0,51	-2,47	12,04	-0,51	-2,48	12,09	-0,51
14	10,85	114				-1,71	12,09	-0,84	-1,71	12,04	-0,84	-1,71	12,09	-0,84
						-1,71	12,09	-0,84	-1,71	12,04	-0,84	-1,71	12,09	-0,84
15	10,85	115				-1,03	12,09	-0,53	-1,02	12,04	-0,53	-1,03	12,09	-0,53
						-1,03	12,09	-0,53	-1,02	12,04	-0,53	-1,03	12,09	-0,53
16	10,85	116				-2,48	11,57	-0,48	-2,47	11,53	-0,48	-2,48	11,57	-0,48
						-2,48	11,57	-0,48	-2,47	11,53	-0,48	-2,48	11,57	-0,48
17	10,85	117				-1,71	11,57	-0,67	-1,71	11,53	-0,67	-1,71	11,57	-0,67

## CAPACITA'/DOMANDA DI SPOSTAMENTO - PUSH N.ro 27 - Prop.Modolo:+Fy-0.3\*Fx-Ecc5%

IDENTIFICATIVO			CAPACITA'/DOMANDA SPOSTAMENTI PER I VARI STATI LIMITE											
Filo N.ro	Quota (m)	Nodo N.ro	----- SLO -----			----- SLD -----			----- SLV -----			----- SLC -----		
			X (mm)	Y (mm)	Z (mm)	X (mm)	Y (mm)	Z (mm)	X (mm)	Y (mm)	Z (mm)	X (mm)	Y (mm)	Z (mm)
18	10,85	118				-1,71	11,57	-0,67	-1,71	11,53	-0,67	-1,71	11,57	-0,67
						-1,03	11,57	-0,65	-1,02	11,53	-0,65	-1,03	11,57	-0,65
						-1,03	11,57	-0,65	-1,02	11,53	-0,65	-1,03	11,57	-0,65
19	10,85	119				-2,48	11,06	-0,48	-2,47	11,02	-0,48	-2,48	11,06	-0,48
						-2,48	11,06	-0,48	-2,47	11,02	-0,48	-2,48	11,06	-0,48
20	10,85	120				-1,71	11,06	-0,53	-1,71	11,02	-0,53	-1,71	11,06	-0,53
						-1,71	11,06	-0,53	-1,71	11,02	-0,53	-1,71	11,06	-0,53
21	10,85	121				-1,03	11,06	-0,65	-1,02	11,02	-0,65	-1,03	11,06	-0,65
						-1,03	11,06	-0,65	-1,02	11,02	-0,65	-1,03	11,06	-0,65
22	10,85	122				-2,48	10,55	-0,08	-2,47	10,51	-0,08	-2,48	10,55	-0,08
						-2,48	10,55	-0,08	-2,47	10,51	-0,08	-2,48	10,55	-0,08
23	10,85	123				-1,71	10,55	-0,60	-1,71	10,51	-0,60	-1,71	10,55	-0,60
						-1,71	10,55	-0,60	-1,71	10,51	-0,60	-1,71	10,55	-0,60
24	10,85	124				-1,03	10,55	-0,52	-1,02	10,51	-0,52	-1,03	10,55	-0,52
						-1,03	10,55	-0,52	-1,02	10,51	-0,52	-1,03	10,55	-0,52
39	10,85	125				-2,43	14,08	-0,30	-2,42	14,02	-0,30	-2,43	14,08	-0,30
						-2,43	14,08	-0,30	-2,42	14,02	-0,30	-2,43	14,08	-0,30

## CAPACITA'/DOMANDA DI SPOSTAMENTO - PUSH N.ro 28 - Prop.Modolo:-Fy-0.3\*Fx-Ecc5%

IDENTIFICATIVO			CAPACITA'/DOMANDA SPOSTAMENTI PER I VARI STATI LIMITE											
Filo N.ro	Quota (m)	Nodo N.ro	----- SLO -----			----- SLD -----			----- SLV -----			----- SLC -----		
			X (mm)	Y (mm)	Z (mm)	X (mm)	Y (mm)	Z (mm)	X (mm)	Y (mm)	Z (mm)	X (mm)	Y (mm)	Z (mm)
1	0,00	1				0,00	0,00	0,00	0,00	0,00	0,00	0,00	0,00	0,00
						0,00	0,00	0,00	0,00	0,00	0,00	0,00	0,00	0,00
1	2,00	2				-0,33	-0,86	-0,31	-0,33	-0,86	-0,31	-0,33	-0,86	-0,31
						-0,33	-0,86	-0,31	-0,33	-0,86	-0,31	-0,33	-0,86	-0,31
2	0,00	3				0,00	0,00	0,00	0,00	0,00	0,00	0,00	0,00	0,00
						0,00	0,00	0,00	0,00	0,00	0,00	0,00	0,00	0,00
2	2,00	4				-0,20	-0,86	-0,09	-0,20	-0,86	-0,09	-0,20	-0,86	-0,09
						-0,20	-0,86	-0,09	-0,20	-0,86	-0,09	-0,20	-0,86	-0,09
3	0,00	5				0,00	0,00	0,00	0,00	0,00	0,00	0,00	0,00	0,00
						0,00	0,00	0,00	0,00	0,00	0,00	0,00	0,00	0,00
3	2,00	6				-0,09	-0,86	-0,07	-0,09	-0,86	-0,07	-0,09	-0,86	-0,07
						-0,09	-0,86	-0,07	-0,09	-0,86	-0,07	-0,09	-0,86	-0,07
4	0,00	7				0,00	0,00	0,00	0,00	0,00	0,00	0,00	0,00	0,00
						0,00	0,00	0,00	0,00	0,00	0,00	0,00	0,00	0,00
4	2,00	8				-0,33	-0,95	-0,21	-0,33	-0,95	-0,21	-0,33	-0,95	-0,21
						-0,33	-0,95	-0,21	-0,33	-0,95	-0,21	-0,33	-0,95	-0,21
5	0,00	9				0,00	0,00	0,00	0,00	0,00	0,00	0,00	0,00	0,00
						0,00	0,00	0,00	0,00	0,00	0,00	0,00	0,00	0,00
5	2,00	10				-0,20	-0,95	-0,23	-0,20	-0,95	-0,23	-0,20	-0,95	-0,23
						-0,20	-0,95	-0,23	-0,20	-0,95	-0,23	-0,20	-0,95	-0,23
6	0,00	11				0,00	0,00	0,00	0,00	0,00	0,00	0,00	0,00	0,00
						0,00	0,00	0,00	0,00	0,00	0,00	0,00	0,00	0,00
6	2,00	12				-0,09	-0,95	-0,09	-0,09	-0,95	-0,09	-0,09	-0,95	-0,09
						-0,09	-0,95	-0,09	-0,09	-0,95	-0,09	-0,09	-0,95	-0,09
7	0,00	13				0,00	0,00	0,00	0,00	0,00	0,00	0,00	0,00	0,00
						0,00	0,00	0,00	0,00	0,00	0,00	0,00	0,00	0,00
7	2,00	14				-0,33	-1,04	-0,14	-0,33	-1,04	-0,14	-0,33	-1,04	-0,14
						-0,33	-1,04	-0,14	-0,33	-1,04	-0,14	-0,33	-1,04	-0,14
8	0,00	15				0,00	0,00	0,00	0,00	0,00	0,00	0,00	0,00	0,00
						0,00	0,00	0,00	0,00	0,00	0,00	0,00	0,00	0,00
8	2,00	16				-0,20	-1,04	-0,16	-0,20	-1,04	-0,16	-0,20	-1,04	-0,16
						-0,20	-1,04	-0,16	-0,20	-1,04	-0,16	-0,20	-1,04	-0,16
9	0,00	17				0,00	0,00	0,00	0,00	0,00	0,00	0,00	0,00	0,00
						0,00	0,00	0,00	0,00	0,00	0,00	0,00	0,00	0,00
9	2,00	18				-0,09	-1,04	-0,11	-0,09	-1,04	-0,11	-0,09	-1,04	-0,11
						-0,09	-1,04	-0,11	-0,09	-1,04	-0,11	-0,09	-1,04	-0,11
10	0,00	19				0,00	0,00	0,00	0,00	0,00	0,00	0,00	0,00	0,00
						0,00	0,00	0,00	0,00	0,00	0,00	0,00	0,00	0,00
10	2,00	20				-0,33	-1,12	-0,01	-0,33	-1,12	-0,01	-0,33	-1,12	-0,01
						-0,33	-1,12	-0,01	-0,33	-1,12	-0,01	-0,33	-1,12	-0,01
11	0,00	21				0,00	0,00	0,00	0,00	0,00	0,00	0,00	0,00	0,00
						0,00	0,00	0,00	0,00	0,00	0,00	0,00	0,00	0,00
11	2,00	22				-0,20	-1,12	-0,14	-0,20	-1,12	-0,14	-0,20	-1,12	-0,14
						-0,20	-1,12	-0,14	-0,20	-1,12	-0,14	-0,20	-1,12	-0,14
12	0,00	23				0,00	0,00	0,00	0,00	0,00	0,00	0,00	0,00	0,00
						0,00	0,00	0,00	0,00	0,00	0,00	0,00	0,00	0,00
12	2,00	24				-0,09	-1,12	-0,15	-0,09	-1,12	-0,15	-0,09	-1,12	-0,15
						-0,09	-1,12	-0,15	-0,09	-1,12	-0,15	-0,09	-1,12	-0,15
13	0,00	25				0,00	0,00	0,00	0,00	0,00	0,00	0,00	0,00	0,00



## CAPACITA'/DOMANDA DI SPOSTAMENTO - PUSH N.ro 28 - Prop.Modolo:-Fy-0.3\*Fx-Ecc5%

IDENTIFICATIVO			CAPACITA'/DOMANDA SPOSTAMENTI PER I VARI STATI LIMITE											
Filo N.ro	Quota (m)	Nodo N.ro	----- SLO -----			----- SLD -----			----- SLV -----			----- SLC -----		
			X (mm)	Y (mm)	Z (mm)	X (mm)	Y (mm)	Z (mm)	X (mm)	Y (mm)	Z (mm)	X (mm)	Y (mm)	Z (mm)
12	4,95	62				-0,95	-5,71	-0,31	-0,95	-5,71	-0,31	-0,95	-5,71	-0,31
						-0,33	-5,71	-0,31	-0,33	-5,71	-0,31	-0,33	-5,71	-0,31
						-0,33	-5,71	-0,31	-0,33	-5,71	-0,31	-0,33	-5,71	-0,31
13	4,95	63				-1,64	-6,17	0,10	-1,64	-6,17	0,10	-1,64	-6,17	0,10
						-1,64	-6,17	0,10	-1,64	-6,17	0,10	-1,64	-6,17	0,10
14	4,95	64				-0,95	-6,17	-0,27	-0,95	-6,17	-0,27	-0,95	-6,17	-0,27
						-0,95	-6,17	-0,27	-0,95	-6,17	-0,27	-0,95	-6,17	-0,27
15	4,95	65				-0,33	-6,17	-0,30	-0,33	-6,17	-0,30	-0,33	-6,17	-0,30
						-0,33	-6,17	-0,30	-0,33	-6,17	-0,30	-0,33	-6,17	-0,30
16	4,95	66				-1,64	-6,63	-0,48	-1,64	-6,63	-0,48	-1,64	-6,63	-0,48
						-1,64	-6,63	-0,48	-1,64	-6,63	-0,48	-1,64	-6,63	-0,48
17	4,95	67				-0,95	-6,63	-0,42	-0,95	-6,63	-0,42	-0,95	-6,63	-0,42
						-0,95	-6,63	-0,42	-0,95	-6,63	-0,42	-0,95	-6,63	-0,42
18	4,95	68				-0,33	-6,63	-0,28	-0,33	-6,63	-0,28	-0,33	-6,63	-0,28
						-0,33	-6,63	-0,28	-0,33	-6,63	-0,28	-0,33	-6,63	-0,28
19	4,95	69				-1,64	-7,10	-0,38	-1,64	-7,09	-0,38	-1,64	-7,10	-0,38
						-1,64	-7,10	-0,38	-1,64	-7,09	-0,38	-1,64	-7,10	-0,38
20	4,95	70				-0,95	-7,10	-0,43	-0,95	-7,09	-0,43	-0,95	-7,10	-0,43
						-0,95	-7,10	-0,43	-0,95	-7,09	-0,43	-0,95	-7,10	-0,43
21	4,95	71				-0,33	-7,10	-0,23	-0,33	-7,09	-0,23	-0,33	-7,10	-0,23
						-0,33	-7,10	-0,23	-0,33	-7,09	-0,23	-0,33	-7,10	-0,23
22	4,95	72				-1,64	-7,56	-0,70	-1,64	-7,56	-0,70	-1,64	-7,56	-0,70
						-1,64	-7,56	-0,70	-1,64	-7,56	-0,70	-1,64	-7,56	-0,70
23	4,95	73				-0,95	-7,56	-0,06	-0,95	-7,56	-0,06	-0,95	-7,56	-0,06
						-0,95	-7,56	-0,06	-0,95	-7,56	-0,06	-0,95	-7,56	-0,06
24	4,95	74				-0,33	-7,56	-0,09	-0,33	-7,56	-0,09	-0,33	-7,56	-0,09
						-0,33	-7,56	-0,09	-0,33	-7,56	-0,09	-0,33	-7,56	-0,09
39	4,95	75				-1,60	-4,37	-0,23	-1,60	-4,37	-0,23	-1,60	-4,37	-0,23
						-1,60	-4,37	-0,23	-1,60	-4,37	-0,23	-1,60	-4,37	-0,23
1	7,90	76				-2,82	-8,07	-0,68	-2,82	-8,07	-0,68	-2,82	-8,07	-0,68
						-2,82	-8,07	-0,68	-2,82	-8,07	-0,68	-2,82	-8,07	-0,68
2	7,90	77				-1,60	-8,07	-0,43	-1,60	-8,07	-0,43	-1,60	-8,07	-0,43
						-1,60	-8,07	-0,43	-1,60	-8,07	-0,43	-1,60	-8,07	-0,43
3	7,90	78				-0,51	-8,07	-0,19	-0,51	-8,07	-0,19	-0,51	-8,07	-0,19
						-0,51	-8,07	-0,19	-0,51	-8,07	-0,19	-0,51	-8,07	-0,19
4	7,90	79				-2,82	-8,89	-0,52	-2,82	-8,89	-0,52	-2,82	-8,89	-0,52
						-2,82	-8,89	-0,52	-2,82	-8,89	-0,52	-2,82	-8,89	-0,52
5	7,90	80				-1,60	-8,89	-0,65	-1,60	-8,89	-0,65	-1,60	-8,89	-0,65
						-1,60	-8,89	-0,65	-1,60	-8,89	-0,65	-1,60	-8,89	-0,65
6	7,90	81				-0,51	-8,89	-0,26	-0,51	-8,89	-0,26	-0,51	-8,89	-0,26
						-0,51	-8,89	-0,26	-0,51	-8,89	-0,26	-0,51	-8,89	-0,26
7	7,90	82				-2,82	-9,70	-0,48	-2,82	-9,70	-0,48	-2,82	-9,70	-0,48
						-2,82	-9,70	-0,48	-2,82	-9,70	-0,48	-2,82	-9,70	-0,48
8	7,90	83				-1,60	-9,70	-0,55	-1,60	-9,70	-0,55	-1,60	-9,70	-0,55
						-1,60	-9,70	-0,55	-1,60	-9,70	-0,55	-1,60	-9,70	-0,55
9	7,90	84				-0,51	-9,70	-0,33	-0,51	-9,70	-0,33	-0,51	-9,70	-0,33
						-0,51	-9,70	-0,33	-0,51	-9,70	-0,33	-0,51	-9,70	-0,33
10	7,90	85				-2,82	-10,51	-0,16	-2,82	-10,51	-0,16	-2,82	-10,51	-0,16
						-2,82	-10,51	-0,16	-2,82	-10,51	-0,16	-2,82	-10,51	-0,16
11	7,90	86				-1,60	-10,51	-0,41	-1,60	-10,51	-0,41	-1,60	-10,51	-0,41
						-1,60	-10,51	-0,41	-1,60	-10,51	-0,41	-1,60	-10,51	-0,41
12	7,90	87				-0,51	-10,51	-0,42	-0,51	-10,51	-0,42	-0,51	-10,51	-0,42
						-0,51	-10,51	-0,42	-0,51	-10,51	-0,42	-0,51	-10,51	-0,42
13	7,90	88				-2,82	-11,32	-0,18	-2,82	-11,32	-0,18	-2,82	-11,32	-0,18
						-2,82	-11,32	-0,18	-2,82	-11,32	-0,18	-2,82	-11,32	-0,18
14	7,90	89				-1,60	-11,32	-0,40	-1,60	-11,32	-0,40	-1,60	-11,32	-0,40
						-1,60	-11,32	-0,40	-1,60	-11,32	-0,40	-1,60	-11,32	-0,40
15	7,90	90				-0,51	-11,32	-0,41	-0,51	-11,32	-0,41	-0,51	-11,32	-0,41
						-0,51	-11,32	-0,41	-0,51	-11,32	-0,41	-0,51	-11,32	-0,41
16	7,90	91				-2,82	-12,14	-0,60	-2,82	-12,14	-0,60	-2,82	-12,14	-0,60
						-2,82	-12,14	-0,60	-2,82	-12,14	-0,60	-2,82	-12,14	-0,60
17	7,90	92				-1,60	-12,14	-0,57	-1,60	-12,14	-0,57	-1,60	-12,14	-0,57
						-1,60	-12,14	-0,57	-1,60	-12,14	-0,57	-1,60	-12,14	-0,57
18	7,90	93				-0,51	-12,14	-0,37	-0,51	-12,14	-0,37	-0,51	-12,14	-0,37
						-0,51	-12,14	-0,37	-0,51	-12,14	-0,37	-0,51	-12,14	-0,37
19	7,90	94				-2,82	-12,95	-0,54	-2,82	-12,95	-0,54	-2,82	-12,95	-0,54
						-2,82	-12,95	-0,54	-2,82	-12,95	-0,54	-2,82	-12,95	-0,54
20	7,90	95				-1,60	-12,95	-0,61	-1,60	-12,95	-0,61	-1,60	-12,95	-0,61
						-1,60	-12,95	-0,61	-1,60	-12,95	-0,61	-1,60	-12,95	-0,61
21	7,90	96				-0,51	-12,95	-0,32	-0,51	-12,95	-0,32	-0,51	-12,95	-0,32
						-0,51	-12,95	-0,32	-0,51	-12,95	-0,32	-0,51	-12,95	-0,32
22	7,90	97				-2,82	-13,76	-0,73	-2,82	-13,76	-0,73	-2,82	-13,76	-0,73

## CAPACITA'/DOMANDA DI SPOSTAMENTO - PUSH N.ro 28 - Prop.Modolo:-Fy-0.3\*Fx-Ecc5%

IDENTIFICATIVO			CAPACITA'/DOMANDA SPOSTAMENTI PER I VARI STATI LIMITE											
Filo N.ro	Quota (m)	Nodo N.ro	----- SLO -----			----- SLD -----			----- SLV -----			----- SLC -----		
			X (mm)	Y (mm)	Z (mm)	X (mm)	Y (mm)	Z (mm)	X (mm)	Y (mm)	Z (mm)	X (mm)	Y (mm)	Z (mm)
23	7,90	98				-2,82	-13,76	-0,73	-2,82	-13,76	-0,73	-2,82	-13,76	-0,73
						-1,60	-13,76	-0,32	-1,60	-13,76	-0,32	-1,60	-13,76	-0,32
						-1,60	-13,76	-0,32	-1,60	-13,76	-0,32	-1,60	-13,76	-0,32
24	7,90	99				-0,51	-13,76	-0,13	-0,51	-13,76	-0,13	-0,51	-13,76	-0,13
						-0,51	-13,76	-0,13	-0,51	-13,76	-0,13	-0,51	-13,76	-0,13
39	7,90	100				-2,74	-8,15	-0,40	-2,74	-8,15	-0,40	-2,74	-8,15	-0,40
						-2,74	-8,15	-0,40	-2,74	-8,15	-0,40	-2,74	-8,15	-0,40
1	10,85	101				-3,43	-10,61	-0,68	-3,43	-10,61	-0,68	-3,43	-10,61	-0,68
						-3,43	-10,61	-0,68	-3,43	-10,61	-0,68	-3,43	-10,61	-0,68
2	10,85	102				-2,00	-10,61	-0,54	-2,00	-10,61	-0,54	-2,00	-10,61	-0,54
						-2,00	-10,61	-0,54	-2,00	-10,61	-0,54	-2,00	-10,61	-0,54
3	10,85	103				-0,72	-10,61	-0,21	-0,72	-10,61	-0,21	-0,72	-10,61	-0,21
						-0,72	-10,61	-0,21	-0,72	-10,61	-0,21	-0,72	-10,61	-0,21
4	10,85	104				-3,43	-11,56	-0,56	-3,43	-11,56	-0,56	-3,43	-11,56	-0,56
						-3,43	-11,56	-0,56	-3,43	-11,56	-0,56	-3,43	-11,56	-0,56
5	10,85	105				-2,00	-11,56	-0,73	-2,00	-11,56	-0,73	-2,00	-11,56	-0,73
						-2,00	-11,56	-0,73	-2,00	-11,56	-0,73	-2,00	-11,56	-0,73
6	10,85	106				-0,72	-11,56	-0,30	-0,72	-11,56	-0,30	-0,72	-11,56	-0,30
						-0,72	-11,56	-0,30	-0,72	-11,56	-0,30	-0,72	-11,56	-0,30
7	10,85	107				-3,43	-12,52	-0,54	-3,43	-12,52	-0,54	-3,43	-12,52	-0,54
						-3,43	-12,52	-0,54	-3,43	-12,52	-0,54	-3,43	-12,52	-0,54
8	10,85	108				-2,00	-12,52	-0,64	-2,00	-12,52	-0,64	-2,00	-12,52	-0,64
						-2,00	-12,52	-0,64	-2,00	-12,52	-0,64	-2,00	-12,52	-0,64
9	10,85	109				-0,72	-12,52	-0,37	-0,72	-12,52	-0,37	-0,72	-12,52	-0,37
						-0,72	-12,52	-0,37	-0,72	-12,52	-0,37	-0,72	-12,52	-0,37
10	10,85	110				-3,43	-13,47	-0,38	-3,43	-13,47	-0,38	-3,43	-13,47	-0,38
						-3,43	-13,47	-0,38	-3,43	-13,47	-0,38	-3,43	-13,47	-0,38
11	10,85	111				-2,00	-13,47	-0,47	-2,00	-13,47	-0,47	-2,00	-13,47	-0,47
						-2,00	-13,47	-0,47	-2,00	-13,47	-0,47	-2,00	-13,47	-0,47
12	10,85	112				-0,72	-13,47	-0,46	-0,72	-13,47	-0,46	-0,72	-13,47	-0,46
						-0,72	-13,47	-0,46	-0,72	-13,47	-0,46	-0,72	-13,47	-0,46
13	10,85	113				-3,43	-14,43	-0,41	-3,43	-14,43	-0,41	-3,43	-14,43	-0,41
						-3,43	-14,43	-0,41	-3,43	-14,43	-0,41	-3,43	-14,43	-0,41
14	10,85	114				-2,00	-14,43	-0,47	-2,00	-14,43	-0,47	-2,00	-14,43	-0,47
						-2,00	-14,43	-0,47	-2,00	-14,43	-0,47	-2,00	-14,43	-0,47
15	10,85	115				-0,72	-14,43	-0,45	-0,72	-14,43	-0,45	-0,72	-14,43	-0,45
						-0,72	-14,43	-0,45	-0,72	-14,43	-0,45	-0,72	-14,43	-0,45
16	10,85	116				-3,43	-15,38	-0,65	-3,43	-15,38	-0,65	-3,43	-15,38	-0,65
						-3,43	-15,38	-0,65	-3,43	-15,38	-0,65	-3,43	-15,38	-0,65
17	10,85	117				-2,00	-15,38	-0,65	-2,00	-15,38	-0,65	-2,00	-15,38	-0,65
						-2,00	-15,38	-0,65	-2,00	-15,38	-0,65	-2,00	-15,38	-0,65
18	10,85	118				-0,72	-15,38	-0,41	-0,72	-15,38	-0,41	-0,72	-15,38	-0,41
						-0,72	-15,38	-0,41	-0,72	-15,38	-0,41	-0,72	-15,38	-0,41
19	10,85	119				-3,43	-16,34	-0,61	-3,43	-16,33	-0,61	-3,43	-16,34	-0,61
						-3,43	-16,34	-0,61	-3,43	-16,33	-0,61	-3,43	-16,34	-0,61
20	10,85	120				-2,00	-16,34	-0,71	-2,00	-16,33	-0,71	-2,00	-16,34	-0,71
						-2,00	-16,34	-0,71	-2,00	-16,33	-0,71	-2,00	-16,34	-0,71
21	10,85	121				-0,72	-16,34	-0,35	-0,72	-16,33	-0,35	-0,72	-16,34	-0,35
						-0,72	-16,34	-0,35	-0,72	-16,33	-0,35	-0,72	-16,34	-0,35
22	10,85	122				-3,43	-17,29	-0,69	-3,43	-17,29	-0,69	-3,43	-17,29	-0,69
						-3,43	-17,29	-0,69	-3,43	-17,29	-0,69	-3,43	-17,29	-0,69
23	10,85	123				-2,00	-17,29	-0,42	-2,00	-17,29	-0,42	-2,00	-17,29	-0,42
						-2,00	-17,29	-0,42	-2,00	-17,29	-0,42	-2,00	-17,29	-0,42
24	10,85	124				-0,72	-17,29	-0,15	-0,72	-17,29	-0,15	-0,72	-17,29	-0,15
						-0,72	-17,29	-0,15	-0,72	-17,29	-0,15	-0,72	-17,29	-0,15
39	10,85	125				-3,34	-10,70	-0,57	-3,34	-10,70	-0,57	-3,34	-10,70	-0,57
						-3,34	-10,70	-0,57	-3,34	-10,70	-0,57	-3,34	-10,70	-0,57

## CAPACITA'/DOMANDA DI SPOSTAMENTO - PUSH N.ro 29 - Prop.Massa:+Fx-0.3\*Fy-Ecc5%

IDENTIFICATIVO			CAPACITA'/DOMANDA SPOSTAMENTI PER I VARI STATI LIMITE											
Filo N.ro	Quota (m)	Nodo N.ro	----- SLO -----			----- SLD -----			----- SLV -----			----- SLC -----		
			X (mm)	Y (mm)	Z (mm)	X (mm)	Y (mm)	Z (mm)	X (mm)	Y (mm)	Z (mm)	X (mm)	Y (mm)	Z (mm)
1	0,00	1				0,00	0,00	0,00	0,00	0,00	0,00	0,00	0,00	0,00
						0,00	0,00	0,00	0,00	0,00	0,00	0,00	0,00	0,00
1	2,00	2				0,76	-0,35	-0,12	0,76	-0,35	-0,12	0,76	-0,35	-0,12
						0,76	-0,35	-0,12	0,76	-0,35	-0,12	0,76	-0,35	-0,12
2	0,00	3				0,00	0,00	0,00	0,00	0,00	0,00	0,00	0,00	0,00
						0,00	0,00	0,00	0,00	0,00	0,00	0,00	0,00	0,00
2	2,00	4				0,76	-0,35	-0,09	0,76	-0,35	-0,09	0,76	-0,35	-0,09
						0,76	-0,35	-0,09	0,76	-0,35	-0,09	0,76	-0,35	-0,09
3	0,00	5				0,00	0,00	0,00	0,00	0,00	0,00	0,00	0,00	0,00





## CAPACITA'/DOMANDA DI SPOSTAMENTO - PUSH N.ro 29 - Prop.Massa:+Fx-0.3\*Fy-Ecc5%

IDENTIFICATIVO			CAPACITA'/DOMANDA SPOSTAMENTI PER I VARI STATI LIMITE											
Filo N.ro	Quota (m)	Nodo N.ro	----- SLO -----			----- SLD -----			----- SLV -----			----- SLC -----		
			X (mm)	Y (mm)	Z (mm)	X (mm)	Y (mm)	Z (mm)	X (mm)	Y (mm)	Z (mm)	X (mm)	Y (mm)	Z (mm)
3	7,90	78				4,85	-2,25	-0,37	4,84	-2,24	-0,37	4,85	-2,25	-0,37
						4,90	-2,25	-0,08	4,89	-2,24	-0,08	4,90	-2,25	-0,08
						4,90	-2,25	-0,08	4,89	-2,24	-0,08	4,90	-2,25	-0,08
4	7,90	79				4,79	-2,29	-0,37	4,78	-2,28	-0,37	4,79	-2,29	-0,37
						4,79	-2,29	-0,37	4,78	-2,28	-0,37	4,79	-2,29	-0,37
5	7,90	80				4,85	-2,29	-0,49	4,84	-2,28	-0,49	4,85	-2,29	-0,49
						4,85	-2,29	-0,49	4,84	-2,28	-0,49	4,85	-2,29	-0,49
6	7,90	81				4,90	-2,29	-0,30	4,89	-2,28	-0,30	4,90	-2,29	-0,30
						4,90	-2,29	-0,30	4,89	-2,28	-0,30	4,90	-2,29	-0,30
7	7,90	82				4,79	-2,33	-0,52	4,78	-2,32	-0,52	4,79	-2,33	-0,52
						4,79	-2,33	-0,52	4,78	-2,32	-0,52	4,79	-2,33	-0,52
8	7,90	83				4,85	-2,33	-0,61	4,84	-2,32	-0,61	4,85	-2,33	-0,61
						4,85	-2,33	-0,61	4,84	-2,32	-0,61	4,85	-2,33	-0,61
9	7,90	84				4,90	-2,33	-0,45	4,89	-2,32	-0,45	4,90	-2,33	-0,45
						4,90	-2,33	-0,45	4,89	-2,32	-0,45	4,90	-2,33	-0,45
10	7,90	85				4,79	-2,37	-0,38	4,78	-2,36	-0,38	4,79	-2,37	-0,38
						4,79	-2,37	-0,38	4,78	-2,36	-0,38	4,79	-2,37	-0,38
11	7,90	86				4,85	-2,37	-0,46	4,84	-2,36	-0,46	4,85	-2,37	-0,46
						4,85	-2,37	-0,46	4,84	-2,36	-0,46	4,85	-2,37	-0,46
12	7,90	87				4,90	-2,37	-0,40	4,89	-2,36	-0,40	4,90	-2,37	-0,40
						4,90	-2,37	-0,40	4,89	-2,36	-0,40	4,90	-2,37	-0,40
13	7,90	88				4,79	-2,40	-0,35	4,78	-2,40	-0,35	4,79	-2,40	-0,35
						4,79	-2,40	-0,35	4,78	-2,40	-0,35	4,79	-2,40	-0,35
14	7,90	89				4,85	-2,40	-0,62	4,84	-2,40	-0,62	4,85	-2,40	-0,62
						4,85	-2,40	-0,62	4,84	-2,40	-0,62	4,85	-2,40	-0,62
15	7,90	90				4,90	-2,40	-0,47	4,89	-2,40	-0,47	4,90	-2,40	-0,47
						4,90	-2,40	-0,47	4,89	-2,40	-0,47	4,90	-2,40	-0,47
16	7,90	91				4,79	-2,44	-0,44	4,78	-2,44	-0,44	4,79	-2,44	-0,44
						4,79	-2,44	-0,44	4,78	-2,44	-0,44	4,79	-2,44	-0,44
17	7,90	92				4,85	-2,44	-0,53	4,84	-2,44	-0,53	4,85	-2,44	-0,53
						4,85	-2,44	-0,53	4,84	-2,44	-0,53	4,85	-2,44	-0,53
18	7,90	93				4,90	-2,44	-0,42	4,89	-2,44	-0,42	4,90	-2,44	-0,42
						4,90	-2,44	-0,42	4,89	-2,44	-0,42	4,90	-2,44	-0,42
19	7,90	94				4,79	-2,48	-0,58	4,78	-2,47	-0,58	4,79	-2,48	-0,58
						4,79	-2,48	-0,58	4,78	-2,47	-0,58	4,79	-2,48	-0,58
20	7,90	95				4,85	-2,48	-0,63	4,84	-2,47	-0,63	4,85	-2,48	-0,63
						4,85	-2,48	-0,63	4,84	-2,47	-0,63	4,85	-2,48	-0,63
21	7,90	96				4,90	-2,48	-0,49	4,89	-2,47	-0,49	4,90	-2,48	-0,49
						4,90	-2,48	-0,49	4,89	-2,47	-0,49	4,90	-2,48	-0,49
22	7,90	97				4,79	-2,52	-0,55	4,78	-2,51	-0,55	4,79	-2,52	-0,55
						4,79	-2,52	-0,55	4,78	-2,51	-0,55	4,79	-2,52	-0,55
23	7,90	98				4,85	-2,52	-0,59	4,84	-2,51	-0,59	4,85	-2,52	-0,59
						4,85	-2,52	-0,59	4,84	-2,51	-0,59	4,85	-2,52	-0,59
24	7,90	99				4,90	-2,52	-0,54	4,89	-2,51	-0,54	4,90	-2,52	-0,54
						4,90	-2,52	-0,54	4,89	-2,51	-0,54	4,90	-2,52	-0,54
39	7,90	100				4,80	-2,25	-0,31	4,78	-2,25	-0,31	4,80	-2,25	-0,31
						4,80	-2,25	-0,31	4,78	-2,25	-0,31	4,80	-2,25	-0,31
1	10,85	101				5,74	-2,62	-0,29	5,73	-2,61	-0,29	5,74	-2,62	-0,29
						5,74	-2,62	-0,29	5,73	-2,61	-0,29	5,74	-2,62	-0,29
2	10,85	102				5,82	-2,62	-0,43	5,80	-2,61	-0,43	5,82	-2,62	-0,43
						5,82	-2,62	-0,43	5,80	-2,61	-0,43	5,82	-2,62	-0,43
3	10,85	103				5,89	-2,62	-0,12	5,87	-2,61	-0,12	5,89	-2,62	-0,12
						5,89	-2,62	-0,12	5,87	-2,61	-0,12	5,89	-2,62	-0,12
4	10,85	104				5,74	-2,67	-0,44	5,73	-2,66	-0,44	5,74	-2,67	-0,44
						5,74	-2,67	-0,44	5,73	-2,66	-0,44	5,74	-2,67	-0,44
5	10,85	105				5,82	-2,67	-0,60	5,80	-2,66	-0,60	5,82	-2,67	-0,60
						5,82	-2,67	-0,60	5,80	-2,66	-0,60	5,82	-2,67	-0,60
6	10,85	106				5,89	-2,67	-0,37	5,87	-2,66	-0,37	5,89	-2,67	-0,37
						5,89	-2,67	-0,37	5,87	-2,66	-0,37	5,89	-2,67	-0,37
7	10,85	107				5,74	-2,72	-0,55	5,73	-2,72	-0,55	5,74	-2,72	-0,55
						5,74	-2,72	-0,55	5,73	-2,72	-0,55	5,74	-2,72	-0,55
8	10,85	108				5,82	-2,72	-0,68	5,80	-2,72	-0,68	5,82	-2,72	-0,68
						5,82	-2,72	-0,68	5,80	-2,72	-0,68	5,82	-2,72	-0,68
9	10,85	109				5,89	-2,72	-0,48	5,87	-2,72	-0,48	5,89	-2,72	-0,48
						5,89	-2,72	-0,48	5,87	-2,72	-0,48	5,89	-2,72	-0,48
10	10,85	110				5,74	-2,78	-0,48	5,73	-2,77	-0,47	5,74	-2,78	-0,48
						5,74	-2,78	-0,48	5,73	-2,77	-0,47	5,74	-2,78	-0,48
11	10,85	111				5,82	-2,78	-0,56	5,80	-2,77	-0,56	5,82	-2,78	-0,56
						5,82	-2,78	-0,56	5,80	-2,77	-0,56	5,82	-2,78	-0,56
12	10,85	112				5,89	-2,78	-0,47	5,87	-2,77	-0,47	5,89	-2,78	-0,47
						5,89	-2,78	-0,47	5,87	-2,77	-0,47	5,89	-2,78	-0,47
13	10,85	113				5,74	-2,83	-0,44	5,73	-2,82	-0,44	5,74	-2,83	-0,44

## CAPACITA'/DOMANDA DI SPOSTAMENTO - PUSH N.ro 29 - Prop.Massa:+Fx-0.3\*Fy-Ecc5%

IDENTIFICATIVO			CAPACITA'/DOMANDA SPOSTAMENTI PER I VARI STATI LIMITE											
Filo N.ro	Quota (m)	Nodo N.ro	----- SLO -----			----- SLD -----			----- SLV -----			----- SLC -----		
			X (mm)	Y (mm)	Z (mm)	X (mm)	Y (mm)	Z (mm)	X (mm)	Y (mm)	Z (mm)	X (mm)	Y (mm)	Z (mm)
14	10,85	114				5,74	-2,83	-0,44	5,73	-2,82	-0,44	5,74	-2,83	-0,44
						5,82	-2,83	-0,67	5,80	-2,82	-0,67	5,82	-2,83	-0,67
						5,82	-2,83	-0,67	5,80	-2,82	-0,67	5,82	-2,83	-0,67
15	10,85	115				5,89	-2,83	-0,50	5,87	-2,82	-0,50	5,89	-2,83	-0,50
						5,89	-2,83	-0,50	5,87	-2,82	-0,50	5,89	-2,83	-0,50
16	10,85	116				5,74	-2,88	-0,50	5,73	-2,87	-0,50	5,74	-2,88	-0,50
						5,74	-2,88	-0,50	5,73	-2,87	-0,50	5,74	-2,88	-0,50
17	10,85	117				5,82	-2,88	-0,64	5,80	-2,87	-0,64	5,82	-2,88	-0,64
						5,82	-2,88	-0,64	5,80	-2,87	-0,64	5,82	-2,88	-0,64
18	10,85	118				5,89	-2,88	-0,49	5,87	-2,87	-0,49	5,89	-2,88	-0,49
						5,89	-2,88	-0,49	5,87	-2,87	-0,49	5,89	-2,88	-0,49
19	10,85	119				5,74	-2,93	-0,62	5,73	-2,92	-0,62	5,74	-2,93	-0,62
						5,74	-2,93	-0,62	5,73	-2,92	-0,62	5,74	-2,93	-0,62
20	10,85	120				5,82	-2,93	-0,70	5,80	-2,92	-0,70	5,82	-2,93	-0,70
						5,82	-2,93	-0,70	5,80	-2,92	-0,70	5,82	-2,93	-0,70
21	10,85	121				5,89	-2,93	-0,52	5,87	-2,92	-0,52	5,89	-2,93	-0,52
						5,89	-2,93	-0,52	5,87	-2,92	-0,52	5,89	-2,93	-0,52
22	10,85	122				5,74	-2,98	-0,57	5,73	-2,97	-0,57	5,74	-2,98	-0,57
						5,74	-2,98	-0,57	5,73	-2,97	-0,57	5,74	-2,98	-0,57
23	10,85	123				5,82	-2,98	-0,67	5,80	-2,97	-0,67	5,82	-2,98	-0,67
						5,82	-2,98	-0,67	5,80	-2,97	-0,67	5,82	-2,98	-0,67
24	10,85	124				5,89	-2,98	-0,55	5,87	-2,97	-0,55	5,89	-2,98	-0,55
						5,89	-2,98	-0,55	5,87	-2,97	-0,55	5,89	-2,98	-0,55
39	10,85	125				5,75	-2,62	-0,34	5,73	-2,62	-0,34	5,75	-2,62	-0,34
						5,75	-2,62	-0,34	5,73	-2,62	-0,34	5,75	-2,62	-0,34

## CAPACITA'/DOMANDA DI SPOSTAMENTO - PUSH N.ro 30 - Prop.Massa:-Fx-0.3\*Fy-Ecc5%

IDENTIFICATIVO			CAPACITA'/DOMANDA SPOSTAMENTI PER I VARI STATI LIMITE											
Filo N.ro	Quota (m)	Nodo N.ro	----- SLO -----			----- SLD -----			----- SLV -----			----- SLC -----		
			X (mm)	Y (mm)	Z (mm)	X (mm)	Y (mm)	Z (mm)	X (mm)	Y (mm)	Z (mm)	X (mm)	Y (mm)	Z (mm)
1	0,00	1				0,00	0,00	0,00	0,00	0,00	0,00	0,00	0,00	0,00
						0,00	0,00	0,00	0,00	0,00	0,00	0,00	0,00	0,00
1	2,00	2				-0,85	-0,15	-0,18	-0,85	-0,15	-0,18	-0,85	-0,15	-0,18
						-0,85	-0,15	-0,18	-0,85	-0,15	-0,18	-0,85	-0,15	-0,18
2	0,00	3				0,00	0,00	0,00	0,00	0,00	0,00	0,00	0,00	0,00
						0,00	0,00	0,00	0,00	0,00	0,00	0,00	0,00	0,00
2	2,00	4				-0,76	-0,15	-0,20	-0,76	-0,15	-0,20	-0,76	-0,15	-0,20
						-0,76	-0,15	-0,20	-0,76	-0,15	-0,20	-0,76	-0,15	-0,20
3	0,00	5				0,00	0,00	0,00	0,00	0,00	0,00	0,00	0,00	0,00
						0,00	0,00	0,00	0,00	0,00	0,00	0,00	0,00	0,00
3	2,00	6				-0,68	-0,15	-0,24	-0,68	-0,15	-0,24	-0,68	-0,15	-0,24
						-0,68	-0,15	-0,24	-0,68	-0,15	-0,24	-0,68	-0,15	-0,24
4	0,00	7				0,00	0,00	0,00	0,00	0,00	0,00	0,00	0,00	0,00
						0,00	0,00	0,00	0,00	0,00	0,00	0,00	0,00	0,00
4	2,00	8				-0,85	-0,21	-0,24	-0,85	-0,21	-0,24	-0,85	-0,21	-0,24
						-0,85	-0,21	-0,24	-0,85	-0,21	-0,24	-0,85	-0,21	-0,24
5	0,00	9				0,00	0,00	0,00	0,00	0,00	0,00	0,00	0,00	0,00
						0,00	0,00	0,00	0,00	0,00	0,00	0,00	0,00	0,00
5	2,00	10				-0,76	-0,21	-0,28	-0,76	-0,21	-0,28	-0,76	-0,21	-0,28
						-0,76	-0,21	-0,28	-0,76	-0,21	-0,28	-0,76	-0,21	-0,28
6	0,00	11				0,00	0,00	0,00	0,00	0,00	0,00	0,00	0,00	0,00
						0,00	0,00	0,00	0,00	0,00	0,00	0,00	0,00	0,00
6	2,00	12				-0,68	-0,21	-0,19	-0,68	-0,21	-0,19	-0,68	-0,21	-0,19
						-0,68	-0,21	-0,19	-0,68	-0,21	-0,19	-0,68	-0,21	-0,19
7	0,00	13				0,00	0,00	0,00	0,00	0,00	0,00	0,00	0,00	0,00
						0,00	0,00	0,00	0,00	0,00	0,00	0,00	0,00	0,00
7	2,00	14				-0,85	-0,27	-0,06	-0,85	-0,27	-0,06	-0,85	-0,27	-0,06
						-0,85	-0,27	-0,06	-0,85	-0,27	-0,06	-0,85	-0,27	-0,06
8	0,00	15				0,00	0,00	0,00	0,00	0,00	0,00	0,00	0,00	0,00
						0,00	0,00	0,00	0,00	0,00	0,00	0,00	0,00	0,00
8	2,00	16				-0,76	-0,27	-0,11	-0,76	-0,27	-0,11	-0,76	-0,27	-0,11
						-0,76	-0,27	-0,11	-0,76	-0,27	-0,11	-0,76	-0,27	-0,11
9	0,00	17				0,00	0,00	0,00	0,00	0,00	0,00	0,00	0,00	0,00
						0,00	0,00	0,00	0,00	0,00	0,00	0,00	0,00	0,00
9	2,00	18				-0,68	-0,27	-0,08	-0,68	-0,27	-0,08	-0,68	-0,27	-0,08
						-0,68	-0,27	-0,08	-0,68	-0,27	-0,08	-0,68	-0,27	-0,08
10	0,00	19				0,00	0,00	0,00	0,00	0,00	0,00	0,00	0,00	0,00
						0,00	0,00	0,00	0,00	0,00	0,00	0,00	0,00	0,00
10	2,00	20				-0,85	-0,33	-0,09	-0,85	-0,33	-0,09	-0,85	-0,33	-0,09
						-0,85	-0,33	-0,09	-0,85	-0,33	-0,09	-0,85	-0,33	-0,09
11	0,00	21				0,00	0,00	0,00	0,00	0,00	0,00	0,00	0,00	0,00



## CAPACITA'/DOMANDA DI SPOSTAMENTO - PUSH N.ro 30 - Prop.Massa:-Fx-0.3\*Fy-Ecc5%

IDENTIFICATIVO			CAPACITA'/DOMANDA SPOSTAMENTI PER I VARI STATI LIMITE											
Filo N.ro	Quota (m)	Nodo N.ro	----- SLO -----			----- SLD -----			----- SLV -----			----- SLC -----		
			X (mm)	Y (mm)	Z (mm)	X (mm)	Y (mm)	Z (mm)	X (mm)	Y (mm)	Z (mm)	X (mm)	Y (mm)	Z (mm)
8	4,95	58				-3,43	-1,13	-0,24	-3,43	-1,13	-0,24	-3,43	-1,13	-0,24
						-3,09	-1,13	-0,34	-3,09	-1,13	-0,34	-3,09	-1,13	-0,34
						-3,09	-1,13	-0,34	-3,09	-1,13	-0,34	-3,09	-1,13	-0,34
9	4,95	59				-2,79	-1,13	-0,25	-2,79	-1,13	-0,25	-2,79	-1,13	-0,25
						-2,79	-1,13	-0,25	-2,79	-1,13	-0,25	-2,79	-1,13	-0,25
10	4,95	60				-3,43	-1,36	-0,19	-3,43	-1,35	-0,19	-3,43	-1,36	-0,19
						-3,43	-1,36	-0,19	-3,43	-1,35	-0,19	-3,43	-1,36	-0,19
11	4,95	61				-3,09	-1,36	-0,49	-3,09	-1,35	-0,49	-3,09	-1,36	-0,49
						-3,09	-1,36	-0,49	-3,09	-1,35	-0,49	-3,09	-1,36	-0,49
12	4,95	62				-2,79	-1,36	-0,38	-2,79	-1,35	-0,38	-2,79	-1,36	-0,38
						-2,79	-1,36	-0,38	-2,79	-1,35	-0,38	-2,79	-1,36	-0,38
13	4,95	63				-3,43	-1,58	-0,24	-3,43	-1,58	-0,24	-3,43	-1,58	-0,24
						-3,43	-1,58	-0,24	-3,43	-1,58	-0,24	-3,43	-1,58	-0,24
14	4,95	64				-3,09	-1,58	-0,30	-3,09	-1,58	-0,30	-3,09	-1,58	-0,30
						-3,09	-1,58	-0,30	-3,09	-1,58	-0,30	-3,09	-1,58	-0,30
15	4,95	65				-2,79	-1,58	-0,27	-2,79	-1,58	-0,27	-2,79	-1,58	-0,27
						-2,79	-1,58	-0,27	-2,79	-1,58	-0,27	-2,79	-1,58	-0,27
16	4,95	66				-3,43	-1,81	-0,47	-3,43	-1,80	-0,47	-3,43	-1,81	-0,47
						-3,43	-1,81	-0,47	-3,43	-1,80	-0,47	-3,43	-1,81	-0,47
17	4,95	67				-3,09	-1,81	-0,50	-3,09	-1,80	-0,50	-3,09	-1,81	-0,50
						-3,09	-1,81	-0,50	-3,09	-1,80	-0,50	-3,09	-1,81	-0,50
18	4,95	68				-2,79	-1,81	-0,40	-2,79	-1,80	-0,40	-2,79	-1,81	-0,40
						-2,79	-1,81	-0,40	-2,79	-1,80	-0,40	-2,79	-1,81	-0,40
19	4,95	69				-3,43	-2,03	-0,29	-3,43	-2,03	-0,29	-3,43	-2,03	-0,29
						-3,43	-2,03	-0,29	-3,43	-2,03	-0,29	-3,43	-2,03	-0,29
20	4,95	70				-3,09	-2,03	-0,33	-3,09	-2,03	-0,33	-3,09	-2,03	-0,33
						-3,09	-2,03	-0,33	-3,09	-2,03	-0,33	-3,09	-2,03	-0,33
21	4,95	71				-2,79	-2,03	-0,26	-2,79	-2,03	-0,27	-2,79	-2,03	-0,26
						-2,79	-2,03	-0,26	-2,79	-2,03	-0,27	-2,79	-2,03	-0,26
22	4,95	72				-3,43	-2,26	-0,29	-3,43	-2,25	-0,29	-3,43	-2,26	-0,29
						-3,43	-2,26	-0,29	-3,43	-2,25	-0,29	-3,43	-2,26	-0,29
23	4,95	73				-3,09	-2,26	-0,22	-3,09	-2,25	-0,22	-3,09	-2,26	-0,22
						-3,09	-2,26	-0,22	-3,09	-2,25	-0,22	-3,09	-2,26	-0,22
24	4,95	74				-2,79	-2,26	-0,03	-2,79	-2,25	-0,03	-2,79	-2,26	-0,03
						-2,79	-2,26	-0,03	-2,79	-2,25	-0,03	-2,79	-2,26	-0,03
39	4,95	75				-3,41	-0,70	-0,27	-3,41	-0,70	-0,27	-3,41	-0,70	-0,27
						-3,41	-0,70	-0,27	-3,41	-0,70	-0,27	-3,41	-0,70	-0,27
1	7,90	76				-5,32	-1,18	-0,47	-5,31	-1,18	-0,47	-5,32	-1,18	-0,47
						-5,32	-1,18	-0,47	-5,31	-1,18	-0,47	-5,32	-1,18	-0,47
2	7,90	77				-4,80	-1,18	-0,60	-4,80	-1,18	-0,60	-4,80	-1,18	-0,60
						-4,80	-1,18	-0,60	-4,80	-1,18	-0,60	-4,80	-1,18	-0,60
3	7,90	78				-4,34	-1,18	-0,48	-4,34	-1,18	-0,48	-4,34	-1,18	-0,48
						-4,34	-1,18	-0,48	-4,34	-1,18	-0,48	-4,34	-1,18	-0,48
4	7,90	79				-5,32	-1,53	-0,50	-5,31	-1,52	-0,50	-5,32	-1,53	-0,50
						-5,32	-1,53	-0,50	-5,31	-1,52	-0,50	-5,32	-1,53	-0,50
5	7,90	80				-4,80	-1,53	-0,62	-4,80	-1,52	-0,62	-4,80	-1,53	-0,62
						-4,80	-1,53	-0,62	-4,80	-1,52	-0,62	-4,80	-1,53	-0,62
6	7,90	81				-4,34	-1,53	-0,40	-4,34	-1,52	-0,40	-4,34	-1,53	-0,40
						-4,34	-1,53	-0,40	-4,34	-1,52	-0,40	-4,34	-1,53	-0,40
7	7,90	82				-5,32	-1,87	-0,39	-5,31	-1,87	-0,39	-5,32	-1,87	-0,39
						-5,32	-1,87	-0,39	-5,31	-1,87	-0,39	-5,32	-1,87	-0,39
8	7,90	83				-4,80	-1,87	-0,53	-4,80	-1,87	-0,53	-4,80	-1,87	-0,53
						-4,80	-1,87	-0,53	-4,80	-1,87	-0,53	-4,80	-1,87	-0,53
9	7,90	84				-4,34	-1,87	-0,39	-4,34	-1,87	-0,39	-4,34	-1,87	-0,39
						-4,34	-1,87	-0,39	-4,34	-1,87	-0,39	-4,34	-1,87	-0,39
10	7,90	85				-5,32	-2,21	-0,34	-5,31	-2,21	-0,34	-5,32	-2,21	-0,34
						-5,32	-2,21	-0,34	-5,31	-2,21	-0,34	-5,32	-2,21	-0,34
11	7,90	86				-4,80	-2,21	-0,59	-4,80	-2,21	-0,59	-4,80	-2,21	-0,59
						-4,80	-2,21	-0,59	-4,80	-2,21	-0,59	-4,80	-2,21	-0,59
12	7,90	87				-4,34	-2,21	-0,47	-4,34	-2,21	-0,47	-4,34	-2,21	-0,47
						-4,34	-2,21	-0,47	-4,34	-2,21	-0,47	-4,34	-2,21	-0,47
13	7,90	88				-5,32	-2,56	-0,39	-5,31	-2,55	-0,39	-5,32	-2,56	-0,39
						-5,32	-2,56	-0,39	-5,31	-2,55	-0,39	-5,32	-2,56	-0,39
14	7,90	89				-4,80	-2,56	-0,49	-4,80	-2,55	-0,49	-4,80	-2,56	-0,49
						-4,80	-2,56	-0,49	-4,80	-2,55	-0,49	-4,80	-2,56	-0,49
15	7,90	90				-4,34	-2,56	-0,41	-4,34	-2,55	-0,41	-4,34	-2,56	-0,41
						-4,34	-2,56	-0,41	-4,34	-2,55	-0,41	-4,34	-2,56	-0,41
16	7,90	91				-5,32	-2,90	-0,57	-5,31	-2,90	-0,57	-5,32	-2,90	-0,57
						-5,32	-2,90	-0,57	-5,31	-2,90	-0,57	-5,32	-2,90	-0,57
17	7,90	92				-4,80	-2,90	-0,62	-4,80	-2,90	-0,62	-4,80	-2,90	-0,62
						-4,80	-2,90	-0,62	-4,80	-2,90	-0,62	-4,80	-2,90	-0,62
18	7,90	93				-4,34	-2,90	-0,49	-4,34	-2,90	-0,49	-4,34	-2,90	-0,49

## CAPACITA'/DOMANDA DI SPOSTAMENTO - PUSH N.ro 30 - Prop.Massa:-Fx-0.3\*Fy-Ecc5%

IDENTIFICATIVO			CAPACITA'/DOMANDA SPOSTAMENTI PER I VARI STATI LIMITE											
Filo N.ro	Quota (m)	Nodo N.ro	----- SLO -----			----- SLD -----			----- SLV -----			----- SLC -----		
			X (mm)	Y (mm)	Z (mm)	X (mm)	Y (mm)	Z (mm)	X (mm)	Y (mm)	Z (mm)	X (mm)	Y (mm)	Z (mm)
19	7,90	94				-4,34	-2,90	-0,49	-4,34	-2,90	-0,49	-4,34	-2,90	-0,49
						-5,32	-3,24	-0,45	-5,31	-3,24	-0,45	-5,32	-3,24	-0,45
						-5,32	-3,24	-0,45	-5,31	-3,24	-0,45	-5,32	-3,24	-0,45
20	7,90	95				-4,80	-3,24	-0,50	-4,80	-3,24	-0,50	-4,80	-3,24	-0,50
						-4,80	-3,24	-0,50	-4,80	-3,24	-0,50	-4,80	-3,24	-0,50
21	7,90	96				-4,34	-3,24	-0,40	-4,34	-3,24	-0,40	-4,34	-3,24	-0,40
						-4,34	-3,24	-0,40	-4,34	-3,24	-0,40	-4,34	-3,24	-0,40
22	7,90	97				-5,32	-3,59	-0,34	-5,31	-3,58	-0,34	-5,32	-3,59	-0,34
						-5,32	-3,59	-0,34	-5,31	-3,58	-0,34	-5,32	-3,59	-0,34
23	7,90	98				-4,80	-3,59	-0,36	-4,80	-3,58	-0,36	-4,80	-3,59	-0,36
						-4,80	-3,59	-0,36	-4,80	-3,58	-0,36	-4,80	-3,59	-0,36
24	7,90	99				-4,34	-3,59	-0,12	-4,34	-3,58	-0,12	-4,34	-3,59	-0,12
						-4,34	-3,59	-0,12	-4,34	-3,58	-0,12	-4,34	-3,59	-0,12
39	7,90	100				-5,29	-1,22	-0,42	-5,28	-1,21	-0,42	-5,29	-1,22	-0,42
						-5,29	-1,22	-0,42	-5,28	-1,21	-0,42	-5,29	-1,22	-0,42
1	10,85	101				-6,35	-1,42	-0,51	-6,34	-1,41	-0,51	-6,35	-1,42	-0,51
						-6,35	-1,42	-0,51	-6,34	-1,41	-0,51	-6,35	-1,42	-0,51
2	10,85	102				-5,76	-1,42	-0,67	-5,75	-1,41	-0,67	-5,76	-1,42	-0,67
						-5,76	-1,42	-0,67	-5,75	-1,41	-0,67	-5,76	-1,42	-0,67
3	10,85	103				-5,23	-1,42	-0,50	-5,22	-1,41	-0,50	-5,23	-1,42	-0,50
						-5,23	-1,42	-0,50	-5,22	-1,41	-0,50	-5,23	-1,42	-0,50
4	10,85	104				-6,35	-1,81	-0,54	-6,34	-1,81	-0,54	-6,35	-1,81	-0,54
						-6,35	-1,81	-0,54	-6,34	-1,81	-0,54	-6,35	-1,81	-0,54
5	10,85	105				-5,76	-1,81	-0,69	-5,75	-1,81	-0,69	-5,76	-1,81	-0,69
						-5,76	-1,81	-0,69	-5,75	-1,81	-0,69	-5,76	-1,81	-0,69
6	10,85	106				-5,23	-1,81	-0,44	-5,22	-1,81	-0,44	-5,23	-1,81	-0,44
						-5,23	-1,81	-0,44	-5,22	-1,81	-0,44	-5,23	-1,81	-0,44
7	10,85	107				-6,35	-2,21	-0,46	-6,34	-2,20	-0,46	-6,35	-2,21	-0,46
						-6,35	-2,21	-0,46	-6,34	-2,20	-0,46	-6,35	-2,21	-0,46
8	10,85	108				-5,76	-2,21	-0,64	-5,75	-2,20	-0,64	-5,76	-2,21	-0,64
						-5,76	-2,21	-0,64	-5,75	-2,20	-0,64	-5,76	-2,21	-0,64
9	10,85	109				-5,23	-2,21	-0,45	-5,22	-2,20	-0,45	-5,23	-2,21	-0,45
						-5,23	-2,21	-0,45	-5,22	-2,20	-0,45	-5,23	-2,21	-0,45
10	10,85	110				-6,35	-2,60	-0,43	-6,34	-2,60	-0,43	-6,35	-2,60	-0,43
						-6,35	-2,60	-0,43	-6,34	-2,60	-0,43	-6,35	-2,60	-0,43
11	10,85	111				-5,76	-2,60	-0,65	-5,75	-2,60	-0,65	-5,76	-2,60	-0,65
						-5,76	-2,60	-0,65	-5,75	-2,60	-0,65	-5,76	-2,60	-0,65
12	10,85	112				-5,23	-2,60	-0,50	-5,22	-2,60	-0,50	-5,23	-2,60	-0,50
						-5,23	-2,60	-0,50	-5,22	-2,60	-0,50	-5,23	-2,60	-0,50
13	10,85	113				-6,35	-3,00	-0,48	-6,34	-2,99	-0,48	-6,35	-3,00	-0,48
						-6,35	-3,00	-0,48	-6,34	-2,99	-0,48	-6,35	-3,00	-0,48
14	10,85	114				-5,76	-3,00	-0,58	-5,75	-2,99	-0,58	-5,76	-3,00	-0,58
						-5,76	-3,00	-0,58	-5,75	-2,99	-0,58	-5,76	-3,00	-0,58
15	10,85	115				-5,23	-3,00	-0,47	-5,22	-2,99	-0,47	-5,23	-3,00	-0,47
						-5,23	-3,00	-0,47	-5,22	-2,99	-0,47	-5,23	-3,00	-0,47
16	10,85	116				-6,35	-3,40	-0,60	-6,34	-3,39	-0,60	-6,35	-3,40	-0,60
						-6,35	-3,40	-0,60	-6,34	-3,39	-0,60	-6,35	-3,40	-0,60
17	10,85	117				-5,76	-3,40	-0,69	-5,75	-3,39	-0,69	-5,76	-3,40	-0,69
						-5,76	-3,40	-0,69	-5,75	-3,39	-0,69	-5,76	-3,40	-0,69
18	10,85	118				-5,23	-3,40	-0,52	-5,22	-3,39	-0,52	-5,23	-3,40	-0,52
						-5,23	-3,40	-0,52	-5,22	-3,39	-0,52	-5,23	-3,40	-0,52
19	10,85	119				-6,35	-3,79	-0,52	-6,34	-3,78	-0,52	-6,35	-3,79	-0,52
						-6,35	-3,79	-0,52	-6,34	-3,78	-0,52	-6,35	-3,79	-0,52
20	10,85	120				-5,76	-3,79	-0,61	-5,75	-3,78	-0,61	-5,76	-3,79	-0,61
						-5,76	-3,79	-0,61	-5,75	-3,78	-0,61	-5,76	-3,79	-0,61
21	10,85	121				-5,23	-3,79	-0,46	-5,22	-3,78	-0,46	-5,23	-3,79	-0,46
						-5,23	-3,79	-0,46	-5,22	-3,78	-0,46	-5,23	-3,79	-0,46
22	10,85	122				-6,35	-4,19	-0,35	-6,34	-4,18	-0,35	-6,35	-4,19	-0,35
						-6,35	-4,19	-0,35	-6,34	-4,18	-0,35	-6,35	-4,19	-0,35
23	10,85	123				-5,76	-4,19	-0,42	-5,75	-4,18	-0,42	-5,76	-4,19	-0,42
						-5,76	-4,19	-0,42	-5,75	-4,18	-0,42	-5,76	-4,19	-0,42
24	10,85	124				-5,23	-4,19	-0,16	-5,22	-4,18	-0,16	-5,23	-4,19	-0,16
						-5,23	-4,19	-0,16	-5,22	-4,18	-0,16	-5,23	-4,19	-0,16
39	10,85	125				-6,31	-1,45	-0,52	-6,30	-1,45	-0,52	-6,31	-1,45	-0,52
						-6,31	-1,45	-0,52	-6,30	-1,45	-0,52	-6,31	-1,45	-0,52

## CAPACITA'/DOMANDA DI SPOSTAMENTO - PUSH N.ro 31 - Prop.Massa:+Fy-0.3\*Fx-Ecc5%

IDENTIFICATIVO			CAPACITA'/DOMANDA SPOSTAMENTI PER I VARI STATI LIMITE											
Filo N.ro	Quota (m)	Nodo N.ro	----- SLO -----			----- SLD -----			----- SLV -----			----- SLC -----		
			X (mm)	Y (mm)	Z (mm)	X (mm)	Y (mm)	Z (mm)	X (mm)	Y (mm)	Z (mm)	X (mm)	Y (mm)	Z (mm)
1	0,00	1				0,00	0,00	0,00	0,00	0,00	0,00	0,00	0,00	0,00

## CAPACITA'/DOMANDA DI SPOSTAMENTO - PUSH N.ro 31 - Prop.Massa:+Fy-0.3\*Fx-Ecc5%

IDENTIFICATIVO			CAPACITA'/DOMANDA SPOSTAMENTI PER I VARI STATI LIMITE											
Filo N.ro	Quota (m)	Nodo N.ro	----- SLO -----			----- SLD -----			----- SLV -----			----- SLC -----		
			X (mm)	Y (mm)	Z (mm)	X (mm)	Y (mm)	Z (mm)	X (mm)	Y (mm)	Z (mm)	X (mm)	Y (mm)	Z (mm)
1	2,00	2	0,00	0,00	0,00	0,00	0,00	0,00	0,00	0,00	0,00	0,00	0,00	0,00
			-0,30	1,52	0,14	-0,30	1,51	0,14	-0,30	1,51	0,14	-0,30	1,52	0,14
2	0,00	3	-0,30	1,52	0,14	-0,30	1,51	0,14	-0,30	1,51	0,14	-0,30	1,52	0,14
			0,00	0,00	0,00	0,00	0,00	0,00	0,00	0,00	0,00	0,00	0,00	0,00
2	2,00	4	0,00	0,00	0,00	0,00	0,00	0,00	0,00	0,00	0,00	0,00	0,00	0,00
			-0,21	1,52	-0,37	-0,21	1,51	-0,37	-0,21	1,51	-0,37	-0,21	1,52	-0,37
3	0,00	5	-0,21	1,52	-0,37	-0,21	1,51	-0,37	-0,21	1,51	-0,37	-0,21	1,52	-0,37
			0,00	0,00	0,00	0,00	0,00	0,00	0,00	0,00	0,00	0,00	0,00	0,00
3	2,00	6	0,00	0,00	0,00	0,00	0,00	0,00	0,00	0,00	0,00	0,00	0,00	0,00
			-0,13	1,52	-0,20	-0,13	1,51	-0,20	-0,13	1,51	-0,20	-0,13	1,52	-0,20
4	0,00	7	-0,13	1,52	-0,20	-0,13	1,51	-0,20	-0,13	1,51	-0,20	-0,13	1,52	-0,20
			0,00	0,00	0,00	0,00	0,00	0,00	0,00	0,00	0,00	0,00	0,00	0,00
4	2,00	8	0,00	0,00	0,00	0,00	0,00	0,00	0,00	0,00	0,00	0,00	0,00	0,00
			-0,30	1,46	-0,15	-0,30	1,45	-0,15	-0,30	1,45	-0,15	-0,30	1,46	-0,15
5	0,00	9	-0,30	1,46	-0,15	-0,30	1,45	-0,15	-0,30	1,45	-0,15	-0,30	1,46	-0,15
			0,00	0,00	0,00	0,00	0,00	0,00	0,00	0,00	0,00	0,00	0,00	0,00
5	2,00	10	0,00	0,00	0,00	0,00	0,00	0,00	0,00	0,00	0,00	0,00	0,00	0,00
			-0,21	1,46	-0,18	-0,21	1,45	-0,18	-0,21	1,45	-0,18	-0,21	1,46	-0,18
6	0,00	11	-0,21	1,46	-0,18	-0,21	1,45	-0,18	-0,21	1,45	-0,18	-0,21	1,46	-0,18
			0,00	0,00	0,00	0,00	0,00	0,00	0,00	0,00	0,00	0,00	0,00	0,00
6	2,00	12	0,00	0,00	0,00	0,00	0,00	0,00	0,00	0,00	0,00	0,00	0,00	0,00
			-0,13	1,46	-0,19	-0,13	1,45	-0,19	-0,13	1,45	-0,19	-0,13	1,46	-0,19
7	0,00	13	-0,13	1,46	-0,19	-0,13	1,45	-0,19	-0,13	1,45	-0,19	-0,13	1,46	-0,19
			0,00	0,00	0,00	0,00	0,00	0,00	0,00	0,00	0,00	0,00	0,00	0,00
7	2,00	14	0,00	0,00	0,00	0,00	0,00	0,00	0,00	0,00	0,00	0,00	0,00	0,00
			-0,30	1,40	-0,10	-0,30	1,39	-0,10	-0,30	1,39	-0,10	-0,30	1,40	-0,10
8	0,00	15	-0,30	1,40	-0,10	-0,30	1,39	-0,10	-0,30	1,39	-0,10	-0,30	1,40	-0,10
			0,00	0,00	0,00	0,00	0,00	0,00	0,00	0,00	0,00	0,00	0,00	0,00
8	2,00	16	0,00	0,00	0,00	0,00	0,00	0,00	0,00	0,00	0,00	0,00	0,00	0,00
			-0,21	1,40	-0,17	-0,21	1,39	-0,17	-0,21	1,39	-0,17	-0,21	1,40	-0,17
9	0,00	17	-0,21	1,40	-0,17	-0,21	1,39	-0,17	-0,21	1,39	-0,17	-0,21	1,40	-0,17
			0,00	0,00	0,00	0,00	0,00	0,00	0,00	0,00	0,00	0,00	0,00	0,00
9	2,00	18	0,00	0,00	0,00	0,00	0,00	0,00	0,00	0,00	0,00	0,00	0,00	0,00
			-0,13	1,40	-0,18	-0,13	1,39	-0,18	-0,13	1,39	-0,18	-0,13	1,40	-0,18
10	0,00	19	-0,13	1,40	-0,18	-0,13	1,39	-0,18	-0,13	1,39	-0,18	-0,13	1,40	-0,18
			0,00	0,00	0,00	0,00	0,00	0,00	0,00	0,00	0,00	0,00	0,00	0,00
10	2,00	20	0,00	0,00	0,00	0,00	0,00	0,00	0,00	0,00	0,00	0,00	0,00	0,00
			-0,30	1,34	-0,33	-0,30	1,34	-0,33	-0,30	1,34	-0,33	-0,30	1,34	-0,33
11	0,00	21	-0,30	1,34	-0,33	-0,30	1,34	-0,33	-0,30	1,34	-0,33	-0,30	1,34	-0,33
			0,00	0,00	0,00	0,00	0,00	0,00	0,00	0,00	0,00	0,00	0,00	0,00
11	2,00	22	0,00	0,00	0,00	0,00	0,00	0,00	0,00	0,00	0,00	0,00	0,00	0,00
			-0,21	1,34	-0,28	-0,21	1,34	-0,28	-0,21	1,34	-0,28	-0,21	1,34	-0,28
12	0,00	23	-0,21	1,34	-0,28	-0,21	1,34	-0,28	-0,21	1,34	-0,28	-0,21	1,34	-0,28
			0,00	0,00	0,00	0,00	0,00	0,00	0,00	0,00	0,00	0,00	0,00	0,00
12	2,00	24	0,00	0,00	0,00	0,00	0,00	0,00	0,00	0,00	0,00	0,00	0,00	0,00
			-0,13	1,34	-0,18	-0,13	1,34	-0,18	-0,13	1,34	-0,18	-0,13	1,34	-0,18
13	0,00	25	-0,13	1,34	-0,18	-0,13	1,34	-0,18	-0,13	1,34	-0,18	-0,13	1,34	-0,18
			0,00	0,00	0,00	0,00	0,00	0,00	0,00	0,00	0,00	0,00	0,00	0,00
13	2,00	26	0,00	0,00	0,00	0,00	0,00	0,00	0,00	0,00	0,00	0,00	0,00	0,00
			-0,30	1,28	-0,32	-0,30	1,28	-0,32	-0,30	1,28	-0,32	-0,30	1,28	-0,32
14	0,00	27	-0,30	1,28	-0,32	-0,30	1,28	-0,32	-0,30	1,28	-0,32	-0,30	1,28	-0,32
			0,00	0,00	0,00	0,00	0,00	0,00	0,00	0,00	0,00	0,00	0,00	0,00
14	2,00	28	0,00	0,00	0,00	0,00	0,00	0,00	0,00	0,00	0,00	0,00	0,00	0,00
			-0,21	1,28	-0,25	-0,21	1,28	-0,25	-0,21	1,28	-0,25	-0,21	1,28	-0,25
15	0,00	29	-0,21	1,28	-0,25	-0,21	1,28	-0,25	-0,21	1,28	-0,25	-0,21	1,28	-0,25
			0,00	0,00	0,00	0,00	0,00	0,00	0,00	0,00	0,00	0,00	0,00	0,00
15	2,00	30	0,00	0,00	0,00	0,00	0,00	0,00	0,00	0,00	0,00	0,00	0,00	0,00
			-0,13	1,28	-0,16	-0,13	1,28	-0,16	-0,13	1,28	-0,16	-0,13	1,28	-0,16
16	0,00	31	-0,13	1,28	-0,16	-0,13	1,28	-0,16	-0,13	1,28	-0,16	-0,13	1,28	-0,16
			0,00	0,00	0,00	0,00	0,00	0,00	0,00	0,00	0,00	0,00	0,00	0,00
16	2,00	32	0,00	0,00	0,00	0,00	0,00	0,00	0,00	0,00	0,00	0,00	0,00	0,00
			-0,30	1,22	-0,18	-0,30	1,22	-0,18	-0,30	1,22	-0,18	-0,30	1,22	-0,18
17	0,00	33	-0,30	1,22	-0,18	-0,30	1,22	-0,18	-0,30	1,22	-0,18	-0,30	1,22	-0,18
			0,00	0,00	0,00	0,00	0,00	0,00	0,00	0,00	0,00	0,00	0,00	0,00
17	2,00	34	0,00	0,00	0,00	0,00	0,00	0,00	0,00	0,00	0,00	0,00	0,00	0,00
			-0,21	1,22	-0,21	-0,21	1,22	-0,21	-0,21	1,22	-0,21	-0,21	1,22	-0,21
18	0,00	35	-0,21	1,22	-0,21	-0,21	1,22	-0,21	-0,21	1,22	-0,21	-0,21	1,22	-0,21
			0,00	0,00	0,00	0,00	0,00	0,00	0,00	0,00	0,00	0,00	0,00	0,00
18	2,00	36	0,00	0,00	0,00	0,00	0,00	0,00	0,00	0,00	0,00	0,00	0,00	0,00
			-0,13	1,22	-0,22	-0,13	1,22	-0,22	-0,13	1,22	-0,22	-0,13	1,22	-0,22
19	0,00	37	-0,13	1,22	-0,22	-0,13	1,22	-0,22	-0,13	1,22	-0,22	-0,13	1,22	-0,22
			0,00	0,00	0,00	0,00	0,00	0,00	0,00	0,00	0,00	0,00	0,00	0,00

## CAPACITA'/DOMANDA DI SPOSTAMENTO - PUSH N.ro 31 - Prop.Massa:+Fy-0.3\*Fx-Ecc5%

IDENTIFICATIVO			CAPACITA'/DOMANDA SPOSTAMENTI PER I VARI STATI LIMITE											
Filo N.ro	Quota (m)	Nodo N.ro	----- SLO -----			----- SLD -----			----- SLV -----			----- SLC -----		
			X (mm)	Y (mm)	Z (mm)	X (mm)	Y (mm)	Z (mm)	X (mm)	Y (mm)	Z (mm)	X (mm)	Y (mm)	Z (mm)
19	2,00	38	0,00	0,00	0,00	0,00	0,00	0,00	0,00	0,00	0,00	0,00	0,00	0,00
			-0,30	1,17	-0,12	-0,30	1,16	-0,12	-0,30	1,16	-0,12	-0,30	1,17	-0,12
20	0,00	39	-0,30	1,17	-0,12	-0,30	1,16	-0,12	-0,30	1,16	-0,12	-0,30	1,17	-0,12
			0,00	0,00	0,00	0,00	0,00	0,00	0,00	0,00	0,00	0,00	0,00	0,00
20	2,00	40	0,00	0,00	0,00	0,00	0,00	0,00	0,00	0,00	0,00	0,00	0,00	0,00
			-0,21	1,17	-0,14	-0,21	1,16	-0,14	-0,21	1,16	-0,14	-0,21	1,17	-0,14
21	0,00	41	-0,21	1,17	-0,14	-0,21	1,16	-0,14	-0,21	1,16	-0,14	-0,21	1,17	-0,14
			0,00	0,00	0,00	0,00	0,00	0,00	0,00	0,00	0,00	0,00	0,00	0,00
21	2,00	42	0,00	0,00	0,00	0,00	0,00	0,00	0,00	0,00	0,00	0,00	0,00	0,00
			-0,13	1,17	-0,19	-0,13	1,16	-0,19	-0,13	1,16	-0,19	-0,13	1,17	-0,19
22	0,00	43	-0,13	1,17	-0,19	-0,13	1,16	-0,19	-0,13	1,16	-0,19	-0,13	1,17	-0,19
			0,00	0,00	0,00	0,00	0,00	0,00	0,00	0,00	0,00	0,00	0,00	0,00
22	2,00	44	0,00	0,00	0,00	0,00	0,00	0,00	0,00	0,00	0,00	0,00	0,00	0,00
			-0,30	1,11	0,09	-0,30	1,10	0,09	-0,30	1,10	0,09	-0,30	1,11	0,09
23	0,00	45	-0,30	1,11	0,09	-0,30	1,10	0,09	-0,30	1,10	0,09	-0,30	1,11	0,09
			0,00	0,00	0,00	0,00	0,00	0,00	0,00	0,00	0,00	0,00	0,00	0,00
23	2,00	46	0,00	0,00	0,00	0,00	0,00	0,00	0,00	0,00	0,00	0,00	0,00	0,00
			-0,21	1,11	-0,29	-0,21	1,10	-0,29	-0,21	1,10	-0,29	-0,21	1,11	-0,29
24	0,00	47	-0,21	1,11	-0,29	-0,21	1,10	-0,29	-0,21	1,10	-0,29	-0,21	1,11	-0,29
			0,00	0,00	0,00	0,00	0,00	0,00	0,00	0,00	0,00	0,00	0,00	0,00
24	2,00	48	0,00	0,00	0,00	0,00	0,00	0,00	0,00	0,00	0,00	0,00	0,00	0,00
			-0,13	1,11	-0,15	-0,13	1,10	-0,15	-0,13	1,10	-0,15	-0,13	1,11	-0,15
31	2,00	49	-0,13	1,11	-0,15	-0,13	1,10	-0,15	-0,13	1,10	-0,15	-0,13	1,11	-0,15
			-0,21	1,31	-0,23	-0,21	1,31	-0,23	-0,21	1,31	-0,23	-0,21	1,31	-0,23
39	2,00	50	-0,21	1,31	-0,23	-0,21	1,31	-0,23	-0,21	1,31	-0,23	-0,21	1,31	-0,23
			-0,29	1,51	-0,18	-0,29	1,50	-0,18	-0,29	1,50	-0,18	-0,29	1,51	-0,18
1	4,95	51	-0,29	1,51	-0,18	-0,29	1,50	-0,18	-0,29	1,50	-0,18	-0,29	1,51	-0,18
			-1,20	6,24	0,09	-1,20	6,21	0,09	-1,20	6,21	0,09	-1,20	6,24	0,09
2	4,95	52	-1,20	6,24	0,09	-1,20	6,21	0,09	-1,20	6,21	0,09	-1,20	6,24	0,09
			-0,85	6,24	-0,60	-0,85	6,21	-0,59	-0,85	6,21	-0,59	-0,85	6,24	-0,60
3	4,95	53	-0,85	6,24	-0,60	-0,85	6,21	-0,59	-0,85	6,21	-0,59	-0,85	6,24	-0,60
			-0,54	6,24	-0,40	-0,54	6,21	-0,40	-0,54	6,21	-0,40	-0,54	6,24	-0,40
4	4,95	54	-0,54	6,24	-0,40	-0,54	6,21	-0,40	-0,54	6,21	-0,40	-0,54	6,24	-0,40
			-1,20	6,00	-0,30	-1,20	5,98	-0,30	-1,20	5,98	-0,30	-1,20	6,00	-0,30
5	4,95	55	-1,20	6,00	-0,30	-1,20	5,98	-0,30	-1,20	5,98	-0,30	-1,20	6,00	-0,30
			-0,85	6,00	-0,36	-0,85	5,98	-0,36	-0,85	5,98	-0,36	-0,85	6,00	-0,36
6	4,95	56	-0,85	6,00	-0,36	-0,85	5,98	-0,36	-0,85	5,98	-0,36	-0,85	6,00	-0,36
			-0,54	6,00	-0,39	-0,54	5,98	-0,39	-0,54	5,98	-0,39	-0,54	6,00	-0,39
7	4,95	57	-0,54	6,00	-0,39	-0,54	5,98	-0,39	-0,54	5,98	-0,39	-0,54	6,00	-0,39
			-1,20	5,77	-0,25	-1,20	5,75	-0,25	-1,20	5,75	-0,25	-1,20	5,77	-0,25
8	4,95	58	-1,20	5,77	-0,25	-1,20	5,75	-0,25	-1,20	5,75	-0,25	-1,20	5,77	-0,25
			-0,85	5,77	-0,39	-0,85	5,75	-0,39	-0,85	5,75	-0,39	-0,85	5,77	-0,39
9	4,95	59	-0,85	5,77	-0,39	-0,85	5,75	-0,39	-0,85	5,75	-0,39	-0,85	5,77	-0,39
			-0,54	5,77	-0,40	-0,54	5,75	-0,40	-0,54	5,75	-0,40	-0,54	5,77	-0,40
10	4,95	60	-0,54	5,77	-0,40	-0,54	5,75	-0,40	-0,54	5,75	-0,40	-0,54	5,77	-0,40
			-1,20	5,53	-0,55	-1,20	5,51	-0,55	-1,20	5,51	-0,55	-1,20	5,53	-0,55
11	4,95	61	-1,20	5,53	-0,55	-1,20	5,51	-0,55	-1,20	5,51	-0,55	-1,20	5,53	-0,55
			-0,85	5,53	-0,57	-0,85	5,51	-0,57	-0,85	5,51	-0,57	-0,85	5,53	-0,57
12	4,95	62	-0,85	5,53	-0,57	-0,85	5,51	-0,57	-0,85	5,51	-0,57	-0,85	5,53	-0,57
			-0,54	5,53	-0,37	-0,54	5,51	-0,37	-0,54	5,51	-0,37	-0,54	5,53	-0,37
13	4,95	63	-0,54	5,53	-0,37	-0,54	5,51	-0,37	-0,54	5,51	-0,37	-0,54	5,53	-0,37
			-1,20	5,30	-0,56	-1,20	5,28	-0,56	-1,20	5,28	-0,56	-1,20	5,30	-0,56
14	4,95	64	-1,20	5,30	-0,56	-1,20	5,28	-0,56	-1,20	5,28	-0,56	-1,20	5,30	-0,56
			-0,85	5,30	-0,54	-0,85	5,28	-0,54	-0,85	5,28	-0,54	-0,85	5,30	-0,54
15	4,95	65	-0,85	5,30	-0,54	-0,85	5,28	-0,54	-0,85	5,28	-0,54	-0,85	5,30	-0,54
			-0,54	5,30	-0,34	-0,54	5,28	-0,34	-0,54	5,28	-0,34	-0,54	5,30	-0,34
16	4,95	66	-0,54	5,30	-0,34	-0,54	5,28	-0,34	-0,54	5,28	-0,34	-0,54	5,30	-0,34
			-1,20	5,07	-0,35	-1,20	5,05	-0,35	-1,20	5,05	-0,35	-1,20	5,07	-0,35
17	4,95	67	-1,20	5,07	-0,35	-1,20	5,05	-0,35	-1,20	5,05	-0,35	-1,20	5,07	-0,35
			-0,85	5,07	-0,43	-0,85	5,05	-0,43	-0,85	5,05	-0,43	-0,85	5,07	-0,43
18	4,95	68	-0,85	5,07	-0,43	-0,85	5,05	-0,43	-0,85	5,05	-0,43	-0,85	5,07	-0,43
			-0,54	5,07	-0,45	-0,54	5,05	-0,45	-0,54	5,05	-0,45	-0,54	5,07	-0,45
19	4,95	69	-0,54	5,07	-0,45	-0,54	5,05	-0,45	-0,54	5,05	-0,45	-0,54	5,07	-0,45
			-1,20	4,83	-0,30	-1,20	4,82	-0,31	-1,20	4,82	-0,31	-1,20	4,83	-0,30
20	4,95	70	-1,20	4,83	-0,30	-1,20	4,82	-0,31	-1,20	4,82	-0,31	-1,20	4,83	-0,30
			-0,85	4,83	-0,32	-0,85	4,82	-0,32	-0,85	4,82	-0,32	-0,85	4,83	-0,32
21	4,95	71	-0,85	4,83	-0,32	-0,85	4,82	-0,32	-0,85	4,82	-0,32	-0,85	4,83	-0,32
			-0,54	4,83	-0,43	-0,54	4,82	-0,43	-0,54	4,82	-0,43	-0,54	4,83	-0,43
22	4,95	72	-0,54	4,83	-0,43	-0,54	4,82	-0,43	-0,54	4,82	-0,43	-0,54	4,83	-0,43
			-1,20	4,60	0,04	-1,20	4,58	0,04	-1,20	4,58	0,04	-1,20	4,60	0,04
23	4,95	73	-1,20	4,60	0,04	-1,20	4,58	0,04	-1,20	4,58	0,04	-1,20	4,60	0,04
			-0,85	4,60	-0,49	-0,85	4,58	-0,49	-0,85	4,58	-0,49	-0,85	4,60	-0,49

## CAPACITA'/DOMANDA DI SPOSTAMENTO - PUSH N.ro 31 - Prop.Massa:+Fy-0.3\*Fx-Ecc5%

IDENTIFICATIVO			CAPACITA'/DOMANDA SPOSTAMENTI PER I VARI STATI LIMITE											
Filo N.ro	Quota (m)	Nodo N.ro	----- SLO -----			----- SLD -----			----- SLV -----			----- SLC -----		
			X (mm)	Y (mm)	Z (mm)	X (mm)	Y (mm)	Z (mm)	X (mm)	Y (mm)	Z (mm)	X (mm)	Y (mm)	Z (mm)
24	4,95	74				-0,85	4,60	-0,49	-0,85	4,58	-0,49	-0,85	4,60	-0,49
						-0,54	4,60	-0,34	-0,54	4,58	-0,34	-0,54	4,60	-0,34
						-0,54	4,60	-0,34	-0,54	4,58	-0,34	-0,54	4,60	-0,34
39	4,95	75				-1,18	6,21	-0,33	-1,18	6,19	-0,33	-1,18	6,21	-0,33
						-1,18	6,21	-0,33	-1,18	6,19	-0,33	-1,18	6,21	-0,33
1	7,90	76				-1,87	10,27	-0,02	-1,86	10,23	-0,03	-1,87	10,27	-0,02
						-1,87	10,27	-0,02	-1,86	10,23	-0,03	-1,87	10,27	-0,02
2	7,90	77				-1,32	10,27	-0,67	-1,32	10,23	-0,67	-1,32	10,27	-0,67
						-1,32	10,27	-0,67	-1,32	10,23	-0,67	-1,32	10,27	-0,67
3	7,90	78				-0,83	10,27	-0,51	-0,83	10,23	-0,51	-0,83	10,27	-0,51
						-0,83	10,27	-0,51	-0,83	10,23	-0,51	-0,83	10,27	-0,51
4	7,90	79				-1,87	9,91	-0,39	-1,86	9,87	-0,39	-1,87	9,91	-0,39
						-1,87	9,91	-0,39	-1,86	9,87	-0,39	-1,87	9,91	-0,39
5	7,90	80				-1,32	9,91	-0,48	-1,32	9,87	-0,48	-1,32	9,91	-0,48
						-1,32	9,91	-0,48	-1,32	9,87	-0,48	-1,32	9,91	-0,48
6	7,90	81				-0,83	9,91	-0,52	-0,83	9,87	-0,52	-0,83	9,91	-0,52
						-0,83	9,91	-0,52	-0,83	9,87	-0,52	-0,83	9,91	-0,52
7	7,90	82				-1,87	9,54	-0,36	-1,86	9,51	-0,36	-1,87	9,54	-0,36
						-1,87	9,54	-0,36	-1,86	9,51	-0,36	-1,87	9,54	-0,36
8	7,90	83				-1,32	9,54	-0,55	-1,32	9,51	-0,55	-1,32	9,54	-0,55
						-1,32	9,54	-0,55	-1,32	9,51	-0,55	-1,32	9,54	-0,55
9	7,90	84				-0,83	9,54	-0,54	-0,83	9,51	-0,54	-0,83	9,54	-0,54
						-0,83	9,54	-0,54	-0,83	9,51	-0,54	-0,83	9,54	-0,54
10	7,90	85				-1,87	9,18	-0,49	-1,86	9,14	-0,49	-1,87	9,18	-0,49
						-1,87	9,18	-0,49	-1,86	9,14	-0,49	-1,87	9,18	-0,49
11	7,90	86				-1,32	9,18	-0,74	-1,32	9,14	-0,74	-1,32	9,18	-0,74
						-1,32	9,18	-0,74	-1,32	9,14	-0,74	-1,32	9,18	-0,74
12	7,90	87				-0,83	9,18	-0,48	-0,83	9,14	-0,48	-0,83	9,18	-0,48
						-0,83	9,18	-0,48	-0,83	9,14	-0,48	-0,83	9,18	-0,48
13	7,90	88				-1,87	8,81	-0,51	-1,86	8,78	-0,51	-1,87	8,81	-0,51
						-1,87	8,81	-0,51	-1,86	8,78	-0,51	-1,87	8,81	-0,51
14	7,90	89				-1,32	8,81	-0,73	-1,32	8,78	-0,73	-1,32	8,81	-0,73
						-1,32	8,81	-0,73	-1,32	8,78	-0,73	-1,32	8,81	-0,73
15	7,90	90				-0,83	8,81	-0,47	-0,83	8,78	-0,47	-0,83	8,81	-0,47
						-0,83	8,81	-0,47	-0,83	8,78	-0,47	-0,83	8,81	-0,47
16	7,90	91				-1,87	8,45	-0,45	-1,86	8,42	-0,45	-1,87	8,45	-0,45
						-1,87	8,45	-0,45	-1,86	8,42	-0,45	-1,87	8,45	-0,45
17	7,90	92				-1,32	8,45	-0,58	-1,32	8,42	-0,58	-1,32	8,45	-0,58
						-1,32	8,45	-0,58	-1,32	8,42	-0,58	-1,32	8,45	-0,58
18	7,90	93				-0,83	8,45	-0,58	-0,83	8,42	-0,58	-0,83	8,45	-0,58
						-0,83	8,45	-0,58	-0,83	8,42	-0,58	-0,83	8,45	-0,58
19	7,90	94				-1,87	8,08	-0,43	-1,86	8,05	-0,43	-1,87	8,08	-0,43
						-1,87	8,08	-0,43	-1,86	8,05	-0,43	-1,87	8,08	-0,43
20	7,90	95				-1,32	8,08	-0,46	-1,32	8,05	-0,46	-1,32	8,08	-0,46
						-1,32	8,08	-0,46	-1,32	8,05	-0,46	-1,32	8,08	-0,46
21	7,90	96				-0,83	8,08	-0,58	-0,83	8,05	-0,58	-0,83	8,08	-0,58
						-0,83	8,08	-0,58	-0,83	8,05	-0,58	-0,83	8,08	-0,58
22	7,90	97				-1,87	7,71	-0,06	-1,86	7,69	-0,06	-1,87	7,71	-0,06
						-1,87	7,71	-0,06	-1,86	7,69	-0,06	-1,87	7,71	-0,06
23	7,90	98				-1,32	7,71	-0,58	-1,32	7,69	-0,58	-1,32	7,71	-0,58
						-1,32	7,71	-0,58	-1,32	7,69	-0,58	-1,32	7,71	-0,58
24	7,90	99				-0,83	7,71	-0,46	-0,83	7,69	-0,46	-0,83	7,71	-0,46
						-0,83	7,71	-0,46	-0,83	7,69	-0,46	-0,83	7,71	-0,46
39	7,90	100				-1,84	10,24	-0,34	-1,83	10,20	-0,34	-1,84	10,24	-0,34
						-1,84	10,24	-0,34	-1,83	10,20	-0,34	-1,84	10,24	-0,34
1	10,85	101				-2,24	12,78	-0,10	-2,23	12,74	-0,10	-2,24	12,78	-0,10
						-2,24	12,78	-0,10	-2,23	12,74	-0,10	-2,24	12,78	-0,10
2	10,85	102				-1,58	12,78	-0,69	-1,58	12,74	-0,69	-1,58	12,78	-0,69
						-1,58	12,78	-0,69	-1,58	12,74	-0,69	-1,58	12,78	-0,69
3	10,85	103				-0,99	12,78	-0,55	-0,99	12,74	-0,55	-0,99	12,78	-0,55
						-0,99	12,78	-0,55	-0,99	12,74	-0,55	-0,99	12,78	-0,55
4	10,85	104				-2,24	12,35	-0,43	-2,23	12,30	-0,43	-2,24	12,35	-0,43
						-2,24	12,35	-0,43	-2,23	12,30	-0,43	-2,24	12,35	-0,43
5	10,85	105				-1,58	12,35	-0,56	-1,58	12,30	-0,56	-1,58	12,35	-0,56
						-1,58	12,35	-0,56	-1,58	12,30	-0,56	-1,58	12,35	-0,56
6	10,85	106				-0,99	12,35	-0,57	-0,99	12,30	-0,57	-0,99	12,35	-0,57
						-0,99	12,35	-0,57	-0,99	12,30	-0,57	-0,99	12,35	-0,57
7	10,85	107				-2,24	11,91	-0,41	-2,23	11,86	-0,41	-2,24	11,91	-0,41
						-2,24	11,91	-0,41	-2,23	11,86	-0,41	-2,24	11,91	-0,41
8	10,85	108				-1,58	11,91	-0,65	-1,58	11,86	-0,65	-1,58	11,91	-0,65
						-1,58	11,91	-0,65	-1,58	11,86	-0,65	-1,58	11,91	-0,65
9	10,85	109				-0,99	11,91	-0,59	-0,99	11,86	-0,59	-0,99	11,91	-0,59

## CAPACITA'/DOMANDA DI SPOSTAMENTO - PUSH N.ro 31 - Prop.Massa:+Fy-0.3\*Fx-Ecc5%

IDENTIFICATIVO			CAPACITA'/DOMANDA SPOSTAMENTI PER I VARI STATI LIMITE											
Filo N.ro	Quota (m)	Nodo N.ro	----- SLO -----			----- SLD -----			----- SLV -----			----- SLC -----		
			X (mm)	Y (mm)	Z (mm)	X (mm)	Y (mm)	Z (mm)	X (mm)	Y (mm)	Z (mm)	X (mm)	Y (mm)	Z (mm)
10	10,85	110				-0,99	11,91	-0,59	-0,99	11,86	-0,59	-0,99	11,91	-0,59
						-2,24	11,47	-0,46	-2,23	11,43	-0,46	-2,24	11,47	-0,46
						-2,24	11,47	-0,46	-2,23	11,43	-0,46	-2,24	11,47	-0,46
11	10,85	111				-1,58	11,47	-0,82	-1,58	11,43	-0,82	-1,58	11,47	-0,82
						-1,58	11,47	-0,82	-1,58	11,43	-0,82	-1,58	11,47	-0,82
12	10,85	112				-0,99	11,47	-0,53	-0,99	11,43	-0,53	-0,99	11,47	-0,53
						-0,99	11,47	-0,53	-0,99	11,43	-0,53	-0,99	11,47	-0,53
13	10,85	113				-2,24	11,03	-0,48	-2,23	10,99	-0,48	-2,24	11,03	-0,48
						-2,24	11,03	-0,48	-2,23	10,99	-0,48	-2,24	11,03	-0,48
14	10,85	114				-1,58	11,03	-0,82	-1,58	10,99	-0,82	-1,58	11,03	-0,82
						-1,58	11,03	-0,82	-1,58	10,99	-0,82	-1,58	11,03	-0,82
15	10,85	115				-0,99	11,03	-0,52	-0,99	10,99	-0,52	-0,99	11,03	-0,52
						-0,99	11,03	-0,52	-0,99	10,99	-0,52	-0,99	11,03	-0,52
16	10,85	116				-2,24	10,59	-0,49	-2,23	10,56	-0,49	-2,24	10,59	-0,49
						-2,24	10,59	-0,49	-2,23	10,56	-0,49	-2,24	10,59	-0,49
17	10,85	117				-1,58	10,59	-0,67	-1,58	10,56	-0,67	-1,58	10,59	-0,67
						-1,58	10,59	-0,67	-1,58	10,56	-0,67	-1,58	10,59	-0,67
18	10,85	118				-0,99	10,59	-0,63	-0,99	10,56	-0,63	-0,99	10,59	-0,63
						-0,99	10,59	-0,63	-0,99	10,56	-0,63	-0,99	10,59	-0,63
19	10,85	119				-2,24	10,16	-0,49	-2,23	10,12	-0,49	-2,24	10,16	-0,49
						-2,24	10,16	-0,49	-2,23	10,12	-0,49	-2,24	10,16	-0,49
20	10,85	120				-1,58	10,16	-0,54	-1,58	10,12	-0,54	-1,58	10,16	-0,54
						-1,58	10,16	-0,54	-1,58	10,12	-0,54	-1,58	10,16	-0,54
21	10,85	121				-0,99	10,16	-0,64	-0,99	10,12	-0,64	-0,99	10,16	-0,64
						-0,99	10,16	-0,64	-0,99	10,12	-0,64	-0,99	10,16	-0,64
22	10,85	122				-2,24	9,72	-0,12	-2,23	9,69	-0,12	-2,24	9,72	-0,12
						-2,24	9,72	-0,12	-2,23	9,69	-0,12	-2,24	9,72	-0,12
23	10,85	123				-1,58	9,72	-0,60	-1,58	9,69	-0,60	-1,58	9,72	-0,60
						-1,58	9,72	-0,60	-1,58	9,69	-0,60	-1,58	9,72	-0,60
24	10,85	124				-0,99	9,72	-0,51	-0,99	9,69	-0,51	-0,99	9,72	-0,51
						-0,99	9,72	-0,51	-0,99	9,69	-0,51	-0,99	9,72	-0,51
39	10,85	125				-2,20	12,74	-0,29	-2,19	12,69	-0,29	-2,20	12,74	-0,29
						-2,20	12,74	-0,29	-2,19	12,69	-0,29	-2,20	12,74	-0,29

## CAPACITA'/DOMANDA DI SPOSTAMENTO - PUSH N.ro 32 - Prop.Massa:-Fy-0.3\*Fx-Ecc5%

IDENTIFICATIVO			CAPACITA'/DOMANDA SPOSTAMENTI PER I VARI STATI LIMITE											
Filo N.ro	Quota (m)	Nodo N.ro	----- SLO -----			----- SLD -----			----- SLV -----			----- SLC -----		
			X (mm)	Y (mm)	Z (mm)	X (mm)	Y (mm)	Z (mm)	X (mm)	Y (mm)	Z (mm)	X (mm)	Y (mm)	Z (mm)
1	0,00	1				0,00	0,00	0,00	0,00	0,00	0,00	0,00	0,00	0,00
						0,00	0,00	0,00	0,00	0,00	0,00	0,00	0,00	0,00
1	2,00	2				-0,30	-0,79	-0,26	-0,30	-0,78	-0,26	-0,30	-0,79	-0,26
						-0,30	-0,79	-0,26	-0,30	-0,78	-0,26	-0,30	-0,79	-0,26
2	0,00	3				0,00	0,00	0,00	0,00	0,00	0,00	0,00	0,00	0,00
						0,00	0,00	0,00	0,00	0,00	0,00	0,00	0,00	0,00
2	2,00	4				-0,19	-0,79	-0,10	-0,19	-0,78	-0,10	-0,19	-0,79	-0,10
						-0,19	-0,79	-0,10	-0,19	-0,78	-0,10	-0,19	-0,79	-0,10
3	0,00	5				0,00	0,00	0,00	0,00	0,00	0,00	0,00	0,00	0,00
						0,00	0,00	0,00	0,00	0,00	0,00	0,00	0,00	0,00
3	2,00	6				-0,09	-0,79	-0,09	-0,09	-0,78	-0,09	-0,09	-0,79	-0,09
						-0,09	-0,79	-0,09	-0,09	-0,78	-0,09	-0,09	-0,79	-0,09
4	0,00	7				0,00	0,00	0,00	0,00	0,00	0,00	0,00	0,00	0,00
						0,00	0,00	0,00	0,00	0,00	0,00	0,00	0,00	0,00
4	2,00	8				-0,30	-0,86	-0,19	-0,30	-0,85	-0,19	-0,30	-0,86	-0,19
						-0,30	-0,86	-0,19	-0,30	-0,85	-0,19	-0,30	-0,86	-0,19
5	0,00	9				0,00	0,00	0,00	0,00	0,00	0,00	0,00	0,00	0,00
						0,00	0,00	0,00	0,00	0,00	0,00	0,00	0,00	0,00
5	2,00	10				-0,19	-0,86	-0,22	-0,19	-0,85	-0,22	-0,19	-0,86	-0,22
						-0,19	-0,86	-0,22	-0,19	-0,85	-0,22	-0,19	-0,86	-0,22
6	0,00	11				0,00	0,00	0,00	0,00	0,00	0,00	0,00	0,00	0,00
						0,00	0,00	0,00	0,00	0,00	0,00	0,00	0,00	0,00
6	2,00	12				-0,09	-0,86	-0,11	-0,09	-0,85	-0,11	-0,09	-0,86	-0,11
						-0,09	-0,86	-0,11	-0,09	-0,85	-0,11	-0,09	-0,86	-0,11
7	0,00	13				0,00	0,00	0,00	0,00	0,00	0,00	0,00	0,00	0,00
						0,00	0,00	0,00	0,00	0,00	0,00	0,00	0,00	0,00
7	2,00	14				-0,30	-0,93	-0,14	-0,30	-0,92	-0,14	-0,30	-0,93	-0,14
						-0,30	-0,93	-0,14	-0,30	-0,92	-0,14	-0,30	-0,93	-0,14
8	0,00	15				0,00	0,00	0,00	0,00	0,00	0,00	0,00	0,00	0,00
						0,00	0,00	0,00	0,00	0,00	0,00	0,00	0,00	0,00
8	2,00	16				-0,19	-0,93	-0,17	-0,19	-0,92	-0,17	-0,19	-0,93	-0,17
						-0,19	-0,93	-0,17	-0,19	-0,92	-0,17	-0,19	-0,93	-0,17
9	0,00	17				0,00	0,00	0,00	0,00	0,00	0,00	0,00	0,00	0,00

## CAPACITA'/DOMANDA DI SPOSTAMENTO - PUSH N.ro 32 - Prop.Massa:-Fy-0.3\*Fx-Ecc5%

IDENTIFICATIVO			CAPACITA'/DOMANDA SPOSTAMENTI PER I VARI STATI LIMITE											
Filo N.ro	Quota (m)	Nodo N.ro	----- SLO -----			----- SLD -----			----- SLV -----			----- SLC -----		
			X (mm)	Y (mm)	Z (mm)	X (mm)	Y (mm)	Z (mm)	X (mm)	Y (mm)	Z (mm)	X (mm)	Y (mm)	Z (mm)
9	2,00	18	0,00	0,00	0,00	0,00	0,00	0,00	0,00	0,00	0,00	0,00	0,00	0,00
			-0,09	-0,93	-0,12	-0,09	-0,92	-0,12	-0,09	-0,92	-0,12	-0,09	-0,93	-0,12
			-0,09	-0,93	-0,12	-0,09	-0,92	-0,12	-0,09	-0,92	-0,12	-0,09	-0,93	-0,12
10	0,00	19	0,00	0,00	0,00	0,00	0,00	0,00	0,00	0,00	0,00	0,00	0,00	0,00
			0,00	0,00	0,00	0,00	0,00	0,00	0,00	0,00	0,00	0,00	0,00	0,00
10	2,00	20	-0,30	-1,00	-0,03	-0,30	-0,99	-0,03	-0,30	-0,99	-0,03	-0,30	-1,00	-0,03
			-0,30	-1,00	-0,03	-0,30	-0,99	-0,03	-0,30	-0,99	-0,03	-0,30	-1,00	-0,03
11	0,00	21	0,00	0,00	0,00	0,00	0,00	0,00	0,00	0,00	0,00	0,00	0,00	0,00
			0,00	0,00	0,00	0,00	0,00	0,00	0,00	0,00	0,00	0,00	0,00	0,00
11	2,00	22	-0,19	-1,00	-0,15	-0,19	-0,99	-0,16	-0,19	-0,99	-0,16	-0,19	-1,00	-0,15
			-0,19	-1,00	-0,15	-0,19	-0,99	-0,16	-0,19	-0,99	-0,16	-0,19	-1,00	-0,15
12	0,00	23	0,00	0,00	0,00	0,00	0,00	0,00	0,00	0,00	0,00	0,00	0,00	0,00
			0,00	0,00	0,00	0,00	0,00	0,00	0,00	0,00	0,00	0,00	0,00	0,00
12	2,00	24	-0,09	-1,00	-0,15	-0,09	-0,99	-0,15	-0,09	-0,99	-0,15	-0,09	-1,00	-0,15
			-0,09	-1,00	-0,15	-0,09	-0,99	-0,15	-0,09	-0,99	-0,15	-0,09	-1,00	-0,15
13	0,00	25	0,00	0,00	0,00	0,00	0,00	0,00	0,00	0,00	0,00	0,00	0,00	0,00
			0,00	0,00	0,00	0,00	0,00	0,00	0,00	0,00	0,00	0,00	0,00	0,00
13	2,00	26	-0,30	-1,08	-0,04	-0,30	-1,06	-0,04	-0,30	-1,06	-0,04	-0,30	-1,08	-0,04
			-0,30	-1,08	-0,04	-0,30	-1,06	-0,04	-0,30	-1,06	-0,04	-0,30	-1,08	-0,04
14	0,00	27	0,00	0,00	0,00	0,00	0,00	0,00	0,00	0,00	0,00	0,00	0,00	0,00
			0,00	0,00	0,00	0,00	0,00	0,00	0,00	0,00	0,00	0,00	0,00	0,00
14	2,00	28	-0,19	-1,08	-0,12	-0,19	-1,06	-0,12	-0,19	-1,06	-0,12	-0,19	-1,08	-0,12
			-0,19	-1,08	-0,12	-0,19	-1,06	-0,12	-0,19	-1,06	-0,12	-0,19	-1,08	-0,12
15	0,00	29	0,00	0,00	0,00	0,00	0,00	0,00	0,00	0,00	0,00	0,00	0,00	0,00
			0,00	0,00	0,00	0,00	0,00	0,00	0,00	0,00	0,00	0,00	0,00	0,00
15	2,00	30	-0,09	-1,08	-0,14	-0,09	-1,06	-0,14	-0,09	-1,06	-0,14	-0,09	-1,08	-0,14
			-0,09	-1,08	-0,14	-0,09	-1,06	-0,14	-0,09	-1,06	-0,14	-0,09	-1,08	-0,14
16	0,00	31	0,00	0,00	0,00	0,00	0,00	0,00	0,00	0,00	0,00	0,00	0,00	0,00
			0,00	0,00	0,00	0,00	0,00	0,00	0,00	0,00	0,00	0,00	0,00	0,00
16	2,00	32	-0,30	-1,15	-0,22	-0,30	-1,14	-0,22	-0,30	-1,14	-0,22	-0,30	-1,15	-0,22
			-0,30	-1,15	-0,22	-0,30	-1,14	-0,22	-0,30	-1,14	-0,22	-0,30	-1,15	-0,22
17	0,00	33	0,00	0,00	0,00	0,00	0,00	0,00	0,00	0,00	0,00	0,00	0,00	0,00
			0,00	0,00	0,00	0,00	0,00	0,00	0,00	0,00	0,00	0,00	0,00	0,00
17	2,00	34	-0,19	-1,15	-0,21	-0,19	-1,14	-0,21	-0,19	-1,14	-0,21	-0,19	-1,15	-0,21
			-0,19	-1,15	-0,21	-0,19	-1,14	-0,21	-0,19	-1,14	-0,21	-0,19	-1,15	-0,21
18	0,00	35	0,00	0,00	0,00	0,00	0,00	0,00	0,00	0,00	0,00	0,00	0,00	0,00
			0,00	0,00	0,00	0,00	0,00	0,00	0,00	0,00	0,00	0,00	0,00	0,00
18	2,00	36	-0,09	-1,15	-0,15	-0,09	-1,14	-0,15	-0,09	-1,14	-0,15	-0,09	-1,15	-0,15
			-0,09	-1,15	-0,15	-0,09	-1,14	-0,15	-0,09	-1,14	-0,15	-0,09	-1,15	-0,15
19	0,00	37	0,00	0,00	0,00	0,00	0,00	0,00	0,00	0,00	0,00	0,00	0,00	0,00
			0,00	0,00	0,00	0,00	0,00	0,00	0,00	0,00	0,00	0,00	0,00	0,00
19	2,00	38	-0,30	-1,22	-0,17	-0,30	-1,21	-0,17	-0,30	-1,21	-0,17	-0,30	-1,22	-0,17
			-0,30	-1,22	-0,17	-0,30	-1,21	-0,17	-0,30	-1,21	-0,17	-0,30	-1,22	-0,17
20	0,00	39	0,00	0,00	0,00	0,00	0,00	0,00	0,00	0,00	0,00	0,00	0,00	0,00
			0,00	0,00	0,00	0,00	0,00	0,00	0,00	0,00	0,00	0,00	0,00	0,00
20	2,00	40	-0,19	-1,22	-0,18	-0,19	-1,21	-0,18	-0,19	-1,21	-0,18	-0,19	-1,22	-0,18
			-0,19	-1,22	-0,18	-0,19	-1,21	-0,18	-0,19	-1,21	-0,18	-0,19	-1,22	-0,18
21	0,00	41	0,00	0,00	0,00	0,00	0,00	0,00	0,00	0,00	0,00	0,00	0,00	0,00
			0,00	0,00	0,00	0,00	0,00	0,00	0,00	0,00	0,00	0,00	0,00	0,00
21	2,00	42	-0,09	-1,22	-0,12	-0,09	-1,21	-0,12	-0,09	-1,21	-0,12	-0,09	-1,22	-0,12
			-0,09	-1,22	-0,12	-0,09	-1,21	-0,12	-0,09	-1,21	-0,12	-0,09	-1,22	-0,12
22	0,00	43	0,00	0,00	0,00	0,00	0,00	0,00	0,00	0,00	0,00	0,00	0,00	0,00
			0,00	0,00	0,00	0,00	0,00	0,00	0,00	0,00	0,00	0,00	0,00	0,00
22	2,00	44	-0,30	-1,30	-0,33	-0,30	-1,28	-0,33	-0,30	-1,28	-0,33	-0,30	-1,30	-0,33
			-0,30	-1,30	-0,33	-0,30	-1,28	-0,33	-0,30	-1,28	-0,33	-0,30	-1,30	-0,33
23	0,00	45	0,00	0,00	0,00	0,00	0,00	0,00	0,00	0,00	0,00	0,00	0,00	0,00
			0,00	0,00	0,00	0,00	0,00	0,00	0,00	0,00	0,00	0,00	0,00	0,00
23	2,00	46	-0,19	-1,30	-0,02	-0,19	-1,28	-0,02	-0,19	-1,28	-0,02	-0,19	-1,30	-0,02
			-0,19	-1,30	-0,02	-0,19	-1,28	-0,02	-0,19	-1,28	-0,02	-0,19	-1,30	-0,02
24	0,00	47	0,00	0,00	0,00	0,00	0,00	0,00	0,00	0,00	0,00	0,00	0,00	0,00
			0,00	0,00	0,00	0,00	0,00	0,00	0,00	0,00	0,00	0,00	0,00	0,00
24	2,00	48	-0,09	-1,30	-0,05	-0,09	-1,28	-0,05	-0,09	-1,28	-0,05	-0,09	-1,30	-0,05
			-0,09	-1,30	-0,05	-0,09	-1,28	-0,05	-0,09	-1,28	-0,05	-0,09	-1,30	-0,05
31	2,00	49	-0,19	-1,04	-0,13	-0,19	-1,03	-0,13	-0,19	-1,03	-0,13	-0,19	-1,04	-0,13
			-0,19	-1,04	-0,13	-0,19	-1,03	-0,13	-0,19	-1,03	-0,13	-0,19	-1,04	-0,13
39	2,00	50	-0,30	-0,79	-0,08	-0,29	-0,78	-0,08	-0,30	-0,78	-0,08	-0,30	-0,79	-0,08
			-0,30	-0,79	-0,08	-0,29	-0,78	-0,08	-0,30	-0,78	-0,08	-0,30	-0,79	-0,08
1	4,95	51	-1,21	-3,32	-0,47	-1,19	-3,28	-0,47	-1,21	-3,28	-0,47	-1,21	-3,32	-0,47
			-1,21	-3,32	-0,47	-1,19	-3,28	-0,47	-1,21	-3,28	-0,47	-1,21	-3,32	-0,47
2	4,95	52	-0,77	-3,32	-0,30	-0,77	-3,28	-0,30	-0,77	-3,28	-0,30	-0,77	-3,32	-0,30
			-0,77	-3,32	-0,30	-0,77	-3,28	-0,30	-0,77	-3,28	-0,30	-0,77	-3,32	-0,30
3	4,95	53	-0,39	-3,32	-0,18	-0,38	-3,28	-0,19	-0,39	-3,28	-0,19	-0,39	-3,32	-0,18

## CAPACITA'/DOMANDA DI SPOSTAMENTO - PUSH N.ro 32 - Prop.Massa:-Fy-0.3\*Fx-Ecc5%

IDENTIFICATIVO			CAPACITA'/DOMANDA SPOSTAMENTI PER I VARI STATI LIMITE											
Filo N.ro	Quota (m)	Nodo N.ro	----- SLO -----			----- SLD -----			----- SLV -----			----- SLC -----		
			X (mm)	Y (mm)	Z (mm)	X (mm)	Y (mm)	Z (mm)	X (mm)	Y (mm)	Z (mm)	X (mm)	Y (mm)	Z (mm)
4	4,95	54				-0,39	-3,32	-0,18	-0,38	-3,28	-0,19	-0,39	-3,32	-0,18
						-1,21	-3,61	-0,37	-1,19	-3,56	-0,37	-1,21	-3,61	-0,37
						-1,21	-3,61	-0,37	-1,19	-3,56	-0,37	-1,21	-3,61	-0,37
5	4,95	55				-0,77	-3,61	-0,46	-0,77	-3,56	-0,46	-0,77	-3,61	-0,46
						-0,77	-3,61	-0,46	-0,77	-3,56	-0,46	-0,77	-3,61	-0,46
6	4,95	56				-0,39	-3,61	-0,23	-0,38	-3,56	-0,23	-0,39	-3,61	-0,23
						-0,39	-3,61	-0,23	-0,38	-3,56	-0,23	-0,39	-3,61	-0,23
7	4,95	57				-1,21	-3,90	-0,33	-1,19	-3,85	-0,33	-1,21	-3,90	-0,33
						-1,21	-3,90	-0,33	-1,19	-3,85	-0,33	-1,21	-3,90	-0,33
8	4,95	58				-0,77	-3,90	-0,40	-0,77	-3,85	-0,40	-0,77	-3,90	-0,40
						-0,77	-3,90	-0,40	-0,77	-3,85	-0,40	-0,77	-3,90	-0,40
9	4,95	59				-0,39	-3,90	-0,26	-0,38	-3,85	-0,26	-0,39	-3,90	-0,26
						-0,39	-3,90	-0,26	-0,38	-3,85	-0,26	-0,39	-3,90	-0,26
10	4,95	60				-1,21	-4,19	-0,07	-1,19	-4,14	-0,07	-1,21	-4,19	-0,07
						-1,21	-4,19	-0,07	-1,19	-4,14	-0,07	-1,21	-4,19	-0,07
11	4,95	61				-0,77	-4,19	-0,34	-0,77	-4,14	-0,34	-0,77	-4,19	-0,34
						-0,77	-4,19	-0,34	-0,77	-4,14	-0,34	-0,77	-4,19	-0,34
12	4,95	62				-0,39	-4,19	-0,32	-0,38	-4,14	-0,32	-0,39	-4,19	-0,32
						-0,39	-4,19	-0,32	-0,38	-4,14	-0,32	-0,39	-4,19	-0,32
13	4,95	63				-1,21	-4,48	-0,08	-1,19	-4,42	-0,08	-1,21	-4,48	-0,08
						-1,21	-4,48	-0,08	-1,19	-4,42	-0,08	-1,21	-4,48	-0,08
14	4,95	64				-0,77	-4,48	-0,31	-0,77	-4,42	-0,31	-0,77	-4,48	-0,31
						-0,77	-4,48	-0,31	-0,77	-4,42	-0,31	-0,77	-4,48	-0,31
15	4,95	65				-0,39	-4,48	-0,31	-0,38	-4,42	-0,31	-0,39	-4,48	-0,31
						-0,39	-4,48	-0,31	-0,38	-4,42	-0,31	-0,39	-4,48	-0,31
16	4,95	66				-1,21	-4,77	-0,44	-1,19	-4,71	-0,43	-1,21	-4,77	-0,44
						-1,21	-4,77	-0,44	-1,19	-4,71	-0,43	-1,21	-4,77	-0,44
17	4,95	67				-0,77	-4,77	-0,43	-0,77	-4,71	-0,43	-0,77	-4,77	-0,43
						-0,77	-4,77	-0,43	-0,77	-4,71	-0,43	-0,77	-4,77	-0,43
18	4,95	68				-0,39	-4,77	-0,31	-0,38	-4,71	-0,31	-0,39	-4,77	-0,31
						-0,39	-4,77	-0,31	-0,38	-4,71	-0,31	-0,39	-4,77	-0,31
19	4,95	69				-1,21	-5,06	-0,38	-1,19	-4,99	-0,38	-1,21	-5,06	-0,38
						-1,21	-5,06	-0,38	-1,19	-4,99	-0,38	-1,21	-5,06	-0,38
20	4,95	70				-0,77	-5,06	-0,43	-0,77	-4,99	-0,43	-0,77	-5,06	-0,43
						-0,77	-5,06	-0,43	-0,77	-4,99	-0,43	-0,77	-5,06	-0,43
21	4,95	71				-0,39	-5,06	-0,27	-0,38	-4,99	-0,27	-0,39	-5,06	-0,27
						-0,39	-5,06	-0,27	-0,38	-4,99	-0,27	-0,39	-5,06	-0,27
22	4,95	72				-1,21	-5,35	-0,54	-1,19	-5,28	-0,54	-1,21	-5,35	-0,54
						-1,21	-5,35	-0,54	-1,19	-5,28	-0,54	-1,21	-5,35	-0,54
23	4,95	73				-0,77	-5,35	-0,20	-0,77	-5,28	-0,20	-0,77	-5,35	-0,20
						-0,77	-5,35	-0,20	-0,77	-5,28	-0,20	-0,77	-5,35	-0,20
24	4,95	74				-0,39	-5,35	-0,13	-0,38	-5,28	-0,14	-0,39	-5,35	-0,13
						-0,39	-5,35	-0,13	-0,38	-5,28	-0,14	-0,39	-5,35	-0,13
39	4,95	75				-1,18	-3,35	-0,25	-1,17	-3,30	-0,25	-1,18	-3,35	-0,25
						-1,18	-3,35	-0,25	-1,17	-3,30	-0,25	-1,18	-3,35	-0,25
1	7,90	76				-1,87	-5,63	-0,54	-1,85	-5,55	-0,54	-1,87	-5,63	-0,54
						-1,87	-5,63	-0,54	-1,85	-5,55	-0,54	-1,87	-5,63	-0,54
2	7,90	77				-1,20	-5,63	-0,46	-1,18	-5,55	-0,46	-1,20	-5,63	-0,46
						-1,20	-5,63	-0,46	-1,18	-5,55	-0,46	-1,20	-5,63	-0,46
3	7,90	78				-0,59	-5,63	-0,25	-0,59	-5,55	-0,25	-0,59	-5,63	-0,25
						-0,59	-5,63	-0,25	-0,59	-5,55	-0,25	-0,59	-5,63	-0,25
4	7,90	79				-1,87	-6,08	-0,48	-1,85	-6,00	-0,48	-1,87	-6,08	-0,48
						-1,87	-6,08	-0,48	-1,85	-6,00	-0,48	-1,87	-6,08	-0,48
5	7,90	80				-1,20	-6,08	-0,61	-1,18	-6,00	-0,61	-1,20	-6,08	-0,61
						-1,20	-6,08	-0,61	-1,18	-6,00	-0,61	-1,20	-6,08	-0,61
6	7,90	81				-0,59	-6,08	-0,31	-0,59	-6,00	-0,31	-0,59	-6,08	-0,31
						-0,59	-6,08	-0,31	-0,59	-6,00	-0,31	-0,59	-6,08	-0,31
7	7,90	82				-1,87	-6,53	-0,47	-1,85	-6,44	-0,47	-1,87	-6,53	-0,47
						-1,87	-6,53	-0,47	-1,85	-6,44	-0,47	-1,87	-6,53	-0,47
8	7,90	83				-1,20	-6,53	-0,56	-1,18	-6,44	-0,56	-1,20	-6,53	-0,56
						-1,20	-6,53	-0,56	-1,18	-6,44	-0,56	-1,20	-6,53	-0,56
9	7,90	84				-0,59	-6,53	-0,36	-0,59	-6,44	-0,37	-0,59	-6,53	-0,36
						-0,59	-6,53	-0,36	-0,59	-6,44	-0,37	-0,59	-6,53	-0,36
10	7,90	85				-1,87	-6,97	-0,30	-1,85	-6,88	-0,30	-1,87	-6,97	-0,30
						-1,87	-6,97	-0,30	-1,85	-6,88	-0,30	-1,87	-6,97	-0,30
11	7,90	86				-1,20	-6,97	-0,45	-1,18	-6,88	-0,45	-1,20	-6,97	-0,45
						-1,20	-6,97	-0,45	-1,18	-6,88	-0,45	-1,20	-6,97	-0,45
12	7,90	87				-0,59	-6,97	-0,43	-0,59	-6,88	-0,43	-0,59	-6,97	-0,43
						-0,59	-6,97	-0,43	-0,59	-6,88	-0,43	-0,59	-6,97	-0,43
13	7,90	88				-1,87	-7,42	-0,32	-1,85	-7,32	-0,32	-1,87	-7,42	-0,32
						-1,87	-7,42	-0,32	-1,85	-7,32	-0,32	-1,87	-7,42	-0,32
14	7,90	89				-1,20	-7,42	-0,45	-1,18	-7,32	-0,45	-1,20	-7,42	-0,45

## CAPACITA'/DOMANDA DI SPOSTAMENTO - PUSH N.ro 32 - Prop.Massa:-Fy-0.3\*Fx-Ecc5%

IDENTIFICATIVO			CAPACITA'/DOMANDA SPOSTAMENTI PER I VARI STATI LIMITE											
Filo N.ro	Quota (m)	Nodo N.ro	----- SLO -----			----- SLD -----			----- SLV -----			----- SLC -----		
			X (mm)	Y (mm)	Z (mm)	X (mm)	Y (mm)	Z (mm)	X (mm)	Y (mm)	Z (mm)	X (mm)	Y (mm)	Z (mm)
15	7,90	90				-1,20	-7,42	-0,45	-1,18	-7,32	-0,45	-1,20	-7,42	-0,45
						-0,59	-7,42	-0,42	-0,59	-7,32	-0,42	-0,59	-7,42	-0,42
						-0,59	-7,42	-0,42	-0,59	-7,32	-0,42	-0,59	-7,42	-0,42
16	7,90	91				-1,87	-7,87	-0,56	-1,85	-7,76	-0,56	-1,87	-7,87	-0,56
						-1,87	-7,87	-0,56	-1,85	-7,76	-0,56	-1,87	-7,87	-0,56
17	7,90	92				-1,20	-7,87	-0,58	-1,18	-7,76	-0,58	-1,20	-7,87	-0,58
						-1,20	-7,87	-0,58	-1,18	-7,76	-0,58	-1,20	-7,87	-0,58
18	7,90	93				-0,59	-7,87	-0,41	-0,59	-7,76	-0,41	-0,59	-7,87	-0,41
						-0,59	-7,87	-0,41	-0,59	-7,76	-0,41	-0,59	-7,87	-0,41
19	7,90	94				-1,87	-8,32	-0,53	-1,85	-8,21	-0,53	-1,87	-8,32	-0,53
						-1,87	-8,32	-0,53	-1,85	-8,21	-0,53	-1,87	-8,32	-0,53
20	7,90	95				-1,20	-8,32	-0,59	-1,18	-8,21	-0,59	-1,20	-8,32	-0,59
						-1,20	-8,32	-0,59	-1,18	-8,21	-0,59	-1,20	-8,32	-0,59
21	7,90	96				-0,59	-8,32	-0,37	-0,59	-8,21	-0,37	-0,59	-8,32	-0,37
						-0,59	-8,32	-0,37	-0,59	-8,21	-0,37	-0,59	-8,32	-0,37
22	7,90	97				-1,87	-8,77	-0,59	-1,85	-8,65	-0,59	-1,87	-8,77	-0,59
						-1,87	-8,77	-0,59	-1,85	-8,65	-0,59	-1,87	-8,77	-0,59
23	7,90	98				-1,20	-8,77	-0,38	-1,18	-8,65	-0,38	-1,20	-8,77	-0,38
						-1,20	-8,77	-0,38	-1,18	-8,65	-0,38	-1,20	-8,77	-0,38
24	7,90	99				-0,59	-8,77	-0,20	-0,59	-8,65	-0,20	-0,59	-8,77	-0,20
						-0,59	-8,77	-0,20	-0,59	-8,65	-0,20	-0,59	-8,77	-0,20
39	7,90	100				-1,83	-5,67	-0,40	-1,80	-5,59	-0,40	-1,83	-5,67	-0,40
						-1,83	-5,67	-0,40	-1,80	-5,59	-0,40	-1,83	-5,67	-0,40
1	10,85	101				-2,21	-6,95	-0,55	-2,19	-6,85	-0,55	-2,21	-6,95	-0,55
						-2,21	-6,95	-0,55	-2,19	-6,85	-0,55	-2,21	-6,95	-0,55
2	10,85	102				-1,43	-6,95	-0,55	-1,41	-6,85	-0,55	-1,43	-6,95	-0,55
						-1,43	-6,95	-0,55	-1,41	-6,85	-0,55	-1,43	-6,95	-0,55
3	10,85	103				-0,73	-6,95	-0,27	-0,72	-6,85	-0,27	-0,73	-6,95	-0,27
						-0,73	-6,95	-0,27	-0,72	-6,85	-0,27	-0,73	-6,95	-0,27
4	10,85	104				-2,21	-7,47	-0,53	-2,19	-7,37	-0,53	-2,21	-7,47	-0,53
						-2,21	-7,47	-0,53	-2,19	-7,37	-0,53	-2,21	-7,47	-0,53
5	10,85	105				-1,43	-7,47	-0,69	-1,41	-7,37	-0,69	-1,43	-7,47	-0,69
						-1,43	-7,47	-0,69	-1,41	-7,37	-0,69	-1,43	-7,47	-0,69
6	10,85	106				-0,73	-7,47	-0,35	-0,72	-7,37	-0,35	-0,73	-7,47	-0,35
						-0,73	-7,47	-0,35	-0,72	-7,37	-0,35	-0,73	-7,47	-0,35
7	10,85	107				-2,21	-7,99	-0,52	-2,19	-7,88	-0,52	-2,21	-7,99	-0,52
						-2,21	-7,99	-0,52	-2,19	-7,88	-0,52	-2,21	-7,99	-0,52
8	10,85	108				-1,43	-7,99	-0,65	-1,41	-7,88	-0,65	-1,43	-7,99	-0,65
						-1,43	-7,99	-0,65	-1,41	-7,88	-0,65	-1,43	-7,99	-0,65
9	10,85	109				-0,73	-7,99	-0,41	-0,72	-7,88	-0,41	-0,73	-7,99	-0,41
						-0,73	-7,99	-0,41	-0,72	-7,88	-0,41	-0,73	-7,99	-0,41
10	10,85	110				-2,21	-8,52	-0,44	-2,19	-8,40	-0,44	-2,21	-8,52	-0,44
						-2,21	-8,52	-0,44	-2,19	-8,40	-0,44	-2,21	-8,52	-0,44
11	10,85	111				-1,43	-8,52	-0,52	-1,41	-8,40	-0,52	-1,43	-8,52	-0,52
						-1,43	-8,52	-0,52	-1,41	-8,40	-0,52	-1,43	-8,52	-0,52
12	10,85	112				-0,73	-8,52	-0,47	-0,72	-8,40	-0,47	-0,73	-8,52	-0,47
						-0,73	-8,52	-0,47	-0,72	-8,40	-0,47	-0,73	-8,52	-0,47
13	10,85	113				-2,21	-9,04	-0,47	-2,19	-8,92	-0,47	-2,21	-9,04	-0,47
						-2,21	-9,04	-0,47	-2,19	-8,92	-0,47	-2,21	-9,04	-0,47
14	10,85	114				-1,43	-9,04	-0,52	-1,41	-8,92	-0,52	-1,43	-9,04	-0,52
						-1,43	-9,04	-0,52	-1,41	-8,92	-0,52	-1,43	-9,04	-0,52
15	10,85	115				-0,73	-9,04	-0,47	-0,72	-8,92	-0,47	-0,73	-9,04	-0,47
						-0,73	-9,04	-0,47	-0,72	-8,92	-0,47	-0,73	-9,04	-0,47
16	10,85	116				-2,21	-9,56	-0,60	-2,19	-9,43	-0,60	-2,21	-9,56	-0,60
						-2,21	-9,56	-0,60	-2,19	-9,43	-0,60	-2,21	-9,56	-0,60
17	10,85	117				-1,43	-9,56	-0,66	-1,41	-9,43	-0,66	-1,43	-9,56	-0,66
						-1,43	-9,56	-0,66	-1,41	-9,43	-0,66	-1,43	-9,56	-0,66
18	10,85	118				-0,73	-9,56	-0,45	-0,72	-9,43	-0,45	-0,73	-9,56	-0,45
						-0,73	-9,56	-0,45	-0,72	-9,43	-0,45	-0,73	-9,56	-0,45
19	10,85	119				-2,21	-10,09	-0,59	-2,19	-9,95	-0,59	-2,21	-10,09	-0,59
						-2,21	-10,09	-0,59	-2,19	-9,95	-0,59	-2,21	-10,09	-0,59
20	10,85	120				-1,43	-10,09	-0,69	-1,41	-9,95	-0,69	-1,43	-10,09	-0,69
						-1,43	-10,09	-0,69	-1,41	-9,95	-0,69	-1,43	-10,09	-0,69
21	10,85	121				-0,73	-10,09	-0,41	-0,72	-9,95	-0,41	-0,73	-10,09	-0,41
						-0,73	-10,09	-0,41	-0,72	-9,95	-0,41	-0,73	-10,09	-0,41
22	10,85	122				-2,21	-10,61	-0,58	-2,19	-10,46	-0,58	-2,21	-10,61	-0,58
						-2,21	-10,61	-0,58	-2,19	-10,46	-0,58	-2,21	-10,61	-0,58
23	10,85	123				-1,43	-10,61	-0,47	-1,41	-10,46	-0,48	-1,43	-10,61	-0,47
						-1,43	-10,61	-0,47	-1,41	-10,46	-0,48	-1,43	-10,61	-0,47
24	10,85	124				-0,73	-10,61	-0,23	-0,72	-10,46	-0,23	-0,73	-10,61	-0,23
						-0,73	-10,61	-0,23	-0,72	-10,46	-0,23	-0,73	-10,61	-0,23
39	10,85	125				-2,17	-7,00	-0,51	-2,14	-6,90	-0,51	-2,17	-7,00	-0,51

**CAPACITA'/DOMANDA DI SPOSTAMENTO - PUSH N.ro 32 - Prop.Massa:-Fy-0.3\*Fx-Ecc5%**

IDENTIFICATIVO			CAPACITA'/DOMANDA SPOSTAMENTI PER I VARI STATI LIMITE											
Filo N.ro	Quota (m)	Nodo N.ro	----- SLO -----			----- SLD -----			----- SLV -----			----- SLC -----		
			X (mm)	Y (mm)	Z (mm)	X (mm)	Y (mm)	Z (mm)	X (mm)	Y (mm)	Z (mm)	X (mm)	Y (mm)	Z (mm)
						-2,17	-7,00	-0,51	-2,14	-6,90	-0,51	-2,17	-7,00	-0,51

**CAPACITA'/DOMANDA DI SPOSTAMENTO-PUSH N.ro 1-Prop.Modolo:+Fx+0.3\*Fy+Ecc5%**

IDENTIFICATIVO			CAPACITA'/DOMANDA SPOSTAMENTI DEI BARICENTRI DI PIANO PER I VARI STATI LIMITE											
Piano Nro	Quota (m)		----- SLO -----			----- SLD -----			----- SLV -----			----- SLC -----		
			X (mm)	Y (mm)	θ(mRad)	X (mm)	Y (mm)	θ(mRad)	X (mm)	Y (mm)	θ(mRad)	X (mm)	Y (mm)	θ (mRad)
1	2,00					0,77	0,39	0,02	0,77	0,39	0,02	0,77	0,39	0,02
						0,77	0,39	0,02	0,77	0,39	0,02	0,77	0,39	0,02
2	4,95					3,69	1,88	0,07	3,69	1,88	0,07	3,69	1,88	0,07
						3,69	1,88	0,07	3,69	1,88	0,07	3,69	1,88	0,07
3	7,90					6,23	3,39	0,12	6,22	3,38	0,12	6,23	3,39	0,12
						6,23	3,39	0,12	6,22	3,38	0,12	6,23	3,39	0,12
4	10,85					7,75	4,33	0,15	7,74	4,32	0,15	7,75	4,33	0,15
						7,75	4,33	0,15	7,74	4,32	0,15	7,75	4,33	0,15

**CAPACITA'/DOMANDA DI SPOSTAMENTO-PUSH N.ro 2-Prop.Modolo:-Fx+0.3\*Fy+Ecc5%**

IDENTIFICATIVO			CAPACITA'/DOMANDA SPOSTAMENTI DEI BARICENTRI DI PIANO PER I VARI STATI LIMITE											
Piano Nro	Quota (m)		----- SLO -----			----- SLD -----			----- SLV -----			----- SLC -----		
			X (mm)	Y (mm)	θ(mRad)	X (mm)	Y (mm)	θ(mRad)	X (mm)	Y (mm)	θ(mRad)	X (mm)	Y (mm)	θ (mRad)
1	2,00					-0,77	0,39	0,00	-0,77	0,39	0,00	-0,77	0,39	0,00
						-0,77	0,39	0,00	-0,77	0,39	0,00	-0,77	0,39	0,00
2	4,95					-3,74	1,87	0,01	-3,73	1,87	0,01	-3,74	1,87	0,01
						-3,74	1,87	0,01	-3,73	1,87	0,01	-3,74	1,87	0,01
3	7,90					-6,32	3,37	0,03	-6,31	3,36	0,03	-6,32	3,37	0,03
						-6,32	3,37	0,03	-6,31	3,36	0,03	-6,32	3,37	0,03
4	10,85					-7,84	4,34	0,04	-7,83	4,34	0,04	-7,84	4,34	0,04
						-7,84	4,34	0,04	-7,83	4,34	0,04	-7,84	4,34	0,04

**CAPACITA'/DOMANDA DI SPOSTAMENTO-PUSH N.ro 3-Prop.Modolo:+Fy+0.3\*Fx+Ecc5%**

IDENTIFICATIVO			CAPACITA'/DOMANDA SPOSTAMENTI DEI BARICENTRI DI PIANO PER I VARI STATI LIMITE											
Piano Nro	Quota (m)		----- SLO -----			----- SLD -----			----- SLV -----			----- SLC -----		
			X (mm)	Y (mm)	θ(mRad)	X (mm)	Y (mm)	θ(mRad)	X (mm)	Y (mm)	θ(mRad)	X (mm)	Y (mm)	θ (mRad)
1	2,00					0,18	1,05	0,02	0,18	1,04	0,02	0,18	1,05	0,02
						0,18	1,05	0,02	0,18	1,04	0,02	0,18	1,05	0,02
2	4,95					0,82	4,99	0,10	0,82	4,98	0,10	0,82	4,99	0,10
						0,82	4,99	0,10	0,82	4,98	0,10	0,82	4,99	0,10
3	7,90					1,41	8,93	0,17	1,40	8,92	0,17	1,41	8,93	0,17
						1,41	8,93	0,17	1,40	8,92	0,17	1,41	8,93	0,17
4	10,85					1,76	11,45	0,21	1,75	11,43	0,21	1,76	11,45	0,21
						1,76	11,45	0,21	1,75	11,43	0,21	1,76	11,45	0,21

**CAPACITA'/DOMANDA DI SPOSTAMENTO-PUSH N.ro 4-Prop.Modolo:-Fy+0.3\*Fx+Ecc5%**

IDENTIFICATIVO			CAPACITA'/DOMANDA SPOSTAMENTI DEI BARICENTRI DI PIANO PER I VARI STATI LIMITE											
Piano Nro	Quota (m)		----- SLO -----			----- SLD -----			----- SLV -----			----- SLC -----		
			X (mm)	Y (mm)	θ(mRad)	X (mm)	Y (mm)	θ(mRad)	X (mm)	Y (mm)	θ(mRad)	X (mm)	Y (mm)	θ (mRad)
1	2,00					0,21	-1,22	0,02	0,21	-1,22	0,02	0,21	-1,22	0,02
						0,21	-1,22	0,02	0,21	-1,22	0,02	0,21	-1,22	0,02
2	4,95					1,00	-6,22	0,11	1,00	-6,21	0,11	1,00	-6,22	0,11
						1,00	-6,22	0,11	1,00	-6,21	0,11	1,00	-6,22	0,11
3	7,90					1,71	-11,50	0,20	1,71	-11,47	0,20	1,71	-11,50	0,20
						1,71	-11,50	0,20	1,71	-11,47	0,20	1,71	-11,50	0,20
4	10,85					2,14	-14,95	0,24	2,14	-14,92	0,24	2,14	-14,95	0,24
						2,14	-14,95	0,24	2,14	-14,92	0,24	2,14	-14,95	0,24

**CAPACITA'/DOMANDA DI SPOSTAMENTO-PUSH N.ro 5-Prop.Massa:+Fx+0.3\*Fy+Ecc5%**

IDENTIFICATIVO			CAPACITA'/DOMANDA SPOSTAMENTI DEI BARICENTRI DI PIANO PER I VARI STATI LIMITE											
Piano Nro	Quota (m)		----- SLO -----			----- SLD -----			----- SLV -----			----- SLC -----		
			X (mm)	Y (mm)	θ(mRad)	X (mm)	Y (mm)	θ(mRad)	X (mm)	Y (mm)	θ(mRad)	X (mm)	Y (mm)	θ (mRad)
1	2,00					0,75	0,38	0,02	0,74	0,38	0,02	0,75	0,38	0,02
						0,75	0,38	0,02	0,74	0,38	0,02	0,75	0,38	0,02
2	4,95					3,04	1,59	0,07	3,01	1,57	0,07	3,04	1,59	0,07
						3,04	1,59	0,07	3,01	1,57	0,07	3,04	1,59	0,07
3	7,90					4,75	2,66	0,10	4,69	2,63	0,10	4,75	2,66	0,10
						4,75	2,66	0,10	4,69	2,63	0,10	4,75	2,66	0,10
4	10,85					5,69	3,26	0,12	5,62	3,22	0,12	5,69	3,26	0,12
						5,69	3,26	0,12	5,62	3,22	0,12	5,69	3,26	0,12

**CAPACITA'/DOMANDA DI SPOSTAMENTO-PUSH N.ro 6-Prop.Massa:-Fx+0.3\*Fy+Ecc5%**

IDENTIFICATIVO		CAPACITA'/DOMANDA SPOSTAMENTI DEI BARICENTRI DI PIANO PER I VARI STATI LIMITE											
Piano Nro	Quota (m)	----- SLO -----			----- SLD -----			----- SLV -----			----- SLC -----		
		X (mm)	Y (mm)	θ(mRad)	X (mm)	Y (mm)	θ(mRad)	X (mm)	Y (mm)	θ(mRad)	X (mm)	Y (mm)	θ (mRad)
1	2,00				-0,75	0,38	0,00	-0,74	0,37	0,00	-0,75	0,38	0,00
					-0,75	0,38	0,00	-0,74	0,37	0,00	-0,75	0,38	0,00
2	4,95				-3,04	1,58	0,01	-3,02	1,57	0,01	-3,04	1,58	0,01
					-3,04	1,58	0,01	-3,02	1,57	0,01	-3,04	1,58	0,01
3	7,90				-4,73	2,64	0,01	-4,70	2,62	0,01	-4,73	2,64	0,01
					-4,73	2,64	0,01	-4,70	2,62	0,01	-4,73	2,64	0,01
4	10,85				-5,68	3,28	0,01	-5,63	3,26	0,01	-5,68	3,28	0,01
					-5,68	3,28	0,01	-5,63	3,26	0,01	-5,68	3,28	0,01

## CAPACITA'/DOMANDA DI SPOSTAMENTO-PUSH N.ro 7-Prop.Massa:+Fy+0.3\*Fx+Ecc5%

IDENTIFICATIVO		CAPACITA'/DOMANDA SPOSTAMENTI DEI BARICENTRI DI PIANO PER I VARI STATI LIMITE											
Piano Nro	Quota (m)	----- SLO -----			----- SLD -----			----- SLV -----			----- SLC -----		
		X (mm)	Y (mm)	θ(mRad)	X (mm)	Y (mm)	θ(mRad)	X (mm)	Y (mm)	θ(mRad)	X (mm)	Y (mm)	θ (mRad)
1	2,00				0,22	1,26	0,03	0,21	1,25	0,03	0,22	1,26	0,03
					0,22	1,26	0,03	0,21	1,25	0,03	0,22	1,26	0,03
2	4,95				0,87	5,17	0,11	0,86	5,13	0,11	0,87	5,17	0,11
					0,87	5,17	0,11	0,86	5,13	0,11	0,87	5,17	0,11
3	7,90				1,36	8,50	0,17	1,35	8,43	0,16	1,36	8,50	0,17
					1,36	8,50	0,17	1,35	8,43	0,16	1,36	8,50	0,17
4	10,85				1,62	10,40	0,19	1,61	10,32	0,19	1,62	10,40	0,19
					1,62	10,40	0,19	1,61	10,32	0,19	1,62	10,40	0,19

## CAPACITA'/DOMANDA DI SPOSTAMENTO-PUSH N.ro 8-Prop.Massa:-Fy+0.3\*Fx+Ecc5%

IDENTIFICATIVO		CAPACITA'/DOMANDA SPOSTAMENTI DEI BARICENTRI DI PIANO PER I VARI STATI LIMITE											
Piano Nro	Quota (m)	----- SLO -----			----- SLD -----			----- SLV -----			----- SLC -----		
		X (mm)	Y (mm)	θ(mRad)	X (mm)	Y (mm)	θ(mRad)	X (mm)	Y (mm)	θ(mRad)	X (mm)	Y (mm)	θ (mRad)
1	2,00				0,21	-1,15	0,02	0,21	-1,15	0,02	0,21	-1,15	0,02
					0,21	-1,15	0,02	0,21	-1,15	0,02	0,21	-1,15	0,02
2	4,95				0,86	-4,85	0,06	0,86	-4,83	0,06	0,86	-4,85	0,06
					0,86	-4,85	0,06	0,86	-4,83	0,06	0,86	-4,85	0,06
3	7,90				1,35	-8,14	0,10	1,34	-8,10	0,10	1,35	-8,14	0,10
					1,35	-8,14	0,10	1,34	-8,10	0,10	1,35	-8,14	0,10
4	10,85				1,61	-10,16	0,12	1,60	-10,11	0,12	1,61	-10,16	0,12
					1,61	-10,16	0,12	1,60	-10,11	0,12	1,61	-10,16	0,12

## CAPACITA'/DOMANDA DI SPOSTAMENTO-PUSH N.ro 9-Prop.Modolo:+Fx-0.3\*Fy+Ecc5%

IDENTIFICATIVO		CAPACITA'/DOMANDA SPOSTAMENTI DEI BARICENTRI DI PIANO PER I VARI STATI LIMITE											
Piano Nro	Quota (m)	----- SLO -----			----- SLD -----			----- SLV -----			----- SLC -----		
		X (mm)	Y (mm)	θ(mRad)	X (mm)	Y (mm)	θ(mRad)	X (mm)	Y (mm)	θ(mRad)	X (mm)	Y (mm)	θ (mRad)
1	2,00				0,79	-0,39	0,02	0,79	-0,39	0,02	0,79	-0,39	0,02
					0,79	-0,39	0,02	0,79	-0,39	0,02	0,79	-0,39	0,02
2	4,95				3,82	-1,87	0,06	3,80	-1,87	0,06	3,82	-1,87	0,06
					3,82	-1,87	0,06	3,80	-1,87	0,06	3,82	-1,87	0,06
3	7,90				6,45	-3,38	0,10	6,42	-3,37	0,10	6,45	-3,38	0,10
					6,45	-3,38	0,10	6,42	-3,37	0,10	6,45	-3,38	0,10
4	10,85				8,00	-4,42	0,13	7,97	-4,41	0,13	8,00	-4,42	0,13
					8,00	-4,42	0,13	7,97	-4,41	0,13	8,00	-4,42	0,13

## CAPACITA'/DOMANDA DI SPOSTAMENTO-PUSH N.ro 10-Prop.Modolo:-Fx-0.3\*Fy+Ecc5%

IDENTIFICATIVO		CAPACITA'/DOMANDA SPOSTAMENTI DEI BARICENTRI DI PIANO PER I VARI STATI LIMITE											
Piano Nro	Quota (m)	----- SLO -----			----- SLD -----			----- SLV -----			----- SLC -----		
		X (mm)	Y (mm)	θ(mRad)	X (mm)	Y (mm)	θ(mRad)	X (mm)	Y (mm)	θ(mRad)	X (mm)	Y (mm)	θ (mRad)
1	2,00				-0,79	-0,40	0,00	-0,79	-0,39	0,00	-0,79	-0,40	0,00
					-0,79	-0,40	0,00	-0,79	-0,39	0,00	-0,79	-0,40	0,00
2	4,95				-3,85	-1,90	0,00	-3,84	-1,89	0,00	-3,85	-1,90	0,00
					-3,85	-1,90	0,00	-3,84	-1,89	0,00	-3,85	-1,90	0,00
3	7,90				-6,51	-3,41	0,01	-6,49	-3,40	0,01	-6,51	-3,41	0,01
					-6,51	-3,41	0,01	-6,49	-3,40	0,01	-6,51	-3,41	0,01
4	10,85				-8,07	-4,42	0,02	-8,04	-4,41	0,02	-8,07	-4,42	0,02
					-8,07	-4,42	0,02	-8,04	-4,41	0,02	-8,07	-4,42	0,02

## CAPACITA'/DOMANDA DI SPOSTAMENTO-PUSH N.ro 11-Prop.Modolo:+Fy-0.3\*Fx+Ecc5%

IDENTIFICATIVO		CAPACITA'/DOMANDA SPOSTAMENTI DEI BARICENTRI DI PIANO PER I VARI STATI LIMITE											
Piano Nro	Quota (m)	----- SLO -----			----- SLD -----			----- SLV -----			----- SLC -----		
		X (mm)	Y (mm)	θ(mRad)	X (mm)	Y (mm)	θ(mRad)	X (mm)	Y (mm)	θ(mRad)	X (mm)	Y (mm)	θ (mRad)
1	2,00				-0,16	1,04	0,02	-0,16	1,03	0,02	-0,16	1,04	0,02
					-0,16	1,04	0,02	-0,16	1,03	0,02	-0,16	1,04	0,02
2	4,95				-0,76	4,97	0,08	-0,75	4,91	0,08	-0,76	4,97	0,08
					-0,76	4,97	0,08	-0,75	4,91	0,08	-0,76	4,97	0,08

**CAPACITA'/DOMANDA DI SPOSTAMENTO-PUSH N.ro 11-Prop.Modolo:+Fy-0.3\*Fx+Ecc5%**

IDENTIFICATIVO		CAPACITA'/DOMANDA SPOSTAMENTI DEI BARICENTRI DI PIANO PER I VARI STATI LIMITE											
Piano Nro	Quota (m)	----- SLO -----			----- SLD -----			----- SLV -----			----- SLC -----		
		X (mm)	Y (mm)	θ(mRad)	X (mm)	Y (mm)	θ(mRad)	X (mm)	Y (mm)	θ(mRad)	X (mm)	Y (mm)	θ (mRad)
3	7,90				-1,26	8,91	0,14	-1,25	8,80	0,14	-1,26	8,91	0,14
					-1,26	8,91	0,14	-1,25	8,80	0,14	-1,26	8,91	0,14
4	10,85				-1,61	11,45	0,17	-1,59	11,31	0,17	-1,61	11,45	0,17
					-1,61	11,45	0,17	-1,59	11,31	0,17	-1,61	11,45	0,17

**CAPACITA'/DOMANDA DI SPOSTAMENTO-PUSH N.ro 12-Prop.Modolo:-Fy-0.3\*Fx+Ecc5%**

IDENTIFICATIVO		CAPACITA'/DOMANDA SPOSTAMENTI DEI BARICENTRI DI PIANO PER I VARI STATI LIMITE											
Piano Nro	Quota (m)	----- SLO -----			----- SLD -----			----- SLV -----			----- SLC -----		
		X (mm)	Y (mm)	θ(mRad)	X (mm)	Y (mm)	θ(mRad)	X (mm)	Y (mm)	θ(mRad)	X (mm)	Y (mm)	θ (mRad)
1	2,00				-0,20	-1,24	0,01	-0,20	-1,24	0,01	-0,20	-1,24	0,01
					-0,20	-1,24	0,01	-0,20	-1,24	0,01	-0,20	-1,24	0,01
2	4,95				-0,95	-6,30	0,08	-0,95	-6,29	0,08	-0,95	-6,30	0,08
					-0,95	-6,30	0,08	-0,95	-6,29	0,08	-0,95	-6,30	0,08
3	7,90				-1,58	-11,64	0,15	-1,57	-11,62	0,15	-1,58	-11,64	0,15
					-1,58	-11,64	0,15	-1,57	-11,62	0,15	-1,58	-11,64	0,15
4	10,85				-2,00	-15,12	0,19	-2,00	-15,10	0,19	-2,00	-15,12	0,19
					-2,00	-15,12	0,19	-2,00	-15,10	0,19	-2,00	-15,12	0,19

**CAPACITA'/DOMANDA DI SPOSTAMENTO-PUSH N.ro 13-Prop.Massa:+Fx-0.3\*Fy+Ecc5%**

IDENTIFICATIVO		CAPACITA'/DOMANDA SPOSTAMENTI DEI BARICENTRI DI PIANO PER I VARI STATI LIMITE											
Piano Nro	Quota (m)	----- SLO -----			----- SLD -----			----- SLV -----			----- SLC -----		
		X (mm)	Y (mm)	θ(mRad)	X (mm)	Y (mm)	θ(mRad)	X (mm)	Y (mm)	θ(mRad)	X (mm)	Y (mm)	θ (mRad)
1	2,00				0,77	-0,38	0,02	0,77	-0,38	0,02	0,77	-0,38	0,02
					0,77	-0,38	0,02	0,77	-0,38	0,02	0,77	-0,38	0,02
2	4,95				3,11	-1,58	0,06	3,11	-1,58	0,06	3,11	-1,58	0,06
					3,11	-1,58	0,06	3,11	-1,58	0,06	3,11	-1,58	0,06
3	7,90				4,85	-2,65	0,09	4,84	-2,64	0,09	4,85	-2,65	0,09
					4,85	-2,65	0,09	4,84	-2,64	0,09	4,85	-2,65	0,09
4	10,85				5,81	-3,33	0,11	5,80	-3,33	0,11	5,81	-3,33	0,11
					5,81	-3,33	0,11	5,80	-3,33	0,11	5,81	-3,33	0,11

**CAPACITA'/DOMANDA DI SPOSTAMENTO-PUSH N.ro 14-Prop.Massa:-Fx-0.3\*Fy+Ecc5%**

IDENTIFICATIVO		CAPACITA'/DOMANDA SPOSTAMENTI DEI BARICENTRI DI PIANO PER I VARI STATI LIMITE											
Piano Nro	Quota (m)	----- SLO -----			----- SLD -----			----- SLV -----			----- SLC -----		
		X (mm)	Y (mm)	θ(mRad)	X (mm)	Y (mm)	θ(mRad)	X (mm)	Y (mm)	θ(mRad)	X (mm)	Y (mm)	θ (mRad)
1	2,00				-0,77	-0,38	0,00	-0,76	-0,38	0,00	-0,77	-0,38	0,00
					-0,77	-0,38	0,00	-0,76	-0,38	0,00	-0,77	-0,38	0,00
2	4,95				-3,11	-1,61	-0,01	-3,10	-1,60	-0,01	-3,11	-1,61	-0,01
					-3,11	-1,61	-0,01	-3,10	-1,60	-0,01	-3,11	-1,61	-0,01
3	7,90				-4,84	-2,69	-0,01	-4,82	-2,68	-0,01	-4,84	-2,69	-0,01
					-4,84	-2,69	-0,01	-4,82	-2,68	-0,01	-4,84	-2,69	-0,01
4	10,85				-5,81	-3,34	0,00	-5,77	-3,33	0,00	-5,81	-3,34	0,00
					-5,81	-3,34	0,00	-5,77	-3,33	0,00	-5,81	-3,34	0,00

**CAPACITA'/DOMANDA DI SPOSTAMENTO-PUSH N.ro 15-Prop.Massa:+Fy-0.3\*Fx+Ecc5%**

IDENTIFICATIVO		CAPACITA'/DOMANDA SPOSTAMENTI DEI BARICENTRI DI PIANO PER I VARI STATI LIMITE											
Piano Nro	Quota (m)	----- SLO -----			----- SLD -----			----- SLV -----			----- SLC -----		
		X (mm)	Y (mm)	θ(mRad)	X (mm)	Y (mm)	θ(mRad)	X (mm)	Y (mm)	θ(mRad)	X (mm)	Y (mm)	θ (mRad)
1	2,00				-0,19	1,26	0,02	-0,19	1,25	0,02	-0,19	1,26	0,02
					-0,19	1,26	0,02	-0,19	1,25	0,02	-0,19	1,26	0,02
2	4,95				-0,79	5,15	0,09	-0,79	5,15	0,09	-0,79	5,15	0,09
					-0,79	5,15	0,09	-0,79	5,15	0,09	-0,79	5,15	0,09
3	7,90				-1,22	8,48	0,14	-1,22	8,47	0,13	-1,22	8,48	0,14
					-1,22	8,48	0,14	-1,22	8,47	0,13	-1,22	8,48	0,14
4	10,85				-1,47	10,39	0,16	-1,47	10,38	0,16	-1,47	10,39	0,16
					-1,47	10,39	0,16	-1,47	10,38	0,16	-1,47	10,39	0,16

**CAPACITA'/DOMANDA DI SPOSTAMENTO-PUSH N.ro 16-Prop.Massa:-Fy-0.3\*Fx+Ecc5%**

IDENTIFICATIVO		CAPACITA'/DOMANDA SPOSTAMENTI DEI BARICENTRI DI PIANO PER I VARI STATI LIMITE											
Piano Nro	Quota (m)	----- SLO -----			----- SLD -----			----- SLV -----			----- SLC -----		
		X (mm)	Y (mm)	θ(mRad)	X (mm)	Y (mm)	θ(mRad)	X (mm)	Y (mm)	θ(mRad)	X (mm)	Y (mm)	θ (mRad)
1	2,00				-0,21	-1,19	0,01	-0,21	-1,18	0,01	-0,21	-1,19	0,01
					-0,21	-1,19	0,01	-0,21	-1,18	0,01	-0,21	-1,19	0,01
2	4,95				-0,84	-4,99	0,05	-0,83	-4,98	0,05	-0,84	-4,99	0,05
					-0,84	-4,99	0,05	-0,83	-4,98	0,05	-0,84	-4,99	0,05
3	7,90				-1,29	-8,38	0,08	-1,29	-8,36	0,08	-1,29	-8,38	0,08
					-1,29	-8,38	0,08	-1,29	-8,36	0,08	-1,29	-8,38	0,08
4	10,85				-1,56	-10,44	0,10	-1,55	-10,41	0,10	-1,56	-10,44	0,10
					-1,56	-10,44	0,10	-1,55	-10,41	0,10	-1,56	-10,44	0,10

**CAPACITA'/DOMANDA DI SPOSTAMENTO-PUSH N.ro 16-Prop.Massa:-Fy-0.3\*Fx+Ecc5%**

IDENTIFICATIVO		CAPACITA'/DOMANDA SPOSTAMENTI DEI BARICENTRI DI PIANO PER I VARI STATI LIMITE											
Piano Nro	Quota (m)	----- SLO -----			----- SLD -----			----- SLV -----			----- SLC -----		
		X (mm)	Y (mm)	θ(mRad)	X (mm)	Y (mm)	θ(mRad)	X (mm)	Y (mm)	θ(mRad)	X (mm)	Y (mm)	θ (mRad)
					-1,56	-10,44	0,10	-1,55	-10,41	0,10	-1,56	-10,44	0,10

**CAPACITA'/DOMANDA DI SPOSTAMENTO-PUSH N.ro 17-Prop.Modolo:+Fx+0.3\*Fy-Ecc5%**

IDENTIFICATIVO		CAPACITA'/DOMANDA SPOSTAMENTI DEI BARICENTRI DI PIANO PER I VARI STATI LIMITE											
Piano Nro	Quota (m)	----- SLO -----			----- SLD -----			----- SLV -----			----- SLC -----		
		X (mm)	Y (mm)	θ(mRad)	X (mm)	Y (mm)	θ(mRad)	X (mm)	Y (mm)	θ(mRad)	X (mm)	Y (mm)	θ (mRad)
1	2,00				0,77	0,39	0,00	0,77	0,39	0,00	0,77	0,39	0,00
					0,77	0,39	0,00	0,77	0,39	0,00	0,77	0,39	0,00
2	4,95				3,73	1,86	0,00	3,73	1,86	0,00	3,73	1,86	0,00
					3,73	1,86	0,00	3,73	1,86	0,00	3,73	1,86	0,00
3	7,90				6,30	3,34	-0,01	6,29	3,34	-0,01	6,30	3,34	-0,01
					6,30	3,34	-0,01	6,29	3,34	-0,01	6,30	3,34	-0,01
4	10,85				7,83	4,33	-0,02	7,81	4,33	-0,02	7,83	4,33	-0,02
					7,83	4,33	-0,02	7,81	4,33	-0,02	7,83	4,33	-0,02

**CAPACITA'/DOMANDA DI SPOSTAMENTO-PUSH N.ro 18-Prop.Modolo:-Fx+0.3\*Fy-Ecc5%**

IDENTIFICATIVO		CAPACITA'/DOMANDA SPOSTAMENTI DEI BARICENTRI DI PIANO PER I VARI STATI LIMITE											
Piano Nro	Quota (m)	----- SLO -----			----- SLD -----			----- SLV -----			----- SLC -----		
		X (mm)	Y (mm)	θ(mRad)	X (mm)	Y (mm)	θ(mRad)	X (mm)	Y (mm)	θ(mRad)	X (mm)	Y (mm)	θ (mRad)
1	2,00				-0,78	0,38	-0,02	-0,77	0,38	-0,02	-0,78	0,38	-0,02
					-0,78	0,38	-0,02	-0,77	0,38	-0,02	-0,78	0,38	-0,02
2	4,95				-3,71	1,83	-0,07	-3,69	1,83	-0,07	-3,71	1,83	-0,07
					-3,71	1,83	-0,07	-3,69	1,83	-0,07	-3,71	1,83	-0,07
3	7,90				-6,27	3,31	-0,11	-6,24	3,29	-0,11	-6,27	3,31	-0,11
					-6,27	3,31	-0,11	-6,24	3,29	-0,11	-6,27	3,31	-0,11
4	10,85				-7,78	4,33	-0,13	-7,75	4,31	-0,13	-7,78	4,33	-0,13
					-7,78	4,33	-0,13	-7,75	4,31	-0,13	-7,78	4,33	-0,13

**CAPACITA'/DOMANDA DI SPOSTAMENTO-PUSH N.ro 19-Prop.Modolo:+Fy+0.3\*Fx-Ecc5%**

IDENTIFICATIVO		CAPACITA'/DOMANDA SPOSTAMENTI DEI BARICENTRI DI PIANO PER I VARI STATI LIMITE											
Piano Nro	Quota (m)	----- SLO -----			----- SLD -----			----- SLV -----			----- SLC -----		
		X (mm)	Y (mm)	θ(mRad)	X (mm)	Y (mm)	θ(mRad)	X (mm)	Y (mm)	θ(mRad)	X (mm)	Y (mm)	θ (mRad)
1	2,00				0,17	1,07	-0,01	0,17	1,06	-0,01	0,17	1,07	-0,01
					0,17	1,07	-0,01	0,17	1,06	-0,01	0,17	1,07	-0,01
2	4,95				0,79	5,08	-0,05	0,79	5,06	-0,05	0,79	5,08	-0,05
					0,79	5,08	-0,05	0,79	5,06	-0,05	0,79	5,08	-0,05
3	7,90				1,32	9,10	-0,09	1,32	9,06	-0,09	1,32	9,10	-0,09
					1,32	9,10	-0,09	1,32	9,06	-0,09	1,32	9,10	-0,09
4	10,85				1,67	11,80	-0,12	1,67	11,76	-0,12	1,67	11,80	-0,12
					1,67	11,80	-0,12	1,67	11,76	-0,12	1,67	11,80	-0,12

**CAPACITA'/DOMANDA DI SPOSTAMENTO-PUSH N.ro 20-Prop.Modolo:-Fy+0.3\*Fx-Ecc5%**

IDENTIFICATIVO		CAPACITA'/DOMANDA SPOSTAMENTI DEI BARICENTRI DI PIANO PER I VARI STATI LIMITE											
Piano Nro	Quota (m)	----- SLO -----			----- SLD -----			----- SLV -----			----- SLC -----		
		X (mm)	Y (mm)	θ(mRad)	X (mm)	Y (mm)	θ(mRad)	X (mm)	Y (mm)	θ(mRad)	X (mm)	Y (mm)	θ (mRad)
1	2,00				0,20	-1,22	-0,02	0,19	-1,22	-0,02	0,20	-1,22	-0,02
					0,20	-1,22	-0,02	0,19	-1,22	-0,02	0,20	-1,22	-0,02
2	4,95				0,91	-6,24	-0,12	0,91	-6,22	-0,12	0,91	-6,24	-0,12
					0,91	-6,24	-0,12	0,91	-6,22	-0,12	0,91	-6,24	-0,12
3	7,90				1,51	-11,52	-0,22	1,50	-11,48	-0,22	1,51	-11,52	-0,22
					1,51	-11,52	-0,22	1,50	-11,48	-0,22	1,51	-11,52	-0,22
4	10,85				1,92	-14,79	-0,26	1,92	-14,74	-0,26	1,92	-14,79	-0,26
					1,92	-14,79	-0,26	1,92	-14,74	-0,26	1,92	-14,79	-0,26

**CAPACITA'/DOMANDA DI SPOSTAMENTO-PUSH N.ro 21-Prop.Massa:+Fx+0.3\*Fy-Ecc5%**

IDENTIFICATIVO		CAPACITA'/DOMANDA SPOSTAMENTI DEI BARICENTRI DI PIANO PER I VARI STATI LIMITE											
Piano Nro	Quota (m)	----- SLO -----			----- SLD -----			----- SLV -----			----- SLC -----		
		X (mm)	Y (mm)	θ(mRad)	X (mm)	Y (mm)	θ(mRad)	X (mm)	Y (mm)	θ(mRad)	X (mm)	Y (mm)	θ (mRad)
1	2,00				0,75	0,38	0,00	0,74	0,37	0,00	0,75	0,38	0,00
					0,75	0,38	0,00	0,74	0,37	0,00	0,75	0,38	0,00
2	4,95				3,04	1,57	0,01	3,02	1,57	0,01	3,04	1,57	0,01
					3,04	1,57	0,01	3,02	1,57	0,01	3,04	1,57	0,01
3	7,90				4,73	2,63	0,01	4,71	2,62	0,01	4,73	2,63	0,01
					4,73	2,63	0,01	4,71	2,62	0,01	4,73	2,63	0,01
4	10,85				5,67	3,27	0,00	5,65	3,26	0,00	5,67	3,27	0,00
					5,67	3,27	0,00	5,65	3,26	0,00	5,67	3,27	0,00

**CAPACITA'/DOMANDA DI SPOSTAMENTO-PUSH N.ro 22-Prop.Massa:-Fx+0.3\*Fy-Ecc5%**

IDENTIFICATIVO		CAPACITA'/DOMANDA SPOSTAMENTI DEI BARICENTRI DI PIANO PER I VARI STATI LIMITE											
Piano Nro	Quota (m)	----- SLO -----			----- SLD -----			----- SLV -----			----- SLC -----		
		X (mm)	Y (mm)	θ(mRad)	X (mm)	Y (mm)	θ(mRad)	X (mm)	Y (mm)	θ(mRad)	X (mm)	Y (mm)	θ (mRad)
1	2,00				-0,75	0,37	-0,01	-0,75	0,37	-0,01	-0,75	0,37	-0,01
					-0,75	0,37	-0,01	-0,75	0,37	-0,01	-0,75	0,37	-0,01
2	4,95				-3,05	1,55	-0,06	-3,03	1,54	-0,06	-3,05	1,55	-0,06
					-3,05	1,55	-0,06	-3,03	1,54	-0,06	-3,05	1,55	-0,06
3	7,90				-4,75	2,60	-0,09	-4,72	2,58	-0,09	-4,75	2,60	-0,09
					-4,75	2,60	-0,09	-4,72	2,58	-0,09	-4,75	2,60	-0,09
4	10,85				-5,69	3,27	-0,10	-5,66	3,25	-0,10	-5,69	3,27	-0,10
					-5,69	3,27	-0,10	-5,66	3,25	-0,10	-5,69	3,27	-0,10

## CAPACITA'/DOMANDA DI SPOSTAMENTO-PUSH N.ro 23-Prop.Massa:+Fy+0.3\*Fx-Ecc5%

IDENTIFICATIVO		CAPACITA'/DOMANDA SPOSTAMENTI DEI BARICENTRI DI PIANO PER I VARI STATI LIMITE											
Piano Nro	Quota (m)	----- SLO -----			----- SLD -----			----- SLV -----			----- SLC -----		
		X (mm)	Y (mm)	θ(mRad)	X (mm)	Y (mm)	θ(mRad)	X (mm)	Y (mm)	θ(mRad)	X (mm)	Y (mm)	θ (mRad)
1	2,00				0,20	1,28	-0,01	0,20	1,27	-0,01	0,20	1,28	-0,01
					0,20	1,28	-0,01	0,20	1,27	-0,01	0,20	1,28	-0,01
2	4,95				0,83	5,25	-0,05	0,83	5,24	-0,05	0,83	5,25	-0,05
					0,83	5,25	-0,05	0,83	5,24	-0,05	0,83	5,25	-0,05
3	7,90				1,28	8,65	-0,08	1,28	8,62	-0,08	1,28	8,65	-0,08
					1,28	8,65	-0,08	1,28	8,62	-0,08	1,28	8,65	-0,08
4	10,85				1,54	10,70	-0,10	1,54	10,67	-0,10	1,54	10,70	-0,10
					1,54	10,70	-0,10	1,54	10,67	-0,10	1,54	10,70	-0,10

## CAPACITA'/DOMANDA DI SPOSTAMENTO-PUSH N.ro 24-Prop.Massa:-Fy+0.3\*Fx-Ecc5%

IDENTIFICATIVO		CAPACITA'/DOMANDA SPOSTAMENTI DEI BARICENTRI DI PIANO PER I VARI STATI LIMITE											
Piano Nro	Quota (m)	----- SLO -----			----- SLD -----			----- SLV -----			----- SLC -----		
		X (mm)	Y (mm)	θ(mRad)	X (mm)	Y (mm)	θ(mRad)	X (mm)	Y (mm)	θ(mRad)	X (mm)	Y (mm)	θ (mRad)
1	2,00				0,18	-1,10	-0,02	0,18	-1,08	-0,02	0,18	-1,10	-0,02
					0,18	-1,10	-0,02	0,18	-1,08	-0,02	0,18	-1,10	-0,02
2	4,95				0,75	-4,60	-0,08	0,74	-4,54	-0,07	0,75	-4,60	-0,08
					0,75	-4,60	-0,08	0,74	-4,54	-0,07	0,75	-4,60	-0,08
3	7,90				1,16	-7,72	-0,12	1,14	-7,62	-0,12	1,16	-7,72	-0,12
					1,16	-7,72	-0,12	1,14	-7,62	-0,12	1,16	-7,72	-0,12
4	10,85				1,40	-9,53	-0,14	1,39	-9,41	-0,14	1,40	-9,53	-0,14
					1,40	-9,53	-0,14	1,39	-9,41	-0,14	1,40	-9,53	-0,14

## CAPACITA'/DOMANDA DI SPOSTAMENTO-PUSH N.ro 25-Prop.Modolo:+Fx-0.3\*Fy-Ecc5%

IDENTIFICATIVO		CAPACITA'/DOMANDA SPOSTAMENTI DEI BARICENTRI DI PIANO PER I VARI STATI LIMITE											
Piano Nro	Quota (m)	----- SLO -----			----- SLD -----			----- SLV -----			----- SLC -----		
		X (mm)	Y (mm)	θ(mRad)	X (mm)	Y (mm)	θ(mRad)	X (mm)	Y (mm)	θ(mRad)	X (mm)	Y (mm)	θ (mRad)
1	2,00				0,79	-0,40	0,00	0,79	-0,39	0,00	0,79	-0,40	0,00
					0,79	-0,40	0,00	0,79	-0,39	0,00	0,79	-0,40	0,00
2	4,95				3,85	-1,91	-0,02	3,83	-1,90	-0,02	3,85	-1,91	-0,02
					3,85	-1,91	-0,02	3,83	-1,90	-0,02	3,85	-1,91	-0,02
3	7,90				6,52	-3,44	-0,04	6,47	-3,42	-0,04	6,52	-3,44	-0,04
					6,52	-3,44	-0,04	6,47	-3,42	-0,04	6,52	-3,44	-0,04
4	10,85				8,08	-4,43	-0,04	8,02	-4,41	-0,04	8,08	-4,43	-0,04
					8,08	-4,43	-0,04	8,02	-4,41	-0,04	8,08	-4,43	-0,04

## CAPACITA'/DOMANDA DI SPOSTAMENTO-PUSH N.ro 26-Prop.Modolo:-Fx-0.3\*Fy-Ecc5%

IDENTIFICATIVO		CAPACITA'/DOMANDA SPOSTAMENTI DEI BARICENTRI DI PIANO PER I VARI STATI LIMITE											
Piano Nro	Quota (m)	----- SLO -----			----- SLD -----			----- SLV -----			----- SLC -----		
		X (mm)	Y (mm)	θ(mRad)	X (mm)	Y (mm)	θ(mRad)	X (mm)	Y (mm)	θ(mRad)	X (mm)	Y (mm)	θ (mRad)
1	2,00				-0,79	-0,40	-0,02	-0,79	-0,40	-0,02	-0,79	-0,40	-0,02
					-0,79	-0,40	-0,02	-0,79	-0,40	-0,02	-0,79	-0,40	-0,02
2	4,95				-3,82	-1,92	-0,08	-3,82	-1,92	-0,08	-3,82	-1,92	-0,08
					-3,82	-1,92	-0,08	-3,82	-1,92	-0,08	-3,82	-1,92	-0,08
3	7,90				-6,46	-3,46	-0,13	-6,46	-3,46	-0,13	-6,46	-3,46	-0,13
					-6,46	-3,46	-0,13	-6,46	-3,46	-0,13	-6,46	-3,46	-0,13
4	10,85				-8,01	-4,41	-0,15	-8,01	-4,41	-0,15	-8,01	-4,41	-0,15
					-8,01	-4,41	-0,15	-8,01	-4,41	-0,15	-8,01	-4,41	-0,15

## CAPACITA'/DOMANDA DI SPOSTAMENTO-PUSH N.ro 27-Prop.Modolo:+Fy-0.3\*Fx-Ecc5%

IDENTIFICATIVO		CAPACITA'/DOMANDA SPOSTAMENTI DEI BARICENTRI DI PIANO PER I VARI STATI LIMITE											
Piano Nro	Quota (m)	----- SLO -----			----- SLD -----			----- SLV -----			----- SLC -----		
		X (mm)	Y (mm)	θ(mRad)	X (mm)	Y (mm)	θ(mRad)	X (mm)	Y (mm)	θ(mRad)	X (mm)	Y (mm)	θ (mRad)
1	2,00				-0,18	1,06	-0,02	-0,18	1,06	-0,02	-0,18	1,06	-0,02
					-0,18	1,06	-0,02	-0,18	1,06	-0,02	-0,18	1,06	-0,02
2	4,95				-0,84	5,08	-0,07	-0,83	5,06	-0,07	-0,84	5,08	-0,07
					-0,84	5,08	-0,07	-0,83	5,06	-0,07	-0,84	5,08	-0,07

**CAPACITA'/DOMANDA DI SPOSTAMENTO-PUSH N.ro 27-Prop.Modolo:+Fy-0.3\*Fx-Ecc5%**

IDENTIFICATIVO		CAPACITA'/DOMANDA SPOSTAMENTI DEI BARICENTRI DI PIANO PER I VARI STATI LIMITE											
Piano Nro	Quota (m)	----- SLO -----			----- SLD -----			----- SLV -----			----- SLC -----		
		X (mm)	Y (mm)	θ(mRad)	X (mm)	Y (mm)	θ(mRad)	X (mm)	Y (mm)	θ(mRad)	X (mm)	Y (mm)	θ (mRad)
3	7,90				-1,42	9,10	-0,13	-1,42	9,06	-0,13	-1,42	9,10	-0,13
					-1,42	9,10	-0,13	-1,42	9,06	-0,13	-1,42	9,10	-0,13
4	10,85				-1,78	11,81	-0,16	-1,78	11,76	-0,16	-1,78	11,81	-0,16
					-1,78	11,81	-0,16	-1,78	11,76	-0,16	-1,78	11,81	-0,16

**CAPACITA'/DOMANDA DI SPOSTAMENTO-PUSH N.ro 28-Prop.Modolo:-Fy-0.3\*Fx-Ecc5%**

IDENTIFICATIVO		CAPACITA'/DOMANDA SPOSTAMENTI DEI BARICENTRI DI PIANO PER I VARI STATI LIMITE											
Piano Nro	Quota (m)	----- SLO -----			----- SLD -----			----- SLV -----			----- SLC -----		
		X (mm)	Y (mm)	θ(mRad)	X (mm)	Y (mm)	θ(mRad)	X (mm)	Y (mm)	θ(mRad)	X (mm)	Y (mm)	θ (mRad)
1	2,00				-0,21	-1,20	-0,03	-0,21	-1,20	-0,03	-0,21	-1,20	-0,03
					-0,21	-1,20	-0,03	-0,21	-1,20	-0,03	-0,21	-1,20	-0,03
2	4,95				-0,99	-6,13	-0,14	-0,99	-6,13	-0,14	-0,99	-6,13	-0,14
					-0,99	-6,13	-0,14	-0,99	-6,13	-0,14	-0,99	-6,13	-0,14
3	7,90				-1,70	-11,31	-0,25	-1,70	-11,31	-0,25	-1,70	-11,31	-0,25
					-1,70	-11,31	-0,25	-1,70	-11,31	-0,25	-1,70	-11,31	-0,25
4	10,85				-2,12	-14,48	-0,30	-2,12	-14,48	-0,30	-2,12	-14,48	-0,30
					-2,12	-14,48	-0,30	-2,12	-14,48	-0,30	-2,12	-14,48	-0,30

**CAPACITA'/DOMANDA DI SPOSTAMENTO-PUSH N.ro 29-Prop.Massa:+Fx-0.3\*Fy-Ecc5%**

IDENTIFICATIVO		CAPACITA'/DOMANDA SPOSTAMENTI DEI BARICENTRI DI PIANO PER I VARI STATI LIMITE											
Piano Nro	Quota (m)	----- SLO -----			----- SLD -----			----- SLV -----			----- SLC -----		
		X (mm)	Y (mm)	θ(mRad)	X (mm)	Y (mm)	θ(mRad)	X (mm)	Y (mm)	θ(mRad)	X (mm)	Y (mm)	θ (mRad)
1	2,00				0,76	-0,38	0,00	0,76	-0,38	0,00	0,76	-0,38	0,00
					0,76	-0,38	0,00	0,76	-0,38	0,00	0,76	-0,38	0,00
2	4,95				3,10	-1,60	-0,01	3,09	-1,60	-0,01	3,10	-1,60	-0,01
					3,10	-1,60	-0,01	3,09	-1,60	-0,01	3,10	-1,60	-0,01
3	7,90				4,83	-2,69	-0,01	4,82	-2,68	-0,01	4,83	-2,69	-0,01
					4,83	-2,69	-0,01	4,82	-2,68	-0,01	4,83	-2,69	-0,01
4	10,85				5,79	-3,33	-0,02	5,77	-3,32	-0,02	5,79	-3,33	-0,02
					5,79	-3,33	-0,02	5,77	-3,32	-0,02	5,79	-3,33	-0,02

**CAPACITA'/DOMANDA DI SPOSTAMENTO-PUSH N.ro 30-Prop.Massa:-Fx-0.3\*Fy-Ecc5%**

IDENTIFICATIVO		CAPACITA'/DOMANDA SPOSTAMENTI DEI BARICENTRI DI PIANO PER I VARI STATI LIMITE											
Piano Nro	Quota (m)	----- SLO -----			----- SLD -----			----- SLV -----			----- SLC -----		
		X (mm)	Y (mm)	θ(mRad)	X (mm)	Y (mm)	θ(mRad)	X (mm)	Y (mm)	θ(mRad)	X (mm)	Y (mm)	θ (mRad)
1	2,00				-0,77	-0,39	-0,02	-0,77	-0,39	-0,02	-0,77	-0,39	-0,02
					-0,77	-0,39	-0,02	-0,77	-0,39	-0,02	-0,77	-0,39	-0,02
2	4,95				-3,12	-1,63	-0,07	-3,11	-1,62	-0,07	-3,12	-1,63	-0,07
					-3,12	-1,63	-0,07	-3,11	-1,62	-0,07	-3,12	-1,63	-0,07
3	7,90				-4,86	-2,72	-0,11	-4,85	-2,72	-0,11	-4,86	-2,72	-0,11
					-4,86	-2,72	-0,11	-4,85	-2,72	-0,11	-4,86	-2,72	-0,11
4	10,85				-5,82	-3,33	-0,12	-5,81	-3,33	-0,12	-5,82	-3,33	-0,12
					-5,82	-3,33	-0,12	-5,81	-3,33	-0,12	-5,82	-3,33	-0,12

**CAPACITA'/DOMANDA DI SPOSTAMENTO-PUSH N.ro 31-Prop.Massa:+Fy-0.3\*Fx-Ecc5%**

IDENTIFICATIVO		CAPACITA'/DOMANDA SPOSTAMENTI DEI BARICENTRI DI PIANO PER I VARI STATI LIMITE											
Piano Nro	Quota (m)	----- SLO -----			----- SLD -----			----- SLV -----			----- SLC -----		
		X (mm)	Y (mm)	θ(mRad)	X (mm)	Y (mm)	θ(mRad)	X (mm)	Y (mm)	θ(mRad)	X (mm)	Y (mm)	θ (mRad)
1	2,00				-0,22	1,28	-0,02	-0,22	1,28	-0,02	-0,22	1,28	-0,02
					-0,22	1,28	-0,02	-0,22	1,28	-0,02	-0,22	1,28	-0,02
2	4,95				-0,88	5,26	-0,07	-0,87	5,24	-0,07	-0,88	5,26	-0,07
					-0,88	5,26	-0,07	-0,87	5,24	-0,07	-0,88	5,26	-0,07
3	7,90				-1,38	8,65	-0,11	-1,37	8,62	-0,11	-1,38	8,65	-0,11
					-1,38	8,65	-0,11	-1,37	8,62	-0,11	-1,38	8,65	-0,11
4	10,85				-1,65	10,72	-0,14	-1,64	10,68	-0,14	-1,65	10,72	-0,14
					-1,65	10,72	-0,14	-1,64	10,68	-0,14	-1,65	10,72	-0,14

**CAPACITA'/DOMANDA DI SPOSTAMENTO-PUSH N.ro 32-Prop.Massa:-Fy-0.3\*Fx-Ecc5%**

IDENTIFICATIVO		CAPACITA'/DOMANDA SPOSTAMENTI DEI BARICENTRI DI PIANO PER I VARI STATI LIMITE											
Piano Nro	Quota (m)	----- SLO -----			----- SLD -----			----- SLV -----			----- SLC -----		
		X (mm)	Y (mm)	θ(mRad)	X (mm)	Y (mm)	θ(mRad)	X (mm)	Y (mm)	θ(mRad)	X (mm)	Y (mm)	θ (mRad)
1	2,00				-0,20	-1,07	-0,02	-0,20	-1,06	-0,02	-0,20	-1,07	-0,02
					-0,20	-1,07	-0,02	-0,20	-1,06	-0,02	-0,20	-1,07	-0,02
2	4,95				-0,80	-4,50	-0,09	-0,79	-4,44	-0,09	-0,80	-4,50	-0,09
					-0,80	-4,50	-0,09	-0,79	-4,44	-0,09	-0,80	-4,50	-0,09
3	7,90				-1,26	-7,55	-0,14	-1,24	-7,45	-0,14	-1,26	-7,55	-0,14
					-1,26	-7,55	-0,14	-1,24	-7,45	-0,14	-1,26	-7,55	-0,14
4	10,85				-1,50	-9,31	-0,16	-1,48	-9,19	-0,16	-1,50	-9,31	-0,16
					-1,50	-9,31	-0,16	-1,48	-9,19	-0,16	-1,50	-9,31	-0,16

## CAPACITA'/DOMANDA DI SPOSTAMENTO-PUSH N.ro 32-Prop.Massa:-Fy-0.3\*Fx-Ecc5%

## IDENTIFICATIVO

## CAPACITA'/DOMANDA SPOSTAMENTI DEI BARICENTRI DI PIANO PER I VARI STATI LIMITE

Piano  
NroQuota  
(m)----- SLO -----  
X (mm) | Y (mm) | θ(mRad)----- SLD -----  
X (mm) | Y (mm) | θ(mRad)----- SLV -----  
X (mm) | Y (mm) | θ(mRad)----- SLC -----  
X (mm) | Y (mm) | θ (mRad)

-1,50 -9,31 -0,16 -1,48 -9,19 -0,16 -1,50 -9,31 -0,16

• **SPECIFICHE CAMPI TABELLA DI STAMPA**

Si riporta appresso la spiegazione delle sigle usate nelle tabelle di verifica aste in cls per gli stati limiti di esercizio.

<b>Filo</b>	: Sulla prima riga numero del filo del nodo iniziale, sulla seconda quello del nodo finale
<b>Quota</b>	: Sulla prima riga quota del nodo iniziale, sulla seconda quota del nodo finale
<b>Tratto</b>	: Se una trave è suddivisa in più tratti sulla prima riga è riportato il numero del tratto, sulla terza il numero di suddivisioni della trave
<b>Com Cari</b>	: Indicatore della matrice di combinazione; la prima riga individua la matrice delle combinazioni rare, la seconda la matrice delle combinazioni frequenti, la terza quella permanenti. Questo indicatore vale sia per la verifica a fessurazione che per il calcolo delle frecce
<b>Fessu</b>	: Fessura limite e fessura di calcolo espressa in mm; se la trave non risulta fessurata l'ampiezza di calcolo sarà nulla
<b>Dist mm</b>	: Distanza fra le fessure
<b>Concio</b>	: Numero del concio in cui si è avuta la massima fessura
<b>Combin</b>	: Numero della combinazione ed in sequenza sollecitazioni per cui si è avuta la massima fessura
<b>Mf X</b>	: Momento flettente asse vettore X
<b>Mf Y</b>	: Momento flettente asse vettore Y
<b>N</b>	: Sforzo normale
<b>Frecce</b>	: Freccia limite e freccia massima di calcolo
<b>Combin</b>	: Numero della combinazione che ha prodotto la freccia massima
<b>Com Cari</b>	: Indicatore della matrice di combinazione; la prima riga individua la matrice delle combinazioni rare per la verifica della tensione sul calcestruzzo, la seconda la matrice delle combinazioni rare per la verifica della tensione sull'acciaio, la terza la matrice delle combinazioni permanenti per la verifica della tensione sul calcestruzzo
<b><math>\sigma_{lim}</math></b>	: Valore della tensione limite in Kg/cm <sup>2</sup>
<b><math>\sigma_{cal}</math></b>	: Valore della tensione di calcolo in Kg/cm <sup>2</sup>
<b>Concio</b>	: Numero del concio in cui si è avuta la massima tensione
<b>Combin</b>	: Numero della combinazione ed in sequenza sollecitazioni per cui si è avuta la massima tensione
<b>Mf X</b>	: Momento flettente asse vettore X
<b>Mf Y</b>	: Momento flettente asse vettore Y
<b>N</b>	: Sforzo normale

- SPECIFICHE CAMPI TABELLA DI STAMPA**

Si riporta di seguito la spiegazione delle sigle usate nella tabella di stampa spostamenti S.L.U. per il controllo dei giunti sismici.

**Filo N.ro** : *Numero del filo del nodo*

**Quota (m)** : *Quota del nodo*

**Nodo3D N.ro** : *Numero del nodo spaziale*

**SpMax X (mm)** : *Componente massima in direzione X dello spostamento S.L.V. per le combinazioni sismiche, calcolate calcolate ai sensi della NTC pto 7.3.3.3*

**SpMax Y (mm)** : *Componente massima in direzione Y dello spostamento S.L.V. per le combinazioni sismiche, calcolate calcolate ai sensi della NTC pto 7.3.3.3*

**SpMax R (mm)** : *Modulo del vettore dello spostamento massimo S.L.V. per le combinazioni sismiche, calcolate calcolate ai sensi della NTC pto 7.3.3.3*































## STAMPA PROGETTO S.L.U. - AZIONI S.L.V. - FATTORI DI STRUTTURA DEGLI ELEMENTI

IDENTIFICATIVO								DIREZIONE X		DIREZIONE Y		IDENTIFICATIVO								DIREZIONE X		DIREZIONE Y	
Asta 3D	Nodo In.	Nodo Fin.	Filo Iniz	Filo Fin.	QuoIn (m)	QuoFi (m)		Fattore 'q'		Fattore 'q'		Asta 3D	Nodo In.	Nodo Fin.	Filo Iniz	Filo Fin.	QuoIn (m)	QuoFi (m)		Fattore 'q'		Fattore 'q'	
								Tagl.	Fless.	Tagl.	Fless.									Tagl.	Fless.	Tagl.	Fless.
227	109	112	9	12	10,85	10,85		3,90	3,90	3,90	3,90	228	112	115	12	15	10,85	10,85		3,90	3,90	3,90	3,90
229	115	118	15	18	10,85	10,85		3,90	3,90	3,90	3,90	230	118	121	18	21	10,85	10,85		3,90	3,90	3,90	3,90
231	121	124	21	24	10,85	10,85		3,90	3,90	3,90	3,90	232	111	114	11	14	10,85	10,85		3,90	3,90	3,90	3,90
233	101	102	1	2	10,85	10,85		3,90	3,90	3,90	3,90	234	102	103	2	3	10,85	10,85		3,90	3,90	3,90	3,90
235	104	105	4	5	10,85	10,85		3,90	3,90	3,90	3,90	236	105	106	5	6	10,85	10,85		3,90	3,90	3,90	3,90
237	107	108	7	8	10,85	10,85		3,90	3,90	3,90	3,90	238	108	109	8	9	10,85	10,85		3,90	3,90	3,90	3,90
239	111	112	11	12	10,85	10,85		3,90	3,90	3,90	3,90	240	114	115	14	15	10,85	10,85		3,90	3,90	3,90	3,90
241	116	117	16	17	10,85	10,85		3,90	3,90	3,90	3,90	242	117	118	17	18	10,85	10,85		3,90	3,90	3,90	3,90
243	119	120	19	20	10,85	10,85		3,90	3,90	3,90	3,90	244	120	121	20	21	10,85	10,85		3,90	3,90	3,90	3,90
245	122	123	22	23	10,85	10,85		3,90	3,90	3,90	3,90	246	123	124	23	24	10,85	10,85		3,90	3,90	3,90	3,90
247	110	111	10	11	10,85	10,85		3,90	3,90	3,90	3,90	248	113	114	13	14	10,85	10,85		3,90	3,90	3,90	3,90

## EQUILIBRI NODALI COMBINAZIONE 1

Nodo 3D	Fx (t)	Fy (t)	Fz (t)	Mx (t*m)	My (t*m)	Mz (t*m)
1	0,336	0,781	40,355	8,063	0,211	-0,067
2	0,144	-0,320	-0,405	0,000	0,000	-0,005
3	0,182	1,265	64,623	-13,199	0,109	0,037
4	0,133	-0,509	-0,393	0,000	0,000	0,011
5	-0,746	-1,379	40,636	0,966	-8,593	-0,275
6	0,576	0,131	-0,143	0,000	0,000	0,088
7	-1,342	1,658	53,950	-0,994	-11,557	0,332
8	0,748	-1,038	-0,261	0,000	0,000	-0,239
9	-2,054	-0,536	72,475	0,421	-15,667	-0,107
10	1,110	0,786	0,000	0,000	0,000	0,144
11	-1,177	-1,199	49,669	0,849	-10,637	-0,239
12	0,691	-0,082	-0,270	0,000	0,000	0,047
13	1,768	1,565	59,331	-0,936	12,807	-0,313
14	-1,030	-0,631	-0,415	0,000	0,000	0,173
15	2,160	-0,405	75,576	0,335	16,257	0,081
16	-1,184	0,048	0,000	0,000	0,000	-0,028
17	2,075	-1,285	59,278	0,903	12,938	0,257
18	-0,757	0,374	-0,522	0,000	0,000	-0,121
19	-0,196	1,071	65,084	-19,197	-0,134	-0,058
20	-0,073	0,566	-0,551	0,000	0,000	-0,022
21	-1,414	-0,073	80,106	0,119	-16,841	-0,014
22	0,654	-0,366	-5,565	0,000	0,000	-0,052
23	-2,245	-1,454	60,412	1,010	-13,371	-0,290
24	1,094	0,869	-0,522	0,000	0,000	0,203
25	0,288	1,039	67,432	-19,906	0,179	0,087
26	-0,016	1,093	-0,551	0,000	0,000	-0,005
27	1,325	-0,054	82,037	0,106	17,091	0,011
28	-0,584	-0,538	-4,515	0,000	0,000	0,078
29	2,158	-1,460	60,807	1,012	13,290	0,292
30	-1,029	0,878	-0,522	0,000	0,000	-0,205
31	-1,873	1,558	67,872	-0,936	-14,633	0,312
32	1,287	-0,644	-0,712	0,000	0,000	-0,175
33	-2,274	-0,389	76,357	0,319	-16,564	-0,077
34	1,203	0,039	0,000	0,000	0,000	0,025
35	-1,971	-1,254	69,074	0,877	-14,953	-0,250
36	0,893	0,374	-0,778	0,000	0,000	0,118
37	1,931	1,626	70,554	-0,982	15,141	-0,325
38	-1,064	-1,025	-0,706	0,000	0,000	0,235
39	1,980	-0,512	72,965	0,397	15,636	0,103
40	-1,092	0,805	0,000	0,000	0,000	-0,147
41	1,631	-1,132	68,356	0,797	14,510	0,227
42	-0,912	-0,086	-0,781	0,000	0,000	-0,044

## EQUILIBRI NODALI COMBINAZIONE 1

Nodo 3D	Fx (t)	Fy (t)	Fz (t)	Mx (t*m)	My (t*m)	Mz (t*m)
43	-0,725	0,502	49,019	9,884	-0,473	0,145
44	-0,088	-0,236	-0,572	0,000	0,000	-0,023
45	-0,213	1,395	65,272	-13,465	-0,145	-0,042
46	-0,129	-0,609	-0,393	0,000	0,000	-0,009
47	0,396	-1,328	51,987	0,922	10,559	0,266
48	-0,575	0,120	-0,654	0,000	0,000	-0,085
51	0,244	-0,011	0,000	0,000	0,000	-0,037
52	0,192	0,103	-0,343	0,000	0,000	0,028
53	0,203	-0,191	-0,143	0,000	0,000	-0,029
54	0,163	-0,525	-0,425	0,000	0,000	-0,079
55	0,203	0,522	-0,400	0,000	0,000	0,078
56	0,184	-0,241	-0,269	0,000	0,000	-0,037
57	-0,221	-0,286	-0,537	0,000	0,000	0,042
58	-0,176	-0,057	-0,379	0,000	0,000	0,008
59	0,207	0,092	-0,504	0,000	0,000	-0,014
60	-0,135	0,412	-0,551	0,000	0,000	-0,041
61	-0,040	-0,256	-5,935	0,000	0,000	-0,039
62	0,054	0,485	-0,562	0,000	0,000	0,072
63	0,063	0,305	-0,816	0,000	0,000	0,018
64	0,107	-0,233	-5,935	0,000	0,000	0,034
65	-0,025	0,483	-0,562	0,000	0,000	-0,073
66	0,481	-0,302	-0,667	0,000	0,000	-0,046
67	0,120	-0,060	-0,379	0,000	0,000	-0,010
68	-0,004	0,104	-0,696	0,000	0,000	0,015
69	-0,242	-0,517	-0,734	0,000	0,000	0,077
70	-0,222	0,556	-0,400	0,000	0,000	-0,084
71	-0,237	-0,219	-0,652	0,000	0,000	0,032
72	-0,300	-0,049	-0,367	0,000	0,000	0,044
73	-0,198	0,071	-0,343	0,000	0,000	-0,030
74	-0,421	-0,184	-0,527	0,000	0,000	0,027
76	0,014	-0,440	0,000	0,000	0,000	0,035
77	0,083	-0,471	-0,343	0,000	0,000	-0,017
78	0,135	-0,071	-0,143	0,000	0,000	0,065
79	0,197	0,135	-0,425	0,000	0,000	0,009
80	0,187	0,026	-0,400	0,000	0,000	-0,036
81	0,146	-0,411	-0,269	0,000	0,000	0,035
82	-0,455	0,103	-0,537	0,000	0,000	0,022
83	-0,165	-0,162	-0,379	0,000	0,000	-0,004
84	-0,560	-0,252	-0,504	0,000	0,000	-0,016
85	0,171	2,500	-6,116	0,000	0,000	0,051
86	0,209	-0,665	-3,415	0,000	0,000	-0,032
87	0,495	-0,200	-0,562	0,000	0,000	-0,015
88	-0,114	2,051	-6,116	0,000	0,000	-0,034
89	-0,219	-0,505	-5,935	0,000	0,000	0,009
90	-0,452	-0,205	-0,562	0,000	0,000	0,016
91	0,249	0,096	-0,667	0,000	0,000	-0,021
92	0,216	-0,160	-0,379	0,000	0,000	0,005
93	0,367	-0,244	-0,696	0,000	0,000	0,014
94	-0,343	0,127	-0,734	0,000	0,000	-0,008
95	-0,149	0,032	-0,400	0,000	0,000	0,039
96	-0,284	-0,400	-0,652	0,000	0,000	-0,032
97	0,161	-0,354	-0,367	0,000	0,000	-0,072

**EQUILIBRI NODALI COMBINAZIONE 1**

Nodo 3D	Fx (t)	Fy (t)	Fz (t)	Mx (t*m)	My (t*m)	Mz (t*m)
98	-0,070	-0,470	-0,343	0,000	0,000	0,020
99	0,182	-0,058	-0,527	0,000	0,000	-0,064
101	-0,738	-0,010	-0,024	0,000	0,000	0,074
102	-0,590	-0,387	-0,335	0,000	0,000	-0,059
103	-0,168	1,510	-0,184	0,000	0,000	0,151
104	0,234	-0,230	-0,312	0,000	0,000	-0,023
105	0,554	-0,798	-0,288	0,000	0,000	-0,079
106	0,157	1,933	-0,314	0,000	0,000	0,194
107	-0,062	-0,752	-0,317	0,000	0,000	0,076
108	-0,634	0,577	-0,273	0,000	0,000	-0,057
109	-0,965	1,071	-0,297	0,000	0,000	-0,107
110	0,233	-4,549	-1,135	0,000	0,000	0,071
111	0,591	1,359	-0,258	0,000	0,000	0,136
112	0,602	0,299	-0,282	0,000	0,000	0,030
113	-0,220	-4,486	-1,135	0,000	0,000	-0,065
114	-0,629	1,331	-0,258	0,000	0,000	-0,133
115	-0,651	0,304	-0,282	0,000	0,000	-0,030
116	-0,144	-0,707	-0,317	0,000	0,000	-0,070
117	0,736	0,570	-0,273	0,000	0,000	0,057
118	0,714	1,020	-0,297	0,000	0,000	0,102
119	-0,281	-0,211	-0,312	0,000	0,000	0,022
120	-0,517	-0,881	-0,288	0,000	0,000	0,088
121	-0,198	1,838	-0,314	0,000	0,000	-0,183
122	0,952	0,138	-0,258	0,000	0,000	-0,095
123	0,609	-0,388	-0,335	0,000	0,000	0,061
124	0,417	1,450	-0,184	0,000	0,000	-0,145

**EQUILIBRI NODALI COMBINAZIONE 2**

Nodo 3D	Fx (t)	Fy (t)	Fz (t)	Mx (t*m)	My (t*m)	Mz (t*m)
1	-1,638	-1,927	15,734	3,328	-2,114	0,293
2	-0,293	-2,267	-0,168	0,000	0,000	-0,134
3	-1,635	-2,999	33,195	-1,106	-2,035	-0,339
4	-0,407	0,430	-0,163	0,000	0,000	0,099
5	-4,068	-2,137	20,045	2,180	-11,822	-0,412
6	-1,294	-0,513	-0,059	0,000	0,000	0,159
7	-6,450	-0,105	32,425	0,802	-15,469	-0,006
8	1,837	0,062	-0,108	0,000	0,000	0,018
9	-6,352	-1,720	41,355	1,845	-17,121	-0,328
10	2,380	0,916	0,000	0,000	0,000	0,204
11	-6,007	-1,621	37,347	1,778	-16,118	-0,310
12	2,380	-0,553	-0,112	0,000	0,000	0,106
13	-4,546	0,051	36,357	0,641	-1,027	0,005
14	1,260	-0,763	-0,159	0,000	0,000	0,107
15	-3,662	-1,510	44,301	1,651	1,485	0,318
16	-2,220	-0,444	0,000	0,000	0,000	-0,013
17	-4,073	-1,609	37,058	1,712	-0,044	0,337
18	1,273	-0,217	-0,194	0,000	0,000	-0,058
19	-2,792	-4,819	38,630	-1,517	-3,178	-0,861
20	-0,725	2,856	-0,229	0,000	0,000	-0,314
21	-9,408	-1,820	49,608	1,777	-20,393	-0,350
22	3,362	0,272	-3,710	0,000	0,000	0,129

## EQUILIBRI NODALI COMBINAZIONE 2

Nodo 3D	Fx (t)	Fy (t)	Fz (t)	Mx (t*m)	My (t*m)	Mz (t*m)
23	-6,622	-1,600	39,982	1,633	-17,103	-0,290
24	2,594	0,920	-0,194	0,000	0,000	0,222
25	-2,647	-3,797	34,305	-1,156	-3,086	-0,818
26	-0,907	1,602	-0,229	0,000	0,000	-0,309
27	-7,468	-1,478	61,041	1,479	2,783	0,290
28	2,372	-0,025	-3,010	0,000	0,000	-0,053
29	-4,053	-1,482	36,324	1,480	-0,244	0,321
30	1,126	0,780	-0,194	0,000	0,000	-0,178
31	-6,640	0,350	38,390	0,236	-16,740	0,084
32	2,059	-0,466	-0,256	0,000	0,000	-0,019
33	-6,506	-1,063	47,271	1,148	-18,343	-0,199
34	-0,963	-0,114	0,000	0,000	0,000	0,107
35	-6,493	-1,280	45,655	1,287	-18,039	-0,242
36	2,490	0,086	-0,278	0,000	0,000	0,146
37	-4,566	0,382	41,763	0,164	-0,014	-0,063
38	1,272	-0,290	-0,254	0,000	0,000	0,072
39	-3,877	-1,035	43,144	1,078	1,128	0,221
40	0,877	0,536	0,000	0,000	0,000	-0,120
41	-4,185	-1,131	41,878	1,139	0,823	0,240
42	1,199	-0,134	-0,279	0,000	0,000	-0,042
43	-2,372	-0,630	37,327	14,307	-2,590	0,459
44	-0,537	2,109	-0,222	0,000	0,000	-0,155
45	-1,791	-0,171	51,436	-7,861	-2,123	-0,365
46	-0,473	-0,462	-0,163	0,000	0,000	0,094
47	-2,983	-1,319	47,323	1,201	2,312	0,278
48	-2,243	0,086	-0,227	0,000	0,000	-0,069
51	0,715	1,283	0,000	0,000	0,000	-0,102
52	0,598	0,340	-0,142	0,000	0,000	0,100
53	1,800	-0,047	-0,059	0,000	0,000	-0,020
54	1,986	0,199	-0,176	0,000	0,000	0,023
55	1,841	0,681	-0,166	0,000	0,000	0,092
56	1,852	-0,121	-0,111	0,000	0,000	-0,030
57	1,703	0,128	-0,206	0,000	0,000	0,015
58	1,569	-0,104	-0,157	0,000	0,000	0,003
59	1,785	0,007	-0,192	0,000	0,000	-0,014
60	0,836	3,622	-0,229	0,000	0,000	0,263
61	2,531	0,256	-3,864	0,000	0,000	0,035
62	1,774	0,603	-0,216	0,000	0,000	0,093
63	0,943	2,510	-0,362	0,000	0,000	0,295
64	2,471	0,153	-3,864	0,000	0,000	-0,012
65	1,667	0,519	-0,216	0,000	0,000	-0,096
66	2,118	-0,052	-0,247	0,000	0,000	-0,016
67	1,614	-0,366	-0,157	0,000	0,000	-0,071
68	1,735	0,157	-0,255	0,000	0,000	0,015
69	1,737	-0,083	-0,275	0,000	0,000	0,008
70	1,600	0,410	-0,166	0,000	0,000	-0,068
71	1,598	-0,472	-0,237	0,000	0,000	0,055
72	0,319	0,184	-0,137	0,000	0,000	-0,051
73	0,449	0,084	-0,142	0,000	0,000	0,072
74	1,410	-0,079	-0,185	0,000	0,000	0,003
76	0,851	0,909	0,000	0,000	0,000	-0,119
77	0,825	1,683	-0,142	0,000	0,000	0,154

**EQUILIBRI NODALI COMBINAZIONE 2**

Nodo 3D	Fx (t)	Fy (t)	Fz (t)	Mx (t*m)	My (t*m)	Mz (t*m)
78	1,450	0,675	-0,059	0,000	0,000	0,159
79	2,581	0,299	-0,176	0,000	0,000	0,007
80	2,315	0,571	-0,166	0,000	0,000	0,072
81	2,409	0,331	-0,111	0,000	0,000	0,110
82	2,200	0,504	-0,206	0,000	0,000	-0,087
83	2,264	0,569	-0,157	0,000	0,000	-0,151
84	2,015	0,329	-0,192	0,000	0,000	-0,115
85	1,259	2,489	-3,939	0,000	0,000	0,404
86	2,582	0,208	-2,184	0,000	0,000	0,078
87	2,551	0,034	-0,216	0,000	0,000	-0,004
88	1,173	3,432	-3,939	0,000	0,000	0,379
89	2,189	0,173	-3,864	0,000	0,000	-0,112
90	2,098	-0,038	-0,216	0,000	0,000	-0,026
91	2,586	0,332	-0,247	0,000	0,000	0,031
92	2,502	0,337	-0,157	0,000	0,000	0,080
93	2,509	0,155	-0,255	0,000	0,000	0,057
94	2,297	0,145	-0,275	0,000	0,000	-0,035
95	2,113	0,294	-0,166	0,000	0,000	-0,052
96	2,135	0,058	-0,237	0,000	0,000	-0,091
97	0,966	0,189	-0,137	0,000	0,000	-0,193
98	0,705	0,420	-0,142	0,000	0,000	0,169
99	1,428	0,268	-0,185	0,000	0,000	-0,113
101	0,377	0,732	-0,008	0,000	0,000	-0,034
102	0,554	1,466	-0,137	0,000	0,000	0,064
103	0,972	1,726	-0,073	0,000	0,000	0,157
104	1,803	-0,092	-0,128	0,000	0,000	-0,026
105	2,082	0,256	-0,120	0,000	0,000	0,004
106	2,039	1,724	-0,128	0,000	0,000	0,153
107	1,829	0,099	-0,129	0,000	0,000	-0,025
108	1,415	1,180	-0,114	0,000	0,000	-0,133
109	1,433	1,188	-0,121	0,000	0,000	-0,134
110	1,768	-2,217	-0,473	0,000	0,000	0,592
111	2,222	1,517	-0,108	0,000	0,000	0,135
112	2,359	0,288	-0,115	0,000	0,000	0,014
113	1,734	-1,483	-0,473	0,000	0,000	0,546
114	1,606	1,346	-0,108	0,000	0,000	-0,153
115	1,568	0,285	-0,115	0,000	0,000	-0,044
116	1,843	-0,059	-0,129	0,000	0,000	-0,019
117	2,426	0,921	-0,114	0,000	0,000	0,078
118	2,332	0,997	-0,121	0,000	0,000	0,086
119	1,683	-0,149	-0,128	0,000	0,000	0,006
120	1,352	-0,070	-0,120	0,000	0,000	-0,009
121	1,677	1,411	-0,128	0,000	0,000	-0,157
122	1,475	0,331	-0,103	0,000	0,000	-0,142
123	1,091	0,404	-0,137	0,000	0,000	0,113
124	1,218	1,199	-0,073	0,000	0,000	-0,133

**EQUILIBRI NODALI COMBINAZIONE 3**

Nodo 3D	Fx (t)	Fy (t)	Fz (t)	Mx (t*m)	My (t*m)	Mz (t*m)
1	-1,415	-2,766	15,431	5,134	-1,858	0,266
2	-0,289	-2,148	-0,168	0,000	0,000	-0,107

## EQUILIBRI NODALI COMBINAZIONE 3

Nodo 3D	Fx (t)	Fy (t)	Fz (t)	Mx (t*m)	My (t*m)	Mz (t*m)
3	-1,634	-4,217	33,016	1,006	-2,024	-0,321
4	-0,414	0,565	-0,163	0,000	0,000	0,115
5	-4,438	-2,546	20,545	2,698	-12,634	-0,476
6	-1,251	-0,530	-0,059	0,000	0,000	0,193
7	-5,793	-0,375	32,026	1,156	-14,394	-0,042
8	1,742	0,193	-0,108	0,000	0,000	0,068
9	-6,328	-2,092	40,902	2,265	-16,985	-0,385
10	2,367	0,966	0,000	0,000	0,000	0,246
11	-6,531	-1,866	38,371	2,115	-17,119	-0,341
12	2,428	-0,577	-0,112	0,000	0,000	0,131
13	-3,944	-0,099	35,981	0,853	-0,137	0,052
14	1,187	-0,765	-0,159	0,000	0,000	0,116
15	-3,623	-1,739	44,211	1,913	1,521	0,381
16	-2,234	-0,443	0,000	0,000	0,000	-0,008
17	-4,572	-1,766	37,349	1,928	-0,768	0,386
18	1,307	-0,220	-0,194	0,000	0,000	-0,049
19	-2,469	-5,202	38,028	-0,728	-2,811	-0,740
20	-0,674	2,876	-0,229	0,000	0,000	-0,265
21	-9,367	-1,920	49,871	1,873	-20,391	-0,352
22	3,340	0,291	-3,710	0,000	0,000	0,153
23	-7,139	-1,647	40,243	1,696	-17,947	-0,282
24	2,638	0,941	-0,194	0,000	0,000	0,244
25	-2,325	-3,414	34,908	-1,945	-2,719	-0,697
26	-0,856	1,582	-0,229	0,000	0,000	-0,260
27	-7,427	-1,379	60,777	1,382	2,785	0,288
28	2,350	-0,044	-3,010	0,000	0,000	-0,029
29	-4,570	-1,435	36,062	1,417	-1,089	0,329
30	1,170	0,760	-0,194	0,000	0,000	-0,156
31	-6,037	0,499	38,766	0,024	-15,849	0,131
32	1,987	-0,464	-0,256	0,000	0,000	-0,010
33	-6,467	-0,835	47,361	0,885	-18,308	-0,135
34	-0,977	-0,114	0,000	0,000	0,000	0,111
35	-6,992	-1,123	45,365	1,071	-18,763	-0,193
36	2,524	0,089	-0,278	0,000	0,000	0,154
37	-3,909	0,651	42,162	-0,190	1,062	-0,099
38	1,177	-0,421	-0,254	0,000	0,000	0,122
39	-3,852	-0,663	43,596	0,658	1,264	0,164
40	0,864	0,485	0,000	0,000	0,000	-0,077
41	-4,710	-0,886	40,855	0,802	-0,178	0,208
42	1,247	-0,110	-0,279	0,000	0,000	-0,017
43	-2,148	0,208	37,630	12,501	-2,334	0,432
44	-0,532	1,989	-0,222	0,000	0,000	-0,128
45	-1,791	1,047	51,615	-9,972	-2,112	-0,347
46	-0,479	-0,597	-0,163	0,000	0,000	0,109
47	-3,353	-0,909	46,823	0,683	1,501	0,213
48	-2,201	0,104	-0,227	0,000	0,000	-0,035
51	0,684	1,562	0,000	0,000	0,000	-0,101
52	0,592	0,578	-0,142	0,000	0,000	0,095
53	1,899	0,019	-0,059	0,000	0,000	-0,014
54	1,877	0,323	-0,176	0,000	0,000	0,037
55	1,834	0,769	-0,166	0,000	0,000	0,101
56	1,930	-0,078	-0,111	0,000	0,000	-0,028

## EQUILIBRI NODALI COMBINAZIONE 3

Nodo 3D	Fx (t)	Fy (t)	Fz (t)	Mx (t*m)	My (t*m)	Mz (t*m)
57	1,600	0,158	-0,206	0,000	0,000	0,007
58	1,565	-0,073	-0,157	0,000	0,000	-0,006
59	1,857	0,037	-0,192	0,000	0,000	-0,022
60	0,781	3,841	-0,229	0,000	0,000	0,240
61	2,519	0,281	-3,864	0,000	0,000	0,035
62	1,851	0,626	-0,216	0,000	0,000	0,092
63	0,888	2,292	-0,362	0,000	0,000	0,272
64	2,458	0,127	-3,864	0,000	0,000	-0,013
65	1,744	0,496	-0,216	0,000	0,000	-0,097
66	2,015	-0,082	-0,247	0,000	0,000	-0,025
67	1,610	-0,396	-0,157	0,000	0,000	-0,080
68	1,807	0,127	-0,255	0,000	0,000	0,007
69	1,628	-0,207	-0,275	0,000	0,000	0,022
70	1,593	0,322	-0,166	0,000	0,000	-0,059
71	1,677	-0,515	-0,237	0,000	0,000	0,057
72	0,288	-0,095	-0,137	0,000	0,000	-0,050
73	0,444	-0,153	-0,142	0,000	0,000	0,068
74	1,509	-0,145	-0,185	0,000	0,000	0,009
76	0,762	1,162	0,000	0,000	0,000	-0,116
77	0,820	2,148	-0,142	0,000	0,000	0,139
78	1,576	0,838	-0,059	0,000	0,000	0,178
79	2,320	0,306	-0,176	0,000	0,000	-0,007
80	2,301	0,676	-0,166	0,000	0,000	0,079
81	2,626	0,436	-0,111	0,000	0,000	0,117
82	1,950	0,561	-0,206	0,000	0,000	-0,114
83	2,250	0,661	-0,157	0,000	0,000	-0,185
84	2,223	0,390	-0,192	0,000	0,000	-0,143
85	1,141	2,578	-3,939	0,000	0,000	0,350
86	2,568	0,233	-2,184	0,000	0,000	0,068
87	2,764	0,035	-0,216	0,000	0,000	-0,019
88	1,054	3,343	-3,939	0,000	0,000	0,324
89	2,176	0,149	-3,864	0,000	0,000	-0,122
90	2,311	-0,039	-0,216	0,000	0,000	-0,041
91	2,336	0,275	-0,247	0,000	0,000	0,004
92	2,487	0,245	-0,157	0,000	0,000	0,046
93	2,717	0,094	-0,255	0,000	0,000	0,029
94	2,036	0,137	-0,275	0,000	0,000	-0,049
95	2,099	0,189	-0,166	0,000	0,000	-0,045
96	2,352	-0,047	-0,237	0,000	0,000	-0,084
97	0,878	-0,064	-0,137	0,000	0,000	-0,189
98	0,701	-0,046	-0,142	0,000	0,000	0,154
99	1,554	0,105	-0,185	0,000	0,000	-0,094
101	0,269	0,919	-0,008	0,000	0,000	-0,038
102	0,569	1,846	-0,137	0,000	0,000	0,051
103	1,074	1,923	-0,073	0,000	0,000	0,163
104	1,611	-0,085	-0,128	0,000	0,000	-0,040
105	2,092	0,385	-0,120	0,000	0,000	0,002
106	2,220	1,844	-0,128	0,000	0,000	0,150
107	1,652	0,164	-0,129	0,000	0,000	-0,046
108	1,410	1,285	-0,114	0,000	0,000	-0,158
109	1,618	1,257	-0,121	0,000	0,000	-0,155
110	1,568	-2,162	-0,473	0,000	0,000	0,500

**EQUILIBRI NODALI COMBINAZIONE 3**

Nodo 3D	Fx (t)	Fy (t)	Fz (t)	Mx (t*m)	My (t*m)	Mz (t*m)
111	2,229	1,548	-0,108	0,000	0,000	0,124
112	2,542	0,290	-0,115	0,000	0,000	0,000
113	1,535	-1,539	-0,473	0,000	0,000	0,454
114	1,613	1,315	-0,108	0,000	0,000	-0,164
115	1,752	0,283	-0,115	0,000	0,000	-0,059
116	1,665	-0,124	-0,129	0,000	0,000	-0,040
117	2,420	0,816	-0,114	0,000	0,000	0,053
118	2,517	0,928	-0,121	0,000	0,000	0,065
119	1,490	-0,156	-0,128	0,000	0,000	-0,008
120	1,361	-0,199	-0,120	0,000	0,000	-0,010
121	1,859	1,290	-0,128	0,000	0,000	-0,159
122	1,367	0,145	-0,103	0,000	0,000	-0,145
123	1,106	0,024	-0,137	0,000	0,000	0,100
124	1,321	1,002	-0,073	0,000	0,000	-0,128

**EQUILIBRI NODALI COMBINAZIONE 4**

Nodo 3D	Fx (t)	Fy (t)	Fz (t)	Mx (t*m)	My (t*m)	Mz (t*m)
1	-1,473	-2,546	15,510	4,662	-1,925	0,273
2	-0,290	-2,179	-0,168	0,000	0,000	-0,114
3	-1,634	-3,899	33,063	0,453	-2,027	-0,326
4	-0,413	0,529	-0,163	0,000	0,000	0,111
5	-4,342	-2,439	20,414	2,562	-12,422	-0,459
6	-1,262	-0,526	-0,059	0,000	0,000	0,184
7	-5,965	-0,304	32,130	1,063	-14,675	-0,033
8	1,767	0,159	-0,108	0,000	0,000	0,055
9	-6,334	-1,995	41,021	2,155	-17,020	-0,370
10	2,370	0,953	0,000	0,000	0,000	0,235
11	-6,394	-1,802	38,103	2,027	-16,858	-0,333
12	2,415	-0,570	-0,112	0,000	0,000	0,125
13	-4,101	-0,059	36,079	0,797	-0,370	0,040
14	1,206	-0,764	-0,159	0,000	0,000	0,114
15	-3,633	-1,679	44,235	1,845	1,512	0,364
16	-2,230	-0,443	0,000	0,000	0,000	-0,009
17	-4,442	-1,725	37,273	1,872	-0,578	0,373
18	1,298	-0,219	-0,194	0,000	0,000	-0,051
19	-2,554	-5,102	38,185	-0,934	-2,907	-0,772
20	-0,687	2,871	-0,229	0,000	0,000	-0,278
21	-9,378	-1,894	49,802	1,848	-20,391	-0,352
22	3,345	0,286	-3,710	0,000	0,000	0,147
23	-7,004	-1,634	40,175	1,680	-17,726	-0,284
24	2,626	0,936	-0,194	0,000	0,000	0,238
25	-2,409	-3,514	34,750	-1,739	-2,815	-0,729
26	-0,869	1,587	-0,229	0,000	0,000	-0,273
27	-7,437	-1,405	60,846	1,407	2,784	0,288
28	2,356	-0,039	-3,010	0,000	0,000	-0,035
29	-4,435	-1,447	36,131	1,434	-0,868	0,327
30	1,159	0,765	-0,194	0,000	0,000	-0,162
31	-6,194	0,460	38,668	0,080	-16,082	0,119
32	2,006	-0,464	-0,256	0,000	0,000	-0,012
33	-6,478	-0,895	47,337	0,954	-18,317	-0,152
34	-0,973	-0,114	0,000	0,000	0,000	0,110

## EQUILIBRI NODALI COMBINAZIONE 4

Nodo 3D	Fx (t)	Fy (t)	Fz (t)	Mx (t*m)	My (t*m)	Mz (t*m)
35	-6,862	-1,164	45,441	1,127	-18,573	-0,206
36	2,516	0,088	-0,278	0,000	0,000	0,152
37	-4,081	0,581	42,058	-0,098	0,780	-0,089
38	1,202	-0,387	-0,254	0,000	0,000	0,109
39	-3,858	-0,761	43,478	0,768	1,228	0,179
40	0,867	0,499	0,000	0,000	0,000	-0,089
41	-4,573	-0,950	41,122	0,890	0,084	0,217
42	1,234	-0,117	-0,279	0,000	0,000	-0,023
43	-2,207	-0,011	37,551	12,973	-2,401	0,439
44	-0,533	2,021	-0,222	0,000	0,000	-0,135
45	-1,791	0,728	51,569	-9,420	-2,115	-0,352
46	-0,478	-0,562	-0,163	0,000	0,000	0,105
47	-3,256	-1,016	46,954	0,819	1,713	0,230
48	-2,212	0,099	-0,227	0,000	0,000	-0,044
51	0,692	1,489	0,000	0,000	0,000	-0,101
52	0,594	0,515	-0,142	0,000	0,000	0,097
53	1,873	0,002	-0,059	0,000	0,000	-0,015
54	1,905	0,290	-0,176	0,000	0,000	0,033
55	1,836	0,746	-0,166	0,000	0,000	0,099
56	1,910	-0,089	-0,111	0,000	0,000	-0,028
57	1,627	0,150	-0,206	0,000	0,000	0,009
58	1,566	-0,081	-0,157	0,000	0,000	-0,004
59	1,839	0,029	-0,192	0,000	0,000	-0,020
60	0,795	3,784	-0,229	0,000	0,000	0,246
61	2,522	0,275	-3,864	0,000	0,000	0,035
62	1,831	0,620	-0,216	0,000	0,000	0,092
63	0,902	2,349	-0,362	0,000	0,000	0,278
64	2,462	0,134	-3,864	0,000	0,000	-0,013
65	1,724	0,502	-0,216	0,000	0,000	-0,096
66	2,042	-0,074	-0,247	0,000	0,000	-0,023
67	1,611	-0,388	-0,157	0,000	0,000	-0,078
68	1,788	0,135	-0,255	0,000	0,000	0,009
69	1,657	-0,174	-0,275	0,000	0,000	0,019
70	1,595	0,345	-0,166	0,000	0,000	-0,062
71	1,656	-0,504	-0,237	0,000	0,000	0,057
72	0,296	-0,022	-0,137	0,000	0,000	-0,050
73	0,445	-0,091	-0,142	0,000	0,000	0,069
74	1,483	-0,128	-0,185	0,000	0,000	0,008
76	0,785	1,096	0,000	0,000	0,000	-0,116
77	0,822	2,026	-0,142	0,000	0,000	0,143
78	1,543	0,795	-0,059	0,000	0,000	0,173
79	2,388	0,304	-0,176	0,000	0,000	-0,004
80	2,304	0,648	-0,166	0,000	0,000	0,077
81	2,569	0,409	-0,111	0,000	0,000	0,115
82	2,016	0,546	-0,206	0,000	0,000	-0,107
83	2,254	0,637	-0,157	0,000	0,000	-0,176
84	2,168	0,374	-0,192	0,000	0,000	-0,136
85	1,172	2,555	-3,939	0,000	0,000	0,364
86	2,572	0,226	-2,184	0,000	0,000	0,071
87	2,708	0,034	-0,216	0,000	0,000	-0,015
88	1,085	3,366	-3,939	0,000	0,000	0,339
89	2,179	0,155	-3,864	0,000	0,000	-0,119

**EQUILIBRI NODALI COMBINAZIONE 4**

Nodo 3D	Fx (t)	Fy (t)	Fz (t)	Mx (t*m)	My (t*m)	Mz (t*m)
90	2,255	-0,039	-0,216	0,000	0,000	-0,037
91	2,402	0,290	-0,247	0,000	0,000	0,011
92	2,491	0,269	-0,157	0,000	0,000	0,055
93	2,663	0,110	-0,255	0,000	0,000	0,036
94	2,104	0,139	-0,275	0,000	0,000	-0,045
95	2,103	0,217	-0,166	0,000	0,000	-0,047
96	2,296	-0,019	-0,237	0,000	0,000	-0,086
97	0,901	0,002	-0,137	0,000	0,000	-0,190
98	0,702	0,076	-0,142	0,000	0,000	0,158
99	1,521	0,148	-0,185	0,000	0,000	-0,099
101	0,297	0,870	-0,008	0,000	0,000	-0,037
102	0,565	1,747	-0,137	0,000	0,000	0,054
103	1,047	1,872	-0,073	0,000	0,000	0,161
104	1,661	-0,087	-0,128	0,000	0,000	-0,036
105	2,090	0,351	-0,120	0,000	0,000	0,003
106	2,173	1,813	-0,128	0,000	0,000	0,151
107	1,698	0,147	-0,129	0,000	0,000	-0,041
108	1,411	1,258	-0,114	0,000	0,000	-0,152
109	1,570	1,239	-0,121	0,000	0,000	-0,150
110	1,621	-2,176	-0,473	0,000	0,000	0,524
111	2,228	1,540	-0,108	0,000	0,000	0,127
112	2,494	0,290	-0,115	0,000	0,000	0,003
113	1,587	-1,524	-0,473	0,000	0,000	0,478
114	1,611	1,323	-0,108	0,000	0,000	-0,161
115	1,704	0,283	-0,115	0,000	0,000	-0,055
116	1,712	-0,107	-0,129	0,000	0,000	-0,035
117	2,422	0,843	-0,114	0,000	0,000	0,060
118	2,469	0,946	-0,121	0,000	0,000	0,070
119	1,541	-0,154	-0,128	0,000	0,000	-0,004
120	1,359	-0,166	-0,120	0,000	0,000	-0,010
121	1,811	1,322	-0,128	0,000	0,000	-0,159
122	1,395	0,193	-0,103	0,000	0,000	-0,144
123	1,102	0,124	-0,137	0,000	0,000	0,104
124	1,294	1,054	-0,073	0,000	0,000	-0,129

**EQUILIBRI NODALI COMBINAZIONE 5**

Nodo 3D	Fx (t)	Fy (t)	Fz (t)	Mx (t*m)	My (t*m)	Mz (t*m)
1	-1,250	-3,385	15,207	6,468	-1,669	0,246
2	-0,286	-2,059	-0,168	0,000	0,000	-0,088
3	-1,634	-5,117	32,884	2,565	-2,016	-0,308
4	-0,419	0,664	-0,163	0,000	0,000	0,126
5	-4,712	-2,848	20,914	3,080	-13,234	-0,523
6	-1,220	-0,543	-0,059	0,000	0,000	0,219
7	-5,308	-0,574	31,731	1,417	-13,599	-0,069
8	1,673	0,290	-0,108	0,000	0,000	0,104
9	-6,309	-2,367	40,568	2,575	-16,884	-0,427
10	2,357	1,004	0,000	0,000	0,000	0,278
11	-6,919	-2,046	39,126	2,365	-17,858	-0,364
12	2,463	-0,594	-0,112	0,000	0,000	0,150
13	-3,498	-0,209	35,703	1,009	0,521	0,087
14	1,133	-0,766	-0,159	0,000	0,000	0,123

## EQUILIBRI NODALI COMBINAZIONE 5

Nodo 3D	Fx (t)	Fy (t)	Fz (t)	Mx (t*m)	My (t*m)	Mz (t*m)
15	-3,594	-1,908	44,145	2,108	1,547	0,428
16	-2,244	-0,443	0,000	0,000	0,000	-0,004
17	-4,941	-1,882	37,563	2,088	-1,303	0,422
18	1,332	-0,222	-0,194	0,000	0,000	-0,042
19	-2,231	-5,485	37,583	-0,146	-2,540	-0,651
20	-0,636	2,891	-0,229	0,000	0,000	-0,229
21	-9,337	-1,993	50,066	1,945	-20,390	-0,354
22	3,323	0,305	-3,710	0,000	0,000	0,171
23	-7,521	-1,681	40,437	1,742	-18,570	-0,276
24	2,670	0,956	-0,194	0,000	0,000	0,260
25	-2,087	-3,131	35,353	-2,528	-2,448	-0,608
26	-0,818	1,567	-0,229	0,000	0,000	-0,225
27	-7,396	-1,305	60,583	1,311	2,786	0,286
28	2,334	-0,058	-3,010	0,000	0,000	-0,011
29	-4,952	-1,400	35,869	1,371	-1,712	0,335
30	1,203	0,744	-0,194	0,000	0,000	-0,140
31	-5,592	0,609	39,044	-0,132	-15,191	0,166
32	1,933	-0,463	-0,256	0,000	0,000	-0,003
33	-6,439	-0,666	47,427	0,691	-18,282	-0,089
34	-0,987	-0,114	0,000	0,000	0,000	0,115
35	-7,361	-1,007	45,150	0,911	-19,298	-0,157
36	2,550	0,090	-0,278	0,000	0,000	0,161
37	-3,423	0,851	42,457	-0,451	1,856	-0,126
38	1,107	-0,518	-0,254	0,000	0,000	0,158
39	-3,834	-0,388	43,930	0,348	1,364	0,122
40	0,854	0,448	0,000	0,000	0,000	-0,046
41	-5,097	-0,706	40,099	0,553	-0,917	0,185
42	1,282	-0,093	-0,279	0,000	0,000	0,002
43	-1,983	0,827	37,854	11,167	-2,145	0,412
44	-0,529	1,901	-0,222	0,000	0,000	-0,108
45	-1,790	1,946	51,748	-11,532	-2,104	-0,334
46	-0,485	-0,697	-0,163	0,000	0,000	0,120
47	-3,627	-0,607	46,454	0,301	0,901	0,166
48	-2,169	0,117	-0,227	0,000	0,000	-0,010
51	0,661	1,768	0,000	0,000	0,000	-0,101
52	0,589	0,753	-0,142	0,000	0,000	0,092
53	1,973	0,068	-0,059	0,000	0,000	-0,009
54	1,796	0,414	-0,176	0,000	0,000	0,048
55	1,828	0,834	-0,166	0,000	0,000	0,108
56	1,988	-0,047	-0,111	0,000	0,000	-0,026
57	1,524	0,180	-0,206	0,000	0,000	0,001
58	1,562	-0,050	-0,157	0,000	0,000	-0,012
59	1,910	0,059	-0,192	0,000	0,000	-0,029
60	0,740	4,002	-0,229	0,000	0,000	0,222
61	2,510	0,300	-3,864	0,000	0,000	0,034
62	1,907	0,643	-0,216	0,000	0,000	0,091
63	0,847	2,130	-0,362	0,000	0,000	0,254
64	2,449	0,108	-3,864	0,000	0,000	-0,013
65	1,801	0,479	-0,216	0,000	0,000	-0,097
66	1,939	-0,104	-0,247	0,000	0,000	-0,031
67	1,607	-0,419	-0,157	0,000	0,000	-0,086
68	1,860	0,105	-0,255	0,000	0,000	0,000

## EQUILIBRI NODALI COMBINAZIONE 5

Nodo 3D	Fx (t)	Fy (t)	Fz (t)	Mx (t*m)	My (t*m)	Mz (t*m)
69	1,548	-0,298	-0,275	0,000	0,000	0,033
70	1,588	0,257	-0,166	0,000	0,000	-0,052
71	1,735	-0,546	-0,237	0,000	0,000	0,059
72	0,265	-0,301	-0,137	0,000	0,000	-0,050
73	0,440	-0,329	-0,142	0,000	0,000	0,064
74	1,583	-0,195	-0,185	0,000	0,000	0,014
76	0,697	1,349	0,000	0,000	0,000	-0,113
77	0,817	2,492	-0,142	0,000	0,000	0,128
78	1,669	0,958	-0,059	0,000	0,000	0,192
79	2,127	0,312	-0,176	0,000	0,000	-0,018
80	2,290	0,753	-0,166	0,000	0,000	0,084
81	2,786	0,514	-0,111	0,000	0,000	0,121
82	1,766	0,602	-0,206	0,000	0,000	-0,134
83	2,239	0,729	-0,157	0,000	0,000	-0,211
84	2,377	0,435	-0,192	0,000	0,000	-0,164
85	1,053	2,643	-3,939	0,000	0,000	0,310
86	2,558	0,250	-2,184	0,000	0,000	0,060
87	2,921	0,035	-0,216	0,000	0,000	-0,030
88	0,967	3,277	-3,939	0,000	0,000	0,284
89	2,166	0,131	-3,864	0,000	0,000	-0,130
90	2,468	-0,040	-0,216	0,000	0,000	-0,053
91	2,152	0,234	-0,247	0,000	0,000	-0,016
92	2,476	0,177	-0,157	0,000	0,000	0,020
93	2,871	0,049	-0,255	0,000	0,000	0,008
94	1,843	0,132	-0,275	0,000	0,000	-0,059
95	2,089	0,112	-0,166	0,000	0,000	-0,040
96	2,513	-0,125	-0,237	0,000	0,000	-0,079
97	0,813	-0,251	-0,137	0,000	0,000	-0,187
98	0,698	-0,389	-0,142	0,000	0,000	0,143
99	1,647	-0,015	-0,185	0,000	0,000	-0,080
101	0,189	1,057	-0,008	0,000	0,000	-0,041
102	0,581	2,127	-0,137	0,000	0,000	0,041
103	1,149	2,069	-0,073	0,000	0,000	0,167
104	1,468	-0,080	-0,128	0,000	0,000	-0,050
105	2,099	0,480	-0,120	0,000	0,000	0,001
106	2,354	1,933	-0,128	0,000	0,000	0,148
107	1,521	0,212	-0,129	0,000	0,000	-0,062
108	1,405	1,363	-0,114	0,000	0,000	-0,177
109	1,755	1,307	-0,121	0,000	0,000	-0,171
110	1,421	-2,121	-0,473	0,000	0,000	0,433
111	2,235	1,571	-0,108	0,000	0,000	0,116
112	2,678	0,292	-0,115	0,000	0,000	-0,011
113	1,387	-1,580	-0,473	0,000	0,000	0,386
114	1,619	1,292	-0,108	0,000	0,000	-0,173
115	1,887	0,281	-0,115	0,000	0,000	-0,069
116	1,534	-0,172	-0,129	0,000	0,000	-0,056
117	2,416	0,738	-0,114	0,000	0,000	0,035
118	2,654	0,878	-0,121	0,000	0,000	0,049
119	1,348	-0,161	-0,128	0,000	0,000	-0,018
120	1,368	-0,295	-0,120	0,000	0,000	-0,011
121	1,993	1,201	-0,128	0,000	0,000	-0,161
122	1,287	0,007	-0,103	0,000	0,000	-0,148

**EQUILIBRI NODALI COMBINAZIONE 5**

Nodo 3D	Fx (t)	Fy (t)	Fz (t)	Mx (t*m)	My (t*m)	Mz (t*m)
123	1,118	-0,257	-0,137	0,000	0,000	0,091
124	1,396	0,856	-0,073	0,000	0,000	-0,124

**EQUILIBRI NODALI COMBINAZIONE 6**

Nodo 3D	Fx (t)	Fy (t)	Fz (t)	Mx (t*m)	My (t*m)	Mz (t*m)
1	-1,327	0,085	21,353	-0,488	-1,745	0,294
2	-0,433	-1,014	-0,168	0,000	0,000	-0,089
3	-1,536	0,144	33,941	-6,769	-1,943	-0,294
4	-0,363	1,805	-0,163	0,000	0,000	0,129
5	-4,152	-1,069	13,609	0,789	-11,157	-0,179
6	-1,460	-0,117	-0,059	0,000	0,000	0,110
7	-5,443	1,043	34,569	-0,723	-15,320	0,243
8	2,316	-0,539	-0,108	0,000	0,000	-0,111
9	-6,173	-0,142	44,011	0,042	-17,595	0,007
10	2,200	0,568	0,000	0,000	0,000	0,110
11	-6,625	-0,601	33,016	0,337	-15,983	-0,086
12	2,213	-0,139	-0,112	0,000	0,000	0,056
13	-3,480	1,147	38,918	-0,921	0,931	-0,195
14	0,648	-0,375	-0,159	0,000	0,000	0,189
15	-3,781	0,201	44,435	-0,309	1,698	-0,005
16	-2,400	0,006	0,000	0,000	0,000	0,091
17	-4,852	-0,459	32,746	0,115	-1,930	0,127
18	1,516	0,176	-0,194	0,000	0,000	0,027
19	-2,312	4,062	50,289	-20,043	-2,625	-0,684
20	-0,895	-0,063	-0,229	0,000	0,000	-0,202
21	-9,061	1,075	40,470	-1,040	-18,334	0,249
22	3,111	-0,354	-3,710	0,000	0,000	-0,082
23	-7,254	-0,318	38,715	-0,142	-17,455	-0,013
24	2,426	0,267	-0,194	0,000	0,000	0,078
25	-2,086	5,998	47,382	-21,541	-2,478	-0,615
26	-0,639	-1,480	-0,229	0,000	0,000	-0,185
27	-7,654	1,650	51,251	-1,565	0,817	-0,314
28	2,561	-0,701	-3,010	0,000	0,000	0,213
29	-4,832	-0,089	34,461	-0,442	-1,679	0,063
30	1,369	0,075	-0,194	0,000	0,000	0,016
31	-5,605	1,813	41,833	-1,840	-16,723	0,400
32	2,561	-0,006	-0,256	0,000	0,000	-0,104
33	-6,283	1,203	47,601	-1,449	-18,133	0,278
34	-0,803	0,409	0,000	0,000	0,000	-0,006
35	-7,088	0,254	40,659	-0,835	-17,787	0,089
36	2,309	0,553	-0,278	0,000	0,000	0,058
37	-3,295	2,192	44,843	-2,225	2,209	-0,401
38	0,632	-1,247	-0,254	0,000	0,000	0,322
39	-3,724	1,452	46,841	-1,749	1,989	-0,253
40	1,033	-0,039	0,000	0,000	0,000	0,080
41	-5,014	0,495	35,173	-1,128	-1,587	-0,062
42	1,448	0,446	-0,279	0,000	0,000	0,069
43	-1,942	3,561	43,543	6,003	-2,139	0,398
44	-0,383	0,074	-0,222	0,000	0,000	-0,107
45	-1,871	6,029	52,518	-18,681	-2,172	-0,367
46	-0,525	-2,673	-0,163	0,000	0,000	0,125

## EQUILIBRI NODALI COMBINAZIONE 6

Nodo 3D	Fx (t)	Fy (t)	Fz (t)	Mx (t*m)	My (t*m)	Mz (t*m)
47	-3,691	0,761	39,618	-1,460	-0,231	-0,114
48	-1,994	0,713	-0,227	0,000	0,000	0,073
51	0,585	0,562	0,000	0,000	0,000	-0,094
52	0,631	1,553	-0,142	0,000	0,000	0,083
53	2,000	0,340	-0,059	0,000	0,000	0,037
54	1,566	-0,265	-0,176	0,000	0,000	-0,053
55	1,738	0,352	-0,166	0,000	0,000	0,037
56	2,051	0,239	-0,111	0,000	0,000	0,023
57	1,283	-0,165	-0,206	0,000	0,000	-0,036
58	1,446	0,331	-0,157	0,000	0,000	-0,064
59	1,999	0,352	-0,192	0,000	0,000	-0,067
60	0,632	-1,429	-0,229	0,000	0,000	0,181
61	2,383	-0,348	-3,864	0,000	0,000	-0,063
62	1,972	0,071	-0,216	0,000	0,000	0,006
63	0,734	-3,097	-0,362	0,000	0,000	0,212
64	2,575	-0,517	-3,864	0,000	0,000	0,081
65	1,869	-0,070	-0,216	0,000	0,000	-0,014
66	1,702	-0,446	-0,247	0,000	0,000	-0,087
67	1,726	0,081	-0,157	0,000	0,000	0,000
68	1,920	-0,246	-0,255	0,000	0,000	-0,057
69	1,309	-0,870	-0,275	0,000	0,000	0,117
70	1,501	-0,187	-0,166	0,000	0,000	0,010
71	1,804	-0,081	-0,237	0,000	0,000	0,001
72	0,400	-1,499	-0,137	0,000	0,000	-0,058
73	0,406	-1,670	-0,142	0,000	0,000	0,055
74	1,629	-0,616	-0,185	0,000	0,000	0,073
76	0,662	-0,231	0,000	0,000	0,000	-0,125
77	0,779	-0,149	-0,142	0,000	0,000	0,120
78	1,666	0,062	-0,059	0,000	0,000	0,016
79	2,022	0,106	-0,176	0,000	0,000	-0,042
80	2,211	-0,051	-0,166	0,000	0,000	-0,073
81	2,738	-0,289	-0,111	0,000	0,000	-0,033
82	1,669	-0,081	-0,206	0,000	0,000	0,013
83	2,158	-0,319	-0,157	0,000	0,000	0,016
84	2,380	-0,287	-0,192	0,000	0,000	-0,009
85	0,974	-1,094	-3,939	0,000	0,000	0,282
86	2,447	-0,705	-2,184	0,000	0,000	-0,130
87	2,896	-0,183	-0,216	0,000	0,000	-0,058
88	0,827	-0,425	-3,939	0,000	0,000	0,237
89	2,280	-0,805	-3,864	0,000	0,000	0,071
90	2,447	-0,262	-0,216	0,000	0,000	-0,010
91	1,977	-0,420	-0,247	0,000	0,000	-0,142
92	2,391	-0,806	-0,157	0,000	0,000	-0,176
93	2,830	-0,639	-0,255	0,000	0,000	-0,124
94	1,693	-0,122	-0,275	0,000	0,000	-0,017
95	2,006	-0,643	-0,166	0,000	0,000	0,111
96	2,520	-0,875	-0,237	0,000	0,000	0,068
97	0,753	-1,804	-0,137	0,000	0,000	-0,178
98	0,735	-2,770	-0,142	0,000	0,000	0,143
99	1,705	-0,829	-0,185	0,000	0,000	0,078
101	0,400	-0,143	-0,008	0,000	0,000	-0,049
102	0,477	-0,201	-0,137	0,000	0,000	0,037

**EQUILIBRI NODALI COMBINAZIONE 6**

Nodo 3D	Fx (t)	Fy (t)	Fz (t)	Mx (t*m)	My (t*m)	Mz (t*m)
103	0,972	0,906	-0,073	0,000	0,000	0,061
104	1,832	-0,187	-0,128	0,000	0,000	-0,053
105	2,042	-0,603	-0,120	0,000	0,000	-0,097
106	2,089	0,923	-0,128	0,000	0,000	0,057
107	1,536	-0,676	-0,129	0,000	0,000	0,038
108	1,563	-0,036	-0,114	0,000	0,000	-0,026
109	1,663	0,380	-0,121	0,000	0,000	-0,068
110	1,744	-3,654	-0,473	0,000	0,000	0,469
111	2,297	0,274	-0,108	0,000	0,000	-0,006
112	2,412	0,186	-0,115	0,000	0,000	-0,015
113	1,358	-3,052	-0,473	0,000	0,000	0,389
114	1,534	0,039	-0,108	0,000	0,000	-0,037
115	1,847	0,178	-0,115	0,000	0,000	-0,046
116	1,502	-0,977	-0,129	0,000	0,000	-0,130
117	2,248	-0,527	-0,114	0,000	0,000	-0,085
118	2,591	0,038	-0,121	0,000	0,000	-0,028
119	1,287	-0,274	-0,128	0,000	0,000	-0,013
120	1,403	-1,217	-0,120	0,000	0,000	0,088
121	1,957	0,340	-0,128	0,000	0,000	-0,067
122	1,216	-0,989	-0,103	0,000	0,000	-0,134
123	1,196	-2,124	-0,137	0,000	0,000	0,113
124	1,412	-0,065	-0,073	0,000	0,000	-0,025

**EQUILIBRI NODALI COMBINAZIONE 7**

Nodo 3D	Fx (t)	Fy (t)	Fz (t)	Mx (t*m)	My (t*m)	Mz (t*m)
1	-1,104	-0,754	21,050	1,319	-1,489	0,267
2	-0,429	-0,894	-0,168	0,000	0,000	-0,063
3	-1,535	-1,074	33,762	-4,658	-1,932	-0,277
4	-0,369	1,940	-0,163	0,000	0,000	0,144
5	-4,523	-1,479	14,109	1,306	-11,968	-0,243
6	-1,418	-0,135	-0,059	0,000	0,000	0,144
7	-4,786	0,773	34,170	-0,369	-14,244	0,207
8	2,221	-0,408	-0,108	0,000	0,000	-0,061
9	-6,148	-0,514	43,558	0,462	-17,459	-0,050
10	2,187	0,619	0,000	0,000	0,000	0,152
11	-7,149	-0,845	34,040	0,674	-16,984	-0,117
12	2,261	-0,163	-0,112	0,000	0,000	0,081
13	-2,877	0,998	38,542	-0,709	1,821	-0,147
14	0,575	-0,377	-0,159	0,000	0,000	0,198
15	-3,742	-0,028	44,345	-0,047	1,733	0,058
16	-2,414	0,006	0,000	0,000	0,000	0,096
17	-5,352	-0,616	33,036	0,332	-2,654	0,175
18	1,550	0,174	-0,194	0,000	0,000	0,036
19	-1,990	3,679	49,686	-19,254	-2,258	-0,563
20	-0,844	-0,043	-0,229	0,000	0,000	-0,154
21	-9,020	0,975	40,734	-0,944	-18,332	0,246
22	3,089	-0,335	-3,710	0,000	0,000	-0,057
23	-7,771	-0,365	38,976	-0,079	-18,299	-0,005
24	2,470	0,288	-0,194	0,000	0,000	0,100
25	-1,763	6,381	47,984	-22,330	-2,111	-0,495
26	-0,588	-1,500	-0,229	0,000	0,000	-0,136

## EQUILIBRI NODALI COMBINAZIONE 7

Nodo 3D	Fx (t)	Fy (t)	Fz (t)	Mx (t*m)	My (t*m)	Mz (t*m)
27	-7,613	1,750	50,988	-1,661	0,819	-0,316
28	2,539	-0,720	-3,010	0,000	0,000	0,237
29	-5,348	-0,042	34,199	-0,505	-2,524	0,072
30	1,413	0,054	-0,194	0,000	0,000	0,037
31	-5,002	1,962	42,209	-2,052	-15,833	0,448
32	2,488	-0,004	-0,256	0,000	0,000	-0,095
33	-6,244	1,431	47,690	-1,712	-18,097	0,342
34	-0,817	0,409	0,000	0,000	0,000	-0,001
35	-7,587	0,411	40,368	-1,052	-18,512	0,137
36	2,343	0,556	-0,278	0,000	0,000	0,067
37	-2,638	2,461	45,243	-2,578	3,284	-0,437
38	0,537	-1,379	-0,254	0,000	0,000	0,371
39	-3,699	1,825	47,294	-2,169	2,125	-0,310
40	1,020	-0,090	0,000	0,000	0,000	0,123
41	-5,538	0,740	34,150	-1,466	-2,587	-0,093
42	1,495	0,470	-0,279	0,000	0,000	0,094
43	-1,719	4,400	43,847	4,197	-1,883	0,371
44	-0,378	-0,046	-0,222	0,000	0,000	-0,080
45	-1,870	7,247	52,698	-20,792	-2,161	-0,350
46	-0,531	-2,808	-0,163	0,000	0,000	0,140
47	-4,062	1,170	39,118	-1,978	-1,043	-0,179
48	-1,951	0,731	-0,227	0,000	0,000	0,108
51	0,554	0,841	0,000	0,000	0,000	-0,093
52	0,626	1,791	-0,142	0,000	0,000	0,078
53	2,099	0,406	-0,059	0,000	0,000	0,043
54	1,457	-0,141	-0,176	0,000	0,000	-0,038
55	1,731	0,440	-0,166	0,000	0,000	0,046
56	2,130	0,282	-0,111	0,000	0,000	0,025
57	1,180	-0,135	-0,206	0,000	0,000	-0,045
58	1,442	0,361	-0,157	0,000	0,000	-0,072
59	2,071	0,382	-0,192	0,000	0,000	-0,075
60	0,577	-1,211	-0,229	0,000	0,000	0,158
61	2,370	-0,322	-3,864	0,000	0,000	-0,063
62	2,048	0,094	-0,216	0,000	0,000	0,005
63	0,679	-3,315	-0,362	0,000	0,000	0,188
64	2,563	-0,543	-3,864	0,000	0,000	0,081
65	1,946	-0,093	-0,216	0,000	0,000	-0,015
66	1,599	-0,476	-0,247	0,000	0,000	-0,095
67	1,722	0,050	-0,157	0,000	0,000	-0,009
68	1,992	-0,275	-0,255	0,000	0,000	-0,065
69	1,200	-0,994	-0,275	0,000	0,000	0,131
70	1,494	-0,275	-0,166	0,000	0,000	0,019
71	1,883	-0,124	-0,237	0,000	0,000	0,003
72	0,370	-1,778	-0,137	0,000	0,000	-0,057
73	0,401	-1,908	-0,142	0,000	0,000	0,050
74	1,728	-0,683	-0,185	0,000	0,000	0,079
76	0,574	0,022	0,000	0,000	0,000	-0,122
77	0,775	0,316	-0,142	0,000	0,000	0,104
78	1,792	0,225	-0,059	0,000	0,000	0,035
79	1,761	0,114	-0,176	0,000	0,000	-0,056
80	2,197	0,053	-0,166	0,000	0,000	-0,067
81	2,955	-0,183	-0,111	0,000	0,000	-0,026

**EQUILIBRI NODALI COMBINAZIONE 7**

Nodo 3D	Fx (t)	Fy (t)	Fz (t)	Mx (t*m)	My (t*m)	Mz (t*m)
82	1,420	-0,025	-0,206	0,000	0,000	-0,014
83	2,144	-0,227	-0,157	0,000	0,000	-0,018
84	2,588	-0,226	-0,192	0,000	0,000	-0,037
85	0,856	-1,005	-3,939	0,000	0,000	0,228
86	2,433	-0,681	-2,184	0,000	0,000	-0,141
87	3,108	-0,182	-0,216	0,000	0,000	-0,074
88	0,709	-0,513	-3,939	0,000	0,000	0,183
89	2,266	-0,829	-3,864	0,000	0,000	0,060
90	2,660	-0,263	-0,216	0,000	0,000	-0,025
91	1,727	-0,477	-0,247	0,000	0,000	-0,169
92	2,376	-0,898	-0,157	0,000	0,000	-0,211
93	3,038	-0,700	-0,255	0,000	0,000	-0,152
94	1,432	-0,130	-0,275	0,000	0,000	-0,031
95	1,992	-0,747	-0,166	0,000	0,000	0,117
96	2,737	-0,980	-0,237	0,000	0,000	0,075
97	0,665	-2,058	-0,137	0,000	0,000	-0,175
98	0,731	-3,235	-0,142	0,000	0,000	0,128
99	1,831	-0,992	-0,185	0,000	0,000	0,097
101	0,291	0,043	-0,008	0,000	0,000	-0,053
102	0,493	0,179	-0,137	0,000	0,000	0,024
103	1,074	1,103	-0,073	0,000	0,000	0,066
104	1,639	-0,180	-0,128	0,000	0,000	-0,067
105	2,052	-0,473	-0,120	0,000	0,000	-0,098
106	2,270	1,043	-0,128	0,000	0,000	0,055
107	1,359	-0,611	-0,129	0,000	0,000	0,017
108	1,557	0,069	-0,114	0,000	0,000	-0,051
109	1,848	0,449	-0,121	0,000	0,000	-0,089
110	1,544	-3,598	-0,473	0,000	0,000	0,377
111	2,304	0,305	-0,108	0,000	0,000	-0,017
112	2,595	0,188	-0,115	0,000	0,000	-0,029
113	1,159	-3,108	-0,473	0,000	0,000	0,297
114	1,541	0,008	-0,108	0,000	0,000	-0,049
115	2,030	0,176	-0,115	0,000	0,000	-0,061
116	1,324	-1,042	-0,129	0,000	0,000	-0,151
117	2,242	-0,632	-0,114	0,000	0,000	-0,110
118	2,776	-0,031	-0,121	0,000	0,000	-0,049
119	1,095	-0,280	-0,128	0,000	0,000	-0,027
120	1,413	-1,347	-0,120	0,000	0,000	0,087
121	2,139	0,220	-0,128	0,000	0,000	-0,070
122	1,108	-1,176	-0,103	0,000	0,000	-0,138
123	1,211	-2,505	-0,137	0,000	0,000	0,100
124	1,514	-0,262	-0,073	0,000	0,000	-0,020

**EQUILIBRI NODALI COMBINAZIONE 8**

Nodo 3D	Fx (t)	Fy (t)	Fz (t)	Mx (t*m)	My (t*m)	Mz (t*m)
1	-1,492	0,704	21,577	-1,822	-1,934	0,314
2	-0,436	-1,102	-0,168	0,000	0,000	-0,109
3	-1,536	1,044	34,074	-8,328	-1,951	-0,308
4	-0,358	1,706	-0,163	0,000	0,000	0,117
5	-3,878	-0,767	13,240	0,406	-10,557	-0,131
6	-1,492	-0,104	-0,059	0,000	0,000	0,085

## EQUILIBRI NODALI COMBINAZIONE 8

Nodo 3D	Fx (t)	Fy (t)	Fz (t)	Mx (t*m)	My (t*m)	Mz (t*m)
7	-5,929	1,242	34,864	-0,984	-16,114	0,270
8	2,386	-0,636	-0,108	0,000	0,000	-0,147
9	-6,191	0,133	44,345	-0,268	-17,696	0,049
10	2,210	0,531	0,000	0,000	0,000	0,078
11	-6,237	-0,421	32,260	0,087	-15,244	-0,063
12	2,178	-0,121	-0,112	0,000	0,000	0,038
13	-3,925	1,258	39,196	-1,078	0,273	-0,230
14	0,702	-0,374	-0,159	0,000	0,000	0,183
15	-3,810	0,370	44,501	-0,504	1,672	-0,052
16	-2,390	0,006	0,000	0,000	0,000	0,088
17	-4,483	-0,344	32,531	-0,045	-1,395	0,090
18	1,491	0,178	-0,194	0,000	0,000	0,020
19	-2,550	4,345	50,734	-20,625	-2,896	-0,773
20	-0,933	-0,078	-0,229	0,000	0,000	-0,238
21	-9,091	1,148	40,275	-1,112	-18,335	0,251
22	3,127	-0,368	-3,710	0,000	0,000	-0,099
23	-6,873	-0,283	38,521	-0,188	-16,832	-0,019
24	2,393	0,252	-0,194	0,000	0,000	0,062
25	-2,324	5,716	46,936	-20,959	-2,749	-0,705
26	-0,677	-1,465	-0,229	0,000	0,000	-0,220
27	-7,684	1,577	51,446	-1,493	0,816	-0,312
28	2,578	-0,687	-3,010	0,000	0,000	0,195
29	-4,450	-0,123	34,654	-0,396	-1,056	0,057
30	1,336	0,091	-0,194	0,000	0,000	0,000
31	-6,050	1,702	41,555	-1,684	-17,381	0,365
32	2,614	-0,008	-0,256	0,000	0,000	-0,111
33	-6,311	1,034	47,534	-1,255	-18,159	0,232
34	-0,792	0,409	0,000	0,000	0,000	-0,010
35	-6,719	0,138	40,873	-0,675	-17,253	0,052
36	2,283	0,551	-0,278	0,000	0,000	0,052
37	-3,781	1,993	44,549	-1,963	1,414	-0,374
38	0,702	-1,151	-0,254	0,000	0,000	0,285
39	-3,742	1,177	46,507	-1,438	1,888	-0,211
40	1,043	-0,002	0,000	0,000	0,000	0,049
41	-4,626	0,315	35,929	-0,879	-0,847	-0,038
42	1,413	0,428	-0,279	0,000	0,000	0,050
43	-2,107	2,942	43,319	7,338	-2,328	0,418
44	-0,386	0,162	-0,222	0,000	0,000	-0,127
45	-1,872	5,129	52,386	-17,122	-2,180	-0,380
46	-0,519	-2,574	-0,163	0,000	0,000	0,113
47	-3,417	0,459	39,987	-1,078	0,368	-0,067
48	-2,026	0,700	-0,227	0,000	0,000	0,048
51	0,608	0,356	0,000	0,000	0,000	-0,094
52	0,635	1,378	-0,142	0,000	0,000	0,086
53	1,926	0,291	-0,059	0,000	0,000	0,033
54	1,647	-0,356	-0,176	0,000	0,000	-0,064
55	1,743	0,287	-0,166	0,000	0,000	0,030
56	1,993	0,208	-0,111	0,000	0,000	0,021
57	1,359	-0,187	-0,206	0,000	0,000	-0,030
58	1,449	0,308	-0,157	0,000	0,000	-0,057
59	1,946	0,330	-0,192	0,000	0,000	-0,060
60	0,673	-1,591	-0,229	0,000	0,000	0,199

## EQUILIBRI NODALI COMBINAZIONE 8

Nodo 3D	Fx (t)	Fy (t)	Fz (t)	Mx (t*m)	My (t*m)	Mz (t*m)
61	2,392	-0,366	-3,864	0,000	0,000	-0,063
62	1,915	0,054	-0,216	0,000	0,000	0,006
63	0,775	-2,935	-0,362	0,000	0,000	0,229
64	2,584	-0,499	-3,864	0,000	0,000	0,081
65	1,813	-0,053	-0,216	0,000	0,000	-0,014
66	1,778	-0,424	-0,247	0,000	0,000	-0,080
67	1,729	0,103	-0,157	0,000	0,000	0,007
68	1,867	-0,223	-0,255	0,000	0,000	-0,050
69	1,389	-0,778	-0,275	0,000	0,000	0,106
70	1,506	-0,122	-0,166	0,000	0,000	0,003
71	1,746	-0,050	-0,237	0,000	0,000	-0,001
72	0,423	-1,293	-0,137	0,000	0,000	-0,058
73	0,410	-1,495	-0,142	0,000	0,000	0,058
74	1,555	-0,567	-0,185	0,000	0,000	0,068
76	0,728	-0,418	0,000	0,000	0,000	-0,127
77	0,782	-0,493	-0,142	0,000	0,000	0,131
78	1,572	-0,058	-0,059	0,000	0,000	0,002
79	2,215	0,101	-0,176	0,000	0,000	-0,031
80	2,222	-0,128	-0,166	0,000	0,000	-0,078
81	2,577	-0,366	-0,111	0,000	0,000	-0,037
82	1,854	-0,123	-0,206	0,000	0,000	0,033
83	2,169	-0,388	-0,157	0,000	0,000	0,042
84	2,226	-0,332	-0,192	0,000	0,000	0,012
85	1,062	-1,159	-3,939	0,000	0,000	0,322
86	2,457	-0,723	-2,184	0,000	0,000	-0,123
87	2,739	-0,183	-0,216	0,000	0,000	-0,047
88	0,915	-0,359	-3,939	0,000	0,000	0,277
89	2,290	-0,788	-3,864	0,000	0,000	0,078
90	2,290	-0,261	-0,216	0,000	0,000	0,002
91	2,161	-0,379	-0,247	0,000	0,000	-0,122
92	2,402	-0,738	-0,157	0,000	0,000	-0,151
93	2,676	-0,594	-0,255	0,000	0,000	-0,103
94	1,886	-0,117	-0,275	0,000	0,000	-0,007
95	2,017	-0,566	-0,166	0,000	0,000	0,106
96	2,360	-0,797	-0,237	0,000	0,000	0,064
97	0,818	-1,617	-0,137	0,000	0,000	-0,180
98	0,738	-2,427	-0,142	0,000	0,000	0,154
99	1,612	-0,708	-0,185	0,000	0,000	0,064
101	0,480	-0,281	-0,008	0,000	0,000	-0,047
102	0,466	-0,482	-0,137	0,000	0,000	0,046
103	0,897	0,760	-0,073	0,000	0,000	0,057
104	1,974	-0,192	-0,128	0,000	0,000	-0,043
105	2,035	-0,698	-0,120	0,000	0,000	-0,096
106	1,955	0,834	-0,128	0,000	0,000	0,059
107	1,668	-0,724	-0,129	0,000	0,000	0,053
108	1,567	-0,114	-0,114	0,000	0,000	-0,008
109	1,526	0,329	-0,121	0,000	0,000	-0,052
110	1,892	-3,695	-0,473	0,000	0,000	0,537
111	2,292	0,251	-0,108	0,000	0,000	0,003
112	2,276	0,185	-0,115	0,000	0,000	-0,004
113	1,506	-3,011	-0,473	0,000	0,000	0,457
114	1,528	0,062	-0,108	0,000	0,000	-0,029

**EQUILIBRI NODALI COMBINAZIONE 8**

Nodo 3D	Fx (t)	Fy (t)	Fz (t)	Mx (t*m)	My (t*m)	Mz (t*m)
115	1,711	0,179	-0,115	0,000	0,000	-0,036
116	1,633	-0,929	-0,129	0,000	0,000	-0,114
117	2,252	-0,449	-0,114	0,000	0,000	-0,066
118	2,455	0,089	-0,121	0,000	0,000	-0,012
119	1,430	-0,269	-0,128	0,000	0,000	-0,003
120	1,396	-1,122	-0,120	0,000	0,000	0,089
121	1,823	0,429	-0,128	0,000	0,000	-0,066
122	1,296	-0,852	-0,103	0,000	0,000	-0,132
123	1,184	-1,843	-0,137	0,000	0,000	0,122
124	1,337	0,081	-0,073	0,000	0,000	-0,029

**EQUILIBRI NODALI COMBINAZIONE 9**

Nodo 3D	Fx (t)	Fy (t)	Fz (t)	Mx (t*m)	My (t*m)	Mz (t*m)
1	-1,269	-0,135	21,274	-0,015	-1,678	0,287
2	-0,432	-0,982	-0,168	0,000	0,000	-0,082
3	-1,536	-0,174	33,894	-6,217	-1,940	-0,290
4	-0,364	1,841	-0,163	0,000	0,000	0,133
5	-4,249	-1,177	13,740	0,924	-11,369	-0,196
6	-1,449	-0,122	-0,059	0,000	0,000	0,119
7	-5,271	0,972	34,465	-0,631	-15,038	0,234
8	2,291	-0,505	-0,108	0,000	0,000	-0,098
9	-6,166	-0,239	43,892	0,152	-17,560	-0,008
10	2,197	0,582	0,000	0,000	0,000	0,121
11	-6,762	-0,665	33,284	0,425	-16,244	-0,094
12	2,226	-0,145	-0,112	0,000	0,000	0,063
13	-3,322	1,108	38,820	-0,866	1,164	-0,182
14	0,629	-0,376	-0,159	0,000	0,000	0,192
15	-3,771	0,141	44,411	-0,241	1,707	0,012
16	-2,404	0,006	0,000	0,000	0,000	0,093
17	-4,983	-0,500	32,822	0,172	-2,119	0,139
18	1,525	0,176	-0,194	0,000	0,000	0,029
19	-2,228	3,962	50,131	-19,836	-2,529	-0,652
20	-0,882	-0,058	-0,229	0,000	0,000	-0,189
21	-9,050	1,049	40,539	-1,015	-18,333	0,248
22	3,105	-0,349	-3,710	0,000	0,000	-0,075
23	-7,389	-0,330	38,783	-0,125	-17,676	-0,011
24	2,438	0,272	-0,194	0,000	0,000	0,084
25	-2,001	6,099	47,539	-21,748	-2,382	-0,584
26	-0,625	-1,485	-0,229	0,000	0,000	-0,172
27	-7,643	1,676	51,182	-1,590	0,818	-0,314
28	2,556	-0,706	-3,010	0,000	0,000	0,219
29	-4,967	-0,077	34,392	-0,459	-1,900	0,066
30	1,381	0,070	-0,194	0,000	0,000	0,021
31	-5,447	1,852	41,931	-1,896	-16,490	0,413
32	2,541	-0,006	-0,256	0,000	0,000	-0,102
33	-6,273	1,262	47,624	-1,517	-18,123	0,295
34	-0,806	0,409	0,000	0,000	0,000	-0,005
35	-7,219	0,295	40,583	-0,892	-17,977	0,101
36	2,318	0,554	-0,278	0,000	0,000	0,060
37	-3,124	2,262	44,948	-2,317	2,490	-0,410
38	0,607	-1,282	-0,254	0,000	0,000	0,335

## EQUILIBRI NODALI COMBINAZIONE 9

Nodo 3D	Fx (t)	Fy (t)	Fz (t)	Mx (t*m)	My (t*m)	Mz (t*m)
39	-3,717	1,550	46,960	-1,858	2,024	-0,268
40	1,029	-0,053	0,000	0,000	0,000	0,091
41	-5,151	0,559	34,906	-1,217	-1,848	-0,070
42	1,460	0,452	-0,279	0,000	0,000	0,075
43	-1,884	3,781	43,623	5,531	-2,072	0,391
44	-0,382	0,043	-0,222	0,000	0,000	-0,100
45	-1,871	6,347	52,565	-19,233	-2,169	-0,363
46	-0,526	-2,708	-0,163	0,000	0,000	0,129
47	-3,788	0,868	39,487	-1,595	-0,444	-0,131
48	-1,983	0,718	-0,227	0,000	0,000	0,082
51	0,577	0,635	0,000	0,000	0,000	-0,094
52	0,629	1,615	-0,142	0,000	0,000	0,082
53	2,026	0,357	-0,059	0,000	0,000	0,039
54	1,538	-0,232	-0,176	0,000	0,000	-0,049
55	1,736	0,375	-0,166	0,000	0,000	0,039
56	2,072	0,250	-0,111	0,000	0,000	0,023
57	1,256	-0,157	-0,206	0,000	0,000	-0,039
58	1,445	0,339	-0,157	0,000	0,000	-0,066
59	2,018	0,360	-0,192	0,000	0,000	-0,069
60	0,618	-1,372	-0,229	0,000	0,000	0,175
61	2,379	-0,341	-3,864	0,000	0,000	-0,063
62	1,992	0,077	-0,216	0,000	0,000	0,006
63	0,720	-3,154	-0,362	0,000	0,000	0,206
64	2,572	-0,524	-3,864	0,000	0,000	0,081
65	1,889	-0,076	-0,216	0,000	0,000	-0,014
66	1,675	-0,454	-0,247	0,000	0,000	-0,089
67	1,725	0,073	-0,157	0,000	0,000	-0,002
68	1,939	-0,253	-0,255	0,000	0,000	-0,059
69	1,280	-0,902	-0,275	0,000	0,000	0,120
70	1,499	-0,210	-0,166	0,000	0,000	0,012
71	1,825	-0,092	-0,237	0,000	0,000	0,002
72	0,392	-1,572	-0,137	0,000	0,000	-0,058
73	0,405	-1,732	-0,142	0,000	0,000	0,053
74	1,655	-0,634	-0,185	0,000	0,000	0,074
76	0,639	-0,165	0,000	0,000	0,000	-0,124
77	0,778	-0,028	-0,142	0,000	0,000	0,116
78	1,699	0,105	-0,059	0,000	0,000	0,021
79	1,954	0,108	-0,176	0,000	0,000	-0,045
80	2,208	-0,024	-0,166	0,000	0,000	-0,072
81	2,794	-0,261	-0,111	0,000	0,000	-0,031
82	1,604	-0,066	-0,206	0,000	0,000	0,006
83	2,155	-0,295	-0,157	0,000	0,000	0,007
84	2,434	-0,271	-0,192	0,000	0,000	-0,016
85	0,943	-1,070	-3,939	0,000	0,000	0,268
86	2,443	-0,699	-2,184	0,000	0,000	-0,133
87	2,951	-0,182	-0,216	0,000	0,000	-0,062
88	0,796	-0,448	-3,939	0,000	0,000	0,223
89	2,276	-0,812	-3,864	0,000	0,000	0,068
90	2,503	-0,262	-0,216	0,000	0,000	-0,014
91	1,911	-0,435	-0,247	0,000	0,000	-0,149
92	2,387	-0,830	-0,157	0,000	0,000	-0,185
93	2,884	-0,655	-0,255	0,000	0,000	-0,131

**EQUILIBRI NODALI COMBINAZIONE 9**

Nodo 3D	Fx (t)	Fy (t)	Fz (t)	Mx (t*m)	My (t*m)	Mz (t*m)
94	1,625	-0,124	-0,275	0,000	0,000	-0,021
95	2,003	-0,670	-0,166	0,000	0,000	0,113
96	2,577	-0,902	-0,237	0,000	0,000	0,070
97	0,730	-1,871	-0,137	0,000	0,000	-0,177
98	0,734	-2,892	-0,142	0,000	0,000	0,139
99	1,738	-0,871	-0,185	0,000	0,000	0,083
101	0,371	-0,095	-0,008	0,000	0,000	-0,050
102	0,481	-0,102	-0,137	0,000	0,000	0,033
103	0,999	0,958	-0,073	0,000	0,000	0,062
104	1,782	-0,185	-0,128	0,000	0,000	-0,056
105	2,045	-0,569	-0,120	0,000	0,000	-0,097
106	2,136	0,954	-0,128	0,000	0,000	0,057
107	1,490	-0,659	-0,129	0,000	0,000	0,032
108	1,561	-0,009	-0,114	0,000	0,000	-0,033
109	1,711	0,398	-0,121	0,000	0,000	-0,074
110	1,692	-3,639	-0,473	0,000	0,000	0,445
111	2,299	0,282	-0,108	0,000	0,000	-0,009
112	2,460	0,187	-0,115	0,000	0,000	-0,018
113	1,306	-3,067	-0,473	0,000	0,000	0,365
114	1,535	0,031	-0,108	0,000	0,000	-0,040
115	1,895	0,177	-0,115	0,000	0,000	-0,050
116	1,455	-0,994	-0,129	0,000	0,000	-0,135
117	2,247	-0,554	-0,114	0,000	0,000	-0,091
118	2,640	0,020	-0,121	0,000	0,000	-0,034
119	1,237	-0,275	-0,128	0,000	0,000	-0,017
120	1,406	-1,251	-0,120	0,000	0,000	0,088
121	2,005	0,309	-0,128	0,000	0,000	-0,068
122	1,188	-1,038	-0,103	0,000	0,000	-0,135
123	1,200	-2,224	-0,137	0,000	0,000	0,110
124	1,439	-0,116	-0,073	0,000	0,000	-0,024

**EQUILIBRI NODALI COMBINAZIONE 10**

Nodo 3D	Fx (t)	Fy (t)	Fz (t)	Mx (t*m)	My (t*m)	Mz (t*m)
1	1,816	0,845	33,799	11,533	2,055	-0,391
2	0,555	0,796	-0,168	0,000	0,000	0,095
3	1,767	1,582	51,309	-10,702	2,085	0,341
4	0,478	-2,599	-0,163	0,000	0,000	-0,123
5	3,211	-0,747	41,407	0,480	-0,416	-0,184
6	2,207	0,313	-0,059	0,000	0,000	0,010
7	3,705	0,815	34,521	-0,380	0,519	0,129
8	-1,341	-0,566	-0,108	0,000	0,000	-0,148
9	3,675	-0,481	43,601	0,455	-1,340	-0,131
10	-0,857	0,305	0,000	0,000	0,000	0,052
11	5,126	-0,777	31,622	0,647	2,180	-0,189
12	-1,344	0,059	-0,112	0,000	0,000	0,000
13	5,538	0,620	34,661	-0,125	14,887	-0,158
14	-1,882	-0,314	-0,159	0,000	0,000	0,002
15	6,398	-0,682	46,945	0,713	17,974	0,102
16	0,980	0,047	0,000	0,000	0,000	-0,124
17	7,231	-1,017	40,724	0,930	17,877	0,169
18	-2,457	0,234	-0,194	0,000	0,000	-0,162

## EQUILIBRI NODALI COMBINAZIONE 10

Nodo 3D	Fx (t)	Fy (t)	Fz (t)	Mx (t*m)	My (t*m)	Mz (t*m)
19	2,173	-2,724	33,497	-4,661	2,528	0,642
20	0,813	0,628	-0,229	0,000	0,000	0,177
21	7,354	-1,232	59,518	1,234	-2,642	-0,280
22	-2,307	-0,019	-3,710	0,000	0,000	0,033
23	4,720	-1,346	35,787	1,307	1,111	-0,319
24	-1,133	0,683	-0,194	0,000	0,000	0,147
25	2,317	-4,718	39,068	-3,953	2,620	0,685
26	0,631	2,694	-0,229	0,000	0,000	0,182
27	9,293	-1,786	51,115	1,743	20,514	0,341
28	-3,296	0,120	-3,010	0,000	0,000	-0,133
29	7,284	-1,584	40,411	1,612	17,948	0,272
30	-2,600	0,887	-0,194	0,000	0,000	-0,244
31	3,445	-0,053	39,843	0,794	-0,826	-0,048
32	-1,083	-0,695	-0,256	0,000	0,000	-0,089
33	3,554	-1,668	44,641	1,838	-1,855	-0,371
34	2,236	-0,366	0,000	0,000	0,000	0,036
35	4,818	-1,701	42,052	1,857	-0,054	-0,378
36	-1,241	-0,144	-0,278	0,000	0,000	0,075
37	5,588	-0,364	39,909	1,133	15,972	0,036
38	-1,906	0,154	-0,254	0,000	0,000	-0,067
39	6,151	-2,053	41,226	2,223	16,917	0,373
40	-2,360	0,930	0,000	0,000	0,000	-0,244
41	6,939	-1,810	47,081	2,064	19,042	0,325
42	-2,524	-0,531	-0,279	0,000	0,000	-0,122
43	1,083	-2,892	19,600	6,724	1,579	-0,226
44	0,312	-0,216	-0,222	0,000	0,000	0,074
45	1,610	-4,180	33,332	0,962	1,996	0,316
46	0,413	1,782	-0,163	0,000	0,000	-0,129
47	4,283	-2,531	25,924	2,688	13,612	0,469
48	1,256	-0,528	-0,227	0,000	0,000	-0,190
51	-0,323	-0,427	0,000	0,000	0,000	0,054
52	-0,447	-1,532	-0,142	0,000	0,000	-0,056
53	-1,724	-0,586	-0,059	0,000	0,000	-0,074
54	-1,352	-0,293	-0,176	0,000	0,000	-0,031
55	-1,509	0,221	-0,166	0,000	0,000	0,049
56	-1,827	-0,511	-0,111	0,000	0,000	-0,064
57	-1,575	-0,142	-0,206	0,000	0,000	0,082
58	-1,643	-0,406	-0,157	0,000	0,000	0,075
59	-1,838	-0,268	-0,192	0,000	0,000	0,054
60	-0,772	1,878	-0,229	0,000	0,000	-0,224
61	-2,403	0,067	-3,864	0,000	0,000	0,020
62	-1,854	0,452	-0,216	0,000	0,000	0,072
63	-0,665	3,433	-0,362	0,000	0,000	-0,192
64	-2,464	0,266	-3,864	0,000	0,000	-0,044
65	-1,961	0,591	-0,216	0,000	0,000	-0,065
66	-1,160	0,124	-0,247	0,000	0,000	0,038
67	-1,598	-0,158	-0,157	0,000	0,000	-0,012
68	-1,889	0,340	-0,255	0,000	0,000	0,070
69	-1,600	0,319	-0,275	0,000	0,000	-0,035
70	-1,750	0,792	-0,166	0,000	0,000	-0,101
71	-2,080	-0,170	-0,237	0,000	0,000	0,036
72	-0,718	1,598	-0,137	0,000	0,000	0,105

**EQUILIBRI NODALI COMBINAZIONE 10**

Nodo 3D	Fx (t)	Fy (t)	Fz (t)	Mx (t*m)	My (t*m)	Mz (t*m)
73	-0,596	1,661	-0,142	0,000	0,000	-0,084
74	-2,114	0,376	-0,185	0,000	0,000	-0,037
76	-0,681	-0,412	0,000	0,000	0,000	0,171
77	-0,691	-0,414	-0,142	0,000	0,000	-0,137
78	-1,522	-0,030	-0,059	0,000	0,000	0,080
79	-1,784	0,074	-0,176	0,000	0,000	0,050
80	-1,989	0,083	-0,166	0,000	0,000	0,036
81	-2,559	-0,154	-0,111	0,000	0,000	0,075
82	-2,115	0,202	-0,206	0,000	0,000	0,014
83	-2,368	0,148	-0,157	0,000	0,000	-0,024
84	-2,944	0,012	-0,192	0,000	0,000	-0,012
85	-0,829	3,902	-3,939	0,000	0,000	-0,238
86	-2,180	-0,005	-2,184	0,000	0,000	0,100
87	-2,425	-0,063	-0,216	0,000	0,000	0,044
88	-0,915	2,687	-3,939	0,000	0,000	-0,264
89	-2,572	0,289	-3,864	0,000	0,000	-0,067
90	-2,877	0,009	-0,216	0,000	0,000	0,026
91	-1,728	0,535	-0,247	0,000	0,000	0,116
92	-2,130	0,637	-0,157	0,000	0,000	0,184
93	-2,452	0,372	-0,255	0,000	0,000	0,144
94	-2,068	0,296	-0,275	0,000	0,000	0,009
95	-2,191	0,680	-0,166	0,000	0,000	-0,070
96	-2,830	0,443	-0,237	0,000	0,000	-0,108
97	-0,565	1,245	-0,137	0,000	0,000	0,097
98	-0,811	2,212	-0,142	0,000	0,000	-0,122
99	-1,540	0,874	-0,185	0,000	0,000	-0,174
101	-1,254	-0,061	-0,008	0,000	0,000	0,135
102	-1,097	-0,189	-0,137	0,000	0,000	-0,098
103	-1,198	0,929	-0,073	0,000	0,000	0,123
104	-1,521	-0,189	-0,128	0,000	0,000	0,016
105	-1,340	-0,251	-0,120	0,000	0,000	0,012
106	-1,863	1,250	-0,128	0,000	0,000	0,160
107	-1,622	-0,216	-0,129	0,000	0,000	0,052
108	-2,351	0,711	-0,114	0,000	0,000	-0,041
109	-2,697	0,877	-0,121	0,000	0,000	-0,057
110	-1,529	-1,505	-0,473	0,000	0,000	-0,404
111	-1,640	1,247	-0,108	0,000	0,000	0,158
112	-1,759	0,250	-0,115	0,000	0,000	0,059
113	-1,564	-2,041	-0,473	0,000	0,000	-0,450
114	-2,256	1,446	-0,108	0,000	0,000	-0,111
115	-2,546	0,264	-0,115	0,000	0,000	0,003
116	-1,610	0,126	-0,129	0,000	0,000	0,045
117	-1,343	1,196	-0,114	0,000	0,000	0,152
118	-1,797	1,172	-0,121	0,000	0,000	0,150
119	-1,641	-0,084	-0,128	0,000	0,000	0,049
120	-2,070	0,285	-0,120	0,000	0,000	0,005
121	-2,221	1,742	-0,128	0,000	0,000	-0,140
122	-0,156	0,923	-0,103	0,000	0,000	0,029
123	-0,558	1,734	-0,137	0,000	0,000	-0,049
124	-0,946	1,845	-0,073	0,000	0,000	-0,153

**EQUILIBRI NODALI COMBINAZIONE 11**

Nodo 3D	Fx (t)	Fy (t)	Fz (t)	Mx (t*m)	My (t*m)	Mz (t*m)
1	1,593	1,684	34,102	9,727	1,799	-0,364
2	0,551	0,677	-0,168	0,000	0,000	0,068
3	1,767	2,800	51,488	-12,814	2,074	0,323
4	0,485	-2,734	-0,163	0,000	0,000	-0,139
5	3,582	-0,338	40,907	-0,038	0,396	-0,120
6	2,165	0,331	-0,059	0,000	0,000	-0,024
7	3,047	1,084	34,920	-0,734	-0,557	0,165
8	-1,246	-0,697	-0,108	0,000	0,000	-0,198
9	3,651	-0,109	44,054	0,035	-1,476	-0,074
10	-0,844	0,254	0,000	0,000	0,000	0,010
11	5,651	-0,533	30,598	0,310	3,181	-0,158
12	-1,391	0,083	-0,112	0,000	0,000	-0,025
13	4,935	0,769	35,037	-0,337	13,996	-0,206
14	-1,809	-0,312	-0,159	0,000	0,000	-0,007
15	6,359	-0,453	47,035	0,450	17,938	0,038
16	0,994	0,046	0,000	0,000	0,000	-0,129
17	7,730	-0,860	40,433	0,714	18,601	0,120
18	-2,491	0,237	-0,194	0,000	0,000	-0,171
19	1,850	-2,341	34,100	-5,450	2,162	0,521
20	0,762	0,608	-0,229	0,000	0,000	0,129
21	7,313	-1,133	59,255	1,137	-2,644	-0,278
22	-2,285	-0,038	-3,710	0,000	0,000	0,009
23	5,237	-1,299	35,525	1,244	1,955	-0,327
24	-1,178	0,663	-0,194	0,000	0,000	0,125
25	1,994	-5,101	38,465	-3,164	2,254	0,564
26	0,580	2,714	-0,229	0,000	0,000	0,133
27	9,252	-1,886	51,379	1,839	20,513	0,344
28	-3,274	0,139	-3,010	0,000	0,000	-0,157
29	7,801	-1,630	40,673	1,674	18,792	0,263
30	-2,644	0,908	-0,194	0,000	0,000	-0,266
31	2,842	-0,202	39,467	1,005	-1,717	-0,095
32	-1,010	-0,697	-0,256	0,000	0,000	-0,099
33	3,515	-1,897	44,551	2,101	-1,890	-0,434
34	2,251	-0,365	0,000	0,000	0,000	0,031
35	5,317	-1,858	42,342	2,074	0,670	-0,426
36	-1,275	-0,146	-0,278	0,000	0,000	0,066
37	4,931	-0,634	39,509	1,487	14,897	0,072
38	-1,811	0,286	-0,254	0,000	0,000	-0,116
39	6,127	-2,425	40,773	2,643	16,781	0,430
40	-2,347	0,980	0,000	0,000	0,000	-0,287
41	7,464	-2,054	48,105	2,401	20,043	0,356
42	-2,571	-0,555	-0,279	0,000	0,000	-0,147
43	0,859	-3,731	19,296	8,531	1,323	-0,199
44	0,308	-0,096	-0,222	0,000	0,000	0,047
45	1,610	-5,398	33,153	3,074	1,985	0,298
46	0,420	1,917	-0,163	0,000	0,000	-0,144
47	4,654	-2,941	26,424	3,205	14,424	0,533
48	1,214	-0,546	-0,227	0,000	0,000	-0,224
51	-0,292	-0,706	0,000	0,000	0,000	0,053
52	-0,442	-1,769	-0,142	0,000	0,000	-0,051
53	-1,823	-0,653	-0,059	0,000	0,000	-0,080
54	-1,243	-0,416	-0,176	0,000	0,000	-0,046
55	-1,502	0,133	-0,166	0,000	0,000	0,039
56	-1,906	-0,554	-0,111	0,000	0,000	-0,066

## EQUILIBRI NODALI COMBINAZIONE 11

Nodo 3D	Fx (t)	Fy (t)	Fz (t)	Mx (t*m)	My (t*m)	Mz (t*m)
57	-1,473	-0,171	-0,206	0,000	0,000	0,090
58	-1,639	-0,437	-0,157	0,000	0,000	0,083
59	-1,910	-0,298	-0,192	0,000	0,000	0,062
60	-0,717	1,659	-0,229	0,000	0,000	-0,201
61	-2,391	0,042	-3,864	0,000	0,000	0,020
62	-1,931	0,429	-0,216	0,000	0,000	0,073
63	-0,609	3,652	-0,362	0,000	0,000	-0,169
64	-2,452	0,292	-3,864	0,000	0,000	-0,044
65	-2,038	0,614	-0,216	0,000	0,000	-0,064
66	-1,057	0,154	-0,247	0,000	0,000	0,046
67	-1,594	-0,127	-0,157	0,000	0,000	-0,004
68	-1,961	0,370	-0,255	0,000	0,000	0,079
69	-1,491	0,443	-0,275	0,000	0,000	-0,049
70	-1,742	0,880	-0,166	0,000	0,000	-0,110
71	-2,159	-0,128	-0,237	0,000	0,000	0,034
72	-0,687	1,877	-0,137	0,000	0,000	0,105
73	-0,591	1,899	-0,142	0,000	0,000	-0,079
74	-2,213	0,442	-0,185	0,000	0,000	-0,043
76	-0,593	-0,665	0,000	0,000	0,000	0,167
77	-0,687	-0,880	-0,142	0,000	0,000	-0,122
78	-1,648	-0,193	-0,059	0,000	0,000	0,061
79	-1,523	0,066	-0,176	0,000	0,000	0,064
80	-1,975	-0,021	-0,166	0,000	0,000	0,029
81	-2,776	-0,259	-0,111	0,000	0,000	0,069
82	-1,866	0,145	-0,206	0,000	0,000	0,041
83	-2,353	0,056	-0,157	0,000	0,000	0,010
84	-3,153	-0,049	-0,192	0,000	0,000	0,016
85	-0,710	3,813	-3,939	0,000	0,000	-0,184
86	-2,167	-0,029	-2,184	0,000	0,000	0,110
87	-2,637	-0,064	-0,216	0,000	0,000	0,059
88	-0,796	2,776	-3,939	0,000	0,000	-0,210
89	-2,559	0,313	-3,864	0,000	0,000	-0,057
90	-3,090	0,010	-0,216	0,000	0,000	0,041
91	-1,479	0,592	-0,247	0,000	0,000	0,144
92	-2,116	0,729	-0,157	0,000	0,000	0,219
93	-2,660	0,432	-0,255	0,000	0,000	0,172
94	-1,807	0,303	-0,275	0,000	0,000	0,023
95	-2,177	0,785	-0,166	0,000	0,000	-0,076
96	-3,047	0,549	-0,237	0,000	0,000	-0,114
97	-0,477	1,498	-0,137	0,000	0,000	0,094
98	-0,807	2,677	-0,142	0,000	0,000	-0,107
99	-1,666	1,037	-0,185	0,000	0,000	-0,193
101	-1,146	-0,247	-0,008	0,000	0,000	0,139
102	-1,112	-0,569	-0,137	0,000	0,000	-0,086
103	-1,300	0,732	-0,073	0,000	0,000	0,118
104	-1,328	-0,195	-0,128	0,000	0,000	0,030
105	-1,349	-0,381	-0,120	0,000	0,000	0,013
106	-2,045	1,129	-0,128	0,000	0,000	0,163
107	-1,445	-0,281	-0,129	0,000	0,000	0,073
108	-2,346	0,606	-0,114	0,000	0,000	-0,016
109	-2,882	0,808	-0,121	0,000	0,000	-0,036
110	-1,329	-1,560	-0,473	0,000	0,000	-0,312

**EQUILIBRI NODALI COMBINAZIONE 11**

Nodo 3D	Fx (t)	Fy (t)	Fz (t)	Mx (t*m)	My (t*m)	Mz (t*m)
111	-1,647	1,216	-0,108	0,000	0,000	0,170
112	-1,943	0,248	-0,115	0,000	0,000	0,073
113	-1,364	-1,986	-0,473	0,000	0,000	-0,358
114	-2,263	1,477	-0,108	0,000	0,000	-0,099
115	-2,730	0,266	-0,115	0,000	0,000	0,017
116	-1,432	0,191	-0,129	0,000	0,000	0,066
117	-1,337	1,301	-0,114	0,000	0,000	0,177
118	-1,982	1,241	-0,121	0,000	0,000	0,171
119	-1,448	-0,077	-0,128	0,000	0,000	0,063
120	-2,080	0,415	-0,120	0,000	0,000	0,007
121	-2,402	1,862	-0,128	0,000	0,000	-0,138
122	-0,048	1,109	-0,103	0,000	0,000	0,032
123	-0,573	2,114	-0,137	0,000	0,000	-0,036
124	-1,048	2,042	-0,073	0,000	0,000	-0,158

**EQUILIBRI NODALI COMBINAZIONE 12**

Nodo 3D	Fx (t)	Fy (t)	Fz (t)	Mx (t*m)	My (t*m)	Mz (t*m)
1	1,981	0,226	33,575	12,868	2,244	-0,411
2	0,559	0,885	-0,168	0,000	0,000	0,115
3	1,768	0,682	51,177	-9,143	2,093	0,354
4	0,473	-2,500	-0,163	0,000	0,000	-0,112
5	2,937	-1,050	41,777	0,862	-1,015	-0,232
6	2,239	0,300	-0,059	0,000	0,000	0,035
7	4,190	0,615	34,226	-0,119	1,313	0,102
8	-1,411	-0,469	-0,108	0,000	0,000	-0,112
9	3,693	-0,756	43,267	0,765	-1,239	-0,173
10	-0,866	0,342	0,000	0,000	0,000	0,084
11	4,739	-0,958	32,378	0,897	1,441	-0,212
12	-1,309	0,041	-0,112	0,000	0,000	0,019
13	5,984	0,509	34,383	0,031	15,545	-0,123
14	-1,936	-0,315	-0,159	0,000	0,000	0,009
15	6,426	-0,851	46,879	0,907	18,000	0,148
16	0,969	0,047	0,000	0,000	0,000	-0,120
17	6,862	-1,132	40,938	1,090	17,342	0,205
18	-2,432	0,233	-0,194	0,000	0,000	-0,156
19	2,411	-3,007	33,052	-4,079	2,799	0,731
20	0,851	0,643	-0,229	0,000	0,000	0,213
21	7,384	-1,306	59,713	1,305	-2,641	-0,282
22	-2,323	-0,005	-3,710	0,000	0,000	0,051
23	4,339	-1,380	35,980	1,353	0,487	-0,313
24	-1,101	0,699	-0,194	0,000	0,000	0,163
25	2,555	-4,435	39,513	-4,535	2,891	0,774
26	0,669	2,679	-0,229	0,000	0,000	0,218
27	9,323	-1,713	50,920	1,671	20,516	0,340
28	-3,313	0,106	-3,010	0,000	0,000	-0,115
29	6,902	-1,549	40,218	1,566	17,324	0,278
30	-2,567	0,871	-0,194	0,000	0,000	-0,228
31	3,890	0,058	40,121	0,637	-0,169	-0,013
32	-1,136	-0,694	-0,256	0,000	0,000	-0,083
33	3,583	-1,500	44,708	1,644	-1,829	-0,324
34	2,226	-0,366	0,000	0,000	0,000	0,039

## EQUILIBRI NODALI COMBINAZIONE 12

Nodo 3D	Fx (t)	Fy (t)	Fz (t)	Mx (t*m)	My (t*m)	Mz (t*m)
35	4,449	-1,585	41,837	1,697	-0,589	-0,341
36	-1,216	-0,142	-0,278	0,000	0,000	0,082
37	6,074	-0,165	40,203	0,872	16,767	0,009
38	-1,976	0,057	-0,254	0,000	0,000	-0,030
39	6,170	-1,778	41,560	1,913	17,017	0,331
40	-2,369	0,892	0,000	0,000	0,000	-0,213
41	6,552	-1,630	46,326	1,815	18,303	0,302
42	-2,489	-0,513	-0,279	0,000	0,000	-0,104
43	1,247	-2,273	19,824	5,390	1,768	-0,246
44	0,315	-0,305	-0,222	0,000	0,000	0,094
45	1,611	-3,281	33,464	-0,597	2,004	0,329
46	0,408	1,683	-0,163	0,000	0,000	-0,117
47	4,010	-2,229	25,555	2,305	13,013	0,421
48	1,288	-0,515	-0,227	0,000	0,000	-0,165
51	-0,346	-0,221	0,000	0,000	0,000	0,054
52	-0,451	-1,356	-0,142	0,000	0,000	-0,059
53	-1,650	-0,537	-0,059	0,000	0,000	-0,070
54	-1,432	-0,201	-0,176	0,000	0,000	-0,021
55	-1,514	0,286	-0,166	0,000	0,000	0,055
56	-1,769	-0,480	-0,111	0,000	0,000	-0,062
57	-1,651	-0,120	-0,206	0,000	0,000	0,075
58	-1,646	-0,383	-0,157	0,000	0,000	0,068
59	-1,784	-0,246	-0,192	0,000	0,000	0,047
60	-0,813	2,039	-0,229	0,000	0,000	-0,242
61	-2,413	0,086	-3,864	0,000	0,000	0,020
62	-1,798	0,469	-0,216	0,000	0,000	0,072
63	-0,706	3,272	-0,362	0,000	0,000	-0,209
64	-2,473	0,248	-3,864	0,000	0,000	-0,044
65	-1,905	0,574	-0,216	0,000	0,000	-0,065
66	-1,236	0,102	-0,247	0,000	0,000	0,032
67	-1,601	-0,181	-0,157	0,000	0,000	-0,019
68	-1,836	0,318	-0,255	0,000	0,000	0,064
69	-1,680	0,228	-0,275	0,000	0,000	-0,024
70	-1,755	0,726	-0,166	0,000	0,000	-0,094
71	-2,022	-0,202	-0,237	0,000	0,000	0,038
72	-0,741	1,392	-0,137	0,000	0,000	0,106
73	-0,600	1,486	-0,142	0,000	0,000	-0,087
74	-2,040	0,327	-0,185	0,000	0,000	-0,033
76	-0,746	-0,225	0,000	0,000	0,000	0,173
77	-0,694	-0,071	-0,142	0,000	0,000	-0,148
78	-1,429	0,090	-0,059	0,000	0,000	0,094
79	-1,977	0,079	-0,176	0,000	0,000	0,040
80	-1,999	0,160	-0,166	0,000	0,000	0,040
81	-2,399	-0,076	-0,111	0,000	0,000	0,080
82	-2,300	0,243	-0,206	0,000	0,000	-0,007
83	-2,379	0,216	-0,157	0,000	0,000	-0,050
84	-2,791	0,057	-0,192	0,000	0,000	-0,033
85	-0,916	3,968	-3,939	0,000	0,000	-0,278
86	-2,191	0,013	-2,184	0,000	0,000	0,092
87	-2,268	-0,062	-0,216	0,000	0,000	0,032
88	-1,002	2,621	-3,939	0,000	0,000	-0,304
89	-2,582	0,271	-3,864	0,000	0,000	-0,075

**EQUILIBRI NODALI COMBINAZIONE 12**

Nodo 3D	Fx (t)	Fy (t)	Fz (t)	Mx (t*m)	My (t*m)	Mz (t*m)
90	-2,720	0,008	-0,216	0,000	0,000	0,014
91	-1,913	0,494	-0,247	0,000	0,000	0,096
92	-2,141	0,569	-0,157	0,000	0,000	0,159
93	-2,298	0,327	-0,255	0,000	0,000	0,124
94	-2,261	0,290	-0,275	0,000	0,000	-0,001
95	-2,201	0,603	-0,166	0,000	0,000	-0,065
96	-2,670	0,366	-0,237	0,000	0,000	-0,103
97	-0,631	1,058	-0,137	0,000	0,000	0,099
98	-0,814	1,868	-0,142	0,000	0,000	-0,133
99	-1,447	0,754	-0,185	0,000	0,000	-0,160
101	-1,334	0,077	-0,008	0,000	0,000	0,132
102	-1,085	0,092	-0,137	0,000	0,000	-0,108
103	-1,122	1,075	-0,073	0,000	0,000	0,127
104	-1,663	-0,184	-0,128	0,000	0,000	0,006
105	-1,333	-0,156	-0,120	0,000	0,000	0,011
106	-1,729	1,339	-0,128	0,000	0,000	0,158
107	-1,753	-0,168	-0,129	0,000	0,000	0,037
108	-2,356	0,789	-0,114	0,000	0,000	-0,059
109	-2,560	0,927	-0,121	0,000	0,000	-0,073
110	-1,676	-1,464	-0,473	0,000	0,000	-0,471
111	-1,634	1,270	-0,108	0,000	0,000	0,150
112	-1,624	0,251	-0,115	0,000	0,000	0,048
113	-1,711	-2,082	-0,473	0,000	0,000	-0,518
114	-2,251	1,423	-0,108	0,000	0,000	-0,119
115	-2,411	0,262	-0,115	0,000	0,000	-0,008
116	-1,741	0,078	-0,129	0,000	0,000	0,030
117	-1,347	1,118	-0,114	0,000	0,000	0,134
118	-1,660	1,121	-0,121	0,000	0,000	0,134
119	-1,783	-0,089	-0,128	0,000	0,000	0,039
120	-2,063	0,190	-0,120	0,000	0,000	0,004
121	-2,087	1,653	-0,128	0,000	0,000	-0,142
122	-0,236	0,785	-0,103	0,000	0,000	0,026
123	-0,547	1,453	-0,137	0,000	0,000	-0,058
124	-0,871	1,699	-0,073	0,000	0,000	-0,149

**EQUILIBRI NODALI COMBINAZIONE 13**

Nodo 3D	Fx (t)	Fy (t)	Fz (t)	Mx (t*m)	My (t*m)	Mz (t*m)
1	1,758	1,065	33,878	11,061	1,988	-0,384
2	0,554	0,765	-0,168	0,000	0,000	0,088
3	1,767	1,900	51,356	-11,255	2,082	0,337
4	0,480	-2,634	-0,163	0,000	0,000	-0,127
5	3,308	-0,640	41,277	0,345	-0,204	-0,167
6	2,196	0,318	-0,059	0,000	0,000	0,001
7	3,533	0,885	34,625	-0,473	0,238	0,138
8	-1,316	-0,600	-0,108	0,000	0,000	-0,161
9	3,669	-0,384	43,720	0,345	-1,375	-0,116
10	-0,853	0,292	0,000	0,000	0,000	0,041
11	5,263	-0,713	31,354	0,559	2,442	-0,181
12	-1,356	0,065	-0,112	0,000	0,000	-0,006
13	5,381	0,659	34,759	-0,181	14,654	-0,171
14	-1,863	-0,313	-0,159	0,000	0,000	0,000

## EQUILIBRI NODALI COMBINAZIONE 13

Nodo 3D	Fx (t)	Fy (t)	Fz (t)	Mx (t*m)	My (t*m)	Mz (t*m)
15	6,388	-0,622	46,969	0,644	17,964	0,085
16	0,983	0,047	0,000	0,000	0,000	-0,125
17	7,362	-0,976	40,648	0,874	18,067	0,156
18	-2,466	0,235	-0,194	0,000	0,000	-0,165
19	2,088	-2,624	33,655	-4,867	2,432	0,611
20	0,800	0,623	-0,229	0,000	0,000	0,165
21	7,343	-1,206	59,449	1,209	-2,643	-0,279
22	-2,301	-0,024	-3,710	0,000	0,000	0,027
23	4,856	-1,334	35,718	1,290	1,332	-0,321
24	-1,145	0,678	-0,194	0,000	0,000	0,141
25	2,233	-4,818	38,910	-3,747	2,525	0,654
26	0,618	2,699	-0,229	0,000	0,000	0,169
27	9,282	-1,812	51,184	1,768	20,514	0,342
28	-3,290	0,125	-3,010	0,000	0,000	-0,139
29	7,419	-1,596	40,480	1,628	18,168	0,269
30	-2,611	0,892	-0,194	0,000	0,000	-0,250
31	3,287	-0,092	39,744	0,849	-1,059	-0,060
32	-1,064	-0,696	-0,256	0,000	0,000	-0,092
33	3,544	-1,728	44,618	1,907	-1,864	-0,388
34	2,240	-0,366	0,000	0,000	0,000	0,034
35	4,948	-1,742	42,128	1,914	0,136	-0,390
36	-1,250	-0,144	-0,278	0,000	0,000	0,073
37	5,416	-0,435	39,804	1,225	15,691	0,045
38	-1,881	0,189	-0,254	0,000	0,000	-0,080
39	6,145	-2,150	41,108	2,333	16,881	0,388
40	-2,356	0,943	0,000	0,000	0,000	-0,255
41	7,077	-1,874	47,349	2,152	19,304	0,333
42	-2,536	-0,537	-0,279	0,000	0,000	-0,129
43	1,024	-3,112	19,520	7,196	1,512	-0,219
44	0,311	-0,185	-0,222	0,000	0,000	0,067
45	1,610	-4,498	33,285	1,514	1,993	0,311
46	0,415	1,818	-0,163	0,000	0,000	-0,133
47	4,380	-2,638	26,055	2,823	13,825	0,486
48	1,245	-0,533	-0,227	0,000	0,000	-0,199
51	-0,315	-0,500	0,000	0,000	0,000	0,054
52	-0,445	-1,594	-0,142	0,000	0,000	-0,055
53	-1,750	-0,604	-0,059	0,000	0,000	-0,076
54	-1,323	-0,325	-0,176	0,000	0,000	-0,035
55	-1,507	0,198	-0,166	0,000	0,000	0,046
56	-1,847	-0,522	-0,111	0,000	0,000	-0,065
57	-1,548	-0,149	-0,206	0,000	0,000	0,084
58	-1,642	-0,414	-0,157	0,000	0,000	0,077
59	-1,856	-0,276	-0,192	0,000	0,000	0,056
60	-0,758	1,820	-0,229	0,000	0,000	-0,218
61	-2,400	0,061	-3,864	0,000	0,000	0,020
62	-1,874	0,446	-0,216	0,000	0,000	0,072
63	-0,650	3,490	-0,362	0,000	0,000	-0,186
64	-2,461	0,273	-3,864	0,000	0,000	-0,044
65	-1,981	0,597	-0,216	0,000	0,000	-0,064
66	-1,133	0,132	-0,247	0,000	0,000	0,040
67	-1,597	-0,150	-0,157	0,000	0,000	-0,010
68	-1,908	0,348	-0,255	0,000	0,000	0,072

## EQUILIBRI NODALI COMBINAZIONE 13

Nodo 3D	Fx (t)	Fy (t)	Fz (t)	Mx (t*m)	My (t*m)	Mz (t*m)
69	-1,571	0,352	-0,275	0,000	0,000	-0,038
70	-1,748	0,815	-0,166	0,000	0,000	-0,104
71	-2,101	-0,159	-0,237	0,000	0,000	0,036
72	-0,710	1,671	-0,137	0,000	0,000	0,105
73	-0,595	1,723	-0,142	0,000	0,000	-0,082
74	-2,140	0,393	-0,185	0,000	0,000	-0,039
76	-0,658	-0,478	0,000	0,000	0,000	0,170
77	-0,690	-0,536	-0,142	0,000	0,000	-0,133
78	-1,555	-0,073	-0,059	0,000	0,000	0,075
79	-1,716	0,072	-0,176	0,000	0,000	0,054
80	-1,986	0,056	-0,166	0,000	0,000	0,034
81	-2,616	-0,181	-0,111	0,000	0,000	0,073
82	-2,050	0,187	-0,206	0,000	0,000	0,021
83	-2,364	0,124	-0,157	0,000	0,000	-0,015
84	-2,999	-0,004	-0,192	0,000	0,000	-0,005
85	-0,798	3,879	-3,939	0,000	0,000	-0,224
86	-2,177	-0,011	-2,184	0,000	0,000	0,103
87	-2,480	-0,063	-0,216	0,000	0,000	0,048
88	-0,884	2,710	-3,939	0,000	0,000	-0,249
89	-2,569	0,295	-3,864	0,000	0,000	-0,065
90	-2,933	0,009	-0,216	0,000	0,000	0,030
91	-1,663	0,550	-0,247	0,000	0,000	0,124
92	-2,126	0,661	-0,157	0,000	0,000	0,193
93	-2,507	0,387	-0,255	0,000	0,000	0,152
94	-2,000	0,298	-0,275	0,000	0,000	0,013
95	-2,187	0,708	-0,166	0,000	0,000	-0,072
96	-2,887	0,471	-0,237	0,000	0,000	-0,109
97	-0,542	1,311	-0,137	0,000	0,000	0,096
98	-0,810	2,333	-0,142	0,000	0,000	-0,118
99	-1,573	0,917	-0,185	0,000	0,000	-0,179
101	-1,226	-0,110	-0,008	0,000	0,000	0,136
102	-1,101	-0,288	-0,137	0,000	0,000	-0,095
103	-1,225	0,878	-0,073	0,000	0,000	0,122
104	-1,470	-0,190	-0,128	0,000	0,000	0,019
105	-1,342	-0,285	-0,120	0,000	0,000	0,012
106	-1,911	1,218	-0,128	0,000	0,000	0,161
107	-1,576	-0,233	-0,129	0,000	0,000	0,057
108	-2,350	0,684	-0,114	0,000	0,000	-0,034
109	-2,745	0,859	-0,121	0,000	0,000	-0,052
110	-1,477	-1,519	-0,473	0,000	0,000	-0,380
111	-1,641	1,239	-0,108	0,000	0,000	0,161
112	-1,807	0,249	-0,115	0,000	0,000	0,062
113	-1,512	-2,027	-0,473	0,000	0,000	-0,426
114	-2,258	1,454	-0,108	0,000	0,000	-0,108
115	-2,594	0,265	-0,115	0,000	0,000	0,006
116	-1,563	0,143	-0,129	0,000	0,000	0,050
117	-1,341	1,223	-0,114	0,000	0,000	0,158
118	-1,845	1,190	-0,121	0,000	0,000	0,155
119	-1,591	-0,082	-0,128	0,000	0,000	0,053
120	-2,073	0,319	-0,120	0,000	0,000	0,006
121	-2,268	1,774	-0,128	0,000	0,000	-0,140
122	-0,128	0,972	-0,103	0,000	0,000	0,029

**EQUILIBRI NODALI COMBINAZIONE 13**

Nodo 3D	Fx (t)	Fy (t)	Fz (t)	Mx (t*m)	My (t*m)	Mz (t*m)
123	-0,562	1,833	-0,137	0,000	0,000	-0,045
124	-0,973	1,897	-0,073	0,000	0,000	-0,154

**EQUILIBRI NODALI COMBINAZIONE 14**

Nodo 3D	Fx (t)	Fy (t)	Fz (t)	Mx (t*m)	My (t*m)	Mz (t*m)
1	2,127	2,857	39,418	7,718	2,425	-0,390
2	0,416	2,050	-0,168	0,000	0,000	0,140
3	1,867	4,725	52,055	-16,366	2,177	0,386
4	0,523	-1,223	-0,163	0,000	0,000	-0,094
5	3,127	0,320	34,972	-0,911	0,250	0,049
6	2,041	0,709	-0,059	0,000	0,000	-0,039
7	4,712	1,962	36,665	-1,905	0,668	0,378
8	-0,862	-1,167	-0,108	0,000	0,000	-0,277
9	3,855	1,097	46,257	-1,348	-1,814	0,204
10	-1,036	-0,043	0,000	0,000	0,000	-0,042
11	4,508	0,243	27,291	-0,794	2,316	0,034
12	-1,511	0,473	-0,112	0,000	0,000	-0,050
13	6,605	1,716	37,221	-1,687	16,845	-0,358
14	-2,494	0,074	-0,159	0,000	0,000	0,085
15	6,279	1,029	47,078	-1,247	18,186	-0,221
16	0,799	0,496	0,000	0,000	0,000	-0,020
17	6,452	0,133	36,411	-0,666	15,991	-0,041
18	-2,214	0,628	-0,194	0,000	0,000	-0,078
19	2,652	6,157	45,155	-23,187	3,082	0,820
20	0,643	-2,291	-0,229	0,000	0,000	0,289
21	7,701	1,663	50,381	-1,584	-0,583	0,319
22	-2,558	-0,645	-3,710	0,000	0,000	-0,177
23	4,088	-0,064	34,520	-0,468	0,758	-0,042
24	-1,301	0,030	-0,194	0,000	0,000	0,004
25	2,879	5,077	52,144	-24,338	3,228	0,888
26	0,899	-0,388	-0,229	0,000	0,000	0,306
27	9,106	1,342	41,325	-1,301	18,549	-0,263
28	-3,107	-0,556	-3,010	0,000	0,000	0,133
29	6,506	-0,191	38,548	-0,311	16,513	0,014
30	-2,357	0,182	-0,194	0,000	0,000	-0,050
31	4,479	1,410	43,286	-1,283	-0,810	0,269
32	-0,582	-0,236	-0,256	0,000	0,000	-0,175
33	3,778	0,598	44,971	-0,759	-1,644	0,106
34	2,396	0,157	0,000	0,000	0,000	-0,077
35	4,223	-0,167	37,055	-0,265	0,197	-0,047
36	-1,423	0,323	-0,278	0,000	0,000	-0,012
37	6,859	1,446	42,989	-1,255	18,195	-0,303
38	-2,546	-0,803	-0,254	0,000	0,000	0,183
39	6,304	0,435	44,924	-0,603	17,778	-0,101
40	-2,204	0,354	0,000	0,000	0,000	-0,044
41	6,111	-0,184	40,377	-0,204	16,633	0,024
42	-2,276	0,049	-0,279	0,000	0,000	-0,012
43	1,512	1,299	25,816	-1,580	2,030	-0,286
44	0,466	-2,252	-0,222	0,000	0,000	0,122
45	1,531	2,020	34,414	-9,858	1,947	0,313
46	0,361	-0,428	-0,163	0,000	0,000	-0,098

## EQUILIBRI NODALI COMBINAZIONE 14

Nodo 3D	Fx (t)	Fy (t)	Fz (t)	Mx (t*m)	My (t*m)	Mz (t*m)
47	3,575	-0,452	18,219	0,026	11,068	0,077
48	1,505	0,098	-0,227	0,000	0,000	-0,047
51	-0,452	-1,148	0,000	0,000	0,000	0,062
52	-0,414	-0,319	-0,142	0,000	0,000	-0,073
53	-1,524	-0,199	-0,059	0,000	0,000	-0,018
54	-1,771	-0,756	-0,176	0,000	0,000	-0,107
55	-1,612	-0,108	-0,166	0,000	0,000	-0,007
56	-1,627	-0,152	-0,111	0,000	0,000	-0,011
57	-1,996	-0,435	-0,206	0,000	0,000	0,030
58	-1,767	0,029	-0,157	0,000	0,000	0,008
59	-1,624	0,077	-0,192	0,000	0,000	0,001
60	-0,976	-3,174	-0,229	0,000	0,000	-0,306
61	-2,552	-0,536	-3,864	0,000	0,000	-0,077
62	-1,657	-0,080	-0,216	0,000	0,000	-0,015
63	-0,874	-2,174	-0,362	0,000	0,000	-0,275
64	-2,359	-0,404	-3,864	0,000	0,000	0,049
65	-1,759	0,003	-0,216	0,000	0,000	0,017
66	-1,576	-0,270	-0,247	0,000	0,000	-0,033
67	-1,486	0,288	-0,157	0,000	0,000	0,059
68	-1,705	-0,063	-0,255	0,000	0,000	-0,001
69	-2,028	-0,468	-0,275	0,000	0,000	0,074
70	-1,849	0,194	-0,166	0,000	0,000	-0,023
71	-1,874	0,221	-0,237	0,000	0,000	-0,018
72	-0,637	-0,085	-0,137	0,000	0,000	0,098
73	-0,639	-0,093	-0,142	0,000	0,000	-0,101
74	-1,895	-0,161	-0,185	0,000	0,000	0,032
76	-0,870	-1,552	0,000	0,000	0,000	0,165
77	-0,736	-2,247	-0,142	0,000	0,000	-0,172
78	-1,306	-0,643	-0,059	0,000	0,000	-0,062
79	-2,343	-0,119	-0,176	0,000	0,000	0,002
80	-2,092	-0,540	-0,166	0,000	0,000	-0,110
81	-2,230	-0,773	-0,111	0,000	0,000	-0,068
82	-2,646	-0,384	-0,206	0,000	0,000	0,114
83	-2,474	-0,740	-0,157	0,000	0,000	0,143
84	-2,579	-0,604	-0,192	0,000	0,000	0,094
85	-1,114	0,319	-3,939	0,000	0,000	-0,360
86	-2,315	-0,919	-2,184	0,000	0,000	-0,109
87	-2,080	-0,279	-0,216	0,000	0,000	-0,011
88	-1,260	-1,169	-3,939	0,000	0,000	-0,405
89	-2,482	-0,690	-3,864	0,000	0,000	0,115
90	-2,529	-0,215	-0,216	0,000	0,000	0,042
91	-2,338	-0,217	-0,247	0,000	0,000	-0,056
92	-2,241	-0,506	-0,157	0,000	0,000	-0,072
93	-2,131	-0,422	-0,255	0,000	0,000	-0,036
94	-2,672	0,028	-0,275	0,000	0,000	0,027
95	-2,298	-0,256	-0,166	0,000	0,000	0,093
96	-2,445	-0,490	-0,237	0,000	0,000	0,051
97	-0,779	-0,749	-0,137	0,000	0,000	0,111
98	-0,780	-0,978	-0,142	0,000	0,000	-0,148
99	-1,264	-0,222	-0,185	0,000	0,000	0,017
101	-1,232	-0,937	-0,008	0,000	0,000	0,120
102	-1,173	-1,856	-0,137	0,000	0,000	-0,125

**EQUILIBRI NODALI COMBINAZIONE 14**

Nodo 3D	Fx (t)	Fy (t)	Fz (t)	Mx (t*m)	My (t*m)	Mz (t*m)
103	-1,197	0,109	-0,073	0,000	0,000	0,026
104	-1,492	-0,283	-0,128	0,000	0,000	-0,011
105	-1,380	-1,110	-0,120	0,000	0,000	-0,089
106	-1,813	0,449	-0,128	0,000	0,000	0,065
107	-1,915	-0,991	-0,129	0,000	0,000	0,115
108	-2,204	-0,505	-0,114	0,000	0,000	0,066
109	-2,468	0,068	-0,121	0,000	0,000	0,009
110	-1,553	-2,941	-0,473	0,000	0,000	-0,527
111	-1,565	0,004	-0,108	0,000	0,000	0,017
112	-1,706	0,148	-0,115	0,000	0,000	0,030
113	-1,940	-3,610	-0,473	0,000	0,000	-0,607
114	-2,329	0,139	-0,108	0,000	0,000	0,005
115	-2,268	0,157	-0,115	0,000	0,000	0,001
116	-1,951	-0,792	-0,129	0,000	0,000	-0,065
117	-1,521	-0,252	-0,114	0,000	0,000	-0,011
118	-1,538	0,213	-0,121	0,000	0,000	0,035
119	-2,037	-0,209	-0,128	0,000	0,000	0,030
120	-2,019	-0,862	-0,120	0,000	0,000	0,102
121	-1,940	0,672	-0,128	0,000	0,000	-0,051
122	-0,415	-0,397	-0,103	0,000	0,000	0,036
123	-0,453	-0,795	-0,137	0,000	0,000	-0,049
124	-0,752	0,581	-0,073	0,000	0,000	-0,045

**EQUILIBRI NODALI COMBINAZIONE 15**

Nodo 3D	Fx (t)	Fy (t)	Fz (t)	Mx (t*m)	My (t*m)	Mz (t*m)
1	1,904	3,696	39,721	5,912	2,169	-0,363
2	0,411	1,930	-0,168	0,000	0,000	0,113
3	1,866	5,943	52,234	-18,477	2,166	0,368
4	0,530	-1,358	-0,163	0,000	0,000	-0,109
5	3,497	0,729	34,472	-1,429	1,062	0,113
6	1,998	0,726	-0,059	0,000	0,000	-0,073
7	4,055	2,232	37,064	-2,259	-0,407	0,414
8	-0,768	-1,298	-0,108	0,000	0,000	-0,327
9	3,830	1,469	46,710	-1,768	-1,950	0,261
10	-1,023	-0,093	0,000	0,000	0,000	-0,085
11	5,033	0,487	26,267	-1,131	3,316	0,066
12	-1,558	0,497	-0,112	0,000	0,000	-0,075
13	6,002	1,866	37,598	-1,899	15,954	-0,405
14	-2,421	0,076	-0,159	0,000	0,000	0,075
15	6,240	1,258	47,168	-1,510	18,151	-0,284
16	0,813	0,496	0,000	0,000	0,000	-0,025
17	6,951	0,290	36,121	-0,883	16,715	-0,090
18	-2,248	0,630	-0,194	0,000	0,000	-0,087
19	2,330	6,540	45,758	-23,976	2,715	0,699
20	0,592	-2,312	-0,229	0,000	0,000	0,240
21	7,660	1,762	50,117	-1,680	-0,585	0,321
22	-2,536	-0,664	-3,710	0,000	0,000	-0,201
23	4,605	-0,017	34,258	-0,531	1,603	-0,050
24	-1,345	0,009	-0,194	0,000	0,000	-0,018
25	2,556	4,694	51,542	-23,549	2,862	0,767
26	0,848	-0,367	-0,229	0,000	0,000	0,258

## EQUILIBRI NODALI COMBINAZIONE 15

Nodo 3D	Fx (t)	Fy (t)	Fz (t)	Mx (t*m)	My (t*m)	Mz (t*m)
27	9,065	1,243	41,589	-1,204	18,547	-0,260
28	-3,085	-0,537	-3,010	0,000	0,000	0,109
29	7,022	-0,238	38,809	-0,248	17,357	0,005
30	-2,401	0,202	-0,194	0,000	0,000	-0,072
31	3,877	1,261	42,910	-1,071	-1,701	0,221
32	-0,509	-0,238	-0,256	0,000	0,000	-0,184
33	3,739	0,369	44,881	-0,496	-1,680	0,043
34	2,411	0,157	0,000	0,000	0,000	-0,082
35	4,722	-0,324	37,346	-0,049	0,922	-0,096
36	-1,457	0,321	-0,278	0,000	0,000	-0,021
37	6,202	1,176	42,590	-0,902	17,119	-0,266
38	-2,451	-0,672	-0,254	0,000	0,000	0,133
39	6,279	0,063	44,471	-0,183	17,642	-0,044
40	-2,191	0,405	0,000	0,000	0,000	-0,086
41	6,636	-0,428	41,400	0,134	17,633	0,055
42	-2,323	0,025	-0,279	0,000	0,000	-0,036
43	1,289	0,461	25,513	0,227	1,774	-0,259
44	0,462	-2,132	-0,222	0,000	0,000	0,096
45	1,530	0,802	34,235	-7,746	1,936	0,295
46	0,368	-0,294	-0,163	0,000	0,000	-0,113
47	3,945	-0,861	18,719	0,544	11,880	0,141
48	1,463	0,081	-0,227	0,000	0,000	-0,081
51	-0,422	-1,427	0,000	0,000	0,000	0,061
52	-0,408	-0,556	-0,142	0,000	0,000	-0,068
53	-1,623	-0,265	-0,059	0,000	0,000	-0,024
54	-1,662	-0,880	-0,176	0,000	0,000	-0,121
55	-1,605	-0,197	-0,166	0,000	0,000	-0,016
56	-1,706	-0,194	-0,111	0,000	0,000	-0,014
57	-1,893	-0,465	-0,206	0,000	0,000	0,039
58	-1,763	-0,002	-0,157	0,000	0,000	0,017
59	-1,695	0,047	-0,192	0,000	0,000	0,009
60	-0,921	-3,393	-0,229	0,000	0,000	-0,282
61	-2,540	-0,562	-3,864	0,000	0,000	-0,077
62	-1,733	-0,103	-0,216	0,000	0,000	-0,014
63	-0,818	-1,955	-0,362	0,000	0,000	-0,252
64	-2,347	-0,378	-3,864	0,000	0,000	0,050
65	-1,836	0,026	-0,216	0,000	0,000	0,018
66	-1,473	-0,240	-0,247	0,000	0,000	-0,024
67	-1,482	0,319	-0,157	0,000	0,000	0,068
68	-1,777	-0,033	-0,255	0,000	0,000	0,007
69	-1,919	-0,344	-0,275	0,000	0,000	0,060
70	-1,842	0,282	-0,166	0,000	0,000	-0,032
71	-1,953	0,263	-0,237	0,000	0,000	-0,020
72	-0,606	0,194	-0,137	0,000	0,000	0,097
73	-0,633	0,144	-0,142	0,000	0,000	-0,097
74	-1,994	-0,095	-0,185	0,000	0,000	0,026
76	-0,781	-1,805	0,000	0,000	0,000	0,161
77	-0,732	-2,712	-0,142	0,000	0,000	-0,156
78	-1,432	-0,806	-0,059	0,000	0,000	-0,081
79	-2,082	-0,126	-0,176	0,000	0,000	0,016
80	-2,078	-0,644	-0,166	0,000	0,000	-0,117
81	-2,447	-0,879	-0,111	0,000	0,000	-0,074

**EQUILIBRI NODALI COMBINAZIONE 15**

Nodo 3D	Fx (t)	Fy (t)	Fz (t)	Mx (t*m)	My (t*m)	Mz (t*m)
82	-2,396	-0,440	-0,206	0,000	0,000	0,141
83	-2,459	-0,832	-0,157	0,000	0,000	0,177
84	-2,788	-0,665	-0,192	0,000	0,000	0,122
85	-0,995	0,231	-3,939	0,000	0,000	-0,306
86	-2,301	-0,943	-2,184	0,000	0,000	-0,098
87	-2,293	-0,280	-0,216	0,000	0,000	0,004
88	-1,142	-1,081	-3,939	0,000	0,000	-0,351
89	-2,468	-0,666	-3,864	0,000	0,000	0,125
90	-2,741	-0,214	-0,216	0,000	0,000	0,057
91	-2,088	-0,160	-0,247	0,000	0,000	-0,029
92	-2,226	-0,414	-0,157	0,000	0,000	-0,037
93	-2,340	-0,361	-0,255	0,000	0,000	-0,008
94	-2,411	0,036	-0,275	0,000	0,000	0,041
95	-2,284	-0,152	-0,166	0,000	0,000	0,086
96	-2,662	-0,385	-0,237	0,000	0,000	0,045
97	-0,690	-0,495	-0,137	0,000	0,000	0,108
98	-0,776	-0,513	-0,142	0,000	0,000	-0,133
99	-1,390	-0,060	-0,185	0,000	0,000	-0,001
101	-1,123	-1,123	-0,008	0,000	0,000	0,124
102	-1,189	-2,236	-0,137	0,000	0,000	-0,112
103	-1,300	-0,088	-0,073	0,000	0,000	0,021
104	-1,299	-0,290	-0,128	0,000	0,000	0,003
105	-1,389	-1,239	-0,120	0,000	0,000	-0,087
106	-1,994	0,328	-0,128	0,000	0,000	0,068
107	-1,738	-1,056	-0,129	0,000	0,000	0,136
108	-2,198	-0,610	-0,114	0,000	0,000	0,091
109	-2,653	0,000	-0,121	0,000	0,000	0,030
110	-1,353	-2,997	-0,473	0,000	0,000	-0,435
111	-1,572	-0,027	-0,108	0,000	0,000	0,029
112	-1,889	0,146	-0,115	0,000	0,000	0,044
113	-1,740	-3,554	-0,473	0,000	0,000	-0,515
114	-2,336	0,170	-0,108	0,000	0,000	0,016
115	-2,451	0,159	-0,115	0,000	0,000	0,015
116	-1,773	-0,727	-0,129	0,000	0,000	-0,044
117	-1,515	-0,147	-0,114	0,000	0,000	0,014
118	-1,723	0,282	-0,121	0,000	0,000	0,057
119	-1,844	-0,202	-0,128	0,000	0,000	0,044
120	-2,029	-0,732	-0,120	0,000	0,000	0,104
121	-2,122	0,792	-0,128	0,000	0,000	-0,049
122	-0,306	-0,211	-0,103	0,000	0,000	0,040
123	-0,469	-0,414	-0,137	0,000	0,000	-0,036
124	-0,855	0,778	-0,073	0,000	0,000	-0,050

**EQUILIBRI NODALI COMBINAZIONE 16**

Nodo 3D	Fx (t)	Fy (t)	Fz (t)	Mx (t*m)	My (t*m)	Mz (t*m)
1	1,963	3,476	39,642	6,384	2,236	-0,370
2	0,412	1,962	-0,168	0,000	0,000	0,120
3	1,866	5,625	52,187	-17,925	2,169	0,373
4	0,528	-1,323	-0,163	0,000	0,000	-0,105
5	3,401	0,622	34,602	-1,294	0,849	0,096
6	2,009	0,722	-0,059	0,000	0,000	-0,064

## EQUILIBRI NODALI COMBINAZIONE 16

Nodo 3D	Fx (t)	Fy (t)	Fz (t)	Mx (t*m)	My (t*m)	Mz (t*m)
7	4,226	2,162	36,960	-2,166	-0,126	0,404
8	-0,792	-1,264	-0,108	0,000	0,000	-0,314
9	3,837	1,371	46,591	-1,658	-1,914	0,246
10	-1,027	-0,080	0,000	0,000	0,000	-0,073
11	4,896	0,424	26,535	-1,043	3,055	0,057
12	-1,546	0,490	-0,112	0,000	0,000	-0,068
13	6,159	1,827	37,499	-1,843	16,187	-0,393
14	-2,440	0,075	-0,159	0,000	0,000	0,078
15	6,250	1,198	47,145	-1,441	18,160	-0,268
16	0,809	0,496	0,000	0,000	0,000	-0,023
17	6,821	0,249	36,197	-0,826	16,526	-0,078
18	-2,239	0,630	-0,194	0,000	0,000	-0,085
19	2,414	6,439	45,600	-23,769	2,811	0,731
20	0,605	-2,306	-0,229	0,000	0,000	0,253
21	7,671	1,736	50,186	-1,655	-0,585	0,321
22	-2,542	-0,659	-3,710	0,000	0,000	-0,195
23	4,470	-0,029	34,326	-0,515	1,382	-0,048
24	-1,333	0,015	-0,194	0,000	0,000	-0,012
25	2,640	4,794	51,699	-23,755	2,957	0,799
26	0,861	-0,373	-0,229	0,000	0,000	0,270
27	9,076	1,269	41,520	-1,229	18,547	-0,261
28	-3,091	-0,542	-3,010	0,000	0,000	0,115
29	6,887	-0,225	38,741	-0,265	17,136	0,008
30	-2,390	0,197	-0,194	0,000	0,000	-0,067
31	4,034	1,300	43,008	-1,126	-1,468	0,234
32	-0,528	-0,237	-0,256	0,000	0,000	-0,182
33	3,749	0,429	44,905	-0,565	-1,671	0,059
34	2,407	0,157	0,000	0,000	0,000	-0,081
35	4,592	-0,283	37,270	-0,105	0,732	-0,083
36	-1,448	0,322	-0,278	0,000	0,000	-0,019
37	6,373	1,247	42,694	-0,994	17,401	-0,276
38	-2,476	-0,706	-0,254	0,000	0,000	0,146
39	6,286	0,160	44,590	-0,293	17,677	-0,059
40	-2,194	0,392	0,000	0,000	0,000	-0,075
41	6,498	-0,364	41,133	0,045	17,372	0,047
42	-2,311	0,032	-0,279	0,000	0,000	-0,030
43	1,347	0,680	25,592	-0,246	1,841	-0,266
44	0,463	-2,163	-0,222	0,000	0,000	0,103
45	1,530	1,120	34,282	-8,299	1,939	0,300
46	0,366	-0,329	-0,163	0,000	0,000	-0,109
47	3,849	-0,754	18,588	0,409	11,668	0,124
48	1,474	0,085	-0,227	0,000	0,000	-0,072
51	-0,430	-1,354	0,000	0,000	0,000	0,062
52	-0,410	-0,494	-0,142	0,000	0,000	-0,070
53	-1,597	-0,248	-0,059	0,000	0,000	-0,022
54	-1,691	-0,848	-0,176	0,000	0,000	-0,118
55	-1,607	-0,174	-0,166	0,000	0,000	-0,014
56	-1,685	-0,183	-0,111	0,000	0,000	-0,013
57	-1,920	-0,457	-0,206	0,000	0,000	0,036
58	-1,764	0,006	-0,157	0,000	0,000	0,014
59	-1,677	0,055	-0,192	0,000	0,000	0,007
60	-0,935	-3,336	-0,229	0,000	0,000	-0,289

## EQUILIBRI NODALI COMBINAZIONE 16

Nodo 3D	Fx (t)	Fy (t)	Fz (t)	Mx (t*m)	My (t*m)	Mz (t*m)
61	-2,543	-0,555	-3,864	0,000	0,000	-0,077
62	-1,713	-0,097	-0,216	0,000	0,000	-0,014
63	-0,833	-2,013	-0,362	0,000	0,000	-0,258
64	-2,350	-0,385	-3,864	0,000	0,000	0,050
65	-1,816	0,020	-0,216	0,000	0,000	0,018
66	-1,500	-0,248	-0,247	0,000	0,000	-0,026
67	-1,483	0,311	-0,157	0,000	0,000	0,065
68	-1,758	-0,040	-0,255	0,000	0,000	0,005
69	-1,948	-0,376	-0,275	0,000	0,000	0,064
70	-1,844	0,259	-0,166	0,000	0,000	-0,030
71	-1,932	0,252	-0,237	0,000	0,000	-0,019
72	-0,614	0,121	-0,137	0,000	0,000	0,097
73	-0,635	0,082	-0,142	0,000	0,000	-0,098
74	-1,968	-0,112	-0,185	0,000	0,000	0,028
76	-0,804	-1,739	0,000	0,000	0,000	0,162
77	-0,733	-2,590	-0,142	0,000	0,000	-0,160
78	-1,399	-0,763	-0,059	0,000	0,000	-0,076
79	-2,150	-0,124	-0,176	0,000	0,000	0,012
80	-2,082	-0,617	-0,166	0,000	0,000	-0,115
81	-2,390	-0,851	-0,111	0,000	0,000	-0,073
82	-2,462	-0,425	-0,206	0,000	0,000	0,134
83	-2,463	-0,808	-0,157	0,000	0,000	0,168
84	-2,733	-0,649	-0,192	0,000	0,000	0,115
85	-1,026	0,254	-3,939	0,000	0,000	-0,320
86	-2,305	-0,936	-2,184	0,000	0,000	-0,101
87	-2,237	-0,280	-0,216	0,000	0,000	0,000
88	-1,173	-1,104	-3,939	0,000	0,000	-0,365
89	-2,472	-0,672	-3,864	0,000	0,000	0,123
90	-2,686	-0,214	-0,216	0,000	0,000	0,053
91	-2,154	-0,175	-0,247	0,000	0,000	-0,036
92	-2,230	-0,438	-0,157	0,000	0,000	-0,046
93	-2,285	-0,377	-0,255	0,000	0,000	-0,016
94	-2,479	0,034	-0,275	0,000	0,000	0,037
95	-2,287	-0,179	-0,166	0,000	0,000	0,088
96	-2,606	-0,412	-0,237	0,000	0,000	0,047
97	-0,713	-0,562	-0,137	0,000	0,000	0,109
98	-0,777	-0,635	-0,142	0,000	0,000	-0,137
99	-1,357	-0,102	-0,185	0,000	0,000	0,004
101	-1,152	-1,074	-0,008	0,000	0,000	0,123
102	-1,185	-2,137	-0,137	0,000	0,000	-0,116
103	-1,273	-0,036	-0,073	0,000	0,000	0,023
104	-1,350	-0,288	-0,128	0,000	0,000	-0,001
105	-1,387	-1,205	-0,120	0,000	0,000	-0,088
106	-1,947	0,360	-0,128	0,000	0,000	0,067
107	-1,784	-1,039	-0,129	0,000	0,000	0,130
108	-2,200	-0,583	-0,114	0,000	0,000	0,085
109	-2,604	0,018	-0,121	0,000	0,000	0,025
110	-1,405	-2,982	-0,473	0,000	0,000	-0,459
111	-1,570	-0,019	-0,108	0,000	0,000	0,026
112	-1,841	0,146	-0,115	0,000	0,000	0,041
113	-1,792	-3,569	-0,473	0,000	0,000	-0,539
114	-2,334	0,162	-0,108	0,000	0,000	0,013

**EQUILIBRI NODALI COMBINAZIONE 16**

Nodo 3D	Fx (t)	Fy (t)	Fz (t)	Mx (t*m)	My (t*m)	Mz (t*m)
115	-2,403	0,158	-0,115	0,000	0,000	0,011
116	-1,820	-0,744	-0,129	0,000	0,000	-0,050
117	-1,517	-0,174	-0,114	0,000	0,000	0,007
118	-1,674	0,264	-0,121	0,000	0,000	0,051
119	-1,895	-0,204	-0,128	0,000	0,000	0,041
120	-2,026	-0,766	-0,120	0,000	0,000	0,104
121	-2,074	0,761	-0,128	0,000	0,000	-0,049
122	-0,335	-0,260	-0,103	0,000	0,000	0,039
123	-0,465	-0,514	-0,137	0,000	0,000	-0,040
124	-0,828	0,727	-0,073	0,000	0,000	-0,049

**EQUILIBRI NODALI COMBINAZIONE 17**

Nodo 3D	Fx (t)	Fy (t)	Fz (t)	Mx (t*m)	My (t*m)	Mz (t*m)
1	1,739	4,315	39,945	4,578	1,980	-0,343
2	0,408	1,842	-0,168	0,000	0,000	0,093
3	1,865	6,843	52,367	-20,037	2,158	0,355
4	0,535	-1,458	-0,163	0,000	0,000	-0,120
5	3,771	1,031	34,102	-1,811	1,661	0,160
6	1,967	0,739	-0,059	0,000	0,000	-0,099
7	3,569	2,431	37,359	-2,520	-1,202	0,441
8	-0,698	-1,395	-0,108	0,000	0,000	-0,363
9	3,812	1,744	47,044	-2,078	-2,050	0,303
10	-1,014	-0,130	0,000	0,000	0,000	-0,116
11	5,420	0,668	25,511	-1,381	4,055	0,089
12	-1,593	0,514	-0,112	0,000	0,000	-0,093
13	5,557	1,976	37,876	-2,055	15,296	-0,440
14	-2,367	0,077	-0,159	0,000	0,000	0,069
15	6,211	1,427	47,235	-1,704	18,124	-0,331
16	0,823	0,496	0,000	0,000	0,000	-0,028
17	7,320	0,405	35,906	-1,043	17,250	-0,126
18	-2,273	0,632	-0,194	0,000	0,000	-0,094
19	2,092	6,822	46,203	-24,558	2,444	0,610
20	0,554	-2,326	-0,229	0,000	0,000	0,204
21	7,630	1,836	49,922	-1,751	-0,586	0,323
22	-2,520	-0,678	-3,710	0,000	0,000	-0,219
23	4,987	0,018	34,064	-0,577	2,226	-0,056
24	-1,378	-0,006	-0,194	0,000	0,000	-0,034
25	2,318	4,411	51,097	-22,966	2,591	0,678
26	0,810	-0,353	-0,229	0,000	0,000	0,222
27	9,035	1,169	41,784	-1,133	18,546	-0,259
28	-3,068	-0,523	-3,010	0,000	0,000	0,091
29	7,404	-0,272	39,003	-0,202	17,980	-0,001
30	-2,434	0,218	-0,194	0,000	0,000	-0,088
31	3,431	1,150	42,632	-0,914	-2,358	0,186
32	-0,455	-0,239	-0,256	0,000	0,000	-0,191
33	3,710	0,200	44,815	-0,302	-1,706	-0,004
34	2,421	0,157	0,000	0,000	0,000	-0,086
35	5,091	-0,440	37,560	0,111	1,456	-0,132
36	-1,482	0,319	-0,278	0,000	0,000	-0,027
37	5,716	0,977	42,295	-0,640	16,325	-0,239
38	-2,381	-0,575	-0,254	0,000	0,000	0,097

## EQUILIBRI NODALI COMBINAZIONE 17

Nodo 3D	Fx (t)	Fy (t)	Fz (t)	Mx (t*m)	My (t*m)	Mz (t*m)
39	6,261	-0,212	44,137	0,127	17,541	-0,002
40	-2,181	0,442	0,000	0,000	0,000	-0,118
41	7,023	-0,609	42,156	0,383	18,372	0,078
42	-2,358	0,008	-0,279	0,000	0,000	-0,055
43	1,124	-0,158	25,289	1,561	1,585	-0,239
44	0,458	-2,043	-0,222	0,000	0,000	0,076
45	1,529	-0,098	34,103	-6,187	1,928	0,282
46	0,373	-0,194	-0,163	0,000	0,000	-0,124
47	4,219	-1,163	19,088	0,927	12,480	0,189
48	1,431	0,068	-0,227	0,000	0,000	-0,107
51	-0,399	-1,633	0,000	0,000	0,000	0,061
52	-0,405	-0,732	-0,142	0,000	0,000	-0,065
53	-1,697	-0,315	-0,059	0,000	0,000	-0,028
54	-1,582	-0,972	-0,176	0,000	0,000	-0,132
55	-1,599	-0,262	-0,166	0,000	0,000	-0,023
56	-1,764	-0,226	-0,111	0,000	0,000	-0,016
57	-1,817	-0,487	-0,206	0,000	0,000	0,045
58	-1,760	-0,025	-0,157	0,000	0,000	0,023
59	-1,749	0,025	-0,192	0,000	0,000	0,015
60	-0,880	-3,554	-0,229	0,000	0,000	-0,265
61	-2,531	-0,580	-3,864	0,000	0,000	-0,077
62	-1,790	-0,120	-0,216	0,000	0,000	-0,014
63	-0,777	-1,794	-0,362	0,000	0,000	-0,234
64	-2,338	-0,359	-3,864	0,000	0,000	0,050
65	-1,892	0,043	-0,216	0,000	0,000	0,018
66	-1,397	-0,218	-0,247	0,000	0,000	-0,018
67	-1,479	0,342	-0,157	0,000	0,000	0,074
68	-1,830	-0,011	-0,255	0,000	0,000	0,013
69	-1,839	-0,252	-0,275	0,000	0,000	0,049
70	-1,836	0,347	-0,166	0,000	0,000	-0,039
71	-2,011	0,295	-0,237	0,000	0,000	-0,022
72	-0,583	0,400	-0,137	0,000	0,000	0,097
73	-0,630	0,320	-0,142	0,000	0,000	-0,093
74	-2,068	-0,046	-0,185	0,000	0,000	0,022
76	-0,716	-1,992	0,000	0,000	0,000	0,159
77	-0,729	-3,055	-0,142	0,000	0,000	-0,145
78	-1,525	-0,926	-0,059	0,000	0,000	-0,095
79	-1,889	-0,132	-0,176	0,000	0,000	0,026
80	-2,068	-0,721	-0,166	0,000	0,000	-0,122
81	-2,608	-0,956	-0,111	0,000	0,000	-0,079
82	-2,212	-0,482	-0,206	0,000	0,000	0,161
83	-2,448	-0,901	-0,157	0,000	0,000	0,203
84	-2,942	-0,710	-0,192	0,000	0,000	0,143
85	-0,908	0,165	-3,939	0,000	0,000	-0,266
86	-2,291	-0,961	-2,184	0,000	0,000	-0,091
87	-2,449	-0,281	-0,216	0,000	0,000	0,015
88	-1,054	-1,015	-3,939	0,000	0,000	-0,311
89	-2,458	-0,648	-3,864	0,000	0,000	0,133
90	-2,898	-0,213	-0,216	0,000	0,000	0,069
91	-1,904	-0,119	-0,247	0,000	0,000	-0,009
92	-2,215	-0,346	-0,157	0,000	0,000	-0,012
93	-2,494	-0,316	-0,255	0,000	0,000	0,012

**EQUILIBRI NODALI COMBINAZIONE 17**

Nodo 3D	Fx (t)	Fy (t)	Fz (t)	Mx (t*m)	My (t*m)	Mz (t*m)
94	-2,218	0,042	-0,275	0,000	0,000	0,051
95	-2,274	-0,075	-0,166	0,000	0,000	0,081
96	-2,823	-0,307	-0,237	0,000	0,000	0,040
97	-0,625	-0,308	-0,137	0,000	0,000	0,106
98	-0,773	-0,169	-0,142	0,000	0,000	-0,122
99	-1,483	0,061	-0,185	0,000	0,000	-0,015
101	-1,043	-1,261	-0,008	0,000	0,000	0,127
102	-1,200	-2,517	-0,137	0,000	0,000	-0,103
103	-1,375	-0,234	-0,073	0,000	0,000	0,017
104	-1,157	-0,295	-0,128	0,000	0,000	0,013
105	-1,396	-1,334	-0,120	0,000	0,000	-0,086
106	-2,128	0,239	-0,128	0,000	0,000	0,069
107	-1,606	-1,104	-0,129	0,000	0,000	0,151
108	-2,194	-0,688	-0,114	0,000	0,000	0,110
109	-2,789	-0,051	-0,121	0,000	0,000	0,046
110	-1,206	-3,038	-0,473	0,000	0,000	-0,367
111	-1,577	-0,050	-0,108	0,000	0,000	0,037
112	-2,025	0,144	-0,115	0,000	0,000	0,055
113	-1,593	-3,513	-0,473	0,000	0,000	-0,447
114	-2,341	0,193	-0,108	0,000	0,000	0,025
115	-2,586	0,161	-0,115	0,000	0,000	0,025
116	-1,642	-0,679	-0,129	0,000	0,000	-0,029
117	-1,511	-0,069	-0,114	0,000	0,000	0,032
118	-1,859	0,332	-0,121	0,000	0,000	0,072
119	-1,702	-0,197	-0,128	0,000	0,000	0,054
120	-2,036	-0,637	-0,120	0,000	0,000	0,105
121	-2,256	0,881	-0,128	0,000	0,000	-0,047
122	-0,226	-0,073	-0,103	0,000	0,000	0,042
123	-0,480	-0,133	-0,137	0,000	0,000	-0,027
124	-0,930	0,924	-0,073	0,000	0,000	-0,054

**EQUILIBRI NODALI COMBINAZIONE 18**

Nodo 3D	Fx (t)	Fy (t)	Fz (t)	Mx (t*m)	My (t*m)	Mz (t*m)
1	-0,792	-3,304	15,501	10,651	-1,086	0,052
2	0,167	-2,658	-0,168	0,000	0,000	-0,106
3	-0,560	-5,064	38,665	2,143	-0,701	-0,153
4	-0,150	-2,235	-0,163	0,000	0,000	-0,013
5	-1,422	-2,895	35,030	3,208	-8,607	-0,603
6	0,126	-0,685	-0,059	0,000	0,000	0,164
7	-4,071	-1,122	30,657	2,167	-10,048	-0,249
8	0,166	0,544	-0,108	0,000	0,000	0,111
9	-3,053	-3,127	39,043	3,462	-11,044	-0,650
10	1,457	1,107	0,000	0,000	0,000	0,261
11	-1,390	-2,516	40,396	3,064	-9,872	-0,528
12	1,272	-0,821	-0,112	0,000	0,000	0,128
13	-2,261	-1,029	32,776	2,195	2,258	0,181
14	0,874	-1,058	-0,159	0,000	0,000	-0,026
15	-0,002	-3,216	45,071	3,609	7,009	0,619
16	-0,889	-0,797	0,000	0,000	0,000	-0,173
17	0,792	-2,743	43,372	3,301	8,429	0,524
18	-0,316	-0,518	-0,194	0,000	0,000	-0,193

## EQUILIBRI NODALI COMBINAZIONE 18

Nodo 3D	Fx (t)	Fy (t)	Fz (t)	Mx (t*m)	My (t*m)	Mz (t*m)
19	-1,614	-14,447	23,233	18,996	-1,826	-0,542
20	0,013	5,482	-0,229	0,000	0,000	-0,272
21	-3,946	-4,993	63,737	4,874	-16,582	-1,024
22	1,670	0,899	-3,710	0,000	0,000	0,341
23	-1,915	-3,007	39,991	3,590	-10,317	-0,623
24	1,484	1,600	-0,194	0,000	0,000	0,363
25	-1,565	-15,547	20,717	21,647	-1,798	-0,529
26	-0,681	5,579	-0,229	0,000	0,000	-0,282
27	-1,384	-5,235	68,988	5,121	11,282	1,013
28	0,167	0,814	-3,010	0,000	0,000	-0,392
29	0,823	-3,142	39,928	3,769	7,797	0,605
30	-0,461	1,640	-0,194	0,000	0,000	-0,427
31	-4,317	-1,498	34,882	2,854	-11,189	-0,332
32	0,375	-1,082	-0,256	0,000	0,000	0,056
33	-3,246	-3,919	45,966	4,419	-12,818	-0,815
34	-0,030	-0,811	0,000	0,000	0,000	0,213
35	-1,840	-3,217	50,223	3,963	-12,037	-0,675
36	1,397	-0,539	-0,278	0,000	0,000	0,223
37	-2,494	-1,991	37,520	3,289	2,988	0,366
38	0,906	0,983	-0,254	0,000	0,000	-0,268
39	-0,545	-4,294	38,158	4,776	5,649	0,827
40	-0,438	1,345	0,000	0,000	0,000	-0,397
41	0,675	-3,266	51,522	4,109	10,011	0,621
42	-0,394	-0,951	-0,279	0,000	0,000	-0,199
43	-1,663	-6,312	23,870	21,341	-1,657	0,290
44	-0,419	3,670	-0,222	0,000	0,000	-0,131
45	-0,508	-8,807	43,837	7,850	-0,624	-0,123
46	-0,102	2,903	-0,163	0,000	0,000	-0,020
47	0,387	-4,169	48,823	4,826	9,235	0,802
48	-1,309	-0,860	-0,227	0,000	0,000	-0,278
51	0,502	1,526	0,000	0,000	0,000	-0,057
52	0,193	-1,730	-0,142	0,000	0,000	0,066
53	0,334	-0,688	-0,059	0,000	0,000	-0,105
54	1,307	0,568	-0,176	0,000	0,000	0,092
55	0,789	0,905	-0,166	0,000	0,000	0,142
56	0,331	-0,677	-0,111	0,000	0,000	-0,103
57	1,046	0,376	-0,206	0,000	0,000	0,099
58	0,589	-0,716	-0,157	0,000	0,000	0,106
59	0,268	-0,492	-0,192	0,000	0,000	0,071
60	0,511	8,905	-0,229	0,000	0,000	0,188
61	0,978	0,894	-3,864	0,000	0,000	0,143
62	0,274	1,171	-0,216	0,000	0,000	0,187
63	0,624	9,375	-0,362	0,000	0,000	0,222
64	0,622	0,974	-3,864	0,000	0,000	-0,132
65	0,162	1,231	-0,216	0,000	0,000	-0,180
66	1,455	0,470	-0,247	0,000	0,000	0,085
67	0,359	-0,814	-0,157	0,000	0,000	-0,134
68	0,251	0,691	-0,255	0,000	0,000	0,118
69	1,069	0,976	-0,275	0,000	0,000	-0,134
70	0,544	1,241	-0,166	0,000	0,000	-0,171
71	0,070	-0,823	-0,237	0,000	0,000	0,111
72	-0,139	2,642	-0,137	0,000	0,000	0,012

**EQUILIBRI NODALI COMBINAZIONE 18**

Nodo 3D	Fx (t)	Fy (t)	Fz (t)	Mx (t*m)	My (t*m)	Mz (t*m)
73	0,133	2,683	-0,142	0,000	0,000	0,038
74	-0,079	0,707	-0,185	0,000	0,000	-0,092
76	0,535	1,777	0,000	0,000	0,000	-0,010
77	0,347	3,086	-0,142	0,000	0,000	0,092
78	0,158	1,144	-0,059	0,000	0,000	0,298
79	1,706	0,445	-0,176	0,000	0,000	0,078
80	0,929	1,127	-0,166	0,000	0,000	0,229
81	0,287	0,885	-0,111	0,000	0,000	0,265
82	1,309	1,081	-0,206	0,000	0,000	-0,169
83	0,767	1,457	-0,157	0,000	0,000	-0,301
84	-0,147	0,937	-0,192	0,000	0,000	-0,204
85	0,861	7,163	-3,939	0,000	0,000	0,321
86	1,072	1,200	-2,184	0,000	0,000	0,329
87	0,408	0,252	-0,216	0,000	0,000	0,076
88	0,845	7,670	-3,939	0,000	0,000	0,318
89	0,417	1,355	-3,864	0,000	0,000	-0,309
90	-0,050	0,240	-0,216	0,000	0,000	-0,027
91	1,787	1,281	-0,247	0,000	0,000	0,262
92	1,010	1,776	-0,157	0,000	0,000	0,416
93	0,398	1,156	-0,255	0,000	0,000	0,298
94	1,473	0,510	-0,275	0,000	0,000	-0,041
95	0,731	1,521	-0,166	0,000	0,000	-0,248
96	-0,051	1,282	-0,237	0,000	0,000	-0,282
97	0,679	2,885	-0,137	0,000	0,000	-0,108
98	0,139	4,768	-0,142	0,000	0,000	0,098
99	0,067	1,759	-0,185	0,000	0,000	-0,358
101	-0,220	1,477	-0,008	0,000	0,000	0,042
102	0,066	2,832	-0,137	0,000	0,000	0,038
103	0,212	2,404	-0,073	0,000	0,000	0,258
104	0,606	-0,016	-0,128	0,000	0,000	0,020
105	0,931	1,079	-0,120	0,000	0,000	0,124
106	0,614	2,493	-0,128	0,000	0,000	0,266
107	0,963	0,893	-0,129	0,000	0,000	-0,072
108	-0,075	2,435	-0,114	0,000	0,000	-0,226
109	-0,280	2,022	-0,121	0,000	0,000	-0,184
110	0,642	-0,292	-0,473	0,000	0,000	0,387
111	0,784	2,873	-0,108	0,000	0,000	0,308
112	0,855	0,393	-0,115	0,000	0,000	0,063
113	1,019	0,151	-0,473	0,000	0,000	0,380
114	0,339	2,905	-0,108	0,000	0,000	-0,273
115	-0,197	0,402	-0,115	0,000	0,000	-0,026
116	1,033	1,076	-0,129	0,000	0,000	0,132
117	1,315	2,706	-0,114	0,000	0,000	0,294
118	0,585	2,177	-0,121	0,000	0,000	0,242
119	0,981	0,020	-0,128	0,000	0,000	0,043
120	0,094	1,393	-0,120	0,000	0,000	-0,117
121	-0,014	2,775	-0,128	0,000	0,000	-0,256
122	1,206	2,078	-0,103	0,000	0,000	-0,091
123	0,392	3,820	-0,137	0,000	0,000	0,057
124	0,234	2,900	-0,073	0,000	0,000	-0,266

**EQUILIBRI NODALI COMBINAZIONE 19**

Nodo 3D	Fx (t)	Fy (t)	Fz (t)	Mx (t*m)	My (t*m)	Mz (t*m)
1	-0,725	-3,556	15,411	11,193	-1,009	0,044
2	0,168	-2,622	-0,168	0,000	0,000	-0,098
3	-0,560	-5,429	38,611	2,776	-0,697	-0,148
4	-0,152	-2,195	-0,163	0,000	0,000	-0,009
5	-1,533	-3,018	35,180	3,363	-8,850	-0,623
6	0,139	-0,690	-0,059	0,000	0,000	0,174
7	-3,874	-1,203	30,538	2,273	-9,725	-0,260
8	0,138	0,583	-0,108	0,000	0,000	0,125
9	-3,045	-3,239	38,907	3,588	-11,003	-0,667
10	1,453	1,122	0,000	0,000	0,000	0,273
11	-1,547	-2,590	40,703	3,165	-10,173	-0,538
12	1,286	-0,828	-0,112	0,000	0,000	0,135
13	-2,080	-1,074	32,663	2,258	2,525	0,195
14	0,852	-1,059	-0,159	0,000	0,000	-0,023
15	0,010	-3,285	45,044	3,688	7,019	0,638
16	-0,893	-0,796	0,000	0,000	0,000	-0,171
17	0,642	-2,790	43,459	3,366	8,212	0,539
18	-0,306	-0,519	-0,194	0,000	0,000	-0,190
19	-1,517	-14,562	23,052	19,233	-1,716	-0,506
20	0,028	5,488	-0,229	0,000	0,000	-0,258
21	-3,934	-5,022	63,816	4,903	-16,582	-1,025
22	1,664	0,905	-3,710	0,000	0,000	0,348
23	-2,070	-3,021	40,070	3,609	-10,570	-0,621
24	1,498	1,606	-0,194	0,000	0,000	0,369
25	-1,468	-15,432	20,897	21,410	-1,688	-0,492
26	-0,666	5,573	-0,229	0,000	0,000	-0,268
27	-1,372	-5,205	68,909	5,093	11,283	1,012
28	0,160	0,809	-3,010	0,000	0,000	-0,384
29	0,668	-3,128	39,850	3,750	7,544	0,607
30	-0,448	1,634	-0,194	0,000	0,000	-0,420
31	-4,136	-1,453	34,994	2,790	-10,922	-0,317
32	0,353	-1,082	-0,256	0,000	0,000	0,059
33	-3,234	-3,850	45,993	4,340	-12,807	-0,796
34	-0,034	-0,811	0,000	0,000	0,000	0,215
35	-1,990	-3,169	50,136	3,898	-12,254	-0,661
36	1,407	-0,538	-0,278	0,000	0,000	0,226
37	-2,297	-1,910	37,640	3,183	3,311	0,355
38	0,878	0,943	-0,254	0,000	0,000	-0,253
39	-0,538	-4,182	38,294	4,650	5,690	0,810
40	-0,442	1,330	0,000	0,000	0,000	-0,384
41	0,517	-3,192	51,214	4,007	9,711	0,612
42	-0,380	-0,943	-0,279	0,000	0,000	-0,191
43	-1,596	-6,060	23,961	20,799	-1,580	0,282
44	-0,418	3,634	-0,222	0,000	0,000	-0,123
45	-0,508	-8,442	43,891	7,217	-0,621	-0,118
46	-0,104	2,862	-0,163	0,000	0,000	-0,015
47	0,276	-4,047	48,673	4,671	8,992	0,782
48	-1,296	-0,855	-0,227	0,000	0,000	-0,268
51	0,493	1,610	0,000	0,000	0,000	-0,057
52	0,192	-1,659	-0,142	0,000	0,000	0,064
53	0,363	-0,668	-0,059	0,000	0,000	-0,103
54	1,274	0,605	-0,176	0,000	0,000	0,096
55	0,786	0,931	-0,166	0,000	0,000	0,144
56	0,355	-0,664	-0,111	0,000	0,000	-0,103

## EQUILIBRI NODALI COMBINAZIONE 19

Nodo 3D	Fx (t)	Fy (t)	Fz (t)	Mx (t*m)	My (t*m)	Mz (t*m)
57	1,015	0,385	-0,206	0,000	0,000	0,096
58	0,588	-0,707	-0,157	0,000	0,000	0,103
59	0,289	-0,483	-0,192	0,000	0,000	0,069
60	0,495	8,971	-0,229	0,000	0,000	0,181
61	0,974	0,902	-3,864	0,000	0,000	0,143
62	0,297	1,178	-0,216	0,000	0,000	0,186
63	0,608	9,309	-0,362	0,000	0,000	0,215
64	0,618	0,966	-3,864	0,000	0,000	-0,132
65	0,185	1,224	-0,216	0,000	0,000	-0,181
66	1,424	0,461	-0,247	0,000	0,000	0,082
67	0,358	-0,823	-0,157	0,000	0,000	-0,137
68	0,273	0,682	-0,255	0,000	0,000	0,115
69	1,036	0,939	-0,275	0,000	0,000	-0,130
70	0,542	1,214	-0,166	0,000	0,000	-0,169
71	0,094	-0,835	-0,237	0,000	0,000	0,112
72	-0,148	2,558	-0,137	0,000	0,000	0,013
73	0,131	2,612	-0,142	0,000	0,000	0,037
74	-0,049	0,687	-0,185	0,000	0,000	-0,090
76	0,508	1,853	0,000	0,000	0,000	-0,010
77	0,346	3,226	-0,142	0,000	0,000	0,088
78	0,196	1,192	-0,059	0,000	0,000	0,304
79	1,627	0,447	-0,176	0,000	0,000	0,074
80	0,925	1,158	-0,166	0,000	0,000	0,231
81	0,352	0,916	-0,111	0,000	0,000	0,267
82	1,234	1,098	-0,206	0,000	0,000	-0,177
83	0,762	1,485	-0,157	0,000	0,000	-0,311
84	-0,085	0,955	-0,192	0,000	0,000	-0,212
85	0,826	7,190	-3,939	0,000	0,000	0,305
86	1,068	1,207	-2,184	0,000	0,000	0,326
87	0,471	0,253	-0,216	0,000	0,000	0,072
88	0,810	7,643	-3,939	0,000	0,000	0,302
89	0,413	1,348	-3,864	0,000	0,000	-0,312
90	0,014	0,240	-0,216	0,000	0,000	-0,032
91	1,712	1,264	-0,247	0,000	0,000	0,254
92	1,005	1,748	-0,157	0,000	0,000	0,405
93	0,461	1,138	-0,255	0,000	0,000	0,290
94	1,395	0,507	-0,275	0,000	0,000	-0,045
95	0,727	1,490	-0,166	0,000	0,000	-0,246
96	0,014	1,250	-0,237	0,000	0,000	-0,280
97	0,652	2,809	-0,137	0,000	0,000	-0,107
98	0,137	4,629	-0,142	0,000	0,000	0,093
99	0,104	1,710	-0,185	0,000	0,000	-0,352
101	-0,253	1,533	-0,008	0,000	0,000	0,041
102	0,071	2,946	-0,137	0,000	0,000	0,034
103	0,242	2,463	-0,073	0,000	0,000	0,260
104	0,548	-0,013	-0,128	0,000	0,000	0,016
105	0,934	1,118	-0,120	0,000	0,000	0,123
106	0,668	2,529	-0,128	0,000	0,000	0,265
107	0,910	0,912	-0,129	0,000	0,000	-0,078
108	-0,076	2,466	-0,114	0,000	0,000	-0,233
109	-0,224	2,042	-0,121	0,000	0,000	-0,191
110	0,582	-0,275	-0,473	0,000	0,000	0,360

**EQUILIBRI NODALI COMBINAZIONE 19**

Nodo 3D	Fx (t)	Fy (t)	Fz (t)	Mx (t*m)	My (t*m)	Mz (t*m)
111	0,786	2,882	-0,108	0,000	0,000	0,304
112	0,910	0,394	-0,115	0,000	0,000	0,059
113	0,959	0,135	-0,473	0,000	0,000	0,353
114	0,341	2,896	-0,108	0,000	0,000	-0,277
115	-0,142	0,402	-0,115	0,000	0,000	-0,030
116	0,979	1,057	-0,129	0,000	0,000	0,125
117	1,313	2,675	-0,114	0,000	0,000	0,287
118	0,640	2,157	-0,121	0,000	0,000	0,235
119	0,923	0,018	-0,128	0,000	0,000	0,039
120	0,097	1,354	-0,120	0,000	0,000	-0,118
121	0,040	2,739	-0,128	0,000	0,000	-0,256
122	1,174	2,022	-0,103	0,000	0,000	-0,092
123	0,396	3,706	-0,137	0,000	0,000	0,053
124	0,265	2,841	-0,073	0,000	0,000	-0,264

**EQUILIBRI NODALI COMBINAZIONE 20**

Nodo 3D	Fx (t)	Fy (t)	Fz (t)	Mx (t*m)	My (t*m)	Mz (t*m)
1	-0,242	-5,368	14,755	15,098	-0,456	-0,015
2	0,177	-2,363	-0,168	0,000	0,000	-0,040
3	-0,558	-8,062	38,224	7,340	-0,673	-0,109
4	-0,167	-1,904	-0,163	0,000	0,000	0,025
5	-2,334	-3,903	36,261	4,482	-10,605	-0,762
6	0,231	-0,729	-0,059	0,000	0,000	0,248
7	-2,453	-1,786	29,675	3,038	-7,400	-0,339
8	-0,067	0,867	-0,108	0,000	0,000	0,233
9	-2,992	-4,044	37,929	4,496	-10,709	-0,790
10	1,425	1,232	0,000	0,000	0,000	0,365
11	-2,681	-3,118	42,915	3,895	-12,336	-0,605
12	1,388	-0,880	-0,112	0,000	0,000	0,189
13	-0,777	-1,397	31,850	2,716	4,451	0,298
14	0,695	-1,062	-0,159	0,000	0,000	-0,004
15	0,094	-3,779	44,850	4,256	7,096	0,774
16	-0,924	-0,796	0,000	0,000	0,000	-0,161
17	-0,437	-3,129	44,088	3,834	6,646	0,644
18	-0,232	-0,524	-0,194	0,000	0,000	-0,171
19	-0,820	-15,390	21,749	20,938	-0,923	-0,245
20	0,138	5,532	-0,229	0,000	0,000	-0,153
21	-3,846	-5,237	64,386	5,111	-16,578	-1,030
22	1,616	0,946	-3,710	0,000	0,000	0,400
23	-3,187	-3,122	40,636	3,744	-12,395	-0,603
24	1,593	1,651	-0,194	0,000	0,000	0,416
25	-0,771	-14,604	22,200	19,705	-0,895	-0,231
26	-0,556	5,530	-0,229	0,000	0,000	-0,163
27	-1,283	-4,990	68,339	4,884	11,287	1,007
28	0,113	0,768	-3,010	0,000	0,000	-0,332
29	-0,449	-3,027	39,284	3,615	5,719	0,625
30	-0,352	1,589	-0,194	0,000	0,000	-0,373
31	-2,833	-1,130	35,808	2,332	-8,997	-0,215
32	0,196	-1,078	-0,256	0,000	0,000	0,079
33	-3,150	-3,356	46,187	3,772	-12,731	-0,660
34	-0,065	-0,812	0,000	0,000	0,000	0,225

## EQUILIBRI NODALI COMBINAZIONE 20

Nodo 3D	Fx (t)	Fy (t)	Fz (t)	Mx (t*m)	My (t*m)	Mz (t*m)
35	-3,070	-2,831	49,508	3,430	-13,820	-0,555
36	1,480	-0,533	-0,278	0,000	0,000	0,245
37	-0,876	-1,327	38,503	2,418	5,636	0,277
38	0,673	0,659	-0,254	0,000	0,000	-0,146
39	-0,484	-3,378	39,272	3,742	5,984	0,687
40	-0,470	1,221	0,000	0,000	0,000	-0,292
41	-0,616	-2,664	49,002	3,278	7,547	0,544
42	-0,277	-0,891	-0,279	0,000	0,000	-0,137
43	-1,114	-4,248	24,616	16,894	-1,027	0,224
44	-0,409	3,375	-0,222	0,000	0,000	-0,065
45	-0,506	-5,809	44,278	2,653	-0,597	-0,080
46	-0,119	2,571	-0,163	0,000	0,000	0,018
47	-0,525	-3,162	47,592	3,552	7,237	0,643
48	-1,204	-0,817	-0,227	0,000	0,000	-0,194
51	0,427	2,212	0,000	0,000	0,000	-0,055
52	0,181	-1,146	-0,142	0,000	0,000	0,054
53	0,579	-0,524	-0,059	0,000	0,000	-0,090
54	1,039	0,873	-0,176	0,000	0,000	0,128
55	0,771	1,122	-0,166	0,000	0,000	0,164
56	0,525	-0,572	-0,111	0,000	0,000	-0,098
57	0,793	0,449	-0,206	0,000	0,000	0,078
58	0,579	-0,640	-0,157	0,000	0,000	0,084
59	0,445	-0,419	-0,192	0,000	0,000	0,050
60	0,375	9,443	-0,229	0,000	0,000	0,130
61	0,947	0,957	-3,864	0,000	0,000	0,143
62	0,462	1,228	-0,216	0,000	0,000	0,185
63	0,488	8,837	-0,362	0,000	0,000	0,164
64	0,591	0,911	-3,864	0,000	0,000	-0,133
65	0,350	1,174	-0,216	0,000	0,000	-0,182
66	1,202	0,397	-0,247	0,000	0,000	0,064
67	0,350	-0,890	-0,157	0,000	0,000	-0,155
68	0,428	0,618	-0,255	0,000	0,000	0,097
69	0,801	0,671	-0,275	0,000	0,000	-0,098
70	0,526	1,024	-0,166	0,000	0,000	-0,149
71	0,264	-0,927	-0,237	0,000	0,000	0,117
72	-0,215	1,956	-0,137	0,000	0,000	0,014
73	0,120	2,098	-0,142	0,000	0,000	0,027
74	0,166	0,543	-0,185	0,000	0,000	-0,077
76	0,317	2,400	0,000	0,000	0,000	-0,003
77	0,337	4,232	-0,142	0,000	0,000	0,055
78	0,468	1,545	-0,059	0,000	0,000	0,345
79	1,063	0,463	-0,176	0,000	0,000	0,044
80	0,894	1,384	-0,166	0,000	0,000	0,246
81	0,821	1,144	-0,111	0,000	0,000	0,280
82	0,694	1,220	-0,206	0,000	0,000	-0,236
83	0,730	1,685	-0,157	0,000	0,000	-0,386
84	0,366	1,086	-0,192	0,000	0,000	-0,273
85	0,570	7,382	-3,939	0,000	0,000	0,188
86	1,039	1,259	-2,184	0,000	0,000	0,304
87	0,931	0,255	-0,216	0,000	0,000	0,039
88	0,553	7,451	-3,939	0,000	0,000	0,185
89	0,383	1,296	-3,864	0,000	0,000	-0,334

**EQUILIBRI NODALI COMBINAZIONE 20**

Nodo 3D	Fx (t)	Fy (t)	Fz (t)	Mx (t*m)	My (t*m)	Mz (t*m)
90	0,473	0,238	-0,216	0,000	0,000	-0,065
91	1,173	1,142	-0,247	0,000	0,000	0,195
92	0,973	1,549	-0,157	0,000	0,000	0,330
93	0,911	1,007	-0,255	0,000	0,000	0,229
94	0,831	0,491	-0,275	0,000	0,000	-0,075
95	0,697	1,265	-0,166	0,000	0,000	-0,231
96	0,483	1,023	-0,237	0,000	0,000	-0,266
97	0,461	2,261	-0,137	0,000	0,000	-0,100
98	0,128	3,623	-0,142	0,000	0,000	0,060
99	0,377	1,358	-0,185	0,000	0,000	-0,311
101	-0,487	1,936	-0,008	0,000	0,000	0,033
102	0,104	3,768	-0,137	0,000	0,000	0,006
103	0,463	2,890	-0,073	0,000	0,000	0,271
104	0,132	0,001	-0,128	0,000	0,000	-0,014
105	0,955	1,398	-0,120	0,000	0,000	0,120
106	1,061	2,789	-0,128	0,000	0,000	0,260
107	0,526	1,053	-0,129	0,000	0,000	-0,123
108	-0,089	2,694	-0,114	0,000	0,000	-0,287
109	0,176	2,191	-0,121	0,000	0,000	-0,237
110	0,150	-0,155	-0,473	0,000	0,000	0,161
111	0,801	2,949	-0,108	0,000	0,000	0,280
112	1,307	0,399	-0,115	0,000	0,000	0,028
113	0,527	0,015	-0,473	0,000	0,000	0,154
114	0,356	2,829	-0,108	0,000	0,000	-0,301
115	0,255	0,397	-0,115	0,000	0,000	-0,061
116	0,596	0,916	-0,129	0,000	0,000	0,080
117	1,300	2,448	-0,114	0,000	0,000	0,233
118	1,040	2,008	-0,121	0,000	0,000	0,189
119	0,507	0,003	-0,128	0,000	0,000	0,009
120	0,117	1,074	-0,120	0,000	0,000	-0,121
121	0,433	2,479	-0,128	0,000	0,000	-0,262
122	0,940	1,619	-0,103	0,000	0,000	-0,100
123	0,430	2,884	-0,137	0,000	0,000	0,025
124	0,486	2,414	-0,073	0,000	0,000	-0,253

**EQUILIBRI NODALI COMBINAZIONE 21**

Nodo 3D	Fx (t)	Fy (t)	Fz (t)	Mx (t*m)	My (t*m)	Mz (t*m)
1	-0,175	-5,619	14,664	15,640	-0,379	-0,023
2	0,179	-2,327	-0,168	0,000	0,000	-0,032
3	-0,558	-8,427	38,170	7,974	-0,670	-0,104
4	-0,169	-1,863	-0,163	0,000	0,000	0,029
5	-2,445	-4,026	36,411	4,638	-10,848	-0,781
6	0,244	-0,734	-0,059	0,000	0,000	0,258
7	-2,256	-1,867	29,555	3,144	-7,077	-0,350
8	-0,095	0,906	-0,108	0,000	0,000	0,247
9	-2,984	-4,155	37,793	4,622	-10,668	-0,807
10	1,421	1,247	0,000	0,000	0,000	0,378
11	-2,838	-3,191	43,222	3,996	-12,636	-0,615
12	1,402	-0,888	-0,112	0,000	0,000	0,196
13	-0,596	-1,442	31,737	2,780	4,718	0,312
14	0,673	-1,063	-0,159	0,000	0,000	-0,001

## EQUILIBRI NODALI COMBINAZIONE 21

Nodo 3D	Fx (t)	Fy (t)	Fz (t)	Mx (t*m)	My (t*m)	Mz (t*m)
15	0,105	-3,848	44,823	4,335	7,106	0,793
16	-0,928	-0,795	0,000	0,000	0,000	-0,159
17	-0,587	-3,176	44,175	3,899	6,429	0,659
18	-0,222	-0,525	-0,194	0,000	0,000	-0,168
19	-0,723	-15,505	21,568	21,174	-0,813	-0,209
20	0,154	5,538	-0,229	0,000	0,000	-0,138
21	-3,833	-5,267	64,465	5,140	-16,577	-1,030
22	1,609	0,952	-3,710	0,000	0,000	0,407
23	-3,342	-3,136	40,714	3,763	-12,648	-0,601
24	1,607	1,657	-0,194	0,000	0,000	0,423
25	-0,674	-14,489	22,381	19,469	-0,785	-0,195
26	-0,540	5,524	-0,229	0,000	0,000	-0,148
27	-1,271	-4,961	68,260	4,855	11,287	1,006
28	0,106	0,762	-3,010	0,000	0,000	-0,325
29	-0,604	-3,013	39,205	3,596	5,466	0,627
30	-0,339	1,583	-0,194	0,000	0,000	-0,366
31	-2,652	-1,085	35,921	2,269	-8,730	-0,201
32	0,174	-1,077	-0,256	0,000	0,000	0,081
33	-3,139	-3,287	46,214	3,693	-12,720	-0,641
34	-0,069	-0,812	0,000	0,000	0,000	0,227
35	-3,219	-2,784	49,421	3,365	-14,037	-0,540
36	1,491	-0,532	-0,278	0,000	0,000	0,247
37	-0,679	-1,246	38,623	2,312	5,959	0,266
38	0,645	0,620	-0,254	0,000	0,000	-0,131
39	-0,477	-3,266	39,407	3,616	6,025	0,670
40	-0,474	1,206	0,000	0,000	0,000	-0,280
41	-0,774	-2,591	48,695	3,177	7,247	0,535
42	-0,263	-0,884	-0,279	0,000	0,000	-0,130
43	-1,047	-3,997	24,707	16,352	-0,950	0,215
44	-0,407	3,339	-0,222	0,000	0,000	-0,057
45	-0,506	-5,444	44,332	2,019	-0,594	-0,074
46	-0,121	2,530	-0,163	0,000	0,000	0,022
47	-0,636	-3,039	47,442	3,396	6,994	0,624
48	-1,191	-0,812	-0,227	0,000	0,000	-0,184
51	0,417	2,296	0,000	0,000	0,000	-0,055
52	0,179	-1,074	-0,142	0,000	0,000	0,052
53	0,609	-0,504	-0,059	0,000	0,000	-0,089
54	1,006	0,910	-0,176	0,000	0,000	0,132
55	0,769	1,148	-0,166	0,000	0,000	0,167
56	0,548	-0,559	-0,111	0,000	0,000	-0,097
57	0,762	0,458	-0,206	0,000	0,000	0,075
58	0,578	-0,631	-0,157	0,000	0,000	0,082
59	0,466	-0,410	-0,192	0,000	0,000	0,048
60	0,358	9,509	-0,229	0,000	0,000	0,123
61	0,944	0,964	-3,864	0,000	0,000	0,143
62	0,485	1,235	-0,216	0,000	0,000	0,185
63	0,471	8,771	-0,362	0,000	0,000	0,157
64	0,588	0,904	-3,864	0,000	0,000	-0,133
65	0,373	1,167	-0,216	0,000	0,000	-0,182
66	1,171	0,388	-0,247	0,000	0,000	0,061
67	0,348	-0,899	-0,157	0,000	0,000	-0,158
68	0,450	0,609	-0,255	0,000	0,000	0,094

## EQUILIBRI NODALI COMBINAZIONE 21

Nodo 3D	Fx (t)	Fy (t)	Fz (t)	Mx (t*m)	My (t*m)	Mz (t*m)
69	0,768	0,634	-0,275	0,000	0,000	-0,094
70	0,524	0,997	-0,166	0,000	0,000	-0,146
71	0,287	-0,940	-0,237	0,000	0,000	0,118
72	-0,224	1,872	-0,137	0,000	0,000	0,014
73	0,118	2,027	-0,142	0,000	0,000	0,025
74	0,196	0,523	-0,185	0,000	0,000	-0,076
76	0,290	2,476	0,000	0,000	0,000	-0,002
77	0,336	4,371	-0,142	0,000	0,000	0,050
78	0,506	1,593	-0,059	0,000	0,000	0,350
79	0,985	0,466	-0,176	0,000	0,000	0,040
80	0,890	1,415	-0,166	0,000	0,000	0,248
81	0,886	1,175	-0,111	0,000	0,000	0,282
82	0,619	1,237	-0,206	0,000	0,000	-0,244
83	0,726	1,713	-0,157	0,000	0,000	-0,397
84	0,428	1,105	-0,192	0,000	0,000	-0,281
85	0,534	7,408	-3,939	0,000	0,000	0,172
86	1,034	1,266	-2,184	0,000	0,000	0,301
87	0,994	0,255	-0,216	0,000	0,000	0,034
88	0,518	7,425	-3,939	0,000	0,000	0,169
89	0,379	1,289	-3,864	0,000	0,000	-0,337
90	0,537	0,237	-0,216	0,000	0,000	-0,069
91	1,098	1,125	-0,247	0,000	0,000	0,187
92	0,969	1,521	-0,157	0,000	0,000	0,320
93	0,974	0,989	-0,255	0,000	0,000	0,221
94	0,753	0,489	-0,275	0,000	0,000	-0,079
95	0,693	1,233	-0,166	0,000	0,000	-0,229
96	0,548	0,991	-0,237	0,000	0,000	-0,264
97	0,435	2,185	-0,137	0,000	0,000	-0,099
98	0,127	3,484	-0,142	0,000	0,000	0,056
99	0,415	1,309	-0,185	0,000	0,000	-0,305
101	-0,519	1,991	-0,008	0,000	0,000	0,032
102	0,108	3,882	-0,137	0,000	0,000	0,003
103	0,494	2,949	-0,073	0,000	0,000	0,273
104	0,074	0,003	-0,128	0,000	0,000	-0,018
105	0,958	1,436	-0,120	0,000	0,000	0,120
106	1,115	2,825	-0,128	0,000	0,000	0,259
107	0,473	1,072	-0,129	0,000	0,000	-0,129
108	-0,091	2,725	-0,114	0,000	0,000	-0,295
109	0,231	2,211	-0,121	0,000	0,000	-0,243
110	0,091	-0,139	-0,473	0,000	0,000	0,134
111	0,803	2,958	-0,108	0,000	0,000	0,277
112	1,362	0,399	-0,115	0,000	0,000	0,024
113	0,467	-0,002	-0,473	0,000	0,000	0,127
114	0,359	2,820	-0,108	0,000	0,000	-0,305
115	0,310	0,397	-0,115	0,000	0,000	-0,065
116	0,542	0,896	-0,129	0,000	0,000	0,074
117	1,298	2,416	-0,114	0,000	0,000	0,226
118	1,096	1,988	-0,121	0,000	0,000	0,183
119	0,449	0,001	-0,128	0,000	0,000	0,005
120	0,120	1,036	-0,120	0,000	0,000	-0,121
121	0,487	2,443	-0,128	0,000	0,000	-0,262
122	0,907	1,563	-0,103	0,000	0,000	-0,101

**EQUILIBRI NODALI COMBINAZIONE 21**

Nodo 3D	Fx (t)	Fy (t)	Fz (t)	Mx (t*m)	My (t*m)	Mz (t*m)
123	0,434	2,769	-0,137	0,000	0,000	0,021
124	0,517	2,355	-0,073	0,000	0,000	-0,251

**EQUILIBRI NODALI COMBINAZIONE 22**

Nodo 3D	Fx (t)	Fy (t)	Fz (t)	Mx (t*m)	My (t*m)	Mz (t*m)
1	0,245	3,402	34,231	-2,067	0,146	0,056
2	-0,299	1,521	-0,168	0,000	0,000	0,043
3	-0,229	5,415	41,151	-16,735	-0,393	-0,004
4	0,000	2,350	-0,163	0,000	0,000	0,085
5	-1,703	0,662	13,578	-1,429	-6,388	0,172
6	-0,429	0,633	-0,059	0,000	0,000	0,001
7	-0,714	2,704	37,804	-2,916	-9,549	0,581
8	1,762	-1,461	-0,108	0,000	0,000	-0,320
9	-2,453	2,132	47,895	-2,548	-12,625	0,467
10	0,858	-0,051	0,000	0,000	0,000	-0,053
11	-3,449	0,885	25,960	-1,741	-9,420	0,217
12	0,715	0,558	-0,112	0,000	0,000	-0,039
13	1,294	2,625	41,312	-3,011	8,785	-0,485
14	-1,165	0,234	-0,159	0,000	0,000	0,249
15	-0,399	2,487	45,516	-2,924	7,716	-0,457
16	-1,491	0,702	0,000	0,000	0,000	0,174
17	-1,805	1,089	28,998	-2,021	2,142	-0,178
18	0,494	0,793	-0,194	0,000	0,000	0,088
19	-0,015	15,156	62,093	-42,756	0,018	0,050
20	-0,556	-4,249	-0,229	0,000	0,000	0,100
21	-2,789	4,659	33,278	-4,517	-9,719	0,972
22	0,834	-1,185	-3,710	0,000	0,000	-0,360
23	-4,022	1,267	35,768	-2,327	-11,492	0,300
24	0,926	-0,578	-0,194	0,000	0,000	-0,115
25	0,307	17,104	64,304	-46,302	0,229	0,147
26	0,212	-4,693	-0,229	0,000	0,000	0,132
27	-2,005	5,192	36,356	-5,023	4,730	-1,000
28	0,798	-1,439	-3,010	0,000	0,000	0,496
29	-1,771	1,500	33,717	-2,639	3,013	-0,255
30	0,348	-0,710	-0,194	0,000	0,000	0,218
31	-0,868	3,379	46,358	-4,068	-11,134	0,723
32	2,045	0,450	-0,256	0,000	0,000	-0,228
33	-2,501	3,635	47,065	-4,237	-12,116	0,774
34	0,504	0,930	0,000	0,000	0,000	-0,162
35	-3,823	1,896	33,568	-3,112	-11,200	0,427
36	0,791	1,017	-0,278	0,000	0,000	-0,068
37	1,741	4,042	47,788	-4,672	10,397	-0,761
38	-1,227	-2,209	-0,254	0,000	0,000	0,565
39	-0,036	3,998	50,485	-4,645	8,519	-0,752
40	0,082	-0,573	0,000	0,000	0,000	0,270
41	-2,086	2,155	29,172	-3,451	1,979	-0,383
42	0,434	0,985	-0,279	0,000	0,000	0,170
43	-0,232	7,660	44,591	-6,338	-0,154	0,087
44	0,094	-3,114	-0,222	0,000	0,000	0,029
45	-0,773	11,859	47,444	-28,216	-0,788	-0,133
46	-0,275	-4,467	-0,163	0,000	0,000	0,083

## EQUILIBRI NODALI COMBINAZIONE 22

Nodo 3D	Fx (t)	Fy (t)	Fz (t)	Mx (t*m)	My (t*m)	Mz (t*m)
47	-1,975	2,763	23,139	-4,044	0,756	-0,505
48	-0,478	1,230	-0,227	0,000	0,000	0,198
51	0,071	-0,878	0,000	0,000	0,000	-0,030
52	0,304	2,313	-0,142	0,000	0,000	0,008
53	0,999	0,603	-0,059	0,000	0,000	0,084
54	-0,091	-0,978	-0,176	0,000	0,000	-0,160
55	0,446	-0,194	-0,166	0,000	0,000	-0,043
56	0,997	0,522	-0,111	0,000	0,000	0,072
57	-0,355	-0,602	-0,206	0,000	0,000	-0,073
58	0,177	0,732	-0,157	0,000	0,000	-0,116
59	0,981	0,659	-0,192	0,000	0,000	-0,105
60	-0,169	-7,934	-0,229	0,000	0,000	-0,085
61	0,482	-1,118	-3,864	0,000	0,000	-0,182
62	0,932	-0,603	-0,216	0,000	0,000	-0,103
63	-0,072	-9,316	-0,362	0,000	0,000	-0,056
64	0,970	-1,259	-3,864	0,000	0,000	0,179
65	0,835	-0,731	-0,216	0,000	0,000	0,092
66	0,070	-0,845	-0,247	0,000	0,000	-0,150
67	0,733	0,674	-0,157	0,000	0,000	0,104
68	0,867	-0,651	-0,255	0,000	0,000	-0,121
69	-0,359	-1,647	-0,275	0,000	0,000	0,229
70	0,213	-0,751	-0,166	0,000	0,000	0,090
71	0,757	0,481	-0,237	0,000	0,000	-0,069
72	0,133	-2,967	-0,137	0,000	0,000	-0,012
73	-0,009	-3,165	-0,142	0,000	0,000	-0,021
74	0,651	-1,084	-0,185	0,000	0,000	0,140
76	-0,094	-2,024	0,000	0,000	0,000	-0,031
77	0,195	-3,021	-0,142	0,000	0,000	-0,023
78	0,877	-0,900	-0,059	0,000	0,000	-0,178
79	-0,158	-0,197	-0,176	0,000	0,000	-0,083
80	0,585	-0,949	-0,166	0,000	0,000	-0,256
81	1,382	-1,182	-0,111	0,000	0,000	-0,212
82	-0,460	-0,870	-0,206	0,000	0,000	0,165
83	0,413	-1,503	-0,157	0,000	0,000	0,255
84	1,070	-1,117	-0,192	0,000	0,000	0,151
85	-0,089	-4,779	-3,939	0,000	0,000	-0,085
86	0,623	-1,846	-2,184	0,000	0,000	-0,366
87	1,556	-0,469	-0,216	0,000	0,000	-0,105
88	-0,306	-5,184	-3,939	0,000	0,000	-0,152
89	0,719	-1,907	-3,864	0,000	0,000	0,299
90	1,112	-0,507	-0,216	0,000	0,000	0,028
91	-0,245	-1,227	-0,247	0,000	0,000	-0,313
92	0,641	-2,035	-0,157	0,000	0,000	-0,439
93	1,468	-1,489	-0,255	0,000	0,000	-0,304
94	-0,538	-0,381	-0,275	0,000	0,000	0,019
95	0,375	-1,600	-0,166	0,000	0,000	0,294
96	1,231	-1,829	-0,237	0,000	0,000	0,248
97	-0,032	-3,761	-0,137	0,000	0,000	-0,060
98	0,241	-5,864	-0,142	0,000	0,000	0,010
99	0,989	-1,896	-0,185	0,000	0,000	0,280
101	-0,145	-1,443	-0,008	0,000	0,000	-0,007
102	-0,190	-2,725	-0,137	0,000	0,000	-0,051

**EQUILIBRI NODALI COMBINAZIONE 22**

Nodo 3D	Fx (t)	Fy (t)	Fz (t)	Mx (t*m)	My (t*m)	Mz (t*m)
103	0,213	-0,329	-0,073	0,000	0,000	-0,064
104	0,702	-0,331	-0,128	0,000	0,000	-0,070
105	0,798	-1,781	-0,120	0,000	0,000	-0,211
106	0,782	-0,178	-0,128	0,000	0,000	-0,051
107	-0,013	-1,690	-0,129	0,000	0,000	0,138
108	0,416	-1,620	-0,114	0,000	0,000	0,131
109	0,484	-0,672	-0,121	0,000	0,000	0,036
110	0,562	-5,080	-0,473	0,000	0,000	-0,023
111	1,032	-1,271	-0,108	0,000	0,000	-0,162
112	1,033	0,054	-0,115	0,000	0,000	-0,032
113	-0,235	-5,077	-0,473	0,000	0,000	-0,142
114	0,097	-1,450	-0,108	0,000	0,000	0,112
115	0,732	0,045	-0,115	0,000	0,000	-0,032
116	-0,105	-1,983	-0,129	0,000	0,000	-0,236
117	0,721	-2,120	-0,114	0,000	0,000	-0,249
118	1,448	-1,020	-0,121	0,000	0,000	-0,139
119	-0,338	-0,397	-0,128	0,000	0,000	-0,020
120	0,265	-2,431	-0,120	0,000	0,000	0,206
121	0,920	-0,792	-0,128	0,000	0,000	0,043
122	0,344	-2,322	-0,103	0,000	0,000	-0,066
123	0,741	-4,609	-0,137	0,000	0,000	0,056
124	0,881	-1,313	-0,073	0,000	0,000	0,094

**EQUILIBRI NODALI COMBINAZIONE 23**

Nodo 3D	Fx (t)	Fy (t)	Fz (t)	Mx (t*m)	My (t*m)	Mz (t*m)
1	0,312	3,151	34,140	-1,525	0,222	0,048
2	-0,298	1,557	-0,168	0,000	0,000	0,051
3	-0,229	5,050	41,098	-16,102	-0,390	0,001
4	-0,002	2,391	-0,163	0,000	0,000	0,090
5	-1,814	0,539	13,728	-1,274	-6,631	0,153
6	-0,417	0,628	-0,059	0,000	0,000	0,011
7	-0,517	2,623	37,684	-2,810	-9,227	0,570
8	1,734	-1,421	-0,108	0,000	0,000	-0,305
9	-2,446	2,021	47,760	-2,422	-12,584	0,450
10	0,854	-0,035	0,000	0,000	0,000	-0,041
11	-3,606	0,812	26,267	-1,640	-9,720	0,207
12	0,729	0,551	-0,112	0,000	0,000	-0,032
13	1,475	2,581	41,199	-2,948	9,052	-0,471
14	-1,187	0,234	-0,159	0,000	0,000	0,252
15	-0,388	2,418	45,489	-2,845	7,727	-0,438
16	-1,496	0,702	0,000	0,000	0,000	0,175
17	-1,955	1,042	29,085	-1,956	1,925	-0,163
18	0,504	0,793	-0,194	0,000	0,000	0,091
19	0,082	15,041	61,912	-42,520	0,128	0,086
20	-0,540	-4,243	-0,229	0,000	0,000	0,114
21	-2,777	4,629	33,357	-4,488	-9,718	0,971
22	0,827	-1,179	-3,710	0,000	0,000	-0,353
23	-4,177	1,253	35,847	-2,308	-11,745	0,302
24	0,940	-0,572	-0,194	0,000	0,000	-0,108
25	0,404	17,219	64,485	-46,539	0,339	0,184
26	0,228	-4,699	-0,229	0,000	0,000	0,147

## EQUILIBRI NODALI COMBINAZIONE 23

Nodo 3D	Fx (t)	Fy (t)	Fz (t)	Mx (t*m)	My (t*m)	Mz (t*m)
27	-1,993	5,222	36,277	-5,052	4,731	-1,001
28	0,792	-1,445	-3,010	0,000	0,000	0,503
29	-1,926	1,514	33,638	-2,658	2,760	-0,252
30	0,361	-0,716	-0,194	0,000	0,000	0,225
31	-0,687	3,424	46,471	-4,131	-10,867	0,738
32	2,024	0,450	-0,256	0,000	0,000	-0,226
33	-2,489	3,703	47,092	-4,316	-12,105	0,793
34	0,500	0,930	0,000	0,000	0,000	-0,161
35	-3,973	1,943	33,481	-3,177	-11,417	0,442
36	0,801	1,018	-0,278	0,000	0,000	-0,066
37	1,938	4,123	47,908	-4,778	10,720	-0,772
38	-1,255	-2,248	-0,254	0,000	0,000	0,580
39	-0,028	4,110	50,620	-4,771	8,560	-0,769
40	0,078	-0,588	0,000	0,000	0,000	0,283
41	-2,244	2,228	28,865	-3,552	1,679	-0,393
42	0,449	0,992	-0,279	0,000	0,000	0,177
43	-0,166	7,911	44,682	-6,880	-0,077	0,079
44	0,095	-3,150	-0,222	0,000	0,000	0,037
45	-0,773	12,224	47,498	-28,850	-0,784	-0,127
46	-0,277	-4,507	-0,163	0,000	0,000	0,087
47	-2,086	2,886	22,988	-4,200	0,512	-0,524
48	-0,466	1,235	-0,227	0,000	0,000	0,208
51	0,062	-0,794	0,000	0,000	0,000	-0,030
52	0,302	2,384	-0,142	0,000	0,000	0,007
53	1,029	0,623	-0,059	0,000	0,000	0,086
54	-0,124	-0,941	-0,176	0,000	0,000	-0,155
55	0,443	-0,168	-0,166	0,000	0,000	-0,040
56	1,020	0,535	-0,111	0,000	0,000	0,073
57	-0,386	-0,593	-0,206	0,000	0,000	-0,076
58	0,176	0,741	-0,157	0,000	0,000	-0,119
59	1,003	0,668	-0,192	0,000	0,000	-0,107
60	-0,185	-7,868	-0,229	0,000	0,000	-0,092
61	0,478	-1,110	-3,864	0,000	0,000	-0,182
62	0,955	-0,596	-0,216	0,000	0,000	-0,103
63	-0,089	-9,381	-0,362	0,000	0,000	-0,063
64	0,966	-1,267	-3,864	0,000	0,000	0,179
65	0,858	-0,738	-0,216	0,000	0,000	0,092
66	0,040	-0,854	-0,247	0,000	0,000	-0,152
67	0,732	0,665	-0,157	0,000	0,000	0,101
68	0,888	-0,660	-0,255	0,000	0,000	-0,123
69	-0,391	-1,684	-0,275	0,000	0,000	0,233
70	0,210	-0,777	-0,166	0,000	0,000	0,093
71	0,781	0,468	-0,237	0,000	0,000	-0,068
72	0,123	-3,051	-0,137	0,000	0,000	-0,012
73	-0,011	-3,236	-0,142	0,000	0,000	-0,022
74	0,681	-1,104	-0,185	0,000	0,000	0,141
76	-0,120	-1,948	0,000	0,000	0,000	-0,030
77	0,194	-2,881	-0,142	0,000	0,000	-0,027
78	0,915	-0,851	-0,059	0,000	0,000	-0,172
79	-0,236	-0,195	-0,176	0,000	0,000	-0,087
80	0,580	-0,918	-0,166	0,000	0,000	-0,254
81	1,447	-1,150	-0,111	0,000	0,000	-0,210

**EQUILIBRI NODALI COMBINAZIONE 23**

Nodo 3D	Fx (t)	Fy (t)	Fz (t)	Mx (t*m)	My (t*m)	Mz (t*m)
82	-0,535	-0,853	-0,206	0,000	0,000	0,157
83	0,409	-1,475	-0,157	0,000	0,000	0,245
84	1,133	-1,099	-0,192	0,000	0,000	0,143
85	-0,125	-4,752	-3,939	0,000	0,000	-0,101
86	0,619	-1,839	-2,184	0,000	0,000	-0,369
87	1,620	-0,469	-0,216	0,000	0,000	-0,110
88	-0,342	-5,211	-3,939	0,000	0,000	-0,168
89	0,715	-1,914	-3,864	0,000	0,000	0,296
90	1,176	-0,507	-0,216	0,000	0,000	0,023
91	-0,320	-1,244	-0,247	0,000	0,000	-0,321
92	0,636	-2,062	-0,157	0,000	0,000	-0,449
93	1,530	-1,507	-0,255	0,000	0,000	-0,312
94	-0,617	-0,384	-0,275	0,000	0,000	0,015
95	0,371	-1,631	-0,166	0,000	0,000	0,296
96	1,296	-1,860	-0,237	0,000	0,000	0,250
97	-0,058	-3,837	-0,137	0,000	0,000	-0,059
98	0,239	-6,004	-0,142	0,000	0,000	0,006
99	1,026	-1,945	-0,185	0,000	0,000	0,286
101	-0,178	-1,387	-0,008	0,000	0,000	-0,008
102	-0,185	-2,611	-0,137	0,000	0,000	-0,055
103	0,244	-0,270	-0,073	0,000	0,000	-0,062
104	0,644	-0,329	-0,128	0,000	0,000	-0,074
105	0,801	-1,742	-0,120	0,000	0,000	-0,212
106	0,837	-0,142	-0,128	0,000	0,000	-0,051
107	-0,067	-1,671	-0,129	0,000	0,000	0,132
108	0,414	-1,588	-0,114	0,000	0,000	0,123
109	0,540	-0,651	-0,121	0,000	0,000	0,030
110	0,502	-5,064	-0,473	0,000	0,000	-0,050
111	1,035	-1,261	-0,108	0,000	0,000	-0,166
112	1,088	0,055	-0,115	0,000	0,000	-0,037
113	-0,295	-5,094	-0,473	0,000	0,000	-0,170
114	0,099	-1,460	-0,108	0,000	0,000	0,109
115	0,787	0,045	-0,115	0,000	0,000	-0,036
116	-0,158	-2,002	-0,129	0,000	0,000	-0,242
117	0,719	-2,151	-0,114	0,000	0,000	-0,257
118	1,504	-1,040	-0,121	0,000	0,000	-0,146
119	-0,396	-0,399	-0,128	0,000	0,000	-0,024
120	0,268	-2,470	-0,120	0,000	0,000	0,206
121	0,974	-0,829	-0,128	0,000	0,000	0,042
122	0,311	-2,378	-0,103	0,000	0,000	-0,067
123	0,745	-4,723	-0,137	0,000	0,000	0,052
124	0,912	-1,372	-0,073	0,000	0,000	0,096

**EQUILIBRI NODALI COMBINAZIONE 24**

Nodo 3D	Fx (t)	Fy (t)	Fz (t)	Mx (t*m)	My (t*m)	Mz (t*m)
1	-0,305	5,466	34,978	-6,514	-0,484	0,122
2	-0,310	1,226	-0,168	0,000	0,000	-0,023
3	-0,231	8,414	41,592	-21,933	-0,421	-0,048
4	0,017	2,019	-0,163	0,000	0,000	0,048
5	-0,790	1,669	12,347	-2,704	-4,390	0,330
6	-0,534	0,677	-0,059	0,000	0,000	-0,083

## EQUILIBRI NODALI COMBINAZIONE 24

Nodo 3D	Fx (t)	Fy (t)	Fz (t)	Mx (t*m)	My (t*m)	Mz (t*m)
7	-2,332	3,368	38,787	-3,787	-12,197	0,670
8	1,995	-1,784	-0,108	0,000	0,000	-0,442
9	-2,514	3,049	49,009	-3,582	-12,960	0,607
10	0,890	-0,175	0,000	0,000	0,000	-0,158
11	-2,158	1,486	23,440	-2,572	-6,956	0,294
12	0,598	0,617	-0,112	0,000	0,000	-0,100
13	-0,190	2,993	42,238	-3,533	6,593	-0,602
14	-0,986	0,239	-0,159	0,000	0,000	0,226
15	-0,495	3,050	45,737	-3,571	7,629	-0,613
16	-1,457	0,701	0,000	0,000	0,000	0,162
17	-0,575	1,475	28,282	-2,554	3,925	-0,298
18	0,410	0,799	-0,194	0,000	0,000	0,066
19	-0,809	16,099	63,577	-44,698	-0,885	-0,248
20	-0,681	-4,298	-0,229	0,000	0,000	-0,019
21	-2,890	4,903	32,629	-4,755	-9,723	0,978
22	0,888	-1,232	-3,710	0,000	0,000	-0,420
23	-2,750	1,382	35,124	-2,481	-9,413	0,279
24	0,818	-0,629	-0,194	0,000	0,000	-0,169
25	-0,487	16,161	62,821	-44,361	-0,675	-0,150
26	0,087	-4,643	-0,229	0,000	0,000	0,013
27	-2,106	4,947	37,005	-4,785	4,726	-0,995
28	0,853	-1,392	-3,010	0,000	0,000	0,436
29	-0,499	1,385	34,361	-2,485	5,092	-0,275
30	0,239	-0,659	-0,194	0,000	0,000	0,165
31	-2,352	3,011	45,432	-3,546	-13,327	0,607
32	2,225	0,445	-0,256	0,000	0,000	-0,251
33	-2,596	3,072	46,844	-3,590	-12,203	0,619
34	0,539	0,931	0,000	0,000	0,000	-0,174
35	-2,594	1,510	34,284	-2,579	-9,417	0,307
36	0,707	1,011	-0,278	0,000	0,000	-0,090
37	0,123	3,379	46,805	-3,801	7,749	-0,671
38	-0,994	-1,886	-0,254	0,000	0,000	0,443
39	-0,096	3,082	49,371	-3,611	8,184	-0,612
40	0,114	-0,449	0,000	0,000	0,000	0,166
41	-0,795	1,553	31,692	-2,620	4,442	-0,306
42	0,318	0,925	-0,279	0,000	0,000	0,108
43	-0,782	5,596	43,845	-1,891	-0,784	0,154
44	0,083	-2,820	-0,222	0,000	0,000	-0,037
45	-0,775	8,861	47,003	-23,019	-0,815	-0,176
46	-0,258	-4,135	-0,163	0,000	0,000	0,045
47	-1,062	1,755	24,370	-2,770	2,754	-0,346
48	-0,584	1,186	-0,227	0,000	0,000	0,114
51	0,147	-1,565	0,000	0,000	0,000	-0,031
52	0,317	1,728	-0,142	0,000	0,000	0,020
53	0,754	0,440	-0,059	0,000	0,000	0,069
54	0,177	-1,283	-0,176	0,000	0,000	-0,196
55	0,463	-0,411	-0,166	0,000	0,000	-0,066
56	0,803	0,417	-0,111	0,000	0,000	0,066
57	-0,102	-0,675	-0,206	0,000	0,000	-0,052
58	0,187	0,656	-0,157	0,000	0,000	-0,095
59	0,804	0,585	-0,192	0,000	0,000	-0,084
60	-0,032	-8,472	-0,229	0,000	0,000	-0,027

## EQUILIBRI NODALI COMBINAZIONE 24

Nodo 3D	Fx (t)	Fy (t)	Fz (t)	Mx (t*m)	My (t*m)	Mz (t*m)
61	0,512	-1,180	-3,864	0,000	0,000	-0,181
62	0,744	-0,660	-0,216	0,000	0,000	-0,101
63	0,064	-8,778	-0,362	0,000	0,000	0,002
64	1,000	-1,197	-3,864	0,000	0,000	0,180
65	0,646	-0,675	-0,216	0,000	0,000	0,094
66	0,324	-0,771	-0,247	0,000	0,000	-0,129
67	0,743	0,750	-0,157	0,000	0,000	0,125
68	0,689	-0,578	-0,255	0,000	0,000	-0,100
69	-0,091	-1,342	-0,275	0,000	0,000	0,193
70	0,230	-0,534	-0,166	0,000	0,000	0,067
71	0,564	0,585	-0,237	0,000	0,000	-0,074
72	0,208	-2,281	-0,137	0,000	0,000	-0,013
73	0,004	-2,580	-0,142	0,000	0,000	-0,009
74	0,406	-0,920	-0,185	0,000	0,000	0,125
76	0,124	-2,647	0,000	0,000	0,000	-0,039
77	0,206	-4,166	-0,142	0,000	0,000	0,015
78	0,567	-1,301	-0,059	0,000	0,000	-0,224
79	0,485	-0,216	-0,176	0,000	0,000	-0,048
80	0,619	-1,206	-0,166	0,000	0,000	-0,273
81	0,848	-1,441	-0,111	0,000	0,000	-0,227
82	0,154	-1,009	-0,206	0,000	0,000	0,232
83	0,450	-1,730	-0,157	0,000	0,000	0,340
84	0,557	-1,266	-0,192	0,000	0,000	0,220
85	0,203	-4,997	-3,939	0,000	0,000	0,048
86	0,657	-1,905	-2,184	0,000	0,000	-0,341
87	1,033	-0,471	-0,216	0,000	0,000	-0,068
88	-0,015	-4,966	-3,939	0,000	0,000	-0,019
89	0,753	-1,847	-3,864	0,000	0,000	0,324
90	0,589	-0,504	-0,216	0,000	0,000	0,065
91	0,370	-1,088	-0,247	0,000	0,000	-0,246
92	0,677	-1,807	-0,157	0,000	0,000	-0,354
93	0,955	-1,339	-0,255	0,000	0,000	-0,235
94	0,104	-0,363	-0,275	0,000	0,000	0,054
95	0,409	-1,343	-0,166	0,000	0,000	0,278
96	0,697	-1,570	-0,237	0,000	0,000	0,232
97	0,186	-3,137	-0,137	0,000	0,000	-0,068
98	0,251	-4,719	-0,142	0,000	0,000	0,048
99	0,678	-1,495	-0,185	0,000	0,000	0,234
101	0,122	-1,902	-0,008	0,000	0,000	0,002
102	-0,228	-3,662	-0,137	0,000	0,000	-0,019
103	-0,038	-0,816	-0,073	0,000	0,000	-0,077
104	1,177	-0,347	-0,128	0,000	0,000	-0,036
105	0,774	-2,100	-0,120	0,000	0,000	-0,208
106	0,336	-0,474	-0,128	0,000	0,000	-0,045
107	0,424	-1,850	-0,129	0,000	0,000	0,189
108	0,430	-1,878	-0,114	0,000	0,000	0,192
109	0,029	-0,841	-0,121	0,000	0,000	0,089
110	1,054	-5,217	-0,473	0,000	0,000	0,203
111	1,015	-1,347	-0,108	0,000	0,000	-0,134
112	0,581	0,049	-0,115	0,000	0,000	0,003
113	0,257	-4,941	-0,473	0,000	0,000	0,083
114	0,080	-1,374	-0,108	0,000	0,000	0,140

**EQUILIBRI NODALI COMBINAZIONE 24**

Nodo 3D	Fx (t)	Fy (t)	Fz (t)	Mx (t*m)	My (t*m)	Mz (t*m)
115	0,280	0,051	-0,115	0,000	0,000	0,003
116	0,332	-1,823	-0,129	0,000	0,000	-0,184
117	0,736	-1,861	-0,114	0,000	0,000	-0,188
118	0,993	-0,851	-0,121	0,000	0,000	-0,087
119	0,137	-0,380	-0,128	0,000	0,000	0,014
120	0,242	-2,113	-0,120	0,000	0,000	0,210
121	0,473	-0,496	-0,128	0,000	0,000	0,049
122	0,610	-1,863	-0,103	0,000	0,000	-0,057
123	0,703	-3,673	-0,137	0,000	0,000	0,088
124	0,629	-0,827	-0,073	0,000	0,000	0,081

**EQUILIBRI NODALI COMBINAZIONE 25**

Nodo 3D	Fx (t)	Fy (t)	Fz (t)	Mx (t*m)	My (t*m)	Mz (t*m)
1	-0,238	5,214	34,887	-5,972	-0,408	0,114
2	-0,308	1,262	-0,168	0,000	0,000	-0,015
3	-0,231	8,048	41,539	-21,299	-0,417	-0,043
4	0,015	2,059	-0,163	0,000	0,000	0,052
5	-0,902	1,546	12,497	-2,549	-4,633	0,311
6	-0,522	0,672	-0,059	0,000	0,000	-0,073
7	-2,135	3,287	38,667	-3,681	-11,875	0,659
8	1,967	-1,744	-0,108	0,000	0,000	-0,427
9	-2,507	2,937	48,873	-3,456	-12,919	0,590
10	0,886	-0,160	0,000	0,000	0,000	-0,145
11	-2,315	1,413	23,747	-2,470	-7,257	0,284
12	0,613	0,610	-0,112	0,000	0,000	-0,093
13	-0,009	2,948	42,125	-3,469	6,860	-0,588
14	-1,008	0,238	-0,159	0,000	0,000	0,229
15	-0,483	2,981	45,710	-3,493	7,640	-0,594
16	-1,461	0,701	0,000	0,000	0,000	0,163
17	-0,725	1,428	28,369	-2,489	3,707	-0,284
18	0,420	0,799	-0,194	0,000	0,000	0,069
19	-0,712	15,984	63,396	-44,461	-0,775	-0,211
20	-0,666	-4,292	-0,229	0,000	0,000	-0,005
21	-2,878	4,874	32,708	-4,726	-9,723	0,977
22	0,882	-1,226	-3,710	0,000	0,000	-0,413
23	-2,905	1,368	35,202	-2,462	-9,667	0,282
24	0,831	-0,623	-0,194	0,000	0,000	-0,162
25	-0,390	16,276	63,001	-44,597	-0,564	-0,114
26	0,102	-4,649	-0,229	0,000	0,000	0,027
27	-2,094	4,977	36,926	-4,814	4,726	-0,995
28	0,846	-1,398	-3,010	0,000	0,000	0,443
29	-0,655	1,399	34,283	-2,504	4,838	-0,273
30	0,253	-0,665	-0,194	0,000	0,000	0,171
31	-2,171	3,056	45,545	-3,610	-13,060	0,621
32	2,203	0,446	-0,256	0,000	0,000	-0,248
33	-2,585	3,140	46,871	-3,668	-12,192	0,638
34	0,535	0,931	0,000	0,000	0,000	-0,173
35	-2,744	1,557	34,196	-2,644	-9,634	0,321
36	0,717	1,012	-0,278	0,000	0,000	-0,088
37	0,320	3,460	46,925	-3,907	8,072	-0,682
38	-1,022	-1,925	-0,254	0,000	0,000	0,458

## EQUILIBRI NODALI COMBINAZIONE 25

Nodo 3D	Fx (t)	Fy (t)	Fz (t)	Mx (t*m)	My (t*m)	Mz (t*m)
39	-0,089	3,194	49,507	-3,737	8,225	-0,629
40	0,110	-0,464	0,000	0,000	0,000	0,178
41	-0,953	1,627	31,385	-2,721	4,142	-0,316
42	0,332	0,933	-0,279	0,000	0,000	0,116
43	-0,715	5,847	43,936	-2,433	-0,707	0,146
44	0,085	-2,856	-0,222	0,000	0,000	-0,029
45	-0,775	9,226	47,057	-23,652	-0,811	-0,171
46	-0,260	-4,175	-0,163	0,000	0,000	0,050
47	-1,174	1,878	24,220	-2,925	2,510	-0,366
48	-0,571	1,191	-0,227	0,000	0,000	0,124
51	0,137	-1,481	0,000	0,000	0,000	-0,031
52	0,315	1,800	-0,142	0,000	0,000	0,019
53	0,784	0,460	-0,059	0,000	0,000	0,071
54	0,144	-1,245	-0,176	0,000	0,000	-0,191
55	0,461	-0,385	-0,166	0,000	0,000	-0,063
56	0,827	0,430	-0,111	0,000	0,000	0,067
57	-0,133	-0,666	-0,206	0,000	0,000	-0,055
58	0,186	0,665	-0,157	0,000	0,000	-0,098
59	0,826	0,594	-0,192	0,000	0,000	-0,086
60	-0,049	-8,406	-0,229	0,000	0,000	-0,034
61	0,509	-1,173	-3,864	0,000	0,000	-0,181
62	0,767	-0,653	-0,216	0,000	0,000	-0,101
63	0,047	-8,843	-0,362	0,000	0,000	-0,005
64	0,996	-1,204	-3,864	0,000	0,000	0,179
65	0,669	-0,681	-0,216	0,000	0,000	0,093
66	0,293	-0,780	-0,247	0,000	0,000	-0,132
67	0,742	0,741	-0,157	0,000	0,000	0,123
68	0,711	-0,587	-0,255	0,000	0,000	-0,102
69	-0,123	-1,380	-0,275	0,000	0,000	0,197
70	0,228	-0,560	-0,166	0,000	0,000	0,070
71	0,587	0,573	-0,237	0,000	0,000	-0,074
72	0,199	-2,364	-0,137	0,000	0,000	-0,013
73	0,002	-2,652	-0,142	0,000	0,000	-0,010
74	0,436	-0,940	-0,185	0,000	0,000	0,127
76	0,097	-2,571	0,000	0,000	0,000	-0,038
77	0,204	-4,027	-0,142	0,000	0,000	0,010
78	0,605	-1,252	-0,059	0,000	0,000	-0,219
79	0,406	-0,214	-0,176	0,000	0,000	-0,053
80	0,615	-1,175	-0,166	0,000	0,000	-0,271
81	0,913	-1,409	-0,111	0,000	0,000	-0,225
82	0,079	-0,992	-0,206	0,000	0,000	0,224
83	0,445	-1,702	-0,157	0,000	0,000	0,330
84	0,620	-1,248	-0,192	0,000	0,000	0,212
85	0,167	-4,971	-3,939	0,000	0,000	0,032
86	0,653	-1,898	-2,184	0,000	0,000	-0,344
87	1,097	-0,471	-0,216	0,000	0,000	-0,073
88	-0,050	-4,992	-3,939	0,000	0,000	-0,035
89	0,749	-1,855	-3,864	0,000	0,000	0,321
90	0,653	-0,505	-0,216	0,000	0,000	0,061
91	0,295	-1,105	-0,247	0,000	0,000	-0,254
92	0,673	-1,835	-0,157	0,000	0,000	-0,364
93	1,017	-1,358	-0,255	0,000	0,000	-0,243

**EQUILIBRI NODALI COMBINAZIONE 25**

Nodo 3D	Fx (t)	Fy (t)	Fz (t)	Mx (t*m)	My (t*m)	Mz (t*m)
94	0,026	-0,365	-0,275	0,000	0,000	0,050
95	0,405	-1,374	-0,166	0,000	0,000	0,280
96	0,762	-1,601	-0,237	0,000	0,000	0,234
97	0,159	-3,213	-0,137	0,000	0,000	-0,067
98	0,250	-4,859	-0,142	0,000	0,000	0,043
99	0,716	-1,544	-0,185	0,000	0,000	0,239
101	0,089	-1,846	-0,008	0,000	0,000	0,001
102	-0,223	-3,548	-0,137	0,000	0,000	-0,023
103	-0,008	-0,756	-0,073	0,000	0,000	-0,076
104	1,119	-0,345	-0,128	0,000	0,000	-0,040
105	0,777	-2,061	-0,120	0,000	0,000	-0,208
106	0,390	-0,438	-0,128	0,000	0,000	-0,046
107	0,370	-1,831	-0,129	0,000	0,000	0,183
108	0,429	-1,847	-0,114	0,000	0,000	0,185
109	0,084	-0,820	-0,121	0,000	0,000	0,082
110	0,994	-5,200	-0,473	0,000	0,000	0,175
111	1,017	-1,338	-0,108	0,000	0,000	-0,138
112	0,636	0,049	-0,115	0,000	0,000	-0,002
113	0,197	-4,957	-0,473	0,000	0,000	0,056
114	0,082	-1,383	-0,108	0,000	0,000	0,137
115	0,335	0,050	-0,115	0,000	0,000	-0,001
116	0,279	-1,842	-0,129	0,000	0,000	-0,191
117	0,734	-1,893	-0,114	0,000	0,000	-0,195
118	1,048	-0,871	-0,121	0,000	0,000	-0,093
119	0,079	-0,382	-0,128	0,000	0,000	0,009
120	0,245	-2,152	-0,120	0,000	0,000	0,210
121	0,528	-0,532	-0,128	0,000	0,000	0,048
122	0,578	-1,919	-0,103	0,000	0,000	-0,058
123	0,707	-3,787	-0,137	0,000	0,000	0,084
124	0,660	-0,886	-0,073	0,000	0,000	0,083

**EQUILIBRI NODALI COMBINAZIONE 26**

Nodo 3D	Fx (t)	Fy (t)	Fz (t)	Mx (t*m)	My (t*m)	Mz (t*m)
1	0,244	-2,472	20,921	13,113	0,165	-0,153
2	0,421	-1,739	-0,168	0,000	0,000	-0,038
3	0,461	-3,689	44,099	-0,736	0,535	0,051
4	0,116	-3,144	-0,163	0,000	0,000	-0,080
5	0,762	-2,479	41,439	2,698	-5,185	-0,535
6	1,176	-0,437	-0,059	0,000	0,000	0,119
7	-1,024	-0,847	31,286	1,813	-5,251	-0,209
8	-0,787	0,356	-0,108	0,000	0,000	0,061
9	-0,044	-2,756	39,717	3,045	-6,310	-0,591
10	0,486	0,924	0,000	0,000	0,000	0,215
11	1,950	-2,263	38,678	2,725	-4,383	-0,492
12	0,154	-0,638	-0,112	0,000	0,000	0,096
13	0,764	-0,858	32,267	1,965	7,032	0,132
14	-0,069	-0,923	-0,159	0,000	0,000	-0,058
15	3,016	-2,967	45,864	3,328	11,955	0,554
16	0,071	-0,649	0,000	0,000	0,000	-0,206
17	4,183	-2,565	44,472	3,067	13,805	0,473
18	-1,435	-0,383	-0,194	0,000	0,000	-0,224

## EQUILIBRI NODALI COMBINAZIONE 26

Nodo 3D	Fx (t)	Fy (t)	Fz (t)	Mx (t*m)	My (t*m)	Mz (t*m)
19	-0,125	-13,819	21,693	18,053	-0,114	-0,091
20	0,474	4,814	-0,229	0,000	0,000	-0,125
21	1,082	-4,816	66,710	4,711	-11,257	-1,003
22	-0,030	0,812	-3,710	0,000	0,000	0,312
23	1,488	-2,931	38,733	3,492	-4,853	-0,632
24	0,366	1,529	-0,194	0,000	0,000	0,340
25	-0,076	-15,823	22,145	20,808	-0,086	-0,078
26	-0,220	5,907	-0,229	0,000	0,000	-0,135
27	3,644	-5,328	66,010	5,201	16,602	1,028
28	-1,533	0,858	-3,010	0,000	0,000	-0,416
29	4,224	-3,173	41,155	3,808	13,255	0,590
30	-1,579	1,672	-0,194	0,000	0,000	-0,446
31	-1,292	-1,619	35,317	3,021	-6,415	-0,371
32	-0,568	-1,151	-0,256	0,000	0,000	0,035
33	-0,228	-4,100	45,177	4,626	-7,872	-0,867
34	0,930	-0,887	0,000	0,000	0,000	0,192
35	1,553	-3,343	49,142	4,134	-6,642	-0,716
36	0,277	-0,608	-0,278	0,000	0,000	0,202
37	0,552	-2,215	36,964	3,580	7,784	0,396
38	-0,047	1,116	-0,254	0,000	0,000	-0,310
39	2,463	-4,599	37,583	5,120	10,386	0,873
40	-1,409	1,463	0,000	0,000	0,000	-0,434
41	4,012	-3,469	53,083	4,386	15,477	0,647
42	-1,511	-1,070	-0,279	0,000	0,000	-0,223
43	-0,627	-6,991	18,552	19,066	-0,406	0,085
44	-0,165	2,972	-0,222	0,000	0,000	-0,062
45	0,513	-10,010	38,406	10,497	0,612	0,081
46	0,163	3,576	-0,163	0,000	0,000	-0,087
47	2,567	-4,533	42,403	5,272	12,625	0,859
48	-0,259	-1,045	-0,227	0,000	0,000	-0,314
51	0,191	1,013	0,000	0,000	0,000	-0,010
52	-0,120	-2,292	-0,142	0,000	0,000	0,019
53	-0,723	-0,850	-0,059	0,000	0,000	-0,121
54	0,306	0,420	-0,176	0,000	0,000	0,076
55	-0,216	0,767	-0,166	0,000	0,000	0,129
56	-0,772	-0,794	-0,111	0,000	0,000	-0,114
57	0,062	0,295	-0,206	0,000	0,000	0,119
58	-0,374	-0,807	-0,157	0,000	0,000	0,127
59	-0,819	-0,575	-0,192	0,000	0,000	0,092
60	0,029	8,382	-0,229	0,000	0,000	0,042
61	-0,503	0,837	-3,864	0,000	0,000	0,139
62	-0,815	1,126	-0,216	0,000	0,000	0,180
63	0,142	9,652	-0,362	0,000	0,000	0,076
64	-0,859	1,008	-3,864	0,000	0,000	-0,142
65	-0,927	1,252	-0,216	0,000	0,000	-0,171
66	0,472	0,523	-0,247	0,000	0,000	0,101
67	-0,604	-0,752	-0,157	0,000	0,000	-0,116
68	-0,836	0,746	-0,255	0,000	0,000	0,134
69	0,068	1,097	-0,275	0,000	0,000	-0,147
70	-0,461	1,355	-0,166	0,000	0,000	-0,181
71	-1,033	-0,732	-0,237	0,000	0,000	0,106
72	-0,450	3,066	-0,137	0,000	0,000	0,059

**EQUILIBRI NODALI COMBINAZIONE 26**

Nodo 3D	Fx (t)	Fy (t)	Fz (t)	Mx (t*m)	My (t*m)	Mz (t*m)
73	-0,181	3,156	-0,142	0,000	0,000	-0,008
74	-1,136	0,843	-0,185	0,000	0,000	-0,104
76	0,075	1,380	0,000	0,000	0,000	0,076
77	-0,107	2,457	-0,142	0,000	0,000	0,005
78	-0,734	0,932	-0,059	0,000	0,000	0,275
79	0,396	0,377	-0,176	0,000	0,000	0,091
80	-0,362	0,981	-0,166	0,000	0,000	0,218
81	-1,203	0,739	-0,111	0,000	0,000	0,254
82	0,014	0,990	-0,206	0,000	0,000	-0,139
83	-0,623	1,331	-0,157	0,000	0,000	-0,263
84	-1,635	0,842	-0,192	0,000	0,000	-0,173
85	0,235	7,587	-3,939	0,000	0,000	0,129
86	-0,356	1,136	-2,184	0,000	0,000	0,336
87	-1,085	0,223	-0,216	0,000	0,000	0,091
88	0,219	7,447	-3,939	0,000	0,000	0,126
89	-1,011	1,390	-3,864	0,000	0,000	-0,296
90	-1,543	0,254	-0,216	0,000	0,000	-0,012
91	0,493	1,342	-0,247	0,000	0,000	0,288
92	-0,380	1,866	-0,157	0,000	0,000	0,447
93	-1,090	1,221	-0,255	0,000	0,000	0,324
94	0,164	0,555	-0,275	0,000	0,000	-0,027
95	-0,560	1,637	-0,166	0,000	0,000	-0,253
96	-1,541	1,397	-0,237	0,000	0,000	-0,287
97	0,219	3,202	-0,137	0,000	0,000	-0,021
98	-0,316	5,306	-0,142	0,000	0,000	0,010
99	-0,824	1,941	-0,185	0,000	0,000	-0,376
101	-0,710	1,239	-0,008	0,000	0,000	0,093
102	-0,429	2,336	-0,137	0,000	0,000	-0,010
103	-0,439	2,165	-0,073	0,000	0,000	0,248
104	-0,391	-0,044	-0,128	0,000	0,000	0,032
105	-0,095	0,927	-0,120	0,000	0,000	0,126
106	-0,556	2,350	-0,128	0,000	0,000	0,268
107	-0,072	0,798	-0,129	0,000	0,000	-0,048
108	-1,205	2,294	-0,114	0,000	0,000	-0,198
109	-1,519	1,928	-0,121	0,000	0,000	-0,161
110	-0,347	-0,078	-0,473	0,000	0,000	0,088
111	-0,375	2,792	-0,108	0,000	0,000	0,315
112	-0,380	0,382	-0,115	0,000	0,000	0,076
113	0,029	-0,016	-0,473	0,000	0,000	0,081
114	-0,820	2,935	-0,108	0,000	0,000	-0,261
115	-1,431	0,396	-0,115	0,000	0,000	-0,012
116	-0,003	1,132	-0,129	0,000	0,000	0,151
117	0,184	2,789	-0,114	0,000	0,000	0,316
118	-0,654	2,230	-0,121	0,000	0,000	0,261
119	-0,016	0,039	-0,128	0,000	0,000	0,056
120	-0,933	1,499	-0,120	0,000	0,000	-0,113
121	-1,183	2,875	-0,128	0,000	0,000	-0,251
122	0,717	2,256	-0,103	0,000	0,000	-0,040
123	-0,103	4,219	-0,137	0,000	0,000	0,008
124	-0,415	3,094	-0,073	0,000	0,000	-0,272

**EQUILIBRI NODALI COMBINAZIONE 27**

Nodo 3D	Fx (t)	Fy (t)	Fz (t)	Mx (t*m)	My (t*m)	Mz (t*m)
1	0,177	-2,221	21,012	12,571	0,088	-0,145
2	0,420	-1,775	-0,168	0,000	0,000	-0,046
3	0,460	-3,324	44,153	-1,370	0,532	0,046
4	0,118	-3,184	-0,163	0,000	0,000	-0,084
5	0,873	-2,356	41,289	2,543	-4,941	-0,516
6	1,164	-0,432	-0,059	0,000	0,000	0,109
7	-1,222	-0,766	31,406	1,706	-5,574	-0,198
8	-0,759	0,316	-0,108	0,000	0,000	0,046
9	-0,052	-2,644	39,852	2,919	-6,351	-0,574
10	0,490	0,909	0,000	0,000	0,000	0,202
11	2,108	-2,190	38,371	2,624	-4,083	-0,483
12	0,140	-0,631	-0,112	0,000	0,000	0,088
13	0,584	-0,813	32,380	1,902	6,765	0,118
14	-0,047	-0,923	-0,159	0,000	0,000	-0,060
15	3,004	-2,899	45,891	3,249	11,944	0,535
16	0,075	-0,649	0,000	0,000	0,000	-0,208
17	4,333	-2,518	44,384	3,002	14,023	0,459
18	-1,446	-0,382	-0,194	0,000	0,000	-0,227
19	-0,221	-13,704	21,873	17,816	-0,224	-0,127
20	0,459	4,808	-0,229	0,000	0,000	-0,139
21	1,070	-4,786	66,631	4,682	-11,258	-1,002
22	-0,024	0,806	-3,710	0,000	0,000	0,305
23	1,643	-2,917	38,654	3,473	-4,599	-0,634
24	0,353	1,522	-0,194	0,000	0,000	0,334
25	-0,173	-15,938	21,965	21,045	-0,196	-0,114
26	-0,235	5,913	-0,229	0,000	0,000	-0,150
27	3,632	-5,358	66,089	5,230	16,601	1,029
28	-1,527	0,863	-3,010	0,000	0,000	-0,423
29	4,379	-3,187	41,233	3,827	13,508	0,587
30	-1,592	1,678	-0,194	0,000	0,000	-0,453
31	-1,473	-1,664	35,205	3,085	-6,682	-0,385
32	-0,546	-1,152	-0,256	0,000	0,000	0,032
33	-0,240	-4,169	45,150	4,705	-7,882	-0,886
34	0,934	-0,887	0,000	0,000	0,000	0,190
35	1,703	-3,390	49,229	4,199	-6,424	-0,731
36	0,267	-0,609	-0,278	0,000	0,000	0,199
37	0,355	-2,296	36,844	3,686	7,461	0,407
38	-0,018	1,155	-0,254	0,000	0,000	-0,325
39	2,456	-4,711	37,447	5,246	10,345	0,890
40	-1,405	1,478	0,000	0,000	0,000	-0,447
41	4,169	-3,543	53,390	4,487	15,777	0,656
42	-1,525	-1,077	-0,279	0,000	0,000	-0,230
43	-0,694	-7,242	18,461	19,608	-0,483	0,093
44	-0,166	3,008	-0,222	0,000	0,000	-0,070
45	0,512	-10,375	38,352	11,131	0,609	0,076
46	0,166	3,616	-0,163	0,000	0,000	-0,091
47	2,678	-4,656	42,553	5,427	12,869	0,878
48	-0,272	-1,050	-0,227	0,000	0,000	-0,325
51	0,200	0,929	0,000	0,000	0,000	-0,010
52	-0,118	-2,363	-0,142	0,000	0,000	0,020
53	-0,753	-0,870	-0,059	0,000	0,000	-0,123
54	0,338	0,383	-0,176	0,000	0,000	0,071
55	-0,214	0,740	-0,166	0,000	0,000	0,126
56	-0,796	-0,807	-0,111	0,000	0,000	-0,114

## EQUILIBRI NODALI COMBINAZIONE 27

Nodo 3D	Fx (t)	Fy (t)	Fz (t)	Mx (t*m)	My (t*m)	Mz (t*m)
57	0,093	0,286	-0,206	0,000	0,000	0,121
58	-0,373	-0,816	-0,157	0,000	0,000	0,130
59	-0,841	-0,584	-0,192	0,000	0,000	0,094
60	0,045	8,316	-0,229	0,000	0,000	0,049
61	-0,499	0,830	-3,864	0,000	0,000	0,139
62	-0,838	1,119	-0,216	0,000	0,000	0,181
63	0,159	9,717	-0,362	0,000	0,000	0,083
64	-0,855	1,016	-3,864	0,000	0,000	-0,142
65	-0,950	1,259	-0,216	0,000	0,000	-0,171
66	0,502	0,532	-0,247	0,000	0,000	0,104
67	-0,603	-0,742	-0,157	0,000	0,000	-0,114
68	-0,858	0,755	-0,255	0,000	0,000	0,137
69	0,100	1,134	-0,275	0,000	0,000	-0,151
70	-0,459	1,382	-0,166	0,000	0,000	-0,184
71	-1,057	-0,719	-0,237	0,000	0,000	0,105
72	-0,441	3,150	-0,137	0,000	0,000	0,059
73	-0,179	3,227	-0,142	0,000	0,000	-0,007
74	-1,166	0,863	-0,185	0,000	0,000	-0,106
76	0,101	1,304	0,000	0,000	0,000	0,075
77	-0,106	2,318	-0,142	0,000	0,000	0,010
78	-0,771	0,883	-0,059	0,000	0,000	0,269
79	0,474	0,375	-0,176	0,000	0,000	0,095
80	-0,358	0,949	-0,166	0,000	0,000	0,216
81	-1,269	0,708	-0,111	0,000	0,000	0,252
82	0,089	0,973	-0,206	0,000	0,000	-0,130
83	-0,619	1,303	-0,157	0,000	0,000	-0,253
84	-1,697	0,824	-0,192	0,000	0,000	-0,164
85	0,270	7,560	-3,939	0,000	0,000	0,145
86	-0,352	1,128	-2,184	0,000	0,000	0,339
87	-1,149	0,223	-0,216	0,000	0,000	0,095
88	0,255	7,473	-3,939	0,000	0,000	0,142
89	-1,007	1,397	-3,864	0,000	0,000	-0,293
90	-1,606	0,255	-0,216	0,000	0,000	-0,007
91	0,568	1,359	-0,247	0,000	0,000	0,296
92	-0,376	1,894	-0,157	0,000	0,000	0,457
93	-1,153	1,240	-0,255	0,000	0,000	0,333
94	0,242	0,557	-0,275	0,000	0,000	-0,023
95	-0,556	1,669	-0,166	0,000	0,000	-0,255
96	-1,606	1,429	-0,237	0,000	0,000	-0,289
97	0,246	3,277	-0,137	0,000	0,000	-0,022
98	-0,315	5,445	-0,142	0,000	0,000	0,015
99	-0,862	1,990	-0,185	0,000	0,000	-0,381
101	-0,677	1,183	-0,008	0,000	0,000	0,094
102	-0,434	2,221	-0,137	0,000	0,000	-0,007
103	-0,470	2,105	-0,073	0,000	0,000	0,246
104	-0,333	-0,046	-0,128	0,000	0,000	0,037
105	-0,098	0,888	-0,120	0,000	0,000	0,127
106	-0,611	2,314	-0,128	0,000	0,000	0,269
107	-0,019	0,779	-0,129	0,000	0,000	-0,042
108	-1,203	2,263	-0,114	0,000	0,000	-0,190
109	-1,574	1,908	-0,121	0,000	0,000	-0,155
110	-0,287	-0,095	-0,473	0,000	0,000	0,116

**EQUILIBRI NODALI COMBINAZIONE 27**

Nodo 3D	Fx (t)	Fy (t)	Fz (t)	Mx (t*m)	My (t*m)	Mz (t*m)
111	-0,377	2,783	-0,108	0,000	0,000	0,318
112	-0,435	0,381	-0,115	0,000	0,000	0,081
113	0,089	0,001	-0,473	0,000	0,000	0,109
114	-0,822	2,944	-0,108	0,000	0,000	-0,257
115	-1,486	0,397	-0,115	0,000	0,000	-0,007
116	0,050	1,151	-0,129	0,000	0,000	0,157
117	0,186	2,820	-0,114	0,000	0,000	0,324
118	-0,709	2,250	-0,121	0,000	0,000	0,267
119	0,042	0,041	-0,128	0,000	0,000	0,060
120	-0,936	1,538	-0,120	0,000	0,000	-0,112
121	-1,238	2,911	-0,128	0,000	0,000	-0,250
122	0,749	2,312	-0,103	0,000	0,000	-0,039
123	-0,107	4,333	-0,137	0,000	0,000	0,012
124	-0,446	3,153	-0,073	0,000	0,000	-0,273

**EQUILIBRI NODALI COMBINAZIONE 28**

Nodo 3D	Fx (t)	Fy (t)	Fz (t)	Mx (t*m)	My (t*m)	Mz (t*m)
1	0,794	-4,536	20,174	17,559	0,795	-0,220
2	0,432	-1,444	-0,168	0,000	0,000	0,029
3	0,463	-6,688	43,658	4,461	0,562	0,095
4	0,099	-2,812	-0,163	0,000	0,000	-0,042
5	-0,151	-3,486	42,670	3,973	-7,183	-0,693
6	1,281	-0,481	-0,059	0,000	0,000	0,203
7	0,594	-1,510	30,303	2,684	-2,604	-0,298
8	-1,020	0,679	-0,108	0,000	0,000	0,183
9	0,017	-3,672	38,603	4,079	-5,975	-0,731
10	0,454	1,048	0,000	0,000	0,000	0,320
11	0,659	-2,864	41,198	3,556	-6,847	-0,569
12	0,271	-0,697	-0,112	0,000	0,000	0,157
13	2,249	-1,226	31,341	2,486	9,225	0,249
14	-0,248	-0,928	-0,159	0,000	0,000	-0,035
15	3,112	-3,530	45,643	3,975	12,042	0,709
16	0,036	-0,648	0,000	0,000	0,000	-0,194
17	2,954	-2,951	45,187	3,599	12,023	0,594
18	-1,351	-0,389	-0,194	0,000	0,000	-0,202
19	0,669	-14,761	20,209	19,994	0,789	0,206
20	0,600	4,863	-0,229	0,000	0,000	-0,005
21	1,183	-5,061	67,359	4,948	-11,253	-1,009
22	-0,085	0,859	-3,710	0,000	0,000	0,371
23	0,216	-3,046	39,377	3,646	-6,931	-0,612
24	0,475	1,580	-0,194	0,000	0,000	0,394
25	0,718	-14,881	23,629	18,866	0,817	0,220
26	-0,094	5,857	-0,229	0,000	0,000	-0,016
27	3,745	-5,083	65,361	4,963	16,606	1,022
28	-1,588	0,811	-3,010	0,000	0,000	-0,356
29	2,952	-3,058	40,510	3,654	11,177	0,610
30	-1,470	1,621	-0,194	0,000	0,000	-0,393
31	0,192	-1,251	36,244	2,500	-4,223	-0,254
32	-0,747	-1,147	-0,256	0,000	0,000	0,057
33	-0,132	-3,537	45,398	3,979	-7,785	-0,711
34	0,895	-0,888	0,000	0,000	0,000	0,204

## EQUILIBRI NODALI COMBINAZIONE 28

Nodo 3D	Fx (t)	Fy (t)	Fz (t)	Mx (t*m)	My (t*m)	Mz (t*m)
35	0,324	-2,957	48,427	3,601	-8,424	-0,596
36	0,361	-0,602	-0,278	0,000	0,000	0,224
37	2,170	-1,551	37,947	2,709	10,432	0,306
38	-0,280	0,793	-0,254	0,000	0,000	-0,188
39	2,524	-3,683	38,696	4,086	10,721	0,733
40	-1,441	1,339	0,000	0,000	0,000	-0,330
41	2,721	-2,868	50,563	3,555	13,013	0,570
42	-1,394	-1,010	-0,279	0,000	0,000	-0,162
43	-0,078	-4,927	19,298	14,619	0,224	0,018
44	-0,154	2,677	-0,222	0,000	0,000	0,004
45	0,515	-7,012	38,847	5,300	0,639	0,124
46	0,146	3,244	-0,163	0,000	0,000	-0,049
47	1,655	-3,526	41,172	3,997	10,627	0,701
48	-0,154	-1,001	-0,227	0,000	0,000	-0,230
51	0,115	1,700	0,000	0,000	0,000	-0,009
52	-0,133	-1,707	-0,142	0,000	0,000	0,007
53	-0,478	-0,686	-0,059	0,000	0,000	-0,107
54	0,038	0,725	-0,176	0,000	0,000	0,111
55	-0,234	0,984	-0,166	0,000	0,000	0,151
56	-0,579	-0,689	-0,111	0,000	0,000	-0,108
57	-0,191	0,368	-0,206	0,000	0,000	0,098
58	-0,384	-0,731	-0,157	0,000	0,000	0,106
59	-0,642	-0,501	-0,192	0,000	0,000	0,071
60	-0,108	8,920	-0,229	0,000	0,000	-0,016
61	-0,533	0,900	-3,864	0,000	0,000	0,138
62	-0,626	1,183	-0,216	0,000	0,000	0,179
63	0,006	9,114	-0,362	0,000	0,000	0,018
64	-0,889	0,946	-3,864	0,000	0,000	-0,142
65	-0,738	1,196	-0,216	0,000	0,000	-0,172
66	0,218	0,449	-0,247	0,000	0,000	0,080
67	-0,614	-0,827	-0,157	0,000	0,000	-0,138
68	-0,659	0,672	-0,255	0,000	0,000	0,113
69	-0,200	0,792	-0,275	0,000	0,000	-0,111
70	-0,479	1,138	-0,166	0,000	0,000	-0,159
71	-0,840	-0,837	-0,237	0,000	0,000	0,111
72	-0,526	2,380	-0,137	0,000	0,000	0,061
73	-0,193	2,571	-0,142	0,000	0,000	-0,020
74	-0,891	0,680	-0,185	0,000	0,000	-0,089
76	-0,143	2,004	0,000	0,000	0,000	0,084
77	-0,117	3,602	-0,142	0,000	0,000	-0,032
78	-0,423	1,333	-0,059	0,000	0,000	0,321
79	-0,246	0,396	-0,176	0,000	0,000	0,057
80	-0,397	1,237	-0,166	0,000	0,000	0,235
81	-0,669	0,998	-0,111	0,000	0,000	0,270
82	-0,600	1,129	-0,206	0,000	0,000	-0,205
83	-0,659	1,559	-0,157	0,000	0,000	-0,348
84	-1,122	0,991	-0,192	0,000	0,000	-0,242
85	-0,057	7,806	-3,939	0,000	0,000	-0,005
86	-0,390	1,195	-2,184	0,000	0,000	0,310
87	-0,562	0,226	-0,216	0,000	0,000	0,053
88	-0,073	7,228	-3,939	0,000	0,000	-0,008
89	-1,045	1,331	-3,864	0,000	0,000	-0,321

**EQUILIBRI NODALI COMBINAZIONE 28**

Nodo 3D	Fx (t)	Fy (t)	Fz (t)	Mx (t*m)	My (t*m)	Mz (t*m)
90	-1,020	0,252	-0,216	0,000	0,000	-0,049
91	-0,122	1,203	-0,247	0,000	0,000	0,221
92	-0,416	1,638	-0,157	0,000	0,000	0,362
93	-0,577	1,072	-0,255	0,000	0,000	0,255
94	-0,479	0,536	-0,275	0,000	0,000	-0,062
95	-0,594	1,381	-0,166	0,000	0,000	-0,237
96	-1,007	1,138	-0,237	0,000	0,000	-0,271
97	0,002	2,578	-0,137	0,000	0,000	-0,013
98	-0,326	4,161	-0,142	0,000	0,000	-0,027
99	-0,514	1,540	-0,185	0,000	0,000	-0,329
101	-0,976	1,698	-0,008	0,000	0,000	0,084
102	-0,391	3,272	-0,137	0,000	0,000	-0,042
103	-0,187	2,651	-0,073	0,000	0,000	0,261
104	-0,865	-0,028	-0,128	0,000	0,000	-0,001
105	-0,072	1,246	-0,120	0,000	0,000	0,123
106	-0,110	2,647	-0,128	0,000	0,000	0,262
107	-0,510	0,958	-0,129	0,000	0,000	-0,100
108	-1,219	2,553	-0,114	0,000	0,000	-0,259
109	-1,063	2,097	-0,121	0,000	0,000	-0,214
110	-0,839	0,058	-0,473	0,000	0,000	-0,137
111	-0,357	2,868	-0,108	0,000	0,000	0,287
112	0,071	0,387	-0,115	0,000	0,000	0,041
113	-0,462	-0,153	-0,473	0,000	0,000	-0,144
114	-0,802	2,859	-0,108	0,000	0,000	-0,288
115	-0,980	0,391	-0,115	0,000	0,000	-0,047
116	-0,440	0,972	-0,129	0,000	0,000	0,100
117	0,170	2,530	-0,114	0,000	0,000	0,255
118	-0,198	2,061	-0,121	0,000	0,000	0,208
119	-0,490	0,022	-0,128	0,000	0,000	0,023
120	-0,909	1,181	-0,120	0,000	0,000	-0,117
121	-0,737	2,578	-0,128	0,000	0,000	-0,257
122	0,450	1,797	-0,103	0,000	0,000	-0,049
123	-0,065	3,282	-0,137	0,000	0,000	-0,024
124	-0,163	2,607	-0,073	0,000	0,000	-0,259

**EQUILIBRI NODALI COMBINAZIONE 29**

Nodo 3D	Fx (t)	Fy (t)	Fz (t)	Mx (t*m)	My (t*m)	Mz (t*m)
1	0,727	-4,285	20,265	17,017	0,718	-0,212
2	0,431	-1,480	-0,168	0,000	0,000	0,021
3	0,462	-6,322	43,712	3,828	0,559	0,089
4	0,101	-2,853	-0,163	0,000	0,000	-0,047
5	-0,039	-3,363	42,520	3,817	-6,939	-0,674
6	1,269	-0,476	-0,059	0,000	0,000	0,193
7	0,396	-1,429	30,423	2,577	-2,926	-0,288
8	-0,992	0,639	-0,108	0,000	0,000	0,168
9	0,009	-3,560	38,739	3,953	-6,016	-0,714
10	0,458	1,033	0,000	0,000	0,000	0,307
11	0,817	-2,791	40,891	3,454	-6,546	-0,560
12	0,257	-0,690	-0,112	0,000	0,000	0,150
13	2,068	-1,181	31,454	2,423	8,958	0,235
14	-0,226	-0,927	-0,159	0,000	0,000	-0,038

## EQUILIBRI NODALI COMBINAZIONE 29

Nodo 3D	Fx (t)	Fy (t)	Fz (t)	Mx (t*m)	My (t*m)	Mz (t*m)
15	3,100	-3,462	45,670	3,896	12,031	0,690
16	0,040	-0,649	0,000	0,000	0,000	-0,196
17	3,104	-2,904	45,100	3,535	12,240	0,579
18	-1,362	-0,388	-0,194	0,000	0,000	-0,205
19	0,572	-14,647	20,390	19,758	0,679	0,170
20	0,584	4,857	-0,229	0,000	0,000	-0,020
21	1,171	-5,031	67,280	4,919	-11,253	-1,008
22	-0,078	0,853	-3,710	0,000	0,000	0,364
23	0,371	-3,032	39,299	3,627	-6,677	-0,614
24	0,462	1,573	-0,194	0,000	0,000	0,387
25	0,621	-14,996	23,448	19,103	0,707	0,183
26	-0,110	5,863	-0,229	0,000	0,000	-0,030
27	3,732	-5,113	65,440	4,992	16,605	1,023
28	-1,581	0,817	-3,010	0,000	0,000	-0,363
29	3,107	-3,072	40,589	3,673	11,430	0,607
30	-1,483	1,627	-0,194	0,000	0,000	-0,399
31	0,011	-1,296	36,131	2,563	-4,490	-0,269
32	-0,725	-1,147	-0,256	0,000	0,000	0,055
33	-0,144	-3,606	45,371	4,058	-7,795	-0,730
34	0,899	-0,888	0,000	0,000	0,000	0,202
35	0,474	-3,004	48,514	3,666	-8,207	-0,610
36	0,351	-0,603	-0,278	0,000	0,000	0,221
37	1,973	-1,632	37,827	2,815	10,109	0,317
38	-0,252	0,832	-0,254	0,000	0,000	-0,203
39	2,517	-3,794	38,561	4,212	10,680	0,750
40	-1,437	1,354	0,000	0,000	0,000	-0,342
41	2,878	-2,941	50,870	3,657	13,313	0,579
42	-1,408	-1,018	-0,279	0,000	0,000	-0,169
43	-0,145	-5,178	19,207	15,161	0,147	0,026
44	-0,155	2,713	-0,222	0,000	0,000	-0,004
45	0,514	-7,377	38,793	5,933	0,636	0,119
46	0,149	3,285	-0,163	0,000	0,000	-0,054
47	1,766	-3,649	41,322	4,153	10,871	0,720
48	-0,167	-1,007	-0,227	0,000	0,000	-0,240
51	0,125	1,616	0,000	0,000	0,000	-0,009
52	-0,131	-1,778	-0,142	0,000	0,000	0,008
53	-0,508	-0,706	-0,059	0,000	0,000	-0,109
54	0,070	0,688	-0,176	0,000	0,000	0,107
55	-0,232	0,957	-0,166	0,000	0,000	0,148
56	-0,603	-0,702	-0,111	0,000	0,000	-0,109
57	-0,160	0,360	-0,206	0,000	0,000	0,100
58	-0,383	-0,740	-0,157	0,000	0,000	0,109
59	-0,664	-0,510	-0,192	0,000	0,000	0,073
60	-0,091	8,854	-0,229	0,000	0,000	-0,009
61	-0,529	0,892	-3,864	0,000	0,000	0,139
62	-0,649	1,176	-0,216	0,000	0,000	0,179
63	0,022	9,179	-0,362	0,000	0,000	0,025
64	-0,885	0,953	-3,864	0,000	0,000	-0,142
65	-0,761	1,203	-0,216	0,000	0,000	-0,172
66	0,249	0,458	-0,247	0,000	0,000	0,083
67	-0,613	-0,818	-0,157	0,000	0,000	-0,135
68	-0,681	0,681	-0,255	0,000	0,000	0,116

## EQUILIBRI NODALI COMBINAZIONE 29

Nodo 3D	Fx (t)	Fy (t)	Fz (t)	Mx (t*m)	My (t*m)	Mz (t*m)
69	-0,168	0,829	-0,275	0,000	0,000	-0,115
70	-0,477	1,165	-0,166	0,000	0,000	-0,161
71	-0,863	-0,824	-0,237	0,000	0,000	0,111
72	-0,517	2,463	-0,137	0,000	0,000	0,060
73	-0,192	2,643	-0,142	0,000	0,000	-0,019
74	-0,921	0,700	-0,185	0,000	0,000	-0,091
76	-0,116	1,928	0,000	0,000	0,000	0,083
77	-0,116	3,463	-0,142	0,000	0,000	-0,028
78	-0,461	1,284	-0,059	0,000	0,000	0,315
79	-0,168	0,394	-0,176	0,000	0,000	0,061
80	-0,393	1,206	-0,166	0,000	0,000	0,233
81	-0,734	0,967	-0,111	0,000	0,000	0,268
82	-0,525	1,112	-0,206	0,000	0,000	-0,197
83	-0,655	1,531	-0,157	0,000	0,000	-0,338
84	-1,184	0,973	-0,192	0,000	0,000	-0,233
85	-0,021	7,779	-3,939	0,000	0,000	0,012
86	-0,386	1,188	-2,184	0,000	0,000	0,313
87	-0,626	0,226	-0,216	0,000	0,000	0,058
88	-0,037	7,255	-3,939	0,000	0,000	0,009
89	-1,041	1,338	-3,864	0,000	0,000	-0,318
90	-1,083	0,252	-0,216	0,000	0,000	-0,045
91	-0,047	1,220	-0,247	0,000	0,000	0,229
92	-0,412	1,666	-0,157	0,000	0,000	0,372
93	-0,640	1,090	-0,255	0,000	0,000	0,264
94	-0,400	0,538	-0,275	0,000	0,000	-0,058
95	-0,590	1,412	-0,166	0,000	0,000	-0,239
96	-1,072	1,170	-0,237	0,000	0,000	-0,273
97	0,028	2,654	-0,137	0,000	0,000	-0,014
98	-0,325	4,300	-0,142	0,000	0,000	-0,023
99	-0,551	1,589	-0,185	0,000	0,000	-0,335
101	-0,944	1,642	-0,008	0,000	0,000	0,085
102	-0,396	3,158	-0,137	0,000	0,000	-0,038
103	-0,218	2,592	-0,073	0,000	0,000	0,259
104	-0,808	-0,030	-0,128	0,000	0,000	0,003
105	-0,075	1,207	-0,120	0,000	0,000	0,123
106	-0,164	2,611	-0,128	0,000	0,000	0,263
107	-0,456	0,939	-0,129	0,000	0,000	-0,094
108	-1,217	2,522	-0,114	0,000	0,000	-0,252
109	-1,119	2,077	-0,121	0,000	0,000	-0,207
110	-0,779	0,042	-0,473	0,000	0,000	-0,110
111	-0,360	2,859	-0,108	0,000	0,000	0,290
112	0,016	0,387	-0,115	0,000	0,000	0,046
113	-0,403	-0,136	-0,473	0,000	0,000	-0,117
114	-0,804	2,868	-0,108	0,000	0,000	-0,285
115	-1,035	0,392	-0,115	0,000	0,000	-0,042
116	-0,387	0,991	-0,129	0,000	0,000	0,106
117	0,171	2,562	-0,114	0,000	0,000	0,263
118	-0,254	2,081	-0,121	0,000	0,000	0,215
119	-0,433	0,024	-0,128	0,000	0,000	0,027
120	-0,912	1,220	-0,120	0,000	0,000	-0,116
121	-0,791	2,615	-0,128	0,000	0,000	-0,256
122	0,483	1,853	-0,103	0,000	0,000	-0,048

**EQUILIBRI NODALI COMBINAZIONE 29**

Nodo 3D	Fx (t)	Fy (t)	Fz (t)	Mx (t*m)	My (t*m)	Mz (t*m)
123	-0,070	3,396	-0,137	0,000	0,000	-0,020
124	-0,194	2,667	-0,073	0,000	0,000	-0,260

**EQUILIBRI NODALI COMBINAZIONE 30**

Nodo 3D	Fx (t)	Fy (t)	Fz (t)	Mx (t*m)	My (t*m)	Mz (t*m)
1	1,281	4,234	39,651	0,395	1,397	-0,150
2	-0,045	2,441	-0,168	0,000	0,000	0,112
3	0,792	6,790	46,585	-19,614	0,842	0,200
4	0,265	1,442	-0,163	0,000	0,000	0,019
5	0,481	1,078	19,987	-1,939	-2,966	0,240
6	0,621	0,881	-0,059	0,000	0,000	-0,044
7	2,332	2,980	38,433	-3,271	-4,753	0,621
8	0,809	-1,649	-0,108	0,000	0,000	-0,370
9	0,555	2,504	48,569	-2,965	-7,891	0,526
10	-0,113	-0,234	0,000	0,000	0,000	-0,099
11	-0,109	1,138	24,242	-2,080	-3,931	0,253
12	-0,402	0,741	-0,112	0,000	0,000	-0,071
13	4,319	2,796	40,803	-3,241	13,559	-0,534
14	-2,108	0,369	-0,159	0,000	0,000	0,218
15	2,619	2,735	46,309	-3,205	12,663	-0,522
16	-0,532	0,849	0,000	0,000	0,000	0,141
17	1,587	1,267	30,097	-2,255	7,518	-0,228
18	-0,625	0,929	-0,194	0,000	0,000	0,057
19	1,474	15,784	60,553	-43,700	1,730	0,501
20	-0,094	-4,917	-0,229	0,000	0,000	0,247
21	2,239	4,835	36,251	-4,680	-4,394	0,993
22	-0,867	-1,272	-3,710	0,000	0,000	-0,389
23	-0,619	1,343	34,510	-2,425	-6,028	0,291
24	-0,192	-0,649	-0,194	0,000	0,000	-0,137
25	1,796	16,827	65,733	-47,141	1,940	0,598
26	0,674	-4,365	-0,229	0,000	0,000	0,279
27	3,023	5,099	33,378	-4,943	10,050	-0,985
28	-0,902	-1,395	-3,010	0,000	0,000	0,472
29	1,630	1,470	34,943	-2,599	8,471	-0,270
30	-0,770	-0,678	-0,194	0,000	0,000	0,198
31	2,157	3,258	46,794	-3,900	-6,360	0,684
32	1,103	0,381	-0,256	0,000	0,000	-0,250
33	0,518	3,453	46,276	-4,030	-7,170	0,723
34	1,464	0,854	0,000	0,000	0,000	-0,184
35	-0,430	1,770	32,487	-2,941	-5,804	0,386
36	-0,329	0,949	-0,278	0,000	0,000	-0,089
37	4,787	3,818	47,232	-4,381	15,193	-0,731
38	-2,180	-2,076	-0,254	0,000	0,000	0,523
39	2,973	3,693	49,909	-4,302	13,256	-0,707
40	-0,889	-0,455	0,000	0,000	0,000	0,233
41	1,251	1,951	30,733	-3,173	7,445	-0,358
42	-0,683	0,866	-0,279	0,000	0,000	0,146
43	0,804	6,981	39,273	-8,613	1,097	-0,118
44	0,348	-3,812	-0,222	0,000	0,000	0,098
45	0,247	10,656	42,013	-25,569	0,448	0,071
46	-0,010	-3,793	-0,163	0,000	0,000	0,016

## EQUILIBRI NODALI COMBINAZIONE 30

Nodo 3D	Fx (t)	Fy (t)	Fz (t)	Mx (t*m)	My (t*m)	Mz (t*m)
47	0,205	2,399	16,719	-3,598	4,146	-0,447
48	0,571	1,045	-0,227	0,000	0,000	0,162
51	-0,240	-1,391	0,000	0,000	0,000	0,017
52	-0,009	1,752	-0,142	0,000	0,000	-0,039
53	-0,058	0,442	-0,059	0,000	0,000	0,067
54	-1,093	-1,125	-0,176	0,000	0,000	-0,176
55	-0,560	-0,332	-0,166	0,000	0,000	-0,056
56	-0,107	0,405	-0,111	0,000	0,000	0,062
57	-1,339	-0,683	-0,206	0,000	0,000	-0,053
58	-0,787	0,641	-0,157	0,000	0,000	-0,095
59	-0,106	0,576	-0,192	0,000	0,000	-0,085
60	-0,651	-8,457	-0,229	0,000	0,000	-0,231
61	-0,998	-1,174	-3,864	0,000	0,000	-0,186
62	-0,156	-0,648	-0,216	0,000	0,000	-0,109
63	-0,555	-9,039	-0,362	0,000	0,000	-0,202
64	-0,511	-1,225	-3,864	0,000	0,000	0,170
65	-0,254	-0,709	-0,216	0,000	0,000	0,102
66	-0,913	-0,792	-0,247	0,000	0,000	-0,134
67	-0,231	0,736	-0,157	0,000	0,000	0,122
68	-0,221	-0,596	-0,255	0,000	0,000	-0,104
69	-1,360	-1,527	-0,275	0,000	0,000	0,216
70	-0,793	-0,636	-0,166	0,000	0,000	0,080
71	-0,347	0,571	-0,237	0,000	0,000	-0,074
72	-0,179	-2,543	-0,137	0,000	0,000	0,035
73	-0,323	-2,692	-0,142	0,000	0,000	-0,067
74	-0,406	-0,947	-0,185	0,000	0,000	0,127
76	-0,553	-2,420	0,000	0,000	0,000	0,056
77	-0,259	-3,650	-0,142	0,000	0,000	-0,110
78	-0,014	-1,111	-0,059	0,000	0,000	-0,201
79	-1,468	-0,265	-0,176	0,000	0,000	-0,070
80	-0,706	-1,096	-0,166	0,000	0,000	-0,267
81	-0,108	-1,327	-0,111	0,000	0,000	-0,222
82	-1,755	-0,961	-0,206	0,000	0,000	0,195
83	-0,976	-1,629	-0,157	0,000	0,000	0,293
84	-0,418	-1,212	-0,192	0,000	0,000	0,182
85	-0,716	-4,355	-3,939	0,000	0,000	-0,278
86	-0,806	-1,910	-2,184	0,000	0,000	-0,359
87	0,064	-0,498	-0,216	0,000	0,000	-0,091
88	-0,933	-5,408	-3,939	0,000	0,000	-0,345
89	-0,709	-1,872	-3,864	0,000	0,000	0,312
90	-0,380	-0,493	-0,216	0,000	0,000	0,043
91	-1,539	-1,166	-0,247	0,000	0,000	-0,287
92	-0,749	-1,945	-0,157	0,000	0,000	-0,407
93	-0,021	-1,424	-0,255	0,000	0,000	-0,278
94	-1,848	-0,336	-0,275	0,000	0,000	0,033
95	-0,916	-1,484	-0,166	0,000	0,000	0,289
96	-0,258	-1,713	-0,237	0,000	0,000	0,243
97	-0,491	-3,444	-0,137	0,000	0,000	0,027
98	-0,214	-5,327	-0,142	0,000	0,000	-0,077
99	0,098	-1,714	-0,185	0,000	0,000	0,262
101	-0,634	-1,681	-0,008	0,000	0,000	0,044
102	-0,685	-3,222	-0,137	0,000	0,000	-0,100

**EQUILIBRI NODALI COMBINAZIONE 30**

Nodo 3D	Fx (t)	Fy (t)	Fz (t)	Mx (t*m)	My (t*m)	Mz (t*m)
103	-0,437	-0,568	-0,073	0,000	0,000	-0,074
104	-0,295	-0,360	-0,128	0,000	0,000	-0,057
105	-0,229	-1,933	-0,120	0,000	0,000	-0,209
106	-0,388	-0,320	-0,128	0,000	0,000	-0,048
107	-1,049	-1,785	-0,129	0,000	0,000	0,161
108	-0,714	-1,760	-0,114	0,000	0,000	0,159
109	-0,755	-0,765	-0,121	0,000	0,000	0,059
110	-0,427	-4,867	-0,473	0,000	0,000	-0,322
111	-0,126	-1,352	-0,108	0,000	0,000	-0,155
112	-0,203	0,042	-0,115	0,000	0,000	-0,019
113	-1,224	-5,245	-0,473	0,000	0,000	-0,441
114	-1,061	-1,420	-0,108	0,000	0,000	0,125
115	-0,502	0,039	-0,115	0,000	0,000	-0,018
116	-1,141	-1,927	-0,129	0,000	0,000	-0,216
117	-0,410	-2,037	-0,114	0,000	0,000	-0,227
118	0,209	-0,967	-0,121	0,000	0,000	-0,120
119	-1,335	-0,377	-0,128	0,000	0,000	-0,007
120	-0,761	-2,324	-0,120	0,000	0,000	0,211
121	-0,249	-0,693	-0,128	0,000	0,000	0,048
122	-0,146	-2,145	-0,103	0,000	0,000	-0,015
123	0,246	-4,210	-0,137	0,000	0,000	0,007
124	0,232	-1,120	-0,073	0,000	0,000	0,088

**EQUILIBRI NODALI COMBINAZIONE 31**

Nodo 3D	Fx (t)	Fy (t)	Fz (t)	Mx (t*m)	My (t*m)	Mz (t*m)
1	1,214	4,486	39,742	-0,147	1,320	-0,142
2	-0,046	2,405	-0,168	0,000	0,000	0,104
3	0,791	7,155	46,639	-20,248	0,839	0,194
4	0,267	1,401	-0,163	0,000	0,000	0,014
5	0,592	1,201	19,836	-2,095	-2,722	0,260
6	0,608	0,886	-0,059	0,000	0,000	-0,054
7	2,135	3,061	38,553	-3,377	-5,076	0,632
8	0,837	-1,688	-0,108	0,000	0,000	-0,384
9	0,548	2,616	48,705	-3,091	-7,932	0,543
10	-0,109	-0,249	0,000	0,000	0,000	-0,112
11	0,049	1,211	23,935	-2,181	-3,630	0,262
12	-0,416	0,748	-0,112	0,000	0,000	-0,078
13	4,138	2,841	40,915	-3,305	13,292	-0,548
14	-2,086	0,370	-0,159	0,000	0,000	0,215
15	2,607	2,804	46,336	-3,284	12,652	-0,541
16	-0,528	0,849	0,000	0,000	0,000	0,139
17	1,736	1,314	30,010	-2,320	7,735	-0,243
18	-0,635	0,929	-0,194	0,000	0,000	0,054
19	1,378	15,899	60,734	-43,936	1,620	0,465
20	-0,109	-4,923	-0,229	0,000	0,000	0,233
21	2,227	4,865	36,172	-4,709	-4,394	0,994
22	-0,860	-1,278	-3,710	0,000	0,000	-0,396
23	-0,464	1,357	34,431	-2,444	-5,774	0,289
24	-0,205	-0,656	-0,194	0,000	0,000	-0,144
25	1,699	16,713	65,552	-46,905	1,830	0,562
26	0,658	-4,359	-0,229	0,000	0,000	0,265

## EQUILIBRI NODALI COMBINAZIONE 31

Nodo 3D	Fx (t)	Fy (t)	Fz (t)	Mx (t*m)	My (t*m)	Mz (t*m)
27	3,010	5,070	33,457	-4,914	10,049	-0,984
28	-0,895	-1,390	-3,010	0,000	0,000	0,464
29	1,785	1,456	35,022	-2,581	8,724	-0,272
30	-0,783	-0,672	-0,194	0,000	0,000	0,192
31	1,976	3,213	46,681	-3,837	-6,628	0,670
32	1,125	0,380	-0,256	0,000	0,000	-0,252
33	0,506	3,385	46,249	-3,951	-7,180	0,704
34	1,468	0,855	0,000	0,000	0,000	-0,185
35	-0,280	1,723	32,574	-2,876	-5,587	0,372
36	-0,339	0,948	-0,278	0,000	0,000	-0,092
37	4,590	3,738	47,112	-4,275	14,870	-0,721
38	-2,152	-2,036	-0,254	0,000	0,000	0,508
39	2,965	3,582	49,774	-4,176	13,215	-0,690
40	-0,885	-0,440	0,000	0,000	0,000	0,220
41	1,408	1,878	31,040	-3,072	7,745	-0,348
42	-0,697	0,858	-0,279	0,000	0,000	0,138
43	0,737	6,729	39,182	-8,071	1,020	-0,110
44	0,347	-3,776	-0,222	0,000	0,000	0,090
45	0,247	10,291	41,959	-24,936	0,445	0,066
46	-0,008	-3,753	-0,163	0,000	0,000	0,011
47	0,316	2,276	16,869	-3,443	4,389	-0,428
48	0,559	1,040	-0,227	0,000	0,000	0,151
51	-0,231	-1,475	0,000	0,000	0,000	0,017
52	-0,008	1,680	-0,142	0,000	0,000	-0,037
53	-0,087	0,422	-0,059	0,000	0,000	0,066
54	-1,060	-1,162	-0,176	0,000	0,000	-0,180
55	-0,557	-0,359	-0,166	0,000	0,000	-0,059
56	-0,131	0,392	-0,111	0,000	0,000	0,061
57	-1,308	-0,692	-0,206	0,000	0,000	-0,051
58	-0,785	0,632	-0,157	0,000	0,000	-0,092
59	-0,127	0,567	-0,192	0,000	0,000	-0,082
60	-0,635	-8,523	-0,229	0,000	0,000	-0,224
61	-0,995	-1,182	-3,864	0,000	0,000	-0,186
62	-0,179	-0,655	-0,216	0,000	0,000	-0,108
63	-0,538	-8,973	-0,362	0,000	0,000	-0,195
64	-0,507	-1,218	-3,864	0,000	0,000	0,170
65	-0,277	-0,702	-0,216	0,000	0,000	0,102
66	-0,882	-0,783	-0,247	0,000	0,000	-0,131
67	-0,229	0,746	-0,157	0,000	0,000	0,124
68	-0,242	-0,587	-0,255	0,000	0,000	-0,102
69	-1,327	-1,489	-0,275	0,000	0,000	0,212
70	-0,790	-0,610	-0,166	0,000	0,000	0,077
71	-0,370	0,584	-0,237	0,000	0,000	-0,075
72	-0,169	-2,460	-0,137	0,000	0,000	0,035
73	-0,321	-2,621	-0,142	0,000	0,000	-0,066
74	-0,436	-0,927	-0,185	0,000	0,000	0,126
76	-0,527	-2,496	0,000	0,000	0,000	0,055
77	-0,258	-3,790	-0,142	0,000	0,000	-0,106
78	-0,052	-1,160	-0,059	0,000	0,000	-0,207
79	-1,389	-0,267	-0,176	0,000	0,000	-0,065
80	-0,702	-1,127	-0,166	0,000	0,000	-0,269
81	-0,173	-1,359	-0,111	0,000	0,000	-0,224

**EQUILIBRI NODALI COMBINAZIONE 31**

Nodo 3D	Fx (t)	Fy (t)	Fz (t)	Mx (t*m)	My (t*m)	Mz (t*m)
82	-1,680	-0,978	-0,206	0,000	0,000	0,204
83	-0,972	-1,656	-0,157	0,000	0,000	0,304
84	-0,480	-1,230	-0,192	0,000	0,000	0,191
85	-0,680	-4,381	-3,939	0,000	0,000	-0,261
86	-0,802	-1,917	-2,184	0,000	0,000	-0,356
87	0,000	-0,498	-0,216	0,000	0,000	-0,087
88	-0,897	-5,381	-3,939	0,000	0,000	-0,328
89	-0,705	-1,865	-3,864	0,000	0,000	0,315
90	-0,444	-0,492	-0,216	0,000	0,000	0,048
91	-1,464	-1,149	-0,247	0,000	0,000	-0,279
92	-0,744	-1,917	-0,157	0,000	0,000	-0,397
93	-0,083	-1,406	-0,255	0,000	0,000	-0,269
94	-1,770	-0,334	-0,275	0,000	0,000	0,037
95	-0,912	-1,452	-0,166	0,000	0,000	0,287
96	-0,324	-1,682	-0,237	0,000	0,000	0,241
97	-0,465	-3,368	-0,137	0,000	0,000	0,026
98	-0,213	-5,187	-0,142	0,000	0,000	-0,073
99	0,060	-1,665	-0,185	0,000	0,000	0,256
101	-0,602	-1,737	-0,008	0,000	0,000	0,045
102	-0,690	-3,336	-0,137	0,000	0,000	-0,096
103	-0,468	-0,628	-0,073	0,000	0,000	-0,076
104	-0,237	-0,362	-0,128	0,000	0,000	-0,053
105	-0,232	-1,972	-0,120	0,000	0,000	-0,209
106	-0,443	-0,356	-0,128	0,000	0,000	-0,048
107	-0,996	-1,804	-0,129	0,000	0,000	0,167
108	-0,713	-1,792	-0,114	0,000	0,000	0,166
109	-0,810	-0,786	-0,121	0,000	0,000	0,066
110	-0,367	-4,883	-0,473	0,000	0,000	-0,294
111	-0,128	-1,361	-0,108	0,000	0,000	-0,152
112	-0,258	0,042	-0,115	0,000	0,000	-0,015
113	-1,164	-5,228	-0,473	0,000	0,000	-0,413
114	-1,064	-1,411	-0,108	0,000	0,000	0,129
115	-0,558	0,040	-0,115	0,000	0,000	-0,014
116	-1,087	-1,908	-0,129	0,000	0,000	-0,210
117	-0,408	-2,006	-0,114	0,000	0,000	-0,220
118	0,154	-0,947	-0,121	0,000	0,000	-0,114
119	-1,277	-0,375	-0,128	0,000	0,000	-0,003
120	-0,764	-2,286	-0,120	0,000	0,000	0,211
121	-0,304	-0,657	-0,128	0,000	0,000	0,049
122	-0,113	-2,089	-0,103	0,000	0,000	-0,014
123	0,241	-4,096	-0,137	0,000	0,000	0,011
124	0,201	-1,060	-0,073	0,000	0,000	0,087

**EQUILIBRI NODALI COMBINAZIONE 32**

Nodo 3D	Fx (t)	Fy (t)	Fz (t)	Mx (t*m)	My (t*m)	Mz (t*m)
1	0,732	6,298	40,397	-4,052	0,766	-0,083
2	-0,055	2,146	-0,168	0,000	0,000	0,046
3	0,790	9,788	47,027	-24,812	0,815	0,156
4	0,282	1,110	-0,163	0,000	0,000	-0,019
5	1,393	2,086	18,755	-3,214	-0,968	0,399
6	0,516	0,925	-0,059	0,000	0,000	-0,128

## EQUILIBRI NODALI COMBINAZIONE 32

Nodo 3D	Fx (t)	Fy (t)	Fz (t)	Mx (t*m)	My (t*m)	Mz (t*m)
7	0,714	3,643	39,415	-4,142	-7,401	0,711
8	1,042	-1,972	-0,108	0,000	0,000	-0,492
9	0,494	3,420	49,683	-3,999	-8,226	0,666
10	-0,081	-0,358	0,000	0,000	0,000	-0,204
11	1,182	1,739	21,723	-2,911	-1,467	0,330
12	-0,519	0,801	-0,112	0,000	0,000	-0,132
13	2,835	3,164	41,729	-3,762	11,367	-0,651
14	-1,928	0,374	-0,159	0,000	0,000	0,195
15	2,523	3,298	46,530	-3,853	12,576	-0,678
16	-0,497	0,848	0,000	0,000	0,000	0,129
17	2,816	1,653	29,382	-2,788	9,301	-0,349
18	-0,709	0,935	-0,194	0,000	0,000	0,035
19	0,681	16,727	62,036	-45,641	0,827	0,204
20	-0,220	-4,967	-0,229	0,000	0,000	0,128
21	2,139	5,080	35,602	-4,918	-4,398	0,999
22	-0,812	-1,319	-3,710	0,000	0,000	-0,448
23	0,653	1,458	33,865	-2,579	-3,949	0,271
24	-0,301	-0,700	-0,194	0,000	0,000	-0,191
25	1,002	15,885	64,249	-45,199	1,037	0,301
26	0,548	-4,315	-0,229	0,000	0,000	0,160
27	2,922	4,855	34,027	-4,706	10,045	-0,979
28	-0,848	-1,349	-3,010	0,000	0,000	0,412
29	2,902	1,355	35,588	-2,446	10,549	-0,290
30	-0,879	-0,627	-0,194	0,000	0,000	0,145
31	0,673	2,890	45,868	-3,379	-8,553	0,567
32	1,282	0,376	-0,256	0,000	0,000	-0,272
33	0,422	2,890	46,055	-3,383	-7,257	0,567
34	1,499	0,855	0,000	0,000	0,000	-0,196
35	0,799	1,384	33,203	-2,408	-4,022	0,266
36	-0,413	0,943	-0,278	0,000	0,000	-0,111
37	3,169	3,155	46,249	-3,510	12,545	-0,642
38	-1,947	-1,752	-0,254	0,000	0,000	0,401
39	2,912	2,777	48,796	-3,268	12,921	-0,567
40	-0,857	-0,330	0,000	0,000	0,000	0,128
41	2,542	1,350	33,253	-2,343	9,908	-0,281
42	-0,799	0,806	-0,279	0,000	0,000	0,084
43	0,254	4,917	38,527	-4,166	0,467	-0,051
44	0,338	-3,517	-0,222	0,000	0,000	0,032
45	0,245	7,658	41,572	-20,372	0,421	0,028
46	0,007	-3,462	-0,163	0,000	0,000	-0,022
47	1,117	1,392	17,950	-2,324	6,144	-0,289
48	0,466	1,002	-0,227	0,000	0,000	0,078
51	-0,165	-2,078	0,000	0,000	0,000	0,015
52	0,004	1,167	-0,142	0,000	0,000	-0,027
53	-0,303	0,278	-0,059	0,000	0,000	0,053
54	-0,825	-1,430	-0,176	0,000	0,000	-0,212
55	-0,542	-0,549	-0,166	0,000	0,000	-0,079
56	-0,300	0,300	-0,111	0,000	0,000	0,056
57	-1,085	-0,756	-0,206	0,000	0,000	-0,032
58	-0,777	0,565	-0,157	0,000	0,000	-0,074
59	-0,283	0,503	-0,192	0,000	0,000	-0,064
60	-0,515	-8,995	-0,229	0,000	0,000	-0,173

## EQUILIBRI NODALI COMBINAZIONE 32

Nodo 3D	Fx (t)	Fy (t)	Fz (t)	Mx (t*m)	My (t*m)	Mz (t*m)
61	-0,968	-1,237	-3,864	0,000	0,000	-0,186
62	-0,345	-0,705	-0,216	0,000	0,000	-0,107
63	-0,418	-8,501	-0,362	0,000	0,000	-0,144
64	-0,480	-1,163	-3,864	0,000	0,000	0,170
65	-0,442	-0,653	-0,216	0,000	0,000	0,103
66	-0,660	-0,719	-0,247	0,000	0,000	-0,113
67	-0,221	0,812	-0,157	0,000	0,000	0,143
68	-0,398	-0,523	-0,255	0,000	0,000	-0,083
69	-1,092	-1,222	-0,275	0,000	0,000	0,180
70	-0,775	-0,420	-0,166	0,000	0,000	0,058
71	-0,540	0,676	-0,237	0,000	0,000	-0,080
72	-0,103	-1,857	-0,137	0,000	0,000	0,033
73	-0,310	-2,107	-0,142	0,000	0,000	-0,056
74	-0,651	-0,783	-0,185	0,000	0,000	0,113
76	-0,336	-3,043	0,000	0,000	0,000	0,048
77	-0,249	-4,795	-0,142	0,000	0,000	-0,073
78	-0,324	-1,512	-0,059	0,000	0,000	-0,248
79	-0,825	-0,283	-0,176	0,000	0,000	-0,035
80	-0,672	-1,352	-0,166	0,000	0,000	-0,284
81	-0,642	-1,586	-0,111	0,000	0,000	-0,238
82	-1,140	-1,100	-0,206	0,000	0,000	0,262
83	-0,940	-1,856	-0,157	0,000	0,000	0,378
84	-0,931	-1,362	-0,192	0,000	0,000	0,251
85	-0,424	-4,573	-3,939	0,000	0,000	-0,144
86	-0,772	-1,969	-2,184	0,000	0,000	-0,334
87	-0,460	-0,500	-0,216	0,000	0,000	-0,054
88	-0,641	-5,189	-3,939	0,000	0,000	-0,211
89	-0,676	-1,813	-3,864	0,000	0,000	0,338
90	-0,904	-0,490	-0,216	0,000	0,000	0,081
91	-0,925	-1,027	-0,247	0,000	0,000	-0,220
92	-0,713	-1,717	-0,157	0,000	0,000	-0,322
93	-0,534	-1,274	-0,255	0,000	0,000	-0,209
94	-1,205	-0,317	-0,275	0,000	0,000	0,067
95	-0,882	-1,227	-0,166	0,000	0,000	0,272
96	-0,793	-1,454	-0,237	0,000	0,000	0,227
97	-0,274	-2,821	-0,137	0,000	0,000	0,019
98	-0,204	-4,182	-0,142	0,000	0,000	-0,040
99	-0,212	-1,313	-0,185	0,000	0,000	0,215
101	-0,368	-2,140	-0,008	0,000	0,000	0,053
102	-0,723	-4,158	-0,137	0,000	0,000	-0,068
103	-0,689	-1,054	-0,073	0,000	0,000	-0,087
104	0,179	-0,376	-0,128	0,000	0,000	-0,023
105	-0,252	-2,252	-0,120	0,000	0,000	-0,205
106	-0,835	-0,617	-0,128	0,000	0,000	-0,043
107	-0,612	-1,945	-0,129	0,000	0,000	0,213
108	-0,700	-2,019	-0,114	0,000	0,000	0,220
109	-1,210	-0,934	-0,121	0,000	0,000	0,112
110	0,065	-5,003	-0,473	0,000	0,000	-0,096
111	-0,144	-1,428	-0,108	0,000	0,000	-0,127
112	-0,654	0,037	-0,115	0,000	0,000	0,016
113	-0,733	-5,108	-0,473	0,000	0,000	-0,215
114	-1,079	-1,344	-0,108	0,000	0,000	0,153

**EQUILIBRI NODALI COMBINAZIONE 32**

Nodo 3D	Fx (t)	Fy (t)	Fz (t)	Mx (t*m)	My (t*m)	Mz (t*m)
115	-0,954	0,044	-0,115	0,000	0,000	0,017
116	-0,703	-1,767	-0,129	0,000	0,000	-0,165
117	-0,395	-1,779	-0,114	0,000	0,000	-0,166
118	-0,246	-0,798	-0,121	0,000	0,000	-0,068
119	-0,861	-0,361	-0,128	0,000	0,000	0,027
120	-0,785	-2,006	-0,120	0,000	0,000	0,214
121	-0,696	-0,397	-0,128	0,000	0,000	0,054
122	0,121	-1,686	-0,103	0,000	0,000	-0,006
123	0,208	-3,274	-0,137	0,000	0,000	0,039
124	-0,020	-0,633	-0,073	0,000	0,000	0,075

**EQUILIBRI NODALI COMBINAZIONE 33**

Nodo 3D	Fx (t)	Fy (t)	Fz (t)	Mx (t*m)	My (t*m)	Mz (t*m)
1	0,665	6,549	40,488	-4,594	0,690	-0,075
2	-0,056	2,110	-0,168	0,000	0,000	0,038
3	0,789	10,153	47,080	-25,445	0,812	0,151
4	0,284	1,069	-0,163	0,000	0,000	-0,024
5	1,504	2,209	18,605	-3,369	-0,724	0,418
6	0,503	0,930	-0,059	0,000	0,000	-0,139
7	0,517	3,724	39,535	-4,248	-7,723	0,721
8	1,070	-2,012	-0,108	0,000	0,000	-0,506
9	0,487	3,532	49,819	-4,125	-8,266	0,683
10	-0,077	-0,374	0,000	0,000	0,000	-0,216
11	1,340	1,813	21,415	-3,012	-1,167	0,339
12	-0,533	0,808	-0,112	0,000	0,000	-0,140
13	2,654	3,209	41,842	-3,826	11,100	-0,665
14	-1,907	0,374	-0,159	0,000	0,000	0,192
15	2,511	3,367	46,557	-3,931	12,565	-0,697
16	-0,493	0,848	0,000	0,000	0,000	0,127
17	2,966	1,700	29,295	-2,853	9,518	-0,363
18	-0,719	0,935	-0,194	0,000	0,000	0,032
19	0,584	16,842	62,217	-45,878	0,717	0,167
20	-0,235	-4,973	-0,229	0,000	0,000	0,113
21	2,126	5,110	35,523	-4,947	-4,399	0,999
22	-0,806	-1,325	-3,710	0,000	0,000	-0,456
23	0,808	1,472	33,787	-2,598	-3,696	0,268
24	-0,314	-0,707	-0,194	0,000	0,000	-0,198
25	0,906	15,770	64,069	-44,963	0,927	0,265
26	0,533	-4,309	-0,229	0,000	0,000	0,146
27	2,910	4,825	34,106	-4,677	10,045	-0,979
28	-0,841	-1,343	-3,010	0,000	0,000	0,405
29	3,057	1,341	35,666	-2,427	10,803	-0,292
30	-0,892	-0,621	-0,194	0,000	0,000	0,138
31	0,492	2,845	45,755	-3,315	-8,820	0,553
32	1,304	0,376	-0,256	0,000	0,000	-0,275
33	0,410	2,822	46,028	-3,304	-7,267	0,548
34	1,503	0,855	0,000	0,000	0,000	-0,197
35	0,949	1,337	33,290	-2,343	-3,804	0,251
36	-0,423	0,942	-0,278	0,000	0,000	-0,114
37	2,972	3,074	46,129	-3,404	12,222	-0,631
38	-1,919	-1,713	-0,254	0,000	0,000	0,386

## EQUILIBRI NODALI COMBINAZIONE 33

Nodo 3D	Fx (t)	Fy (t)	Fz (t)	Mx (t*m)	My (t*m)	Mz (t*m)
39	2,905	2,665	48,660	-3,142	12,880	-0,549
40	-0,853	-0,315	0,000	0,000	0,000	0,116
41	2,699	1,276	33,560	-2,241	10,208	-0,271
42	-0,813	0,799	-0,279	0,000	0,000	0,077
43	0,187	4,666	38,436	-3,624	0,390	-0,043
44	0,337	-3,481	-0,222	0,000	0,000	0,024
45	0,245	7,293	41,518	-19,738	0,418	0,023
46	0,009	-3,421	-0,163	0,000	0,000	-0,026
47	1,229	1,269	18,100	-2,168	6,387	-0,270
48	0,454	0,996	-0,227	0,000	0,000	0,067
51	-0,155	-2,161	0,000	0,000	0,000	0,015
52	0,005	1,096	-0,142	0,000	0,000	-0,025
53	-0,333	0,258	-0,059	0,000	0,000	0,051
54	-0,792	-1,467	-0,176	0,000	0,000	-0,216
55	-0,539	-0,575	-0,166	0,000	0,000	-0,082
56	-0,324	0,287	-0,111	0,000	0,000	0,055
57	-1,055	-0,765	-0,206	0,000	0,000	-0,030
58	-0,776	0,556	-0,157	0,000	0,000	-0,071
59	-0,304	0,494	-0,192	0,000	0,000	-0,061
60	-0,498	-9,061	-0,229	0,000	0,000	-0,166
61	-0,965	-1,245	-3,864	0,000	0,000	-0,185
62	-0,368	-0,712	-0,216	0,000	0,000	-0,107
63	-0,402	-8,435	-0,362	0,000	0,000	-0,137
64	-0,477	-1,155	-3,864	0,000	0,000	0,170
65	-0,465	-0,646	-0,216	0,000	0,000	0,103
66	-0,629	-0,710	-0,247	0,000	0,000	-0,110
67	-0,220	0,821	-0,157	0,000	0,000	0,146
68	-0,419	-0,514	-0,255	0,000	0,000	-0,081
69	-1,059	-1,185	-0,275	0,000	0,000	0,176
70	-0,772	-0,393	-0,166	0,000	0,000	0,055
71	-0,563	0,689	-0,237	0,000	0,000	-0,081
72	-0,094	-1,773	-0,137	0,000	0,000	0,033
73	-0,308	-2,036	-0,142	0,000	0,000	-0,054
74	-0,681	-0,763	-0,185	0,000	0,000	0,111
76	-0,309	-3,119	0,000	0,000	0,000	0,047
77	-0,248	-4,935	-0,142	0,000	0,000	-0,068
78	-0,362	-1,561	-0,059	0,000	0,000	-0,254
79	-0,747	-0,286	-0,176	0,000	0,000	-0,031
80	-0,668	-1,384	-0,166	0,000	0,000	-0,286
81	-0,707	-1,618	-0,111	0,000	0,000	-0,240
82	-1,065	-1,117	-0,206	0,000	0,000	0,270
83	-0,936	-1,884	-0,157	0,000	0,000	0,389
84	-0,993	-1,380	-0,192	0,000	0,000	0,259
85	-0,388	-4,600	-3,939	0,000	0,000	-0,128
86	-0,768	-1,976	-2,184	0,000	0,000	-0,331
87	-0,523	-0,501	-0,216	0,000	0,000	-0,049
88	-0,605	-5,162	-3,939	0,000	0,000	-0,195
89	-0,671	-1,806	-3,864	0,000	0,000	0,341
90	-0,967	-0,490	-0,216	0,000	0,000	0,085
91	-0,850	-1,010	-0,247	0,000	0,000	-0,212
92	-0,708	-1,690	-0,157	0,000	0,000	-0,312
93	-0,596	-1,256	-0,255	0,000	0,000	-0,200

## EQUILIBRI NODALI COMBINAZIONE 33

Nodo 3D	Fx (t)	Fy (t)	Fz (t)	Mx (t*m)	My (t*m)	Mz (t*m)
94	-1,127	-0,315	-0,275	0,000	0,000	0,071
95	-0,878	-1,196	-0,166	0,000	0,000	0,270
96	-0,858	-1,422	-0,237	0,000	0,000	0,225
97	-0,247	-2,745	-0,137	0,000	0,000	0,018
98	-0,203	-4,042	-0,142	0,000	0,000	-0,035
99	-0,250	-1,264	-0,185	0,000	0,000	0,210
101	-0,335	-2,196	-0,008	0,000	0,000	0,054
102	-0,728	-4,272	-0,137	0,000	0,000	-0,064
103	-0,720	-1,114	-0,073	0,000	0,000	-0,089
104	0,237	-0,378	-0,128	0,000	0,000	-0,019
105	-0,255	-2,291	-0,120	0,000	0,000	-0,205
106	-0,889	-0,653	-0,128	0,000	0,000	-0,042
107	-0,558	-1,964	-0,129	0,000	0,000	0,219
108	-0,698	-2,051	-0,114	0,000	0,000	0,228
109	-1,266	-0,955	-0,121	0,000	0,000	0,118
110	0,125	-5,020	-0,473	0,000	0,000	-0,068
111	-0,146	-1,437	-0,108	0,000	0,000	-0,124
112	-0,709	0,037	-0,115	0,000	0,000	0,020
113	-0,673	-5,091	-0,473	0,000	0,000	-0,188
114	-1,081	-1,335	-0,108	0,000	0,000	0,156
115	-1,009	0,045	-0,115	0,000	0,000	0,021
116	-0,650	-1,748	-0,129	0,000	0,000	-0,159
117	-0,393	-1,747	-0,114	0,000	0,000	-0,158
118	-0,301	-0,778	-0,121	0,000	0,000	-0,062
119	-0,803	-0,358	-0,128	0,000	0,000	0,031
120	-0,788	-1,967	-0,120	0,000	0,000	0,215
121	-0,750	-0,361	-0,128	0,000	0,000	0,054
122	0,153	-1,630	-0,103	0,000	0,000	-0,005
123	0,203	-3,160	-0,137	0,000	0,000	0,043
124	-0,051	-0,574	-0,073	0,000	0,000	0,074

## SPOSTAMENTI S.L.V. PER GIUNTI SISMICI (NTC 7.3.3.3)

Sisma Direzione X  $\mu d=6$ - Direzione Y  $\mu d=4.59$ 

IDENTIFICATIVO			SPOSTAMENTI S.L.U.			IDENTIFICATIVO			SPOSTAMENTI S.L.U.		
Filo N.ro	Quota (m)	Nodo3D N.ro	SpMax X (mm)	SpMax Y (mm)	SpMax R (mm)	Filo N.ro	Quota (m)	Nodo3D N.ro	SpMax X (mm)	SpMax Y (mm)	SpMax R (mm)
1	2,00	2	3,28	4,97	5,04	2	2,00	4	3,06	4,97	5,06
3	2,00	6	3,68	4,97	5,10	4	2,00	8	3,28	4,69	4,76
5	2,00	10	3,06	4,69	4,78	6	2,00	12	3,68	4,69	4,82
7	2,00	14	3,28	4,41	4,49	8	2,00	16	3,06	4,41	4,51
9	2,00	18	3,68	4,41	4,55	10	2,00	20	3,28	4,13	4,21
11	2,00	22	3,06	4,13	4,24	12	2,00	24	3,68	4,13	4,28
13	2,00	26	3,28	4,21	4,42	14	2,00	28	3,06	4,21	4,29
15	2,00	30	3,68	4,21	4,49	16	2,00	32	3,28	4,77	4,77
17	2,00	34	3,06	4,77	4,84	18	2,00	36	3,68	4,77	5,02
19	2,00	38	3,28	5,34	5,34	20	2,00	40	3,06	5,34	5,40
21	2,00	42	3,68	5,34	5,56	22	2,00	44	3,28	5,92	5,92
23	2,00	46	3,06	5,92	5,97	24	2,00	48	3,68	5,92	6,11
31	2,00	49	3,06	4,00	4,12	39	2,00	50	3,26	4,94	5,02
1	4,95	51	14,86	23,44	23,73	2	4,95	52	13,98	23,44	23,84
3	4,95	53	16,85	23,44	24,01	4	4,95	54	14,86	22,16	22,46
5	4,95	55	13,98	22,16	22,58	6	4,95	56	16,85	22,16	22,76
7	4,95	57	14,86	20,89	21,21	8	4,95	58	13,98	20,89	21,33
9	4,95	59	16,85	20,89	21,53	10	4,95	60	14,86	19,63	19,96

## SPOSTAMENTI S.L.V. PER GIUNTI SISMICI (NTC 7.3.3.3)

Sisma Direzione X  $\mu d=6$ - Direzione Y  $\mu d=4.59$ 

IDENTIFICATIVO			SPOSTAMENTI S.L.U.			IDENTIFICATIVO			SPOSTAMENTI S.L.U.		
Filo N.ro	Quota (m)	Nodo3D N.ro	SpMax X (mm)	SpMax Y (mm)	SpMax R (mm)	Filo N.ro	Quota (m)	Nodo3D N.ro	SpMax X (mm)	SpMax Y (mm)	SpMax R (mm)
11	4,95	61	13,98	19,63	20,10	12	4,95	62	16,85	19,63	20,31
13	4,95	63	14,86	19,99	20,83	14	4,95	64	13,98	19,99	20,35
15	4,95	65	16,85	19,99	21,19	16	4,95	66	14,86	22,51	22,52
17	4,95	67	13,98	22,51	22,83	18	4,95	68	16,85	22,51	23,58
19	4,95	69	14,86	25,04	25,05	20	4,95	70	13,98	25,04	25,33
21	4,95	71	16,85	25,04	26,01	22	4,95	72	14,86	27,58	27,58
23	4,95	73	13,98	27,58	27,84	24	4,95	74	16,85	27,58	28,46
39	4,95	75	14,79	23,32	23,61	1	7,90	76	24,70	41,85	42,29
2	7,90	77	23,28	41,85	42,47	3	7,90	78	28,20	41,85	42,76
4	7,90	79	24,70	39,67	40,12	5	7,90	80	23,28	39,67	40,32
6	7,90	81	28,20	39,67	40,63	7	7,90	82	24,70	37,50	37,98
8	7,90	83	23,28	37,50	38,19	9	7,90	84	28,20	37,50	38,51
10	7,90	85	24,70	35,35	35,86	11	7,90	86	23,28	35,35	36,08
12	7,90	87	28,20	35,35	36,42	13	7,90	88	24,70	35,88	37,14
14	7,90	89	23,28	35,88	36,45	15	7,90	90	28,20	35,88	37,77
16	7,90	91	24,70	40,09	40,10	17	7,90	92	23,28	40,09	40,60
18	7,90	93	28,20	40,09	41,79	19	7,90	94	24,70	44,32	44,33
20	7,90	95	23,28	44,32	44,78	21	7,90	96	28,20	44,32	45,86
22	7,90	97	24,70	48,56	48,58	23	7,90	98	23,28	48,56	48,99
24	7,90	99	28,20	48,56	49,98	39	7,90	100	24,59	41,65	42,09
1	10,85	101	30,91	54,35	54,86	2	10,85	102	29,26	54,35	55,11
3	10,85	103	35,55	54,35	55,48	4	10,85	104	30,91	51,55	52,09
5	10,85	105	29,26	51,55	52,35	6	10,85	106	35,55	51,55	52,74
7	10,85	107	30,91	48,77	49,33	8	10,85	108	29,26	48,77	49,61
9	10,85	109	35,55	48,77	50,02	10	10,85	110	30,91	46,00	46,61
11	10,85	111	29,26	46,00	46,90	12	10,85	112	35,55	46,00	47,33
13	10,85	113	30,91	46,54	48,04	14	10,85	114	29,26	46,54	47,25
15	10,85	115	35,55	46,54	48,85	16	10,85	116	30,91	51,77	51,79
17	10,85	117	29,26	51,77	52,40	18	10,85	118	35,55	51,77	53,85
19	10,85	119	30,91	57,02	57,04	20	10,85	120	29,26	57,02	57,60
21	10,85	121	35,55	57,02	58,92	22	10,85	122	30,91	62,29	62,31
23	10,85	123	29,26	62,29	62,82	24	10,85	124	35,55	62,29	64,03
39	10,85	125	30,78	54,09	54,61						

## DETTAGLIO GERARCHIA RESISTENZA ASTE

Nodo 3D	Pilas. Infer. Asta3d	Pilas. Super. Asta3d	Comb N.ro	AlfaX	AlfaY	PILASTRO INFERIORE					PILASTRO SUPERIORE				
						N (kg)	Mx (kgm)	My (kgm)	AlfaX*Mx (kgm)	AlfaY*My (kgm)	N (kg)	Mx (kgm)	My (kgm)	AlfaX*Mx (kgm)	AlfaY*My (kgm)
1	1	1	1	0,00	0,00	-38990	1553	461	0	0	-40355	8	211	0	0
			2	0,00	0,00	-14684	2763	-1043	0	0	-15734	-5373	-2114	0	0
			3	0,00	0,00	-14381	2954	-852	0	0	-15431	-7240	-1858	0	0
			4	0,00	0,00	-14460	2904	-902	0	0	-15510	-6752	-1925	0	0
			5	0,00	0,00	-14157	3094	-712	0	0	-15207	-8619	-1669	0	0
			6	0,00	0,00	-20303	1459	-1034	0	0	-21353	-492	-1745	0	0
			7	0,00	0,00	-20000	1649	-843	0	0	-21050	-2359	-1489	0	0
			8	0,00	0,00	-20527	1318	-1174	0	0	-21577	887	-1934	0	0
			9	0,00	0,00	-20224	1509	-984	0	0	-21274	-980	-1678	0	0
			10	0,00	0,00	-32749	416	1702	0	0	-33799	477	2055	0	0
			11	0,00	0,00	-33052	226	1511	0	0	-34102	2344	1799	0	0
			12	0,00	0,00	-32525	557	1842	0	0	-33575	-902	2244	0	0
			13	0,00	0,00	-32828	366	1652	0	0	-33878	965	1988	0	0
			14	0,00	0,00	-38368	-888	1711	0	0	-39418	5357	2425	0	0
			15	0,00	0,00	-38671	-1078	1520	0	0	-39721	7224	2169	0	0
			16	0,00	0,00	-38592	-1028	1570	0	0	-39642	6736	2236	0	0
			17	0,00	0,00	-38895	-1219	1380	0	0	-39945	8603	1980	0	0
			18	0,00	0,00	-14451	3463	-93	0	0	-15501	-9020	-1086	0	0
			19	0,00	0,00	-14361	3520	-36	0	0	-15411	-9580	-1009	0	0
			20	0,00	0,00	-13705	3932	376	0	0	-14755	-13616	-456	0	0
			21	0,00	0,00	-13614	3989	433	0	0	-14664	-14176	-379	0	0
			22	0,00	0,00	-33181	-884	-62	0	0	-34231	7249	146	0	0
			23	0,00	0,00	-33090	-827	-5	0	0	-34140	6689	222	0	0
			24	0,00	0,00	-33928	-1353	-531	0	0	-34978	11846	-484	0	0

## DETTAGLIO GERARCHIA RESISTENZA ASTE

Nodo 3D	Pilas. Infer. Asta3d	Pilas. Super. Asta3d	Comb N.ro	AlfaX	AlfaY	PILASTRO INFERIORE					PILASTRO SUPERIORE				
						N (kg)	Mx (kgm)	My (kgm)	AlfaX*Mx (kgm)	AlfaY*My (kgm)	N (kg)	Mx (kgm)	My (kgm)	AlfaX*Mx (kgm)	AlfaY*My (kgm)
			25	0,00	0,00	-33837	-1295	-474	0	0	-34887	11285	-408	0	0
			26	0,00	0,00	-19871	2759	731	0	0	-20921	-7265	165	0	0
			27	0,00	0,00	-19962	2702	674	0	0	-21012	-6705	88	0	0
			28	0,00	0,00	-19124	3228	1199	0	0	-20174	-11861	795	0	0
			29	0,00	0,00	-19215	3171	1142	0	0	-20265	-11301	718	0	0
			30	0,00	0,00	-38601	-1588	761	0	0	-39651	9004	1397	0	0
			31	0,00	0,00	-38692	-1645	704	0	0	-39742	9564	1320	0	0
			32	0,00	0,00	-39347	-2057	292	0	0	-40397	13600	766	0	0
			33	0,00	0,00	-39438	-2114	235	0	0	-40488	14160	690	0	0

## DETTAGLIO GERARCHIA RESISTENZA ASTE

Nodo 3D	Pilas. Infer. Asta3d	Pilas. Super. Asta3d	Comb N.ro	AlfaX	AlfaY	PILASTRO INFERIORE					PILASTRO SUPERIORE				
						N (kg)	Mx (kgm)	My (kgm)	AlfaX*Mx (kgm)	AlfaY*My (kgm)	N (kg)	Mx (kgm)	My (kgm)	AlfaX*Mx (kgm)	AlfaY*My (kgm)
2	1	64	1	0,00	0,00	-38990	1553	461	0	0	-28822	549	601	0	0
			2	0,00	0,00	-14684	2763	-1043	0	0	-11242	-3309	-2497	0	0
			3	0,00	0,00	-14381	2954	-852	0	0	-11000	-4525	-2160	0	0
			4	0,00	0,00	-14460	2904	-902	0	0	-11063	-4207	-2248	0	0
			5	0,00	0,00	-14157	3094	-712	0	0	-10821	-5423	-1912	0	0
			6	0,00	0,00	-20303	1459	-1034	0	0	-15485	268	-2094	0	0
			7	0,00	0,00	-20000	1649	-843	0	0	-15243	-947	-1758	0	0
			8	0,00	0,00	-20527	1318	-1174	0	0	-15664	1166	-2343	0	0
			9	0,00	0,00	-20224	1509	-984	0	0	-15422	-50	-2006	0	0
			10	0,00	0,00	-32749	416	1702	0	0	-24006	540	2885	0	0
			11	0,00	0,00	-33052	226	1511	0	0	-24248	1756	2549	0	0
			12	0,00	0,00	-32525	557	1842	0	0	-23828	-357	3133	0	0
			13	0,00	0,00	-32828	366	1652	0	0	-24070	858	2797	0	0
			14	0,00	0,00	-38368	-888	1711	0	0	-28250	4118	3287	0	0
			15	0,00	0,00	-38671	-1078	1520	0	0	-28492	5334	2951	0	0
			16	0,00	0,00	-38592	-1028	1570	0	0	-28429	5016	3039	0	0
			17	0,00	0,00	-38895	-1219	1380	0	0	-28671	6231	2702	0	0
			18	0,00	0,00	-14451	3463	-93	0	0	-10758	-6136	-1082	0	0
			19	0,00	0,00	-14361	3520	-36	0	0	-10686	-6501	-981	0	0
			20	0,00	0,00	-13705	3932	376	0	0	-10163	-9129	-254	0	0
			21	0,00	0,00	-13614	3989	433	0	0	-10090	-9493	-153	0	0
			22	0,00	0,00	-33181	-884	-62	0	0	-24904	5790	258	0	0
			23	0,00	0,00	-33090	-827	-5	0	0	-24831	5425	359	0	0
			24	0,00	0,00	-33928	-1353	-531	0	0	-25499	8782	-570	0	0
			25	0,00	0,00	-33837	-1295	-474	0	0	-25426	8418	-469	0	0
			26	0,00	0,00	-19871	2759	731	0	0	-14588	-4981	532	0	0
			27	0,00	0,00	-19962	2702	674	0	0	-14660	-4617	431	0	0
			28	0,00	0,00	-19124	3228	1199	0	0	-13992	-7974	1360	0	0
			29	0,00	0,00	-19215	3171	1142	0	0	-14065	-7609	1259	0	0
			30	0,00	0,00	-38601	-1588	761	0	0	-28733	6945	1873	0	0
			31	0,00	0,00	-38692	-1645	704	0	0	-28806	7309	1772	0	0
			32	0,00	0,00	-39347	-2057	292	0	0	-29328	9937	1045	0	0
			33	0,00	0,00	-39438	-2114	235	0	0	-29401	10302	944	0	0

## DETTAGLIO GERARCHIA RESISTENZA ASTE

Nodo 3D	Pilas. Infer. Asta3d	Pilas. Super. Asta3d	Comb N.ro	AlfaX	AlfaY	PILASTRO INFERIORE					PILASTRO SUPERIORE				
						N (kg)	Mx (kgm)	My (kgm)	AlfaX*Mx (kgm)	AlfaY*My (kgm)	N (kg)	Mx (kgm)	My (kgm)	AlfaX*Mx (kgm)	AlfaY*My (kgm)
3	2	2	1	0,00	0,00	-63258	2256	254	0	0	-64623	274	109	0	0
			2	0,00	0,00	-32145	-250	-1238	0	0	-33195	-6021	-2035	0	0
			3	0,00	0,00	-31966	-610	-1248	0	0	-33016	-8097	-2024	0	0
			4	0,00	0,00	-32013	-516	-1245	0	0	-33063	-7554	-2027	0	0
			5	0,00	0,00	-31834	-876	-1255	0	0	-32884	-9629	-2016	0	0
			6	0,00	0,00	-32891	719	-1130	0	0	-33941	-501	-1943	0	0
			7	0,00	0,00	-32712	358	-1140	0	0	-33762	-2577	-1932	0	0
			8	0,00	0,00	-33024	985	-1123	0	0	-34074	1032	-1951	0	0
			9	0,00	0,00	-32844	624	-1133	0	0	-33894	-1044	-1940	0	0
			10	0,00	0,00	-50259	2312	1452	0	0	-51309	923	2085	0	0
			11	0,00	0,00	-50438	2672	1461	0	0	-51488	2998	2074	0	0
			12	0,00	0,00	-50127	2046	1445	0	0	-51177	-610	2093	0	0
			13	0,00	0,00	-50306	2406	1454	0	0	-51356	1465	2082	0	0
			14	0,00	0,00	-51005	3280	1559	0	0	-52055	6443	2177	0	0
			15	0,00	0,00	-51184	3641	1569	0	0	-52234	8518	2166	0	0
			16	0,00	0,00	-51137	3546	1566	0	0	-52187	7975	2169	0	0
			17	0,00	0,00	-51317	3907	1576	0	0	-52367	10051	2158	0	0
			18	0,00	0,00	-37615	-483	-423	0	0	-38665	-10031	-701	0	0
			19	0,00	0,00	-37561	-591	-425	0	0	-38611	-10653	-697	0	0
			20	0,00	0,00	-37174	-1370	-446	0	0	-38224	-15140	-673	0	0
			21	0,00	0,00	-37120	-1478	-449	0	0	-38170	-15763	-670	0	0
			22	0,00	0,00	-40101	2745	-63	0	0	-41151	8369	-393	0	0
			23	0,00	0,00	-40048	2637	-66	0	0	-41098	7746	-390	0	0
			24	0,00	0,00	-40542	3632	-40	0	0	-41592	13478	-421	0	0

## DETTAGLIO GERARCHIA RESISTENZA ASTE

Nodo 3D	Pilas. Infer. Asta3d	Pilas. Super. Asta3d	Comb N.ro	AlfaX	AlfaY	PILASTRO INFERIORE					PILASTRO SUPERIORE				
						N (kg)	Mx (kgm)	My (kgm)	AlfaX*Mx (kgm)	AlfaY*My (kgm)	N (kg)	Mx (kgm)	My (kgm)	AlfaX*Mx (kgm)	AlfaY*My (kgm)
			25	0,00	0,00	-40489	3524	-43	0	0	-41539	12856	-417	0	0
			26	0,00	0,00	-43049	285	384	0	0	-44099	-7948	535	0	0
			27	0,00	0,00	-43103	393	387	0	0	-44153	-7325	532	0	0
			28	0,00	0,00	-42608	-602	361	0	0	-43658	-13057	562	0	0
			29	0,00	0,00	-42662	-494	364	0	0	-43712	-12434	559	0	0
			30	0,00	0,00	-45535	3514	744	0	0	-46585	10452	842	0	0
			31	0,00	0,00	-45589	3622	747	0	0	-46639	11075	839	0	0
			32	0,00	0,00	-45977	4400	767	0	0	-47027	15562	815	0	0
			33	0,00	0,00	-46030	4509	770	0	0	-47080	16184	812	0	0

## DETTAGLIO GERARCHIA RESISTENZA ASTE

Nodo 3D	Pilas. Infer. Asta3d	Pilas. Super. Asta3d	Comb N.ro	AlfaX	AlfaY	PILASTRO INFERIORE					PILASTRO SUPERIORE				
						N (kg)	Mx (kgm)	My (kgm)	AlfaX*Mx (kgm)	AlfaY*My (kgm)	N (kg)	Mx (kgm)	My (kgm)	AlfaX*Mx (kgm)	AlfaY*My (kgm)
4	2	65	1	0,00	0,00	-63258	2256	254	0	0	-46689	1009	379	0	0
			2	0,00	0,00	-32145	-250	-1238	0	0	-24099	-4950	-2524	0	0
			3	0,00	0,00	-31966	-610	-1248	0	0	-23983	-6649	-2531	0	0
			4	0,00	0,00	-32013	-516	-1245	0	0	-24013	-6204	-2529	0	0
			5	0,00	0,00	-31834	-876	-1255	0	0	-23897	-7903	-2537	0	0
			6	0,00	0,00	-32891	719	-1130	0	0	-24591	156	-2395	0	0
			7	0,00	0,00	-32712	358	-1140	0	0	-24475	-1543	-2402	0	0
			8	0,00	0,00	-33024	985	-1123	0	0	-24677	1411	-2389	0	0
			9	0,00	0,00	-32844	624	-1133	0	0	-24560	-288	-2397	0	0
			10	0,00	0,00	-50259	2312	1452	0	0	-36841	1162	2825	0	0
			11	0,00	0,00	-50438	2672	1461	0	0	-36957	2861	2833	0	0
			12	0,00	0,00	-50127	2046	1445	0	0	-36755	-92	2820	0	0
			13	0,00	0,00	-50306	2406	1454	0	0	-36871	1607	2827	0	0
			14	0,00	0,00	-51005	3280	1559	0	0	-37333	6268	2955	0	0
			15	0,00	0,00	-51184	3641	1569	0	0	-37449	7967	2962	0	0
			16	0,00	0,00	-51137	3546	1566	0	0	-37419	7522	2960	0	0
			17	0,00	0,00	-51317	3907	1576	0	0	-37535	9221	2967	0	0
			18	0,00	0,00	-37615	-483	-423	0	0	-27984	-8767	-803	0	0
			19	0,00	0,00	-37561	-591	-425	0	0	-27949	-9277	-805	0	0
			20	0,00	0,00	-37174	-1370	-446	0	0	-27698	-12949	-821	0	0
			21	0,00	0,00	-37120	-1478	-449	0	0	-27664	-13459	-823	0	0
			22	0,00	0,00	-40101	2745	-63	0	0	-29625	8251	-372	0	0
			23	0,00	0,00	-40048	2637	-66	0	0	-29590	7742	-374	0	0
			24	0,00	0,00	-40542	3632	-40	0	0	-29910	12434	-354	0	0
			25	0,00	0,00	-40489	3524	-43	0	0	-29876	11924	-356	0	0
			26	0,00	0,00	-43049	285	384	0	0	-31807	-6933	802	0	0
			27	0,00	0,00	-43103	393	387	0	0	-31842	-6424	804	0	0
			28	0,00	0,00	-42608	-602	361	0	0	-31521	-11116	784	0	0
			29	0,00	0,00	-42662	-494	364	0	0	-31556	-10606	786	0	0
			30	0,00	0,00	-45535	3514	744	0	0	-33447	10085	1233	0	0
			31	0,00	0,00	-45589	3622	747	0	0	-33482	10595	1235	0	0
			32	0,00	0,00	-45977	4400	767	0	0	-33733	14267	1251	0	0
			33	0,00	0,00	-46030	4509	770	0	0	-33768	14777	1253	0	0

## DETTAGLIO GERARCHIA RESISTENZA ASTE

Nodo 3D	Pilas. Infer. Asta3d	Pilas. Super. Asta3d	Comb N.ro	AlfaX	AlfaY	PILASTRO INFERIORE					PILASTRO SUPERIORE				
						N (kg)	Mx (kgm)	My (kgm)	AlfaX*Mx (kgm)	AlfaY*My (kgm)	N (kg)	Mx (kgm)	My (kgm)	AlfaX*Mx (kgm)	AlfaY*My (kgm)
5	3	3	1	0,00	0,00	-39271	1025	-1791	0	0	-40636	466	-966	0	0
			2	0,00	0,00	-18995	-484	-2100	0	0	-20045	7417	-2180	0	0
			3	0,00	0,00	-19495	-454	-2401	0	0	-20545	8129	-2698	0	0
			4	0,00	0,00	-19364	-462	-2322	0	0	-20414	7943	-2562	0	0
			5	0,00	0,00	-19864	-432	-2623	0	0	-20914	8654	-3080	0	0
			6	0,00	0,00	-12559	-789	-1353	0	0	-13609	8269	-789	0	0
			7	0,00	0,00	-13059	-759	-1654	0	0	-14109	8980	-1306	0	0
			8	0,00	0,00	-12190	-811	-1131	0	0	-13240	7743	-406	0	0
			9	0,00	0,00	-12690	-781	-1432	0	0	-13740	8455	-924	0	0
			10	0,00	0,00	-40357	2101	-1012	0	0	-41407	-7699	-480	0	0
			11	0,00	0,00	-39857	2072	-711	0	0	-40907	-8411	38	0	0
			12	0,00	0,00	-40727	2123	-1234	0	0	-41777	-7174	-862	0	0
			13	0,00	0,00	-40227	2094	-933	0	0	-41277	-7885	-345	0	0
			14	0,00	0,00	-33922	1796	-265	0	0	-34972	-6848	911	0	0
			15	0,00	0,00	-33422	1767	36	0	0	-34472	-7560	1429	0	0
			16	0,00	0,00	-33552	1774	-43	0	0	-34602	-7373	1294	0	0
			17	0,00	0,00	-33052	1745	258	0	0	-34102	-8085	1811	0	0
			18	0,00	0,00	-33980	777	-2591	0	0	-35030	1133	-3208	0	0
			19	0,00	0,00	-34130	786	-2681	0	0	-35180	1347	-3363	0	0
			20	0,00	0,00	-35211	850	-3331	0	0	-36261	2885	-4482	0	0
			21	0,00	0,00	-35361	859	-3421	0	0	-36411	3098	-4638	0	0
			22	0,00	0,00	-12528	-240	-101	0	0	-13578	3971	1429	0	0
			23	0,00	0,00	-12678	-231	-191	0	0	-13728	4185	1274	0	0
			24	0,00	0,00	-11297	-313	639	0	0	-12347	2219	2704	0	0

## DETTAGLIO GERARCHIA RESISTENZA ASTE

Nodo 3D	Pilas. Infer. Asta3d	Pilas. Super. Asta3d	Comb N.ro	AlfaX	AlfaY	PILASTRO INFERIORE					PILASTRO SUPERIORE				
						N (kg)	Mx (kgm)	My (kgm)	AlfaX*Mx (kgm)	AlfaY*My (kgm)	N (kg)	Mx (kgm)	My (kgm)	AlfaX*Mx (kgm)	AlfaY*My (kgm)
			25	0,00	0,00	-11447	-304	549	0	0	-12497	2433	2549	0	0
			26	0,00	0,00	-40389	1553	-2264	0	0	-41439	-3402	-2698	0	0
			27	0,00	0,00	-40239	1544	-2174	0	0	-41289	-3615	-2543	0	0
			28	0,00	0,00	-41620	1625	-3005	0	0	-42670	-1650	-3973	0	0
			29	0,00	0,00	-41470	1617	-2914	0	0	-42520	-1864	-3817	0	0
			30	0,00	0,00	-18937	535	226	0	0	-19987	-564	1939	0	0
			31	0,00	0,00	-18786	527	316	0	0	-19836	-777	2095	0	0
			32	0,00	0,00	-17705	463	966	0	0	-18755	-2316	3214	0	0
			33	0,00	0,00	-17555	454	1056	0	0	-18605	-2529	3369	0	0

## DETTAGLIO GERARCHIA RESISTENZA ASTE

Nodo 3D	Pilas. Infer. Asta3d	Pilas. Super. Asta3d	Comb N.ro	AlfaX	AlfaY	PILASTRO INFERIORE					PILASTRO SUPERIORE				
						N (kg)	Mx (kgm)	My (kgm)	AlfaX*Mx (kgm)	AlfaY*My (kgm)	N (kg)	Mx (kgm)	My (kgm)	AlfaX*Mx (kgm)	AlfaY*My (kgm)
6	3	66	1	0,00	0,00	-39271	1025	-1791	0	0	-30051	439	-1822	0	0
			2	0,00	0,00	-18995	-484	-2100	0	0	-15100	5609	-3212	0	0
			3	0,00	0,00	-19495	-454	-2401	0	0	-15445	6147	-3852	0	0
			4	0,00	0,00	-19364	-462	-2322	0	0	-15355	6007	-3684	0	0
			5	0,00	0,00	-19864	-432	-2623	0	0	-15699	6545	-4324	0	0
			6	0,00	0,00	-12559	-789	-1353	0	0	-10301	6172	-1318	0	0
			7	0,00	0,00	-13059	-759	-1654	0	0	-10646	6710	-1958	0	0
			8	0,00	0,00	-12190	-811	-1131	0	0	-10047	5774	-846	0	0
			9	0,00	0,00	-12690	-781	-1432	0	0	-10391	6312	-1486	0	0
			10	0,00	0,00	-40357	2101	-1012	0	0	-30099	-5635	-1054	0	0
			11	0,00	0,00	-39857	2072	-711	0	0	-29755	-6173	-414	0	0
			12	0,00	0,00	-40727	2123	-1234	0	0	-30353	-5238	-1526	0	0
			13	0,00	0,00	-40227	2094	-933	0	0	-30009	-5776	-886	0	0
			14	0,00	0,00	-33922	1796	-265	0	0	-25300	-5073	840	0	0
			15	0,00	0,00	-33422	1767	36	0	0	-24956	-5611	1480	0	0
			16	0,00	0,00	-33552	1774	-43	0	0	-25046	-5470	1312	0	0
			17	0,00	0,00	-33052	1745	258	0	0	-24701	-6008	1952	0	0
			18	0,00	0,00	-33980	777	-2591	0	0	-25949	1018	-4666	0	0
			19	0,00	0,00	-34130	786	-2681	0	0	-26052	1179	-4858	0	0
			20	0,00	0,00	-35211	850	-3331	0	0	-26797	2342	-6241	0	0
			21	0,00	0,00	-35361	859	-3421	0	0	-26900	2504	-6433	0	0
			22	0,00	0,00	-12528	-240	-101	0	0	-9952	2892	1646	0	0
			23	0,00	0,00	-12678	-231	-191	0	0	-10055	3054	1454	0	0
			24	0,00	0,00	-11297	-313	639	0	0	-9104	1568	3222	0	0
			25	0,00	0,00	-11447	-304	549	0	0	-9208	1729	3030	0	0
			26	0,00	0,00	-40389	1553	-2264	0	0	-30448	-2355	-4018	0	0
			27	0,00	0,00	-40239	1544	-2174	0	0	-30345	-2517	-3826	0	0
			28	0,00	0,00	-41620	1625	-3005	0	0	-31296	-1031	-5594	0	0
			29	0,00	0,00	-41470	1617	-2914	0	0	-31193	-1192	-5402	0	0
			30	0,00	0,00	-18937	535	226	0	0	-14452	-481	2294	0	0
			31	0,00	0,00	-18786	527	316	0	0	-14348	-642	2486	0	0
			32	0,00	0,00	-17705	463	966	0	0	-13604	-1805	3869	0	0
			33	0,00	0,00	-17555	454	1056	0	0	-13501	-1967	4061	0	0

## DETTAGLIO GERARCHIA RESISTENZA ASTE

Nodo 3D	Pilas. Infer. Asta3d	Pilas. Super. Asta3d	Comb N.ro	AlfaX	AlfaY	PILASTRO INFERIORE					PILASTRO SUPERIORE				
						N (kg)	Mx (kgm)	My (kgm)	AlfaX*Mx (kgm)	AlfaY*My (kgm)	N (kg)	Mx (kgm)	My (kgm)	AlfaX*Mx (kgm)	AlfaY*My (kgm)
7	4	4	1	0,00	0,00	-52585	1917	2321	0	0	-53950	767	994	0	0
			2	0,00	0,00	-31375	3345	586	0	0	-32425	9322	-802	0	0
			3	0,00	0,00	-30976	3026	400	0	0	-32026	8326	-1156	0	0
			4	0,00	0,00	-31080	3109	449	0	0	-32130	8586	-1063	0	0
			5	0,00	0,00	-30681	2791	264	0	0	-31731	7591	-1417	0	0
			6	0,00	0,00	-33519	3533	1360	0	0	-34569	7806	723	0	0
			7	0,00	0,00	-33120	3214	1174	0	0	-34170	6810	369	0	0
			8	0,00	0,00	-33814	3768	1497	0	0	-34864	8541	984	0	0
			9	0,00	0,00	-33415	3450	1311	0	0	-34465	7545	631	0	0
			10	0,00	0,00	-33471	-1039	1252	0	0	-34521	-6823	380	0	0
			11	0,00	0,00	-33870	-720	1437	0	0	-34920	-5827	734	0	0
			12	0,00	0,00	-33176	-1274	1115	0	0	-34226	-7558	119	0	0
			13	0,00	0,00	-33575	-956	1300	0	0	-34625	-6562	473	0	0
			14	0,00	0,00	-35615	-851	2026	0	0	-36665	-8339	1905	0	0
			15	0,00	0,00	-36014	-532	2211	0	0	-37064	-7343	2259	0	0
			16	0,00	0,00	-35910	-615	2163	0	0	-36960	-7603	2166	0	0
			17	0,00	0,00	-36309	-297	2348	0	0	-37359	-6608	2520	0	0
			18	0,00	0,00	-29607	1591	-84	0	0	-30657	5440	-2167	0	0
			19	0,00	0,00	-29488	1495	-140	0	0	-30538	5141	-2273	0	0
			20	0,00	0,00	-28625	806	-540	0	0	-29675	2989	-3038	0	0
			21	0,00	0,00	-28505	711	-596	0	0	-29555	2690	-3144	0	0
			22	0,00	0,00	-36754	2218	2496	0	0	-37804	386	2916	0	0
			23	0,00	0,00	-36634	2122	2440	0	0	-37684	88	2810	0	0
			24	0,00	0,00	-37737	3003	2952	0	0	-38787	2838	3787	0	0

## DETTAGLIO GERARCHIA RESISTENZA ASTE

Nodo 3D	Pilas. Infer. Asta3d	Pilas. Super. Asta3d	Comb N.ro	AlfaX	AlfaY	PILASTRO INFERIORE					PILASTRO SUPERIORE				
						N (kg)	Mx (kgm)	My (kgm)	AlfaX*Mx (kgm)	AlfaY*My (kgm)	N (kg)	Mx (kgm)	My (kgm)	AlfaX*Mx (kgm)	AlfaY*My (kgm)
			25	0,00	0,00	-37617	2907	2896	0	0	-38667	2539	3681	0	0
			26	0,00	0,00	-30236	276	116	0	0	-31286	596	-1813	0	0
			27	0,00	0,00	-30356	372	171	0	0	-31406	895	-1706	0	0
			28	0,00	0,00	-29253	-509	-340	0	0	-30303	-1855	-2684	0	0
			29	0,00	0,00	-29373	-413	-285	0	0	-30423	-1556	-2577	0	0
			30	0,00	0,00	-37383	903	2696	0	0	-38433	-4457	3271	0	0
			31	0,00	0,00	-37503	999	2751	0	0	-38553	-4158	3377	0	0
			32	0,00	0,00	-38365	1688	3152	0	0	-39415	-2006	4142	0	0
			33	0,00	0,00	-38485	1783	3207	0	0	-39535	-1707	4248	0	0

## DETTAGLIO GERARCHIA RESISTENZA ASTE

Nodo 3D	Pilas. Infer. Asta3d	Pilas. Super. Asta3d	Comb N.ro	AlfaX	AlfaY	PILASTRO INFERIORE					PILASTRO SUPERIORE				
						N (kg)	Mx (kgm)	My (kgm)	AlfaX*Mx (kgm)	AlfaY*My (kgm)	N (kg)	Mx (kgm)	My (kgm)	AlfaX*Mx (kgm)	AlfaY*My (kgm)
8	4	67	1	0,00	0,00	-52585	1917	2321	0	0	-41137	1081	1238	0	0
			2	0,00	0,00	-31375	3345	586	0	0	-24775	8478	-434	0	0
			3	0,00	0,00	-30976	3026	400	0	0	-24595	7611	-720	0	0
			4	0,00	0,00	-31080	3109	449	0	0	-24642	7838	-645	0	0
			5	0,00	0,00	-30681	2791	264	0	0	-24461	6971	-932	0	0
			6	0,00	0,00	-33519	3533	1360	0	0	-25968	7316	891	0	0
			7	0,00	0,00	-33120	3214	1174	0	0	-25788	6449	605	0	0
			8	0,00	0,00	-33814	3768	1497	0	0	-26101	7956	1103	0	0
			9	0,00	0,00	-33415	3450	1311	0	0	-25921	7090	817	0	0
			10	0,00	0,00	-33471	-1039	1252	0	0	-26132	-5926	550	0	0
			11	0,00	0,00	-33870	-720	1437	0	0	-26313	-5059	836	0	0
			12	0,00	0,00	-33176	-1274	1115	0	0	-25999	-6566	338	0	0
			13	0,00	0,00	-33575	-956	1300	0	0	-26179	-5699	625	0	0
			14	0,00	0,00	-35615	-851	2026	0	0	-27325	-7087	1875	0	0
			15	0,00	0,00	-36014	-532	2211	0	0	-27505	-6221	2162	0	0
			16	0,00	0,00	-35910	-615	2163	0	0	-27458	-6447	2087	0	0
			17	0,00	0,00	-36309	-297	2348	0	0	-27639	-5580	2373	0	0
			18	0,00	0,00	-29607	1591	-84	0	0	-23858	4791	-1636	0	0
			19	0,00	0,00	-29488	1495	-140	0	0	-23804	4531	-1722	0	0
			20	0,00	0,00	-28625	806	-540	0	0	-23415	2658	-2341	0	0
			21	0,00	0,00	-28505	711	-596	0	0	-23360	2398	-2427	0	0
			22	0,00	0,00	-36754	2218	2496	0	0	-27835	920	2782	0	0
			23	0,00	0,00	-36634	2122	2440	0	0	-27781	660	2696	0	0
			24	0,00	0,00	-37737	3003	2952	0	0	-28278	3054	3487	0	0
			25	0,00	0,00	-37617	2907	2896	0	0	-28224	2794	3401	0	0
			26	0,00	0,00	-30236	276	116	0	0	-24265	470	-1341	0	0
			27	0,00	0,00	-30356	372	171	0	0	-24320	730	-1255	0	0
			28	0,00	0,00	-29253	-509	-340	0	0	-23822	-1664	-2046	0	0
			29	0,00	0,00	-29373	-413	-285	0	0	-23876	-1404	-1960	0	0
			30	0,00	0,00	-37383	903	2696	0	0	-28242	-3401	3077	0	0
			31	0,00	0,00	-37503	999	2751	0	0	-28296	-3141	3163	0	0
			32	0,00	0,00	-38365	1688	3152	0	0	-28686	-1267	3782	0	0
			33	0,00	0,00	-38485	1783	3207	0	0	-28740	-1007	3868	0	0

## DETTAGLIO GERARCHIA RESISTENZA ASTE

Nodo 3D	Pilas. Infer. Asta3d	Pilas. Super. Asta3d	Comb N.ro	AlfaX	AlfaY	PILASTRO INFERIORE					PILASTRO SUPERIORE				
						N (kg)	Mx (kgm)	My (kgm)	AlfaX*Mx (kgm)	AlfaY*My (kgm)	N (kg)	Mx (kgm)	My (kgm)	AlfaX*Mx (kgm)	AlfaY*My (kgm)
9	5	5	1	0,00	0,00	-71110	2937	-651	0	0	-72475	1172	-421	0	0
			2	0,00	0,00	-40305	4007	-1596	0	0	-41355	8808	-1845	0	0
			3	0,00	0,00	-39852	4003	-1920	0	0	-40902	8763	-2265	0	0
			4	0,00	0,00	-39971	4004	-1835	0	0	-41021	8775	-2155	0	0
			5	0,00	0,00	-39518	4001	-2160	0	0	-40568	8729	-2575	0	0
			6	0,00	0,00	-42961	3872	-242	0	0	-44011	8579	-42	0	0
			7	0,00	0,00	-42508	3869	-567	0	0	-43558	8534	-462	0	0
			8	0,00	0,00	-43295	3875	-3	0	0	-44345	8613	268	0	0
			9	0,00	0,00	-42842	3871	-327	0	0	-43892	8568	-152	0	0
			10	0,00	0,00	-42551	-290	-507	0	0	-43601	-7167	-455	0	0
			11	0,00	0,00	-43004	-286	-183	0	0	-44054	-7122	-35	0	0
			12	0,00	0,00	-42217	-293	-747	0	0	-43267	-7201	-765	0	0
			13	0,00	0,00	-42670	-289	-422	0	0	-43720	-7155	-345	0	0
			14	0,00	0,00	-45207	-425	846	0	0	-46257	-7396	1348	0	0
			15	0,00	0,00	-45660	-421	1171	0	0	-46710	-7350	1768	0	0
			16	0,00	0,00	-45541	-422	1086	0	0	-46591	-7362	1658	0	0
			17	0,00	0,00	-45994	-418	1410	0	0	-47044	-7317	2078	0	0
			18	0,00	0,00	-37993	2661	-2794	0	0	-39043	3484	-3462	0	0
			19	0,00	0,00	-37857	2660	-2891	0	0	-38907	3470	-3588	0	0
			20	0,00	0,00	-36879	2651	-3593	0	0	-37929	3372	-4496	0	0
			21	0,00	0,00	-36743	2650	-3690	0	0	-37793	3358	-4622	0	0
			22	0,00	0,00	-46845	2211	1718	0	0	-47895	2721	2548	0	0
			23	0,00	0,00	-46710	2210	1621	0	0	-47760	2707	2422	0	0
			24	0,00	0,00	-47959	2220	2516	0	0	-49009	2833	3582	0	0

## DETTAGLIO GERARCHIA RESISTENZA ASTE

Nodo 3D	Pilas. Infer. Asta3d	Pilas. Super. Asta3d	Comb N.ro	AlfaX	AlfaY	PILASTRO INFERIORE					PILASTRO SUPERIORE				
						N (kg)	Mx (kgm)	My (kgm)	AlfaX*Mx (kgm)	AlfaY*My (kgm)	N (kg)	Mx (kgm)	My (kgm)	AlfaX*Mx (kgm)	AlfaY*My (kgm)
			25	0,00	0,00	-47823	2219	2419	0	0	-48873	2819	3456	0	0
			26	0,00	0,00	-38667	1372	-2467	0	0	-39717	-1309	-3045	0	0
			27	0,00	0,00	-38802	1373	-2370	0	0	-39852	-1295	-2919	0	0
			28	0,00	0,00	-37553	1362	-3266	0	0	-38603	-1421	-4079	0	0
			29	0,00	0,00	-37689	1363	-3169	0	0	-38739	-1407	-3953	0	0
			30	0,00	0,00	-47519	922	2044	0	0	-48569	-2072	2965	0	0
			31	0,00	0,00	-47655	923	2142	0	0	-48705	-2058	3091	0	0
			32	0,00	0,00	-48633	931	2843	0	0	-49683	-1960	3999	0	0
			33	0,00	0,00	-48769	932	2940	0	0	-49819	-1946	4125	0	0

## DETTAGLIO GERARCHIA RESISTENZA ASTE

Nodo 3D	Pilas. Infer. Asta3d	Pilas. Super. Asta3d	Comb N.ro	AlfaX	AlfaY	PILASTRO INFERIORE					PILASTRO SUPERIORE				
						N (kg)	Mx (kgm)	My (kgm)	AlfaX*Mx (kgm)	AlfaY*My (kgm)	N (kg)	Mx (kgm)	My (kgm)	AlfaX*Mx (kgm)	AlfaY*My (kgm)
10	5	68	1	0,00	0,00	-71110	2937	-651	0	0	-54106	1668	-25	0	0
			2	0,00	0,00	-40305	4007	-1596	0	0	-30309	8281	-2053	0	0
			3	0,00	0,00	-39852	4003	-1920	0	0	-29866	8265	-2560	0	0
			4	0,00	0,00	-39971	4004	-1835	0	0	-29982	8269	-2428	0	0
			5	0,00	0,00	-39518	4001	-2160	0	0	-29539	8253	-2934	0	0
			6	0,00	0,00	-42961	3872	-242	0	0	-32893	8132	301	0	0
			7	0,00	0,00	-42508	3869	-567	0	0	-32450	8116	-205	0	0
			8	0,00	0,00	-43295	3875	-3	0	0	-33220	8144	675	0	0
			9	0,00	0,00	-42842	3871	-327	0	0	-32777	8128	169	0	0
			10	0,00	0,00	-42551	-290	-507	0	0	-32417	-6099	-370	0	0
			11	0,00	0,00	-43004	-286	-183	0	0	-32859	-6083	136	0	0
			12	0,00	0,00	-42217	-293	-747	0	0	-32089	-6111	-744	0	0
			13	0,00	0,00	-42670	-289	-422	0	0	-32532	-6095	-238	0	0
			14	0,00	0,00	-45207	-425	846	0	0	-35000	-6247	1984	0	0
			15	0,00	0,00	-45660	-421	1171	0	0	-35443	-6232	2491	0	0
			16	0,00	0,00	-45541	-422	1086	0	0	-35327	-6236	2359	0	0
			17	0,00	0,00	-45994	-418	1410	0	0	-35770	-6220	2865	0	0
			18	0,00	0,00	-37993	2661	-2794	0	0	-28032	3421	-4211	0	0
			19	0,00	0,00	-37857	2660	-2891	0	0	-27899	3416	-4363	0	0
			20	0,00	0,00	-36879	2651	-3593	0	0	-26942	3382	-5458	0	0
			21	0,00	0,00	-36743	2650	-3690	0	0	-26809	3377	-5610	0	0
			22	0,00	0,00	-46845	2211	1718	0	0	-36645	2926	3637	0	0
			23	0,00	0,00	-46710	2210	1621	0	0	-36512	2921	3485	0	0
			24	0,00	0,00	-47959	2220	2516	0	0	-37735	2965	4884	0	0
			25	0,00	0,00	-47823	2219	2419	0	0	-37602	2960	4732	0	0
			26	0,00	0,00	-38667	1372	-2467	0	0	-28664	-893	-3706	0	0
			27	0,00	0,00	-38802	1373	-2370	0	0	-28797	-888	-3554	0	0
			28	0,00	0,00	-37553	1362	-3266	0	0	-27574	-932	-4953	0	0
			29	0,00	0,00	-37689	1363	-3169	0	0	-27707	-927	-4801	0	0
			30	0,00	0,00	-47519	922	2044	0	0	-37277	-1388	4142	0	0
			31	0,00	0,00	-47655	923	2142	0	0	-37410	-1383	4294	0	0
			32	0,00	0,00	-48633	931	2843	0	0	-38367	-1349	5389	0	0
			33	0,00	0,00	-48769	932	2940	0	0	-38500	-1344	5541	0	0

## DETTAGLIO GERARCHIA RESISTENZA ASTE

Nodo 3D	Pilas. Infer. Asta3d	Pilas. Super. Asta3d	Comb N.ro	AlfaX	AlfaY	PILASTRO INFERIORE					PILASTRO SUPERIORE				
						N (kg)	Mx (kgm)	My (kgm)	AlfaX*Mx (kgm)	AlfaY*My (kgm)	N (kg)	Mx (kgm)	My (kgm)	AlfaX*Mx (kgm)	AlfaY*My (kgm)
11	6	6	1	0,00	0,00	-48304	1652	-1550	0	0	-49669	703	-849	0	0
			2	0,00	0,00	-36297	3661	-1480	0	0	-37347	8583	-1778	0	0
			3	0,00	0,00	-37321	3914	-1631	0	0	-38371	9379	-2115	0	0
			4	0,00	0,00	-37053	3848	-1591	0	0	-38103	9171	-2027	0	0
			5	0,00	0,00	-38076	4101	-1742	0	0	-39126	9967	-2365	0	0
			6	0,00	0,00	-31966	3658	-872	0	0	-33016	9571	-337	0	0
			7	0,00	0,00	-32990	3910	-1023	0	0	-34040	10367	-674	0	0
			8	0,00	0,00	-31210	3471	-760	0	0	-32260	8983	-87	0	0
			9	0,00	0,00	-32234	3724	-911	0	0	-33284	9779	-425	0	0
			10	0,00	0,00	-30572	-1536	-901	0	0	-31622	-8695	-647	0	0
			11	0,00	0,00	-29548	-1789	-750	0	0	-30598	-9492	-310	0	0
			12	0,00	0,00	-31328	-1350	-1012	0	0	-32378	-8107	-897	0	0
			13	0,00	0,00	-30304	-1602	-861	0	0	-31354	-8904	-559	0	0
			14	0,00	0,00	-26241	-1540	-293	0	0	-27291	-7707	794	0	0
			15	0,00	0,00	-25217	-1793	-142	0	0	-26267	-8503	1131	0	0
			16	0,00	0,00	-25485	-1727	-181	0	0	-26535	-8295	1043	0	0
			17	0,00	0,00	-24461	-1979	-30	0	0	-25511	-9091	1381	0	0
			18	0,00	0,00	-39346	1847	-1987	0	0	-40396	1383	-3064	0	0
			19	0,00	0,00	-39653	1922	-2032	0	0	-40703	1622	-3165	0	0
			20	0,00	0,00	-41865	2469	-2358	0	0	-42915	3342	-3895	0	0
			21	0,00	0,00	-42172	2545	-2403	0	0	-43222	3581	-3996	0	0
			22	0,00	0,00	-24910	1834	41	0	0	-25960	4676	1741	0	0
			23	0,00	0,00	-25217	1910	-5	0	0	-26267	4915	1640	0	0
			24	0,00	0,00	-22390	1212	412	0	0	-23440	2716	2572	0	0

## DETTAGLIO GERARCHIA RESISTENZA ASTE

Nodo 3D	Pilas. Infer. Asta3d	Pilas. Super. Asta3d	Comb N.ro	AlfaX	AlfaY	PILASTRO INFERIORE					PILASTRO SUPERIORE				
						N (kg)	Mx (kgm)	My (kgm)	AlfaX*Mx (kgm)	AlfaY*My (kgm)	N (kg)	Mx (kgm)	My (kgm)	AlfaX*Mx (kgm)	AlfaY*My (kgm)
			25	0,00	0,00	-22697	1288	367	0	0	-23747	2955	2470	0	0
			26	0,00	0,00	-37628	287	-1813	0	0	-38678	-3801	-2725	0	0
			27	0,00	0,00	-37321	211	-1768	0	0	-38371	-4040	-2624	0	0
			28	0,00	0,00	-40148	910	-2185	0	0	-41198	-1841	-3556	0	0
			29	0,00	0,00	-39841	834	-2139	0	0	-40891	-2080	-3454	0	0
			30	0,00	0,00	-23192	275	214	0	0	-24242	-507	2080	0	0
			31	0,00	0,00	-22885	199	260	0	0	-23935	-746	2181	0	0
			32	0,00	0,00	-20673	-347	586	0	0	-21723	-2467	2911	0	0
			33	0,00	0,00	-20365	-423	631	0	0	-21415	-2706	3012	0	0

## DETTAGLIO GERARCHIA RESISTENZA ASTE

Nodo 3D	Pilas. Infer. Asta3d	Pilas. Super. Asta3d	Comb N.ro	AlfaX	AlfaY	PILASTRO INFERIORE					PILASTRO SUPERIORE				
						N (kg)	Mx (kgm)	My (kgm)	AlfaX*Mx (kgm)	AlfaY*My (kgm)	N (kg)	Mx (kgm)	My (kgm)	AlfaX*Mx (kgm)	AlfaY*My (kgm)
12	6	69	1	0,00	0,00	-48304	1652	-1550	0	0	-37792	898	-1782	0	0
			2	0,00	0,00	-36297	3661	-1480	0	0	-28142	8156	-2636	0	0
			3	0,00	0,00	-37321	3914	-1631	0	0	-28889	8891	-3038	0	0
			4	0,00	0,00	-37053	3848	-1591	0	0	-28694	8699	-2933	0	0
			5	0,00	0,00	-38076	4101	-1742	0	0	-29441	9434	-3335	0	0
			6	0,00	0,00	-31966	3658	-872	0	0	-24692	8989	-749	0	0
			7	0,00	0,00	-32990	3910	-1023	0	0	-25439	9725	-1151	0	0
			8	0,00	0,00	-31210	3471	-760	0	0	-24140	8447	-452	0	0
			9	0,00	0,00	-32234	3724	-911	0	0	-24887	9182	-854	0	0
			10	0,00	0,00	-30572	-1536	-901	0	0	-24158	-7836	-1286	0	0
			11	0,00	0,00	-29548	-1789	-750	0	0	-23411	-8571	-884	0	0
			12	0,00	0,00	-31328	-1350	-1012	0	0	-24710	-7293	-1583	0	0
			13	0,00	0,00	-30304	-1602	-861	0	0	-23963	-8028	-1181	0	0
			14	0,00	0,00	-26241	-1540	-293	0	0	-20708	-7003	601	0	0
			15	0,00	0,00	-25217	-1793	-142	0	0	-19961	-7738	1003	0	0
			16	0,00	0,00	-25485	-1727	-181	0	0	-20156	-7545	898	0	0
			17	0,00	0,00	-24461	-1979	-30	0	0	-19409	-8281	1300	0	0
			18	0,00	0,00	-39346	1847	-1987	0	0	-30772	1587	-4366	0	0
			19	0,00	0,00	-39653	1922	-2032	0	0	-30997	1808	-4487	0	0
			20	0,00	0,00	-41865	2469	-2358	0	0	-32612	3397	-5355	0	0
			21	0,00	0,00	-42172	2545	-2403	0	0	-32837	3617	-5476	0	0
			22	0,00	0,00	-24910	1834	41	0	0	-19272	4364	1926	0	0
			23	0,00	0,00	-25217	1910	-5	0	0	-19497	4585	1805	0	0
			24	0,00	0,00	-22390	1212	412	0	0	-17432	2555	2916	0	0
			25	0,00	0,00	-22697	1288	367	0	0	-17657	2775	2795	0	0
			26	0,00	0,00	-37628	287	-1813	0	0	-29578	-3211	-3961	0	0
			27	0,00	0,00	-37321	211	-1768	0	0	-29353	-3431	-3840	0	0
			28	0,00	0,00	-40148	910	-2185	0	0	-31417	-1401	-4951	0	0
			29	0,00	0,00	-39841	834	-2139	0	0	-31193	-1621	-4830	0	0
			30	0,00	0,00	-23192	275	214	0	0	-18077	-433	2331	0	0
			31	0,00	0,00	-22885	199	260	0	0	-17853	-654	2452	0	0
			32	0,00	0,00	-20673	-347	586	0	0	-16237	-2243	3320	0	0
			33	0,00	0,00	-20365	-423	631	0	0	-16013	-2463	3441	0	0

## DETTAGLIO GERARCHIA RESISTENZA ASTE

Nodo 3D	Pilas. Infer. Asta3d	Pilas. Super. Asta3d	Comb N.ro	AlfaX	AlfaY	PILASTRO INFERIORE					PILASTRO SUPERIORE				
						N (kg)	Mx (kgm)	My (kgm)	AlfaX*Mx (kgm)	AlfaY*My (kgm)	N (kg)	Mx (kgm)	My (kgm)	AlfaX*Mx (kgm)	AlfaY*My (kgm)
13	7	7	1	0,00	0,00	-57966	-2595	2195	0	0	-59331	-941	936	0	0
			2	0,00	0,00	-35307	928	729	0	0	-36357	8286	-641	0	0
			3	0,00	0,00	-34931	688	642	0	0	-35981	7320	-853	0	0
			4	0,00	0,00	-35029	751	665	0	0	-36079	7573	-797	0	0
			5	0,00	0,00	-34653	511	577	0	0	-35703	6607	-1009	0	0
			6	0,00	0,00	-37868	330	1369	0	0	-38918	6719	921	0	0
			7	0,00	0,00	-37492	90	1282	0	0	-38542	5753	709	0	0
			8	0,00	0,00	-38146	507	1433	0	0	-39196	7433	1078	0	0
			9	0,00	0,00	-37770	267	1346	0	0	-38820	6467	866	0	0
			10	0,00	0,00	-33611	-3344	1119	0	0	-34661	-7821	125	0	0
			11	0,00	0,00	-33987	-3104	1206	0	0	-35037	-6855	337	0	0
			12	0,00	0,00	-33333	-3521	1054	0	0	-34383	-8534	-31	0	0
			13	0,00	0,00	-33709	-3282	1142	0	0	-34759	-7568	181	0	0
			14	0,00	0,00	-36171	-3943	1759	0	0	-37221	-9388	1687	0	0
			15	0,00	0,00	-36548	-3703	1846	0	0	-37598	-8422	1899	0	0
			16	0,00	0,00	-36449	-3766	1823	0	0	-37499	-8674	1843	0	0
			17	0,00	0,00	-36826	-3526	1910	0	0	-37876	-7708	2055	0	0
			18	0,00	0,00	-31726	131	119	0	0	-32776	4476	-2195	0	0
			19	0,00	0,00	-31613	59	92	0	0	-32663	4186	-2258	0	0
			20	0,00	0,00	-30800	-459	-96	0	0	-31850	2098	-2716	0	0
			21	0,00	0,00	-30687	-531	-122	0	0	-31737	1808	-2780	0	0
			22	0,00	0,00	-40262	-1864	2252	0	0	-41312	-746	3011	0	0
			23	0,00	0,00	-40149	-1936	2226	0	0	-41199	-1035	2948	0	0
			24	0,00	0,00	-41188	-1274	2467	0	0	-42238	1632	3533	0	0

## DETTAGLIO GERARCHIA RESISTENZA ASTE

Nodo 3D	Pilas. Infer. Asta3d	Pilas. Super. Asta3d	Comb N.ro	AlfaX	AlfaY	PILASTRO INFERIORE					PILASTRO SUPERIORE				
						N (kg)	Mx (kgm)	My (kgm)	AlfaX*Mx (kgm)	AlfaY*My (kgm)	N (kg)	Mx (kgm)	My (kgm)	AlfaX*Mx (kgm)	AlfaY*My (kgm)
			25	0,00	0,00	-41075	-1346	2441	0	0	-42125	1342	3469	0	0
			26	0,00	0,00	-31217	-1151	236	0	0	-32267	-356	-1965	0	0
			27	0,00	0,00	-31330	-1079	262	0	0	-32380	-66	-1902	0	0
			28	0,00	0,00	-30291	-1741	21	0	0	-31341	-2734	-2486	0	0
			29	0,00	0,00	-30404	-1669	47	0	0	-31454	-2444	-2423	0	0
			30	0,00	0,00	-39753	-3146	2369	0	0	-40803	-5578	3241	0	0
			31	0,00	0,00	-39865	-3074	2395	0	0	-40915	-5288	3305	0	0
			32	0,00	0,00	-40679	-2555	2584	0	0	-41729	-3200	3762	0	0
			33	0,00	0,00	-40792	-2483	2610	0	0	-41842	-2910	3826	0	0

## DETTAGLIO GERARCHIA RESISTENZA ASTE

Nodo 3D	Pilas. Infer. Asta3d	Pilas. Super. Asta3d	Comb N.ro	AlfaX	AlfaY	PILASTRO INFERIORE					PILASTRO SUPERIORE				
						N (kg)	Mx (kgm)	My (kgm)	AlfaX*Mx (kgm)	AlfaY*My (kgm)	N (kg)	Mx (kgm)	My (kgm)	AlfaX*Mx (kgm)	AlfaY*My (kgm)
14	7	70	1	0,00	0,00	-57966	-2595	2195	0	0	-44833	-1348	1504	0	0
			2	0,00	0,00	-35307	928	729	0	0	-27326	7021	-542	0	0
			3	0,00	0,00	-34931	688	642	0	0	-27069	6205	-774	0	0
			4	0,00	0,00	-35029	751	665	0	0	-27136	6418	-713	0	0
			5	0,00	0,00	-34653	511	577	0	0	-26880	5603	-945	0	0
			6	0,00	0,00	-37868	330	1369	0	0	-29165	5811	1406	0	0
			7	0,00	0,00	-37492	90	1282	0	0	-28909	4996	1174	0	0
			8	0,00	0,00	-38146	507	1433	0	0	-29354	6414	1578	0	0
			9	0,00	0,00	-37770	267	1346	0	0	-29098	5598	1345	0	0
			10	0,00	0,00	-33611	-3344	1119	0	0	-26164	-7352	312	0	0
			11	0,00	0,00	-33987	-3104	1206	0	0	-26421	-6536	544	0	0
			12	0,00	0,00	-33333	-3521	1054	0	0	-25975	-7954	140	0	0
			13	0,00	0,00	-33709	-3282	1142	0	0	-26231	-7138	372	0	0
			14	0,00	0,00	-36171	-3943	1759	0	0	-28004	-8561	2260	0	0
			15	0,00	0,00	-36548	-3703	1846	0	0	-28260	-7745	2492	0	0
			16	0,00	0,00	-36449	-3766	1823	0	0	-28193	-7959	2431	0	0
			17	0,00	0,00	-36826	-3526	1910	0	0	-28449	-7143	2663	0	0
			18	0,00	0,00	-31726	131	119	0	0	-24773	3401	-2515	0	0
			19	0,00	0,00	-31613	59	92	0	0	-24696	3157	-2585	0	0
			20	0,00	0,00	-30800	-459	-96	0	0	-24142	1393	-3087	0	0
			21	0,00	0,00	-30687	-531	-122	0	0	-24065	1148	-3156	0	0
			22	0,00	0,00	-40262	-1864	2252	0	0	-30905	-630	3977	0	0
			23	0,00	0,00	-40149	-1936	2226	0	0	-30828	-875	3908	0	0
			24	0,00	0,00	-41188	-1274	2467	0	0	-31536	1378	4549	0	0
			25	0,00	0,00	-41075	-1346	2441	0	0	-31459	1134	4479	0	0
			26	0,00	0,00	-31217	-1151	236	0	0	-24425	-910	-2259	0	0
			27	0,00	0,00	-31330	-1079	262	0	0	-24502	-666	-2190	0	0
			28	0,00	0,00	-30291	-1741	21	0	0	-23794	-2918	-2831	0	0
			29	0,00	0,00	-30404	-1669	47	0	0	-23871	-2674	-2761	0	0
			30	0,00	0,00	-39753	-3146	2369	0	0	-30556	-4942	4233	0	0
			31	0,00	0,00	-39865	-3074	2395	0	0	-30633	-4697	4303	0	0
			32	0,00	0,00	-40679	-2555	2584	0	0	-31187	-2933	4805	0	0
			33	0,00	0,00	-40792	-2483	2610	0	0	-31264	-2689	4874	0	0

## DETTAGLIO GERARCHIA RESISTENZA ASTE

Nodo 3D	Pilas. Infer. Asta3d	Pilas. Super. Asta3d	Comb N.ro	AlfaX	AlfaY	PILASTRO INFERIORE					PILASTRO SUPERIORE				
						N (kg)	Mx (kgm)	My (kgm)	AlfaX*Mx (kgm)	AlfaY*My (kgm)	N (kg)	Mx (kgm)	My (kgm)	AlfaX*Mx (kgm)	AlfaY*My (kgm)
15	8	8	1	0,00	0,00	-74211	-3178	-475	0	0	-75576	-1142	-335	0	0
			2	0,00	0,00	-43251	188	-1371	0	0	-44301	7405	-1651	0	0
			3	0,00	0,00	-43161	163	-1565	0	0	-44211	7352	-1913	0	0
			4	0,00	0,00	-43185	169	-1514	0	0	-44235	7366	-1845	0	0
			5	0,00	0,00	-43095	145	-1709	0	0	-44145	7312	-2108	0	0
			6	0,00	0,00	-43385	321	92	0	0	-44435	7192	309	0	0
			7	0,00	0,00	-43295	297	-103	0	0	-44345	7139	47	0	0
			8	0,00	0,00	-43451	339	235	0	0	-44501	7232	504	0	0
			9	0,00	0,00	-43361	315	41	0	0	-44411	7178	241	0	0
			10	0,00	0,00	-45895	-4159	-650	0	0	-46945	-8588	-713	0	0
			11	0,00	0,00	-45985	-4134	-455	0	0	-47035	-8534	-450	0	0
			12	0,00	0,00	-45829	-4177	-793	0	0	-46879	-8627	-907	0	0
			13	0,00	0,00	-45919	-4152	-599	0	0	-46969	-8574	-644	0	0
			14	0,00	0,00	-46028	-4025	813	0	0	-47078	-8800	1247	0	0
			15	0,00	0,00	-46118	-4001	1007	0	0	-47168	-8747	1510	0	0
			16	0,00	0,00	-46095	-4007	956	0	0	-47145	-8761	1441	0	0
			17	0,00	0,00	-46185	-3983	1151	0	0	-47235	-8708	1704	0	0
			18	0,00	0,00	-44021	-1489	-2824	0	0	-45071	2056	-3609	0	0
			19	0,00	0,00	-43994	-1497	-2883	0	0	-45044	2040	-3688	0	0
			20	0,00	0,00	-43800	-1550	-3303	0	0	-44850	1925	-4256	0	0
			21	0,00	0,00	-43773	-1557	-3361	0	0	-44823	1909	-4335	0	0
			22	0,00	0,00	-44466	-1044	2050	0	0	-45516	1346	2924	0	0
			23	0,00	0,00	-44439	-1052	1992	0	0	-45489	1330	2845	0	0
			24	0,00	0,00	-44687	-984	2529	0	0	-45737	1478	3571	0	0

## DETTAGLIO GERARCHIA RESISTENZA ASTE

Nodo 3D	Pilas. Infer. Asta3d	Pilas. Super. Asta3d	Comb N.ro	AlfaX	AlfaY	PILASTRO INFERIORE					PILASTRO SUPERIORE				
						N (kg)	Mx (kgm)	My (kgm)	AlfaX*Mx (kgm)	AlfaY*My (kgm)	N (kg)	Mx (kgm)	My (kgm)	AlfaX*Mx (kgm)	AlfaY*My (kgm)
			25	0,00	0,00	-44660	-992	2470	0	0	-45710	1462	3493	0	0
			26	0,00	0,00	-44814	-2793	-2608	0	0	-45864	-2742	-3328	0	0
			27	0,00	0,00	-44841	-2786	-2550	0	0	-45891	-2726	-3249	0	0
			28	0,00	0,00	-44593	-2853	-3087	0	0	-45643	-2873	-3975	0	0
			29	0,00	0,00	-44620	-2846	-3028	0	0	-45670	-2857	-3896	0	0
			30	0,00	0,00	-45259	-2348	2266	0	0	-46309	-3451	3205	0	0
			31	0,00	0,00	-45286	-2341	2325	0	0	-46336	-3435	3284	0	0
			32	0,00	0,00	-45480	-2288	2745	0	0	-46530	-3320	3853	0	0
			33	0,00	0,00	-45507	-2281	2803	0	0	-46557	-3304	3931	0	0

## DETTAGLIO GERARCHIA RESISTENZA ASTE

Nodo 3D	Pilas. Infer. Asta3d	Pilas. Super. Asta3d	Comb N.ro	AlfaX	AlfaY	PILASTRO INFERIORE					PILASTRO SUPERIORE				
						N (kg)	Mx (kgm)	My (kgm)	AlfaX*Mx (kgm)	AlfaY*My (kgm)	N (kg)	Mx (kgm)	My (kgm)	AlfaX*Mx (kgm)	AlfaY*My (kgm)
16	8	71	1	0,00	0,00	-74211	-3178	-475	0	0	-56881	-1729	-561	0	0
			2	0,00	0,00	-43251	188	-1371	0	0	-32971	6290	-2363	0	0
			3	0,00	0,00	-43161	163	-1565	0	0	-32904	6257	-2702	0	0
			4	0,00	0,00	-43185	169	-1514	0	0	-32922	6266	-2613	0	0
			5	0,00	0,00	-43095	145	-1709	0	0	-32855	6232	-2953	0	0
			6	0,00	0,00	-43385	321	92	0	0	-33055	6396	474	0	0
			7	0,00	0,00	-43295	297	-103	0	0	-32988	6363	134	0	0
			8	0,00	0,00	-43451	339	235	0	0	-33104	6421	725	0	0
			9	0,00	0,00	-43361	315	41	0	0	-33037	6388	385	0	0
			10	0,00	0,00	-45895	-4159	-650	0	0	-35728	-8505	-1142	0	0
			11	0,00	0,00	-45985	-4134	-455	0	0	-35794	-8472	-803	0	0
			12	0,00	0,00	-45829	-4177	-793	0	0	-35679	-8530	-1393	0	0
			13	0,00	0,00	-45919	-4152	-599	0	0	-35745	-8496	-1054	0	0
			14	0,00	0,00	-46028	-4025	813	0	0	-35812	-8399	1694	0	0
			15	0,00	0,00	-46118	-4001	1007	0	0	-35878	-8366	2033	0	0
			16	0,00	0,00	-46095	-4007	956	0	0	-35861	-8375	1945	0	0
			17	0,00	0,00	-46185	-3983	1151	0	0	-35927	-8341	2284	0	0
			18	0,00	0,00	-44021	-1489	-2824	0	0	-33838	988	-5245	0	0
			19	0,00	0,00	-43994	-1497	-2883	0	0	-33818	978	-5347	0	0
			20	0,00	0,00	-43800	-1550	-3303	0	0	-33674	906	-6080	0	0
			21	0,00	0,00	-43773	-1557	-3361	0	0	-33654	896	-6182	0	0
			22	0,00	0,00	-44466	-1044	2050	0	0	-34117	1341	4210	0	0
			23	0,00	0,00	-44439	-1052	1992	0	0	-34098	1331	4108	0	0
			24	0,00	0,00	-44687	-984	2529	0	0	-34281	1424	5046	0	0
			25	0,00	0,00	-44660	-992	2470	0	0	-34261	1414	4944	0	0
			26	0,00	0,00	-44814	-2793	-2608	0	0	-34665	-3450	-4879	0	0
			27	0,00	0,00	-44841	-2786	-2550	0	0	-34685	-3440	-4777	0	0
			28	0,00	0,00	-44593	-2853	-3087	0	0	-34501	-3532	-5714	0	0
			29	0,00	0,00	-44620	-2846	-3028	0	0	-34521	-3522	-5612	0	0
			30	0,00	0,00	-45259	-2348	2266	0	0	-34945	-3097	4576	0	0
			31	0,00	0,00	-45286	-2341	2325	0	0	-34964	-3087	4678	0	0
			32	0,00	0,00	-45480	-2288	2745	0	0	-35108	-3015	5412	0	0
			33	0,00	0,00	-45507	-2281	2803	0	0	-35128	-3005	5513	0	0

## DETTAGLIO GERARCHIA RESISTENZA ASTE

Nodo 3D	Pilas. Infer. Asta3d	Pilas. Super. Asta3d	Comb N.ro	AlfaX	AlfaY	PILASTRO INFERIORE					PILASTRO SUPERIORE				
						N (kg)	Mx (kgm)	My (kgm)	AlfaX*Mx (kgm)	AlfaY*My (kgm)	N (kg)	Mx (kgm)	My (kgm)	AlfaX*Mx (kgm)	AlfaY*My (kgm)
17	9	9	1	0,00	0,00	-57913	-3067	-1667	0	0	-59278	-1083	-903	0	0
			2	0,00	0,00	-36008	723	-1517	0	0	-37058	7516	-1712	0	0
			3	0,00	0,00	-36299	939	-1614	0	0	-37349	8299	-1928	0	0
			4	0,00	0,00	-36223	883	-1589	0	0	-37273	8094	-1872	0	0
			5	0,00	0,00	-36513	1099	-1686	0	0	-37563	8876	-2088	0	0
			6	0,00	0,00	-31696	1198	-807	0	0	-32746	8604	-115	0	0
			7	0,00	0,00	-31986	1414	-904	0	0	-33036	9386	-332	0	0
			8	0,00	0,00	-31481	1038	-735	0	0	-32531	8026	45	0	0
			9	0,00	0,00	-31772	1255	-832	0	0	-32822	8809	-172	0	0
			10	0,00	0,00	-39674	-4702	-1099	0	0	-40724	-9857	-930	0	0
			11	0,00	0,00	-39383	-4919	-1002	0	0	-40433	-10640	-714	0	0
			12	0,00	0,00	-39888	-4542	-1171	0	0	-40938	-9280	-1090	0	0
			13	0,00	0,00	-39598	-4759	-1074	0	0	-40648	-10062	-874	0	0
			14	0,00	0,00	-35361	-4227	-389	0	0	-36411	-8770	666	0	0
			15	0,00	0,00	-35071	-4444	-292	0	0	-36121	-9552	883	0	0
			16	0,00	0,00	-35147	-4387	-318	0	0	-36197	-9347	826	0	0
			17	0,00	0,00	-34856	-4603	-221	0	0	-35906	-10130	1043	0	0
			18	0,00	0,00	-42322	-1730	-2199	0	0	-43372	166	-3301	0	0
			19	0,00	0,00	-42409	-1665	-2228	0	0	-43459	401	-3366	0	0
			20	0,00	0,00	-43038	-1197	-2438	0	0	-44088	2092	-3834	0	0
			21	0,00	0,00	-43125	-1132	-2467	0	0	-44175	2327	-3899	0	0
			22	0,00	0,00	-27948	-147	168	0	0	-28998	3792	2021	0	0
			23	0,00	0,00	-28035	-82	139	0	0	-29085	4027	1956	0	0
			24	0,00	0,00	-27232	-679	407	0	0	-28282	1866	2554	0	0

## DETTAGLIO GERARCHIA RESISTENZA ASTE

Nodo 3D	Pilas. Infer. Asta3d	Pilas. Super. Asta3d	Comb N.ro	AlfaX	AlfaY	PILASTRO INFERIORE					PILASTRO SUPERIORE				
						N (kg)	Mx (kgm)	My (kgm)	AlfaX*Mx (kgm)	AlfaY*My (kgm)	N (kg)	Mx (kgm)	My (kgm)	AlfaX*Mx (kgm)	AlfaY*My (kgm)
			25	0,00	0,00	-27319	-614	377	0	0	-28369	2101	2489	0	0
			26	0,00	0,00	-43422	-3358	-2074	0	0	-44472	-5046	-3067	0	0
			27	0,00	0,00	-43334	-3423	-2045	0	0	-44384	-5280	-3002	0	0
			28	0,00	0,00	-44137	-2825	-2313	0	0	-45187	-3120	-3599	0	0
			29	0,00	0,00	-44050	-2890	-2284	0	0	-45100	-3354	-3535	0	0
			30	0,00	0,00	-29047	-1774	293	0	0	-30097	-1420	2255	0	0
			31	0,00	0,00	-28960	-1839	322	0	0	-30010	-1655	2320	0	0
			32	0,00	0,00	-28332	-2307	532	0	0	-29382	-3346	2788	0	0
			33	0,00	0,00	-28245	-2372	561	0	0	-29295	-3580	2853	0	0

## DETTAGLIO GERARCHIA RESISTENZA ASTE

Nodo 3D	Pilas. Infer. Asta3d	Pilas. Super. Asta3d	Comb N.ro	AlfaX	AlfaY	PILASTRO INFERIORE					PILASTRO SUPERIORE				
						N (kg)	Mx (kgm)	My (kgm)	AlfaX*Mx (kgm)	AlfaY*My (kgm)	N (kg)	Mx (kgm)	My (kgm)	AlfaX*Mx (kgm)	AlfaY*My (kgm)
18	9	72	1	0,00	0,00	-57913	-3067	-1667	0	0	-43618	-2022	-1460	0	0
			2	0,00	0,00	-36008	723	-1517	0	0	-27436	6485	-2302	0	0
			3	0,00	0,00	-36299	939	-1614	0	0	-27648	7200	-2545	0	0
			4	0,00	0,00	-36223	883	-1589	0	0	-27593	7013	-2482	0	0
			5	0,00	0,00	-36513	1099	-1686	0	0	-27805	7728	-2725	0	0
			6	0,00	0,00	-31696	1198	-807	0	0	-24265	7486	-276	0	0
			7	0,00	0,00	-31986	1414	-904	0	0	-24478	8201	-519	0	0
			8	0,00	0,00	-31481	1038	-735	0	0	-24108	6958	-97	0	0
			9	0,00	0,00	-31772	1255	-832	0	0	-24321	7673	-340	0	0
			10	0,00	0,00	-39674	-4702	-1099	0	0	-29830	-9736	-1420	0	0
			11	0,00	0,00	-39383	-4919	-1002	0	0	-29617	-10451	-1177	0	0
			12	0,00	0,00	-39888	-4542	-1171	0	0	-29987	-9208	-1599	0	0
			13	0,00	0,00	-39598	-4759	-1074	0	0	-29774	-9923	-1357	0	0
			14	0,00	0,00	-35361	-4227	-389	0	0	-26660	-8735	606	0	0
			15	0,00	0,00	-35071	-4444	-292	0	0	-26447	-9450	849	0	0
			16	0,00	0,00	-35147	-4387	-318	0	0	-26503	-9263	785	0	0
			17	0,00	0,00	-34856	-4603	-221	0	0	-26290	-9978	1028	0	0
			18	0,00	0,00	-42322	-1730	-2199	0	0	-31972	-360	-4358	0	0
			19	0,00	0,00	-42409	-1665	-2228	0	0	-32036	-146	-4430	0	0
			20	0,00	0,00	-43038	-1197	-2438	0	0	-32496	1399	-4955	0	0
			21	0,00	0,00	-43125	-1132	-2467	0	0	-32560	1614	-5028	0	0
			22	0,00	0,00	-27948	-147	168	0	0	-21405	2977	2396	0	0
			23	0,00	0,00	-28035	-82	139	0	0	-21469	3191	2324	0	0
			24	0,00	0,00	-27232	-679	407	0	0	-20881	1217	2994	0	0
			25	0,00	0,00	-27319	-614	377	0	0	-20945	1432	2921	0	0
			26	0,00	0,00	-43422	-3358	-2074	0	0	-32691	-5227	-4093	0	0
			27	0,00	0,00	-43334	-3423	-2045	0	0	-32627	-5441	-4020	0	0
			28	0,00	0,00	-44137	-2825	-2313	0	0	-33214	-3467	-4691	0	0
			29	0,00	0,00	-44050	-2890	-2284	0	0	-33150	-3682	-4618	0	0
			30	0,00	0,00	-29047	-1774	293	0	0	-22123	-1890	2661	0	0
			31	0,00	0,00	-28960	-1839	322	0	0	-22059	-2104	2734	0	0
			32	0,00	0,00	-28332	-2307	532	0	0	-21599	-3649	3259	0	0
			33	0,00	0,00	-28245	-2372	561	0	0	-21536	-3864	3332	0	0

## DETTAGLIO GERARCHIA RESISTENZA ASTE

Nodo 3D	Pilas. Infer. Asta3d	Pilas. Super. Asta3d	Comb N.ro	AlfaX	AlfaY	PILASTRO INFERIORE					PILASTRO SUPERIORE				
						N (kg)	Mx (kgm)	My (kgm)	AlfaX*Mx (kgm)	AlfaY*My (kgm)	N (kg)	Mx (kgm)	My (kgm)	AlfaX*Mx (kgm)	AlfaY*My (kgm)
19	10	10	1	0,00	0,00	-63329	2471	-259	0	0	-65084	-328	-134	0	0
			2	0,00	0,00	-37280	-701	-2409	0	0	-38630	-9275	-3178	0	0
			3	0,00	0,00	-36678	-859	-2131	0	0	-38028	-9883	-2811	0	0
			4	0,00	0,00	-36835	-818	-2204	0	0	-38185	-9724	-2907	0	0
			5	0,00	0,00	-36233	-976	-1926	0	0	-37583	-10332	-2540	0	0
			6	0,00	0,00	-48939	2358	-1999	0	0	-50289	5823	-2625	0	0
			7	0,00	0,00	-48336	2200	-1721	0	0	-49686	5215	-2258	0	0
			8	0,00	0,00	-49384	2475	-2204	0	0	-50734	6272	-2896	0	0
			9	0,00	0,00	-48781	2317	-1926	0	0	-50131	5664	-2529	0	0
			10	0,00	0,00	-32147	748	1816	0	0	-33497	-6255	2528	0	0
			11	0,00	0,00	-32750	906	1538	0	0	-34100	-5647	2162	0	0
			12	0,00	0,00	-31702	632	2022	0	0	-33052	-6704	2799	0	0
			13	0,00	0,00	-32305	790	1743	0	0	-33655	-6096	2432	0	0
			14	0,00	0,00	-43805	3808	2227	0	0	-45155	8843	3082	0	0
			15	0,00	0,00	-44408	3966	1949	0	0	-45758	9451	2715	0	0
			16	0,00	0,00	-44250	3924	2021	0	0	-45600	9292	2811	0	0
			17	0,00	0,00	-44853	4082	1743	0	0	-46203	9900	2444	0	0
			18	0,00	0,00	-21883	-3763	-1410	0	0	-23233	-25832	-1826	0	0
			19	0,00	0,00	-21702	-3811	-1326	0	0	-23052	-26015	-1716	0	0
			20	0,00	0,00	-20399	-4152	-725	0	0	-21749	-27329	-923	0	0
			21	0,00	0,00	-20218	-4199	-641	0	0	-21568	-27511	-813	0	0
			22	0,00	0,00	-60743	6435	-41	0	0	-62093	24494	18	0	0
			23	0,00	0,00	-60562	6388	43	0	0	-61912	24312	128	0	0
			24	0,00	0,00	-62227	6824	-725	0	0	-63577	25991	-885	0	0

## DETTAGLIO GERARCHIA RESISTENZA ASTE

Nodo 3D	Pilas. Infer. Asta3d	Pilas. Super. Asta3d	Comb N.ro	AlfaX	AlfaY	PILASTRO INFERIORE					PILASTRO SUPERIORE				
						N (kg)	Mx (kgm)	My (kgm)	AlfaX*Mx (kgm)	AlfaY*My (kgm)	N (kg)	Mx (kgm)	My (kgm)	AlfaX*Mx (kgm)	AlfaY*My (kgm)
			25	0,00	0,00	-62046	6776	-642	0	0	-63396	25809	-775	0	0
			26	0,00	0,00	-20343	-3328	-142	0	0	-21693	-24926	-114	0	0
			27	0,00	0,00	-20523	-3281	-225	0	0	-21873	-24744	-224	0	0
			28	0,00	0,00	-18859	-3717	543	0	0	-20209	-26423	789	0	0
			29	0,00	0,00	-19040	-3670	459	0	0	-20390	-26241	679	0	0
			30	0,00	0,00	-59203	6870	1227	0	0	-60553	25400	1730	0	0
			31	0,00	0,00	-59384	6917	1143	0	0	-60734	25583	1620	0	0
			32	0,00	0,00	-60686	7259	542	0	0	-62036	26897	827	0	0
			33	0,00	0,00	-60867	7306	459	0	0	-62217	27079	717	0	0

## DETTAGLIO GERARCHIA RESISTENZA ASTE

Nodo 3D	Pilas. Infer. Asta3d	Pilas. Super. Asta3d	Comb N.ro	AlfaX	AlfaY	PILASTRO INFERIORE					PILASTRO SUPERIORE				
						N (kg)	Mx (kgm)	My (kgm)	AlfaX*Mx (kgm)	AlfaY*My (kgm)	N (kg)	Mx (kgm)	My (kgm)	AlfaX*Mx (kgm)	AlfaY*My (kgm)
20	10	73	1	0,00	0,00	-63329	2471	-259	0	0	-51087	1492	-361	0	0
			2	0,00	0,00	-37280	-701	-2409	0	0	-30898	-9282	-4915	0	0
			3	0,00	0,00	-36678	-859	-2131	0	0	-30560	-9975	-4360	0	0
			4	0,00	0,00	-36835	-818	-2204	0	0	-30648	-9794	-4505	0	0
			5	0,00	0,00	-36233	-976	-1926	0	0	-30310	-10487	-3951	0	0
			6	0,00	0,00	-48939	2358	-1999	0	0	-37538	8047	-4198	0	0
			7	0,00	0,00	-48336	2200	-1721	0	0	-37200	7353	-3644	0	0
			8	0,00	0,00	-49384	2475	-2204	0	0	-37789	8558	-4608	0	0
			9	0,00	0,00	-48781	2317	-1926	0	0	-37450	7865	-4053	0	0
			10	0,00	0,00	-32147	748	1816	0	0	-27402	-6243	3911	0	0
			11	0,00	0,00	-32750	906	1538	0	0	-27741	-5550	3356	0	0
			12	0,00	0,00	-31702	632	2022	0	0	-27152	-6755	4320	0	0
			13	0,00	0,00	-32305	790	1743	0	0	-27491	-6062	3766	0	0
			14	0,00	0,00	-43805	3808	2227	0	0	-34042	11085	4628	0	0
			15	0,00	0,00	-44408	3966	1949	0	0	-34381	11779	4073	0	0
			16	0,00	0,00	-44250	3924	2021	0	0	-34292	11597	4218	0	0
			17	0,00	0,00	-44853	4082	1743	0	0	-34631	12290	3664	0	0
			18	0,00	0,00	-21883	-3763	-1410	0	0	-21928	-28435	-2662	0	0
			19	0,00	0,00	-21702	-3811	-1326	0	0	-21826	-28643	-2495	0	0
			20	0,00	0,00	-20399	-4152	-725	0	0	-21094	-30142	-1297	0	0
			21	0,00	0,00	-20218	-4199	-641	0	0	-20993	-30350	-1131	0	0
			22	0,00	0,00	-60743	6435	-41	0	0	-44062	29327	-273	0	0
			23	0,00	0,00	-60562	6388	43	0	0	-43960	29119	-107	0	0
			24	0,00	0,00	-62227	6824	-725	0	0	-44895	31033	-1638	0	0
			25	0,00	0,00	-62046	6776	-642	0	0	-44794	30825	-1472	0	0
			26	0,00	0,00	-20343	-3328	-142	0	0	-20879	-27524	-14	0	0
			27	0,00	0,00	-20523	-3281	-225	0	0	-20981	-27316	-180	0	0
			28	0,00	0,00	-18859	-3717	543	0	0	-20045	-29230	1351	0	0
			29	0,00	0,00	-19040	-3670	459	0	0	-20147	-29022	1184	0	0
			30	0,00	0,00	-59203	6870	1227	0	0	-43013	30239	2375	0	0
			31	0,00	0,00	-59384	6917	1143	0	0	-43114	30447	2208	0	0
			32	0,00	0,00	-60686	7259	542	0	0	-43846	31945	1010	0	0
			33	0,00	0,00	-60867	7306	459	0	0	-43948	32153	843	0	0

## DETTAGLIO GERARCHIA RESISTENZA ASTE

Nodo 3D	Pilas. Infer. Asta3d	Pilas. Super. Asta3d	Comb N.ro	AlfaX	AlfaY	PILASTRO INFERIORE					PILASTRO SUPERIORE				
						N (kg)	Mx (kgm)	My (kgm)	AlfaX*Mx (kgm)	AlfaY*My (kgm)	N (kg)	Mx (kgm)	My (kgm)	AlfaX*Mx (kgm)	AlfaY*My (kgm)
21	11	11	1	0,00	0,00	-78741	2007	-26	0	0	-80106	820	-119	0	0
			2	0,00	0,00	-48558	8329	-1865	0	0	-49608	10494	-1777	0	0
			3	0,00	0,00	-48821	8301	-1967	0	0	-49871	10440	-1873	0	0
			4	0,00	0,00	-48752	8309	-1940	0	0	-49802	10454	-1848	0	0
			5	0,00	0,00	-49016	8281	-2043	0	0	-50066	10399	-1945	0	0
			6	0,00	0,00	-39420	7944	1109	0	0	-40470	10178	1040	0	0
			7	0,00	0,00	-39684	7916	1006	0	0	-40734	10124	944	0	0
			8	0,00	0,00	-39225	7964	1184	0	0	-40275	10218	1112	0	0
			9	0,00	0,00	-39489	7937	1082	0	0	-40539	10164	1015	0	0
			10	0,00	0,00	-58468	-5508	-1230	0	0	-59518	-9200	-1234	0	0
			11	0,00	0,00	-58205	-5481	-1128	0	0	-59255	-9145	-1137	0	0
			12	0,00	0,00	-58663	-5529	-1306	0	0	-59713	-9240	-1305	0	0
			13	0,00	0,00	-58399	-5501	-1204	0	0	-59449	-9186	-1209	0	0
			14	0,00	0,00	-49331	-5893	1743	0	0	-50381	-9516	1584	0	0
			15	0,00	0,00	-49067	-5866	1846	0	0	-50117	-9461	1680	0	0
			16	0,00	0,00	-49136	-5873	1819	0	0	-50186	-9475	1655	0	0
			17	0,00	0,00	-48872	-5846	1921	0	0	-49922	-9421	1751	0	0
			18	0,00	0,00	-62687	3935	-5112	0	0	-63737	3970	-4874	0	0
			19	0,00	0,00	-62766	3927	-5142	0	0	-63816	3953	-4903	0	0
			20	0,00	0,00	-63336	3868	-5364	0	0	-64386	3836	-5111	0	0
			21	0,00	0,00	-63415	3859	-5395	0	0	-64465	3819	-5140	0	0
			22	0,00	0,00	-32228	2652	4800	0	0	-33278	2917	4517	0	0
			23	0,00	0,00	-32307	2643	4769	0	0	-33357	2900	4488	0	0
			24	0,00	0,00	-31579	2719	5052	0	0	-32629	3051	4755	0	0

## DETTAGLIO GERARCHIA RESISTENZA ASTE

Nodo 3D	Pilas. Infer. Asta3d	Pilas. Super. Asta3d	Comb N.ro	AlfaX	AlfaY	PILASTRO INFERIORE					PILASTRO SUPERIORE				
						N (kg)	Mx (kgm)	My (kgm)	AlfaX*Mx (kgm)	AlfaY*My (kgm)	N (kg)	Mx (kgm)	My (kgm)	AlfaX*Mx (kgm)	AlfaY*My (kgm)
			25	0,00	0,00	-31658	2711	5021	0	0	-32708	3034	4726	0	0
			26	0,00	0,00	-65660	-216	-4921	0	0	-66710	-1938	-4711	0	0
			27	0,00	0,00	-65581	-208	-4891	0	0	-66631	-1922	-4682	0	0
			28	0,00	0,00	-66309	-284	-5174	0	0	-67359	-2072	-4948	0	0
			29	0,00	0,00	-66230	-275	-5143	0	0	-67280	-2056	-4919	0	0
			30	0,00	0,00	-35201	-1500	4990	0	0	-36251	-2991	4680	0	0
			31	0,00	0,00	-35122	-1491	5021	0	0	-36172	-2975	4709	0	0
			32	0,00	0,00	-34552	-1432	5242	0	0	-35602	-2857	4918	0	0
			33	0,00	0,00	-34473	-1424	5273	0	0	-35523	-2841	4947	0	0

## DETTAGLIO GERARCHIA RESISTENZA ASTE

Nodo 3D	Pilas. Infer. Asta3d	Pilas. Super. Asta3d	Comb N.ro	AlfaX	AlfaY	PILASTRO INFERIORE					PILASTRO SUPERIORE				
						N (kg)	Mx (kgm)	My (kgm)	AlfaX*Mx (kgm)	AlfaY*My (kgm)	N (kg)	Mx (kgm)	My (kgm)	AlfaX*Mx (kgm)	AlfaY*My (kgm)
22	11	74	1	0,00	0,00	-78741	2007	-26	0	0	-56232	1251	-504	0	0
			2	0,00	0,00	-48558	8329	-1865	0	0	-38187	10656	-2611	0	0
			3	0,00	0,00	-48821	8301	-1967	0	0	-38290	10627	-2738	0	0
			4	0,00	0,00	-48752	8309	-1940	0	0	-38263	10634	-2705	0	0
			5	0,00	0,00	-49016	8281	-2043	0	0	-38367	10606	-2833	0	0
			6	0,00	0,00	-39420	7944	1109	0	0	-33097	10385	1240	0	0
			7	0,00	0,00	-39684	7916	1006	0	0	-33200	10356	1112	0	0
			8	0,00	0,00	-39225	7964	1184	0	0	-33021	10406	1334	0	0
			9	0,00	0,00	-39489	7937	1082	0	0	-33124	10377	1206	0	0
			10	0,00	0,00	-58468	-5508	-1230	0	0	-36289	-8888	-1876	0	0
			11	0,00	0,00	-58205	-5481	-1128	0	0	-36185	-8859	-1748	0	0
			12	0,00	0,00	-58663	-5529	-1306	0	0	-36365	-8909	-1970	0	0
			13	0,00	0,00	-58399	-5501	-1204	0	0	-36262	-8880	-1843	0	0
			14	0,00	0,00	-49331	-5893	1743	0	0	-31198	-9159	1974	0	0
			15	0,00	0,00	-49067	-5866	1846	0	0	-31095	-9130	2102	0	0
			16	0,00	0,00	-49136	-5873	1819	0	0	-31122	-9138	2068	0	0
			17	0,00	0,00	-48872	-5846	1921	0	0	-31019	-9109	2196	0	0
			18	0,00	0,00	-62687	3935	-5112	0	0	-43461	4132	-6845	0	0
			19	0,00	0,00	-62766	3927	-5142	0	0	-43492	4123	-6884	0	0
			20	0,00	0,00	-63336	3868	-5364	0	0	-43716	4061	-7160	0	0
			21	0,00	0,00	-63415	3859	-5395	0	0	-43747	4052	-7198	0	0
			22	0,00	0,00	-32228	2652	4800	0	0	-26494	3228	5989	0	0
			23	0,00	0,00	-32307	2643	4769	0	0	-26524	3219	5950	0	0
			24	0,00	0,00	-31579	2719	5052	0	0	-26239	3299	6303	0	0
			25	0,00	0,00	-31658	2711	5021	0	0	-26270	3290	6265	0	0
			26	0,00	0,00	-65660	-216	-4921	0	0	-42892	-1731	-6625	0	0
			27	0,00	0,00	-65581	-208	-4891	0	0	-42861	-1723	-6587	0	0
			28	0,00	0,00	-66309	-284	-5174	0	0	-43146	-1802	-6939	0	0
			29	0,00	0,00	-66230	-275	-5143	0	0	-43115	-1793	-6901	0	0
			30	0,00	0,00	-35201	-1500	4990	0	0	-25924	-2635	6209	0	0
			31	0,00	0,00	-35122	-1491	5021	0	0	-25893	-2626	6247	0	0
			32	0,00	0,00	-34552	-1432	5242	0	0	-25670	-2564	6523	0	0
			33	0,00	0,00	-34473	-1424	5273	0	0	-25639	-2555	6562	0	0

## DETTAGLIO GERARCHIA RESISTENZA ASTE

Nodo 3D	Pilas. Infer. Asta3d	Pilas. Super. Asta3d	Comb N.ro	AlfaX	AlfaY	PILASTRO INFERIORE					PILASTRO SUPERIORE				
						N (kg)	Mx (kgm)	My (kgm)	AlfaX*Mx (kgm)	AlfaY*My (kgm)	N (kg)	Mx (kgm)	My (kgm)	AlfaX*Mx (kgm)	AlfaY*My (kgm)
23	12	12	1	0,00	0,00	-59047	3200	-1898	0	0	-60412	1289	-1010	0	0
			2	0,00	0,00	-38932	4539	-1574	0	0	-39982	8919	-1633	0	0
			3	0,00	0,00	-39193	4781	-1605	0	0	-40243	9711	-1696	0	0
			4	0,00	0,00	-39125	4718	-1597	0	0	-40175	9504	-1680	0	0
			5	0,00	0,00	-39387	4959	-1628	0	0	-40437	10296	-1742	0	0
			6	0,00	0,00	-37665	4560	-779	0	0	-38715	9920	142	0	0
			7	0,00	0,00	-37926	4802	-810	0	0	-38976	10712	79	0	0
			8	0,00	0,00	-37471	4382	-756	0	0	-38521	9335	188	0	0
			9	0,00	0,00	-37733	4623	-787	0	0	-38783	10127	125	0	0
			10	0,00	0,00	-34737	-936	-1383	0	0	-35787	-8476	-1307	0	0
			11	0,00	0,00	-34475	-1178	-1352	0	0	-35525	-9268	-1244	0	0
			12	0,00	0,00	-34930	-758	-1406	0	0	-35980	-7891	-1353	0	0
			13	0,00	0,00	-34668	-999	-1375	0	0	-35718	-8683	-1290	0	0
			14	0,00	0,00	-33470	-916	-589	0	0	-34520	-7475	468	0	0
			15	0,00	0,00	-33208	-1157	-558	0	0	-34258	-8267	531	0	0
			16	0,00	0,00	-33276	-1094	-566	0	0	-34326	-8060	515	0	0
			17	0,00	0,00	-33014	-1336	-535	0	0	-34064	-8852	577	0	0
			18	0,00	0,00	-38941	2599	-2434	0	0	-39991	1663	-3590	0	0
			19	0,00	0,00	-39020	2672	-2443	0	0	-40070	1900	-3609	0	0
			20	0,00	0,00	-39586	3194	-2510	0	0	-40636	3612	-3744	0	0
			21	0,00	0,00	-39664	3266	-2520	0	0	-40714	3850	-3763	0	0
			22	0,00	0,00	-34718	2668	214	0	0	-35768	5000	2327	0	0
			23	0,00	0,00	-34797	2740	205	0	0	-35847	5237	2308	0	0
			24	0,00	0,00	-34074	2073	291	0	0	-35124	3050	2481	0	0

## DETTAGLIO GERARCHIA RESISTENZA ASTE

Nodo 3D	Pilas. Infer. Asta3d	Pilas. Super. Asta3d	Comb N.ro	AlfaX	AlfaY	PILASTRO INFERIORE					PILASTRO SUPERIORE				
						N (kg)	Mx (kgm)	My (kgm)	AlfaX*Mx (kgm)	AlfaY*My (kgm)	N (kg)	Mx (kgm)	My (kgm)	AlfaX*Mx (kgm)	AlfaY*My (kgm)
			25	0,00	0,00	-34152	2145	282	0	0	-35202	3288	2462	0	0
			26	0,00	0,00	-37683	956	-2377	0	0	-38733	-3556	-3492	0	0
			27	0,00	0,00	-37604	884	-2367	0	0	-38654	-3793	-3473	0	0
			28	0,00	0,00	-38327	1551	-2453	0	0	-39377	-1606	-3646	0	0
			29	0,00	0,00	-38249	1479	-2444	0	0	-39299	-1844	-3627	0	0
			30	0,00	0,00	-33460	1025	272	0	0	-34510	-219	2425	0	0
			31	0,00	0,00	-33381	952	281	0	0	-34431	-456	2444	0	0
			32	0,00	0,00	-32815	430	348	0	0	-33865	-2168	2579	0	0
			33	0,00	0,00	-32737	358	357	0	0	-33787	-2406	2598	0	0

## DETTAGLIO GERARCHIA RESISTENZA ASTE

Nodo 3D	Pilas. Infer. Asta3d	Pilas. Super. Asta3d	Comb N.ro	AlfaX	AlfaY	PILASTRO INFERIORE					PILASTRO SUPERIORE				
						N (kg)	Mx (kgm)	My (kgm)	AlfaX*Mx (kgm)	AlfaY*My (kgm)	N (kg)	Mx (kgm)	My (kgm)	AlfaX*Mx (kgm)	AlfaY*My (kgm)
24	12	75	1	0,00	0,00	-59047	3200	-1898	0	0	-44527	1924	-1215	0	0
			2	0,00	0,00	-38932	4539	-1574	0	0	-29059	8751	-1601	0	0
			3	0,00	0,00	-39193	4781	-1605	0	0	-29222	9479	-1654	0	0
			4	0,00	0,00	-39125	4718	-1597	0	0	-29179	9288	-1640	0	0
			5	0,00	0,00	-39387	4959	-1628	0	0	-29342	10016	-1693	0	0
			6	0,00	0,00	-37665	4560	-779	0	0	-28477	9616	-94	0	0
			7	0,00	0,00	-37926	4802	-810	0	0	-28640	10344	-147	0	0
			8	0,00	0,00	-37471	4382	-756	0	0	-28357	9079	-54	0	0
			9	0,00	0,00	-37733	4623	-787	0	0	-28520	9807	-108	0	0
			10	0,00	0,00	-34737	-936	-1383	0	0	-26281	-7498	-1341	0	0
			11	0,00	0,00	-34475	-1178	-1352	0	0	-26118	-8226	-1288	0	0
			12	0,00	0,00	-34930	-758	-1406	0	0	-26401	-6960	-1380	0	0
			13	0,00	0,00	-34668	-999	-1375	0	0	-26238	-7688	-1327	0	0
			14	0,00	0,00	-33470	-916	-589	0	0	-25699	-6632	166	0	0
			15	0,00	0,00	-33208	-1157	-558	0	0	-25536	-7360	219	0	0
			16	0,00	0,00	-33276	-1094	-566	0	0	-25579	-7170	205	0	0
			17	0,00	0,00	-33014	-1336	-535	0	0	-25416	-7898	259	0	0
			18	0,00	0,00	-38941	2599	-2434	0	0	-28766	2054	-3268	0	0
			19	0,00	0,00	-39020	2672	-2443	0	0	-28815	2272	-3284	0	0
			20	0,00	0,00	-39586	3194	-2510	0	0	-29167	3846	-3399	0	0
			21	0,00	0,00	-39664	3266	-2520	0	0	-29216	4064	-3415	0	0
			22	0,00	0,00	-34718	2668	214	0	0	-26826	4939	1756	0	0
			23	0,00	0,00	-34797	2740	205	0	0	-26875	5158	1740	0	0
			24	0,00	0,00	-34074	2073	291	0	0	-26425	3147	1887	0	0
			25	0,00	0,00	-34152	2145	282	0	0	-26474	3366	1871	0	0
			26	0,00	0,00	-37683	956	-2377	0	0	-27932	-2821	-3190	0	0
			27	0,00	0,00	-37604	884	-2367	0	0	-27884	-3039	-3174	0	0
			28	0,00	0,00	-38327	1551	-2453	0	0	-28333	-1029	-3321	0	0
			29	0,00	0,00	-38249	1479	-2444	0	0	-28285	-1247	-3305	0	0
			30	0,00	0,00	-33460	1025	272	0	0	-25992	65	1834	0	0
			31	0,00	0,00	-33381	952	281	0	0	-25943	-154	1850	0	0
			32	0,00	0,00	-32815	430	348	0	0	-25591	-1727	1965	0	0
			33	0,00	0,00	-32737	358	357	0	0	-25542	-1946	1981	0	0

## DETTAGLIO GERARCHIA RESISTENZA ASTE

Nodo 3D	Pilas. Infer. Asta3d	Pilas. Super. Asta3d	Comb N.ro	AlfaX	AlfaY	PILASTRO INFERIORE					PILASTRO SUPERIORE				
						N (kg)	Mx (kgm)	My (kgm)	AlfaX*Mx (kgm)	AlfaY*My (kgm)	N (kg)	Mx (kgm)	My (kgm)	AlfaX*Mx (kgm)	AlfaY*My (kgm)
25	13	13	1	0,00	0,00	-65677	2401	397	0	0	-67432	-324	179	0	0
			2	0,00	0,00	-32955	92	-2211	0	0	-34305	-7823	-3086	0	0
			3	0,00	0,00	-33558	250	-1932	0	0	-34908	-7214	-2719	0	0
			4	0,00	0,00	-33400	208	-2005	0	0	-34750	-7373	-2815	0	0
			5	0,00	0,00	-34003	366	-1727	0	0	-35353	-6765	-2448	0	0
			6	0,00	0,00	-46031	3551	-1695	0	0	-47381	8713	-2478	0	0
			7	0,00	0,00	-46634	3709	-1417	0	0	-47984	9321	-2111	0	0
			8	0,00	0,00	-45586	3434	-1900	0	0	-46936	8264	-2749	0	0
			9	0,00	0,00	-46189	3592	-1622	0	0	-47539	8872	-2382	0	0
			10	0,00	0,00	-37718	-550	2014	0	0	-39068	-9153	2620	0	0
			11	0,00	0,00	-37115	-708	1736	0	0	-38465	-9761	2254	0	0
			12	0,00	0,00	-38163	-433	2220	0	0	-39513	-8704	2891	0	0
			13	0,00	0,00	-37560	-591	1942	0	0	-38910	-9312	2525	0	0
			14	0,00	0,00	-50794	2910	2530	0	0	-52144	7382	3228	0	0
			15	0,00	0,00	-50192	2752	2252	0	0	-51542	6774	2862	0	0
			16	0,00	0,00	-50349	2793	2325	0	0	-51699	6933	2957	0	0
			17	0,00	0,00	-49747	2635	2047	0	0	-51097	6325	2591	0	0
			18	0,00	0,00	-19367	-4169	-1334	0	0	-20717	-27579	-1798	0	0
			19	0,00	0,00	-19547	-4121	-1250	0	0	-20897	-27397	-1688	0	0
			20	0,00	0,00	-20850	-3780	-649	0	0	-22200	-26082	-895	0	0
			21	0,00	0,00	-21031	-3732	-565	0	0	-22381	-25900	-785	0	0
			22	0,00	0,00	-62954	7362	386	0	0	-64304	27538	229	0	0
			23	0,00	0,00	-63135	7410	469	0	0	-64485	27720	339	0	0
			24	0,00	0,00	-61471	6974	-299	0	0	-62821	26041	-675	0	0

## DETTAGLIO GERARCHIA RESISTENZA ASTE

Nodo 3D	Pilas. Infer. Asta3d	Pilas. Super. Asta3d	Comb N.ro	AlfaX	AlfaY	PILASTRO INFERIORE					PILASTRO SUPERIORE				
						N (kg)	Mx (kgm)	My (kgm)	AlfaX*Mx (kgm)	AlfaY*My (kgm)	N (kg)	Mx (kgm)	My (kgm)	AlfaX*Mx (kgm)	AlfaY*My (kgm)
			25	0,00	0,00	-61651	7021	-216	0	0	-63001	26223	-564	0	0
			26	0,00	0,00	-20795	-4361	-66	0	0	-22145	-27978	-86	0	0
			27	0,00	0,00	-20615	-4408	-149	0	0	-21965	-28161	-196	0	0
			28	0,00	0,00	-22279	-3972	619	0	0	-23629	-26482	817	0	0
			29	0,00	0,00	-22098	-4020	535	0	0	-23448	-26664	707	0	0
			30	0,00	0,00	-64383	7170	1653	0	0	-65733	27138	1940	0	0
			31	0,00	0,00	-64202	7123	1570	0	0	-65552	26956	1830	0	0
			32	0,00	0,00	-62899	6781	968	0	0	-64249	25642	1037	0	0
			33	0,00	0,00	-62719	6734	885	0	0	-64069	25459	927	0	0

## DETTAGLIO GERARCHIA RESISTENZA ASTE

Nodo 3D	Pilas. Infer. Asta3d	Pilas. Super. Asta3d	Comb N.ro	AlfaX	AlfaY	PILASTRO INFERIORE					PILASTRO SUPERIORE				
						N (kg)	Mx (kgm)	My (kgm)	AlfaX*Mx (kgm)	AlfaY*My (kgm)	N (kg)	Mx (kgm)	My (kgm)	AlfaX*Mx (kgm)	AlfaY*My (kgm)
26	13	76	1	0,00	0,00	-65677	2401	397	0	0	-52359	1866	396	0	0
			2	0,00	0,00	-32955	92	-2211	0	0	-27882	-7774	-4717	0	0
			3	0,00	0,00	-33558	250	-1932	0	0	-28221	-7081	-4163	0	0
			4	0,00	0,00	-33400	208	-2005	0	0	-28132	-7263	-4308	0	0
			5	0,00	0,00	-34003	366	-1727	0	0	-28471	-6569	-3753	0	0
			6	0,00	0,00	-46031	3551	-1695	0	0	-35313	11196	-3786	0	0
			7	0,00	0,00	-46634	3709	-1417	0	0	-35651	11889	-3232	0	0
			8	0,00	0,00	-45586	3434	-1900	0	0	-35062	10684	-4196	0	0
			9	0,00	0,00	-46189	3592	-1622	0	0	-35401	11377	-3641	0	0
			10	0,00	0,00	-37718	-550	2014	0	0	-31244	-8952	4108	0	0
			11	0,00	0,00	-37115	-708	1736	0	0	-30905	-9645	3553	0	0
			12	0,00	0,00	-38163	-433	2220	0	0	-31494	-8440	4517	0	0
			13	0,00	0,00	-37560	-591	1942	0	0	-31156	-9133	3963	0	0
			14	0,00	0,00	-50794	2910	2530	0	0	-38675	10018	5039	0	0
			15	0,00	0,00	-50192	2752	2252	0	0	-38336	9325	4485	0	0
			16	0,00	0,00	-50349	2793	2325	0	0	-38425	9506	4630	0	0
			17	0,00	0,00	-49747	2635	2047	0	0	-38086	8813	4075	0	0
			18	0,00	0,00	-19367	-4169	-1334	0	0	-20390	-30318	-2715	0	0
			19	0,00	0,00	-19547	-4121	-1250	0	0	-20492	-30110	-2549	0	0
			20	0,00	0,00	-20850	-3780	-649	0	0	-21224	-28612	-1350	0	0
			21	0,00	0,00	-21031	-3732	-565	0	0	-21325	-28404	-1184	0	0
			22	0,00	0,00	-62954	7362	386	0	0	-45158	32915	389	0	0
			23	0,00	0,00	-63135	7410	469	0	0	-45260	33123	556	0	0
			24	0,00	0,00	-61471	6974	-299	0	0	-44324	31209	-976	0	0
			25	0,00	0,00	-61651	7021	-216	0	0	-44426	31417	-809	0	0
			26	0,00	0,00	-20795	-4361	-66	0	0	-21399	-30672	-67	0	0
			27	0,00	0,00	-20615	-4408	-149	0	0	-21297	-30879	-234	0	0
			28	0,00	0,00	-22279	-3972	619	0	0	-22232	-28965	1297	0	0
			29	0,00	0,00	-22098	-4020	535	0	0	-22131	-29173	1131	0	0
			30	0,00	0,00	-64383	7170	1653	0	0	-46167	32562	3037	0	0
			31	0,00	0,00	-64202	7123	1570	0	0	-46065	32354	2870	0	0
			32	0,00	0,00	-62899	6781	968	0	0	-45333	30856	1672	0	0
			33	0,00	0,00	-62719	6734	885	0	0	-45231	30648	1505	0	0

## DETTAGLIO GERARCHIA RESISTENZA ASTE

Nodo 3D	Pilas. Infer. Asta3d	Pilas. Super. Asta3d	Comb N.ro	AlfaX	AlfaY	PILASTRO INFERIORE					PILASTRO SUPERIORE				
						N (kg)	Mx (kgm)	My (kgm)	AlfaX*Mx (kgm)	AlfaY*My (kgm)	N (kg)	Mx (kgm)	My (kgm)	AlfaX*Mx (kgm)	AlfaY*My (kgm)
27	14	14	1	0,00	0,00	-80672	-1967	-3	0	0	-82037	-684	-106	0	0
			2	0,00	0,00	-59991	5581	-1476	0	0	-61041	9343	-1479	0	0
			3	0,00	0,00	-59727	5553	-1374	0	0	-60777	9289	-1382	0	0
			4	0,00	0,00	-59796	5561	-1401	0	0	-60846	9303	-1407	0	0
			5	0,00	0,00	-59533	5533	-1298	0	0	-60583	9249	-1311	0	0
			6	0,00	0,00	-50201	5836	1737	0	0	-51251	9491	1565	0	0
			7	0,00	0,00	-49938	5809	1839	0	0	-50988	9437	1661	0	0
			8	0,00	0,00	-50396	5856	1661	0	0	-51446	9531	1493	0	0
			9	0,00	0,00	-50132	5829	1763	0	0	-51182	9477	1590	0	0
			10	0,00	0,00	-50065	-8255	-1830	0	0	-51115	-10350	-1743	0	0
			11	0,00	0,00	-50329	-8227	-1933	0	0	-51379	-10295	-1839	0	0
			12	0,00	0,00	-49870	-8275	-1755	0	0	-50920	-10390	-1671	0	0
			13	0,00	0,00	-50134	-8248	-1857	0	0	-51184	-10335	-1768	0	0
			14	0,00	0,00	-40275	-8000	1383	0	0	-41325	-10202	1301	0	0
			15	0,00	0,00	-40539	-7972	1280	0	0	-41589	-10147	1204	0	0
			16	0,00	0,00	-40470	-7979	1307	0	0	-41520	-10162	1229	0	0
			17	0,00	0,00	-40734	-7952	1205	0	0	-41784	-10107	1133	0	0
			18	0,00	0,00	-67938	441	-5349	0	0	-68988	2278	-5121	0	0
			19	0,00	0,00	-67859	432	-5318	0	0	-68909	2262	-5093	0	0
			20	0,00	0,00	-67289	373	-5097	0	0	-68339	2144	-4884	0	0
			21	0,00	0,00	-67210	365	-5066	0	0	-68260	2128	-4855	0	0
			22	0,00	0,00	-35306	1291	5361	0	0	-36356	2771	5023	0	0
			23	0,00	0,00	-35227	1283	5392	0	0	-36277	2755	5052	0	0
			24	0,00	0,00	-35955	1359	5109	0	0	-37005	2905	4785	0	0

## DETTAGLIO GERARCHIA RESISTENZA ASTE

Nodo 3D	Pilas. Infer. Asta3d	Pilas. Super. Asta3d	Comb N.ro	AlfaX	AlfaY	PILASTRO INFERIORE					PILASTRO SUPERIORE				
						N (kg)	Mx (kgm)	My (kgm)	AlfaX*Mx (kgm)	AlfaY*My (kgm)	N (kg)	Mx (kgm)	My (kgm)	AlfaX*Mx (kgm)	AlfaY*My (kgm)
			25	0,00	0,00	-35876	1351	5140	0	0	-36926	2889	4814	0	0
			26	0,00	0,00	-64960	-3710	-5455	0	0	-66010	-3629	-5201	0	0
			27	0,00	0,00	-65039	-3702	-5486	0	0	-66089	-3613	-5230	0	0
			28	0,00	0,00	-64311	-3778	-5203	0	0	-65361	-3763	-4963	0	0
			29	0,00	0,00	-64390	-3769	-5234	0	0	-65440	-3747	-4992	0	0
			30	0,00	0,00	-32328	-2859	5255	0	0	-33378	-3137	4943	0	0
			31	0,00	0,00	-32407	-2851	5225	0	0	-33457	-3121	4914	0	0
			32	0,00	0,00	-32977	-2792	5003	0	0	-34027	-3003	4706	0	0
			33	0,00	0,00	-33056	-2784	4972	0	0	-34106	-2987	4677	0	0

## DETTAGLIO GERARCHIA RESISTENZA ASTE

Nodo 3D	Pilas. Infer. Asta3d	Pilas. Super. Asta3d	Comb N.ro	AlfaX	AlfaY	PILASTRO INFERIORE					PILASTRO SUPERIORE				
						N (kg)	Mx (kgm)	My (kgm)	AlfaX*Mx (kgm)	AlfaY*My (kgm)	N (kg)	Mx (kgm)	My (kgm)	AlfaX*Mx (kgm)	AlfaY*My (kgm)
28	14	77	1	0,00	0,00	-80672	-1967	-3	0	0	-59339	-1191	-648	0	0
			2	0,00	0,00	-59991	5581	-1476	0	0	-38590	8979	-2292	0	0
			3	0,00	0,00	-59727	5553	-1374	0	0	-38486	8950	-2164	0	0
			4	0,00	0,00	-59796	5561	-1401	0	0	-38513	8957	-2198	0	0
			5	0,00	0,00	-59533	5533	-1298	0	0	-38410	8929	-2070	0	0
			6	0,00	0,00	-50201	5836	1737	0	0	-33282	9102	1856	0	0
			7	0,00	0,00	-49938	5809	1839	0	0	-33179	9073	1984	0	0
			8	0,00	0,00	-50396	5856	1661	0	0	-33358	9123	1762	0	0
			9	0,00	0,00	-50132	5829	1763	0	0	-33255	9094	1890	0	0
			10	0,00	0,00	-50065	-8255	-1830	0	0	-40082	-10564	-2666	0	0
			11	0,00	0,00	-50329	-8227	-1933	0	0	-40185	-10535	-2793	0	0
			12	0,00	0,00	-49870	-8275	-1755	0	0	-40005	-10585	-2571	0	0
			13	0,00	0,00	-50134	-8248	-1857	0	0	-40109	-10556	-2699	0	0
			14	0,00	0,00	-40275	-8000	1383	0	0	-34774	-10441	1482	0	0
			15	0,00	0,00	-40539	-7972	1280	0	0	-34877	-10412	1355	0	0
			16	0,00	0,00	-40470	-7979	1307	0	0	-34850	-10420	1388	0	0
			17	0,00	0,00	-40734	-7952	1205	0	0	-34953	-10391	1260	0	0
			18	0,00	0,00	-67938	441	-5349	0	0	-45304	1995	-7262	0	0
			19	0,00	0,00	-67859	432	-5318	0	0	-45273	1987	-7224	0	0
			20	0,00	0,00	-67289	373	-5097	0	0	-45050	1925	-6948	0	0
			21	0,00	0,00	-67210	365	-5066	0	0	-45019	1916	-6909	0	0
			22	0,00	0,00	-35306	1291	5361	0	0	-27612	2405	6565	0	0
			23	0,00	0,00	-35227	1283	5392	0	0	-27581	2396	6603	0	0
			24	0,00	0,00	-35955	1359	5109	0	0	-27866	2476	6250	0	0
			25	0,00	0,00	-35876	1351	5140	0	0	-27835	2467	6289	0	0
			26	0,00	0,00	-64960	-3710	-5455	0	0	-45752	-3867	-7374	0	0
			27	0,00	0,00	-65039	-3702	-5486	0	0	-45783	-3859	-7413	0	0
			28	0,00	0,00	-64311	-3778	-5203	0	0	-45498	-3938	-7060	0	0
			29	0,00	0,00	-64390	-3769	-5234	0	0	-45529	-3930	-7098	0	0
			30	0,00	0,00	-32328	-2859	5255	0	0	-28059	-3458	6453	0	0
			31	0,00	0,00	-32407	-2851	5225	0	0	-28090	-3449	6414	0	0
			32	0,00	0,00	-32977	-2792	5003	0	0	-28314	-3387	6138	0	0
			33	0,00	0,00	-33056	-2784	4972	0	0	-28345	-3378	6100	0	0

## DETTAGLIO GERARCHIA RESISTENZA ASTE

Nodo 3D	Pilas. Infer. Asta3d	Pilas. Super. Asta3d	Comb N.ro	AlfaX	AlfaY	PILASTRO INFERIORE					PILASTRO SUPERIORE				
						N (kg)	Mx (kgm)	My (kgm)	AlfaX*Mx (kgm)	AlfaY*My (kgm)	N (kg)	Mx (kgm)	My (kgm)	AlfaX*Mx (kgm)	AlfaY*My (kgm)
29	15	15	1	0,00	0,00	-59442	-3187	-1907	0	0	-60807	-1128	-1012	0	0
			2	0,00	0,00	-35274	692	-1483	0	0	-36324	7505	-1480	0	0
			3	0,00	0,00	-35012	934	-1452	0	0	-36062	8297	-1417	0	0
			4	0,00	0,00	-35081	870	-1460	0	0	-36131	8090	-1434	0	0
			5	0,00	0,00	-34819	1112	-1429	0	0	-35869	8882	-1371	0	0
			6	0,00	0,00	-33411	1165	-614	0	0	-34461	8593	442	0	0
			7	0,00	0,00	-33149	1407	-583	0	0	-34199	9385	505	0	0
			8	0,00	0,00	-33604	987	-637	0	0	-34654	8008	396	0	0
			9	0,00	0,00	-33342	1228	-606	0	0	-34392	8800	459	0	0
			10	0,00	0,00	-39361	-4776	-1562	0	0	-40411	-9887	-1612	0	0
			11	0,00	0,00	-39623	-5018	-1593	0	0	-40673	-10679	-1674	0	0
			12	0,00	0,00	-39168	-4598	-1539	0	0	-40218	-9302	-1566	0	0
			13	0,00	0,00	-39430	-4839	-1570	0	0	-40480	-10094	-1628	0	0
			14	0,00	0,00	-37498	-4303	-693	0	0	-38548	-8799	311	0	0
			15	0,00	0,00	-37759	-4544	-724	0	0	-38809	-9591	248	0	0
			16	0,00	0,00	-37691	-4481	-716	0	0	-38741	-9384	265	0	0
			17	0,00	0,00	-37953	-4723	-747	0	0	-39003	-10176	202	0	0
			18	0,00	0,00	-38878	-1774	-2524	0	0	-39928	149	-3769	0	0
			19	0,00	0,00	-38800	-1701	-2515	0	0	-39850	387	-3750	0	0
			20	0,00	0,00	-38234	-1179	-2448	0	0	-39284	2099	-3615	0	0
			21	0,00	0,00	-38155	-1107	-2438	0	0	-39205	2336	-3596	0	0
			22	0,00	0,00	-32667	-197	372	0	0	-33717	3774	2639	0	0
			23	0,00	0,00	-32588	-124	381	0	0	-33638	4012	2658	0	0
			24	0,00	0,00	-33311	-791	296	0	0	-34361	1825	2485	0	0

## DETTAGLIO GERARCHIA RESISTENZA ASTE

Nodo 3D	Pilas. Infer. Asta3d	Pilas. Super. Asta3d	Comb N.ro	AlfaX	AlfaY	PILASTRO INFERIORE					PILASTRO SUPERIORE				
						N (kg)	Mx (kgm)	My (kgm)	AlfaX*Mx (kgm)	AlfaY*My (kgm)	N (kg)	Mx (kgm)	My (kgm)	AlfaX*Mx (kgm)	AlfaY*My (kgm)
			25	0,00	0,00	-33233	-719	305	0	0	-34283	2063	2504	0	0
			26	0,00	0,00	-40105	-3414	-2548	0	0	-41155	-5068	-3808	0	0
			27	0,00	0,00	-40183	-3487	-2557	0	0	-41233	-5306	-3827	0	0
			28	0,00	0,00	-39460	-2820	-2471	0	0	-40510	-3119	-3654	0	0
			29	0,00	0,00	-39539	-2892	-2481	0	0	-40589	-3357	-3673	0	0
			30	0,00	0,00	-33893	-1837	349	0	0	-34943	-1443	2599	0	0
			31	0,00	0,00	-33972	-1909	339	0	0	-35022	-1681	2581	0	0
			32	0,00	0,00	-34538	-2432	272	0	0	-35588	-3393	2446	0	0
			33	0,00	0,00	-34616	-2504	263	0	0	-35666	-3630	2427	0	0

## DETTAGLIO GERARCHIA RESISTENZA ASTE

Nodo 3D	Pilas. Infer. Asta3d	Pilas. Super. Asta3d	Comb N.ro	AlfaX	AlfaY	PILASTRO INFERIORE					PILASTRO SUPERIORE				
						N (kg)	Mx (kgm)	My (kgm)	AlfaX*Mx (kgm)	AlfaY*My (kgm)	N (kg)	Mx (kgm)	My (kgm)	AlfaX*Mx (kgm)	AlfaY*My (kgm)
30	15	78	1	0,00	0,00	-59442	-3187	-1907	0	0	-44866	-1880	-1217	0	0
			2	0,00	0,00	-35274	692	-1483	0	0	-26652	6576	-1485	0	0
			3	0,00	0,00	-35012	934	-1452	0	0	-26489	7304	-1432	0	0
			4	0,00	0,00	-35081	870	-1460	0	0	-26532	7114	-1446	0	0
			5	0,00	0,00	-34819	1112	-1429	0	0	-26369	7842	-1392	0	0
			6	0,00	0,00	-33411	1165	-614	0	0	-25703	7589	148	0	0
			7	0,00	0,00	-33149	1407	-583	0	0	-25540	8317	201	0	0
			8	0,00	0,00	-33604	987	-637	0	0	-25823	7051	109	0	0
			9	0,00	0,00	-33342	1228	-606	0	0	-25660	7779	162	0	0
			10	0,00	0,00	-39361	-4776	-1562	0	0	-29371	-9668	-1585	0	0
			11	0,00	0,00	-39623	-5018	-1593	0	0	-29534	-10396	-1638	0	0
			12	0,00	0,00	-39168	-4598	-1539	0	0	-29251	-9130	-1546	0	0
			13	0,00	0,00	-39430	-4839	-1570	0	0	-29414	-9858	-1599	0	0
			14	0,00	0,00	-37498	-4303	-693	0	0	-28422	-8655	48	0	0
			15	0,00	0,00	-37759	-4544	-724	0	0	-28585	-9383	-5	0	0
			16	0,00	0,00	-37691	-4481	-716	0	0	-28542	-9193	8	0	0
			17	0,00	0,00	-37953	-4723	-747	0	0	-28705	-9921	-45	0	0
			18	0,00	0,00	-38878	-1774	-2524	0	0	-28712	-290	-3425	0	0
			19	0,00	0,00	-38800	-1701	-2515	0	0	-28663	-72	-3409	0	0
			20	0,00	0,00	-38234	-1179	-2448	0	0	-28311	1501	-3294	0	0
			21	0,00	0,00	-38155	-1107	-2438	0	0	-28262	1720	-3278	0	0
			22	0,00	0,00	-32667	-197	372	0	0	-25547	3085	2018	0	0
			23	0,00	0,00	-32588	-124	381	0	0	-25498	3303	2034	0	0
			24	0,00	0,00	-33311	-791	296	0	0	-25948	1293	1887	0	0
			25	0,00	0,00	-33233	-719	305	0	0	-25899	1511	1903	0	0
			26	0,00	0,00	-40105	-3414	-2548	0	0	-29527	-5164	-3455	0	0
			27	0,00	0,00	-40183	-3487	-2557	0	0	-29576	-5382	-3471	0	0
			28	0,00	0,00	-39460	-2820	-2471	0	0	-29126	-3372	-3324	0	0
			29	0,00	0,00	-39539	-2892	-2481	0	0	-29175	-3590	-3340	0	0
			30	0,00	0,00	-33893	-1837	349	0	0	-26363	-1788	1988	0	0
			31	0,00	0,00	-33972	-1909	339	0	0	-26412	-2007	1972	0	0
			32	0,00	0,00	-34538	-2432	272	0	0	-26764	-3580	1857	0	0
			33	0,00	0,00	-34616	-2504	263	0	0	-26813	-3799	1841	0	0

## DETTAGLIO GERARCHIA RESISTENZA ASTE

Nodo 3D	Pilas. Infer. Asta3d	Pilas. Super. Asta3d	Comb N.ro	AlfaX	AlfaY	PILASTRO INFERIORE					PILASTRO SUPERIORE				
						N (kg)	Mx (kgm)	My (kgm)	AlfaX*Mx (kgm)	AlfaY*My (kgm)	N (kg)	Mx (kgm)	My (kgm)	AlfaX*Mx (kgm)	AlfaY*My (kgm)
31	16	16	1	0,00	0,00	-66507	2688	2179	0	0	-67872	1059	936	0	0
			2	0,00	0,00	-37340	3977	933	0	0	-38390	9433	-236	0	0
			3	0,00	0,00	-37716	3737	1020	0	0	-38766	8468	-24	0	0
			4	0,00	0,00	-37618	3800	997	0	0	-38668	8720	-80	0	0
			5	0,00	0,00	-37994	3560	1084	0	0	-39044	7754	132	0	0
			6	0,00	0,00	-40783	3401	1794	0	0	-41833	7888	1840	0	0
			7	0,00	0,00	-41159	3161	1882	0	0	-42209	6922	2052	0	0
			8	0,00	0,00	-40505	3578	1730	0	0	-41555	8601	1684	0	0
			9	0,00	0,00	-40881	3339	1817	0	0	-41931	7635	1896	0	0
			10	0,00	0,00	-38793	-295	679	0	0	-39843	-6673	-794	0	0
			11	0,00	0,00	-38417	-55	592	0	0	-39467	-5707	-1005	0	0
			12	0,00	0,00	-39071	-472	743	0	0	-40121	-7387	-637	0	0
			13	0,00	0,00	-38694	-233	656	0	0	-39744	-6421	-849	0	0
			14	0,00	0,00	-42236	-871	1540	0	0	-43286	-8219	1283	0	0
			15	0,00	0,00	-41860	-631	1453	0	0	-42910	-7253	1071	0	0
			16	0,00	0,00	-41958	-694	1476	0	0	-43008	-7506	1126	0	0
			17	0,00	0,00	-41582	-454	1389	0	0	-42632	-6540	914	0	0
			18	0,00	0,00	-33832	3153	-161	0	0	-34882	5599	-2854	0	0
			19	0,00	0,00	-33944	3081	-135	0	0	-34994	5310	-2790	0	0
			20	0,00	0,00	-34758	2562	53	0	0	-35808	3222	-2332	0	0
			21	0,00	0,00	-34871	2491	79	0	0	-35921	2932	-2269	0	0
			22	0,00	0,00	-45308	1235	2711	0	0	-46358	447	4068	0	0
			23	0,00	0,00	-45421	1163	2737	0	0	-46471	157	4131	0	0
			24	0,00	0,00	-44382	1825	2496	0	0	-45432	2825	3546	0	0

## DETTAGLIO GERARCHIA RESISTENZA ASTE

Nodo 3D	Pilas. Infer. Asta3d	Pilas. Super. Asta3d	Comb N.ro	AlfaX	AlfaY	PILASTRO INFERIORE					PILASTRO SUPERIORE				
						N (kg)	Mx (kgm)	My (kgm)	AlfaX*Mx (kgm)	AlfaY*My (kgm)	N (kg)	Mx (kgm)	My (kgm)	AlfaX*Mx (kgm)	AlfaY*My (kgm)
			25	0,00	0,00	-44495	1753	2522	0	0	-45545	2535	3610	0	0
			26	0,00	0,00	-34267	1871	-237	0	0	-35317	767	-3021	0	0
			27	0,00	0,00	-34155	1943	-264	0	0	-35205	1057	-3085	0	0
			28	0,00	0,00	-35194	1281	-23	0	0	-36244	-1610	-2500	0	0
			29	0,00	0,00	-35081	1353	-49	0	0	-36131	-1321	-2563	0	0
			30	0,00	0,00	-45744	-47	2634	0	0	-46794	-4385	3900	0	0
			31	0,00	0,00	-45631	25	2608	0	0	-46681	-4095	3837	0	0
			32	0,00	0,00	-44818	544	2420	0	0	-45868	-2007	3379	0	0
			33	0,00	0,00	-44705	615	2394	0	0	-45755	-1717	3315	0	0

## DETTAGLIO GERARCHIA RESISTENZA ASTE

Nodo 3D	Pilas. Infer. Asta3d	Pilas. Super. Asta3d	Comb N.ro	AlfaX	AlfaY	PILASTRO INFERIORE					PILASTRO SUPERIORE				
						N (kg)	Mx (kgm)	My (kgm)	AlfaX*Mx (kgm)	AlfaY*My (kgm)	N (kg)	Mx (kgm)	My (kgm)	AlfaX*Mx (kgm)	AlfaY*My (kgm)
32	16	79	1	0,00	0,00	-66507	2688	2179	0	0	-49465	1278	1474	0	0
			2	0,00	0,00	-37340	3977	933	0	0	-28161	8567	-95	0	0
			3	0,00	0,00	-37716	3737	1020	0	0	-28418	7751	138	0	0
			4	0,00	0,00	-37618	3800	997	0	0	-28351	7965	77	0	0
			5	0,00	0,00	-37994	3560	1084	0	0	-28607	7149	309	0	0
			6	0,00	0,00	-40783	3401	1794	0	0	-30597	7282	2412	0	0
			7	0,00	0,00	-41159	3161	1882	0	0	-30853	6467	2644	0	0
			8	0,00	0,00	-40505	3578	1730	0	0	-30407	7885	2241	0	0
			9	0,00	0,00	-40881	3339	1817	0	0	-30664	7069	2473	0	0
			10	0,00	0,00	-38793	-295	679	0	0	-29141	-5805	-722	0	0
			11	0,00	0,00	-38417	-55	592	0	0	-28885	-4989	-954	0	0
			12	0,00	0,00	-39071	-472	743	0	0	-29330	-6407	-551	0	0
			13	0,00	0,00	-38694	-233	656	0	0	-29074	-5591	-783	0	0
			14	0,00	0,00	-42236	-871	1540	0	0	-31576	-7090	1785	0	0
			15	0,00	0,00	-41860	-631	1453	0	0	-31320	-6274	1553	0	0
			16	0,00	0,00	-41958	-694	1476	0	0	-31387	-6487	1613	0	0
			17	0,00	0,00	-41582	-454	1389	0	0	-31131	-5671	1381	0	0
			18	0,00	0,00	-33832	3153	-161	0	0	-25663	5036	-3239	0	0
			19	0,00	0,00	-33944	3081	-135	0	0	-25740	4791	-3169	0	0
			20	0,00	0,00	-34758	2562	53	0	0	-26294	3028	-2667	0	0
			21	0,00	0,00	-34871	2491	79	0	0	-26371	2783	-2598	0	0
			22	0,00	0,00	-45308	1235	2711	0	0	-33781	753	5117	0	0
			23	0,00	0,00	-45421	1163	2737	0	0	-33858	509	5187	0	0
			24	0,00	0,00	-44382	1825	2496	0	0	-33150	2761	4546	0	0
			25	0,00	0,00	-44495	1753	2522	0	0	-33227	2517	4616	0	0
			26	0,00	0,00	-34267	1871	-237	0	0	-25957	724	-3427	0	0
			27	0,00	0,00	-34155	1943	-264	0	0	-25880	969	-3497	0	0
			28	0,00	0,00	-35194	1281	-23	0	0	-26588	-1284	-2856	0	0
			29	0,00	0,00	-35081	1353	-49	0	0	-26511	-1039	-2925	0	0
			30	0,00	0,00	-45744	-47	2634	0	0	-34075	-3558	4929	0	0
			31	0,00	0,00	-45631	25	2608	0	0	-33998	-3313	4859	0	0
			32	0,00	0,00	-44818	544	2420	0	0	-33444	-1550	4358	0	0
			33	0,00	0,00	-44705	615	2394	0	0	-33367	-1305	4288	0	0

## DETTAGLIO GERARCHIA RESISTENZA ASTE

Nodo 3D	Pilas. Infer. Asta3d	Pilas. Super. Asta3d	Comb N.ro	AlfaX	AlfaY	PILASTRO INFERIORE					PILASTRO SUPERIORE				
						N (kg)	Mx (kgm)	My (kgm)	AlfaX*Mx (kgm)	AlfaY*My (kgm)	N (kg)	Mx (kgm)	My (kgm)	AlfaX*Mx (kgm)	AlfaY*My (kgm)
33	17	17	1	0,00	0,00	-74992	3255	-458	0	0	-76357	1293	-319	0	0
			2	0,00	0,00	-46221	4232	-979	0	0	-47271	8892	-1148	0	0
			3	0,00	0,00	-46311	4208	-785	0	0	-47361	8839	-885	0	0
			4	0,00	0,00	-46287	4214	-835	0	0	-47337	8853	-954	0	0
			5	0,00	0,00	-46377	4190	-641	0	0	-47427	8800	-691	0	0
			6	0,00	0,00	-46551	4033	957	0	0	-47601	8640	1449	0	0
			7	0,00	0,00	-46640	4008	1152	0	0	-47690	8587	1712	0	0
			8	0,00	0,00	-46484	4051	814	0	0	-47534	8679	1255	0	0
			9	0,00	0,00	-46574	4026	1008	0	0	-47624	8626	1517	0	0
			10	0,00	0,00	-43591	-115	-1500	0	0	-44641	-7101	-1838	0	0
			11	0,00	0,00	-43501	-90	-1694	0	0	-44551	-7047	-2101	0	0
			12	0,00	0,00	-43658	-133	-1356	0	0	-44708	-7140	-1644	0	0
			13	0,00	0,00	-43568	-109	-1551	0	0	-44618	-7087	-1907	0	0
			14	0,00	0,00	-43921	-314	437	0	0	-44971	-7353	759	0	0
			15	0,00	0,00	-43831	-290	242	0	0	-44881	-7300	496	0	0
			16	0,00	0,00	-43855	-296	293	0	0	-44905	-7314	565	0	0
			17	0,00	0,00	-43765	-272	98	0	0	-44815	-7260	302	0	0
			18	0,00	0,00	-44916	2943	-3421	0	0	-45966	3589	-4419	0	0
			19	0,00	0,00	-44943	2936	-3362	0	0	-45993	3573	-4340	0	0
			20	0,00	0,00	-45137	2883	-2942	0	0	-46187	3458	-3772	0	0
			21	0,00	0,00	-45164	2876	-2883	0	0	-46214	3442	-3693	0	0
			22	0,00	0,00	-46015	2278	3034	0	0	-47065	2748	4237	0	0
			23	0,00	0,00	-46042	2271	3093	0	0	-47092	2732	4316	0	0
			24	0,00	0,00	-45794	2338	2556	0	0	-46844	2879	3590	0	0

## DETTAGLIO GERARCHIA RESISTENZA ASTE

Nodo 3D	Pilas. Infer. Asta3d	Pilas. Super. Asta3d	Comb N.ro	AlfaX	AlfaY	PILASTRO INFERIORE					PILASTRO SUPERIORE				
						N (kg)	Mx (kgm)	My (kgm)	AlfaX*Mx (kgm)	AlfaY*My (kgm)	N (kg)	Mx (kgm)	My (kgm)	AlfaX*Mx (kgm)	AlfaY*My (kgm)
			25	0,00	0,00	-45821	2331	2614	0	0	-46871	2863	3668	0	0
			26	0,00	0,00	-44127	1639	-3577	0	0	-45177	-1209	-4626	0	0
			27	0,00	0,00	-44100	1647	-3635	0	0	-45150	-1193	-4705	0	0
			28	0,00	0,00	-44348	1579	-3098	0	0	-45398	-1340	-3979	0	0
			29	0,00	0,00	-44321	1586	-3156	0	0	-45371	-1324	-4058	0	0
			30	0,00	0,00	-45226	974	2878	0	0	-46276	-2050	4030	0	0
			31	0,00	0,00	-45199	982	2820	0	0	-46249	-2034	3951	0	0
			32	0,00	0,00	-45005	1034	2399	0	0	-46055	-1919	3383	0	0
			33	0,00	0,00	-44978	1042	2341	0	0	-46028	-1903	3304	0	0

## DETTAGLIO GERARCHIA RESISTENZA ASTE

Nodo 3D	Pilas. Infer. Asta3d	Pilas. Super. Asta3d	Comb N.ro	AlfaX	AlfaY	PILASTRO INFERIORE					PILASTRO SUPERIORE				
						N (kg)	Mx (kgm)	My (kgm)	AlfaX*Mx (kgm)	AlfaY*My (kgm)	N (kg)	Mx (kgm)	My (kgm)	AlfaX*Mx (kgm)	AlfaY*My (kgm)
34	17	80	1	0,00	0,00	-74992	3255	-458	0	0	-57582	1871	-553	0	0
			2	0,00	0,00	-46221	4232	-979	0	0	-36042	8645	-1706	0	0
			3	0,00	0,00	-46311	4208	-785	0	0	-36109	8611	-1367	0	0
			4	0,00	0,00	-46287	4214	-835	0	0	-36091	8620	-1455	0	0
			5	0,00	0,00	-46377	4190	-641	0	0	-36158	8587	-1116	0	0
			6	0,00	0,00	-46551	4033	957	0	0	-36266	8405	1945	0	0
			7	0,00	0,00	-46640	4008	1152	0	0	-36333	8371	2284	0	0
			8	0,00	0,00	-46484	4051	814	0	0	-36217	8429	1694	0	0
			9	0,00	0,00	-46574	4026	1008	0	0	-36284	8396	2034	0	0
			10	0,00	0,00	-43591	-115	-1500	0	0	-33296	-6152	-2607	0	0
			11	0,00	0,00	-43501	-90	-1694	0	0	-33230	-6119	-2947	0	0
			12	0,00	0,00	-43658	-133	-1356	0	0	-33345	-6177	-2357	0	0
			13	0,00	0,00	-43568	-109	-1551	0	0	-33279	-6144	-2696	0	0
			14	0,00	0,00	-43921	-314	437	0	0	-33520	-6393	1044	0	0
			15	0,00	0,00	-43831	-290	242	0	0	-33454	-6359	704	0	0
			16	0,00	0,00	-43855	-296	293	0	0	-33471	-6368	793	0	0
			17	0,00	0,00	-43765	-272	98	0	0	-33405	-6335	454	0	0
			18	0,00	0,00	-44916	2943	-3421	0	0	-34820	3746	-6281	0	0
			19	0,00	0,00	-44943	2936	-3362	0	0	-34839	3736	-6179	0	0
			20	0,00	0,00	-45137	2883	-2942	0	0	-34983	3664	-5446	0	0
			21	0,00	0,00	-45164	2876	-2883	0	0	-35003	3654	-5344	0	0
			22	0,00	0,00	-46015	2278	3034	0	0	-35567	2945	5889	0	0
			23	0,00	0,00	-46042	2271	3093	0	0	-35587	2935	5991	0	0
			24	0,00	0,00	-45794	2338	2556	0	0	-35403	3027	5054	0	0
			25	0,00	0,00	-45821	2331	2614	0	0	-35423	3017	5156	0	0
			26	0,00	0,00	-44127	1639	-3577	0	0	-33996	-693	-6552	0	0
			27	0,00	0,00	-44100	1647	-3635	0	0	-33976	-683	-6653	0	0
			28	0,00	0,00	-44348	1579	-3098	0	0	-34159	-775	-5716	0	0
			29	0,00	0,00	-44321	1586	-3156	0	0	-34139	-765	-5818	0	0
			30	0,00	0,00	-45226	974	2878	0	0	-34743	-1494	5619	0	0
			31	0,00	0,00	-45199	982	2820	0	0	-34723	-1484	5517	0	0
			32	0,00	0,00	-45005	1034	2399	0	0	-34579	-1412	4783	0	0
			33	0,00	0,00	-44978	1042	2341	0	0	-34559	-1402	4682	0	0

## DETTAGLIO GERARCHIA RESISTENZA ASTE

Nodo 3D	Pilas. Infer. Asta3d	Pilas. Super. Asta3d	Comb N.ro	AlfaX	AlfaY	PILASTRO INFERIORE					PILASTRO SUPERIORE				
						N (kg)	Mx (kgm)	My (kgm)	AlfaX*Mx (kgm)	AlfaY*My (kgm)	N (kg)	Mx (kgm)	My (kgm)	AlfaX*Mx (kgm)	AlfaY*My (kgm)
35	18	18	1	0,00	0,00	-67709	2803	-1630	0	0	-69074	1139	-877	0	0
			2	0,00	0,00	-44605	4346	-1274	0	0	-45655	8850	-1287	0	0
			3	0,00	0,00	-44315	4563	-1177	0	0	-45365	9632	-1071	0	0
			4	0,00	0,00	-44391	4506	-1202	0	0	-45441	9428	-1127	0	0
			5	0,00	0,00	-44100	4722	-1105	0	0	-45150	10210	-911	0	0
			6	0,00	0,00	-39609	4330	-320	0	0	-40659	9827	835	0	0
			7	0,00	0,00	-39318	4547	-222	0	0	-40368	10609	1052	0	0
			8	0,00	0,00	-39823	4170	-391	0	0	-40873	9249	675	0	0
			9	0,00	0,00	-39533	4387	-294	0	0	-40583	10031	892	0	0
			10	0,00	0,00	-41002	-1089	-1552	0	0	-42052	-8527	-1857	0	0
			11	0,00	0,00	-41292	-1305	-1649	0	0	-42342	-9310	-2074	0	0
			12	0,00	0,00	-40787	-929	-1480	0	0	-41837	-7950	-1697	0	0
			13	0,00	0,00	-41078	-1145	-1578	0	0	-42128	-8732	-1914	0	0
			14	0,00	0,00	-36005	-1105	-598	0	0	-37055	-7551	265	0	0
			15	0,00	0,00	-36296	-1321	-695	0	0	-37346	-8333	49	0	0
			16	0,00	0,00	-36220	-1265	-669	0	0	-37270	-8128	105	0	0
			17	0,00	0,00	-36510	-1481	-766	0	0	-37560	-8911	-111	0	0
			18	0,00	0,00	-49173	2463	-2485	0	0	-50223	1628	-3963	0	0
			19	0,00	0,00	-49086	2528	-2456	0	0	-50136	1863	-3898	0	0
			20	0,00	0,00	-48458	2996	-2246	0	0	-49508	3554	-3430	0	0
			21	0,00	0,00	-48371	3060	-2217	0	0	-49421	3789	-3365	0	0
			22	0,00	0,00	-32518	2409	697	0	0	-33568	4884	3112	0	0
			23	0,00	0,00	-32431	2474	726	0	0	-33481	5119	3177	0	0
			24	0,00	0,00	-33234	1876	458	0	0	-34284	2958	2579	0	0

## DETTAGLIO GERARCHIA RESISTENZA ASTE

Nodo 3D	Pilas. Infer. Asta3d	Pilas. Super. Asta3d	Comb N.ro	AlfaX	AlfaY	PILASTRO INFERIORE					PILASTRO SUPERIORE				
						N (kg)	Mx (kgm)	My (kgm)	AlfaX*Mx (kgm)	AlfaY*My (kgm)	N (kg)	Mx (kgm)	My (kgm)	AlfaX*Mx (kgm)	AlfaY*My (kgm)
			25	0,00	0,00	-33146	1941	487	0	0	-34196	3193	2644	0	0
			26	0,00	0,00	-48092	832	-2569	0	0	-49142	-3585	-4134	0	0
			27	0,00	0,00	-48179	767	-2598	0	0	-49229	-3820	-4199	0	0
			28	0,00	0,00	-47377	1365	-2330	0	0	-48427	-1659	-3601	0	0
			29	0,00	0,00	-47464	1300	-2359	0	0	-48514	-1894	-3666	0	0
			30	0,00	0,00	-31437	779	613	0	0	-32487	-329	2941	0	0
			31	0,00	0,00	-31524	714	584	0	0	-32574	-564	2876	0	0
			32	0,00	0,00	-32153	246	374	0	0	-33203	-2255	2408	0	0
			33	0,00	0,00	-32240	181	345	0	0	-33290	-2490	2343	0	0

## DETTAGLIO GERARCHIA RESISTENZA ASTE

Nodo 3D	Pilas. Infer. Asta3d	Pilas. Super. Asta3d	Comb N.ro	AlfaX	AlfaY	PILASTRO INFERIORE					PILASTRO SUPERIORE				
						N (kg)	Mx (kgm)	My (kgm)	AlfaX*Mx (kgm)	AlfaY*My (kgm)	N (kg)	Mx (kgm)	My (kgm)	AlfaX*Mx (kgm)	AlfaY*My (kgm)
36	18	81	1	0,00	0,00	-67709	2803	-1630	0	0	-50146	1751	-1423	0	0
			2	0,00	0,00	-44605	4346	-1274	0	0	-33138	8682	-1813	0	0
			3	0,00	0,00	-44315	4563	-1177	0	0	-32925	9397	-1570	0	0
			4	0,00	0,00	-44391	4506	-1202	0	0	-32980	9210	-1633	0	0
			5	0,00	0,00	-44100	4722	-1105	0	0	-32768	9925	-1391	0	0
			6	0,00	0,00	-39609	4330	-320	0	0	-29472	9525	798	0	0
			7	0,00	0,00	-39318	4547	-222	0	0	-29260	10239	1041	0	0
			8	0,00	0,00	-39823	4170	-391	0	0	-29629	8997	619	0	0
			9	0,00	0,00	-39533	4387	-294	0	0	-29417	9712	862	0	0
			10	0,00	0,00	-41002	-1089	-1552	0	0	-30795	-7544	-2461	0	0
			11	0,00	0,00	-41292	-1305	-1649	0	0	-31008	-8258	-2703	0	0
			12	0,00	0,00	-40787	-929	-1480	0	0	-30638	-7016	-2281	0	0
			13	0,00	0,00	-41078	-1145	-1578	0	0	-30850	-7730	-2524	0	0
			14	0,00	0,00	-36005	-1105	-598	0	0	-27130	-6701	150	0	0
			15	0,00	0,00	-36296	-1321	-695	0	0	-27342	-7416	-93	0	0
			16	0,00	0,00	-36220	-1265	-669	0	0	-27287	-7229	-29	0	0
			17	0,00	0,00	-36510	-1481	-766	0	0	-27499	-7944	-272	0	0
			18	0,00	0,00	-49173	2463	-2485	0	0	-36594	2020	-5086	0	0
			19	0,00	0,00	-49086	2528	-2456	0	0	-36530	2235	-5013	0	0
			20	0,00	0,00	-48458	2996	-2246	0	0	-36070	3780	-4488	0	0
			21	0,00	0,00	-48371	3060	-2217	0	0	-36006	3994	-4415	0	0
			22	0,00	0,00	-32518	2409	697	0	0	-24376	4829	3617	0	0
			23	0,00	0,00	-32431	2474	726	0	0	-24313	5043	3690	0	0
			24	0,00	0,00	-33234	1876	458	0	0	-24900	3069	3020	0	0
			25	0,00	0,00	-33146	1941	487	0	0	-24836	3284	3093	0	0
			26	0,00	0,00	-48092	832	-2569	0	0	-35891	-2847	-5280	0	0
			27	0,00	0,00	-48179	767	-2598	0	0	-35955	-3062	-5353	0	0
			28	0,00	0,00	-47377	1365	-2330	0	0	-35367	-1088	-4682	0	0
			29	0,00	0,00	-47464	1300	-2359	0	0	-35431	-1302	-4755	0	0
			30	0,00	0,00	-31437	779	613	0	0	-23674	-39	3423	0	0
			31	0,00	0,00	-31524	714	584	0	0	-23737	-254	3350	0	0
			32	0,00	0,00	-32153	246	374	0	0	-24197	-1799	2825	0	0
			33	0,00	0,00	-32240	181	345	0	0	-24261	-2013	2753	0	0

## DETTAGLIO GERARCHIA RESISTENZA ASTE

Nodo 3D	Pilas. Infer. Asta3d	Pilas. Super. Asta3d	Comb N.ro	AlfaX	AlfaY	PILASTRO INFERIORE					PILASTRO SUPERIORE				
						N (kg)	Mx (kgm)	My (kgm)	AlfaX*Mx (kgm)	AlfaY*My (kgm)	N (kg)	Mx (kgm)	My (kgm)	AlfaX*Mx (kgm)	AlfaY*My (kgm)
37	19	19	1	0,00	0,00	-69189	-2832	2270	0	0	-70554	-1030	982	0	0
			2	0,00	0,00	-40713	947	928	0	0	-41763	8298	-164	0	0
			3	0,00	0,00	-41112	629	1113	0	0	-42162	7302	190	0	0
			4	0,00	0,00	-41008	712	1064	0	0	-42058	7562	98	0	0
			5	0,00	0,00	-41407	393	1250	0	0	-42457	6567	451	0	0
			6	0,00	0,00	-43793	78	2164	0	0	-44843	6616	2225	0	0
			7	0,00	0,00	-44193	-241	2349	0	0	-45243	5620	2578	0	0
			8	0,00	0,00	-43499	314	2027	0	0	-44549	7351	1963	0	0
			9	0,00	0,00	-43898	-5	2212	0	0	-44948	6355	2317	0	0
			10	0,00	0,00	-38859	-3433	400	0	0	-39909	-7846	-1133	0	0
			11	0,00	0,00	-38459	-3114	214	0	0	-39509	-6851	-1487	0	0
			12	0,00	0,00	-39153	-3669	536	0	0	-40203	-8582	-872	0	0
			13	0,00	0,00	-38754	-3350	351	0	0	-39804	-7586	-1225	0	0
			14	0,00	0,00	-41939	-4303	1636	0	0	-42989	-9528	1255	0	0
			15	0,00	0,00	-41540	-3984	1451	0	0	-42590	-8533	902	0	0
			16	0,00	0,00	-41644	-4067	1499	0	0	-42694	-8793	994	0	0
			17	0,00	0,00	-41245	-3748	1314	0	0	-42295	-7797	640	0	0
			18	0,00	0,00	-36470	428	-700	0	0	-37520	4610	-3289	0	0
			19	0,00	0,00	-36590	333	-644	0	0	-37640	4311	-3183	0	0
			20	0,00	0,00	-37453	-356	-244	0	0	-38503	2158	-2418	0	0
			21	0,00	0,00	-37573	-452	-188	0	0	-38623	1860	-2312	0	0
			22	0,00	0,00	-46738	-2469	3422	0	0	-47788	-997	4672	0	0
			23	0,00	0,00	-46858	-2565	3477	0	0	-47908	-1296	4778	0	0
			24	0,00	0,00	-45755	-1685	2966	0	0	-46805	1454	3801	0	0

## DETTAGLIO GERARCHIA RESISTENZA ASTE

Nodo 3D	Pilas. Infer. Asta3d	Pilas. Super. Asta3d	Comb N.ro	AlfaX	AlfaY	PILASTRO INFERIORE					PILASTRO SUPERIORE				
						N (kg)	Mx (kgm)	My (kgm)	AlfaX*Mx (kgm)	AlfaY*My (kgm)	N (kg)	Mx (kgm)	My (kgm)	AlfaX*Mx (kgm)	AlfaY*My (kgm)
			25	0,00	0,00	-45875	-1780	3021	0	0	-46925	1156	3907	0	0
			26	0,00	0,00	-35914	-886	-858	0	0	-36964	-234	-3580	0	0
			27	0,00	0,00	-35794	-790	-914	0	0	-36844	65	-3686	0	0
			28	0,00	0,00	-36897	-1671	-402	0	0	-37947	-2685	-2709	0	0
			29	0,00	0,00	-36777	-1575	-458	0	0	-37827	-2386	-2815	0	0
			30	0,00	0,00	-46182	-3784	3263	0	0	-47232	-5840	4381	0	0
			31	0,00	0,00	-46062	-3688	3208	0	0	-47112	-5542	4275	0	0
			32	0,00	0,00	-45199	-2999	2807	0	0	-46249	-3389	3510	0	0
			33	0,00	0,00	-45079	-2903	2752	0	0	-46129	-3090	3404	0	0

## DETTAGLIO GERARCHIA RESISTENZA ASTE

Nodo 3D	Pilas. Infer. Asta3d	Pilas. Super. Asta3d	Comb N.ro	AlfaX	AlfaY	PILASTRO INFERIORE					PILASTRO SUPERIORE				
						N (kg)	Mx (kgm)	My (kgm)	AlfaX*Mx (kgm)	AlfaY*My (kgm)	N (kg)	Mx (kgm)	My (kgm)	AlfaX*Mx (kgm)	AlfaY*My (kgm)
38	19	82	1	0,00	0,00	-69189	-2832	2270	0	0	-51784	-1531	1199	0	0
			2	0,00	0,00	-40713	947	928	0	0	-30903	7040	97	0	0
			3	0,00	0,00	-41112	629	1113	0	0	-31083	6173	384	0	0
			4	0,00	0,00	-41008	712	1064	0	0	-31036	6400	309	0	0
			5	0,00	0,00	-41407	393	1250	0	0	-31217	5533	595	0	0
			6	0,00	0,00	-43793	78	2164	0	0	-32508	5553	2119	0	0
			7	0,00	0,00	-44193	-241	2349	0	0	-32689	4686	2405	0	0
			8	0,00	0,00	-43499	314	2027	0	0	-32375	6193	1907	0	0
			9	0,00	0,00	-43898	-5	2212	0	0	-32556	5326	2194	0	0
			10	0,00	0,00	-38859	-3433	400	0	0	-29676	-7364	-716	0	0
			11	0,00	0,00	-38459	-3114	214	0	0	-29496	-6497	-1002	0	0
			12	0,00	0,00	-39153	-3669	536	0	0	-29809	-8004	-504	0	0
			13	0,00	0,00	-38754	-3350	351	0	0	-29629	-7137	-791	0	0
			14	0,00	0,00	-41939	-4303	1636	0	0	-31281	-8851	1306	0	0
			15	0,00	0,00	-41540	-3984	1451	0	0	-31101	-7984	1019	0	0
			16	0,00	0,00	-41644	-4067	1499	0	0	-31148	-8210	1094	0	0
			17	0,00	0,00	-41245	-3748	1314	0	0	-30968	-7344	808	0	0
			18	0,00	0,00	-36470	428	-700	0	0	-28601	3734	-2546	0	0
			19	0,00	0,00	-36590	333	-644	0	0	-28655	3473	-2460	0	0
			20	0,00	0,00	-37453	-356	-244	0	0	-29045	1600	-1841	0	0
			21	0,00	0,00	-37573	-452	-188	0	0	-29099	1340	-1755	0	0
			22	0,00	0,00	-46738	-2469	3422	0	0	-33952	-1223	4193	0	0
			23	0,00	0,00	-46858	-2565	3477	0	0	-34006	-1483	4279	0	0
			24	0,00	0,00	-45755	-1685	2966	0	0	-33508	911	3488	0	0
			25	0,00	0,00	-45875	-1780	3021	0	0	-33562	651	3574	0	0
			26	0,00	0,00	-35914	-886	-858	0	0	-28233	-588	-2790	0	0
			27	0,00	0,00	-35794	-790	-914	0	0	-28179	-327	-2876	0	0
			28	0,00	0,00	-36897	-1671	-402	0	0	-28676	-2721	-2085	0	0
			29	0,00	0,00	-36777	-1575	-458	0	0	-28622	-2461	-2171	0	0
			30	0,00	0,00	-46182	-3784	3263	0	0	-33584	-5544	3949	0	0
			31	0,00	0,00	-46062	-3688	3208	0	0	-33530	-5284	3863	0	0
			32	0,00	0,00	-45199	-2999	2807	0	0	-33140	-3410	3244	0	0
			33	0,00	0,00	-45079	-2903	2752	0	0	-33086	-3150	3158	0	0

## DETTAGLIO GERARCHIA RESISTENZA ASTE

Nodo 3D	Pilas. Infer. Asta3d	Pilas. Super. Asta3d	Comb N.ro	AlfaX	AlfaY	PILASTRO INFERIORE					PILASTRO SUPERIORE				
						N (kg)	Mx (kgm)	My (kgm)	AlfaX*Mx (kgm)	AlfaY*My (kgm)	N (kg)	Mx (kgm)	My (kgm)	AlfaX*Mx (kgm)	AlfaY*My (kgm)
39	20	20	1	0,00	0,00	-71600	-2917	-626	0	0	-72965	-1043	-397	0	0
			2	0,00	0,00	-42094	311	-993	0	0	-43144	7447	-1078	0	0
			3	0,00	0,00	-42546	307	-669	0	0	-43596	7401	-658	0	0
			4	0,00	0,00	-42428	308	-753	0	0	-43478	7413	-768	0	0
			5	0,00	0,00	-42880	304	-429	0	0	-43930	7368	-348	0	0
			6	0,00	0,00	-45791	424	1157	0	0	-46841	7237	1749	0	0
			7	0,00	0,00	-46244	420	1481	0	0	-47294	7191	2169	0	0
			8	0,00	0,00	-45457	427	917	0	0	-46507	7271	1438	0	0
			9	0,00	0,00	-45910	423	1242	0	0	-46960	7225	1858	0	0
			10	0,00	0,00	-40176	-3987	-1883	0	0	-41226	-8529	-2223	0	0
			11	0,00	0,00	-39723	-3983	-2208	0	0	-40773	-8483	-2643	0	0
			12	0,00	0,00	-40510	-3990	-1644	0	0	-41560	-8562	-1913	0	0
			13	0,00	0,00	-40058	-3986	-1968	0	0	-41108	-8517	-2333	0	0
			14	0,00	0,00	-43874	-3874	266	0	0	-44924	-8739	603	0	0
			15	0,00	0,00	-43421	-3870	-58	0	0	-44471	-8693	183	0	0
			16	0,00	0,00	-43540	-3871	27	0	0	-44590	-8705	293	0	0
			17	0,00	0,00	-43087	-3867	-298	0	0	-44137	-8659	-127	0	0
			18	0,00	0,00	-37108	-1326	-3813	0	0	-38158	2100	-4776	0	0
			19	0,00	0,00	-37244	-1327	-3715	0	0	-38294	2086	-4650	0	0
			20	0,00	0,00	-38222	-1335	-3014	0	0	-39272	1988	-3742	0	0
			21	0,00	0,00	-38357	-1336	-2917	0	0	-39407	1974	-3616	0	0
			22	0,00	0,00	-49435	-949	3353	0	0	-50485	1401	4645	0	0
			23	0,00	0,00	-49570	-950	3451	0	0	-50620	1387	4771	0	0
			24	0,00	0,00	-48321	-939	2555	0	0	-49371	1513	3611	0	0

## DETTAGLIO GERARCHIA RESISTENZA ASTE

Nodo 3D	Pilas. Infer. Asta3d	Pilas. Super. Asta3d	Comb N.ro	AlfaX	AlfaY	PILASTRO INFERIORE					PILASTRO SUPERIORE				
						N (kg)	Mx (kgm)	My (kgm)	AlfaX*Mx (kgm)	AlfaY*My (kgm)	N (kg)	Mx (kgm)	My (kgm)	AlfaX*Mx (kgm)	AlfaY*My (kgm)
			25	0,00	0,00	-48457	-940	2652	0	0	-49507	1499	3737	0	0
			26	0,00	0,00	-36533	-2615	-4080	0	0	-37583	-2693	-5120	0	0
			27	0,00	0,00	-36397	-2614	-4177	0	0	-37447	-2679	-5246	0	0
			28	0,00	0,00	-37646	-2624	-3281	0	0	-38696	-2805	-4086	0	0
			29	0,00	0,00	-37511	-2623	-3379	0	0	-38561	-2791	-4212	0	0
			30	0,00	0,00	-48859	-2238	3086	0	0	-49909	-3392	4302	0	0
			31	0,00	0,00	-48724	-2237	2989	0	0	-49774	-3378	4176	0	0
			32	0,00	0,00	-47746	-2228	2288	0	0	-48796	-3280	3268	0	0
			33	0,00	0,00	-47610	-2227	2190	0	0	-48660	-3266	3142	0	0

## DETTAGLIO GERARCHIA RESISTENZA ASTE

Nodo 3D	Pilas. Infer. Asta3d	Pilas. Super. Asta3d	Comb N.ro	AlfaX	AlfaY	PILASTRO INFERIORE					PILASTRO SUPERIORE				
						N (kg)	Mx (kgm)	My (kgm)	AlfaX*Mx (kgm)	AlfaY*My (kgm)	N (kg)	Mx (kgm)	My (kgm)	AlfaX*Mx (kgm)	AlfaY*My (kgm)
40	20	83	1	0,00	0,00	-71600	-2917	-626	0	0	-54462	-1579	19	0	0
			2	0,00	0,00	-42094	311	-993	0	0	-31908	6275	-1106	0	0
			3	0,00	0,00	-42546	307	-669	0	0	-32351	6259	-599	0	0
			4	0,00	0,00	-42428	308	-753	0	0	-32235	6263	-732	0	0
			5	0,00	0,00	-42880	304	-429	0	0	-32678	6247	-225	0	0
			6	0,00	0,00	-45791	424	1157	0	0	-35511	6157	2471	0	0
			7	0,00	0,00	-46244	420	1481	0	0	-35954	6141	2978	0	0
			8	0,00	0,00	-45457	427	917	0	0	-35184	6168	2097	0	0
			9	0,00	0,00	-45910	423	1242	0	0	-35627	6153	2604	0	0
			10	0,00	0,00	-40176	-3987	-1883	0	0	-30127	-8105	-2501	0	0
			11	0,00	0,00	-39723	-3983	-2208	0	0	-29684	-8089	-3008	0	0
			12	0,00	0,00	-40510	-3990	-1644	0	0	-30454	-8117	-2127	0	0
			13	0,00	0,00	-40058	-3986	-1968	0	0	-30011	-8101	-2634	0	0
			14	0,00	0,00	-43874	-3874	266	0	0	-33730	-8223	1076	0	0
			15	0,00	0,00	-43421	-3870	-58	0	0	-33288	-8207	570	0	0
			16	0,00	0,00	-43540	-3871	27	0	0	-33403	-8211	702	0	0
			17	0,00	0,00	-43087	-3867	-298	0	0	-32961	-8195	196	0	0
			18	0,00	0,00	-37108	-1326	-3813	0	0	-27081	1379	-5768	0	0
			19	0,00	0,00	-37244	-1327	-3715	0	0	-27214	1375	-5616	0	0
			20	0,00	0,00	-38222	-1335	-3014	0	0	-28171	1340	-4521	0	0
			21	0,00	0,00	-38357	-1336	-2917	0	0	-28304	1336	-4369	0	0
			22	0,00	0,00	-49435	-949	3353	0	0	-39092	986	6157	0	0
			23	0,00	0,00	-49570	-950	3451	0	0	-39224	982	6309	0	0
			24	0,00	0,00	-48321	-939	2555	0	0	-38001	1025	4910	0	0
			25	0,00	0,00	-48457	-940	2652	0	0	-38134	1020	5062	0	0
			26	0,00	0,00	-36533	-2615	-4080	0	0	-26547	-2934	-6186	0	0
			27	0,00	0,00	-36397	-2614	-4177	0	0	-26414	-2930	-6338	0	0
			28	0,00	0,00	-37646	-2624	-3281	0	0	-27637	-2973	-4939	0	0
			29	0,00	0,00	-37511	-2623	-3379	0	0	-27504	-2969	-5091	0	0
			30	0,00	0,00	-48859	-2238	3086	0	0	-38557	-3328	5738	0	0
			31	0,00	0,00	-48724	-2237	2989	0	0	-38425	-3323	5586	0	0
			32	0,00	0,00	-47746	-2228	2288	0	0	-37467	-3289	4491	0	0
			33	0,00	0,00	-47610	-2227	2190	0	0	-37334	-3284	4339	0	0

## DETTAGLIO GERARCHIA RESISTENZA ASTE

Nodo 3D	Pilas. Infer. Asta3d	Pilas. Super. Asta3d	Comb N.ro	AlfaX	AlfaY	PILASTRO INFERIORE					PILASTRO SUPERIORE				
						N (kg)	Mx (kgm)	My (kgm)	AlfaX*Mx (kgm)	AlfaY*My (kgm)	N (kg)	Mx (kgm)	My (kgm)	AlfaX*Mx (kgm)	AlfaY*My (kgm)
41	21	21	1	0,00	0,00	-66991	-2423	-1467	0	0	-68356	-839	-797	0	0
			2	0,00	0,00	-40828	897	-1123	0	0	-41878	7577	-1139	0	0
			3	0,00	0,00	-39805	1150	-972	0	0	-40855	8373	-802	0	0
			4	0,00	0,00	-40072	1084	-1011	0	0	-41122	8165	-890	0	0
			5	0,00	0,00	-39049	1336	-860	0	0	-40099	8961	-553	0	0
			6	0,00	0,00	-34123	1443	-125	0	0	-35173	8692	1128	0	0
			7	0,00	0,00	-33100	1695	26	0	0	-34150	9488	1466	0	0
			8	0,00	0,00	-34879	1256	-237	0	0	-35929	8104	879	0	0
			9	0,00	0,00	-33856	1509	-86	0	0	-34906	8900	1217	0	0
			10	0,00	0,00	-46031	-4289	-1569	0	0	-47081	-9697	-2064	0	0
			11	0,00	0,00	-47055	-4542	-1720	0	0	-48105	-10493	-2401	0	0
			12	0,00	0,00	-45276	-4103	-1457	0	0	-46326	-9109	-1815	0	0
			13	0,00	0,00	-46299	-4355	-1608	0	0	-47349	-9905	-2152	0	0
			14	0,00	0,00	-39327	-3744	-571	0	0	-40377	-8582	204	0	0
			15	0,00	0,00	-40350	-3996	-722	0	0	-41400	-9378	-134	0	0
			16	0,00	0,00	-40083	-3930	-683	0	0	-41133	-9170	-45	0	0
			17	0,00	0,00	-41106	-4183	-834	0	0	-42156	-9966	-383	0	0
			18	0,00	0,00	-50472	-1555	-2443	0	0	-51522	231	-4109	0	0
			19	0,00	0,00	-50164	-1479	-2397	0	0	-51214	470	-4007	0	0
			20	0,00	0,00	-47952	-933	-2071	0	0	-49002	2190	-3278	0	0
			21	0,00	0,00	-47645	-857	-2026	0	0	-48695	2429	-3177	0	0
			22	0,00	0,00	-28122	264	882	0	0	-29172	3947	3451	0	0
			23	0,00	0,00	-27815	340	928	0	0	-28865	4186	3552	0	0
			24	0,00	0,00	-30642	-358	511	0	0	-31692	1987	2620	0	0

## DETTAGLIO GERARCHIA RESISTENZA ASTE

Nodo 3D	Pilas. Infer. Asta3d	Pilas. Super. Asta3d	Comb N.ro	AlfaX	AlfaY	PILASTRO INFERIORE					PILASTRO SUPERIORE				
						N (kg)	Mx (kgm)	My (kgm)	AlfaX*Mx (kgm)	AlfaY*My (kgm)	N (kg)	Mx (kgm)	My (kgm)	AlfaX*Mx (kgm)	AlfaY*My (kgm)
			25	0,00	0,00	-30335	-282	556	0	0	-31385	2226	2721	0	0
			26	0,00	0,00	-52033	-3111	-2576	0	0	-53083	-4951	-4386	0	0
			27	0,00	0,00	-52340	-3187	-2622	0	0	-53390	-5190	-4487	0	0
			28	0,00	0,00	-49513	-2489	-2205	0	0	-50563	-2992	-3555	0	0
			29	0,00	0,00	-49820	-2564	-2250	0	0	-50870	-3231	-3657	0	0
			30	0,00	0,00	-29683	-1292	749	0	0	-30733	-1235	3173	0	0
			31	0,00	0,00	-29990	-1368	703	0	0	-31040	-1474	3072	0	0
			32	0,00	0,00	-32203	-1914	377	0	0	-33253	-3195	2343	0	0
			33	0,00	0,00	-32510	-1990	332	0	0	-33560	-3434	2241	0	0

## DETTAGLIO GERARCHIA RESISTENZA ASTE

Nodo 3D	Pilas. Infer. Asta3d	Pilas. Super. Asta3d	Comb N.ro	AlfaX	AlfaY	PILASTRO INFERIORE					PILASTRO SUPERIORE				
						N (kg)	Mx (kgm)	My (kgm)	AlfaX*Mx (kgm)	AlfaY*My (kgm)	N (kg)	Mx (kgm)	My (kgm)	AlfaX*Mx (kgm)	AlfaY*My (kgm)
42	21	84	1	0,00	0,00	-66991	-2423	-1467	0	0	-49941	-1298	-1702	0	0
			2	0,00	0,00	-40828	897	-1123	0	0	-30975	6689	-1853	0	0
			3	0,00	0,00	-39805	1150	-972	0	0	-30227	7424	-1451	0	0
			4	0,00	0,00	-40072	1084	-1011	0	0	-30423	7232	-1557	0	0
			5	0,00	0,00	-39049	1336	-860	0	0	-29675	7967	-1155	0	0
			6	0,00	0,00	-34123	1443	-125	0	0	-25804	7763	1007	0	0
			7	0,00	0,00	-33100	1695	26	0	0	-25057	8498	1409	0	0
			8	0,00	0,00	-34879	1256	-237	0	0	-26356	7220	710	0	0
			9	0,00	0,00	-33856	1509	-86	0	0	-25609	7955	1112	0	0
			10	0,00	0,00	-46031	-4289	-1569	0	0	-34521	-9295	-2967	0	0
			11	0,00	0,00	-47055	-4542	-1720	0	0	-35268	-10030	-3369	0	0
			12	0,00	0,00	-45276	-4103	-1457	0	0	-33969	-8752	-2670	0	0
			13	0,00	0,00	-46299	-4355	-1608	0	0	-34716	-9487	-3072	0	0
			14	0,00	0,00	-39327	-3744	-571	0	0	-29350	-8221	-107	0	0
			15	0,00	0,00	-40350	-3996	-722	0	0	-30098	-8956	-509	0	0
			16	0,00	0,00	-40083	-3930	-683	0	0	-29902	-8764	-404	0	0
			17	0,00	0,00	-41106	-4183	-834	0	0	-30650	-9499	-806	0	0
			18	0,00	0,00	-50472	-1555	-2443	0	0	-38248	-158	-5580	0	0
			19	0,00	0,00	-50164	-1479	-2397	0	0	-38024	62	-5460	0	0
			20	0,00	0,00	-47952	-933	-2071	0	0	-36408	1651	-4591	0	0
			21	0,00	0,00	-47645	-857	-2026	0	0	-36184	1872	-4470	0	0
			22	0,00	0,00	-28122	264	882	0	0	-21013	3422	3954	0	0
			23	0,00	0,00	-27815	340	928	0	0	-20789	3642	4074	0	0
			24	0,00	0,00	-30642	-358	511	0	0	-22853	1612	2964	0	0
			25	0,00	0,00	-30335	-282	556	0	0	-22629	1833	3085	0	0
			26	0,00	0,00	-52033	-3111	-2576	0	0	-39312	-4954	-5914	0	0
			27	0,00	0,00	-52340	-3187	-2622	0	0	-39536	-5174	-6035	0	0
			28	0,00	0,00	-49513	-2489	-2205	0	0	-37472	-3144	-4925	0	0
			29	0,00	0,00	-49820	-2564	-2250	0	0	-37696	-3364	-5045	0	0
			30	0,00	0,00	-29683	-1292	749	0	0	-22077	-1374	3620	0	0
			31	0,00	0,00	-29990	-1368	703	0	0	-22301	-1594	3499	0	0
			32	0,00	0,00	-32203	-1914	377	0	0	-23917	-3183	2630	0	0
			33	0,00	0,00	-32510	-1990	332	0	0	-24141	-3404	2510	0	0

## DETTAGLIO GERARCHIA RESISTENZA ASTE

Nodo 3D	Pilas. Infer. Asta3d	Pilas. Super. Asta3d	Comb N.ro	AlfaX	AlfaY	PILASTRO INFERIORE					PILASTRO SUPERIORE				
						N (kg)	Mx (kgm)	My (kgm)	AlfaX*Mx (kgm)	AlfaY*My (kgm)	N (kg)	Mx (kgm)	My (kgm)	AlfaX*Mx (kgm)	AlfaY*My (kgm)
43	22	22	1	0,00	0,00	-47654	1083	-977	0	0	-49019	-80	-473	0	0
			2	0,00	0,00	-36277	747	-2156	0	0	-37327	-2259	-2590	0	0
			3	0,00	0,00	-36580	557	-1965	0	0	-37630	-391	-2334	0	0
			4	0,00	0,00	-36501	607	-2015	0	0	-37551	-880	-2401	0	0
			5	0,00	0,00	-36804	416	-1825	0	0	-37854	987	-2145	0	0
			6	0,00	0,00	-42493	-1269	-1747	0	0	-43543	7218	-2139	0	0
			7	0,00	0,00	-42797	-1459	-1557	0	0	-43847	9085	-1883	0	0
			8	0,00	0,00	-42269	-1128	-1888	0	0	-43319	5839	-2328	0	0
			9	0,00	0,00	-42573	-1319	-1698	0	0	-43623	7706	-2072	0	0
			10	0,00	0,00	-18550	2706	588	0	0	-19600	-7317	1579	0	0
			11	0,00	0,00	-18246	2896	397	0	0	-19296	-9184	1323	0	0
			12	0,00	0,00	-18774	2565	729	0	0	-19824	-5938	1768	0	0
			13	0,00	0,00	-18470	2755	538	0	0	-19520	-7805	1512	0	0
			14	0,00	0,00	-24766	689	996	0	0	-25816	2160	2030	0	0
			15	0,00	0,00	-24463	880	806	0	0	-25513	293	1774	0	0
			16	0,00	0,00	-24542	830	856	0	0	-25592	781	1841	0	0
			17	0,00	0,00	-24239	1020	665	0	0	-25289	-1086	1585	0	0
			18	0,00	0,00	-22820	3785	-1672	0	0	-23870	-15085	-1657	0	0
			19	0,00	0,00	-22911	3728	-1615	0	0	-23961	-14525	-1580	0	0
			20	0,00	0,00	-23566	3316	-1203	0	0	-24616	-10489	-1027	0	0
			21	0,00	0,00	-23657	3259	-1146	0	0	-24707	-9928	-950	0	0
			22	0,00	0,00	-43541	-2936	-311	0	0	-44591	16503	-154	0	0
			23	0,00	0,00	-43632	-2993	-253	0	0	-44682	17063	-77	0	0
			24	0,00	0,00	-42795	-2467	-779	0	0	-43845	11907	-784	0	0

## DETTAGLIO GERARCHIA RESISTENZA ASTE

Nodo 3D	Pilas. Infer. Asta3d	Pilas. Super. Asta3d	Comb N.ro	AlfaX	AlfaY	PILASTRO INFERIORE					PILASTRO SUPERIORE				
						N (kg)	Mx (kgm)	My (kgm)	AlfaX*Mx (kgm)	AlfaY*My (kgm)	N (kg)	Mx (kgm)	My (kgm)	AlfaX*Mx (kgm)	AlfaY*My (kgm)
			25	0,00	0,00	-42886	-2524	-722	0	0	-43936	12467	-707	0	0
			26	0,00	0,00	-17502	4372	-849	0	0	-18552	-16602	-406	0	0
			27	0,00	0,00	-17411	4430	-906	0	0	-18461	-17162	-483	0	0
			28	0,00	0,00	-18248	3904	-380	0	0	-19298	-12006	224	0	0
			29	0,00	0,00	-18157	3961	-437	0	0	-19207	-12566	147	0	0
			30	0,00	0,00	-38223	-2348	513	0	0	-39273	14986	1097	0	0
			31	0,00	0,00	-38132	-2291	455	0	0	-39182	14426	1020	0	0
			32	0,00	0,00	-37477	-1879	44	0	0	-38527	10390	467	0	0
			33	0,00	0,00	-37386	-1822	-13	0	0	-38436	9829	390	0	0

## DETTAGLIO GERARCHIA RESISTENZA ASTE

Nodo 3D	Pilas. Infer. Asta3d	Pilas. Super. Asta3d	Comb N.ro	AlfaX	AlfaY	PILASTRO INFERIORE					PILASTRO SUPERIORE				
						N (kg)	Mx (kgm)	My (kgm)	AlfaX*Mx (kgm)	AlfaY*My (kgm)	N (kg)	Mx (kgm)	My (kgm)	AlfaX*Mx (kgm)	AlfaY*My (kgm)
44	22	85	1	0,00	0,00	-47654	1083	-977	0	0	-34735	213	-1090	0	0
			2	0,00	0,00	-36277	747	-2156	0	0	-26335	-1397	-3629	0	0
			3	0,00	0,00	-36580	557	-1965	0	0	-26577	-181	-3292	0	0
			4	0,00	0,00	-36501	607	-2015	0	0	-26514	-499	-3380	0	0
			5	0,00	0,00	-36804	416	-1825	0	0	-26756	716	-3044	0	0
			6	0,00	0,00	-42493	-1269	-1747	0	0	-31058	5173	-3012	0	0
			7	0,00	0,00	-42797	-1459	-1557	0	0	-31299	6389	-2676	0	0
			8	0,00	0,00	-42269	-1128	-1888	0	0	-30879	4275	-3261	0	0
			9	0,00	0,00	-42573	-1319	-1698	0	0	-31121	5491	-2924	0	0
			10	0,00	0,00	-18550	2706	588	0	0	-13880	-4685	1753	0	0
			11	0,00	0,00	-18246	2896	397	0	0	-13638	-5901	1416	0	0
			12	0,00	0,00	-18774	2565	729	0	0	-14059	-3787	2001	0	0
			13	0,00	0,00	-18470	2755	538	0	0	-13817	-5003	1665	0	0
			14	0,00	0,00	-24766	689	996	0	0	-18602	1885	2369	0	0
			15	0,00	0,00	-24463	880	806	0	0	-18360	669	2033	0	0
			16	0,00	0,00	-24542	830	856	0	0	-18424	987	2121	0	0
			17	0,00	0,00	-24239	1020	665	0	0	-18182	-229	1784	0	0
			18	0,00	0,00	-22820	3785	-1672	0	0	-16467	-10213	-2464	0	0
			19	0,00	0,00	-22911	3728	-1615	0	0	-16540	-9848	-2363	0	0
			20	0,00	0,00	-23566	3316	-1203	0	0	-17062	-7220	-1636	0	0
			21	0,00	0,00	-23657	3259	-1146	0	0	-17135	-6855	-1535	0	0
			22	0,00	0,00	-43541	-2936	-311	0	0	-32207	11687	-409	0	0
			23	0,00	0,00	-43632	-2993	-253	0	0	-32280	12052	-309	0	0
			24	0,00	0,00	-42795	-2467	-779	0	0	-31612	8694	-1238	0	0
			25	0,00	0,00	-42886	-2524	-722	0	0	-31684	9059	-1137	0	0
			26	0,00	0,00	-17502	4372	-849	0	0	-12730	-11199	-850	0	0
			27	0,00	0,00	-17411	4430	-906	0	0	-12658	-11564	-951	0	0
			28	0,00	0,00	-18248	3904	-380	0	0	-13326	-8207	-22	0	0
			29	0,00	0,00	-18157	3961	-437	0	0	-13253	-8571	-123	0	0
			30	0,00	0,00	-38223	-2348	513	0	0	-28471	10700	1205	0	0
			31	0,00	0,00	-38132	-2291	455	0	0	-28398	10336	1104	0	0
			32	0,00	0,00	-37477	-1879	44	0	0	-27875	7708	377	0	0
			33	0,00	0,00	-37386	-1822	-13	0	0	-27803	7343	276	0	0

## DETTAGLIO GERARCHIA RESISTENZA ASTE

Nodo 3D	Pilas. Infer. Asta3d	Pilas. Super. Asta3d	Comb N.ro	AlfaX	AlfaY	PILASTRO INFERIORE					PILASTRO SUPERIORE				
						N (kg)	Mx (kgm)	My (kgm)	AlfaX*Mx (kgm)	AlfaY*My (kgm)	N (kg)	Mx (kgm)	My (kgm)	AlfaX*Mx (kgm)	AlfaY*My (kgm)
45	23	23	1	0,00	0,00	-63907	2380	-281	0	0	-65272	411	-145	0	0
			2	0,00	0,00	-50386	1597	-1460	0	0	-51436	-1985	-2123	0	0
			3	0,00	0,00	-50565	1957	-1469	0	0	-51615	90	-2112	0	0
			4	0,00	0,00	-50519	1863	-1467	0	0	-51569	-452	-2115	0	0
			5	0,00	0,00	-50698	2223	-1476	0	0	-51748	1623	-2104	0	0
			6	0,00	0,00	-51468	3721	-1575	0	0	-52518	8626	-2172	0	0
			7	0,00	0,00	-51648	4081	-1585	0	0	-52698	10702	-2161	0	0
			8	0,00	0,00	-51336	3455	-1568	0	0	-52386	7094	-2180	0	0
			9	0,00	0,00	-51515	3815	-1578	0	0	-52565	9169	-2169	0	0
			10	0,00	0,00	-32282	-573	1229	0	0	-33332	-8078	1996	0	0
			11	0,00	0,00	-32103	-933	1239	0	0	-33153	-10153	1985	0	0
			12	0,00	0,00	-32414	-307	1222	0	0	-33464	-6545	2004	0	0
			13	0,00	0,00	-32235	-667	1232	0	0	-33285	-8620	1993	0	0
			14	0,00	0,00	-33364	1552	1114	0	0	-34414	2534	1947	0	0
			15	0,00	0,00	-33185	1191	1123	0	0	-34235	458	1936	0	0
			16	0,00	0,00	-33232	1286	1121	0	0	-34282	1001	1939	0	0
			17	0,00	0,00	-33053	925	1130	0	0	-34103	-1074	1928	0	0
			18	0,00	0,00	-42787	-1641	-384	0	0	-43837	-16498	-624	0	0
			19	0,00	0,00	-42841	-1533	-387	0	0	-43891	-15875	-621	0	0
			20	0,00	0,00	-43228	-754	-407	0	0	-44278	-11389	-597	0	0
			21	0,00	0,00	-43282	-646	-410	0	0	-44332	-10766	-594	0	0
			22	0,00	0,00	-46395	5440	-768	0	0	-47444	18874	-788	0	0
			23	0,00	0,00	-46448	5548	-771	0	0	-47498	19497	-784	0	0
			24	0,00	0,00	-45953	4553	-745	0	0	-47003	13765	-815	0	0

## DETTAGLIO GERARCHIA RESISTENZA ASTE

Nodo 3D	Pilas. Infer. Asta3d	Pilas. Super. Asta3d	Comb N.ro	AlfaX	AlfaY	PILASTRO INFERIORE					PILASTRO SUPERIORE				
						N (kg)	Mx (kgm)	My (kgm)	AlfaX*Mx (kgm)	AlfaY*My (kgm)	N (kg)	Mx (kgm)	My (kgm)	AlfaX*Mx (kgm)	AlfaY*My (kgm)
			25	0,00	0,00	-46007	4661	-748	0	0	-47057	14388	-811	0	0
			26	0,00	0,00	-37356	-2292	423	0	0	-38406	-18325	612	0	0
			27	0,00	0,00	-37302	-2400	426	0	0	-38352	-18948	609	0	0
			28	0,00	0,00	-37797	-1405	399	0	0	-38847	-13216	639	0	0
			29	0,00	0,00	-37743	-1513	402	0	0	-38793	-13839	636	0	0
			30	0,00	0,00	-40963	4789	38	0	0	-42013	17047	448	0	0
			31	0,00	0,00	-40909	4681	41	0	0	-41959	16424	445	0	0
			32	0,00	0,00	-40522	3902	61	0	0	-41572	11937	421	0	0
			33	0,00	0,00	-40468	3794	64	0	0	-41518	11315	418	0	0

## DETTAGLIO GERARCHIA RESISTENZA ASTE

Nodo 3D	Pilas. Infer. Asta3d	Pilas. Super. Asta3d	Comb N.ro	AlfaX	AlfaY	PILASTRO INFERIORE					PILASTRO SUPERIORE				
						N (kg)	Mx (kgm)	My (kgm)	AlfaX*Mx (kgm)	AlfaY*My (kgm)	N (kg)	Mx (kgm)	My (kgm)	AlfaX*Mx (kgm)	AlfaY*My (kgm)
46	23	86	1	0,00	0,00	-63907	2380	-281	0	0	-47252	1039	-420	0	0
			2	0,00	0,00	-50386	1597	-1460	0	0	-36992	-1247	-2850	0	0
			3	0,00	0,00	-50565	1957	-1469	0	0	-37108	452	-2857	0	0
			4	0,00	0,00	-50519	1863	-1467	0	0	-37078	8	-2855	0	0
			5	0,00	0,00	-50698	2223	-1476	0	0	-37194	1707	-2862	0	0
			6	0,00	0,00	-51468	3721	-1575	0	0	-37696	7991	-2968	0	0
			7	0,00	0,00	-51648	4081	-1585	0	0	-37812	9690	-2976	0	0
			8	0,00	0,00	-51336	3455	-1568	0	0	-37611	6736	-2963	0	0
			9	0,00	0,00	-51515	3815	-1578	0	0	-37727	8435	-2970	0	0
			10	0,00	0,00	-32282	-573	1229	0	0	-24257	-6650	2499	0	0
			11	0,00	0,00	-32103	-933	1239	0	0	-24141	-8349	2506	0	0
			12	0,00	0,00	-32414	-307	1222	0	0	-24342	-5396	2493	0	0
			13	0,00	0,00	-32235	-667	1232	0	0	-24226	-7095	2501	0	0
			14	0,00	0,00	-33364	1552	1114	0	0	-24961	2587	2380	0	0
			15	0,00	0,00	-33185	1191	1123	0	0	-24845	888	2387	0	0
			16	0,00	0,00	-33232	1286	1121	0	0	-24875	1333	2385	0	0
			17	0,00	0,00	-33053	925	1130	0	0	-24759	-366	2393	0	0
			18	0,00	0,00	-42787	-1641	-384	0	0	-31713	-13915	-839	0	0
			19	0,00	0,00	-42841	-1533	-387	0	0	-31748	-13405	-841	0	0
			20	0,00	0,00	-43228	-754	-407	0	0	-31999	-9733	-857	0	0
			21	0,00	0,00	-43282	-646	-410	0	0	-32034	-9223	-859	0	0
			22	0,00	0,00	-46395	5440	-768	0	0	-34061	16877	-1235	0	0
			23	0,00	0,00	-46448	5548	-771	0	0	-34095	17386	-1237	0	0
			24	0,00	0,00	-45953	4553	-745	0	0	-33775	12694	-1217	0	0
			25	0,00	0,00	-46007	4661	-748	0	0	-33810	13204	-1220	0	0
			26	0,00	0,00	-37356	-2292	423	0	0	-27892	-15536	766	0	0
			27	0,00	0,00	-37302	-2400	426	0	0	-27858	-16046	768	0	0
			28	0,00	0,00	-37797	-1405	399	0	0	-28178	-11354	748	0	0
			29	0,00	0,00	-37743	-1513	402	0	0	-28143	-11863	750	0	0
			30	0,00	0,00	-40963	4789	38	0	0	-30240	15256	369	0	0
			31	0,00	0,00	-40909	4681	41	0	0	-30205	14746	371	0	0
			32	0,00	0,00	-40522	3902	61	0	0	-29954	11073	387	0	0
			33	0,00	0,00	-40468	3794	64	0	0	-29919	10564	389	0	0

## DETTAGLIO GERARCHIA RESISTENZA ASTE

Nodo 3D	Pilas. Infer. Asta3d	Pilas. Super. Asta3d	Comb N.ro	AlfaX	AlfaY	PILASTRO INFERIORE					PILASTRO SUPERIORE				
						N (kg)	Mx (kgm)	My (kgm)	AlfaX*Mx (kgm)	AlfaY*My (kgm)	N (kg)	Mx (kgm)	My (kgm)	AlfaX*Mx (kgm)	AlfaY*My (kgm)
47	24	24	1	0,00	0,00	-50622	-632	-1735	0	0	-51987	-161	-922	0	0
			2	0,00	0,00	-46273	-1938	-1436	0	0	-47323	6895	-1201	0	0
			3	0,00	0,00	-45773	-1908	-1136	0	0	-46823	7606	-683	0	0
			4	0,00	0,00	-45904	-1916	-1214	0	0	-46954	7420	-819	0	0
			5	0,00	0,00	-45404	-1886	-913	0	0	-46454	8132	-301	0	0
			6	0,00	0,00	-38568	-1559	69	0	0	-39618	7942	1460	0	0
			7	0,00	0,00	-38068	-1529	370	0	0	-39118	8654	1978	0	0
			8	0,00	0,00	-38937	-1581	-153	0	0	-39987	7417	1078	0	0
			9	0,00	0,00	-38437	-1551	148	0	0	-39487	8128	1595	0	0
			10	0,00	0,00	-24874	647	-2382	0	0	-25924	-8215	-2688	0	0
			11	0,00	0,00	-25374	617	-2683	0	0	-26424	-8926	-3205	0	0
			12	0,00	0,00	-24505	668	-2160	0	0	-25555	-7689	-2305	0	0
			13	0,00	0,00	-25005	639	-2461	0	0	-26055	-8401	-2823	0	0
			14	0,00	0,00	-17169	1025	-877	0	0	-18219	-7167	-26	0	0
			15	0,00	0,00	-17669	996	-1177	0	0	-18719	-7879	-544	0	0
			16	0,00	0,00	-17538	1004	-1099	0	0	-18588	-7693	-409	0	0
			17	0,00	0,00	-18038	974	-1399	0	0	-19088	-8405	-927	0	0
			18	0,00	0,00	-47773	-1475	-3524	0	0	-48823	384	-4826	0	0
			19	0,00	0,00	-47623	-1466	-3433	0	0	-48673	598	-4671	0	0
			20	0,00	0,00	-46542	-1402	-2783	0	0	-47592	2136	-3552	0	0
			21	0,00	0,00	-46392	-1393	-2693	0	0	-47442	2350	-3396	0	0
			22	0,00	0,00	-22089	-212	1494	0	0	-23139	3876	4044	0	0
			23	0,00	0,00	-21938	-203	1585	0	0	-22988	4089	4200	0	0
			24	0,00	0,00	-23320	-285	754	0	0	-24370	2124	2770	0	0

## DETTAGLIO GERARCHIA RESISTENZA ASTE

Nodo 3D	Pilas. Infer. Asta3d	Pilas. Super. Asta3d	Comb N.ro	AlfaX	AlfaY	PILASTRO INFERIORE					PILASTRO SUPERIORE				
						N (kg)	Mx (kgm)	My (kgm)	AlfaX*Mx (kgm)	AlfaY*My (kgm)	N (kg)	Mx (kgm)	My (kgm)	AlfaX*Mx (kgm)	AlfaY*My (kgm)
			25	0,00	0,00	-23170	-276	844	0	0	-24220	2338	2925	0	0
			26	0,00	0,00	-41353	-700	-3807	0	0	-42403	-4148	-5272	0	0
			27	0,00	0,00	-41503	-709	-3898	0	0	-42553	-4362	-5427	0	0
			28	0,00	0,00	-40122	-627	-3067	0	0	-41172	-2397	-3997	0	0
			29	0,00	0,00	-40272	-636	-3157	0	0	-41322	-2610	-4153	0	0
			30	0,00	0,00	-15669	563	1211	0	0	-16719	-657	3598	0	0
			31	0,00	0,00	-15819	554	1120	0	0	-16869	-870	3443	0	0
			32	0,00	0,00	-16900	490	470	0	0	-17950	-2409	2324	0	0
			33	0,00	0,00	-17050	481	380	0	0	-18100	-2622	2168	0	0

## DETTAGLIO GERARCHIA RESISTENZA ASTE

Nodo 3D	Pilas. Infer. Asta3d	Pilas. Super. Asta3d	Comb N.ro	AlfaX	AlfaY	PILASTRO INFERIORE					PILASTRO SUPERIORE				
						N (kg)	Mx (kgm)	My (kgm)	AlfaX*Mx (kgm)	AlfaY*My (kgm)	N (kg)	Mx (kgm)	My (kgm)	AlfaX*Mx (kgm)	AlfaY*My (kgm)
48	24	87	1	0,00	0,00	-50622	-632	-1735	0	0	-37540	7	-1775	0	0
			2	0,00	0,00	-46273	-1938	-1436	0	0	-34039	5123	-1934	0	0
			3	0,00	0,00	-45773	-1908	-1136	0	0	-33694	5661	-1294	0	0
			4	0,00	0,00	-45904	-1916	-1214	0	0	-33784	5520	-1462	0	0
			5	0,00	0,00	-45404	-1886	-913	0	0	-33440	6058	-822	0	0
			6	0,00	0,00	-38568	-1559	69	0	0	-28372	6012	1507	0	0
			7	0,00	0,00	-38068	-1529	370	0	0	-28027	6550	2147	0	0
			8	0,00	0,00	-38937	-1581	-153	0	0	-28626	5614	1034	0	0
			9	0,00	0,00	-38437	-1551	148	0	0	-28281	6152	1674	0	0
			10	0,00	0,00	-24874	647	-2382	0	0	-19001	-6110	-3837	0	0
			11	0,00	0,00	-25374	617	-2683	0	0	-19345	-6648	-4477	0	0
			12	0,00	0,00	-24505	668	-2160	0	0	-18746	-5713	-3365	0	0
			13	0,00	0,00	-25005	639	-2461	0	0	-19091	-6251	-4005	0	0
			14	0,00	0,00	-17169	1025	-877	0	0	-13334	-5221	-396	0	0
			15	0,00	0,00	-17669	996	-1177	0	0	-13678	-5759	-1036	0	0
			16	0,00	0,00	-17538	1004	-1099	0	0	-13588	-5618	-869	0	0
			17	0,00	0,00	-18038	974	-1399	0	0	-13932	-6157	-1509	0	0
			18	0,00	0,00	-47773	-1475	-3524	0	0	-35387	154	-6615	0	0
			19	0,00	0,00	-47623	-1466	-3433	0	0	-35284	315	-6423	0	0
			20	0,00	0,00	-46542	-1402	-2783	0	0	-34539	1478	-5040	0	0
			21	0,00	0,00	-46392	-1393	-2693	0	0	-34436	1640	-4848	0	0
			22	0,00	0,00	-22089	-212	1494	0	0	-16497	3117	4856	0	0
			23	0,00	0,00	-21938	-203	1585	0	0	-16393	3279	5048	0	0
			24	0,00	0,00	-23320	-285	754	0	0	-17345	1793	3280	0	0
			25	0,00	0,00	-23170	-276	844	0	0	-17241	1954	3472	0	0
			26	0,00	0,00	-41353	-700	-3807	0	0	-30876	-3216	-7186	0	0
			27	0,00	0,00	-41503	-709	-3898	0	0	-30979	-3377	-7378	0	0
			28	0,00	0,00	-40122	-627	-3067	0	0	-30028	-1891	-5611	0	0
			29	0,00	0,00	-40272	-636	-3157	0	0	-30131	-2053	-5803	0	0
			30	0,00	0,00	-15669	563	1211	0	0	-11985	-252	4285	0	0
			31	0,00	0,00	-15819	554	1120	0	0	-12089	-414	4093	0	0
			32	0,00	0,00	-16900	490	470	0	0	-12833	-1577	2709	0	0
			33	0,00	0,00	-17050	481	380	0	0	-12936	-1738	2517	0	0

## DETTAGLIO GERARCHIA RESISTENZA ASTE

Nodo 3D	Pilas. Infer. Asta3d	Pilas. Super. Asta3d	Comb N.ro	AlfaX	AlfaY	PILASTRO INFERIORE					PILASTRO SUPERIORE				
						N (kg)	Mx (kgm)	My (kgm)	AlfaX*Mx (kgm)	AlfaY*My (kgm)	N (kg)	Mx (kgm)	My (kgm)	AlfaX*Mx (kgm)	AlfaY*My (kgm)
51	64	126	1	0,00	0,00	-27096	810	817	0	0	-18035	540	1049	0	0
			2	0,00	0,00	-9914	-1849	-2309	0	0	-7911	-1574	-1491	0	0
			3	0,00	0,00	-9672	-2753	-1974	0	0	-7794	-2050	-1206	0	0
			4	0,00	0,00	-9735	-2517	-2062	0	0	-7825	-1925	-1281	0	0
			5	0,00	0,00	-9493	-3421	-1727	0	0	-7708	-2401	-996	0	0
			6	0,00	0,00	-14158	309	-1922	0	0	-10144	808	-1439	0	0
			7	0,00	0,00	-13916	-596	-1587	0	0	-10027	332	-1154	0	0
			8	0,00	0,00	-14336	976	-2169	0	0	-10230	1159	-1649	0	0
			9	0,00	0,00	-14094	72	-1834	0	0	-10113	683	-1364	0	0
			10	0,00	0,00	-22679	985	2935	0	0	-14242	299	2702	0	0
			11	0,00	0,00	-22921	1889	2600	0	0	-14359	774	2417	0	0
			12	0,00	0,00	-22500	317	3182	0	0	-14155	-53	2912	0	0
			13	0,00	0,00	-22742	1222	2848	0	0	-14272	423	2627	0	0
			14	0,00	0,00	-26922	3143	3322	0	0	-16474	2680	2754	0	0
			15	0,00	0,00	-27164	4047	2987	0	0	-16591	3156	2469	0	0
			16	0,00	0,00	-27101	3811	3075	0	0	-16560	3031	2544	0	0
			17	0,00	0,00	-27343	4715	2740	0	0	-16677	3507	2259	0	0
			18	0,00	0,00	-9431	-3375	-924	0	0	-7523	-3697	-85	0	0
			19	0,00	0,00	-9358	-3646	-824	0	0	-7488	-3840	1	0	0
			20	0,00	0,00	-8835	-5600	-100	0	0	-7235	-4868	616	0	0
			21	0,00	0,00	-8763	-5871	0	0	0	-7200	-5011	702	0	0
			22	0,00	0,00	-23576	3818	364	0	0	-14963	4241	90	0	0

## DETTAGLIO GERARCHIA RESISTENZA ASTE

Nodo 3D	Pilas. Infer. Asta3d	Pilas. Super. Asta3d	Comb N.ro	AlfaX	AlfaY	PILASTRO INFERIORE					PILASTRO SUPERIORE				
						N (kg)	Mx (kgm)	My (kgm)	AlfaX*Mx (kgm)	AlfaY*My (kgm)	N (kg)	Mx (kgm)	My (kgm)	AlfaX*Mx (kgm)	AlfaY*My (kgm)
			23	0,00	0,00	-23503	3547	465	0	0	-14928	4098	175	0	0
			24	0,00	0,00	-24172	6044	-460	0	0	-15251	5413	-611	0	0
			25	0,00	0,00	-24099	5772	-359	0	0	-15216	5270	-526	0	0
			26	0,00	0,00	-13260	-2524	649	0	0	-9422	-3135	1173	0	0
			27	0,00	0,00	-13333	-2253	548	0	0	-9457	-2992	1088	0	0
			28	0,00	0,00	-12665	-4750	1473	0	0	-9134	-4307	1874	0	0
			29	0,00	0,00	-12738	-4479	1372	0	0	-9169	-4164	1789	0	0
			30	0,00	0,00	-27406	4668	1938	0	0	-16862	4803	1348	0	0
			31	0,00	0,00	-27478	4939	1837	0	0	-16898	4946	1262	0	0
			32	0,00	0,00	-28001	6894	1114	0	0	-17150	5974	646	0	0
			33	0,00	0,00	-28074	7165	1013	0	0	-17186	6117	561	0	0

## DETTAGLIO GERARCHIA RESISTENZA ASTE

Nodo 3D	Pilas. Infer. Asta3d	Pilas. Super. Asta3d	Comb N.ro	AlfaX	AlfaY	PILASTRO INFERIORE					PILASTRO SUPERIORE				
						N (kg)	Mx (kgm)	My (kgm)	AlfaX*Mx (kgm)	AlfaY*My (kgm)	N (kg)	Mx (kgm)	My (kgm)	AlfaX*Mx (kgm)	AlfaY*My (kgm)
52	65	127	1	0,00	0,00	-44963	1221	550	0	0	-29575	1055	734	0	0
			2	0,00	0,00	-22771	-3973	-2380	0	0	-15876	-3870	-1780	0	0
			3	0,00	0,00	-22655	-5470	-2391	0	0	-15803	-4976	-1799	0	0
			4	0,00	0,00	-22685	-5079	-2388	0	0	-15822	-4687	-1794	0	0
			5	0,00	0,00	-22569	-6575	-2399	0	0	-15749	-5793	-1813	0	0
			6	0,00	0,00	-23263	79	-2232	0	0	-16150	688	-1627	0	0
			7	0,00	0,00	-23147	-1417	-2243	0	0	-16076	-419	-1646	0	0
			8	0,00	0,00	-23349	1185	-2225	0	0	-16204	1505	-1613	0	0
			9	0,00	0,00	-23233	-312	-2235	0	0	-16131	398	-1632	0	0
			10	0,00	0,00	-35513	1352	2826	0	0	-22169	451	2397	0	0
			11	0,00	0,00	-35629	2849	2837	0	0	-22242	1558	2416	0	0
			12	0,00	0,00	-35428	247	2818	0	0	-22114	-366	2383	0	0
			13	0,00	0,00	-35544	1744	2829	0	0	-22188	741	2402	0	0
			14	0,00	0,00	-36005	5405	2974	0	0	-22442	5009	2550	0	0
			15	0,00	0,00	-36121	6902	2984	0	0	-22516	6116	2569	0	0
			16	0,00	0,00	-36091	6510	2982	0	0	-22497	5826	2564	0	0
			17	0,00	0,00	-36207	8007	2992	0	0	-22570	6933	2583	0	0
			18	0,00	0,00	-26657	-6838	-730	0	0	-17760	-7675	-497	0	0
			19	0,00	0,00	-26622	-7287	-734	0	0	-17738	-8007	-503	0	0
			20	0,00	0,00	-26371	-10521	-757	0	0	-17579	-10398	-543	0	0
			21	0,00	0,00	-26336	-10970	-760	0	0	-17557	-10730	-549	0	0
			22	0,00	0,00	-28297	6672	-238	0	0	-18671	7518	13	0	0
			23	0,00	0,00	-28262	6223	-241	0	0	-18649	7186	8	0	0
			24	0,00	0,00	-28583	10356	-212	0	0	-18852	10241	60	0	0
			25	0,00	0,00	-28548	9907	-215	0	0	-18830	9909	54	0	0
			26	0,00	0,00	-30479	-5240	831	0	0	-19647	-6378	756	0	0
			27	0,00	0,00	-30514	-4791	835	0	0	-19670	-6047	762	0	0
			28	0,00	0,00	-30194	-8924	805	0	0	-19466	-9102	710	0	0
			29	0,00	0,00	-30228	-8475	808	0	0	-19488	-8770	716	0	0
			30	0,00	0,00	-32120	8270	1324	0	0	-20559	8814	1267	0	0
			31	0,00	0,00	-32155	8719	1327	0	0	-20581	9146	1272	0	0
			32	0,00	0,00	-32406	11953	1350	0	0	-20740	11538	1313	0	0
			33	0,00	0,00	-32440	12402	1353	0	0	-20762	11870	1318	0	0

## DETTAGLIO GERARCHIA RESISTENZA ASTE

Nodo 3D	Pilas. Infer. Asta3d	Pilas. Super. Asta3d	Comb N.ro	AlfaX	AlfaY	PILASTRO INFERIORE					PILASTRO SUPERIORE				
						N (kg)	Mx (kgm)	My (kgm)	AlfaX*Mx (kgm)	AlfaY*My (kgm)	N (kg)	Mx (kgm)	My (kgm)	AlfaX*Mx (kgm)	AlfaY*My (kgm)
53	66	128	1	0,00	0,00	-28325	61	-1859	0	0	-19163	-127	-2109	0	0
			2	0,00	0,00	-13773	4351	-3130	0	0	-10378	2549	-3253	0	0
			3	0,00	0,00	-14117	4780	-3750	0	0	-10557	2831	-3766	0	0
			4	0,00	0,00	-14027	4668	-3588	0	0	-10510	2757	-3632	0	0
			5	0,00	0,00	-14372	5097	-4207	0	0	-10689	3039	-4145	0	0
			6	0,00	0,00	-8974	4808	-1376	0	0	-7830	2608	-1318	0	0
			7	0,00	0,00	-9318	5238	-1996	0	0	-8008	2890	-1831	0	0
			8	0,00	0,00	-8720	4491	-919	0	0	-7698	2401	-939	0	0
			9	0,00	0,00	-9064	4921	-1538	0	0	-7876	2682	-1452	0	0
			10	0,00	0,00	-28771	-4773	-1033	0	0	-17561	-2829	-1409	0	0
			11	0,00	0,00	-28427	-5202	-414	0	0	-17382	-3110	-896	0	0
			12	0,00	0,00	-29026	-4456	-1491	0	0	-17693	-2621	-1787	0	0
			13	0,00	0,00	-28681	-4885	-872	0	0	-17514	-2902	-1274	0	0
			14	0,00	0,00	-23973	-4315	721	0	0	-15013	-2770	526	0	0
			15	0,00	0,00	-23628	-4745	1340	0	0	-14834	-3051	1039	0	0
			16	0,00	0,00	-23718	-4632	1178	0	0	-14881	-2978	905	0	0
			17	0,00	0,00	-23374	-5062	1797	0	0	-14702	-3259	1418	0	0
			18	0,00	0,00	-24621	624	-4443	0	0	-15865	598	-4864	0	0
			19	0,00	0,00	-24725	753	-4629	0	0	-15919	683	-5018	0	0
			20	0,00	0,00	-25469	1681	-5967	0	0	-16305	1291	-6127	0	0
			21	0,00	0,00	-25572	1810	-6153	0	0	-16358	1376	-6281	0	0
			22	0,00	0,00	-8625	2149	1404	0	0	-7371	795	1584	0	0

## DETTAGLIO GERARCHIA RESISTENZA ASTE

Nodo 3D	Pilas. Infer. Asta3d	Pilas. Super. Asta3d	Comb N.ro	AlfaX	AlfaY	PILASTRO INFERIORE					PILASTRO SUPERIORE				
						N (kg)	Mx (kgm)	My (kgm)	AlfaX*Mx (kgm)	AlfaY*My (kgm)	N (kg)	Mx (kgm)	My (kgm)	AlfaX*Mx (kgm)	AlfaY*My (kgm)
			23	0,00	0,00	-8728	2278	1218	0	0	-7424	879	1431	0	0
			24	0,00	0,00	-7777	1092	2928	0	0	-6931	102	2847	0	0
			25	0,00	0,00	-7880	1221	2742	0	0	-6985	186	2693	0	0
			26	0,00	0,00	-29121	-2113	-3814	0	0	-18020	-1015	-4311	0	0
			27	0,00	0,00	-29017	-2242	-3628	0	0	-17966	-1099	-4157	0	0
			28	0,00	0,00	-29969	-1056	-5338	0	0	-18460	-322	-5574	0	0
			29	0,00	0,00	-29865	-1185	-5152	0	0	-18406	-406	-5420	0	0
			30	0,00	0,00	-13124	-588	2033	0	0	-9526	-819	2138	0	0
			31	0,00	0,00	-13021	-717	2219	0	0	-9472	-903	2292	0	0
			32	0,00	0,00	-12276	-1645	3557	0	0	-9086	-1512	3400	0	0
			33	0,00	0,00	-12173	-1774	3743	0	0	-9032	-1596	3554	0	0

## DETTAGLIO GERARCHIA RESISTENZA ASTE

Nodo 3D	Pilas. Infer. Asta3d	Pilas. Super. Asta3d	Comb N.ro	AlfaX	AlfaY	PILASTRO INFERIORE					PILASTRO SUPERIORE				
						N (kg)	Mx (kgm)	My (kgm)	AlfaX*Mx (kgm)	AlfaY*My (kgm)	N (kg)	Mx (kgm)	My (kgm)	AlfaX*Mx (kgm)	AlfaY*My (kgm)
54	67	129	1	0,00	0,00	-39412	671	591	0	0	-26524	539	16	0	0
			2	0,00	0,00	-23447	7520	-67	0	0	-15929	5533	86	0	0
			3	0,00	0,00	-23267	6727	-189	0	0	-15813	4923	115	0	0
			4	0,00	0,00	-23314	6935	-157	0	0	-15844	5083	107	0	0
			5	0,00	0,00	-23134	6142	-278	0	0	-15728	4473	136	0	0
			6	0,00	0,00	-24640	6457	389	0	0	-16624	4683	342	0	0
			7	0,00	0,00	-24460	5664	268	0	0	-16509	4074	371	0	0
			8	0,00	0,00	-24773	7043	479	0	0	-16709	5134	321	0	0
			9	0,00	0,00	-24593	6250	357	0	0	-16594	4524	350	0	0
			10	0,00	0,00	-24805	-5595	389	0	0	-16594	-4001	-183	0	0
			11	0,00	0,00	-24985	-4802	511	0	0	-16709	-3392	-212	0	0
			12	0,00	0,00	-24672	-6181	300	0	0	-16509	-4452	-162	0	0
			13	0,00	0,00	-24852	-5388	421	0	0	-16624	-3842	-191	0	0
			14	0,00	0,00	-25998	-6658	846	0	0	-17289	-4851	72	0	0
			15	0,00	0,00	-26178	-5865	967	0	0	-17405	-4241	44	0	0
			16	0,00	0,00	-26131	-6072	935	0	0	-17374	-4401	51	0	0
			17	0,00	0,00	-26311	-5279	1057	0	0	-17490	-3791	23	0	0
			18	0,00	0,00	-22531	4170	-440	0	0	-15350	3187	-306	0	0
			19	0,00	0,00	-22477	3932	-476	0	0	-15316	3004	-298	0	0
			20	0,00	0,00	-22087	2218	-739	0	0	-15066	1687	-236	0	0
			21	0,00	0,00	-22033	1980	-775	0	0	-15032	1504	-228	0	0
			22	0,00	0,00	-26507	627	1081	0	0	-17668	355	546	0	0
			23	0,00	0,00	-26453	389	1045	0	0	-17634	172	555	0	0
			24	0,00	0,00	-26951	2579	1380	0	0	-17952	1856	476	0	0
			25	0,00	0,00	-26897	2341	1344	0	0	-17918	1673	485	0	0
			26	0,00	0,00	-22938	235	-303	0	0	-15550	327	-387	0	0
			27	0,00	0,00	-22992	473	-267	0	0	-15584	510	-396	0	0
			28	0,00	0,00	-22494	-1717	-602	0	0	-15266	-1174	-317	0	0
			29	0,00	0,00	-22548	-1479	-565	0	0	-15300	-991	-326	0	0
			30	0,00	0,00	-26914	-3308	1218	0	0	-17868	-2505	465	0	0
			31	0,00	0,00	-26968	-3070	1255	0	0	-17902	-2322	457	0	0
			32	0,00	0,00	-27358	-1356	1517	0	0	-18152	-1005	395	0	0
			33	0,00	0,00	-27412	-1118	1553	0	0	-18186	-822	387	0	0

## DETTAGLIO GERARCHIA RESISTENZA ASTE

Nodo 3D	Pilas. Infer. Asta3d	Pilas. Super. Asta3d	Comb N.ro	AlfaX	AlfaY	PILASTRO INFERIORE					PILASTRO SUPERIORE				
						N (kg)	Mx (kgm)	My (kgm)	AlfaX*Mx (kgm)	AlfaY*My (kgm)	N (kg)	Mx (kgm)	My (kgm)	AlfaX*Mx (kgm)	AlfaY*My (kgm)
55	68	130	1	0,00	0,00	-52380	1116	763	0	0	-36072	937	1202	0	0
			2	0,00	0,00	-28981	7280	-1326	0	0	-20547	5416	-923	0	0
			3	0,00	0,00	-28539	7261	-1769	0	0	-20345	5414	-1250	0	0
			4	0,00	0,00	-28654	7266	-1653	0	0	-20398	5414	-1164	0	0
			5	0,00	0,00	-28211	7248	-2096	0	0	-20196	5412	-1492	0	0
			6	0,00	0,00	-31565	7139	670	0	0	-21890	5304	1049	0	0
			7	0,00	0,00	-31122	7121	228	0	0	-21688	5302	722	0	0
			8	0,00	0,00	-31892	7153	997	0	0	-22040	5306	1291	0	0
			9	0,00	0,00	-31449	7134	555	0	0	-21838	5304	964	0	0
			10	0,00	0,00	-31089	-5768	136	0	0	-21565	-4137	232	0	0
			11	0,00	0,00	-31532	-5750	578	0	0	-21767	-4135	559	0	0
			12	0,00	0,00	-30762	-5782	-191	0	0	-21416	-4138	-10	0	0
			13	0,00	0,00	-31205	-5763	252	0	0	-21618	-4136	317	0	0
			14	0,00	0,00	-33673	-5909	2133	0	0	-22908	-4248	2204	0	0
			15	0,00	0,00	-34116	-5891	2575	0	0	-23110	-4246	2531	0	0
			16	0,00	0,00	-34000	-5895	2459	0	0	-23057	-4247	2446	0	0
			17	0,00	0,00	-34443	-5877	2902	0	0	-23259	-4245	2773	0	0
			18	0,00	0,00	-26705	2877	-3144	0	0	-19336	2202	-2819	0	0
			19	0,00	0,00	-26572	2872	-3277	0	0	-19276	2202	-2918	0	0
			20	0,00	0,00	-25614	2832	-4233	0	0	-18839	2197	-3625	0	0
			21	0,00	0,00	-25482	2827	-4366	0	0	-18778	2197	-3723	0	0
			22	0,00	0,00	-35317	2408	3512	0	0	-23814	1831	3754	0	0

## DETTAGLIO GERARCHIA RESISTENZA ASTE

Nodo 3D	Pilas. Infer. Asta3d	Pilas. Super. Asta3d	Comb N.ro	AlfaX	AlfaY	PILASTRO INFERIORE					PILASTRO SUPERIORE				
						N (kg)	Mx (kgm)	My (kgm)	AlfaX*Mx (kgm)	AlfaY*My (kgm)	N (kg)	Mx (kgm)	My (kgm)	AlfaX*Mx (kgm)	AlfaY*My (kgm)
			23	0,00	0,00	-35185	2402	3379	0	0	-23753	1830	3656	0	0
			24	0,00	0,00	-36408	2453	4601	0	0	-24311	1836	4560	0	0
			25	0,00	0,00	-36275	2448	4468	0	0	-24250	1835	4462	0	0
			26	0,00	0,00	-27337	-1037	-2705	0	0	-19642	-663	-2473	0	0
			27	0,00	0,00	-27470	-1031	-2573	0	0	-19702	-663	-2375	0	0
			28	0,00	0,00	-26247	-1082	-3795	0	0	-19144	-668	-3279	0	0
			29	0,00	0,00	-26380	-1077	-3662	0	0	-19205	-668	-3181	0	0
			30	0,00	0,00	-35950	-1506	3950	0	0	-24119	-1035	4101	0	0
			31	0,00	0,00	-36083	-1501	4083	0	0	-24179	-1034	4199	0	0
			32	0,00	0,00	-37040	-1461	5040	0	0	-24616	-1030	4906	0	0
			33	0,00	0,00	-37173	-1456	5172	0	0	-24677	-1030	5004	0	0

## DETTAGLIO GERARCHIA RESISTENZA ASTE

Nodo 3D	Pilas. Infer. Asta3d	Pilas. Super. Asta3d	Comb N.ro	AlfaX	AlfaY	PILASTRO INFERIORE					PILASTRO SUPERIORE				
						N (kg)	Mx (kgm)	My (kgm)	AlfaX*Mx (kgm)	AlfaY*My (kgm)	N (kg)	Mx (kgm)	My (kgm)	AlfaX*Mx (kgm)	AlfaY*My (kgm)
56	69	131	1	0,00	0,00	-36066	537	-1998	0	0	-24315	366	-2298	0	0
			2	0,00	0,00	-26814	7309	-2652	0	0	-17387	5479	-2816	0	0
			3	0,00	0,00	-27562	7981	-3042	0	0	-17746	6023	-3134	0	0
			4	0,00	0,00	-27366	7805	-2940	0	0	-17652	5881	-3051	0	0
			5	0,00	0,00	-28114	8477	-3329	0	0	-18011	6425	-3369	0	0
			6	0,00	0,00	-23364	8073	-905	0	0	-15497	6092	-913	0	0
			7	0,00	0,00	-24112	8745	-1295	0	0	-15856	6636	-1232	0	0
			8	0,00	0,00	-22812	7577	-618	0	0	-15231	5691	-678	0	0
			9	0,00	0,00	-23560	8249	-1007	0	0	-15591	6234	-997	0	0
			10	0,00	0,00	-22831	-7371	-1361	0	0	-15565	-5598	-1697	0	0
			11	0,00	0,00	-22083	-8043	-972	0	0	-15206	-6142	-1378	0	0
			12	0,00	0,00	-23383	-6875	-1649	0	0	-15830	-5197	-1932	0	0
			13	0,00	0,00	-22635	-7547	-1260	0	0	-15471	-5740	-1613	0	0
			14	0,00	0,00	-19381	-6607	386	0	0	-13675	-4985	206	0	0
			15	0,00	0,00	-18633	-7279	775	0	0	-13316	-5529	524	0	0
			16	0,00	0,00	-18829	-7103	673	0	0	-13410	-5387	441	0	0
			17	0,00	0,00	-18081	-7775	1063	0	0	-13051	-5931	759	0	0
			18	0,00	0,00	-29445	1279	-4239	0	0	-18954	887	-4644	0	0
			19	0,00	0,00	-29669	1481	-4356	0	0	-19062	1050	-4739	0	0
			20	0,00	0,00	-31285	2934	-5197	0	0	-19838	2226	-5427	0	0
			21	0,00	0,00	-31509	3135	-5314	0	0	-19946	2389	-5523	0	0
			22	0,00	0,00	-17945	3827	1585	0	0	-12654	2930	1698	0	0
			23	0,00	0,00	-18169	4028	1468	0	0	-12762	3093	1603	0	0
			24	0,00	0,00	-16105	2172	2544	0	0	-11770	1592	2482	0	0
			25	0,00	0,00	-16329	2374	2427	0	0	-11878	1755	2386	0	0
			26	0,00	0,00	-28250	-3125	-3851	0	0	-18408	-2436	-4308	0	0
			27	0,00	0,00	-28026	-3326	-3735	0	0	-18300	-2599	-4213	0	0
			28	0,00	0,00	-30090	-1470	-4810	0	0	-19292	-1097	-5092	0	0
			29	0,00	0,00	-29866	-1672	-4693	0	0	-19184	-1261	-4996	0	0
			30	0,00	0,00	-16750	-577	1972	0	0	-12107	-393	2034	0	0
			31	0,00	0,00	-16526	-779	2089	0	0	-12000	-556	2129	0	0
			32	0,00	0,00	-14910	-2232	2931	0	0	-11223	-1732	2818	0	0
			33	0,00	0,00	-14686	-2433	3048	0	0	-11116	-1895	2913	0	0

## DETTAGLIO GERARCHIA RESISTENZA ASTE

Nodo 3D	Pilas. Infer. Asta3d	Pilas. Super. Asta3d	Comb N.ro	AlfaX	AlfaY	PILASTRO INFERIORE					PILASTRO SUPERIORE				
						N (kg)	Mx (kgm)	My (kgm)	AlfaX*Mx (kgm)	AlfaY*My (kgm)	N (kg)	Mx (kgm)	My (kgm)	AlfaX*Mx (kgm)	AlfaY*My (kgm)
57	70	132	1	0,00	0,00	-43107	-828	1254	0	0	-27889	-606	909	0	0
			2	0,00	0,00	-25998	6639	-518	0	0	-16491	4918	-694	0	0
			3	0,00	0,00	-25742	5891	-732	0	0	-16387	4348	-861	0	0
			4	0,00	0,00	-25809	6086	-676	0	0	-16414	4497	-817	0	0
			5	0,00	0,00	-25552	5338	-890	0	0	-16311	3927	-984	0	0
			6	0,00	0,00	-27837	5594	1198	0	0	-17509	4103	1097	0	0
			7	0,00	0,00	-27581	4847	984	0	0	-17405	3533	930	0	0
			8	0,00	0,00	-28027	6147	1356	0	0	-17586	4524	1219	0	0
			9	0,00	0,00	-27770	5399	1142	0	0	-17482	3954	1053	0	0
			10	0,00	0,00	-24837	-6487	265	0	0	-16900	-4707	-12	0	0
			11	0,00	0,00	-25093	-5739	479	0	0	-17004	-4136	154	0	0
			12	0,00	0,00	-24648	-7039	107	0	0	-16824	-5128	-135	0	0
			13	0,00	0,00	-24904	-6291	321	0	0	-16927	-4558	31	0	0
			14	0,00	0,00	-26676	-7531	1981	0	0	-17918	-5522	1779	0	0
			15	0,00	0,00	-26933	-6783	2195	0	0	-18022	-4952	1945	0	0
			16	0,00	0,00	-26866	-6978	2139	0	0	-17995	-5101	1902	0	0
			17	0,00	0,00	-27122	-6230	2353	0	0	-18098	-4531	2068	0	0
			18	0,00	0,00	-23446	3263	-2246	0	0	-15446	2501	-2545	0	0
			19	0,00	0,00	-23369	3038	-2310	0	0	-15415	2330	-2595	0	0
			20	0,00	0,00	-22815	1422	-2773	0	0	-15191	1097	-2955	0	0
			21	0,00	0,00	-22738	1197	-2837	0	0	-15160	926	-3005	0	0
			22	0,00	0,00	-29577	-217	3473	0	0	-18840	-217	3425	0	0

## DETTAGLIO GERARCHIA RESISTENZA ASTE

Nodo 3D	Pilas. Infer. Asta3d	Pilas. Super. Asta3d	Comb N.ro	AlfaX	AlfaY	PILASTRO INFERIORE					PILASTRO SUPERIORE				
						N (kg)	Mx (kgm)	My (kgm)	AlfaX*Mx (kgm)	AlfaY*My (kgm)	N (kg)	Mx (kgm)	My (kgm)	AlfaX*Mx (kgm)	AlfaY*My (kgm)
			23	0,00	0,00	-29500	-442	3409	0	0	-18809	-388	3375	0	0
			24	0,00	0,00	-30208	1624	4001	0	0	-19095	1187	3834	0	0
			25	0,00	0,00	-30131	1399	3936	0	0	-19064	1016	3785	0	0
			26	0,00	0,00	-23097	-675	-2011	0	0	-15569	-387	-2340	0	0
			27	0,00	0,00	-23174	-450	-1946	0	0	-15600	-216	-2290	0	0
			28	0,00	0,00	-22466	-2516	-2538	0	0	-15314	-1790	-2750	0	0
			29	0,00	0,00	-22543	-2291	-2474	0	0	-15345	-1619	-2700	0	0
			30	0,00	0,00	-29229	-4155	3708	0	0	-18963	-3104	3629	0	0
			31	0,00	0,00	-29306	-3931	3773	0	0	-18994	-2933	3679	0	0
			32	0,00	0,00	-29860	-2314	4236	0	0	-19218	-1701	4039	0	0
			33	0,00	0,00	-29937	-2090	4300	0	0	-19249	-1530	4089	0	0

## DETTAGLIO GERARCHIA RESISTENZA ASTE

Nodo 3D	Pilas. Infer. Asta3d	Pilas. Super. Asta3d	Comb N.ro	AlfaX	AlfaY	PILASTRO INFERIORE					PILASTRO SUPERIORE				
						N (kg)	Mx (kgm)	My (kgm)	AlfaX*Mx (kgm)	AlfaY*My (kgm)	N (kg)	Mx (kgm)	My (kgm)	AlfaX*Mx (kgm)	AlfaY*My (kgm)
58	71	133	1	0,00	0,00	-55156	-1148	-493	0	0	-38103	-978	-617	0	0
			2	0,00	0,00	-31643	6188	-2275	0	0	-22302	4613	-2381	0	0
			3	0,00	0,00	-31577	6148	-2609	0	0	-22264	4587	-2667	0	0
			4	0,00	0,00	-31594	6158	-2522	0	0	-22274	4594	-2592	0	0
			5	0,00	0,00	-31528	6119	-2856	0	0	-22236	4568	-2878	0	0
			6	0,00	0,00	-31727	6315	482	0	0	-22304	4809	529	0	0
			7	0,00	0,00	-31661	6275	148	0	0	-22266	4783	244	0	0
			8	0,00	0,00	-31776	6344	729	0	0	-22333	4828	740	0	0
			9	0,00	0,00	-31710	6304	394	0	0	-22294	4802	455	0	0
			10	0,00	0,00	-34400	-7733	-1076	0	0	-23649	-6037	-1278	0	0
			11	0,00	0,00	-34467	-7694	-742	0	0	-23687	-6011	-992	0	0
			12	0,00	0,00	-34351	-7762	-1323	0	0	-23621	-6056	-1489	0	0
			13	0,00	0,00	-34417	-7723	-989	0	0	-23659	-6030	-1203	0	0
			14	0,00	0,00	-34484	-7606	1680	0	0	-23652	-5841	1633	0	0
			15	0,00	0,00	-34550	-7567	2015	0	0	-23690	-5815	1918	0	0
			16	0,00	0,00	-34533	-7577	1927	0	0	-23680	-5822	1844	0	0
			17	0,00	0,00	-34600	-7538	2261	0	0	-23718	-5796	2129	0	0
			18	0,00	0,00	-32510	1167	-5072	0	0	-22771	656	-5391	0	0
			19	0,00	0,00	-32490	1155	-5172	0	0	-22759	649	-5476	0	0
			20	0,00	0,00	-32347	1070	-5894	0	0	-22677	592	-6094	0	0
			21	0,00	0,00	-32327	1058	-5995	0	0	-22665	585	-6179	0	0
			22	0,00	0,00	-32790	1590	4118	0	0	-22779	1311	4311	0	0
			23	0,00	0,00	-32770	1579	4017	0	0	-22767	1303	4225	0	0
			24	0,00	0,00	-32953	1687	4940	0	0	-22873	1375	5014	0	0
			25	0,00	0,00	-32934	1676	4840	0	0	-22861	1367	4928	0	0
			26	0,00	0,00	-33337	-3009	-4712	0	0	-23175	-2539	-5060	0	0
			27	0,00	0,00	-33357	-2997	-4612	0	0	-23186	-2531	-4974	0	0
			28	0,00	0,00	-33174	-3106	-5535	0	0	-23081	-2603	-5763	0	0
			29	0,00	0,00	-33194	-3094	-5435	0	0	-23092	-2595	-5677	0	0
			30	0,00	0,00	-33617	-2586	4477	0	0	-23183	-1884	4642	0	0
			31	0,00	0,00	-33637	-2574	4577	0	0	-23194	-1877	4728	0	0
			32	0,00	0,00	-33781	-2489	5300	0	0	-23277	-1820	5345	0	0
			33	0,00	0,00	-33800	-2477	5400	0	0	-23288	-1813	5431	0	0

## DETTAGLIO GERARCHIA RESISTENZA ASTE

Nodo 3D	Pilas. Infer. Asta3d	Pilas. Super. Asta3d	Comb N.ro	AlfaX	AlfaY	PILASTRO INFERIORE					PILASTRO SUPERIORE				
						N (kg)	Mx (kgm)	My (kgm)	AlfaX*Mx (kgm)	AlfaY*My (kgm)	N (kg)	Mx (kgm)	My (kgm)	AlfaX*Mx (kgm)	AlfaY*My (kgm)
59	72	134	1	0,00	0,00	-41892	-1864	-1227	0	0	-27246	-2057	-1206	0	0
			2	0,00	0,00	-26108	6039	-2034	0	0	-17176	4298	-2019	0	0
			3	0,00	0,00	-26321	6697	-2260	0	0	-17287	4834	-2199	0	0
			4	0,00	0,00	-26265	6525	-2201	0	0	-17258	4694	-2152	0	0
			5	0,00	0,00	-26478	7183	-2428	0	0	-17369	5230	-2331	0	0
			6	0,00	0,00	-22938	6935	-225	0	0	-15508	5004	-131	0	0
			7	0,00	0,00	-23151	7593	-452	0	0	-15619	5540	-310	0	0
			8	0,00	0,00	-22781	6449	-57	0	0	-15426	4608	2	0	0
			9	0,00	0,00	-22993	7107	-284	0	0	-15537	5144	-178	0	0
			10	0,00	0,00	-28503	-8925	-1222	0	0	-18246	-7144	-1316	0	0
			11	0,00	0,00	-28290	-9583	-995	0	0	-18135	-7680	-1136	0	0
			12	0,00	0,00	-28660	-8439	-1389	0	0	-18328	-6749	-1448	0	0
			13	0,00	0,00	-28447	-9097	-1162	0	0	-18217	-7284	-1269	0	0
			14	0,00	0,00	-25332	-8028	587	0	0	-16577	-6438	573	0	0
			15	0,00	0,00	-25120	-8687	814	0	0	-16466	-6974	752	0	0
			16	0,00	0,00	-25175	-8514	754	0	0	-16495	-6834	705	0	0
			17	0,00	0,00	-24962	-9173	981	0	0	-16384	-7370	885	0	0
			18	0,00	0,00	-30645	-244	-3859	0	0	-19497	-530	-3977	0	0
			19	0,00	0,00	-30709	-47	-3928	0	0	-19530	-370	-4030	0	0
			20	0,00	0,00	-31168	1376	-4418	0	0	-19770	788	-4418	0	0
			21	0,00	0,00	-31232	1573	-4486	0	0	-19803	949	-4471	0	0
			22	0,00	0,00	-20077	2743	2169	0	0	-13936	1823	2319	0	0

## DETTAGLIO GERARCHIA RESISTENZA ASTE

Nodo 3D	Pilas. Infer. Asta3d	Pilas. Super. Asta3d	Comb N.ro	AlfaX	AlfaY	PILASTRO INFERIORE					PILASTRO SUPERIORE				
						N (kg)	Mx (kgm)	My (kgm)	AlfaX*Mx (kgm)	AlfaY*My (kgm)	N (kg)	Mx (kgm)	My (kgm)	AlfaX*Mx (kgm)	AlfaY*My (kgm)
			23	0,00	0,00	-20141	2940	2101	0	0	-13969	1984	2265	0	0
			24	0,00	0,00	-19554	1123	2728	0	0	-13662	504	2760	0	0
			25	0,00	0,00	-19617	1320	2660	0	0	-13696	665	2706	0	0
			26	0,00	0,00	-31363	-4733	-3616	0	0	-19818	-3963	-3765	0	0
			27	0,00	0,00	-31299	-4930	-3548	0	0	-19784	-4124	-3712	0	0
			28	0,00	0,00	-31887	-3113	-4174	0	0	-20091	-2644	-4207	0	0
			29	0,00	0,00	-31823	-3310	-4106	0	0	-20058	-2805	-4153	0	0
			30	0,00	0,00	-20796	-1746	2413	0	0	-14257	-1610	2530	0	0
			31	0,00	0,00	-20732	-1943	2481	0	0	-14223	-1770	2584	0	0
			32	0,00	0,00	-20272	-3366	2971	0	0	-13983	-2929	2971	0	0
			33	0,00	0,00	-20208	-3563	3039	0	0	-13950	-3089	3025	0	0

## DETTAGLIO GERARCHIA RESISTENZA ASTE

Nodo 3D	Pilas. Infer. Asta3d	Pilas. Super. Asta3d	Comb N.ro	AlfaX	AlfaY	PILASTRO INFERIORE					PILASTRO SUPERIORE				
						N (kg)	Mx (kgm)	My (kgm)	AlfaX*Mx (kgm)	AlfaY*My (kgm)	N (kg)	Mx (kgm)	My (kgm)	AlfaX*Mx (kgm)	AlfaY*My (kgm)
60	73	135	1	0,00	0,00	-48498	3336	-433	0	0	-35664	2740	-571	0	0
			2	0,00	0,00	-28907	-214	-4839	0	0	-21521	412	-4055	0	0
			3	0,00	0,00	-28568	-592	-4292	0	0	-21378	303	-3593	0	0
			4	0,00	0,00	-28657	-493	-4435	0	0	-21416	332	-3714	0	0
			5	0,00	0,00	-28318	-870	-3887	0	0	-21272	223	-3253	0	0
			6	0,00	0,00	-35547	6427	-4166	0	0	-25046	4522	-3484	0	0
			7	0,00	0,00	-35208	6049	-3619	0	0	-24903	4413	-3023	0	0
			8	0,00	0,00	-35797	6706	-4571	0	0	-25152	4603	-3825	0	0
			9	0,00	0,00	-35459	6328	-4023	0	0	-25009	4494	-3364	0	0
			10	0,00	0,00	-25411	-2619	3801	0	0	-20095	-1452	2976	0	0
			11	0,00	0,00	-25750	-2241	3253	0	0	-20238	-1342	2515	0	0
			12	0,00	0,00	-25161	-2897	4206	0	0	-19989	-1532	3317	0	0
			13	0,00	0,00	-25499	-2520	3658	0	0	-20133	-1423	2856	0	0
			14	0,00	0,00	-32051	4022	4474	0	0	-23620	2658	3547	0	0
			15	0,00	0,00	-32390	4400	3926	0	0	-23763	2767	3085	0	0
			16	0,00	0,00	-32301	4301	4069	0	0	-23726	2739	3206	0	0
			17	0,00	0,00	-32640	4678	3522	0	0	-23869	2848	2745	0	0
			18	0,00	0,00	-19937	-8804	-2600	0	0	-16910	-5035	-2259	0	0
			19	0,00	0,00	-19835	-8917	-2436	0	0	-16867	-5067	-2121	0	0
			20	0,00	0,00	-19103	-9732	-1252	0	0	-16557	-5303	-1123	0	0
			21	0,00	0,00	-19001	-9846	-1088	0	0	-16514	-5336	-985	0	0
			22	0,00	0,00	-42070	13333	-357	0	0	-28659	8664	-358	0	0
			23	0,00	0,00	-41969	13220	-193	0	0	-28617	8632	-220	0	0
			24	0,00	0,00	-42904	14262	-1706	0	0	-29012	8933	-1494	0	0
			25	0,00	0,00	-42802	14149	-1541	0	0	-28969	8900	-1355	0	0
			26	0,00	0,00	-18888	-9525	-8	0	0	-16482	-5594	-150	0	0
			27	0,00	0,00	-18989	-9412	-172	0	0	-16525	-5561	-288	0	0
			28	0,00	0,00	-18054	-10454	1340	0	0	-16129	-5863	986	0	0
			29	0,00	0,00	-18156	-10341	1176	0	0	-16172	-5830	847	0	0
			30	0,00	0,00	-41021	12612	2235	0	0	-28232	8105	1751	0	0
			31	0,00	0,00	-41123	12725	2070	0	0	-28275	8138	1613	0	0
			32	0,00	0,00	-41855	13541	887	0	0	-28584	8374	616	0	0
			33	0,00	0,00	-41957	13654	722	0	0	-28627	8407	477	0	0

## DETTAGLIO GERARCHIA RESISTENZA ASTE

Nodo 3D	Pilas. Infer. Asta3d	Pilas. Super. Asta3d	Comb N.ro	AlfaX	AlfaY	PILASTRO INFERIORE					PILASTRO SUPERIORE				
						N (kg)	Mx (kgm)	My (kgm)	AlfaX*Mx (kgm)	AlfaY*My (kgm)	N (kg)	Mx (kgm)	My (kgm)	AlfaX*Mx (kgm)	AlfaY*My (kgm)
61	74	136	1	0,00	0,00	-54506	990	-788	0	0	-35792	1035	-1107	0	0
			2	0,00	0,00	-36860	8702	-2435	0	0	-23840	6083	-2402	0	0
			3	0,00	0,00	-36963	8675	-2545	0	0	-23878	6078	-2481	0	0
			4	0,00	0,00	-36936	8682	-2516	0	0	-23868	6079	-2460	0	0
			5	0,00	0,00	-37039	8655	-2626	0	0	-23907	6073	-2540	0	0
			6	0,00	0,00	-31769	8508	853	0	0	-21228	5970	548	0	0
			7	0,00	0,00	-31873	8481	743	0	0	-21266	5964	469	0	0
			8	0,00	0,00	-31693	8527	934	0	0	-21200	5974	607	0	0
			9	0,00	0,00	-31796	8501	824	0	0	-21238	5968	527	0	0
			10	0,00	0,00	-34961	-7340	-1782	0	0	-22425	-4775	-1832	0	0
			11	0,00	0,00	-34858	-7313	-1673	0	0	-22386	-4769	-1752	0	0
			12	0,00	0,00	-35037	-7360	-1863	0	0	-22453	-4779	-1890	0	0
			13	0,00	0,00	-34934	-7333	-1754	0	0	-22415	-4773	-1811	0	0
			14	0,00	0,00	-29871	-7534	1506	0	0	-19813	-4888	1118	0	0
			15	0,00	0,00	-29767	-7507	1616	0	0	-19774	-4883	1198	0	0
			16	0,00	0,00	-29795	-7514	1587	0	0	-19784	-4884	1177	0	0
			17	0,00	0,00	-29691	-7488	1697	0	0	-19746	-4878	1256	0	0
			18	0,00	0,00	-42134	3314	-6043	0	0	-26392	2416	-5644	0	0
			19	0,00	0,00	-42165	3306	-6076	0	0	-26403	2414	-5667	0	0
			20	0,00	0,00	-42388	3248	-6313	0	0	-26487	2402	-5839	0	0
			21	0,00	0,00	-42419	3240	-6346	0	0	-26498	2400	-5863	0	0
			22	0,00	0,00	-25166	2666	4918	0	0	-17685	2037	4189	0	0

## DETTAGLIO GERARCHIA RESISTENZA ASTE

Nodo 3D	Pilas. Infer. Asta3d	Pilas. Super. Asta3d	Comb N.ro	AlfaX	AlfaY	PILASTRO INFERIORE					PILASTRO SUPERIORE				
						N (kg)	Mx (kgm)	My (kgm)	AlfaX*Mx (kgm)	AlfaY*My (kgm)	N (kg)	Mx (kgm)	My (kgm)	AlfaX*Mx (kgm)	AlfaY*My (kgm)
			23	0,00	0,00	-25197	2658	4885	0	0	-17697	2035	4165	0	0
			24	0,00	0,00	-24912	2732	5188	0	0	-17591	2051	4385	0	0
			25	0,00	0,00	-24943	2724	5155	0	0	-17602	2049	4361	0	0
			26	0,00	0,00	-41564	-1499	-5847	0	0	-25967	-842	-5473	0	0
			27	0,00	0,00	-41533	-1491	-5814	0	0	-25956	-840	-5449	0	0
			28	0,00	0,00	-41819	-1565	-6117	0	0	-26062	-856	-5668	0	0
			29	0,00	0,00	-41788	-1557	-6084	0	0	-26051	-854	-5644	0	0
			30	0,00	0,00	-24596	-2146	5114	0	0	-17261	-1221	4360	0	0
			31	0,00	0,00	-24565	-2138	5146	0	0	-17249	-1219	4384	0	0
			32	0,00	0,00	-24342	-2080	5384	0	0	-17166	-1207	4556	0	0
			33	0,00	0,00	-24311	-2072	5417	0	0	-17154	-1205	4580	0	0

## DETTAGLIO GERARCHIA RESISTENZA ASTE

Nodo 3D	Pilas. Infer. Asta3d	Pilas. Super. Asta3d	Comb N.ro	AlfaX	AlfaY	PILASTRO INFERIORE					PILASTRO SUPERIORE				
						N (kg)	Mx (kgm)	My (kgm)	AlfaX*Mx (kgm)	AlfaY*My (kgm)	N (kg)	Mx (kgm)	My (kgm)	AlfaX*Mx (kgm)	AlfaY*My (kgm)
62	75	137	1	0,00	0,00	-42801	1471	-509	0	0	-27723	1421	-109	0	0
			2	0,00	0,00	-27732	7857	-677	0	0	-17843	6116	-198	0	0
			3	0,00	0,00	-27895	8522	-701	0	0	-17925	6655	-194	0	0
			4	0,00	0,00	-27852	8348	-695	0	0	-17903	6514	-195	0	0
			5	0,00	0,00	-28015	9014	-718	0	0	-17985	7054	-191	0	0
			6	0,00	0,00	-27150	8661	-124	0	0	-17486	6763	56	0	0
			7	0,00	0,00	-27313	9327	-147	0	0	-17568	7302	60	0	0
			8	0,00	0,00	-27029	8170	-107	0	0	-17426	6364	53	0	0
			9	0,00	0,00	-27192	8836	-130	0	0	-17508	6904	57	0	0
			10	0,00	0,00	-24954	-7119	-546	0	0	-16528	-5329	-302	0	0
			11	0,00	0,00	-24791	-7784	-522	0	0	-16446	-5868	-306	0	0
			12	0,00	0,00	-25074	-6627	-563	0	0	-16588	-4931	-299	0	0
			13	0,00	0,00	-24911	-7293	-540	0	0	-16506	-5470	-303	0	0
			14	0,00	0,00	-24372	-6314	8	0	0	-16172	-4682	-48	0	0
			15	0,00	0,00	-24209	-6980	31	0	0	-16089	-5222	-52	0	0
			16	0,00	0,00	-24251	-6805	25	0	0	-16111	-5081	-51	0	0
			17	0,00	0,00	-24088	-7471	48	0	0	-16029	-5620	-55	0	0
			18	0,00	0,00	-27438	1676	-1277	0	0	-17798	1356	-531	0	0
			19	0,00	0,00	-27487	1876	-1284	0	0	-17823	1518	-530	0	0
			20	0,00	0,00	-27839	3315	-1335	0	0	-18000	2684	-521	0	0
			21	0,00	0,00	-27888	3515	-1342	0	0	-18025	2845	-519	0	0
			22	0,00	0,00	-25498	4359	568	0	0	-16610	3511	316	0	0
			23	0,00	0,00	-25547	4559	561	0	0	-16635	3673	317	0	0
			24	0,00	0,00	-25097	2720	626	0	0	-16408	2184	306	0	0
			25	0,00	0,00	-25146	2920	619	0	0	-16433	2345	307	0	0
			26	0,00	0,00	-26605	-2816	-1237	0	0	-17404	-2077	-562	0	0
			27	0,00	0,00	-26556	-3016	-1230	0	0	-17379	-2239	-563	0	0
			28	0,00	0,00	-27006	-1177	-1295	0	0	-17606	-750	-552	0	0
			29	0,00	0,00	-26957	-1377	-1288	0	0	-17581	-912	-553	0	0
			30	0,00	0,00	-24665	-134	607	0	0	-16216	78	285	0	0
			31	0,00	0,00	-24616	-333	614	0	0	-16191	-84	284	0	0
			32	0,00	0,00	-24264	-1772	665	0	0	-16014	-1250	275	0	0
			33	0,00	0,00	-24215	-1972	672	0	0	-15989	-1412	273	0	0

## DETTAGLIO GERARCHIA RESISTENZA ASTE

Nodo 3D	Pilas. Infer. Asta3d	Pilas. Super. Asta3d	Comb N.ro	AlfaX	AlfaY	PILASTRO INFERIORE					PILASTRO SUPERIORE				
						N (kg)	Mx (kgm)	My (kgm)	AlfaX*Mx (kgm)	AlfaY*My (kgm)	N (kg)	Mx (kgm)	My (kgm)	AlfaX*Mx (kgm)	AlfaY*My (kgm)
63	76	138	1	0,00	0,00	-49770	4420	406	0	0	-35300	3710	459	0	0
			2	0,00	0,00	-25891	-2070	-4637	0	0	-19769	-796	-3749	0	0
			3	0,00	0,00	-26230	-1693	-4089	0	0	-19913	-687	-3288	0	0
			4	0,00	0,00	-26141	-1792	-4232	0	0	-19875	-715	-3408	0	0
			5	0,00	0,00	-26480	-1414	-3685	0	0	-20018	-606	-2947	0	0
			6	0,00	0,00	-33321	5500	-3666	0	0	-23617	3609	-2884	0	0
			7	0,00	0,00	-33660	5878	-3118	0	0	-23760	3718	-2423	0	0
			8	0,00	0,00	-33071	5222	-4071	0	0	-23511	3529	-3225	0	0
			9	0,00	0,00	-33410	5599	-3523	0	0	-23654	3638	-2764	0	0
			10	0,00	0,00	-29253	-384	4003	0	0	-21125	652	3282	0	0
			11	0,00	0,00	-28914	-762	3455	0	0	-20982	543	2820	0	0
			12	0,00	0,00	-29503	-106	4408	0	0	-21231	733	3622	0	0
			13	0,00	0,00	-29164	-483	3860	0	0	-21088	623	3161	0	0
			14	0,00	0,00	-36683	7186	4974	0	0	-24973	5057	4147	0	0
			15	0,00	0,00	-36345	6809	4426	0	0	-24830	4948	3685	0	0
			16	0,00	0,00	-36433	6908	4569	0	0	-24867	4976	3806	0	0
			17	0,00	0,00	-36095	6530	4022	0	0	-24724	4867	3345	0	0
			18	0,00	0,00	-18399	-10313	-2745	0	0	-15755	-5428	-2297	0	0
			19	0,00	0,00	-18500	-10200	-2581	0	0	-15798	-5395	-2159	0	0
			20	0,00	0,00	-19232	-9384	-1397	0	0	-16107	-5159	-1162	0	0
			21	0,00	0,00	-19334	-9271	-1233	0	0	-16150	-5127	-1023	0	0
			22	0,00	0,00	-43167	14923	490	0	0	-28581	9255	585	0	0

## DETTAGLIO GERARCHIA RESISTENZA ASTE

Nodo 3D	Pilas. Infer. Asta3d	Pilas. Super. Asta3d	Comb N.ro	AlfaX	AlfaY	PILASTRO INFERIORE					PILASTRO SUPERIORE				
						N (kg)	Mx (kgm)	My (kgm)	AlfaX*Mx (kgm)	AlfaY*My (kgm)	N (kg)	Mx (kgm)	My (kgm)	AlfaX*Mx (kgm)	AlfaY*My (kgm)
			23	0,00	0,00	-43269	15036	655	0	0	-28624	9288	724	0	0
			24	0,00	0,00	-42333	13994	-858	0	0	-28228	8986	-550	0	0
			25	0,00	0,00	-42435	14107	-693	0	0	-28271	9019	-412	0	0
			26	0,00	0,00	-19407	-9807	-153	0	0	-16162	-4994	-188	0	0
			27	0,00	0,00	-19306	-9920	-318	0	0	-16119	-5027	-326	0	0
			28	0,00	0,00	-20241	-8878	1195	0	0	-16514	-4725	948	0	0
			29	0,00	0,00	-20139	-8991	1030	0	0	-16471	-4758	809	0	0
			30	0,00	0,00	-44176	15429	3082	0	0	-28987	9689	2695	0	0
			31	0,00	0,00	-44074	15316	2918	0	0	-28944	9656	2556	0	0
			32	0,00	0,00	-43342	14500	1734	0	0	-28635	9421	1559	0	0
			33	0,00	0,00	-43240	14387	1570	0	0	-28592	9388	1421	0	0

## DETTAGLIO GERARCHIA RESISTENZA ASTE

Nodo 3D	Pilas. Infer. Asta3d	Pilas. Super. Asta3d	Comb N.ro	AlfaX	AlfaY	PILASTRO INFERIORE					PILASTRO SUPERIORE				
						N (kg)	Mx (kgm)	My (kgm)	AlfaX*Mx (kgm)	AlfaY*My (kgm)	N (kg)	Mx (kgm)	My (kgm)	AlfaX*Mx (kgm)	AlfaY*My (kgm)
64	77	139	1	0,00	0,00	-57614	-996	-1100	0	0	-37622	-1086	-1398	0	0
			2	0,00	0,00	-37262	7377	-2250	0	0	-23783	4835	-2250	0	0
			3	0,00	0,00	-37159	7350	-2140	0	0	-23744	4830	-2170	0	0
			4	0,00	0,00	-37186	7357	-2169	0	0	-23754	4831	-2191	0	0
			5	0,00	0,00	-37083	7330	-2059	0	0	-23716	4825	-2112	0	0
			6	0,00	0,00	-31954	7461	1295	0	0	-21096	4725	879	0	0
			7	0,00	0,00	-31851	7434	1405	0	0	-21057	4719	959	0	0
			8	0,00	0,00	-32031	7481	1214	0	0	-21124	4729	820	0	0
			9	0,00	0,00	-31927	7454	1324	0	0	-21086	4723	900	0	0
			10	0,00	0,00	-38754	-8665	-2600	0	0	-25016	-6023	-2512	0	0
			11	0,00	0,00	-38857	-8638	-2710	0	0	-25054	-6017	-2592	0	0
			12	0,00	0,00	-38678	-8685	-2519	0	0	-24987	-6027	-2454	0	0
			13	0,00	0,00	-38781	-8658	-2629	0	0	-25026	-6022	-2533	0	0
			14	0,00	0,00	-33446	-8581	944	0	0	-22329	-6134	617	0	0
			15	0,00	0,00	-33550	-8554	834	0	0	-22367	-6128	537	0	0
			16	0,00	0,00	-33523	-8561	863	0	0	-22357	-6129	558	0	0
			17	0,00	0,00	-33626	-8534	753	0	0	-22396	-6124	478	0	0
			18	0,00	0,00	-43977	1664	-6508	0	0	-27349	1164	-5993	0	0
			19	0,00	0,00	-43946	1656	-6475	0	0	-27338	1162	-5969	0	0
			20	0,00	0,00	-43722	1598	-6238	0	0	-27255	1149	-5797	0	0
			21	0,00	0,00	-43691	1590	-6205	0	0	-27243	1148	-5773	0	0
			22	0,00	0,00	-26284	1945	5307	0	0	-18392	795	4438	0	0
			23	0,00	0,00	-26253	1937	5340	0	0	-18381	794	4462	0	0
			24	0,00	0,00	-26538	2011	5037	0	0	-18487	810	4242	0	0
			25	0,00	0,00	-26507	2003	5070	0	0	-18476	808	4266	0	0
			26	0,00	0,00	-44424	-3148	-6613	0	0	-27719	-2094	-6071	0	0
			27	0,00	0,00	-44455	-3140	-6646	0	0	-27731	-2092	-6095	0	0
			28	0,00	0,00	-44170	-3214	-6343	0	0	-27624	-2108	-5875	0	0
			29	0,00	0,00	-44201	-3206	-6376	0	0	-27636	-2106	-5899	0	0
			30	0,00	0,00	-26732	-2868	5202	0	0	-18762	-2462	4359	0	0
			31	0,00	0,00	-26763	-2860	5169	0	0	-18774	-2460	4335	0	0
			32	0,00	0,00	-26986	-2802	4932	0	0	-18857	-2448	4163	0	0
			33	0,00	0,00	-27017	-2794	4899	0	0	-18869	-2446	4140	0	0

## DETTAGLIO GERARCHIA RESISTENZA ASTE

Nodo 3D	Pilas. Infer. Asta3d	Pilas. Super. Asta3d	Comb N.ro	AlfaX	AlfaY	PILASTRO INFERIORE					PILASTRO SUPERIORE				
						N (kg)	Mx (kgm)	My (kgm)	AlfaX*Mx (kgm)	AlfaY*My (kgm)	N (kg)	Mx (kgm)	My (kgm)	AlfaX*Mx (kgm)	AlfaY*My (kgm)
65	78	140	1	0,00	0,00	-43140	-1450	-499	0	0	-28004	-1428	-103	0	0
			2	0,00	0,00	-25325	6262	-603	0	0	-16771	4619	-275	0	0
			3	0,00	0,00	-25162	6927	-579	0	0	-16689	5159	-279	0	0
			4	0,00	0,00	-25205	6753	-586	0	0	-16711	5018	-278	0	0
			5	0,00	0,00	-25042	7419	-562	0	0	-16629	5557	-282	0	0
			6	0,00	0,00	-24375	7185	9	0	0	-16233	5380	-21	0	0
			7	0,00	0,00	-24213	7850	32	0	0	-16151	5920	-25	0	0
			8	0,00	0,00	-24496	6693	-9	0	0	-16294	4982	-18	0	0
			9	0,00	0,00	-24333	7359	15	0	0	-16211	5521	-22	0	0
			10	0,00	0,00	-28044	-8709	-667	0	0	-18048	-6821	-217	0	0
			11	0,00	0,00	-28207	-9375	-691	0	0	-18130	-7360	-213	0	0
			12	0,00	0,00	-27924	-8218	-650	0	0	-17987	-6422	-221	0	0
			13	0,00	0,00	-28087	-8884	-673	0	0	-18069	-6962	-216	0	0
			14	0,00	0,00	-27095	-7786	-56	0	0	-17509	-6060	37	0	0
			15	0,00	0,00	-27257	-8452	-79	0	0	-17591	-6599	41	0	0
			16	0,00	0,00	-27215	-8278	-73	0	0	-17570	-6458	40	0	0
			17	0,00	0,00	-27378	-8944	-97	0	0	-17652	-6997	44	0	0
			18	0,00	0,00	-27384	-55	-1339	0	0	-17846	-272	-552	0	0
			19	0,00	0,00	-27335	145	-1332	0	0	-17822	-110	-553	0	0
			20	0,00	0,00	-26983	1584	-1281	0	0	-17644	1055	-562	0	0
			21	0,00	0,00	-26934	1784	-1274	0	0	-17620	1217	-563	0	0
			22	0,00	0,00	-24219	3022	699	0	0	-16052	2264	297	0	0

## DETTAGLIO GERARCHIA RESISTENZA ASTE

Nodo 3D	Pilas. Infer. Asta3d	Pilas. Super. Asta3d	Comb N.ro	AlfaX	AlfaY	PILASTRO INFERIORE					PILASTRO SUPERIORE				
						N (kg)	Mx (kgm)	My (kgm)	AlfaX*Mx (kgm)	AlfaY*My (kgm)	N (kg)	Mx (kgm)	My (kgm)	AlfaX*Mx (kgm)	AlfaY*My (kgm)
			23	0,00	0,00	-24171	3221	706	0	0	-16027	2426	295	0	0
			24	0,00	0,00	-24620	1383	641	0	0	-16254	936	307	0	0
			25	0,00	0,00	-24572	1582	649	0	0	-16229	1098	305	0	0
			26	0,00	0,00	-28200	-4546	-1358	0	0	-18229	-3704	-535	0	0
			27	0,00	0,00	-28249	-4746	-1365	0	0	-18254	-3866	-533	0	0
			28	0,00	0,00	-27799	-2908	-1300	0	0	-18027	-2377	-545	0	0
			29	0,00	0,00	-27848	-3107	-1307	0	0	-18052	-2539	-544	0	0
			30	0,00	0,00	-25035	-1470	680	0	0	-16434	-1168	314	0	0
			31	0,00	0,00	-25084	-1669	673	0	0	-16459	-1330	315	0	0
			32	0,00	0,00	-25436	-3109	622	0	0	-16636	-2496	324	0	0
			33	0,00	0,00	-25485	-3308	615	0	0	-16661	-2657	325	0	0

## DETTAGLIO GERARCHIA RESISTENZA ASTE

Nodo 3D	Pilas. Infer. Asta3d	Pilas. Super. Asta3d	Comb N.ro	AlfaX	AlfaY	PILASTRO INFERIORE					PILASTRO SUPERIORE				
						N (kg)	Mx (kgm)	My (kgm)	AlfaX*Mx (kgm)	AlfaY*My (kgm)	N (kg)	Mx (kgm)	My (kgm)	AlfaX*Mx (kgm)	AlfaY*My (kgm)
66	79	141	1	0,00	0,00	-47739	451	1221	0	0	-30240	25	854	0	0
			2	0,00	0,00	-26834	7462	-107	0	0	-17837	5362	-351	0	0
			3	0,00	0,00	-27090	6714	107	0	0	-17941	4792	-184	0	0
			4	0,00	0,00	-27023	6910	51	0	0	-17914	4941	-228	0	0
			5	0,00	0,00	-27279	6162	266	0	0	-18018	4371	-61	0	0
			6	0,00	0,00	-29269	6198	2128	0	0	-19087	4315	1833	0	0
			7	0,00	0,00	-29525	5450	2342	0	0	-19191	3744	1999	0	0
			8	0,00	0,00	-29080	6750	1970	0	0	-19011	4736	1710	0	0
			9	0,00	0,00	-29336	6003	2184	0	0	-19114	4165	1876	0	0
			10	0,00	0,00	-27813	-5663	-696	0	0	-17564	-4263	-799	0	0
			11	0,00	0,00	-27557	-4915	-910	0	0	-17460	-3692	-966	0	0
			12	0,00	0,00	-28003	-6215	-538	0	0	-17640	-4684	-676	0	0
			13	0,00	0,00	-27746	-5467	-752	0	0	-17537	-4113	-843	0	0
			14	0,00	0,00	-30249	-6926	1539	0	0	-18814	-5310	1384	0	0
			15	0,00	0,00	-29992	-6179	1324	0	0	-18710	-4740	1218	0	0
			16	0,00	0,00	-30059	-6374	1380	0	0	-18737	-4889	1261	0	0
			17	0,00	0,00	-29803	-5626	1166	0	0	-18633	-4319	1095	0	0
			18	0,00	0,00	-24335	4342	-2920	0	0	-16284	3216	-3055	0	0
			19	0,00	0,00	-24412	4118	-2856	0	0	-16315	3045	-3005	0	0
			20	0,00	0,00	-24966	2501	-2393	0	0	-16539	1813	-2645	0	0
			21	0,00	0,00	-25043	2277	-2329	0	0	-16570	1642	-2595	0	0
			22	0,00	0,00	-32453	130	4529	0	0	-20450	-277	4223	0	0
			23	0,00	0,00	-32530	-94	4593	0	0	-20481	-448	4273	0	0
			24	0,00	0,00	-31822	1971	4002	0	0	-20194	1127	3813	0	0
			25	0,00	0,00	-31899	1747	4066	0	0	-20226	956	3863	0	0
			26	0,00	0,00	-24629	405	-3097	0	0	-16201	329	-3190	0	0
			27	0,00	0,00	-24553	629	-3161	0	0	-16170	500	-3240	0	0
			28	0,00	0,00	-25260	-1436	-2570	0	0	-16457	-1075	-2780	0	0
			29	0,00	0,00	-25183	-1212	-2634	0	0	-16425	-904	-2830	0	0
			30	0,00	0,00	-32747	-3807	4352	0	0	-20367	-3164	4088	0	0
			31	0,00	0,00	-32670	-3583	4288	0	0	-20336	-2993	4039	0	0
			32	0,00	0,00	-32116	-1966	3825	0	0	-20112	-1761	3679	0	0
			33	0,00	0,00	-32039	-1742	3760	0	0	-20081	-1590	3629	0	0

## DETTAGLIO GERARCHIA RESISTENZA ASTE

Nodo 3D	Pilas. Infer. Asta3d	Pilas. Super. Asta3d	Comb N.ro	AlfaX	AlfaY	PILASTRO INFERIORE					PILASTRO SUPERIORE				
						N (kg)	Mx (kgm)	My (kgm)	AlfaX*Mx (kgm)	AlfaY*My (kgm)	N (kg)	Mx (kgm)	My (kgm)	AlfaX*Mx (kgm)	AlfaY*My (kgm)
67	80	142	1	0,00	0,00	-55856	1290	-480	0	0	-38592	1187	-612	0	0
			2	0,00	0,00	-34715	7885	-1627	0	0	-23884	6208	-1794	0	0
			3	0,00	0,00	-34781	7845	-1292	0	0	-23922	6182	-1508	0	0
			4	0,00	0,00	-34764	7855	-1380	0	0	-23912	6189	-1583	0	0
			5	0,00	0,00	-34830	7816	-1046	0	0	-23950	6163	-1298	0	0
			6	0,00	0,00	-34939	7605	1934	0	0	-23965	5901	1787	0	0
			7	0,00	0,00	-35005	7566	2268	0	0	-24003	5875	2073	0	0
			8	0,00	0,00	-34890	7634	1687	0	0	-23937	5920	1576	0	0
			9	0,00	0,00	-34956	7595	2021	0	0	-23975	5894	1862	0	0
			10	0,00	0,00	-31969	-6038	-2518	0	0	-22541	-4445	-2533	0	0
			11	0,00	0,00	-31902	-5999	-2852	0	0	-22503	-4419	-2818	0	0
			12	0,00	0,00	-32018	-6067	-2272	0	0	-22569	-4464	-2322	0	0
			13	0,00	0,00	-31951	-6028	-2606	0	0	-22531	-4438	-2607	0	0
			14	0,00	0,00	-32193	-6318	1042	0	0	-22622	-4752	1048	0	0
			15	0,00	0,00	-32126	-6278	708	0	0	-22584	-4726	763	0	0
			16	0,00	0,00	-32144	-6288	796	0	0	-22594	-4733	838	0	0
			17	0,00	0,00	-32077	-6249	461	0	0	-22555	-4707	552	0	0
			18	0,00	0,00	-33492	3337	-6093	0	0	-23319	2838	-6231	0	0
			19	0,00	0,00	-33512	3326	-5992	0	0	-23330	2830	-6145	0	0
			20	0,00	0,00	-33656	3240	-5270	0	0	-23413	2774	-5528	0	0
			21	0,00	0,00	-33675	3229	-5170	0	0	-23425	2766	-5442	0	0
			22	0,00	0,00	-34239	2406	5776	0	0	-23590	1814	5707	0	0

## DETTAGLIO GERARCHIA RESISTENZA ASTE

Nodo 3D	Pilas. Infer. Asta3d	Pilas. Super. Asta3d	Comb N.ro	AlfaX	AlfaY	PILASTRO INFERIORE					PILASTRO SUPERIORE				
						N (kg)	Mx (kgm)	My (kgm)	AlfaX*Mx (kgm)	AlfaY*My (kgm)	N (kg)	Mx (kgm)	My (kgm)	AlfaX*Mx (kgm)	AlfaY*My (kgm)
			23	0,00	0,00	-34259	2395	5876	0	0	-23601	1806	5792	0	0
			24	0,00	0,00	-34076	2503	4953	0	0	-23495	1878	5004	0	0
			25	0,00	0,00	-34096	2492	5054	0	0	-23507	1870	5090	0	0
			26	0,00	0,00	-32668	-839	-6360	0	0	-22916	-358	-6452	0	0
			27	0,00	0,00	-32648	-828	-6461	0	0	-22905	-350	-6538	0	0
			28	0,00	0,00	-32832	-936	-5538	0	0	-23010	-422	-5749	0	0
			29	0,00	0,00	-32812	-925	-5638	0	0	-22999	-414	-5835	0	0
			30	0,00	0,00	-33415	-1770	5508	0	0	-23187	-1382	5485	0	0
			31	0,00	0,00	-33395	-1759	5408	0	0	-23175	-1374	5399	0	0
			32	0,00	0,00	-33252	-1673	4686	0	0	-23093	-1318	4782	0	0
			33	0,00	0,00	-33232	-1662	4586	0	0	-23081	-1310	4697	0	0

## DETTAGLIO GERARCHIA RESISTENZA ASTE

Nodo 3D	Pilas. Infer. Asta3d	Pilas. Super. Asta3d	Comb N.ro	AlfaX	AlfaY	PILASTRO INFERIORE					PILASTRO SUPERIORE				
						N (kg)	Mx (kgm)	My (kgm)	AlfaX*Mx (kgm)	AlfaY*My (kgm)	N (kg)	Mx (kgm)	My (kgm)	AlfaX*Mx (kgm)	AlfaY*My (kgm)
68	81	143	1	0,00	0,00	-48420	1428	-1173	0	0	-30509	1431	-1146	0	0
			2	0,00	0,00	-31810	7861	-1574	0	0	-19898	6147	-1623	0	0
			3	0,00	0,00	-31597	8519	-1347	0	0	-19787	6683	-1444	0	0
			4	0,00	0,00	-31653	8347	-1406	0	0	-19816	6542	-1491	0	0
			5	0,00	0,00	-31440	9005	-1180	0	0	-19705	7078	-1311	0	0
			6	0,00	0,00	-28145	8670	784	0	0	-17978	6833	688	0	0
			7	0,00	0,00	-27932	9328	1011	0	0	-17867	7369	867	0	0
			8	0,00	0,00	-28302	8184	616	0	0	-18060	6438	556	0	0
			9	0,00	0,00	-28089	8842	843	0	0	-17949	6973	735	0	0
			10	0,00	0,00	-29467	-7104	-2181	0	0	-18863	-5296	-2080	0	0
			11	0,00	0,00	-29680	-7762	-2408	0	0	-18974	-5832	-2259	0	0
			12	0,00	0,00	-29310	-6618	-2014	0	0	-18781	-4900	-1948	0	0
			13	0,00	0,00	-29523	-7276	-2241	0	0	-18892	-5436	-2127	0	0
			14	0,00	0,00	-25802	-6295	177	0	0	-16942	-4609	231	0	0
			15	0,00	0,00	-26015	-6953	-50	0	0	-17053	-5145	52	0	0
			16	0,00	0,00	-25959	-6781	9	0	0	-17024	-5005	99	0	0
			17	0,00	0,00	-26172	-7439	-218	0	0	-17135	-5541	-80	0	0
			18	0,00	0,00	-35266	1679	-4538	0	0	-21777	1341	-4479	0	0
			19	0,00	0,00	-35202	1877	-4470	0	0	-21743	1502	-4426	0	0
			20	0,00	0,00	-34742	3299	-3979	0	0	-21504	2660	-4038	0	0
			21	0,00	0,00	-34679	3497	-3911	0	0	-21470	2821	-3985	0	0
			22	0,00	0,00	-23049	4376	3322	0	0	-15374	3629	3225	0	0
			23	0,00	0,00	-22985	4574	3390	0	0	-15341	3790	3278	0	0
			24	0,00	0,00	-23573	2756	2764	0	0	-15648	2310	2784	0	0
			25	0,00	0,00	-23509	2954	2832	0	0	-15614	2471	2837	0	0
			26	0,00	0,00	-34563	-2810	-4720	0	0	-21466	-2092	-4617	0	0
			27	0,00	0,00	-34627	-3008	-4788	0	0	-21499	-2253	-4670	0	0
			28	0,00	0,00	-34040	-1190	-4161	0	0	-21193	-773	-4176	0	0
			29	0,00	0,00	-34103	-1388	-4229	0	0	-21226	-934	-4229	0	0
			30	0,00	0,00	-22346	-113	3140	0	0	-15064	196	3088	0	0
			31	0,00	0,00	-22410	-311	3072	0	0	-15097	36	3034	0	0
			32	0,00	0,00	-22870	-1733	2582	0	0	-15337	-1122	2646	0	0
			33	0,00	0,00	-22934	-1931	2514	0	0	-15370	-1283	2593	0	0

## DETTAGLIO GERARCHIA RESISTENZA ASTE

Nodo 3D	Pilas. Infer. Asta3d	Pilas. Super. Asta3d	Comb N.ro	AlfaX	AlfaY	PILASTRO INFERIORE					PILASTRO SUPERIORE				
						N (kg)	Mx (kgm)	My (kgm)	AlfaX*Mx (kgm)	AlfaY*My (kgm)	N (kg)	Mx (kgm)	My (kgm)	AlfaX*Mx (kgm)	AlfaY*My (kgm)
69	82	144	1	0,00	0,00	-50058	-1027	576	0	0	-31650	-785	-1	0	0
			2	0,00	0,00	-29576	6647	189	0	0	-18844	4874	-171	0	0
			3	0,00	0,00	-29756	5854	310	0	0	-18959	4264	-199	0	0
			4	0,00	0,00	-29709	6061	278	0	0	-18929	4424	-192	0	0
			5	0,00	0,00	-29889	5268	399	0	0	-19044	3814	-220	0	0
			6	0,00	0,00	-31181	5272	960	0	0	-19802	3751	107	0	0
			7	0,00	0,00	-31361	4480	1082	0	0	-19917	3142	78	0	0
			8	0,00	0,00	-31048	5858	871	0	0	-19716	4202	128	0	0
			9	0,00	0,00	-31228	5065	992	0	0	-19832	3592	99	0	0
			10	0,00	0,00	-28349	-6469	-197	0	0	-18268	-4661	36	0	0
			11	0,00	0,00	-28168	-5676	-318	0	0	-18153	-4051	65	0	0
			12	0,00	0,00	-28482	-7054	-107	0	0	-18354	-5111	15	0	0
			13	0,00	0,00	-28301	-6261	-228	0	0	-18238	-4501	44	0	0
			14	0,00	0,00	-29954	-7843	575	0	0	-19227	-5783	314	0	0
			15	0,00	0,00	-29774	-7050	454	0	0	-19111	-5173	342	0	0
			16	0,00	0,00	-29821	-7257	486	0	0	-19141	-5333	335	0	0
			17	0,00	0,00	-29641	-6464	364	0	0	-19026	-4723	363	0	0
			18	0,00	0,00	-27273	3659	-847	0	0	-17525	2846	-422	0	0
			19	0,00	0,00	-27327	3421	-810	0	0	-17559	2663	-431	0	0
			20	0,00	0,00	-27717	1707	-548	0	0	-17808	1345	-492	0	0
			21	0,00	0,00	-27771	1470	-512	0	0	-17843	1162	-501	0	0
			22	0,00	0,00	-32624	-921	1726	0	0	-20718	-895	503	0	0

## DETTAGLIO GERARCHIA RESISTENZA ASTE

Nodo 3D	Pilas. Infer. Asta3d	Pilas. Super. Asta3d	Comb N.ro	AlfaX	AlfaY	PILASTRO INFERIORE					PILASTRO SUPERIORE				
						N (kg)	Mx (kgm)	My (kgm)	AlfaX*Mx (kgm)	AlfaY*My (kgm)	N (kg)	Mx (kgm)	My (kgm)	AlfaX*Mx (kgm)	AlfaY*My (kgm)
			23	0,00	0,00	-32678	-1159	1763	0	0	-20753	-1078	494	0	0
			24	0,00	0,00	-32181	1031	1428	0	0	-20434	606	573	0	0
			25	0,00	0,00	-32235	793	1464	0	0	-20469	423	564	0	0
			26	0,00	0,00	-26905	-275	-962	0	0	-17352	-14	-360	0	0
			27	0,00	0,00	-26851	-37	-999	0	0	-17317	168	-351	0	0
			28	0,00	0,00	-27349	-2227	-664	0	0	-17636	-1515	-430	0	0
			29	0,00	0,00	-27295	-1989	-700	0	0	-17601	-1332	-421	0	0
			30	0,00	0,00	-32256	-4855	1611	0	0	-20546	-3755	565	0	0
			31	0,00	0,00	-32202	-4618	1574	0	0	-20511	-3572	574	0	0
			32	0,00	0,00	-31813	-2904	1312	0	0	-20262	-2255	635	0	0
			33	0,00	0,00	-31758	-2666	1276	0	0	-20227	-2072	644	0	0

## DETTAGLIO GERARCHIA RESISTENZA ASTE

Nodo 3D	Pilas. Infer. Asta3d	Pilas. Super. Asta3d	Comb N.ro	AlfaX	AlfaY	PILASTRO INFERIORE					PILASTRO SUPERIORE				
						N (kg)	Mx (kgm)	My (kgm)	AlfaX*Mx (kgm)	AlfaY*My (kgm)	N (kg)	Mx (kgm)	My (kgm)	AlfaX*Mx (kgm)	AlfaY*My (kgm)
70	83	145	1	0,00	0,00	-52737	-1040	847	0	0	-36303	-827	1310	0	0
			2	0,00	0,00	-30580	5929	-483	0	0	-21349	4293	-242	0	0
			3	0,00	0,00	-31023	5911	-41	0	0	-21551	4291	85	0	0
			4	0,00	0,00	-30907	5915	-156	0	0	-21498	4292	-1	0	0
			5	0,00	0,00	-31350	5897	286	0	0	-21700	4290	327	0	0
			6	0,00	0,00	-34184	5820	2587	0	0	-23145	4198	2507	0	0
			7	0,00	0,00	-34626	5802	3029	0	0	-23347	4196	2835	0	0
			8	0,00	0,00	-33856	5833	2260	0	0	-22996	4200	2266	0	0
			9	0,00	0,00	-34299	5815	2703	0	0	-23198	4198	2593	0	0
			10	0,00	0,00	-28800	-7119	-1703	0	0	-20520	-5259	-1126	0	0
			11	0,00	0,00	-28357	-7100	-2145	0	0	-20318	-5257	-1453	0	0
			12	0,00	0,00	-29127	-7132	-1376	0	0	-20670	-5260	-884	0	0
			13	0,00	0,00	-28684	-7114	-1819	0	0	-20467	-5258	-1211	0	0
			14	0,00	0,00	-32403	-7228	1367	0	0	-22317	-5354	1624	0	0
			15	0,00	0,00	-31960	-7209	924	0	0	-22115	-5352	1297	0	0
			16	0,00	0,00	-32076	-7214	1040	0	0	-22168	-5353	1382	0	0
			17	0,00	0,00	-31633	-7196	598	0	0	-21965	-5351	1055	0	0
			18	0,00	0,00	-25753	1489	-4492	0	0	-18963	1061	-3760	0	0
			19	0,00	0,00	-25886	1484	-4359	0	0	-19024	1060	-3661	0	0
			20	0,00	0,00	-26844	1444	-3402	0	0	-19460	1056	-2954	0	0
			21	0,00	0,00	-26976	1439	-3270	0	0	-19521	1055	-2856	0	0
			22	0,00	0,00	-37764	1126	5741	0	0	-24951	744	5406	0	0
			23	0,00	0,00	-37897	1121	5874	0	0	-25012	743	5504	0	0
			24	0,00	0,00	-36674	1171	4652	0	0	-24454	749	4600	0	0
			25	0,00	0,00	-36807	1166	4785	0	0	-24514	748	4699	0	0
			26	0,00	0,00	-25219	-2425	-4858	0	0	-18714	-1805	-4024	0	0
			27	0,00	0,00	-25086	-2419	-4990	0	0	-18654	-1804	-4123	0	0
			28	0,00	0,00	-26309	-2470	-3768	0	0	-19212	-1810	-3219	0	0
			29	0,00	0,00	-26177	-2465	-3901	0	0	-19151	-1809	-3317	0	0
			30	0,00	0,00	-37230	-2788	5375	0	0	-24703	-2122	5141	0	0
			31	0,00	0,00	-37097	-2783	5243	0	0	-24642	-2121	5043	0	0
			32	0,00	0,00	-36140	-2743	4286	0	0	-24205	-2117	4335	0	0
			33	0,00	0,00	-36007	-2738	4153	0	0	-24145	-2116	4237	0	0

## DETTAGLIO GERARCHIA RESISTENZA ASTE

Nodo 3D	Pilas. Infer. Asta3d	Pilas. Super. Asta3d	Comb N.ro	AlfaX	AlfaY	PILASTRO INFERIORE					PILASTRO SUPERIORE				
						N (kg)	Mx (kgm)	My (kgm)	AlfaX*Mx (kgm)	AlfaY*My (kgm)	N (kg)	Mx (kgm)	My (kgm)	AlfaX*Mx (kgm)	AlfaY*My (kgm)
71	84	146	1	0,00	0,00	-48215	-824	-1892	0	0	-30133	-606	-2180	0	0
			2	0,00	0,00	-29647	6353	-1892	0	0	-18848	4762	-2151	0	0
			3	0,00	0,00	-28900	7025	-1503	0	0	-18489	5305	-1832	0	0
			4	0,00	0,00	-29095	6849	-1605	0	0	-18583	5163	-1915	0	0
			5	0,00	0,00	-28348	7522	-1215	0	0	-18224	5707	-1597	0	0
			6	0,00	0,00	-24477	7345	801	0	0	-16150	5589	509	0	0
			7	0,00	0,00	-23729	8017	1190	0	0	-15791	6132	827	0	0
			8	0,00	0,00	-25029	6849	513	0	0	-16415	5187	273	0	0
			9	0,00	0,00	-24281	7521	903	0	0	-16056	5731	592	0	0
			10	0,00	0,00	-33193	-8319	-2969	0	0	-20405	-6308	-3008	0	0
			11	0,00	0,00	-33941	-8991	-3359	0	0	-20764	-6851	-3326	0	0
			12	0,00	0,00	-32641	-7823	-2682	0	0	-20140	-5906	-2773	0	0
			13	0,00	0,00	-33389	-8495	-3071	0	0	-20499	-6450	-3091	0	0
			14	0,00	0,00	-28023	-7327	-276	0	0	-17707	-5481	-349	0	0
			15	0,00	0,00	-28770	-7999	-665	0	0	-18066	-6024	-667	0	0
			16	0,00	0,00	-28575	-7823	-563	0	0	-17972	-5882	-584	0	0
			17	0,00	0,00	-29322	-8495	-953	0	0	-18331	-6426	-902	0	0
			18	0,00	0,00	-36920	60	-5412	0	0	-22541	-78	-5553	0	0
			19	0,00	0,00	-36696	262	-5295	0	0	-22433	85	-5457	0	0
			20	0,00	0,00	-35080	1715	-4453	0	0	-21657	1261	-4769	0	0
			21	0,00	0,00	-34856	1917	-4336	0	0	-21549	1424	-4674	0	0
			22	0,00	0,00	-19686	3368	3567	0	0	-13547	2679	3311	0	0

## DETTAGLIO GERARCHIA RESISTENZA ASTE

Nodo 3D	Pilas. Infer. Asta3d	Pilas. Super. Asta3d	Comb N.ro	AlfaX	AlfaY	PILASTRO INFERIORE					PILASTRO SUPERIORE				
						N (kg)	Mx (kgm)	My (kgm)	AlfaX*Mx (kgm)	AlfaY*My (kgm)	N (kg)	Mx (kgm)	My (kgm)	AlfaX*Mx (kgm)	AlfaY*My (kgm)
			23	0,00	0,00	-19461	3569	3683	0	0	-13440	2843	3406	0	0
			24	0,00	0,00	-21526	1713	2608	0	0	-14431	1341	2527	0	0
			25	0,00	0,00	-21301	1915	2725	0	0	-14323	1504	2622	0	0
			26	0,00	0,00	-37984	-4341	-5735	0	0	-23008	-3398	-5810	0	0
			27	0,00	0,00	-38209	-4543	-5852	0	0	-23116	-3562	-5906	0	0
			28	0,00	0,00	-36144	-2687	-4776	0	0	-22124	-2060	-5026	0	0
			29	0,00	0,00	-36369	-2888	-4893	0	0	-22232	-2223	-5122	0	0
			30	0,00	0,00	-20750	-1034	3243	0	0	-14014	-641	3053	0	0
			31	0,00	0,00	-20974	-1236	3127	0	0	-14122	-804	2958	0	0
			32	0,00	0,00	-22590	-2689	2285	0	0	-14898	-1980	2270	0	0
			33	0,00	0,00	-22814	-2890	2168	0	0	-15006	-2143	2174	0	0

## DETTAGLIO GERARCHIA RESISTENZA ASTE

Nodo 3D	Pilas. Infer. Asta3d	Pilas. Super. Asta3d	Comb N.ro	AlfaX	AlfaY	PILASTRO INFERIORE					PILASTRO SUPERIORE				
						N (kg)	Mx (kgm)	My (kgm)	AlfaX*Mx (kgm)	AlfaY*My (kgm)	N (kg)	Mx (kgm)	My (kgm)	AlfaX*Mx (kgm)	AlfaY*My (kgm)
72	85	147	1	0,00	0,00	-33010	570	-1308	0	0	-21139	217	-1603	0	0
			2	0,00	0,00	-25008	-443	-3687	0	0	-15461	-681	-3293	0	0
			3	0,00	0,00	-25250	461	-3352	0	0	-15578	-205	-3008	0	0
			4	0,00	0,00	-25187	225	-3440	0	0	-15548	-329	-3082	0	0
			5	0,00	0,00	-25428	1129	-3105	0	0	-15665	147	-2797	0	0
			6	0,00	0,00	-29730	4000	-3042	0	0	-17916	2914	-2697	0	0
			7	0,00	0,00	-29972	4904	-2707	0	0	-18033	3390	-2412	0	0
			8	0,00	0,00	-29551	3333	-3289	0	0	-17830	2562	-2907	0	0
			9	0,00	0,00	-29793	4237	-2954	0	0	-17947	3038	-2622	0	0
			10	0,00	0,00	-12553	-2934	1557	0	0	-9309	-2114	900	0	0
			11	0,00	0,00	-12311	-3838	1222	0	0	-9192	-2590	615	0	0
			12	0,00	0,00	-12731	-2267	1804	0	0	-9396	-1762	1110	0	0
			13	0,00	0,00	-12489	-3171	1469	0	0	-9279	-2238	825	0	0
			14	0,00	0,00	-17275	1509	2202	0	0	-11765	1481	1495	0	0
			15	0,00	0,00	-17033	605	1867	0	0	-11648	1005	1211	0	0
			16	0,00	0,00	-17096	841	1955	0	0	-11678	1129	1285	0	0
			17	0,00	0,00	-16854	-63	1620	0	0	-11561	653	1000	0	0
			18	0,00	0,00	-15139	-6499	-2604	0	0	-10444	-5376	-2520	0	0
			19	0,00	0,00	-15212	-6228	-2503	0	0	-10479	-5233	-2435	0	0
			20	0,00	0,00	-15735	-4273	-1780	0	0	-10732	-4204	-1819	0	0
			21	0,00	0,00	-15807	-4002	-1679	0	0	-10767	-4062	-1733	0	0
			22	0,00	0,00	-30880	8312	-454	0	0	-18628	6606	-535	0	0
			23	0,00	0,00	-30952	8583	-354	0	0	-18663	6748	-449	0	0
			24	0,00	0,00	-30284	6087	-1278	0	0	-18340	5434	-1236	0	0
			25	0,00	0,00	-30357	6358	-1178	0	0	-18375	5577	-1150	0	0
			26	0,00	0,00	-11403	-7246	-1031	0	0	-8598	-5806	-1262	0	0
			27	0,00	0,00	-11330	-7517	-1131	0	0	-8563	-5948	-1348	0	0
			28	0,00	0,00	-11998	-5021	-206	0	0	-8886	-4634	-561	0	0
			29	0,00	0,00	-11926	-5292	-307	0	0	-8851	-4777	-647	0	0
			30	0,00	0,00	-27143	7565	1119	0	0	-16782	6176	723	0	0
			31	0,00	0,00	-27071	7294	1018	0	0	-16747	6033	638	0	0
			32	0,00	0,00	-26548	5339	295	0	0	-16494	5004	22	0	0
			33	0,00	0,00	-26475	5068	194	0	0	-16459	4861	-64	0	0

## DETTAGLIO GERARCHIA RESISTENZA ASTE

Nodo 3D	Pilas. Infer. Asta3d	Pilas. Super. Asta3d	Comb N.ro	AlfaX	AlfaY	PILASTRO INFERIORE					PILASTRO SUPERIORE				
						N (kg)	Mx (kgm)	My (kgm)	AlfaX*Mx (kgm)	AlfaY*My (kgm)	N (kg)	Mx (kgm)	My (kgm)	AlfaX*Mx (kgm)	AlfaY*My (kgm)
73	86	148	1	0,00	0,00	-45527	1281	-588	0	0	-29948	1039	-781	0	0
			2	0,00	0,00	-35665	-732	-2844	0	0	-22266	-1229	-2408	0	0
			3	0,00	0,00	-35781	765	-2855	0	0	-22339	-122	-2426	0	0
			4	0,00	0,00	-35750	373	-2852	0	0	-22320	-412	-2422	0	0
			5	0,00	0,00	-35866	1870	-2863	0	0	-22394	695	-2440	0	0
			6	0,00	0,00	-36369	6996	-2990	0	0	-22685	5981	-2583	0	0
			7	0,00	0,00	-36485	8492	-3001	0	0	-22759	7088	-2602	0	0
			8	0,00	0,00	-36283	5891	-2982	0	0	-22631	5164	-2569	0	0
			9	0,00	0,00	-36399	7387	-2993	0	0	-22704	6270	-2588	0	0
			10	0,00	0,00	-22929	-5511	2361	0	0	-15979	-4862	1768	0	0
			11	0,00	0,00	-22813	-7007	2371	0	0	-15905	-5968	1787	0	0
			12	0,00	0,00	-23015	-4406	2353	0	0	-16033	-4045	1754	0	0
			13	0,00	0,00	-22899	-5902	2363	0	0	-15960	-5151	1773	0	0
			14	0,00	0,00	-23633	2217	2215	0	0	-16398	2348	1592	0	0
			15	0,00	0,00	-23517	720	2226	0	0	-16325	1241	1611	0	0
			16	0,00	0,00	-23548	1112	2223	0	0	-16344	1531	1606	0	0
			17	0,00	0,00	-23432	-385	2234	0	0	-16271	424	1625	0	0
			18	0,00	0,00	-30386	-11420	-852	0	0	-19576	-10912	-742	0	0
			19	0,00	0,00	-30420	-10971	-856	0	0	-19598	-10580	-747	0	0
			20	0,00	0,00	-30671	-7736	-879	0	0	-19757	-8188	-788	0	0
			21	0,00	0,00	-30706	-7287	-882	0	0	-19779	-7856	-793	0	0
			22	0,00	0,00	-32733	14339	-1338	0	0	-20974	13121	-1326	0	0

## DETTAGLIO GERARCHIA RESISTENZA ASTE

Nodo 3D	Pilas. Infer. Asta3d	Pilas. Super. Asta3d	Comb N.ro	AlfaX	AlfaY	PILASTRO INFERIORE					PILASTRO SUPERIORE				
						N (kg)	Mx (kgm)	My (kgm)	AlfaX*Mx (kgm)	AlfaY*My (kgm)	N (kg)	Mx (kgm)	My (kgm)	AlfaX*Mx (kgm)	AlfaY*My (kgm)
			23	0,00	0,00	-32768	14788	-1342	0	0	-20996	13453	-1332	0	0
			24	0,00	0,00	-32447	10655	-1312	0	0	-20793	10397	-1280	0	0
			25	0,00	0,00	-32482	11104	-1315	0	0	-20815	10729	-1286	0	0
			26	0,00	0,00	-26565	-12854	709	0	0	-17690	-12002	511	0	0
			27	0,00	0,00	-26530	-13303	712	0	0	-17668	-12334	517	0	0
			28	0,00	0,00	-26851	-9170	683	0	0	-17871	-9278	465	0	0
			29	0,00	0,00	-26816	-9619	686	0	0	-17849	-9610	470	0	0
			30	0,00	0,00	-28912	12905	223	0	0	-19088	12031	-74	0	0
			31	0,00	0,00	-28878	12456	226	0	0	-19066	11699	-68	0	0
			32	0,00	0,00	-28627	9221	250	0	0	-18907	9307	-27	0	0
			33	0,00	0,00	-28592	8772	253	0	0	-18885	8976	-22	0	0

## DETTAGLIO GERARCHIA RESISTENZA ASTE

Nodo 3D	Pilas. Infer. Asta3d	Pilas. Super. Asta3d	Comb N.ro	AlfaX	AlfaY	PILASTRO INFERIORE					PILASTRO SUPERIORE				
						N (kg)	Mx (kgm)	My (kgm)	AlfaX*Mx (kgm)	AlfaY*My (kgm)	N (kg)	Mx (kgm)	My (kgm)	AlfaX*Mx (kgm)	AlfaY*My (kgm)
74	87	149	1	0,00	0,00	-35814	519	-1789	0	0	-22982	907	-2045	0	0
			2	0,00	0,00	-32711	4456	-1870	0	0	-19576	2906	-2130	0	0
			3	0,00	0,00	-32367	4885	-1251	0	0	-19397	3187	-1617	0	0
			4	0,00	0,00	-32457	4773	-1413	0	0	-19444	3114	-1751	0	0
			5	0,00	0,00	-32112	5202	-793	0	0	-19265	3395	-1238	0	0
			6	0,00	0,00	-27044	5186	1386	0	0	-16588	3437	1025	0	0
			7	0,00	0,00	-26700	5615	2006	0	0	-16409	3719	1538	0	0
			8	0,00	0,00	-27298	4869	929	0	0	-16720	3230	646	0	0
			9	0,00	0,00	-26954	5298	1548	0	0	-16541	3511	1159	0	0
			10	0,00	0,00	-17673	-4658	-3733	0	0	-12361	-2462	-3694	0	0
			11	0,00	0,00	-18018	-5088	-4353	0	0	-12540	-2743	-4207	0	0
			12	0,00	0,00	-17419	-4341	-3276	0	0	-12229	-2254	-3315	0	0
			13	0,00	0,00	-17763	-4771	-3895	0	0	-12408	-2535	-3828	0	0
			14	0,00	0,00	-12006	-3928	-477	0	0	-9373	-1930	-539	0	0
			15	0,00	0,00	-12351	-4357	-1096	0	0	-9552	-2212	-1052	0	0
			16	0,00	0,00	-12260	-4245	-934	0	0	-9505	-2138	-918	0	0
			17	0,00	0,00	-12605	-4675	-1554	0	0	-9684	-2420	-1431	0	0
			18	0,00	0,00	-34060	414	-6321	0	0	-20537	407	-6358	0	0
			19	0,00	0,00	-33956	543	-6136	0	0	-20483	492	-6204	0	0
			20	0,00	0,00	-33212	1471	-4797	0	0	-20097	1100	-5095	0	0
			21	0,00	0,00	-33108	1600	-4611	0	0	-20044	1185	-4942	0	0
			22	0,00	0,00	-15169	2848	4533	0	0	-10577	2179	4158	0	0
			23	0,00	0,00	-15066	2977	4719	0	0	-10523	2263	4312	0	0
			24	0,00	0,00	-16017	1791	3009	0	0	-11016	1486	2896	0	0
			25	0,00	0,00	-15914	1920	3195	0	0	-10963	1570	3049	0	0
			26	0,00	0,00	-29548	-2320	-6880	0	0	-18372	-1203	-6827	0	0
			27	0,00	0,00	-29651	-2449	-7066	0	0	-18426	-1288	-6981	0	0
			28	0,00	0,00	-28700	-1263	-5356	0	0	-17933	-510	-5565	0	0
			29	0,00	0,00	-28804	-1392	-5542	0	0	-17986	-595	-5719	0	0
			30	0,00	0,00	-10658	114	3974	0	0	-8412	569	3689	0	0
			31	0,00	0,00	-10761	-15	3789	0	0	-8466	484	3535	0	0
			32	0,00	0,00	-11506	-943	2450	0	0	-8852	-124	2426	0	0
			33	0,00	0,00	-11609	-1072	2264	0	0	-8905	-209	2273	0	0

## DETTAGLIO GERARCHIA RESISTENZA ASTE

Nodo 3D	Pilas. Infer. Asta3d	Pilas. Super. Asta3d	Comb N.ro	AlfaX	AlfaY	PILASTRO INFERIORE					PILASTRO SUPERIORE				
						N (kg)	Mx (kgm)	My (kgm)	AlfaX*Mx (kgm)	AlfaY*My (kgm)	N (kg)	Mx (kgm)	My (kgm)	AlfaX*Mx (kgm)	AlfaY*My (kgm)
76	126	188	1	0,00	0,00	-16309	788	1089	0	0	-7103	2	1040	0	0
			2	0,00	0,00	-6584	-2064	-1580	0	0	-3334	-857	-496	0	0
			3	0,00	0,00	-6467	-2885	-1284	0	0	-3300	-1003	-346	0	0
			4	0,00	0,00	-6497	-2670	-1362	0	0	-3309	-965	-385	0	0
			5	0,00	0,00	-6380	-3491	-1066	0	0	-3275	-1111	-236	0	0
			6	0,00	0,00	-8816	850	-1517	0	0	-3987	101	-537	0	0
			7	0,00	0,00	-8699	29	-1221	0	0	-3953	-45	-387	0	0
			8	0,00	0,00	-8902	1457	-1735	0	0	-4012	209	-647	0	0
			9	0,00	0,00	-8785	636	-1440	0	0	-3978	63	-498	0	0
			10	0,00	0,00	-12914	544	2831	0	0	-5148	205	1758	0	0
			11	0,00	0,00	-13031	1365	2536	0	0	-5181	351	1608	0	0
			12	0,00	0,00	-12828	-63	3049	0	0	-5122	97	1868	0	0
			13	0,00	0,00	-12945	758	2754	0	0	-5156	243	1718	0	0
			14	0,00	0,00	-15146	3458	2894	0	0	-5800	1162	1716	0	0
			15	0,00	0,00	-15263	4279	2599	0	0	-5834	1309	1567	0	0
			16	0,00	0,00	-15233	4064	2676	0	0	-5825	1271	1606	0	0
			17	0,00	0,00	-15350	4885	2380	0	0	-5859	1417	1456	0	0
			18	0,00	0,00	-6195	-4551	-109	0	0	-3208	-1603	341	0	0
			19	0,00	0,00	-6160	-4798	-21	0	0	-3198	-1647	386	0	0
			20	0,00	0,00	-5907	-6573	618	0	0	-3124	-1963	709	0	0
			21	0,00	0,00	-5872	-6819	707	0	0	-3114	-2007	754	0	0

## DETTAGLIO GERARCHIA RESISTENZA ASTE

Nodo 3D	Pilas. Infer. Asta3d	Pilas. Super. Asta3d	Comb N.ro	AlfaX	AlfaY	PILASTRO INFERIORE					PILASTRO SUPERIORE				
						N (kg)	Mx (kgm)	My (kgm)	AlfaX*Mx (kgm)	AlfaY*My (kgm)	N (kg)	Mx (kgm)	My (kgm)	AlfaX*Mx (kgm)	AlfaY*My (kgm)
			22	0,00	0,00	-13636	5163	100	0	0	-5383	1590	204	0	0
			23	0,00	0,00	-13601	4917	189	0	0	-5372	1546	249	0	0
			24	0,00	0,00	-13924	7184	-627	0	0	-5466	1950	-164	0	0
			25	0,00	0,00	-13889	6938	-538	0	0	-5456	1906	-120	0	0
			26	0,00	0,00	-8094	-3769	1214	0	0	-3752	-1284	1017	0	0
			27	0,00	0,00	-8129	-3523	1125	0	0	-3762	-1240	972	0	0
			28	0,00	0,00	-7806	-5790	1941	0	0	-3668	-1644	1385	0	0
			29	0,00	0,00	-7841	-5544	1853	0	0	-3678	-1601	1340	0	0
			30	0,00	0,00	-15535	5945	1424	0	0	-5926	1908	880	0	0
			31	0,00	0,00	-15570	6192	1335	0	0	-5937	1952	835	0	0
			32	0,00	0,00	-15823	7966	696	0	0	-6010	2269	512	0	0
			33	0,00	0,00	-15858	8213	608	0	0	-6020	2313	467	0	0

## DETTAGLIO GERARCHIA RESISTENZA ASTE

Nodo 3D	Pilas. Infer. Asta3d	Pilas. Super. Asta3d	Comb N.ro	AlfaX	AlfaY	PILASTRO INFERIORE					PILASTRO SUPERIORE				
						N (kg)	Mx (kgm)	My (kgm)	AlfaX*Mx (kgm)	AlfaY*My (kgm)	N (kg)	Mx (kgm)	My (kgm)	AlfaX*Mx (kgm)	AlfaY*My (kgm)
77	127	189	1	0,00	0,00	-27849	1477	761	0	0	-12315	538	799	0	0
			2	0,00	0,00	-14549	-4242	-1876	0	0	-6589	-1817	-777	0	0
			3	0,00	0,00	-14475	-5630	-1890	0	0	-6565	-2258	-801	0	0
			4	0,00	0,00	-14495	-5267	-1886	0	0	-6571	-2142	-795	0	0
			5	0,00	0,00	-14421	-6655	-1901	0	0	-6547	-2583	-818	0	0
			6	0,00	0,00	-14822	833	-1719	0	0	-6672	248	-667	0	0
			7	0,00	0,00	-14749	-555	-1734	0	0	-6647	-192	-690	0	0
			8	0,00	0,00	-14877	1858	-1708	0	0	-6690	573	-650	0	0
			9	0,00	0,00	-14803	470	-1723	0	0	-6665	133	-673	0	0
			10	0,00	0,00	-20841	841	2516	0	0	-8376	338	1505	0	0
			11	0,00	0,00	-20915	2229	2531	0	0	-8400	778	1529	0	0
			12	0,00	0,00	-20787	-185	2506	0	0	-8358	13	1488	0	0
			13	0,00	0,00	-20861	1204	2520	0	0	-8382	453	1511	0	0
			14	0,00	0,00	-21115	5915	2673	0	0	-8458	2403	1616	0	0
			15	0,00	0,00	-21188	7303	2688	0	0	-8482	2843	1639	0	0
			16	0,00	0,00	-21169	6940	2684	0	0	-8476	2728	1633	0	0
			17	0,00	0,00	-21243	8328	2698	0	0	-8500	3168	1656	0	0
			18	0,00	0,00	-16432	-8383	-521	0	0	-7118	-3472	-107	0	0
			19	0,00	0,00	-16410	-8800	-525	0	0	-7111	-3604	-114	0	0
			20	0,00	0,00	-16251	-11800	-557	0	0	-7059	-4556	-164	0	0
			21	0,00	0,00	-16229	-12217	-561	0	0	-7051	-4688	-171	0	0
			22	0,00	0,00	-17344	8532	1	0	0	-7393	3412	260	0	0
			23	0,00	0,00	-17322	8116	-3	0	0	-7386	3280	253	0	0
			24	0,00	0,00	-17525	11949	37	0	0	-7453	4495	318	0	0
			25	0,00	0,00	-17503	11533	32	0	0	-7446	4363	311	0	0
			26	0,00	0,00	-18320	-6859	797	0	0	-7654	-2826	578	0	0
			27	0,00	0,00	-18342	-6442	801	0	0	-7661	-2694	585	0	0
			28	0,00	0,00	-18139	-10276	761	0	0	-7595	-3909	520	0	0
			29	0,00	0,00	-18161	-9859	765	0	0	-7602	-3777	527	0	0
			30	0,00	0,00	-19231	10057	1319	0	0	-7929	4058	945	0	0
			31	0,00	0,00	-19253	10473	1323	0	0	-7936	4190	952	0	0
			32	0,00	0,00	-19412	13474	1354	0	0	-7989	5142	1003	0	0
			33	0,00	0,00	-19435	13890	1359	0	0	-7996	5274	1010	0	0

## DETTAGLIO GERARCHIA RESISTENZA ASTE

Nodo 3D	Pilas. Infer. Asta3d	Pilas. Super. Asta3d	Comb N.ro	AlfaX	AlfaY	PILASTRO INFERIORE					PILASTRO SUPERIORE				
						N (kg)	Mx (kgm)	My (kgm)	AlfaX*Mx (kgm)	AlfaY*My (kgm)	N (kg)	Mx (kgm)	My (kgm)	AlfaX*Mx (kgm)	AlfaY*My (kgm)
78	128	190	1	0,00	0,00	-17437	29	-2136	0	0	-7740	-131	-2161	0	0
			2	0,00	0,00	-9051	3729	-3357	0	0	-4255	1214	-2442	0	0
			3	0,00	0,00	-9229	4121	-3907	0	0	-4307	1321	-2706	0	0
			4	0,00	0,00	-9182	4019	-3763	0	0	-4294	1293	-2637	0	0
			5	0,00	0,00	-9361	4411	-4313	0	0	-4346	1400	-2901	0	0
			6	0,00	0,00	-6502	3873	-1362	0	0	-3527	1160	-1326	0	0
			7	0,00	0,00	-6681	4265	-1912	0	0	-3579	1267	-1590	0	0
			8	0,00	0,00	-6370	3584	-956	0	0	-3489	1081	-1131	0	0
			9	0,00	0,00	-6549	3976	-1506	0	0	-3541	1188	-1395	0	0
			10	0,00	0,00	-16234	-3895	-1420	0	0	-6229	-1348	-1349	0	0
			11	0,00	0,00	-16055	-4287	-870	0	0	-6177	-1455	-1085	0	0
			12	0,00	0,00	-16365	-3605	-1826	0	0	-6268	-1269	-1544	0	0
			13	0,00	0,00	-16187	-3997	-1276	0	0	-6216	-1376	-1280	0	0
			14	0,00	0,00	-13685	-3751	575	0	0	-5501	-1403	-233	0	0
			15	0,00	0,00	-13507	-4143	1125	0	0	-5449	-1510	31	0	0
			16	0,00	0,00	-13553	-4040	981	0	0	-5463	-1482	-38	0	0
			17	0,00	0,00	-13375	-4432	1531	0	0	-5411	-1589	226	0	0
			18	0,00	0,00	-14538	893	-5006	0	0	-5796	381	-3361	0	0
			19	0,00	0,00	-14591	1011	-5171	0	0	-5811	413	-3440	0	0
			20	0,00	0,00	-14977	1858	-6361	0	0	-5923	644	-4011	0	0
			21	0,00	0,00	-15031	1976	-6526	0	0	-5939	677	-4090	0	0

## DETTAGLIO GERARCHIA RESISTENZA ASTE

Nodo 3D	Pilas. Infer. Asta3d	Pilas. Super. Asta3d	Comb N.ro	AlfaX	AlfaY	PILASTRO INFERIORE					PILASTRO SUPERIORE				
						N (kg)	Mx (kgm)	My (kgm)	AlfaX*Mx (kgm)	AlfaY*My (kgm)	N (kg)	Mx (kgm)	My (kgm)	AlfaX*Mx (kgm)	AlfaY*My (kgm)
			22	0,00	0,00	-6043	1373	1643	0	0	-3369	199	358	0	0
			23	0,00	0,00	-6097	1490	1478	0	0	-3384	231	279	0	0
			24	0,00	0,00	-5604	408	2998	0	0	-3241	-64	1008	0	0
			25	0,00	0,00	-5657	525	2833	0	0	-3256	-32	929	0	0
			26	0,00	0,00	-16693	-1394	-4425	0	0	-6388	-388	-3033	0	0
			27	0,00	0,00	-16639	-1512	-4260	0	0	-6372	-420	-2954	0	0
			28	0,00	0,00	-17132	-429	-5780	0	0	-6516	-124	-3683	0	0
			29	0,00	0,00	-17079	-547	-5615	0	0	-6500	-156	-3604	0	0
			30	0,00	0,00	-8198	-914	2224	0	0	-3961	-569	686	0	0
			31	0,00	0,00	-8145	-1032	2389	0	0	-3945	-602	765	0	0
			32	0,00	0,00	-7759	-1880	3579	0	0	-3833	-833	1336	0	0
			33	0,00	0,00	-7705	-1997	3744	0	0	-3817	-865	1415	0	0

## DETTAGLIO GERARCHIA RESISTENZA ASTE

Nodo 3D	Pilas. Infer. Asta3d	Pilas. Super. Asta3d	Comb N.ro	AlfaX	AlfaY	PILASTRO INFERIORE					PILASTRO SUPERIORE				
						N (kg)	Mx (kgm)	My (kgm)	AlfaX*Mx (kgm)	AlfaY*My (kgm)	N (kg)	Mx (kgm)	My (kgm)	AlfaX*Mx (kgm)	AlfaY*My (kgm)
79	129	191	1	0,00	0,00	-24798	734	266	0	0	-12193	408	287	0	0
			2	0,00	0,00	-14601	6676	-171	0	0	-7090	2335	433	0	0
			3	0,00	0,00	-14486	5947	-242	0	0	-7035	2099	446	0	0
			4	0,00	0,00	-14516	6138	-224	0	0	-7049	2161	443	0	0
			5	0,00	0,00	-14401	5409	-295	0	0	-6995	1925	456	0	0
			6	0,00	0,00	-15297	5686	277	0	0	-7356	2427	249	0	0
			7	0,00	0,00	-15181	4957	207	0	0	-7301	2191	262	0	0
			8	0,00	0,00	-15382	6224	330	0	0	-7396	2602	240	0	0
			9	0,00	0,00	-15267	5495	259	0	0	-7342	2366	253	0	0
			10	0,00	0,00	-15266	-4748	139	0	0	-7281	-1892	217	0	0
			11	0,00	0,00	-15382	-4019	210	0	0	-7335	-1656	204	0	0
			12	0,00	0,00	-15181	-5286	87	0	0	-7241	-2066	227	0	0
			13	0,00	0,00	-15296	-4557	158	0	0	-7295	-1830	214	0	0
			14	0,00	0,00	-15962	-5737	588	0	0	-7547	-1799	34	0	0
			15	0,00	0,00	-16077	-5009	659	0	0	-7602	-1563	21	0	0
			16	0,00	0,00	-16047	-5199	640	0	0	-7588	-1625	24	0	0
			17	0,00	0,00	-16162	-4470	711	0	0	-7642	-1389	11	0	0
			18	0,00	0,00	-14023	3832	-586	0	0	-6846	747	572	0	0
			19	0,00	0,00	-13988	3614	-608	0	0	-6829	677	576	0	0
			20	0,00	0,00	-13739	2038	-761	0	0	-6711	166	604	0	0
			21	0,00	0,00	-13704	1819	-782	0	0	-6695	96	608	0	0
			22	0,00	0,00	-16341	533	910	0	0	-7734	1056	-40	0	0
			23	0,00	0,00	-16306	314	889	0	0	-7717	985	-36	0	0
			24	0,00	0,00	-16625	2327	1085	0	0	-7868	1637	-73	0	0
			25	0,00	0,00	-16590	2109	1063	0	0	-7852	1566	-69	0	0
			26	0,00	0,00	-14222	405	-493	0	0	-6903	-521	507	0	0
			27	0,00	0,00	-14257	624	-472	0	0	-6919	-450	503	0	0
			28	0,00	0,00	-13938	-1389	-668	0	0	-6769	-1102	539	0	0
			29	0,00	0,00	-13973	-1170	-647	0	0	-6785	-1031	535	0	0
			30	0,00	0,00	-16540	-2894	1003	0	0	-7791	-212	-105	0	0
			31	0,00	0,00	-16575	-2675	1024	0	0	-7808	-141	-109	0	0
			32	0,00	0,00	-16824	-1100	1178	0	0	-7925	369	-137	0	0
			33	0,00	0,00	-16859	-881	1199	0	0	-7942	440	-141	0	0

## DETTAGLIO GERARCHIA RESISTENZA ASTE

Nodo 3D	Pilas. Infer. Asta3d	Pilas. Super. Asta3d	Comb N.ro	AlfaX	AlfaY	PILASTRO INFERIORE					PILASTRO SUPERIORE				
						N (kg)	Mx (kgm)	My (kgm)	AlfaX*Mx (kgm)	AlfaY*My (kgm)	N (kg)	Mx (kgm)	My (kgm)	AlfaX*Mx (kgm)	AlfaY*My (kgm)
80	130	192	1	0,00	0,00	-34346	1249	1077	0	0	-18395	841	967	0	0
			2	0,00	0,00	-19220	6560	-1093	0	0	-10691	2744	-410	0	0
			3	0,00	0,00	-19018	6549	-1454	0	0	-10647	2758	-581	0	0
			4	0,00	0,00	-19071	6552	-1360	0	0	-10658	2754	-536	0	0
			5	0,00	0,00	-18868	6541	-1722	0	0	-10614	2769	-708	0	0
			6	0,00	0,00	-20563	6434	987	0	0	-11054	2687	748	0	0
			7	0,00	0,00	-20361	6423	625	0	0	-11009	2701	577	0	0
			8	0,00	0,00	-20712	6442	1255	0	0	-11087	2676	875	0	0
			9	0,00	0,00	-20510	6431	893	0	0	-11042	2691	704	0	0
			10	0,00	0,00	-20237	-4873	158	0	0	-10920	-1623	283	0	0
			11	0,00	0,00	-20439	-4862	520	0	0	-10965	-1638	454	0	0
			12	0,00	0,00	-20088	-4881	-109	0	0	-10887	-1613	157	0	0
			13	0,00	0,00	-20290	-4870	253	0	0	-10932	-1627	328	0	0
			14	0,00	0,00	-21580	-4999	2238	0	0	-11282	-1680	1442	0	0
			15	0,00	0,00	-21782	-4988	2600	0	0	-11327	-1694	1613	0	0
			16	0,00	0,00	-21730	-4991	2505	0	0	-11315	-1691	1568	0	0
			17	0,00	0,00	-21932	-4980	2867	0	0	-11360	-1705	1739	0	0
			18	0,00	0,00	-18009	2705	-3081	0	0	-10349	1282	-1519	0	0
			19	0,00	0,00	-17948	2702	-3190	0	0	-10335	1286	-1570	0	0
			20	0,00	0,00	-17511	2679	-3972	0	0	-10239	1317	-1940	0	0
			21	0,00	0,00	-17451	2676	-4080	0	0	-10225	1321	-1991	0	0

## DETTAGLIO GERARCHIA RESISTENZA ASTE

Nodo 3D	Pilas. Infer. Asta3d	Pilas. Super. Asta3d	Comb N.ro	AlfaX	AlfaY	PILASTRO INFERIORE					PILASTRO SUPERIORE				
						N (kg)	Mx (kgm)	My (kgm)	AlfaX*Mx (kgm)	AlfaY*My (kgm)	N (kg)	Mx (kgm)	My (kgm)	AlfaX*Mx (kgm)	AlfaY*My (kgm)
			22	0,00	0,00	-22486	2285	3851	0	0	-11556	1092	2343	0	0
			23	0,00	0,00	-22425	2282	3743	0	0	-11543	1097	2291	0	0
			24	0,00	0,00	-22983	2312	4742	0	0	-11666	1057	2764	0	0
			25	0,00	0,00	-22923	2309	4634	0	0	-11653	1061	2712	0	0
			26	0,00	0,00	-18314	-724	-2706	0	0	-10417	-29	-1311	0	0
			27	0,00	0,00	-18375	-721	-2597	0	0	-10431	-33	-1260	0	0
			28	0,00	0,00	-17817	-751	-3597	0	0	-10307	7	-1732	0	0
			29	0,00	0,00	-17877	-748	-3488	0	0	-10321	3	-1681	0	0
			30	0,00	0,00	-22791	-1144	4227	0	0	-11625	-218	2551	0	0
			31	0,00	0,00	-22852	-1141	4335	0	0	-11638	-222	2602	0	0
			32	0,00	0,00	-23289	-1118	5117	0	0	-11735	-253	2972	0	0
			33	0,00	0,00	-23349	-1115	5226	0	0	-11748	-258	3023	0	0

## DETTAGLIO GERARCHIA RESISTENZA ASTE

Nodo 3D	Pilas. Infer. Asta3d	Pilas. Super. Asta3d	Comb N.ro	AlfaX	AlfaY	PILASTRO INFERIORE					PILASTRO SUPERIORE				
						N (kg)	Mx (kgm)	My (kgm)	AlfaX*Mx (kgm)	AlfaY*My (kgm)	N (kg)	Mx (kgm)	My (kgm)	AlfaX*Mx (kgm)	AlfaY*My (kgm)
81	131	193	1	0,00	0,00	-22590	527	-2193	0	0	-11118	283	-2552	0	0
			2	0,00	0,00	-16059	6469	-2838	0	0	-7383	2699	-2293	0	0
			3	0,00	0,00	-16418	7101	-3186	0	0	-7483	2928	-2450	0	0
			4	0,00	0,00	-16324	6936	-3095	0	0	-7457	2868	-2409	0	0
			5	0,00	0,00	-16684	7567	-3442	0	0	-7557	3098	-2566	0	0
			6	0,00	0,00	-14169	7180	-854	0	0	-6794	2741	-1224	0	0
			7	0,00	0,00	-14528	7812	-1202	0	0	-6894	2970	-1380	0	0
			8	0,00	0,00	-13904	6714	-598	0	0	-6720	2571	-1108	0	0
			9	0,00	0,00	-14263	7345	-945	0	0	-6820	2801	-1265	0	0
			10	0,00	0,00	-14238	-6480	-1640	0	0	-6827	-2346	-1649	0	0
			11	0,00	0,00	-13879	-7112	-1293	0	0	-6727	-2575	-1492	0	0
			12	0,00	0,00	-14503	-6013	-1897	0	0	-6901	-2177	-1765	0	0
			13	0,00	0,00	-14144	-6645	-1549	0	0	-6801	-2406	-1608	0	0
			14	0,00	0,00	-12348	-5769	344	0	0	-6238	-2304	-579	0	0
			15	0,00	0,00	-11988	-6401	691	0	0	-6138	-2534	-422	0	0
			16	0,00	0,00	-12082	-6235	601	0	0	-6164	-2474	-463	0	0
			17	0,00	0,00	-11723	-6867	948	0	0	-6064	-2703	-307	0	0
			18	0,00	0,00	-17627	1107	-4734	0	0	-7875	885	-3316	0	0
			19	0,00	0,00	-17735	1297	-4838	0	0	-7905	953	-3363	0	0
			20	0,00	0,00	-18511	2662	-5589	0	0	-8122	1449	-3702	0	0
			21	0,00	0,00	-18619	2852	-5693	0	0	-8152	1518	-3749	0	0
			22	0,00	0,00	-11326	3478	1880	0	0	-5913	1024	250	0	0
			23	0,00	0,00	-11434	3667	1775	0	0	-5943	1092	203	0	0
			24	0,00	0,00	-10442	1922	2735	0	0	-5666	459	636	0	0
			25	0,00	0,00	-10550	2112	2631	0	0	-5696	528	589	0	0
			26	0,00	0,00	-17080	-2777	-4374	0	0	-7709	-629	-3123	0	0
			27	0,00	0,00	-16973	-2967	-4270	0	0	-7679	-698	-3076	0	0
			28	0,00	0,00	-17964	-1222	-5229	0	0	-7955	-64	-3509	0	0
			29	0,00	0,00	-17857	-1412	-5125	0	0	-7925	-133	-3462	0	0
			30	0,00	0,00	-10780	-407	2239	0	0	-5746	-490	444	0	0
			31	0,00	0,00	-10672	-597	2343	0	0	-5716	-559	491	0	0
			32	0,00	0,00	-9896	-1962	3094	0	0	-5499	-1054	829	0	0
			33	0,00	0,00	-9788	-2152	3199	0	0	-5469	-1123	876	0	0

## DETTAGLIO GERARCHIA RESISTENZA ASTE

Nodo 3D	Pilas. Infer. Asta3d	Pilas. Super. Asta3d	Comb N.ro	AlfaX	AlfaY	PILASTRO INFERIORE					PILASTRO SUPERIORE				
						N (kg)	Mx (kgm)	My (kgm)	AlfaX*Mx (kgm)	AlfaY*My (kgm)	N (kg)	Mx (kgm)	My (kgm)	AlfaX*Mx (kgm)	AlfaY*My (kgm)
82	132	194	1	0,00	0,00	-26164	-920	1006	0	0	-11164	-320	962	0	0
			2	0,00	0,00	-15163	5798	-740	0	0	-6604	2211	-144	0	0
			3	0,00	0,00	-15060	5108	-932	0	0	-6593	1997	-225	0	0
			4	0,00	0,00	-15087	5289	-882	0	0	-6596	2053	-204	0	0
			5	0,00	0,00	-14983	4598	-1074	0	0	-6585	1840	-285	0	0
			6	0,00	0,00	-16182	4805	1179	0	0	-6884	1807	868	0	0
			7	0,00	0,00	-16078	4115	987	0	0	-6873	1594	787	0	0
			8	0,00	0,00	-16258	5315	1321	0	0	-6892	1965	928	0	0
			9	0,00	0,00	-16154	4625	1129	0	0	-6881	1751	847	0	0
			10	0,00	0,00	-15573	-5770	12	0	0	-6859	-2169	280	0	0
			11	0,00	0,00	-15676	-5080	204	0	0	-6870	-1956	361	0	0
			12	0,00	0,00	-15496	-6280	-129	0	0	-6851	-2327	220	0	0
			13	0,00	0,00	-15600	-5590	62	0	0	-6862	-2113	301	0	0
			14	0,00	0,00	-16591	-6763	1931	0	0	-7139	-2573	1291	0	0
			15	0,00	0,00	-16694	-6073	2123	0	0	-7150	-2359	1373	0	0
			16	0,00	0,00	-16667	-6254	2073	0	0	-7147	-2415	1351	0	0
			17	0,00	0,00	-16771	-5564	2265	0	0	-7158	-2202	1433	0	0
			18	0,00	0,00	-14119	2907	-2716	0	0	-6367	1149	-1176	0	0
			19	0,00	0,00	-14088	2700	-2773	0	0	-6364	1085	-1200	0	0
			20	0,00	0,00	-13864	1209	-3188	0	0	-6341	624	-1376	0	0
			21	0,00	0,00	-13833	1002	-3246	0	0	-6337	560	-1400	0	0

## DETTAGLIO GERARCHIA RESISTENZA ASTE

Nodo 3D	Pilas. Infer. Asta3d	Pilas. Super. Asta3d	Comb N.ro	AlfaX	AlfaY	PILASTRO INFERIORE					PILASTRO SUPERIORE				
						N (kg)	Mx (kgm)	My (kgm)	AlfaX*Mx (kgm)	AlfaY*My (kgm)	N (kg)	Mx (kgm)	My (kgm)	AlfaX*Mx (kgm)	AlfaY*My (kgm)
			22	0,00	0,00	-17513	-402	3681	0	0	-7299	-197	2197	0	0
			23	0,00	0,00	-17481	-609	3624	0	0	-7296	-261	2172	0	0
			24	0,00	0,00	-17768	1297	4154	0	0	-7326	328	2397	0	0
			25	0,00	0,00	-17737	1090	4096	0	0	-7322	264	2372	0	0
			26	0,00	0,00	-14242	-563	-2490	0	0	-6444	-165	-1049	0	0
			27	0,00	0,00	-14273	-356	-2432	0	0	-6447	-101	-1024	0	0
			28	0,00	0,00	-13986	-2262	-2962	0	0	-6417	-690	-1249	0	0
			29	0,00	0,00	-14018	-2055	-2905	0	0	-6420	-626	-1224	0	0
			30	0,00	0,00	-17635	-3873	3907	0	0	-7376	-1511	2324	0	0
			31	0,00	0,00	-17666	-3666	3965	0	0	-7379	-1447	2348	0	0
			32	0,00	0,00	-17890	-2174	4379	0	0	-7402	-986	2524	0	0
			33	0,00	0,00	-17921	-1967	4437	0	0	-7405	-921	2548	0	0

## DETTAGLIO GERARCHIA RESISTENZA ASTE

Nodo 3D	Pilas. Infer. Asta3d	Pilas. Super. Asta3d	Comb N.ro	AlfaX	AlfaY	PILASTRO INFERIORE					PILASTRO SUPERIORE				
						N (kg)	Mx (kgm)	My (kgm)	AlfaX*Mx (kgm)	AlfaY*My (kgm)	N (kg)	Mx (kgm)	My (kgm)	AlfaX*Mx (kgm)	AlfaY*My (kgm)
83	133	195	1	0,00	0,00	-36377	-1381	-606	0	0	-19520	-976	-809	0	0
			2	0,00	0,00	-20975	5221	-2422	0	0	-11429	1715	-1662	0	0
			3	0,00	0,00	-20936	5186	-2719	0	0	-11415	1710	-1809	0	0
			4	0,00	0,00	-20946	5196	-2641	0	0	-11419	1711	-1770	0	0
			5	0,00	0,00	-20908	5161	-2939	0	0	-11404	1705	-1917	0	0
			6	0,00	0,00	-20977	5435	548	0	0	-11394	1916	52	0	0
			7	0,00	0,00	-20939	5400	251	0	0	-11380	1910	-94	0	0
			8	0,00	0,00	-21005	5461	767	0	0	-11405	1920	161	0	0
			9	0,00	0,00	-20967	5426	470	0	0	-11391	1914	14	0	0
			10	0,00	0,00	-22322	-7152	-1284	0	0	-11975	-3126	-1000	0	0
			11	0,00	0,00	-22360	-7117	-987	0	0	-11989	-3120	-853	0	0
			12	0,00	0,00	-22293	-7178	-1504	0	0	-11964	-3130	-1108	0	0
			13	0,00	0,00	-22332	-7143	-1206	0	0	-11979	-3124	-961	0	0
			14	0,00	0,00	-22324	-6939	1686	0	0	-11940	-2925	715	0	0
			15	0,00	0,00	-22362	-6904	1983	0	0	-11954	-2920	862	0	0
			16	0,00	0,00	-22352	-6913	1905	0	0	-11950	-2921	823	0	0
			17	0,00	0,00	-22390	-6878	2202	0	0	-11965	-2916	970	0	0
			18	0,00	0,00	-21443	641	-5488	0	0	-11661	-213	-3431	0	0
			19	0,00	0,00	-21432	631	-5577	0	0	-11657	-215	-3475	0	0
			20	0,00	0,00	-21349	556	-6220	0	0	-11626	-227	-3792	0	0
			21	0,00	0,00	-21338	545	-6309	0	0	-11621	-228	-3836	0	0
			22	0,00	0,00	-21451	1353	4411	0	0	-11544	455	2285	0	0
			23	0,00	0,00	-21440	1343	4321	0	0	-11540	454	2241	0	0
			24	0,00	0,00	-21545	1439	5142	0	0	-11580	469	2646	0	0
			25	0,00	0,00	-21534	1429	5053	0	0	-11575	467	2602	0	0
			26	0,00	0,00	-21848	-3071	-5147	0	0	-11825	-1666	-3232	0	0
			27	0,00	0,00	-21859	-3060	-5058	0	0	-11829	-1664	-3188	0	0
			28	0,00	0,00	-21753	-3157	-5879	0	0	-11789	-1679	-3593	0	0
			29	0,00	0,00	-21765	-3146	-5789	0	0	-11794	-1677	-3549	0	0
			30	0,00	0,00	-21855	-2359	4752	0	0	-11708	-997	2484	0	0
			31	0,00	0,00	-21867	-2348	4841	0	0	-11712	-995	2528	0	0
			32	0,00	0,00	-21949	-2273	5484	0	0	-11743	-983	2844	0	0
			33	0,00	0,00	-21961	-2263	5573	0	0	-11748	-982	2888	0	0

## DETTAGLIO GERARCHIA RESISTENZA ASTE

Nodo 3D	Pilas. Infer. Asta3d	Pilas. Super. Asta3d	Comb N.ro	AlfaX	AlfaY	PILASTRO INFERIORE					PILASTRO SUPERIORE				
						N (kg)	Mx (kgm)	My (kgm)	AlfaX*Mx (kgm)	AlfaY*My (kgm)	N (kg)	Mx (kgm)	My (kgm)	AlfaX*Mx (kgm)	AlfaY*My (kgm)
84	134	196	1	0,00	0,00	-25520	-2441	-1209	0	0	-10679	-1514	-1464	0	0
			2	0,00	0,00	-15849	4976	-2113	0	0	-6692	1706	-1603	0	0
			3	0,00	0,00	-15960	5601	-2315	0	0	-6724	1937	-1690	0	0
			4	0,00	0,00	-15931	5437	-2262	0	0	-6716	1876	-1668	0	0
			5	0,00	0,00	-16042	6062	-2465	0	0	-6747	2108	-1755	0	0
			6	0,00	0,00	-14180	5797	-104	0	0	-6222	2012	-537	0	0
			7	0,00	0,00	-14291	6422	-307	0	0	-6254	2244	-624	0	0
			8	0,00	0,00	-14098	5336	45	0	0	-6199	1841	-472	0	0
			9	0,00	0,00	-14209	5960	-157	0	0	-6230	2073	-560	0	0
			10	0,00	0,00	-16918	-8374	-1344	0	0	-6974	-3630	-1181	0	0
			11	0,00	0,00	-16807	-8999	-1142	0	0	-6942	-3861	-1094	0	0
			12	0,00	0,00	-17000	-7913	-1494	0	0	-6997	-3459	-1246	0	0
			13	0,00	0,00	-16889	-8538	-1291	0	0	-6966	-3690	-1159	0	0
			14	0,00	0,00	-15250	-7553	664	0	0	-6504	-3323	-115	0	0
			15	0,00	0,00	-15139	-8178	867	0	0	-6472	-3555	-28	0	0
			16	0,00	0,00	-15168	-8015	814	0	0	-6480	-3494	-51	0	0
			17	0,00	0,00	-15057	-8639	1016	0	0	-6449	-3725	37	0	0
			18	0,00	0,00	-18169	-654	-4187	0	0	-7339	-520	-2699	0	0
			19	0,00	0,00	-18202	-467	-4248	0	0	-7349	-450	-2726	0	0
			20	0,00	0,00	-18442	884	-4685	0	0	-7417	50	-2914	0	0
			21	0,00	0,00	-18476	1071	-4746	0	0	-7426	119	-2940	0	0

## DETTAGLIO GERARCHIA RESISTENZA ASTE

Nodo 3D	Pilas. Infer. Asta3d	Pilas. Super. Asta3d	Comb N.ro	AlfaX	AlfaY	PILASTRO INFERIORE					PILASTRO SUPERIORE				
						N (kg)	Mx (kgm)	My (kgm)	AlfaX*Mx (kgm)	AlfaY*My (kgm)	N (kg)	Mx (kgm)	My (kgm)	AlfaX*Mx (kgm)	AlfaY*My (kgm)
			22	0,00	0,00	-12608	2082	2508	0	0	-5772	503	855	0	0
			23	0,00	0,00	-12642	2269	2447	0	0	-5781	572	828	0	0
			24	0,00	0,00	-12335	544	3006	0	0	-5695	-67	1069	0	0
			25	0,00	0,00	-12368	732	2946	0	0	-5704	3	1043	0	0
			26	0,00	0,00	-18490	-4659	-3956	0	0	-7424	-2120	-2573	0	0
			27	0,00	0,00	-18457	-4847	-3896	0	0	-7415	-2190	-2547	0	0
			28	0,00	0,00	-18763	-3121	-4455	0	0	-7501	-1551	-2788	0	0
			29	0,00	0,00	-18730	-3309	-4394	0	0	-7492	-1620	-2762	0	0
			30	0,00	0,00	-12929	-1923	2738	0	0	-5857	-1098	981	0	0
			31	0,00	0,00	-12896	-2111	2799	0	0	-5847	-1167	1007	0	0
			32	0,00	0,00	-12656	-3461	3237	0	0	-5779	-1667	1196	0	0
			33	0,00	0,00	-12623	-3648	3298	0	0	-5770	-1737	1222	0	0

## DETTAGLIO GERARCHIA RESISTENZA ASTE

Nodo 3D	Pilas. Infer. Asta3d	Pilas. Super. Asta3d	Comb N.ro	AlfaX	AlfaY	PILASTRO INFERIORE					PILASTRO SUPERIORE				
						N (kg)	Mx (kgm)	My (kgm)	AlfaX*Mx (kgm)	AlfaY*My (kgm)	N (kg)	Mx (kgm)	My (kgm)	AlfaX*Mx (kgm)	AlfaY*My (kgm)
85	135	197	1	0,00	0,00	-33076	3304	-621	0	0	-14676	4130	-451	0	0
			2	0,00	0,00	-19530	-963	-4236	0	0	-8537	4554	-2517	0	0
			3	0,00	0,00	-19387	-1280	-3759	0	0	-8507	4537	-2240	0	0
			4	0,00	0,00	-19424	-1197	-3884	0	0	-8515	4541	-2313	0	0
			5	0,00	0,00	-19281	-1514	-3406	0	0	-8485	4525	-2036	0	0
			6	0,00	0,00	-23055	7092	-3630	0	0	-9681	1660	-2501	0	0
			7	0,00	0,00	-22912	6776	-3152	0	0	-9650	1643	-2224	0	0
			8	0,00	0,00	-23161	7326	-3982	0	0	-9703	1672	-2705	0	0
			9	0,00	0,00	-23018	7010	-3505	0	0	-9673	1655	-2428	0	0
			10	0,00	0,00	-18104	-3230	3072	0	0	-8235	3197	2089	0	0
			11	0,00	0,00	-18247	-2913	2595	0	0	-8265	3214	1812	0	0
			12	0,00	0,00	-17998	-3463	3425	0	0	-8212	3185	2294	0	0
			13	0,00	0,00	-18141	-3147	2947	0	0	-8243	3201	2017	0	0
			14	0,00	0,00	-21629	4826	3679	0	0	-9378	303	2106	0	0
			15	0,00	0,00	-21772	5143	3201	0	0	-9408	320	1829	0	0
			16	0,00	0,00	-21735	5060	3326	0	0	-9400	315	1901	0	0
			17	0,00	0,00	-21878	5377	2849	0	0	-9431	332	1624	0	0
			18	0,00	0,00	-14919	-11155	-2386	0	0	-7098	7455	-925	0	0
			19	0,00	0,00	-14876	-11250	-2243	0	0	-7089	7450	-841	0	0
			20	0,00	0,00	-14566	-11934	-1211	0	0	-7023	7414	-242	0	0
			21	0,00	0,00	-14523	-12029	-1067	0	0	-7014	7409	-159	0	0
			22	0,00	0,00	-26668	15698	-364	0	0	-10908	-2192	-869	0	0
			23	0,00	0,00	-26625	15603	-221	0	0	-10899	-2197	-786	0	0
			24	0,00	0,00	-27021	16477	-1539	0	0	-10983	-2151	-1551	0	0
			25	0,00	0,00	-26978	16382	-1396	0	0	-10974	-2156	-1468	0	0
			26	0,00	0,00	-14491	-11835	-193	0	0	-7007	7048	457	0	0
			27	0,00	0,00	-14534	-11740	-337	0	0	-7016	7053	374	0	0
			28	0,00	0,00	-14138	-12614	982	0	0	-6932	7007	1140	0	0
			29	0,00	0,00	-14181	-12519	839	0	0	-6941	7012	1056	0	0
			30	0,00	0,00	-26240	15018	1828	0	0	-10817	-2599	513	0	0
			31	0,00	0,00	-26283	15113	1685	0	0	-10827	-2594	430	0	0
			32	0,00	0,00	-26593	15797	653	0	0	-10892	-2558	-169	0	0
			33	0,00	0,00	-26636	15892	510	0	0	-10901	-2553	-252	0	0

## DETTAGLIO GERARCHIA RESISTENZA ASTE

Nodo 3D	Pilas. Infer. Asta3d	Pilas. Super. Asta3d	Comb N.ro	AlfaX	AlfaY	PILASTRO INFERIORE					PILASTRO SUPERIORE				
						N (kg)	Mx (kgm)	My (kgm)	AlfaX*Mx (kgm)	AlfaY*My (kgm)	N (kg)	Mx (kgm)	My (kgm)	AlfaX*Mx (kgm)	AlfaY*My (kgm)
86	136	198	1	0,00	0,00	-34066	1324	-942	0	0	-17537	888	-1621	0	0
			2	0,00	0,00	-22512	7272	-2353	0	0	-11272	2999	-1969	0	0
			3	0,00	0,00	-22551	7258	-2436	0	0	-11279	3011	-2012	0	0
			4	0,00	0,00	-22541	7262	-2414	0	0	-11277	3008	-2001	0	0
			5	0,00	0,00	-22579	7248	-2497	0	0	-11284	3019	-2044	0	0
			6	0,00	0,00	-19900	7146	676	0	0	-10465	3094	-243	0	0
			7	0,00	0,00	-19939	7133	593	0	0	-10472	3106	-285	0	0
			8	0,00	0,00	-19872	7156	737	0	0	-10460	3085	-211	0	0
			9	0,00	0,00	-19911	7143	654	0	0	-10467	3097	-254	0	0
			10	0,00	0,00	-21097	-5615	-1784	0	0	-10426	-2090	-1587	0	0
			11	0,00	0,00	-21059	-5602	-1702	0	0	-10420	-2102	-1544	0	0
			12	0,00	0,00	-21126	-5625	-1846	0	0	-10431	-2081	-1618	0	0
			13	0,00	0,00	-21087	-5612	-1763	0	0	-10425	-2093	-1576	0	0
			14	0,00	0,00	-18485	-5741	1244	0	0	-9619	-1995	140	0	0
			15	0,00	0,00	-18447	-5727	1327	0	0	-9613	-2007	183	0	0
			16	0,00	0,00	-18457	-5731	1305	0	0	-9614	-2003	172	0	0
			17	0,00	0,00	-18418	-5717	1388	0	0	-9607	-2015	214	0	0
			18	0,00	0,00	-25064	2907	-5687	0	0	-11918	1107	-3850	0	0
			19	0,00	0,00	-25076	2903	-5712	0	0	-11920	1111	-3863	0	0
			20	0,00	0,00	-25159	2874	-5891	0	0	-11935	1136	-3955	0	0
			21	0,00	0,00	-25171	2870	-5916	0	0	-11937	1139	-3968	0	0

## DETTAGLIO GERARCHIA RESISTENZA ASTE

Nodo 3D	Pilas. Infer. Asta3d	Pilas. Super. Asta3d	Comb N.ro	AlfaX	AlfaY	PILASTRO INFERIORE					PILASTRO SUPERIORE				
						N (kg)	Mx (kgm)	My (kgm)	AlfaX*Mx (kgm)	AlfaY*My (kgm)	N (kg)	Mx (kgm)	My (kgm)	AlfaX*Mx (kgm)	AlfaY*My (kgm)
			22	0,00	0,00	-16358	2490	4408	0	0	-9227	1424	1906	0	0
			23	0,00	0,00	-16369	2486	4383	0	0	-9229	1427	1893	0	0
			24	0,00	0,00	-16263	2523	4612	0	0	-9211	1395	2011	0	0
			25	0,00	0,00	-16275	2519	4587	0	0	-9213	1398	1998	0	0
			26	0,00	0,00	-24640	-959	-5517	0	0	-11664	-420	-3735	0	0
			27	0,00	0,00	-24628	-955	-5492	0	0	-11662	-423	-3722	0	0
			28	0,00	0,00	-24735	-992	-5720	0	0	-11681	-391	-3840	0	0
			29	0,00	0,00	-24723	-988	-5696	0	0	-11679	-394	-3828	0	0
			30	0,00	0,00	-15933	-1376	4578	0	0	-8974	-103	2021	0	0
			31	0,00	0,00	-15922	-1372	4603	0	0	-8972	-106	2034	0	0
			32	0,00	0,00	-15839	-1343	4782	0	0	-8957	-132	2126	0	0
			33	0,00	0,00	-15827	-1339	4807	0	0	-8955	-135	2139	0	0

## DETTAGLIO GERARCHIA RESISTENZA ASTE

Nodo 3D	Pilas. Infer. Asta3d	Pilas. Super. Asta3d	Comb N.ro	AlfaX	AlfaY	PILASTRO INFERIORE					PILASTRO SUPERIORE				
						N (kg)	Mx (kgm)	My (kgm)	AlfaX*Mx (kgm)	AlfaY*My (kgm)	N (kg)	Mx (kgm)	My (kgm)	AlfaX*Mx (kgm)	AlfaY*My (kgm)
87	137	199	1	0,00	0,00	-25998	1816	-185	0	0	-10920	1024	-444	0	0
			2	0,00	0,00	-16515	7247	-480	0	0	-6900	3188	-163	0	0
			3	0,00	0,00	-16597	7876	-493	0	0	-6927	3419	-162	0	0
			4	0,00	0,00	-16576	7712	-489	0	0	-6920	3358	-162	0	0
			5	0,00	0,00	-16658	8340	-503	0	0	-6946	3589	-161	0	0
			6	0,00	0,00	-16159	7993	57	0	0	-6767	3234	-366	0	0
			7	0,00	0,00	-16241	8622	44	0	0	-6793	3465	-365	0	0
			8	0,00	0,00	-16098	7529	67	0	0	-6747	3064	-367	0	0
			9	0,00	0,00	-16180	8158	54	0	0	-6774	3295	-366	0	0
			10	0,00	0,00	-15200	-6112	-373	0	0	-6495	-2139	-252	0	0
			11	0,00	0,00	-15118	-6741	-359	0	0	-6468	-2369	-253	0	0
			12	0,00	0,00	-15261	-5648	-382	0	0	-6515	-1968	-251	0	0
			13	0,00	0,00	-15179	-6276	-369	0	0	-6488	-2199	-252	0	0
			14	0,00	0,00	-14844	-5366	164	0	0	-6362	-2092	-454	0	0
			15	0,00	0,00	-14762	-5995	178	0	0	-6335	-2323	-456	0	0
			16	0,00	0,00	-14783	-5830	174	0	0	-6342	-2262	-455	0	0
			17	0,00	0,00	-14701	-6459	187	0	0	-6315	-2493	-456	0	0
			18	0,00	0,00	-16471	1701	-1068	0	0	-6913	1269	42	0	0
			19	0,00	0,00	-16495	1890	-1072	0	0	-6921	1338	42	0	0
			20	0,00	0,00	-16673	3249	-1101	0	0	-6979	1837	45	0	0
			21	0,00	0,00	-16697	3437	-1105	0	0	-6987	1906	45	0	0
			22	0,00	0,00	-15283	4188	721	0	0	-6470	1425	-633	0	0
			23	0,00	0,00	-15308	4377	717	0	0	-6478	1494	-633	0	0
			24	0,00	0,00	-15081	2641	754	0	0	-6404	857	-636	0	0
			25	0,00	0,00	-15106	2829	750	0	0	-6412	926	-636	0	0
			26	0,00	0,00	-16076	-2306	-1036	0	0	-6792	-329	15	0	0
			27	0,00	0,00	-16052	-2495	-1032	0	0	-6784	-398	15	0	0
			28	0,00	0,00	-16278	-759	-1069	0	0	-6858	239	18	0	0
			29	0,00	0,00	-16254	-948	-1065	0	0	-6850	170	18	0	0
			30	0,00	0,00	-14889	180	753	0	0	-6348	-173	-660	0	0
			31	0,00	0,00	-14864	-8	757	0	0	-6340	-243	-660	0	0
			32	0,00	0,00	-14687	-1367	786	0	0	-6282	-741	-662	0	0
			33	0,00	0,00	-14662	-1556	790	0	0	-6274	-811	-663	0	0

## DETTAGLIO GERARCHIA RESISTENZA ASTE

Nodo 3D	Pilas. Infer. Asta3d	Pilas. Super. Asta3d	Comb N.ro	AlfaX	AlfaY	PILASTRO INFERIORE					PILASTRO SUPERIORE				
						N (kg)	Mx (kgm)	My (kgm)	AlfaX*Mx (kgm)	AlfaY*My (kgm)	N (kg)	Mx (kgm)	My (kgm)	AlfaX*Mx (kgm)	AlfaY*My (kgm)
88	138	200	1	0,00	0,00	-32712	3476	527	0	0	-14782	3918	421	0	0
			2	0,00	0,00	-17778	-3109	-3852	0	0	-8266	3308	-2379	0	0
			3	0,00	0,00	-17921	-2792	-3375	0	0	-8296	3325	-2102	0	0
			4	0,00	0,00	-17884	-2875	-3499	0	0	-8288	3320	-2174	0	0
			5	0,00	0,00	-18027	-2558	-3022	0	0	-8319	3337	-1897	0	0
			6	0,00	0,00	-21626	5731	-2990	0	0	-9472	331	-1843	0	0
			7	0,00	0,00	-21769	6047	-2513	0	0	-9503	348	-1566	0	0
			8	0,00	0,00	-21520	5497	-3343	0	0	-9450	319	-2048	0	0
			9	0,00	0,00	-21663	5813	-2865	0	0	-9480	335	-1770	0	0
			10	0,00	0,00	-19134	-1640	3457	0	0	-8529	4289	2229	0	0
			11	0,00	0,00	-18991	-1957	2979	0	0	-8499	4272	1952	0	0
			12	0,00	0,00	-19240	-1406	3809	0	0	-8552	4301	2434	0	0
			13	0,00	0,00	-19096	-1723	3332	0	0	-8521	4284	2157	0	0
			14	0,00	0,00	-22982	7199	4318	0	0	-9736	1312	2765	0	0
			15	0,00	0,00	-22838	6882	3841	0	0	-9705	1295	2488	0	0
			16	0,00	0,00	-22876	6965	3966	0	0	-9713	1299	2560	0	0
			17	0,00	0,00	-22733	6648	3489	0	0	-9683	1283	2283	0	0
			18	0,00	0,00	-13764	-12907	-2299	0	0	-6950	7124	-1391	0	0
			19	0,00	0,00	-13807	-12812	-2156	0	0	-6960	7129	-1308	0	0
			20	0,00	0,00	-14116	-12128	-1124	0	0	-7025	7166	-709	0	0
			21	0,00	0,00	-14159	-12033	-981	0	0	-7034	7171	-626	0	0

## DETTAGLIO GERARCHIA RESISTENZA ASTE

Nodo 3D	Pilas. Infer. Asta3d	Pilas. Super. Asta3d	Comb N.ro	AlfaX	AlfaY	PILASTRO INFERIORE					PILASTRO SUPERIORE				
						N (kg)	Mx (kgm)	My (kgm)	AlfaX*Mx (kgm)	AlfaY*My (kgm)	N (kg)	Mx (kgm)	My (kgm)	AlfaX*Mx (kgm)	AlfaY*My (kgm)
			22	0,00	0,00	-26589	16557	573	0	0	-10972	-2799	395	0	0
			23	0,00	0,00	-26632	16652	717	0	0	-10981	-2794	478	0	0
			24	0,00	0,00	-26237	15778	-602	0	0	-10897	-2840	-287	0	0
			25	0,00	0,00	-26280	15873	-458	0	0	-10907	-2835	-204	0	0
			26	0,00	0,00	-14170	-12467	-107	0	0	-7029	7419	-9	0	0
			27	0,00	0,00	-14127	-12562	-250	0	0	-7020	7414	-92	0	0
			28	0,00	0,00	-14523	-11687	1068	0	0	-7104	7460	674	0	0
			29	0,00	0,00	-14480	-11782	925	0	0	-7095	7455	591	0	0
			30	0,00	0,00	-26996	16998	2766	0	0	-11051	-2505	1777	0	0
			31	0,00	0,00	-26953	16903	2623	0	0	-11042	-2510	1694	0	0
			32	0,00	0,00	-26643	16218	1591	0	0	-10976	-2546	1095	0	0
			33	0,00	0,00	-26600	16123	1448	0	0	-10967	-2551	1012	0	0

## DETTAGLIO GERARCHIA RESISTENZA ASTE

Nodo 3D	Pilas. Infer. Asta3d	Pilas. Super. Asta3d	Comb N.ro	AlfaX	AlfaY	PILASTRO INFERIORE					PILASTRO SUPERIORE				
						N (kg)	Mx (kgm)	My (kgm)	AlfaX*Mx (kgm)	AlfaY*My (kgm)	N (kg)	Mx (kgm)	My (kgm)	AlfaX*Mx (kgm)	AlfaY*My (kgm)
89	139	201	1	0,00	0,00	-35897	-1416	-1038	0	0	-17220	-966	-1568	0	0
			2	0,00	0,00	-22455	5662	-2092	0	0	-10248	2023	-1716	0	0
			3	0,00	0,00	-22417	5649	-2009	0	0	-10241	2035	-1673	0	0
			4	0,00	0,00	-22427	5652	-2031	0	0	-10243	2032	-1684	0	0
			5	0,00	0,00	-22388	5639	-1948	0	0	-10236	2044	-1642	0	0
			6	0,00	0,00	-19768	5529	1124	0	0	-9431	1939	98	0	0
			7	0,00	0,00	-19730	5516	1207	0	0	-9424	1951	141	0	0
			8	0,00	0,00	-19797	5539	1063	0	0	-9436	1931	67	0	0
			9	0,00	0,00	-19758	5526	1146	0	0	-9429	1943	110	0	0
			10	0,00	0,00	-23688	-7225	-2347	0	0	-11046	-3066	-1860	0	0
			11	0,00	0,00	-23727	-7211	-2430	0	0	-11053	-3077	-1903	0	0
			12	0,00	0,00	-23660	-7235	-2286	0	0	-11041	-3057	-1829	0	0
			13	0,00	0,00	-23698	-7221	-2369	0	0	-11048	-3069	-1872	0	0
			14	0,00	0,00	-21001	-7358	869	0	0	-10229	-3150	-46	0	0
			15	0,00	0,00	-21040	-7344	787	0	0	-10235	-3161	-89	0	0
			16	0,00	0,00	-21030	-7348	808	0	0	-10234	-3158	-78	0	0
			17	0,00	0,00	-21068	-7334	725	0	0	-10240	-3170	-120	0	0
			18	0,00	0,00	-26022	1307	-5933	0	0	-11481	340	-3883	0	0
			19	0,00	0,00	-26010	1303	-5909	0	0	-11479	344	-3871	0	0
			20	0,00	0,00	-25927	1273	-5730	0	0	-11464	369	-3778	0	0
			21	0,00	0,00	-25916	1269	-5705	0	0	-11462	372	-3765	0	0
			22	0,00	0,00	-17065	864	4787	0	0	-8756	60	2165	0	0
			23	0,00	0,00	-17053	860	4812	0	0	-8754	64	2177	0	0
			24	0,00	0,00	-17160	897	4583	0	0	-8773	32	2059	0	0
			25	0,00	0,00	-17148	893	4608	0	0	-8771	35	2072	0	0
			26	0,00	0,00	-26392	-2559	-6010	0	0	-11720	-1187	-3927	0	0
			27	0,00	0,00	-26403	-2555	-6035	0	0	-11722	-1190	-3939	0	0
			28	0,00	0,00	-26297	-2593	-5806	0	0	-11703	-1158	-3821	0	0
			29	0,00	0,00	-26308	-2588	-5831	0	0	-11706	-1161	-3834	0	0
			30	0,00	0,00	-17435	-3002	4711	0	0	-8996	-1466	2121	0	0
			31	0,00	0,00	-17446	-2998	4686	0	0	-8998	-1470	2108	0	0
			32	0,00	0,00	-17529	-2969	4507	0	0	-9012	-1495	2016	0	0
			33	0,00	0,00	-17541	-2965	4482	0	0	-9014	-1499	2003	0	0

## DETTAGLIO GERARCHIA RESISTENZA ASTE

Nodo 3D	Pilas. Infer. Asta3d	Pilas. Super. Asta3d	Comb N.ro	AlfaX	AlfaY	PILASTRO INFERIORE					PILASTRO SUPERIORE				
						N (kg)	Mx (kgm)	My (kgm)	AlfaX*Mx (kgm)	AlfaY*My (kgm)	N (kg)	Mx (kgm)	My (kgm)	AlfaX*Mx (kgm)	AlfaY*My (kgm)
90	140	202	1	0,00	0,00	-26278	-1828	-188	0	0	-11101	-1088	-452	0	0
			2	0,00	0,00	-15444	5284	-423	0	0	-6619	1901	-231	0	0
			3	0,00	0,00	-15362	5912	-410	0	0	-6592	2132	-232	0	0
			4	0,00	0,00	-15383	5748	-413	0	0	-6599	2071	-232	0	0
			5	0,00	0,00	-15301	6377	-400	0	0	-6573	2302	-233	0	0
			6	0,00	0,00	-14905	6177	148	0	0	-6427	2264	-442	0	0
			7	0,00	0,00	-14823	6806	161	0	0	-6401	2495	-443	0	0
			8	0,00	0,00	-14966	5713	138	0	0	-6447	2094	-441	0	0
			9	0,00	0,00	-14884	6342	151	0	0	-6420	2324	-443	0	0
			10	0,00	0,00	-16720	-8069	-467	0	0	-7008	-3421	-185	0	0
			11	0,00	0,00	-16802	-8698	-481	0	0	-7035	-3651	-184	0	0
			12	0,00	0,00	-16659	-7605	-457	0	0	-6988	-3250	-186	0	0
			13	0,00	0,00	-16742	-8234	-471	0	0	-7015	-3481	-185	0	0
			14	0,00	0,00	-16182	-7176	104	0	0	-6816	-3058	-397	0	0
			15	0,00	0,00	-16264	-7805	90	0	0	-6843	-3288	-396	0	0
			16	0,00	0,00	-16242	-7640	94	0	0	-6836	-3228	-396	0	0
			17	0,00	0,00	-16324	-8269	81	0	0	-6863	-3459	-395	0	0
			18	0,00	0,00	-16519	-432	-1105	0	0	-6979	-385	32	0	0
			19	0,00	0,00	-16494	-244	-1101	0	0	-6971	-316	31	0	0
			20	0,00	0,00	-16317	1115	-1072	0	0	-6913	183	29	0	0
			21	0,00	0,00	-16292	1304	-1068	0	0	-6905	252	29	0	0

## DETTAGLIO GERARCHIA RESISTENZA ASTE

Nodo 3D	Pilas. Infer. Asta3d	Pilas. Super. Asta3d	Comb N.ro	AlfaX	AlfaY	PILASTRO INFERIORE					PILASTRO SUPERIORE				
						N (kg)	Mx (kgm)	My (kgm)	AlfaX*Mx (kgm)	AlfaY*My (kgm)	N (kg)	Mx (kgm)	My (kgm)	AlfaX*Mx (kgm)	AlfaY*My (kgm)
			22	0,00	0,00	-14724	2546	799	0	0	-6340	825	-673	0	0
			23	0,00	0,00	-14699	2735	803	0	0	-6332	894	-673	0	0
			24	0,00	0,00	-14926	999	766	0	0	-6406	257	-670	0	0
			25	0,00	0,00	-14901	1187	770	0	0	-6398	327	-670	0	0
			26	0,00	0,00	-16902	-4438	-1118	0	0	-7096	-1982	45	0	0
			27	0,00	0,00	-16926	-4627	-1122	0	0	-7104	-2051	46	0	0
			28	0,00	0,00	-16700	-2891	-1085	0	0	-7030	-1414	43	0	0
			29	0,00	0,00	-16724	-3079	-1089	0	0	-7038	-1483	43	0	0
			30	0,00	0,00	-15107	-1460	785	0	0	-6456	-771	-659	0	0
			31	0,00	0,00	-15131	-1648	781	0	0	-6464	-840	-659	0	0
			32	0,00	0,00	-15309	-3007	753	0	0	-6522	-1339	-656	0	0
			33	0,00	0,00	-15333	-3196	749	0	0	-6530	-1408	-656	0	0

## DETTAGLIO GERARCHIA RESISTENZA ASTE

Nodo 3D	Pilas. Infer. Asta3d	Pilas. Super. Asta3d	Comb N.ro	AlfaX	AlfaY	PILASTRO INFERIORE					PILASTRO SUPERIORE				
						N (kg)	Mx (kgm)	My (kgm)	AlfaX*Mx (kgm)	AlfaY*My (kgm)	N (kg)	Mx (kgm)	My (kgm)	AlfaX*Mx (kgm)	AlfaY*My (kgm)
91	141	203	1	0,00	0,00	-28515	286	949	0	0	-11279	-33	902	0	0
			2	0,00	0,00	-16510	6556	-361	0	0	-6897	2432	72	0	0
			3	0,00	0,00	-16614	5866	-169	0	0	-6908	2218	153	0	0
			4	0,00	0,00	-16586	6047	-219	0	0	-6905	2274	132	0	0
			5	0,00	0,00	-16690	5356	-27	0	0	-6916	2061	213	0	0
			6	0,00	0,00	-17760	5375	2016	0	0	-7196	1975	1263	0	0
			7	0,00	0,00	-17863	4685	2208	0	0	-7207	1762	1344	0	0
			8	0,00	0,00	-17683	5885	1875	0	0	-7188	2133	1203	0	0
			9	0,00	0,00	-17787	5194	2067	0	0	-7199	1919	1284	0	0
			10	0,00	0,00	-16236	-5013	-878	0	0	-6668	-1949	-170	0	0
			11	0,00	0,00	-16133	-4323	-1070	0	0	-6657	-1736	-251	0	0
			12	0,00	0,00	-16313	-5523	-736	0	0	-6676	-2107	-110	0	0
			13	0,00	0,00	-16209	-4832	-928	0	0	-6665	-1894	-191	0	0
			14	0,00	0,00	-17486	-6194	1499	0	0	-6967	-2406	1021	0	0
			15	0,00	0,00	-17382	-5504	1307	0	0	-6956	-2193	939	0	0
			16	0,00	0,00	-17410	-5685	1358	0	0	-6959	-2248	960	0	0
			17	0,00	0,00	-17306	-4994	1166	0	0	-6948	-2035	879	0	0
			18	0,00	0,00	-14956	3885	-3316	0	0	-6468	1431	-1401	0	0
			19	0,00	0,00	-14987	3678	-3258	0	0	-6471	1367	-1377	0	0
			20	0,00	0,00	-15211	2186	-2843	0	0	-6494	906	-1201	0	0
			21	0,00	0,00	-15242	1979	-2786	0	0	-6497	842	-1177	0	0
			22	0,00	0,00	-19122	-52	4609	0	0	-7465	-91	2567	0	0
			23	0,00	0,00	-19153	-259	4666	0	0	-7469	-155	2591	0	0
			24	0,00	0,00	-18867	1646	4137	0	0	-7439	434	2367	0	0
			25	0,00	0,00	-18898	1439	4194	0	0	-7442	370	2391	0	0
			26	0,00	0,00	-14874	414	-3471	0	0	-6399	117	-1474	0	0
			27	0,00	0,00	-14843	621	-3528	0	0	-6396	181	-1499	0	0
			28	0,00	0,00	-15129	-1284	-2998	0	0	-6425	-409	-1274	0	0
			29	0,00	0,00	-15098	-1077	-3056	0	0	-6422	-345	-1298	0	0
			30	0,00	0,00	-19040	-3523	4454	0	0	-7397	-1406	2494	0	0
			31	0,00	0,00	-19009	-3316	4396	0	0	-7393	-1342	2470	0	0
			32	0,00	0,00	-18785	-1824	3982	0	0	-7370	-880	2294	0	0
			33	0,00	0,00	-18754	-1617	3924	0	0	-7367	-816	2270	0	0

## DETTAGLIO GERARCHIA RESISTENZA ASTE

Nodo 3D	Pilas. Infer. Asta3d	Pilas. Super. Asta3d	Comb N.ro	AlfaX	AlfaY	PILASTRO INFERIORE					PILASTRO SUPERIORE				
						N (kg)	Mx (kgm)	My (kgm)	AlfaX*Mx (kgm)	AlfaY*My (kgm)	N (kg)	Mx (kgm)	My (kgm)	AlfaX*Mx (kgm)	AlfaY*My (kgm)
92	142	204	1	0,00	0,00	-36866	1621	-597	0	0	-19724	1115	-800	0	0
			2	0,00	0,00	-22556	7358	-1814	0	0	-12076	3224	-1295	0	0
			3	0,00	0,00	-22595	7323	-1517	0	0	-12091	3219	-1148	0	0
			4	0,00	0,00	-22585	7332	-1595	0	0	-12087	3220	-1187	0	0
			5	0,00	0,00	-22623	7297	-1298	0	0	-12101	3215	-1040	0	0
			6	0,00	0,00	-22637	7003	1856	0	0	-12067	2990	742	0	0
			7	0,00	0,00	-22676	6968	2153	0	0	-12081	2984	889	0	0
			8	0,00	0,00	-22609	7029	1636	0	0	-12056	2994	634	0	0
			9	0,00	0,00	-22647	6994	1934	0	0	-12070	2988	780	0	0
			10	0,00	0,00	-21213	-5020	-2586	0	0	-11531	-1620	-1681	0	0
			11	0,00	0,00	-21175	-4985	-2883	0	0	-11517	-1614	-1827	0	0
			12	0,00	0,00	-21242	-5046	-2366	0	0	-11542	-1624	-1572	0	0
			13	0,00	0,00	-21203	-5011	-2663	0	0	-11527	-1618	-1719	0	0
			14	0,00	0,00	-21294	-5374	1085	0	0	-11521	-1854	356	0	0
			15	0,00	0,00	-21256	-5339	788	0	0	-11507	-1849	210	0	0
			16	0,00	0,00	-21266	-5348	865	0	0	-11511	-1850	248	0	0
			17	0,00	0,00	-21228	-5313	568	0	0	-11496	-1845	102	0	0
			18	0,00	0,00	-21992	3439	-6367	0	0	-11896	1802	-3807	0	0
			19	0,00	0,00	-22003	3428	-6277	0	0	-11901	1801	-3763	0	0
			20	0,00	0,00	-22086	3353	-5635	0	0	-11932	1789	-3446	0	0
			21	0,00	0,00	-22097	3343	-5546	0	0	-11936	1787	-3402	0	0

## DETTAGLIO GERARCHIA RESISTENZA ASTE

Nodo 3D	Pilas. Infer. Asta3d	Pilas. Super. Asta3d	Comb N.ro	AlfaX	AlfaY	PILASTRO INFERIORE					PILASTRO SUPERIORE				
						N (kg)	Mx (kgm)	My (kgm)	AlfaX*Mx (kgm)	AlfaY*My (kgm)	N (kg)	Mx (kgm)	My (kgm)	AlfaX*Mx (kgm)	AlfaY*My (kgm)
			22	0,00	0,00	-22262	2258	5868	0	0	-11865	1021	2984	0	0
			23	0,00	0,00	-22274	2247	5957	0	0	-11869	1019	3028	0	0
			24	0,00	0,00	-22168	2344	5137	0	0	-11829	1034	2623	0	0
			25	0,00	0,00	-22179	2333	5226	0	0	-11834	1033	2667	0	0
			26	0,00	0,00	-21589	-274	-6598	0	0	-11733	349	-3922	0	0
			27	0,00	0,00	-21577	-264	-6687	0	0	-11729	351	-3966	0	0
			28	0,00	0,00	-21683	-360	-5866	0	0	-11768	336	-3562	0	0
			29	0,00	0,00	-21671	-350	-5955	0	0	-11764	337	-3606	0	0
			30	0,00	0,00	-21859	-1456	5637	0	0	-11701	-432	2868	0	0
			31	0,00	0,00	-21848	-1445	5548	0	0	-11697	-431	2824	0	0
			32	0,00	0,00	-21765	-1370	4905	0	0	-11666	-419	2507	0	0
			33	0,00	0,00	-21754	-1359	4816	0	0	-11661	-417	2463	0	0

## DETTAGLIO GERARCHIA RESISTENZA ASTE

Nodo 3D	Pilas. Infer. Asta3d	Pilas. Super. Asta3d	Comb N.ro	AlfaX	AlfaY	PILASTRO INFERIORE					PILASTRO SUPERIORE				
						N (kg)	Mx (kgm)	My (kgm)	AlfaX*Mx (kgm)	AlfaY*My (kgm)	N (kg)	Mx (kgm)	My (kgm)	AlfaX*Mx (kgm)	AlfaY*My (kgm)
93	143	205	1	0,00	0,00	-28784	1759	-1143	0	0	-10719	1105	-1395	0	0
			2	0,00	0,00	-18571	7235	-1680	0	0	-7022	3117	-1341	0	0
			3	0,00	0,00	-18460	7859	-1477	0	0	-6991	3348	-1254	0	0
			4	0,00	0,00	-18489	7696	-1530	0	0	-6999	3288	-1277	0	0
			5	0,00	0,00	-18378	8321	-1328	0	0	-6968	3519	-1189	0	0
			6	0,00	0,00	-16650	8037	812	0	0	-6482	3444	-83	0	0
			7	0,00	0,00	-16539	8662	1014	0	0	-6451	3675	5	0	0
			8	0,00	0,00	-16732	7575	662	0	0	-6505	3273	-147	0	0
			9	0,00	0,00	-16621	8200	865	0	0	-6474	3504	-60	0	0
			10	0,00	0,00	-17535	-6117	-2200	0	0	-6754	-2218	-1572	0	0
			11	0,00	0,00	-17646	-6741	-2403	0	0	-6785	-2449	-1659	0	0
			12	0,00	0,00	-17453	-5655	-2051	0	0	-6731	-2047	-1508	0	0
			13	0,00	0,00	-17564	-6280	-2253	0	0	-6762	-2278	-1595	0	0
			14	0,00	0,00	-15615	-5315	291	0	0	-6213	-1891	-314	0	0
			15	0,00	0,00	-15726	-5939	89	0	0	-6245	-2122	-401	0	0
			16	0,00	0,00	-15697	-5776	142	0	0	-6237	-2062	-378	0	0
			17	0,00	0,00	-15808	-6401	-61	0	0	-6268	-2293	-465	0	0
			18	0,00	0,00	-20449	1626	-4769	0	0	-7559	868	-2890	0	0
			19	0,00	0,00	-20416	1813	-4708	0	0	-7550	938	-2864	0	0
			20	0,00	0,00	-20176	3164	-4270	0	0	-7482	1438	-2675	0	0
			21	0,00	0,00	-20143	3351	-4210	0	0	-7472	1507	-2649	0	0
			22	0,00	0,00	-14047	4300	3536	0	0	-5757	1958	1305	0	0
			23	0,00	0,00	-14014	4487	3597	0	0	-5748	2027	1331	0	0
			24	0,00	0,00	-14320	2762	3038	0	0	-5835	1389	1090	0	0
			25	0,00	0,00	-14287	2949	3098	0	0	-5825	1458	1116	0	0
			26	0,00	0,00	-20139	-2379	-4925	0	0	-7478	-732	-2959	0	0
			27	0,00	0,00	-20172	-2567	-4986	0	0	-7488	-802	-2985	0	0
			28	0,00	0,00	-19865	-842	-4426	0	0	-7401	-163	-2744	0	0
			29	0,00	0,00	-19899	-1029	-4487	0	0	-7410	-232	-2771	0	0
			30	0,00	0,00	-13736	294	3380	0	0	-5677	358	1235	0	0
			31	0,00	0,00	-13770	107	3319	0	0	-5686	288	1209	0	0
			32	0,00	0,00	-14010	-1244	2882	0	0	-5754	-212	1020	0	0
			33	0,00	0,00	-14043	-1431	2821	0	0	-5764	-281	994	0	0

## DETTAGLIO GERARCHIA RESISTENZA ASTE

Nodo 3D	Pilas. Infer. Asta3d	Pilas. Super. Asta3d	Comb N.ro	AlfaX	AlfaY	PILASTRO INFERIORE					PILASTRO SUPERIORE				
						N (kg)	Mx (kgm)	My (kgm)	AlfaX*Mx (kgm)	AlfaY*My (kgm)	N (kg)	Mx (kgm)	My (kgm)	AlfaX*Mx (kgm)	AlfaY*My (kgm)
94	144	206	1	0,00	0,00	-29924	-1058	249	0	0	-11799	-550	264	0	0
			2	0,00	0,00	-17516	5746	-4	0	0	-7007	2045	280	0	0
			3	0,00	0,00	-17631	5017	67	0	0	-7062	1809	267	0	0
			4	0,00	0,00	-17601	5208	48	0	0	-7047	1871	270	0	0
			5	0,00	0,00	-17717	4479	119	0	0	-7102	1635	257	0	0
			6	0,00	0,00	-18474	4439	643	0	0	-7399	1514	10	0	0
			7	0,00	0,00	-18589	3710	714	0	0	-7453	1278	-3	0	0
			8	0,00	0,00	-18389	4977	591	0	0	-7358	1688	20	0	0
			9	0,00	0,00	-18504	4248	662	0	0	-7413	1452	7	0	0
			10	0,00	0,00	-16941	-5678	-243	0	0	-6857	-2182	435	0	0
			11	0,00	0,00	-16826	-4949	-314	0	0	-6803	-1946	448	0	0
			12	0,00	0,00	-17026	-6216	-191	0	0	-6897	-2356	425	0	0
			13	0,00	0,00	-16911	-5487	-262	0	0	-6843	-2120	438	0	0
			14	0,00	0,00	-17899	-6985	404	0	0	-7249	-2713	165	0	0
			15	0,00	0,00	-17784	-6257	333	0	0	-7194	-2477	178	0	0
			16	0,00	0,00	-17814	-6447	352	0	0	-7209	-2539	175	0	0
			17	0,00	0,00	-17699	-5718	281	0	0	-7154	-2303	188	0	0
			18	0,00	0,00	-16197	3273	-843	0	0	-6498	1185	649	0	0
			19	0,00	0,00	-16232	3055	-821	0	0	-6514	1114	645	0	0
			20	0,00	0,00	-16481	1479	-668	0	0	-6632	604	617	0	0
			21	0,00	0,00	-16515	1260	-647	0	0	-6648	533	613	0	0

## DETTAGLIO GERARCHIA RESISTENZA ASTE

Nodo 3D	Pilas. Infer. Asta3d	Pilas. Super. Asta3d	Comb N.ro	AlfaX	AlfaY	PILASTRO INFERIORE					PILASTRO SUPERIORE				
						N (kg)	Mx (kgm)	My (kgm)	AlfaX*Mx (kgm)	AlfaY*My (kgm)	N (kg)	Mx (kgm)	My (kgm)	AlfaX*Mx (kgm)	AlfaY*My (kgm)
			22	0,00	0,00	-19391	-1085	1315	0	0	-7803	-585	-250	0	0
			23	0,00	0,00	-19425	-1304	1336	0	0	-7820	-656	-254	0	0
			24	0,00	0,00	-19107	709	1140	0	0	-7669	-4	-218	0	0
			25	0,00	0,00	-19141	490	1161	0	0	-7685	-75	-222	0	0
			26	0,00	0,00	-16025	-154	-915	0	0	-6453	-83	696	0	0
			27	0,00	0,00	-15990	65	-936	0	0	-6436	-12	699	0	0
			28	0,00	0,00	-16308	-1948	-740	0	0	-6587	-664	663	0	0
			29	0,00	0,00	-16274	-1730	-761	0	0	-6571	-593	667	0	0
			30	0,00	0,00	-19218	-4512	1243	0	0	-7758	-1853	-204	0	0
			31	0,00	0,00	-19183	-4294	1222	0	0	-7742	-1782	-200	0	0
			32	0,00	0,00	-18934	-2718	1068	0	0	-7624	-1272	-172	0	0
			33	0,00	0,00	-18900	-2499	1047	0	0	-7608	-1201	-168	0	0

## DETTAGLIO GERARCHIA RESISTENZA ASTE

Nodo 3D	Pilas. Infer. Asta3d	Pilas. Super. Asta3d	Comb N.ro	AlfaX	AlfaY	PILASTRO INFERIORE					PILASTRO SUPERIORE				
						N (kg)	Mx (kgm)	My (kgm)	AlfaX*Mx (kgm)	AlfaY*My (kgm)	N (kg)	Mx (kgm)	My (kgm)	AlfaX*Mx (kgm)	AlfaY*My (kgm)
95	145	207	1	0,00	0,00	-34577	-1138	1195	0	0	-18478	-796	1083	0	0
			2	0,00	0,00	-20021	5044	-358	0	0	-10877	1634	40	0	0
			3	0,00	0,00	-20223	5034	4	0	0	-10921	1649	211	0	0
			4	0,00	0,00	-20171	5036	-90	0	0	-10910	1645	167	0	0
			5	0,00	0,00	-20373	5026	272	0	0	-10954	1659	338	0	0
			6	0,00	0,00	-21818	4935	2589	0	0	-11338	1712	1582	0	0
			7	0,00	0,00	-22020	4924	2950	0	0	-11383	1726	1753	0	0
			8	0,00	0,00	-21669	4943	2321	0	0	-11305	1701	1456	0	0
			9	0,00	0,00	-21871	4932	2683	0	0	-11350	1716	1627	0	0
			10	0,00	0,00	-19193	-6388	-1333	0	0	-10710	-2733	-441	0	0
			11	0,00	0,00	-18991	-6377	-1695	0	0	-10665	-2747	-612	0	0
			12	0,00	0,00	-19342	-6396	-1066	0	0	-10743	-2722	-315	0	0
			13	0,00	0,00	-19140	-6385	-1428	0	0	-10698	-2737	-486	0	0
			14	0,00	0,00	-20989	-6497	1613	0	0	-11171	-2655	1101	0	0
			15	0,00	0,00	-20787	-6487	1251	0	0	-11127	-2669	930	0	0
			16	0,00	0,00	-20840	-6489	1346	0	0	-11138	-2666	974	0	0
			17	0,00	0,00	-20638	-6479	984	0	0	-11094	-2680	803	0	0
			18	0,00	0,00	-17636	1170	-4136	0	0	-10280	15	-1927	0	0
			19	0,00	0,00	-17696	1167	-4028	0	0	-10293	19	-1875	0	0
			20	0,00	0,00	-18133	1144	-3246	0	0	-10390	50	-1506	0	0
			21	0,00	0,00	-18194	1141	-3137	0	0	-10403	55	-1454	0	0
			22	0,00	0,00	-23624	806	5684	0	0	-11818	274	3212	0	0
			23	0,00	0,00	-23684	803	5793	0	0	-11832	279	3263	0	0
			24	0,00	0,00	-23126	833	4794	0	0	-11709	239	2791	0	0
			25	0,00	0,00	-23187	830	4902	0	0	-11722	243	2842	0	0
			26	0,00	0,00	-17387	-2259	-4429	0	0	-10230	-1295	-2071	0	0
			27	0,00	0,00	-17326	-2256	-4538	0	0	-10216	-1300	-2122	0	0
			28	0,00	0,00	-17884	-2286	-3538	0	0	-10340	-1260	-1650	0	0
			29	0,00	0,00	-17824	-2283	-3647	0	0	-10326	-1264	-1701	0	0
			30	0,00	0,00	-23375	-2623	5392	0	0	-11768	-1036	3068	0	0
			31	0,00	0,00	-23315	-2620	5283	0	0	-11755	-1040	3016	0	0
			32	0,00	0,00	-22878	-2597	4501	0	0	-11658	-1071	2646	0	0
			33	0,00	0,00	-22817	-2594	4392	0	0	-11645	-1076	2595	0	0

## DETTAGLIO GERARCHIA RESISTENZA ASTE

Nodo 3D	Pilas. Infer. Asta3d	Pilas. Super. Asta3d	Comb N.ro	AlfaX	AlfaY	PILASTRO INFERIORE					PILASTRO SUPERIORE				
						N (kg)	Mx (kgm)	My (kgm)	AlfaX*Mx (kgm)	AlfaY*My (kgm)	N (kg)	Mx (kgm)	My (kgm)	AlfaX*Mx (kgm)	AlfaY*My (kgm)
96	146	208	1	0,00	0,00	-28407	-817	-2061	0	0	-10645	-408	-2418	0	0
			2	0,00	0,00	-17521	5507	-2126	0	0	-6757	2077	-1862	0	0
			3	0,00	0,00	-17161	6138	-1778	0	0	-6657	2306	-1705	0	0
			4	0,00	0,00	-17255	5973	-1869	0	0	-6683	2246	-1746	0	0
			5	0,00	0,00	-16896	6605	-1522	0	0	-6583	2475	-1589	0	0
			6	0,00	0,00	-14822	6460	691	0	0	-5947	2452	-440	0	0
			7	0,00	0,00	-14463	7092	1039	0	0	-5847	2681	-283	0	0
			8	0,00	0,00	-15088	5993	435	0	0	-6021	2282	-556	0	0
			9	0,00	0,00	-14729	6625	782	0	0	-5921	2512	-399	0	0
			10	0,00	0,00	-19078	-7432	-3062	0	0	-7223	-2963	-2306	0	0
			11	0,00	0,00	-19437	-8064	-3410	0	0	-7323	-3192	-2463	0	0
			12	0,00	0,00	-18813	-6966	-2806	0	0	-7149	-2793	-2191	0	0
			13	0,00	0,00	-19172	-7597	-3153	0	0	-7249	-3023	-2347	0	0
			14	0,00	0,00	-16380	-6479	-245	0	0	-6413	-2588	-885	0	0
			15	0,00	0,00	-16739	-7111	-592	0	0	-6513	-2817	-1042	0	0
			16	0,00	0,00	-16645	-6945	-502	0	0	-6487	-2757	-1001	0	0
			17	0,00	0,00	-17004	-7577	-849	0	0	-6587	-2986	-1157	0	0
			18	0,00	0,00	-21213	-134	-5740	0	0	-7866	-125	-3676	0	0
			19	0,00	0,00	-21106	55	-5636	0	0	-7835	-56	-3629	0	0
			20	0,00	0,00	-20329	1421	-4885	0	0	-7619	440	-3290	0	0
			21	0,00	0,00	-20222	1611	-4781	0	0	-7589	509	-3243	0	0

## DETTAGLIO GERARCHIA RESISTENZA ASTE

Nodo 3D	Pilas. Infer. Asta3d	Pilas. Super. Asta3d	Comb N.ro	AlfaX	AlfaY	PILASTRO INFERIORE					PILASTRO SUPERIORE				
						N (kg)	Mx (kgm)	My (kgm)	AlfaX*Mx (kgm)	AlfaY*My (kgm)	N (kg)	Mx (kgm)	My (kgm)	AlfaX*Mx (kgm)	AlfaY*My (kgm)
			22	0,00	0,00	-12220	3044	3650	0	0	-5165	1125	1063	0	0
			23	0,00	0,00	-12112	3233	3755	0	0	-5135	1194	1110	0	0
			24	0,00	0,00	-13104	1488	2795	0	0	-5411	561	677	0	0
			25	0,00	0,00	-12996	1678	2899	0	0	-5381	630	724	0	0
			26	0,00	0,00	-21681	-4016	-6021	0	0	-8005	-1636	-3809	0	0
			27	0,00	0,00	-21788	-4205	-6125	0	0	-8035	-1705	-3856	0	0
			28	0,00	0,00	-20797	-2461	-5166	0	0	-7759	-1072	-3423	0	0
			29	0,00	0,00	-20904	-2650	-5270	0	0	-7789	-1141	-3471	0	0
			30	0,00	0,00	-12687	-838	3369	0	0	-5304	-386	930	0	0
			31	0,00	0,00	-12795	-1028	3265	0	0	-5334	-455	883	0	0
			32	0,00	0,00	-13571	-2393	2514	0	0	-5551	-951	544	0	0
			33	0,00	0,00	-13679	-2583	2410	0	0	-5581	-1020	497	0	0

## DETTAGLIO GERARCHIA RESISTENZA ASTE

Nodo 3D	Pilas. Infer. Asta3d	Pilas. Super. Asta3d	Comb N.ro	AlfaX	AlfaY	PILASTRO INFERIORE					PILASTRO SUPERIORE				
						N (kg)	Mx (kgm)	My (kgm)	AlfaX*Mx (kgm)	AlfaY*My (kgm)	N (kg)	Mx (kgm)	My (kgm)	AlfaX*Mx (kgm)	AlfaY*My (kgm)
97	147	209	1	0,00	0,00	-19413	421	-1679	0	0	-7406	-226	-1421	0	0
			2	0,00	0,00	-14134	-873	-3451	0	0	-5204	-272	-2102	0	0
			3	0,00	0,00	-14251	-52	-3156	0	0	-5237	-125	-1953	0	0
			4	0,00	0,00	-14220	-267	-3233	0	0	-5229	-164	-1992	0	0
			5	0,00	0,00	-14337	554	-2938	0	0	-5263	-17	-1842	0	0
			6	0,00	0,00	-16589	4097	-2844	0	0	-5919	1154	-1738	0	0
			7	0,00	0,00	-16706	4918	-2548	0	0	-5953	1300	-1589	0	0
			8	0,00	0,00	-16502	3490	-3062	0	0	-5894	1046	-1849	0	0
			9	0,00	0,00	-16619	4311	-2767	0	0	-5928	1192	-1699	0	0
			10	0,00	0,00	-7982	-3051	959	0	0	-3458	-1060	151	0	0
			11	0,00	0,00	-7865	-3872	664	0	0	-3424	-1207	1	0	0
			12	0,00	0,00	-8068	-2445	1178	0	0	-3483	-952	261	0	0
			13	0,00	0,00	-7951	-3266	882	0	0	-3449	-1099	112	0	0
			14	0,00	0,00	-10437	1919	1567	0	0	-4174	365	515	0	0
			15	0,00	0,00	-10320	1098	1271	0	0	-4140	219	365	0	0
			16	0,00	0,00	-10351	1312	1349	0	0	-4149	257	404	0	0
			17	0,00	0,00	-10234	491	1053	0	0	-4115	111	255	0	0
			18	0,00	0,00	-9116	-7433	-2616	0	0	-3758	-2211	-1739	0	0
			19	0,00	0,00	-9151	-7187	-2528	0	0	-3768	-2167	-1694	0	0
			20	0,00	0,00	-9404	-5412	-1889	0	0	-3841	-1850	-1371	0	0
			21	0,00	0,00	-9439	-5166	-1800	0	0	-3851	-1807	-1326	0	0
			22	0,00	0,00	-17300	9132	-591	0	0	-6143	2541	-525	0	0
			23	0,00	0,00	-17335	9379	-503	0	0	-6153	2585	-480	0	0
			24	0,00	0,00	-17012	7111	-1319	0	0	-6060	2181	-893	0	0
			25	0,00	0,00	-17047	7358	-1230	0	0	-6070	2224	-848	0	0
			26	0,00	0,00	-7271	-8087	-1293	0	0	-3234	-2447	-1063	0	0
			27	0,00	0,00	-7235	-8333	-1382	0	0	-3224	-2491	-1108	0	0
			28	0,00	0,00	-7559	-6066	-566	0	0	-3318	-2087	-695	0	0
			29	0,00	0,00	-7523	-6312	-654	0	0	-3307	-2131	-739	0	0
			30	0,00	0,00	-15455	8479	732	0	0	-5620	2304	151	0	0
			31	0,00	0,00	-15420	8233	643	0	0	-5609	2260	106	0	0
			32	0,00	0,00	-15167	6458	4	0	0	-5536	1944	-217	0	0
			33	0,00	0,00	-15132	6212	-84	0	0	-5526	1900	-262	0	0

## DETTAGLIO GERARCHIA RESISTENZA ASTE

Nodo 3D	Pilas. Infer. Asta3d	Pilas. Super. Asta3d	Comb N.ro	AlfaX	AlfaY	PILASTRO INFERIORE					PILASTRO SUPERIORE				
						N (kg)	Mx (kgm)	My (kgm)	AlfaX*Mx (kgm)	AlfaY*My (kgm)	N (kg)	Mx (kgm)	My (kgm)	AlfaX*Mx (kgm)	AlfaY*My (kgm)
98	148	210	1	0,00	0,00	-28222	1490	-809	0	0	-12483	545	-827	0	0
			2	0,00	0,00	-20938	-1190	-2533	0	0	-8420	-387	-1495	0	0
			3	0,00	0,00	-21012	198	-2548	0	0	-8444	53	-1519	0	0
			4	0,00	0,00	-20992	-165	-2544	0	0	-8438	-62	-1513	0	0
			5	0,00	0,00	-21066	1223	-2559	0	0	-8462	378	-1536	0	0
			6	0,00	0,00	-21358	7243	-2700	0	0	-8565	2699	-1649	0	0
			7	0,00	0,00	-21431	8631	-2715	0	0	-8590	3139	-1672	0	0
			8	0,00	0,00	-21303	6218	-2689	0	0	-8548	2374	-1632	0	0
			9	0,00	0,00	-21377	7606	-2704	0	0	-8572	2814	-1655	0	0
			10	0,00	0,00	-14651	-5563	1857	0	0	-6636	-2106	785	0	0
			11	0,00	0,00	-14578	-6951	1871	0	0	-6612	-2547	808	0	0
			12	0,00	0,00	-14706	-4538	1846	0	0	-6654	-1781	768	0	0
			13	0,00	0,00	-14632	-5926	1860	0	0	-6630	-2222	791	0	0
			14	0,00	0,00	-15071	2870	1690	0	0	-6781	980	631	0	0
			15	0,00	0,00	-14997	1482	1704	0	0	-6757	540	654	0	0
			16	0,00	0,00	-15017	1845	1700	0	0	-6764	655	648	0	0
			17	0,00	0,00	-14943	457	1715	0	0	-6739	215	672	0	0
			18	0,00	0,00	-18248	-12560	-802	0	0	-7627	-4590	-518	0	0
			19	0,00	0,00	-18270	-12143	-806	0	0	-7634	-4458	-525	0	0
			20	0,00	0,00	-18429	-9143	-838	0	0	-7686	-3507	-575	0	0
			21	0,00	0,00	-18452	-8727	-842	0	0	-7693	-3374	-582	0	0

## DETTAGLIO GERARCHIA RESISTENZA ASTE

Nodo 3D	Pilas. Infer. Asta3d	Pilas. Super. Asta3d	Comb N.ro	AlfaX	AlfaY	PILASTRO INFERIORE					PILASTRO SUPERIORE				
						N (kg)	Mx (kgm)	My (kgm)	AlfaX*Mx (kgm)	AlfaY*My (kgm)	N (kg)	Mx (kgm)	My (kgm)	AlfaX*Mx (kgm)	AlfaY*My (kgm)
			22	0,00	0,00	-19647	15551	-1359	0	0	-8110	5698	-1031	0	0
			23	0,00	0,00	-19669	15968	-1363	0	0	-8118	5831	-1037	0	0
			24	0,00	0,00	-19466	12135	-1323	0	0	-8051	4615	-973	0	0
			25	0,00	0,00	-19488	12551	-1327	0	0	-8058	4747	-980	0	0
			26	0,00	0,00	-16362	-13872	515	0	0	-7091	-5106	166	0	0
			27	0,00	0,00	-16340	-14288	519	0	0	-7084	-5238	173	0	0
			28	0,00	0,00	-16543	-10455	479	0	0	-7151	-4022	109	0	0
			29	0,00	0,00	-16521	-10871	483	0	0	-7144	-4154	116	0	0
			30	0,00	0,00	-17761	14240	-42	0	0	-7575	5183	-346	0	0
			31	0,00	0,00	-17739	13823	-37	0	0	-7568	5051	-339	0	0
			32	0,00	0,00	-17580	10823	-6	0	0	-7516	4099	-289	0	0
			33	0,00	0,00	-17558	10406	-1	0	0	-7508	3967	-282	0	0

## DETTAGLIO GERARCHIA RESISTENZA ASTE

Nodo 3D	Pilas. Infer. Asta3d	Pilas. Super. Asta3d	Comb N.ro	AlfaX	AlfaY	PILASTRO INFERIORE					PILASTRO SUPERIORE				
						N (kg)	Mx (kgm)	My (kgm)	AlfaX*Mx (kgm)	AlfaY*My (kgm)	N (kg)	Mx (kgm)	My (kgm)	AlfaX*Mx (kgm)	AlfaY*My (kgm)
99	149	211	1	0,00	0,00	-21256	861	-2063	0	0	-7880	563	-2081	0	0
			2	0,00	0,00	-18248	3900	-2188	0	0	-6367	1457	-1715	0	0
			3	0,00	0,00	-18070	4292	-1637	0	0	-6315	1564	-1451	0	0
			4	0,00	0,00	-18117	4190	-1781	0	0	-6328	1536	-1520	0	0
			5	0,00	0,00	-17938	4582	-1231	0	0	-6276	1643	-1256	0	0
			6	0,00	0,00	-15260	4595	1126	0	0	-5512	1705	-5	0	0
			7	0,00	0,00	-15082	4987	1676	0	0	-5460	1812	259	0	0
			8	0,00	0,00	-15392	4305	720	0	0	-5550	1626	-200	0	0
			9	0,00	0,00	-15214	4697	1270	0	0	-5498	1733	64	0	0
			10	0,00	0,00	-11034	-3710	-3843	0	0	-4381	-1098	-2597	0	0
			11	0,00	0,00	-11212	-4103	-4393	0	0	-4433	-1205	-2861	0	0
			12	0,00	0,00	-10902	-3421	-3437	0	0	-4343	-1020	-2402	0	0
			13	0,00	0,00	-11080	-3813	-3987	0	0	-4395	-1126	-2666	0	0
			14	0,00	0,00	-8046	-3016	-529	0	0	-3527	-850	-886	0	0
			15	0,00	0,00	-8224	-3408	-1080	0	0	-3579	-957	-1150	0	0
			16	0,00	0,00	-8177	-3305	-936	0	0	-3565	-929	-1081	0	0
			17	0,00	0,00	-8356	-3697	-1486	0	0	-3617	-1036	-1345	0	0
			18	0,00	0,00	-19209	426	-6633	0	0	-6669	273	-4020	0	0
			19	0,00	0,00	-19156	544	-6468	0	0	-6654	305	-3940	0	0
			20	0,00	0,00	-18770	1391	-5279	0	0	-6541	536	-3370	0	0
			21	0,00	0,00	-18716	1509	-5113	0	0	-6526	568	-3290	0	0
			22	0,00	0,00	-9249	2741	4413	0	0	-3820	1100	1683	0	0
			23	0,00	0,00	-9196	2859	4578	0	0	-3804	1133	1762	0	0
			24	0,00	0,00	-9689	1776	3058	0	0	-3948	837	1033	0	0
			25	0,00	0,00	-9635	1894	3223	0	0	-3932	869	1112	0	0
			26	0,00	0,00	-17045	-1857	-7130	0	0	-6074	-494	-4284	0	0
			27	0,00	0,00	-17098	-1975	-7295	0	0	-6089	-526	-4363	0	0
			28	0,00	0,00	-16605	-892	-5775	0	0	-5946	-230	-3634	0	0
			29	0,00	0,00	-16659	-1010	-5940	0	0	-5961	-263	-3713	0	0
			30	0,00	0,00	-7085	458	3916	0	0	-3224	334	1418	0	0
			31	0,00	0,00	-7138	341	3751	0	0	-3240	302	1339	0	0
			32	0,00	0,00	-7524	-507	2562	0	0	-3352	71	768	0	0
			33	0,00	0,00	-7578	-625	2396	0	0	-3368	38	689	0	0

## DETTAGLIO GERARCHIA RESISTENZA ASTE

Nodo 3D	Pilas. Infer. Asta3d	Pilas. Super. Asta3d	Comb N.ro	AlfaX	AlfaY	PILASTRO INFERIORE					PILASTRO SUPERIORE				
						N (kg)	Mx (kgm)	My (kgm)	AlfaX*Mx (kgm)	AlfaY*My (kgm)	N (kg)	Mx (kgm)	My (kgm)	AlfaX*Mx (kgm)	AlfaY*My (kgm)
101	188		1	0,00	0,00	-5665	28	1138	0	0					
			2	0,00	0,00	-2228	-1430	-617	0	0					
			3	0,00	0,00	-2194	-1833	-447	0	0					
			4	0,00	0,00	-2203	-1728	-492	0	0					
			5	0,00	0,00	-2169	-2131	-322	0	0					
			6	0,00	0,00	-2880	274	-643	0	0					
			7	0,00	0,00	-2847	-129	-473	0	0					
			8	0,00	0,00	-2906	572	-768	0	0					
			9	0,00	0,00	-2872	168	-598	0	0					
			10	0,00	0,00	-4041	23	1944	0	0					
			11	0,00	0,00	-4075	426	1774	0	0					
			12	0,00	0,00	-4016	-275	2069	0	0					
			13	0,00	0,00	-4050	128	1899	0	0					
			14	0,00	0,00	-4694	1726	1918	0	0					
			15	0,00	0,00	-4728	2130	1748	0	0					
			16	0,00	0,00	-4719	2024	1792	0	0					
			17	0,00	0,00	-4753	2428	1622	0	0					
			18	0,00	0,00	-2101	-2909	309	0	0					
			19	0,00	0,00	-2091	-3030	360	0	0					
			20	0,00	0,00	-2018	-3903	728	0	0					

## DETTAGLIO GERARCHIA RESISTENZA ASTE

Nodo 3D	Pilas. Infer. Asta3d	Pilas. Super. Asta3d	Comb N.ro	AlfaX	AlfaY	PILASTRO INFERIORE					PILASTRO SUPERIORE				
						N (kg)	Mx (kgm)	My (kgm)	AlfaX*Mx (kgm)	AlfaY*My (kgm)	N (kg)	Mx (kgm)	My (kgm)	AlfaX*Mx (kgm)	AlfaY*My (kgm)
			21	0,00	0,00	-2008	-4024	779	0	0					
			22	0,00	0,00	-4276	2770	223	0	0					
			23	0,00	0,00	-4266	2649	274	0	0					
			24	0,00	0,00	-4360	3763	-195	0	0					
			25	0,00	0,00	-4350	3642	-144	0	0					
			26	0,00	0,00	-2645	-2474	1077	0	0					
			27	0,00	0,00	-2656	-2353	1026	0	0					
			28	0,00	0,00	-2562	-3467	1496	0	0					
			29	0,00	0,00	-2572	-3346	1445	0	0					
			30	0,00	0,00	-4820	3206	992	0	0					
			31	0,00	0,00	-4830	3327	941	0	0					
			32	0,00	0,00	-4904	4199	573	0	0					
			33	0,00	0,00	-4914	4320	522	0	0					

## DETTAGLIO GERARCHIA RESISTENZA ASTE

Nodo 3D	Pilas. Infer. Asta3d	Pilas. Super. Asta3d	Comb N.ro	AlfaX	AlfaY	PILASTRO INFERIORE					PILASTRO SUPERIORE				
						N (kg)	Mx (kgm)	My (kgm)	AlfaX*Mx (kgm)	AlfaY*My (kgm)	N (kg)	Mx (kgm)	My (kgm)	AlfaX*Mx (kgm)	AlfaY*My (kgm)
102	189		1	0,00	0,00	-10877	605	941	0	0					
			2	0,00	0,00	-5483	-2529	-858	0	0					
			3	0,00	0,00	-5459	-3211	-880	0	0					
			4	0,00	0,00	-5465	-3032	-874	0	0					
			5	0,00	0,00	-5441	-3714	-896	0	0					
			6	0,00	0,00	-5565	338	-741	0	0					
			7	0,00	0,00	-5541	-344	-764	0	0					
			8	0,00	0,00	-5583	842	-725	0	0					
			9	0,00	0,00	-5559	160	-747	0	0					
			10	0,00	0,00	-7270	226	1730	0	0					
			11	0,00	0,00	-7294	908	1752	0	0					
			12	0,00	0,00	-7252	-278	1714	0	0					
			13	0,00	0,00	-7276	404	1736	0	0					
			14	0,00	0,00	-7352	3093	1847	0	0					
			15	0,00	0,00	-7376	3775	1869	0	0					
			16	0,00	0,00	-7370	3596	1863	0	0					
			17	0,00	0,00	-7394	4278	1885	0	0					
			18	0,00	0,00	-6012	-4909	-88	0	0					
			19	0,00	0,00	-6005	-5114	-94	0	0					
			20	0,00	0,00	-5952	-6588	-142	0	0					
			21	0,00	0,00	-5945	-6793	-149	0	0					
			22	0,00	0,00	-6287	4647	300	0	0					
			23	0,00	0,00	-6280	4442	294	0	0					
			24	0,00	0,00	-6347	6326	355	0	0					
			25	0,00	0,00	-6339	6121	348	0	0					
			26	0,00	0,00	-6548	-4083	689	0	0					
			27	0,00	0,00	-6555	-3878	695	0	0					
			28	0,00	0,00	-6488	-5762	634	0	0					
			29	0,00	0,00	-6496	-5557	641	0	0					
			30	0,00	0,00	-6823	5473	1077	0	0					
			31	0,00	0,00	-6830	5678	1083	0	0					
			32	0,00	0,00	-6883	7152	1131	0	0					
			33	0,00	0,00	-6890	7357	1138	0	0					

## DETTAGLIO GERARCHIA RESISTENZA ASTE

Nodo 3D	Pilas. Infer. Asta3d	Pilas. Super. Asta3d	Comb N.ro	AlfaX	AlfaY	PILASTRO INFERIORE					PILASTRO SUPERIORE				
						N (kg)	Mx (kgm)	My (kgm)	AlfaX*Mx (kgm)	AlfaY*My (kgm)	N (kg)	Mx (kgm)	My (kgm)	AlfaX*Mx (kgm)	AlfaY*My (kgm)
103	190		1	0,00	0,00	-6302	-365	-2293	0	0					
			2	0,00	0,00	-3149	1723	-2651	0	0					
			3	0,00	0,00	-3201	1918	-2969	0	0					
			4	0,00	0,00	-3187	1867	-2886	0	0					
			5	0,00	0,00	-3239	2061	-3205	0	0					
			6	0,00	0,00	-2421	1775	-1347	0	0					
			7	0,00	0,00	-2473	1969	-1665	0	0					
			8	0,00	0,00	-2383	1631	-1111	0	0					
			9	0,00	0,00	-2435	1826	-1430	0	0					
			10	0,00	0,00	-5123	-2252	-1392	0	0					
			11	0,00	0,00	-5071	-2447	-1074	0	0					
			12	0,00	0,00	-5161	-2109	-1627	0	0					
			13	0,00	0,00	-5109	-2303	-1309	0	0					
			14	0,00	0,00	-4395	-2201	-88	0	0					
			15	0,00	0,00	-4343	-2395	230	0	0					
			16	0,00	0,00	-4356	-2344	147	0	0					
			17	0,00	0,00	-4305	-2539	466	0	0					
			18	0,00	0,00	-4689	271	-3732	0	0					
			19	0,00	0,00	-4705	330	-3827	0	0					
			20	0,00	0,00	-4817	750	-4516	0	0					

## DETTAGLIO GERARCHIA RESISTENZA ASTE

Nodo 3D	Pilas. Infer. Asta3d	Pilas. Super. Asta3d	Comb N.ro	AlfaX	AlfaY	PILASTRO INFERIORE					PILASTRO SUPERIORE				
						N (kg)	Mx (kgm)	My (kgm)	AlfaX*Mx (kgm)	AlfaY*My (kgm)	N (kg)	Mx (kgm)	My (kgm)	AlfaX*Mx (kgm)	AlfaY*My (kgm)
			21	0,00	0,00	-4833	809	-4611	0	0					
			22	0,00	0,00	-2262	444	615	0	0					
			23	0,00	0,00	-2278	502	520	0	0					
			24	0,00	0,00	-2135	-35	1399	0	0					
			25	0,00	0,00	-2150	23	1304	0	0					
			26	0,00	0,00	-5281	-921	-3354	0	0					
			27	0,00	0,00	-5266	-980	-3259	0	0					
			28	0,00	0,00	-5409	-442	-4138	0	0					
			29	0,00	0,00	-5394	-501	-4043	0	0					
			30	0,00	0,00	-2855	-749	993	0	0					
			31	0,00	0,00	-2839	-807	1088	0	0					
			32	0,00	0,00	-2727	-1228	1777	0	0					
			33	0,00	0,00	-2711	-1286	1872	0	0					

## DETTAGLIO GERARCHIA RESISTENZA ASTE

Nodo 3D	Pilas. Infer. Asta3d	Pilas. Super. Asta3d	Comb N.ro	AlfaX	AlfaY	PILASTRO INFERIORE					PILASTRO SUPERIORE				
						N (kg)	Mx (kgm)	My (kgm)	AlfaX*Mx (kgm)	AlfaY*My (kgm)	N (kg)	Mx (kgm)	My (kgm)	AlfaX*Mx (kgm)	AlfaY*My (kgm)
104	191		1	0,00	0,00	-10755	283	392	0	0					
			2	0,00	0,00	-5983	2997	143	0	0					
			3	0,00	0,00	-5929	2664	110	0	0					
			4	0,00	0,00	-5943	2751	119	0	0					
			5	0,00	0,00	-5888	2419	86	0	0					
			6	0,00	0,00	-6250	2992	362	0	0					
			7	0,00	0,00	-6195	2660	329	0	0					
			8	0,00	0,00	-6290	3238	387	0	0					
			9	0,00	0,00	-6235	2906	354	0	0					
			10	0,00	0,00	-6175	-2610	278	0	0					
			11	0,00	0,00	-6229	-2277	311	0	0					
			12	0,00	0,00	-6134	-2855	253	0	0					
			13	0,00	0,00	-6189	-2523	286	0	0					
			14	0,00	0,00	-6441	-2614	497	0	0					
			15	0,00	0,00	-6496	-2282	530	0	0					
			16	0,00	0,00	-6481	-2369	521	0	0					
			17	0,00	0,00	-6536	-2036	554	0	0					
			18	0,00	0,00	-5739	1040	-65	0	0					
			19	0,00	0,00	-5723	940	-75	0	0					
			20	0,00	0,00	-5605	221	-147	0	0					
			21	0,00	0,00	-5589	122	-157	0	0					
			22	0,00	0,00	-6628	1025	665	0	0					
			23	0,00	0,00	-6611	925	655	0	0					
			24	0,00	0,00	-6762	1843	746	0	0					
			25	0,00	0,00	-6745	1744	736	0	0					
			26	0,00	0,00	-5797	-642	-25	0	0					
			27	0,00	0,00	-5813	-543	-15	0	0					
			28	0,00	0,00	-5663	-1461	-106	0	0					
			29	0,00	0,00	-5679	-1361	-96	0	0					
			30	0,00	0,00	-6685	-657	705	0	0					
			31	0,00	0,00	-6701	-557	715	0	0					
			32	0,00	0,00	-6819	161	786	0	0					
			33	0,00	0,00	-6836	261	796	0	0					

## DETTAGLIO GERARCHIA RESISTENZA ASTE

Nodo 3D	Pilas. Infer. Asta3d	Pilas. Super. Asta3d	Comb N.ro	AlfaX	AlfaY	PILASTRO INFERIORE					PILASTRO SUPERIORE				
						N (kg)	Mx (kgm)	My (kgm)	AlfaX*Mx (kgm)	AlfaY*My (kgm)	N (kg)	Mx (kgm)	My (kgm)	AlfaX*Mx (kgm)	AlfaY*My (kgm)
105	192		1	0,00	0,00	-16957	792	1388	0	0					
			2	0,00	0,00	-9585	3414	-345	0	0					
			3	0,00	0,00	-9540	3428	-556	0	0					
			4	0,00	0,00	-9552	3425	-501	0	0					
			5	0,00	0,00	-9507	3438	-711	0	0					
			6	0,00	0,00	-9947	3351	1029	0	0					
			7	0,00	0,00	-9903	3365	818	0	0					
			8	0,00	0,00	-9980	3340	1184	0	0					
			9	0,00	0,00	-9936	3354	974	0	0					
			10	0,00	0,00	-9814	-2342	459	0	0					
			11	0,00	0,00	-9858	-2356	669	0	0					
			12	0,00	0,00	-9781	-2331	304	0	0					
			13	0,00	0,00	-9825	-2345	514	0	0					
			14	0,00	0,00	-10176	-2405	1833	0	0					
			15	0,00	0,00	-10221	-2419	2044	0	0					
			16	0,00	0,00	-10209	-2416	1989	0	0					
			17	0,00	0,00	-10254	-2430	2199	0	0					
			18	0,00	0,00	-9242	1474	-1667	0	0					
			19	0,00	0,00	-9229	1478	-1730	0	0					
			20	0,00	0,00	-9133	1508	-2185	0	0					

## DETTAGLIO GERARCHIA RESISTENZA ASTE

Nodo 3D	Pilas. Infer. Asta3d	Pilas. Super. Asta3d	Comb N.ro	AlfaX	AlfaY	PILASTRO INFERIORE					PILASTRO SUPERIORE				
						N (kg)	Mx (kgm)	My (kgm)	AlfaX*Mx (kgm)	AlfaY*My (kgm)	N (kg)	Mx (kgm)	My (kgm)	AlfaX*Mx (kgm)	AlfaY*My (kgm)
			21	0,00	0,00	-9119	1512	-2248	0	0					
			22	0,00	0,00	-10450	1262	2914	0	0					
			23	0,00	0,00	-10437	1266	2851	0	0					
			24	0,00	0,00	-10560	1227	3432	0	0					
			25	0,00	0,00	-10547	1232	3369	0	0					
			26	0,00	0,00	-9311	-253	-1426	0	0					
			27	0,00	0,00	-9324	-257	-1363	0	0					
			28	0,00	0,00	-9201	-218	-1944	0	0					
			29	0,00	0,00	-9215	-223	-1881	0	0					
			30	0,00	0,00	-10519	-465	3155	0	0					
			31	0,00	0,00	-10532	-469	3218	0	0					
			32	0,00	0,00	-10628	-499	3673	0	0					
			33	0,00	0,00	-10642	-503	3736	0	0					

## DETTAGLIO GERARCHIA RESISTENZA ASTE

Nodo 3D	Pilas. Infer. Asta3d	Pilas. Super. Asta3d	Comb N.ro	AlfaX	AlfaY	PILASTRO INFERIORE					PILASTRO SUPERIORE				
						N (kg)	Mx (kgm)	My (kgm)	AlfaX*Mx (kgm)	AlfaY*My (kgm)	N (kg)	Mx (kgm)	My (kgm)	AlfaX*Mx (kgm)	AlfaY*My (kgm)
106	193		1	0,00	0,00	-9680	179	-3151	0	0					
			2	0,00	0,00	-6277	3204	-2795	0	0					
			3	0,00	0,00	-6377	3510	-2993	0	0					
			4	0,00	0,00	-6351	3430	-2941	0	0					
			5	0,00	0,00	-6451	3736	-3140	0	0					
			6	0,00	0,00	-5688	3557	-1499	0	0					
			7	0,00	0,00	-5788	3863	-1698	0	0					
			8	0,00	0,00	-5614	3331	-1353	0	0					
			9	0,00	0,00	-5714	3637	-1551	0	0					
			10	0,00	0,00	-5721	-3285	-2037	0	0					
			11	0,00	0,00	-5621	-3591	-1838	0	0					
			12	0,00	0,00	-5795	-3059	-2183	0	0					
			13	0,00	0,00	-5695	-3365	-1985	0	0					
			14	0,00	0,00	-5132	-2932	-742	0	0					
			15	0,00	0,00	-5032	-3238	-543	0	0					
			16	0,00	0,00	-5058	-3158	-595	0	0					
			17	0,00	0,00	-4958	-3464	-397	0	0					
			18	0,00	0,00	-6769	521	-4041	0	0					
			19	0,00	0,00	-6799	613	-4100	0	0					
			20	0,00	0,00	-7016	1274	-4529	0	0					
			21	0,00	0,00	-7046	1366	-4589	0	0					
			22	0,00	0,00	-4806	1698	277	0	0					
			23	0,00	0,00	-4836	1790	217	0	0					
			24	0,00	0,00	-4560	945	765	0	0					
			25	0,00	0,00	-4590	1036	706	0	0					
			26	0,00	0,00	-6602	-1426	-3813	0	0					
			27	0,00	0,00	-6572	-1518	-3754	0	0					
			28	0,00	0,00	-6849	-673	-4302	0	0					
			29	0,00	0,00	-6819	-764	-4242	0	0					
			30	0,00	0,00	-4640	-249	504	0	0					
			31	0,00	0,00	-4610	-341	564	0	0					
			32	0,00	0,00	-4393	-1002	993	0	0					
			33	0,00	0,00	-4363	-1094	1052	0	0					

## DETTAGLIO GERARCHIA RESISTENZA ASTE

Nodo 3D	Pilas. Infer. Asta3d	Pilas. Super. Asta3d	Comb N.ro	AlfaX	AlfaY	PILASTRO INFERIORE					PILASTRO SUPERIORE				
						N (kg)	Mx (kgm)	My (kgm)	AlfaX*Mx (kgm)	AlfaY*My (kgm)	N (kg)	Mx (kgm)	My (kgm)	AlfaX*Mx (kgm)	AlfaY*My (kgm)
107	194		1	0,00	0,00	-9726	138	1255	0	0					
			2	0,00	0,00	-5498	3203	-152	0	0					
			3	0,00	0,00	-5487	2892	-262	0	0					
			4	0,00	0,00	-5490	2973	-234	0	0					
			5	0,00	0,00	-5479	2663	-344	0	0					
			6	0,00	0,00	-5777	2735	1125	0	0					
			7	0,00	0,00	-5767	2425	1014	0	0					
			8	0,00	0,00	-5785	2964	1207	0	0					
			9	0,00	0,00	-5775	2654	1096	0	0					
			10	0,00	0,00	-5753	-2626	359	0	0					
			11	0,00	0,00	-5764	-2316	469	0	0					
			12	0,00	0,00	-5745	-2855	277	0	0					
			13	0,00	0,00	-5756	-2545	388	0	0					
			14	0,00	0,00	-6032	-3094	1635	0	0					
			15	0,00	0,00	-6043	-2784	1746	0	0					
			16	0,00	0,00	-6040	-2865	1717	0	0					
			17	0,00	0,00	-6051	-2554	1828	0	0					
			18	0,00	0,00	-5261	1708	-1463	0	0					
			19	0,00	0,00	-5258	1615	-1496	0	0					
			20	0,00	0,00	-5234	944	-1735	0	0					

## DETTAGLIO GERARCHIA RESISTENZA ASTE

Nodo 3D	Pilas. Infer. Asta3d	Pilas. Super. Asta3d	Comb N.ro	AlfaX	AlfaY	PILASTRO INFERIORE					PILASTRO SUPERIORE				
						N (kg)	Mx (kgm)	My (kgm)	AlfaX*Mx (kgm)	AlfaY*My (kgm)	N (kg)	Mx (kgm)	My (kgm)	AlfaX*Mx (kgm)	AlfaY*My (kgm)
			21	0,00	0,00	-5231	851	-1768	0	0					
			22	0,00	0,00	-6193	149	2793	0	0					
			23	0,00	0,00	-6190	56	2760	0	0					
			24	0,00	0,00	-6219	913	3066	0	0					
			25	0,00	0,00	-6216	820	3032	0	0					
			26	0,00	0,00	-5338	-40	-1310	0	0					
			27	0,00	0,00	-5341	53	-1276	0	0					
			28	0,00	0,00	-5311	-804	-1582	0	0					
			29	0,00	0,00	-5314	-711	-1549	0	0					
			30	0,00	0,00	-6269	-1600	2946	0	0					
			31	0,00	0,00	-6273	-1507	2979	0	0					
			32	0,00	0,00	-6296	-836	3219	0	0					
			33	0,00	0,00	-6299	-742	3252	0	0					

## DETTAGLIO GERARCHIA RESISTENZA ASTE

Nodo 3D	Pilas. Infer. Asta3d	Pilas. Super. Asta3d	Comb N.ro	AlfaX	AlfaY	PILASTRO INFERIORE					PILASTRO SUPERIORE				
						N (kg)	Mx (kgm)	My (kgm)	AlfaX*Mx (kgm)	AlfaY*My (kgm)	N (kg)	Mx (kgm)	My (kgm)	AlfaX*Mx (kgm)	AlfaY*My (kgm)
108	195		1	0,00	0,00	-18082	-895	-892	0	0					
			2	0,00	0,00	-10323	2471	-1819	0	0					
			3	0,00	0,00	-10309	2459	-1983	0	0					
			4	0,00	0,00	-10312	2462	-1940	0	0					
			5	0,00	0,00	-10298	2450	-2103	0	0					
			6	0,00	0,00	-10288	2705	55	0	0					
			7	0,00	0,00	-10274	2693	-109	0	0					
			8	0,00	0,00	-10299	2714	176	0	0					
			9	0,00	0,00	-10284	2702	12	0	0					
			10	0,00	0,00	-10869	-3822	-1098	0	0					
			11	0,00	0,00	-10883	-3810	-934	0	0					
			12	0,00	0,00	-10858	-3831	-1219	0	0					
			13	0,00	0,00	-10872	-3819	-1055	0	0					
			14	0,00	0,00	-10834	-3588	776	0	0					
			15	0,00	0,00	-10848	-3576	939	0	0					
			16	0,00	0,00	-10844	-3580	896	0	0					
			17	0,00	0,00	-10859	-3567	1060	0	0					
			18	0,00	0,00	-10555	-4	-3753	0	0					
			19	0,00	0,00	-10551	-8	-3802	0	0					
			20	0,00	0,00	-10520	-34	-4155	0	0					
			21	0,00	0,00	-10515	-37	-4205	0	0					
			22	0,00	0,00	-10438	775	2493	0	0					
			23	0,00	0,00	-10434	772	2444	0	0					
			24	0,00	0,00	-10474	805	2896	0	0					
			25	0,00	0,00	-10469	801	2847	0	0					
			26	0,00	0,00	-10719	-1892	-3536	0	0					
			27	0,00	0,00	-10723	-1889	-3487	0	0					
			28	0,00	0,00	-10683	-1922	-3939	0	0					
			29	0,00	0,00	-10687	-1918	-3890	0	0					
			30	0,00	0,00	-10602	-1113	2709	0	0					
			31	0,00	0,00	-10606	-1109	2758	0	0					
			32	0,00	0,00	-10637	-1083	3112	0	0					
			33	0,00	0,00	-10641	-1080	3161	0	0					

## DETTAGLIO GERARCHIA RESISTENZA ASTE

Nodo 3D	Pilas. Infer. Asta3d	Pilas. Super. Asta3d	Comb N.ro	AlfaX	AlfaY	PILASTRO INFERIORE					PILASTRO SUPERIORE				
						N (kg)	Mx (kgm)	My (kgm)	AlfaX*Mx (kgm)	AlfaY*My (kgm)	N (kg)	Mx (kgm)	My (kgm)	AlfaX*Mx (kgm)	AlfaY*My (kgm)
109	196		1	0,00	0,00	-9241	-1334	-1695	0	0					
			2	0,00	0,00	-5586	2534	-1904	0	0					
			3	0,00	0,00	-5618	2849	-2019	0	0					
			4	0,00	0,00	-5609	2767	-1989	0	0					
			5	0,00	0,00	-5641	3081	-2105	0	0					
			6	0,00	0,00	-5116	2905	-584	0	0					
			7	0,00	0,00	-5147	3219	-700	0	0					
			8	0,00	0,00	-5093	2673	-499	0	0					
			9	0,00	0,00	-5124	2987	-615	0	0					
			10	0,00	0,00	-5868	-4339	-1404	0	0					
			11	0,00	0,00	-5836	-4653	-1289	0	0					
			12	0,00	0,00	-5891	-4107	-1489	0	0					
			13	0,00	0,00	-5859	-4421	-1374	0	0					
			14	0,00	0,00	-5397	-3968	-84	0	0					
			15	0,00	0,00	-5366	-4283	31	0	0					
			16	0,00	0,00	-5374	-4200	1	0	0					
			17	0,00	0,00	-5343	-4515	116	0	0					
			18	0,00	0,00	-6233	-303	-3269	0	0					
			19	0,00	0,00	-6243	-209	-3303	0	0					
			20	0,00	0,00	-6311	471	-3553	0	0					

## DETTAGLIO GERARCHIA RESISTENZA ASTE

Nodo 3D	Pilas. Infer. Asta3d	Pilas. Super. Asta3d	Comb N.ro	AlfaX	AlfaY	PILASTRO INFERIORE					PILASTRO SUPERIORE				
						N (kg)	Mx (kgm)	My (kgm)	AlfaX*Mx (kgm)	AlfaY*My (kgm)	N (kg)	Mx (kgm)	My (kgm)	AlfaX*Mx (kgm)	AlfaY*My (kgm)
			21	0,00	0,00	-6320	565	-3587	0	0					
			22	0,00	0,00	-4666	931	1130	0	0					
			23	0,00	0,00	-4675	1026	1096	0	0					
			24	0,00	0,00	-4588	157	1414	0	0					
			25	0,00	0,00	-4598	252	1380	0	0					
			26	0,00	0,00	-6318	-2365	-3119	0	0					
			27	0,00	0,00	-6308	-2460	-3084	0	0					
			28	0,00	0,00	-6395	-1591	-3403	0	0					
			29	0,00	0,00	-6386	-1686	-3368	0	0					
			30	0,00	0,00	-4750	-1130	1280	0	0					
			31	0,00	0,00	-4741	-1225	1315	0	0					
			32	0,00	0,00	-4673	-1904	1564	0	0					
			33	0,00	0,00	-4663	-1999	1599	0	0					

## DETTAGLIO GERARCHIA RESISTENZA ASTE

Nodo 3D	Pilas. Infer. Asta3d	Pilas. Super. Asta3d	Comb N.ro	AlfaX	AlfaY	PILASTRO INFERIORE					PILASTRO SUPERIORE				
						N (kg)	Mx (kgm)	My (kgm)	AlfaX*Mx (kgm)	AlfaY*My (kgm)	N (kg)	Mx (kgm)	My (kgm)	AlfaX*Mx (kgm)	AlfaY*My (kgm)
110	197		1	0,00	0,00	-12087	9289	-237	0	0					
			2	0,00	0,00	-6546	3971	-2879	0	0					
			3	0,00	0,00	-6516	3824	-2567	0	0					
			4	0,00	0,00	-6524	3863	-2649	0	0					
			5	0,00	0,00	-6493	3716	-2337	0	0					
			6	0,00	0,00	-7689	7387	-2465	0	0					
			7	0,00	0,00	-7659	7240	-2153	0	0					
			8	0,00	0,00	-7712	7495	-2696	0	0					
			9	0,00	0,00	-7681	7348	-2384	0	0					
			10	0,00	0,00	-6243	2974	2242	0	0					
			11	0,00	0,00	-6274	3121	1930	0	0					
			12	0,00	0,00	-6221	2866	2472	0	0					
			13	0,00	0,00	-6251	3013	2160	0	0					
			14	0,00	0,00	-7387	6390	2656	0	0					
			15	0,00	0,00	-7417	6537	2344	0	0					
			16	0,00	0,00	-7409	6498	2425	0	0					
			17	0,00	0,00	-7439	6645	2113	0	0					
			18	0,00	0,00	-5107	-362	-1570	0	0					
			19	0,00	0,00	-5097	-406	-1476	0	0					
			20	0,00	0,00	-5032	-724	-802	0	0					
			21	0,00	0,00	-5023	-768	-708	0	0					
			22	0,00	0,00	-8917	11022	-190	0	0					
			23	0,00	0,00	-8908	10978	-97	0	0					
			24	0,00	0,00	-8992	11384	-958	0	0					
			25	0,00	0,00	-8983	11340	-865	0	0					
			26	0,00	0,00	-5016	-661	-33	0	0					
			27	0,00	0,00	-5025	-617	-127	0	0					
			28	0,00	0,00	-4941	-1023	734	0	0					
			29	0,00	0,00	-4950	-979	641	0	0					
			30	0,00	0,00	-8826	10723	1346	0	0					
			31	0,00	0,00	-8835	10767	1253	0	0					
			32	0,00	0,00	-8901	11085	578	0	0					
			33	0,00	0,00	-8910	11129	485	0	0					

## DETTAGLIO GERARCHIA RESISTENZA ASTE

Nodo 3D	Pilas. Infer. Asta3d	Pilas. Super. Asta3d	Comb N.ro	AlfaX	AlfaY	PILASTRO INFERIORE					PILASTRO SUPERIORE				
						N (kg)	Mx (kgm)	My (kgm)	AlfaX*Mx (kgm)	AlfaY*My (kgm)	N (kg)	Mx (kgm)	My (kgm)	AlfaX*Mx (kgm)	AlfaY*My (kgm)
111	198		1	0,00	0,00	-16099	855	-2389	0	0					
			2	0,00	0,00	-10166	3563	-2506	0	0					
			3	0,00	0,00	-10173	3573	-2555	0	0					
			4	0,00	0,00	-10171	3570	-2542	0	0					
			5	0,00	0,00	-10178	3580	-2591	0	0					
			6	0,00	0,00	-9359	3692	-566	0	0					
			7	0,00	0,00	-9366	3701	-614	0	0					
			8	0,00	0,00	-9354	3685	-530	0	0					
			9	0,00	0,00	-9361	3695	-579	0	0					
			10	0,00	0,00	-9320	-2757	-2093	0	0					
			11	0,00	0,00	-9313	-2766	-2044	0	0					
			12	0,00	0,00	-9325	-2750	-2128	0	0					
			13	0,00	0,00	-9318	-2759	-2080	0	0					
			14	0,00	0,00	-8513	-2628	-152	0	0					
			15	0,00	0,00	-8506	-2638	-103	0	0					
			16	0,00	0,00	-8508	-2635	-116	0	0					
			17	0,00	0,00	-8501	-2645	-68	0	0					
			18	0,00	0,00	-10812	1201	-4625	0	0					
			19	0,00	0,00	-10814	1204	-4640	0	0					
			20	0,00	0,00	-10828	1224	-4745	0	0					

## DETTAGLIO GERARCHIA RESISTENZA ASTE

Nodo 3D	Pilas. Infer. Asta3d	Pilas. Super. Asta3d	Comb N.ro	AlfaX	AlfaY	PILASTRO INFERIORE					PILASTRO SUPERIORE				
						N (kg)	Mx (kgm)	My (kgm)	AlfaX*Mx (kgm)	AlfaY*My (kgm)	N (kg)	Mx (kgm)	My (kgm)	AlfaX*Mx (kgm)	AlfaY*My (kgm)
			21	0,00	0,00	-10830	1227	-4759	0	0					
			22	0,00	0,00	-8121	1630	1843	0	0					
			23	0,00	0,00	-8123	1633	1828	0	0					
			24	0,00	0,00	-8104	1607	1962	0	0					
			25	0,00	0,00	-8106	1610	1948	0	0					
			26	0,00	0,00	-10558	-695	-4501	0	0					
			27	0,00	0,00	-10556	-698	-4487	0	0					
			28	0,00	0,00	-10575	-672	-4621	0	0					
			29	0,00	0,00	-10573	-675	-4606	0	0					
			30	0,00	0,00	-7867	-266	1967	0	0					
			31	0,00	0,00	-7865	-269	1982	0	0					
			32	0,00	0,00	-7851	-289	2087	0	0					
			33	0,00	0,00	-7849	-292	2101	0	0					

## DETTAGLIO GERARCHIA RESISTENZA ASTE

Nodo 3D	Pilas. Infer. Asta3d	Pilas. Super. Asta3d	Comb N.ro	AlfaX	AlfaY	PILASTRO INFERIORE					PILASTRO SUPERIORE				
						N (kg)	Mx (kgm)	My (kgm)	AlfaX*Mx (kgm)	AlfaY*My (kgm)	N (kg)	Mx (kgm)	My (kgm)	AlfaX*Mx (kgm)	AlfaY*My (kgm)
112	199		1	0,00	0,00	-9482	752	-439	0	0					
			2	0,00	0,00	-5794	3661	-480	0	0					
			3	0,00	0,00	-5820	3971	-488	0	0					
			4	0,00	0,00	-5813	3890	-486	0	0					
			5	0,00	0,00	-5840	4201	-493	0	0					
			6	0,00	0,00	-5660	4014	-230	0	0					
			7	0,00	0,00	-5687	4324	-238	0	0					
			8	0,00	0,00	-5641	3785	-225	0	0					
			9	0,00	0,00	-5667	4095	-232	0	0					
			10	0,00	0,00	-5389	-3184	-438	0	0					
			11	0,00	0,00	-5362	-3494	-430	0	0					
			12	0,00	0,00	-5409	-2955	-443	0	0					
			13	0,00	0,00	-5382	-3265	-436	0	0					
			14	0,00	0,00	-5256	-2831	-188	0	0					
			15	0,00	0,00	-5229	-3142	-180	0	0					
			16	0,00	0,00	-5236	-3060	-182	0	0					
			17	0,00	0,00	-5209	-3371	-175	0	0					
			18	0,00	0,00	-5807	854	-757	0	0					
			19	0,00	0,00	-5815	947	-759	0	0					
			20	0,00	0,00	-5873	1618	-775	0	0					
			21	0,00	0,00	-5881	1711	-778	0	0					
			22	0,00	0,00	-5364	2030	76	0	0					
			23	0,00	0,00	-5372	2123	74	0	0					
			24	0,00	0,00	-5298	1266	94	0	0					
			25	0,00	0,00	-5306	1359	92	0	0					
			26	0,00	0,00	-5686	-1200	-744	0	0					
			27	0,00	0,00	-5678	-1293	-742	0	0					
			28	0,00	0,00	-5752	-436	-763	0	0					
			29	0,00	0,00	-5744	-529	-760	0	0					
			30	0,00	0,00	-5242	-24	89	0	0					
			31	0,00	0,00	-5234	-117	91	0	0					
			32	0,00	0,00	-5176	-788	107	0	0					
			33	0,00	0,00	-5168	-881	109	0	0					

## DETTAGLIO GERARCHIA RESISTENZA ASTE

Nodo 3D	Pilas. Infer. Asta3d	Pilas. Super. Asta3d	Comb N.ro	AlfaX	AlfaY	PILASTRO INFERIORE					PILASTRO SUPERIORE				
						N (kg)	Mx (kgm)	My (kgm)	AlfaX*Mx (kgm)	AlfaY*My (kgm)	N (kg)	Mx (kgm)	My (kgm)	AlfaX*Mx (kgm)	AlfaY*My (kgm)
113	200		1	0,00	0,00	-12194	9317	229	0	0					
			2	0,00	0,00	-6275	2948	-2738	0	0					
			3	0,00	0,00	-6305	3095	-2426	0	0					
			4	0,00	0,00	-6297	3057	-2508	0	0					
			5	0,00	0,00	-6327	3203	-2196	0	0					
			6	0,00	0,00	-7481	6682	-2165	0	0					
			7	0,00	0,00	-7512	6829	-1853	0	0					
			8	0,00	0,00	-7459	6573	-2395	0	0					
			9	0,00	0,00	-7489	6720	-2083	0	0					
			10	0,00	0,00	-6538	3724	2385	0	0					
			11	0,00	0,00	-6508	3577	2073	0	0					
			12	0,00	0,00	-6560	3832	2615	0	0					
			13	0,00	0,00	-6530	3685	2303	0	0					
			14	0,00	0,00	-7744	7458	2958	0	0					
			15	0,00	0,00	-7714	7311	2646	0	0					
			16	0,00	0,00	-7722	7349	2728	0	0					
			17	0,00	0,00	-7692	7202	2416	0	0					
			18	0,00	0,00	-4959	-1137	-1614	0	0					
			19	0,00	0,00	-4968	-1093	-1521	0	0					
			20	0,00	0,00	-5034	-775	-846	0	0					

## DETTAGLIO GERARCHIA RESISTENZA ASTE

Nodo 3D	Pilas. Infer. Asta3d	Pilas. Super. Asta3d	Comb N.ro	AlfaX	AlfaY	PILASTRO INFERIORE					PILASTRO SUPERIORE				
						N (kg)	Mx (kgm)	My (kgm)	AlfaX*Mx (kgm)	AlfaY*My (kgm)	N (kg)	Mx (kgm)	My (kgm)	AlfaX*Mx (kgm)	AlfaY*My (kgm)
			21	0,00	0,00	-5043	-731	-753	0	0					
			22	0,00	0,00	-8981	11310	297	0	0					
			23	0,00	0,00	-8990	11354	391	0	0					
			24	0,00	0,00	-8906	10948	-471	0	0					
			25	0,00	0,00	-8915	10992	-377	0	0					
			26	0,00	0,00	-5038	-904	-77	0	0					
			27	0,00	0,00	-5029	-948	-171	0	0					
			28	0,00	0,00	-5113	-542	691	0	0					
			29	0,00	0,00	-5104	-586	597	0	0					
			30	0,00	0,00	-9060	11542	1834	0	0					
			31	0,00	0,00	-9051	11498	1741	0	0					
			32	0,00	0,00	-8985	11181	1066	0	0					
			33	0,00	0,00	-8976	11137	973	0	0					

## DETTAGLIO GERARCHIA RESISTENZA ASTE

Nodo 3D	Pilas. Infer. Asta3d	Pilas. Super. Asta3d	Comb N.ro	AlfaX	AlfaY	PILASTRO INFERIORE					PILASTRO SUPERIORE				
						N (kg)	Mx (kgm)	My (kgm)	AlfaX*Mx (kgm)	AlfaY*My (kgm)	N (kg)	Mx (kgm)	My (kgm)	AlfaX*Mx (kgm)	AlfaY*My (kgm)
114	201		1	0,00	0,00	-15781	-890	-2359	0	0					
			2	0,00	0,00	-9142	2724	-2254	0	0					
			3	0,00	0,00	-9135	2734	-2206	0	0					
			4	0,00	0,00	-9137	2731	-2218	0	0					
			5	0,00	0,00	-9130	2741	-2170	0	0					
			6	0,00	0,00	-8324	2591	-214	0	0					
			7	0,00	0,00	-8318	2601	-165	0	0					
			8	0,00	0,00	-8329	2584	-250	0	0					
			9	0,00	0,00	-8323	2594	-201	0	0					
			10	0,00	0,00	-9940	-3597	-2405	0	0					
			11	0,00	0,00	-9946	-3606	-2453	0	0					
			12	0,00	0,00	-9935	-3590	-2369	0	0					
			13	0,00	0,00	-9941	-3599	-2417	0	0					
			14	0,00	0,00	-9122	-3730	-364	0	0					
			15	0,00	0,00	-9129	-3739	-413	0	0					
			16	0,00	0,00	-9127	-3737	-400	0	0					
			17	0,00	0,00	-9134	-3746	-449	0	0					
			18	0,00	0,00	-10375	667	-4688	0	0					
			19	0,00	0,00	-10373	670	-4673	0	0					
			20	0,00	0,00	-10358	690	-4568	0	0					
			21	0,00	0,00	-10356	693	-4554	0	0					
			22	0,00	0,00	-7650	224	2114	0	0					
			23	0,00	0,00	-7648	227	2129	0	0					
			24	0,00	0,00	-7667	201	1995	0	0					
			25	0,00	0,00	-7665	203	2009	0	0					
			26	0,00	0,00	-10614	-1229	-4733	0	0					
			27	0,00	0,00	-10616	-1232	-4747	0	0					
			28	0,00	0,00	-10597	-1206	-4613	0	0					
			29	0,00	0,00	-10599	-1209	-4628	0	0					
			30	0,00	0,00	-7889	-1673	2069	0	0					
			31	0,00	0,00	-7892	-1675	2054	0	0					
			32	0,00	0,00	-7906	-1696	1950	0	0					
			33	0,00	0,00	-7908	-1699	1935	0	0					

## DETTAGLIO GERARCHIA RESISTENZA ASTE

Nodo 3D	Pilas. Infer. Asta3d	Pilas. Super. Asta3d	Comb N.ro	AlfaX	AlfaY	PILASTRO INFERIORE					PILASTRO SUPERIORE				
						N (kg)	Mx (kgm)	My (kgm)	AlfaX*Mx (kgm)	AlfaY*My (kgm)	N (kg)	Mx (kgm)	My (kgm)	AlfaX*Mx (kgm)	AlfaY*My (kgm)
115	202		1	0,00	0,00	-9663	-833	-444	0	0					
			2	0,00	0,00	-5513	2736	-482	0	0					
			3	0,00	0,00	-5486	3047	-474	0	0					
			4	0,00	0,00	-5493	2965	-476	0	0					
			5	0,00	0,00	-5466	3276	-469	0	0					
			6	0,00	0,00	-5321	3197	-216	0	0					
			7	0,00	0,00	-5294	3507	-209	0	0					
			8	0,00	0,00	-5341	2967	-222	0	0					
			9	0,00	0,00	-5314	3278	-214	0	0					
			10	0,00	0,00	-5902	-4103	-459	0	0					
			11	0,00	0,00	-5929	-4413	-466	0	0					
			12	0,00	0,00	-5882	-3874	-453	0	0					
			13	0,00	0,00	-5909	-4184	-461	0	0					
			14	0,00	0,00	-5710	-3643	-193	0	0					
			15	0,00	0,00	-5737	-3953	-201	0	0					
			16	0,00	0,00	-5730	-3872	-199	0	0					
			17	0,00	0,00	-5757	-4182	-206	0	0					
			18	0,00	0,00	-5873	-195	-784	0	0					
			19	0,00	0,00	-5865	-101	-781	0	0					
			20	0,00	0,00	-5807	569	-765	0	0					

## DETTAGLIO GERARCHIA RESISTENZA ASTE

Nodo 3D	Pilas. Infer. Asta3d	Pilas. Super. Asta3d	Comb N.ro	AlfaX	AlfaY	PILASTRO INFERIORE					PILASTRO SUPERIORE				
						N (kg)	Mx (kgm)	My (kgm)	AlfaX*Mx (kgm)	AlfaY*My (kgm)	N (kg)	Mx (kgm)	My (kgm)	AlfaX*Mx (kgm)	AlfaY*My (kgm)
			21	0,00	0,00	-5799	662	-763	0	0					
			22	0,00	0,00	-5233	1340	102	0	0					
			23	0,00	0,00	-5225	1433	104	0	0					
			24	0,00	0,00	-5299	576	83	0	0					
			25	0,00	0,00	-5291	669	86	0	0					
			26	0,00	0,00	-5990	-2246	-777	0	0					
			27	0,00	0,00	-5998	-2340	-779	0	0					
			28	0,00	0,00	-5924	-1482	-758	0	0					
			29	0,00	0,00	-5932	-1576	-761	0	0					
			30	0,00	0,00	-5350	-712	108	0	0					
			31	0,00	0,00	-5358	-805	106	0	0					
			32	0,00	0,00	-5416	-1476	90	0	0					
			33	0,00	0,00	-5424	-1569	88	0	0					

## DETTAGLIO GERARCHIA RESISTENZA ASTE

Nodo 3D	Pilas. Infer. Asta3d	Pilas. Super. Asta3d	Comb N.ro	AlfaX	AlfaY	PILASTRO INFERIORE					PILASTRO SUPERIORE				
						N (kg)	Mx (kgm)	My (kgm)	AlfaX*Mx (kgm)	AlfaY*My (kgm)	N (kg)	Mx (kgm)	My (kgm)	AlfaX*Mx (kgm)	AlfaY*My (kgm)
116	203		1	0,00	0,00	-9840	-391	1185	0	0					
			2	0,00	0,00	-5791	3021	102	0	0					
			3	0,00	0,00	-5801	2710	213	0	0					
			4	0,00	0,00	-5799	2791	184	0	0					
			5	0,00	0,00	-5809	2481	295	0	0					
			6	0,00	0,00	-6090	2466	1623	0	0					
			7	0,00	0,00	-6101	2156	1733	0	0					
			8	0,00	0,00	-6082	2696	1541	0	0					
			9	0,00	0,00	-6093	2385	1652	0	0					
			10	0,00	0,00	-5562	-2810	-204	0	0					
			11	0,00	0,00	-5551	-2500	-315	0	0					
			12	0,00	0,00	-5570	-3039	-122	0	0					
			13	0,00	0,00	-5559	-2729	-233	0	0					
			14	0,00	0,00	-5861	-3364	1316	0	0					
			15	0,00	0,00	-5850	-3054	1205	0	0					
			16	0,00	0,00	-5853	-3135	1234	0	0					
			17	0,00	0,00	-5842	-2825	1124	0	0					
			18	0,00	0,00	-5361	1626	-1778	0	0					
			19	0,00	0,00	-5365	1533	-1745	0	0					
			20	0,00	0,00	-5388	862	-1506	0	0					
			21	0,00	0,00	-5391	769	-1473	0	0					
			22	0,00	0,00	-6359	-221	3289	0	0					
			23	0,00	0,00	-6362	-314	3322	0	0					
			24	0,00	0,00	-6332	543	3017	0	0					
			25	0,00	0,00	-6336	450	3050	0	0					
			26	0,00	0,00	-5293	-123	-1870	0	0					
			27	0,00	0,00	-5289	-30	-1904	0	0					
			28	0,00	0,00	-5319	-887	-1598	0	0					
			29	0,00	0,00	-5316	-794	-1631	0	0					
			30	0,00	0,00	-6290	-1970	3197	0	0					
			31	0,00	0,00	-6287	-1877	3164	0	0					
			32	0,00	0,00	-6264	-1206	2925	0	0					
			33	0,00	0,00	-6260	-1113	2892	0	0					

## DETTAGLIO GERARCHIA RESISTENZA ASTE

Nodo 3D	Pilas. Infer. Asta3d	Pilas. Super. Asta3d	Comb N.ro	AlfaX	AlfaY	PILASTRO INFERIORE					PILASTRO SUPERIORE				
						N (kg)	Mx (kgm)	My (kgm)	AlfaX*Mx (kgm)	AlfaY*My (kgm)	N (kg)	Mx (kgm)	My (kgm)	AlfaX*Mx (kgm)	AlfaY*My (kgm)
117	204		1	0,00	0,00	-18286	1055	-882	0	0					
			2	0,00	0,00	-10970	3944	-1422	0	0					
			3	0,00	0,00	-10984	3932	-1258	0	0					
			4	0,00	0,00	-10981	3936	-1301	0	0					
			5	0,00	0,00	-10995	3924	-1137	0	0					
			6	0,00	0,00	-10960	3653	813	0	0					
			7	0,00	0,00	-10975	3641	976	0	0					
			8	0,00	0,00	-10950	3662	692	0	0					
			9	0,00	0,00	-10964	3650	855	0	0					
			10	0,00	0,00	-10425	-2353	-1847	0	0					
			11	0,00	0,00	-10410	-2341	-2011	0	0					
			12	0,00	0,00	-10435	-2362	-1727	0	0					
			13	0,00	0,00	-10421	-2350	-1890	0	0					
			14	0,00	0,00	-10415	-2644	387	0	0					
			15	0,00	0,00	-10401	-2632	223	0	0					
			16	0,00	0,00	-10405	-2636	266	0	0					
			17	0,00	0,00	-10390	-2624	103	0	0					
			18	0,00	0,00	-10790	2081	-4178	0	0					
			19	0,00	0,00	-10795	2077	-4129	0	0					
			20	0,00	0,00	-10826	2051	-3775	0	0					

## DETTAGLIO GERARCHIA RESISTENZA ASTE

Nodo 3D	Pilas. Infer. Asta3d	Pilas. Super. Asta3d	Comb N.ro	AlfaX	AlfaY	PILASTRO INFERIORE					PILASTRO SUPERIORE				
						N (kg)	Mx (kgm)	My (kgm)	AlfaX*Mx (kgm)	AlfaY*My (kgm)	N (kg)	Mx (kgm)	My (kgm)	AlfaX*Mx (kgm)	AlfaY*My (kgm)
			21	0,00	0,00	-10830	2047	-3726	0	0					
			22	0,00	0,00	-10758	1109	3271	0	0					
			23	0,00	0,00	-10763	1105	3320	0	0					
			24	0,00	0,00	-10723	1138	2868	0	0					
			25	0,00	0,00	-10727	1135	2917	0	0					
			26	0,00	0,00	-10627	191	-4305	0	0					
			27	0,00	0,00	-10622	195	-4355	0	0					
			28	0,00	0,00	-10662	162	-3903	0	0					
			29	0,00	0,00	-10658	165	-3952	0	0					
			30	0,00	0,00	-10595	-781	3143	0	0					
			31	0,00	0,00	-10591	-777	3094	0	0					
			32	0,00	0,00	-10559	-751	2740	0	0					
			33	0,00	0,00	-10555	-747	2691	0	0					

## DETTAGLIO GERARCHIA RESISTENZA ASTE

Nodo 3D	Pilas. Infer. Asta3d	Pilas. Super. Asta3d	Comb N.ro	AlfaX	AlfaY	PILASTRO INFERIORE					PILASTRO SUPERIORE				
						N (kg)	Mx (kgm)	My (kgm)	AlfaX*Mx (kgm)	AlfaY*My (kgm)	N (kg)	Mx (kgm)	My (kgm)	AlfaX*Mx (kgm)	AlfaY*My (kgm)
118	205		1	0,00	0,00	-9281	1001	-1614	0	0					
			2	0,00	0,00	-5916	3773	-1601	0	0					
			3	0,00	0,00	-5885	4088	-1486	0	0					
			4	0,00	0,00	-5893	4005	-1516	0	0					
			5	0,00	0,00	-5862	4320	-1400	0	0					
			6	0,00	0,00	-5376	4214	-27	0	0					
			7	0,00	0,00	-5344	4529	88	0	0					
			8	0,00	0,00	-5399	3982	-112	0	0					
			9	0,00	0,00	-5368	4296	3	0	0					
			10	0,00	0,00	-5648	-3097	-1888	0	0					
			11	0,00	0,00	-5679	-3411	-2003	0	0					
			12	0,00	0,00	-5624	-2865	-1803	0	0					
			13	0,00	0,00	-5656	-3179	-1918	0	0					
			14	0,00	0,00	-5107	-2656	-314	0	0					
			15	0,00	0,00	-5139	-2970	-429	0	0					
			16	0,00	0,00	-5130	-2888	-399	0	0					
			17	0,00	0,00	-5162	-3202	-514	0	0					
			18	0,00	0,00	-6453	854	-3538	0	0					
			19	0,00	0,00	-6443	949	-3503	0	0					
			20	0,00	0,00	-6375	1628	-3254	0	0					
			21	0,00	0,00	-6366	1723	-3219	0	0					
			22	0,00	0,00	-4651	2324	1709	0	0					
			23	0,00	0,00	-4642	2419	1743	0	0					
			24	0,00	0,00	-4729	1550	1425	0	0					
			25	0,00	0,00	-4719	1645	1459	0	0					
			26	0,00	0,00	-6372	-1207	-3624	0	0					
			27	0,00	0,00	-6382	-1301	-3658	0	0					
			28	0,00	0,00	-6295	-433	-3340	0	0					
			29	0,00	0,00	-6304	-527	-3374	0	0					
			30	0,00	0,00	-4571	263	1623	0	0					
			31	0,00	0,00	-4580	169	1588	0	0					
			32	0,00	0,00	-4648	-511	1339	0	0					
			33	0,00	0,00	-4657	-605	1304	0	0					

## DETTAGLIO GERARCHIA RESISTENZA ASTE

Nodo 3D	Pilas. Infer. Asta3d	Pilas. Super. Asta3d	Comb N.ro	AlfaX	AlfaY	PILASTRO INFERIORE					PILASTRO SUPERIORE				
						N (kg)	Mx (kgm)	My (kgm)	AlfaX*Mx (kgm)	AlfaY*My (kgm)	N (kg)	Mx (kgm)	My (kgm)	AlfaX*Mx (kgm)	AlfaY*My (kgm)
119	206		1	0,00	0,00	-10361	-280	360	0	0					
			2	0,00	0,00	-5901	2936	206	0	0					
			3	0,00	0,00	-5955	2603	239	0	0					
			4	0,00	0,00	-5941	2690	231	0	0					
			5	0,00	0,00	-5996	2358	264	0	0					
			6	0,00	0,00	-6292	2296	499	0	0					
			7	0,00	0,00	-6347	1963	532	0	0					
			8	0,00	0,00	-6252	2541	475	0	0					
			9	0,00	0,00	-6307	2209	508	0	0					
			10	0,00	0,00	-5751	-2672	111	0	0					
			11	0,00	0,00	-5696	-2339	78	0	0					
			12	0,00	0,00	-5791	-2917	135	0	0					
			13	0,00	0,00	-5737	-2585	102	0	0					
			14	0,00	0,00	-6143	-3311	404	0	0					
			15	0,00	0,00	-6088	-2979	371	0	0					
			16	0,00	0,00	-6102	-3066	379	0	0					
			17	0,00	0,00	-6048	-2734	346	0	0					
			18	0,00	0,00	-5391	1720	-169	0	0					
			19	0,00	0,00	-5408	1620	-159	0	0					
			20	0,00	0,00	-5526	902	-88	0	0					

## DETTAGLIO GERARCHIA RESISTENZA ASTE

Nodo 3D	Pilas. Infer. Asta3d	Pilas. Super. Asta3d	Comb N.ro	AlfaX	AlfaY	PILASTRO INFERIORE					PILASTRO SUPERIORE				
						N (kg)	Mx (kgm)	My (kgm)	AlfaX*Mx (kgm)	AlfaY*My (kgm)	N (kg)	Mx (kgm)	My (kgm)	AlfaX*Mx (kgm)	AlfaY*My (kgm)
			21	0,00	0,00	-5542	802	-78	0	0					
			22	0,00	0,00	-6697	-413	807	0	0					
			23	0,00	0,00	-6713	-513	817	0	0					
			24	0,00	0,00	-6563	405	726	0	0					
			25	0,00	0,00	-6579	305	736	0	0					
			26	0,00	0,00	-5346	38	-198	0	0					
			27	0,00	0,00	-5330	137	-208	0	0					
			28	0,00	0,00	-5481	-781	-116	0	0					
			29	0,00	0,00	-5464	-681	-126	0	0					
			30	0,00	0,00	-6652	-2096	779	0	0					
			31	0,00	0,00	-6636	-1996	769	0	0					
			32	0,00	0,00	-6518	-1277	697	0	0					
			33	0,00	0,00	-6501	-1178	688	0	0					

## DETTAGLIO GERARCHIA RESISTENZA ASTE

Nodo 3D	Pilas. Infer. Asta3d	Pilas. Super. Asta3d	Comb N.ro	AlfaX	AlfaY	PILASTRO INFERIORE					PILASTRO SUPERIORE				
						N (kg)	Mx (kgm)	My (kgm)	AlfaX*Mx (kgm)	AlfaY*My (kgm)	N (kg)	Mx (kgm)	My (kgm)	AlfaX*Mx (kgm)	AlfaY*My (kgm)
120	207		1	0,00	0,00	-17040	-728	1515	0	0					
			2	0,00	0,00	-9771	2366	166	0	0					
			3	0,00	0,00	-9815	2380	377	0	0					
			4	0,00	0,00	-9804	2376	322	0	0					
			5	0,00	0,00	-9848	2390	532	0	0					
			6	0,00	0,00	-10232	2441	2011	0	0					
			7	0,00	0,00	-10277	2455	2221	0	0					
			8	0,00	0,00	-10199	2431	1855	0	0					
			9	0,00	0,00	-10244	2445	2066	0	0					
			10	0,00	0,00	-9604	-3389	-403	0	0					
			11	0,00	0,00	-9559	-3403	-613	0	0					
			12	0,00	0,00	-9636	-3379	-247	0	0					
			13	0,00	0,00	-9592	-3393	-458	0	0					
			14	0,00	0,00	-10065	-3314	1442	0	0					
			15	0,00	0,00	-10020	-3328	1231	0	0					
			16	0,00	0,00	-10032	-3324	1286	0	0					
			17	0,00	0,00	-9988	-3338	1076	0	0					
			18	0,00	0,00	-9174	264	-2185	0	0					
			19	0,00	0,00	-9187	268	-2121	0	0					
			20	0,00	0,00	-9283	298	-1667	0	0					
			21	0,00	0,00	-9297	302	-1603	0	0					
			22	0,00	0,00	-10712	515	3963	0	0					
			23	0,00	0,00	-10725	519	4026	0	0					
			24	0,00	0,00	-10602	481	3445	0	0					
			25	0,00	0,00	-10616	485	3508	0	0					
			26	0,00	0,00	-9124	-1463	-2355	0	0					
			27	0,00	0,00	-9110	-1467	-2418	0	0					
			28	0,00	0,00	-9233	-1429	-1837	0	0					
			29	0,00	0,00	-9220	-1433	-1900	0	0					
			30	0,00	0,00	-10662	-1212	3792	0	0					
			31	0,00	0,00	-10649	-1216	3729	0	0					
			32	0,00	0,00	-10552	-1246	3274	0	0					
			33	0,00	0,00	-10539	-1250	3211	0	0					

## DETTAGLIO GERARCHIA RESISTENZA ASTE

Nodo 3D	Pilas. Infer. Asta3d	Pilas. Super. Asta3d	Comb N.ro	AlfaX	AlfaY	PILASTRO INFERIORE					PILASTRO SUPERIORE				
						N (kg)	Mx (kgm)	My (kgm)	AlfaX*Mx (kgm)	AlfaY*My (kgm)	N (kg)	Mx (kgm)	My (kgm)	AlfaX*Mx (kgm)	AlfaY*My (kgm)
121	208		1	0,00	0,00	-9207	-175	-3003	0	0					
			2	0,00	0,00	-5651	2883	-2300	0	0					
			3	0,00	0,00	-5551	3189	-2102	0	0					
			4	0,00	0,00	-5577	3109	-2153	0	0					
			5	0,00	0,00	-5477	3415	-1955	0	0					
			6	0,00	0,00	-4841	3335	-562	0	0					
			7	0,00	0,00	-4740	3641	-363	0	0					
			8	0,00	0,00	-4915	3109	-708	0	0					
			9	0,00	0,00	-4814	3415	-510	0	0					
			10	0,00	0,00	-6117	-3601	-2835	0	0					
			11	0,00	0,00	-6217	-3907	-3034	0	0					
			12	0,00	0,00	-6043	-3375	-2689	0	0					
			13	0,00	0,00	-6143	-3681	-2887	0	0					
			14	0,00	0,00	-5307	-3149	-1097	0	0					
			15	0,00	0,00	-5407	-3454	-1295	0	0					
			16	0,00	0,00	-5381	-3374	-1243	0	0					
			17	0,00	0,00	-5481	-3680	-1442	0	0					
			18	0,00	0,00	-6759	86	-4515	0	0					
			19	0,00	0,00	-6729	177	-4456	0	0					
			20	0,00	0,00	-6513	839	-4027	0	0					

## DETTAGLIO GERARCHIA RESISTENZA ASTE

Nodo 3D	Pilas. Infer. Asta3d	Pilas. Super. Asta3d	Comb N.ro	AlfaX	AlfaY	PILASTRO INFERIORE					PILASTRO SUPERIORE				
						N (kg)	Mx (kgm)	My (kgm)	AlfaX*Mx (kgm)	AlfaY*My (kgm)	N (kg)	Mx (kgm)	My (kgm)	AlfaX*Mx (kgm)	AlfaY*My (kgm)
			21	0,00	0,00	-6483	931	-3968	0	0					
			22	0,00	0,00	-4058	1594	1279	0	0					
			23	0,00	0,00	-4028	1685	1339	0	0					
			24	0,00	0,00	-4305	840	791	0	0					
			25	0,00	0,00	-4275	932	850	0	0					
			26	0,00	0,00	-6899	-1859	-4676	0	0					
			27	0,00	0,00	-6929	-1951	-4736	0	0					
			28	0,00	0,00	-6653	-1106	-4188	0	0					
			29	0,00	0,00	-6683	-1198	-4247	0	0					
			30	0,00	0,00	-4198	-351	1119	0	0					
			31	0,00	0,00	-4228	-443	1059	0	0					
			32	0,00	0,00	-4445	-1105	630	0	0					
			33	0,00	0,00	-4475	-1196	571	0	0					

## DETTAGLIO GERARCHIA RESISTENZA ASTE

Nodo 3D	Pilas. Infer. Asta3d	Pilas. Super. Asta3d	Comb N.ro	AlfaX	AlfaY	PILASTRO INFERIORE					PILASTRO SUPERIORE				
						N (kg)	Mx (kgm)	My (kgm)	AlfaX*Mx (kgm)	AlfaY*My (kgm)	N (kg)	Mx (kgm)	My (kgm)	AlfaX*Mx (kgm)	AlfaY*My (kgm)
122	209		1	0,00	0,00	-5968	-181	-1387	0	0					
			2	0,00	0,00	-4097	-695	-2250	0	0					
			3	0,00	0,00	-4131	-291	-2080	0	0					
			4	0,00	0,00	-4122	-397	-2125	0	0					
			5	0,00	0,00	-4156	7	-1955	0	0					
			6	0,00	0,00	-4813	1921	-1851	0	0					
			7	0,00	0,00	-4847	2324	-1681	0	0					
			8	0,00	0,00	-4788	1623	-1977	0	0					
			9	0,00	0,00	-4822	2026	-1807	0	0					
			10	0,00	0,00	-2352	-1818	310	0	0					
			11	0,00	0,00	-2318	-2222	140	0	0					
			12	0,00	0,00	-2377	-1520	436	0	0					
			13	0,00	0,00	-2343	-1924	266	0	0					
			14	0,00	0,00	-3067	797	710	0	0					
			15	0,00	0,00	-3034	393	540	0	0					
			16	0,00	0,00	-3042	499	584	0	0					
			17	0,00	0,00	-3008	95	414	0	0					
			18	0,00	0,00	-2651	-4139	-1820	0	0					
			19	0,00	0,00	-2662	-4018	-1769	0	0					
			20	0,00	0,00	-2735	-3146	-1401	0	0					
			21	0,00	0,00	-2745	-3025	-1350	0	0					
			22	0,00	0,00	-5037	4578	-489	0	0					
			23	0,00	0,00	-5047	4699	-438	0	0					
			24	0,00	0,00	-4953	3585	-907	0	0					
			25	0,00	0,00	-4964	3706	-856	0	0					
			26	0,00	0,00	-2128	-4476	-1052	0	0					
			27	0,00	0,00	-2118	-4597	-1103	0	0					
			28	0,00	0,00	-2211	-3483	-633	0	0					
			29	0,00	0,00	-2201	-3604	-684	0	0					
			30	0,00	0,00	-4513	4241	279	0	0					
			31	0,00	0,00	-4503	4120	228	0	0					
			32	0,00	0,00	-4430	3248	-139	0	0					
			33	0,00	0,00	-4420	3127	-190	0	0					

## DETTAGLIO GERARCHIA RESISTENZA ASTE

Nodo 3D	Pilas. Infer. Asta3d	Pilas. Super. Asta3d	Comb N.ro	AlfaX	AlfaY	PILASTRO INFERIORE					PILASTRO SUPERIORE				
						N (kg)	Mx (kgm)	My (kgm)	AlfaX*Mx (kgm)	AlfaY*My (kgm)	N (kg)	Mx (kgm)	My (kgm)	AlfaX*Mx (kgm)	AlfaY*My (kgm)
123	210		1	0,00	0,00	-11044	599	-971	0	0					
			2	0,00	0,00	-7314	-807	-1724	0	0					
			3	0,00	0,00	-7338	-125	-1746	0	0					
			4	0,00	0,00	-7332	-304	-1740	0	0					
			5	0,00	0,00	-7356	379	-1762	0	0					
			6	0,00	0,00	-7459	3593	-1879	0	0					
			7	0,00	0,00	-7483	4275	-1901	0	0					
			8	0,00	0,00	-7441	3089	-1862	0	0					
			9	0,00	0,00	-7465	3771	-1884	0	0					
			10	0,00	0,00	-5530	-3035	862	0	0					
			11	0,00	0,00	-5506	-3717	884	0	0					
			12	0,00	0,00	-5548	-2531	845	0	0					
			13	0,00	0,00	-5524	-3213	867	0	0					
			14	0,00	0,00	-5675	1366	707	0	0					
			15	0,00	0,00	-5651	683	729	0	0					
			16	0,00	0,00	-5657	862	723	0	0					
			17	0,00	0,00	-5633	180	745	0	0					
			18	0,00	0,00	-6520	-6720	-638	0	0					
			19	0,00	0,00	-6528	-6516	-645	0	0					
			20	0,00	0,00	-6580	-5042	-693	0	0					

## DETTAGLIO GERARCHIA RESISTENZA ASTE

Nodo 3D	Pilas. Infer. Asta3d	Pilas. Super. Asta3d	Comb N.ro	AlfaX	AlfaY	PILASTRO INFERIORE					PILASTRO SUPERIORE				
						N (kg)	Mx (kgm)	My (kgm)	AlfaX*Mx (kgm)	AlfaY*My (kgm)	N (kg)	Mx (kgm)	My (kgm)	AlfaX*Mx (kgm)	AlfaY*My (kgm)
			21	0,00	0,00	-6587	-4837	-699	0	0					
			22	0,00	0,00	-7004	7947	-1154	0	0					
			23	0,00	0,00	-7011	8152	-1161	0	0					
			24	0,00	0,00	-6945	6268	-1100	0	0					
			25	0,00	0,00	-6952	6473	-1107	0	0					
			26	0,00	0,00	-5985	-7389	137	0	0					
			27	0,00	0,00	-5978	-7593	144	0	0					
			28	0,00	0,00	-6045	-5710	83	0	0					
			29	0,00	0,00	-6037	-5914	90	0	0					
			30	0,00	0,00	-6469	7279	-379	0	0					
			31	0,00	0,00	-6462	7074	-372	0	0					
			32	0,00	0,00	-6409	5600	-324	0	0					
			33	0,00	0,00	-6402	5395	-318	0	0					

## DETTAGLIO GERARCHIA RESISTENZA ASTE

Nodo 3D	Pilas. Infer. Asta3d	Pilas. Super. Asta3d	Comb N.ro	AlfaX	AlfaY	PILASTRO INFERIORE					PILASTRO SUPERIORE				
						N (kg)	Mx (kgm)	My (kgm)	AlfaX*Mx (kgm)	AlfaY*My (kgm)	N (kg)	Mx (kgm)	My (kgm)	AlfaX*Mx (kgm)	AlfaY*My (kgm)
124	211		1	0,00	0,00	-6442	666	-2198	0	0					
			2	0,00	0,00	-5260	2205	-1823	0	0					
			3	0,00	0,00	-5208	2400	-1505	0	0					
			4	0,00	0,00	-5222	2349	-1588	0	0					
			5	0,00	0,00	-5170	2544	-1269	0	0					
			6	0,00	0,00	-4406	2531	197	0	0					
			7	0,00	0,00	-4354	2726	515	0	0					
			8	0,00	0,00	-4444	2387	-39	0	0					
			9	0,00	0,00	-4392	2582	280	0	0					
			10	0,00	0,00	-3275	-1763	-2848	0	0					
			11	0,00	0,00	-3327	-1958	-3166	0	0					
			12	0,00	0,00	-3237	-1619	-2612	0	0					
			13	0,00	0,00	-3289	-1814	-2931	0	0					
			14	0,00	0,00	-2420	-1437	-828	0	0					
			15	0,00	0,00	-2472	-1632	-1146	0	0					
			16	0,00	0,00	-2459	-1581	-1063	0	0					
			17	0,00	0,00	-2511	-1776	-1382	0	0					
			18	0,00	0,00	-5563	436	-4538	0	0					
			19	0,00	0,00	-5547	494	-4442	0	0					
			20	0,00	0,00	-5435	915	-3754	0	0					
			21	0,00	0,00	-5419	973	-3658	0	0					
			22	0,00	0,00	-2713	1523	2194	0	0					
			23	0,00	0,00	-2698	1581	2290	0	0					
			24	0,00	0,00	-2841	1044	1410	0	0					
			25	0,00	0,00	-2826	1102	1506	0	0					
			26	0,00	0,00	-4967	-755	-4845	0	0					
			27	0,00	0,00	-4983	-813	-4941	0	0					
			28	0,00	0,00	-4839	-276	-4061	0	0					
			29	0,00	0,00	-4855	-334	-4157	0	0					
			30	0,00	0,00	-2118	332	1887	0	0					
			31	0,00	0,00	-2133	274	1791	0	0					
			32	0,00	0,00	-2246	-147	1103	0	0					
			33	0,00	0,00	-2261	-205	1007	0	0					